

L A M O N T_{inc}

e x p e r t • c o n s e i l

Projet de recherche en géochimie FRQNT-Coalia-Troilus

Projet Troilus

Eeyou Istchee Baie James, Québec, Canada

Préparé pour:

Troilus Gold

Préparé par:

Maude Lévesque Michaud, ing. M.Sc.A.

Ann Lamontagne, ing. Ph.D.

Juillet 2024

Projet de recherche en géochimie FRQNT-Coalia-Troilus

Projet Troilus

Eeyou Istchee Baie James, Québec, Canada

<Original signé par>

Maude Lévesque Michaud, ing. M.Sc.A.

<Original signé par>

Ann Lamontagne, ing. Ph.D.

VERSION FINALE
Le 10 juillet 2024

TABLE DES MATIÈRES

1. INTRODUCTION	1
1.1. Description du projet minier.....	1
1.2. Problématiques et objectifs du projet de recherche	3
1.3. Équipe de travail.....	4
2. MÉTHODOLOGIE.....	5
2.1. Approche méthodologique.....	5
2.2. Calendrier.....	7
2.3. Sélection des échantillons	8
2.4. Protocoles d’essais	10
2.5. Programme analytique	11
2.5.1. Échantillons de roche.....	11
2.5.2. Échantillons d’eau	11
3. PRÉSENTATION DES RÉSULTATS	12
3.1. Caractérisation des échantillons.....	12
3.2. Essais de terrain	16
3.3. Suivi de l’effluent STP-9.....	19
3.4. Essais de laboratoire.....	21
3.5. Programme d’assurance et de contrôle de la qualité.....	30
4. INTERPRÉTATION.....	31
4.1. Recirculation	31
4.2. Quantité de stériles et hauteur des essais de terrain.....	35
4.3. Comparaison avec l’effluent STP-9	38
4.4. Modèle de prédiction de la qualité des eaux	40

5. CONCLUSIONS ET RECOMMANDATIONS	41
6. RÉFÉRENCES	43

LISTE DES TABLEAUX

Tableau 2.1 – Description des échantillons dans les essais de terrain et de laboratoire	10
Tableau 3.1 – Concentrations en soufre total des échantillons de futurs stériles	13
Tableau 3.2 – Résultats d’analyse pour les échantillons post-démantèlement (cellule humide).....	29

LISTE DES FIGURES

Figure 1.1 – Aménagement du site minier du projet Troilus à l’année 22 (Troilus Gold, 2024)	2
Figure 2.1 – Approche de Morin et Hutt (1998) pour la prédiction de la qualité des eaux de drainage (traduite en français à partir de l’original)	6
Figure 3.1 – Composition en oxydes majeurs et mineurs des échantillons de stériles futurs et existants	14
Figure 3.2 – Valeurs de S, PN, Ca, Na, Fe, Cu et Ag dans les échantillons de stériles existants oxydés (E12)	15
Figure 3.3 – Valeurs de S, PN, Ca, Na, Fe, Cu et Ag dans les échantillons de stériles existants non-oxydés (E13) ..	15
Figure 3.4 – Évolution du pH en fonction du temps (colonnes).....	17
Figure 3.5 – Évolution des concentrations en calcium en fonction du temps (colonnes).....	17
Figure 3.6 – Évolution des concentrations en sulfates en fonction du temps (colonnes)	18
Figure 3.7 – Évolution des charges en sulfates en fonction du temps (colonnes).....	18
Figure 3.8 – Alcalinité en fonction des sulfates (colonnes)	19
Figure 3.9 – Évolution du pH à l’effluent STP-9.....	20
Figure 3.10 – Concentrations en sulfates à l’effluent STP-9	21
Figure 3.11 – Évolution du pH en fonction du temps (cellule humide).....	22

Figure 3.12 – Évolution de l’acidité en fonction du temps (cellule humide)	23
Figure 3.13 – Évolution de l’alcalinité en fonction du temps (cellule humide)	23
Figure 3.14 – Évolution des concentrations en sulfates en fonction du temps (cellule humide)	24
Figure 3.15 – Évolution des concentrations en aluminium en fonction du temps (cellule humide).....	24
Figure 3.16 – Évolution des concentrations en calcium en fonction du temps (cellule humide).....	25
Figure 3.17 – Évolution des concentrations en fer en fonction du temps (cellule humide)	25
Figure 3.18 – Évolution des concentrations en potassium en fonction du temps (cellule humide)	26
Figure 3.19 – Évolution des concentrations en magnésium en fonction du temps (cellule humide)	26
Figure 3.20 – Évolution des concentrations en sodium en fonction du temps (cellule humide)	27
Figure 3.21 – pH en fonction des concentrations en zinc (cellule humide).....	28
Figure 3.22 – Eh en fonction des concentrations en zinc (cellule humide)	28
Figure 3.23 – Concentrations en sulfates en fonction des concentrations en zinc (cellule humide)	28
Figure 3.24 – Concentrations en sulfates en fonction des concentrations en zinc pour l’essai Cell1 (cellule humide)	28
Figure 3.25 – Concentrations en fer en fonction des concentrations en zinc pour l’essai Cell1 (cellule humide)...	29
Figure 3.26 – Concentrations en sulfates en fonction des concentrations en fer pour l’essai Cell1 (cellule humide)	29
Figure 4.1 – Résultats des essais de recirculation - pH.....	32
Figure 4.2 – Résultats des essais de recirculation - Alcalinité.....	32
Figure 4.3 – Résultats des essais de recirculation - Sulfates.....	33
Figure 4.4 – Résultats des essais de recirculation - Calcium	33
Figure 4.5 – Résultats des essais de recirculation - Fer	34
Figure 4.6 – Résultats des essais de recirculation - Cuivre	34
Figure 4.7 – Comparaison des résultats avant et après recirculation (essai C10, échantillonnage #13).....	35
Figure 4.8 – Comparaison des résultats avant et après recirculation (essai C11, échantillonnage #13).....	35

Figure 4.9 – Comparaison des charges en sulfates en fonction du pH (colonnes et cellule humide)	37
Figure 4.10 – Comparaison des charges en calcium en fonction du pH (colonnes et cellule humide).....	37
Figure 4.11 – Comparaison des charges en fer en fonction du pH (colonnes et cellule humide)	37
Figure 4.12 – Comparaison des charges en cuivre en fonction du pH (colonnes et cellule humide)	37
Figure 4.13 – Comparaison des charges et concentrations en thiosulfates (colonnes et cellule humide).....	38
Figure 4.14 – Comparaison des résultats d’acidité (colonnes et STP-9).....	39
Figure 4.15 – Comparaison des résultats d’alcalinité (colonnes et STP-9)	39
Figure 4.16 – Comparaison des concentrations en sulfates (colonnes et STP-9)	40
Figure 4.17 – Comparaison des concentrations en calcium (colonnes et STP-9).....	40
Figure 4.18 – Comparaison des concentrations en fer (colonnes et STP-9)	40
Figure 4.19 – Comparaison des concentrations en cuivre (colonnes et STP-9)	40

LISTE DES ANNEXES

Annexe A – Sélection des échantillons (MDAG)

Annexe B – Protocoles (COALIA)

Annexe C – Tableaux de résultats

1. INTRODUCTION

Lamont a été mandatée par Troilus Gold pour présenter une synthèse scientifique du projet de recherche mené par le Centre de recherches COALIA en partenariat avec Troilus Gold et le Conseil National de recherches du Canada (CNRC). Le projet de recherche a été réalisé dans le cadre du programme de recherche en partenariat sur le développement durable du secteur minier-II du Fonds de recherche Nature et technologies du Québec (FRQNT). Les firmes de consultation Lamont et MDAG (Minesite Drainage Assessment Group) ont également été impliquées tout au long du projet de recherche.

Ce rapport présente la description du projet minier Troilus, les objectifs du projet de recherche, la méthodologie, les résultats obtenus et les interprétations qui en découlent. Ce projet de recherche vient s'intégrer parmi plusieurs autres études géochimiques ciblant différents enjeux de la caractérisation et de la prédiction géochimique des stériles et des résidus miniers du site minier Troilus. Le projet de recherche du présent rapport se concentre exclusivement sur les stériles existants de la halde J4 et les futurs stériles de l'agrandissement de la fosse J4.

1.1. DESCRIPTION DU PROJET MINIER

Troilus Gold est une société d'exploration minière dont une des activités principales consiste en la réouverture de l'ancienne mine Troilus située dans la région Eeyou Istchee, à environ 170 km au nord de Chibougamau (Québec, Canada). Une exploitation minière à ciel ouvert pour le cuivre, l'or et l'argent a eu lieu entre 1996 et 2010 par la compagnie Inmet Mining Corporation.

Le projet Troilus présentement en exploration et en développement est divisé en quatre zones : J4, 87, X22 et Sud-Ouest. Une étude de faisabilité a été déposée sur SEDAR le 28 juin 2024 et les informations ci-dessous ont été extraites du communiqué de presse publié le 14 mai 2024 par Troilus Gold¹. L'estimation des réserves minérales comprend 380 millions de tonnes de réserves probables, d'une teneur de 0,49 g/t Au, 0,058 % Cu et 1,00 g/t Ag. La figure 2.1 montre un plan des infrastructures projetées. Le projet comprend une exploitation minière à ciel ouvert d'une durée de vie de 22 ans avec une production journalière de 50 000 tonnes. Le procédé permettra la production d'un concentré de cuivre riche en or, ainsi qu'une production aurifère par gravité sans cyanure.

¹ <https://fr.troilusgold.com/actualites-et-medias/communiqués-de-presse/troilus-annonce-feasibility-study-results-for-the-gold-copper-troilus-project-outlines-a-large-scale-22-year-open-pit-project-in-tier-one-jurisdiction-with-usd8845-million-npv5>

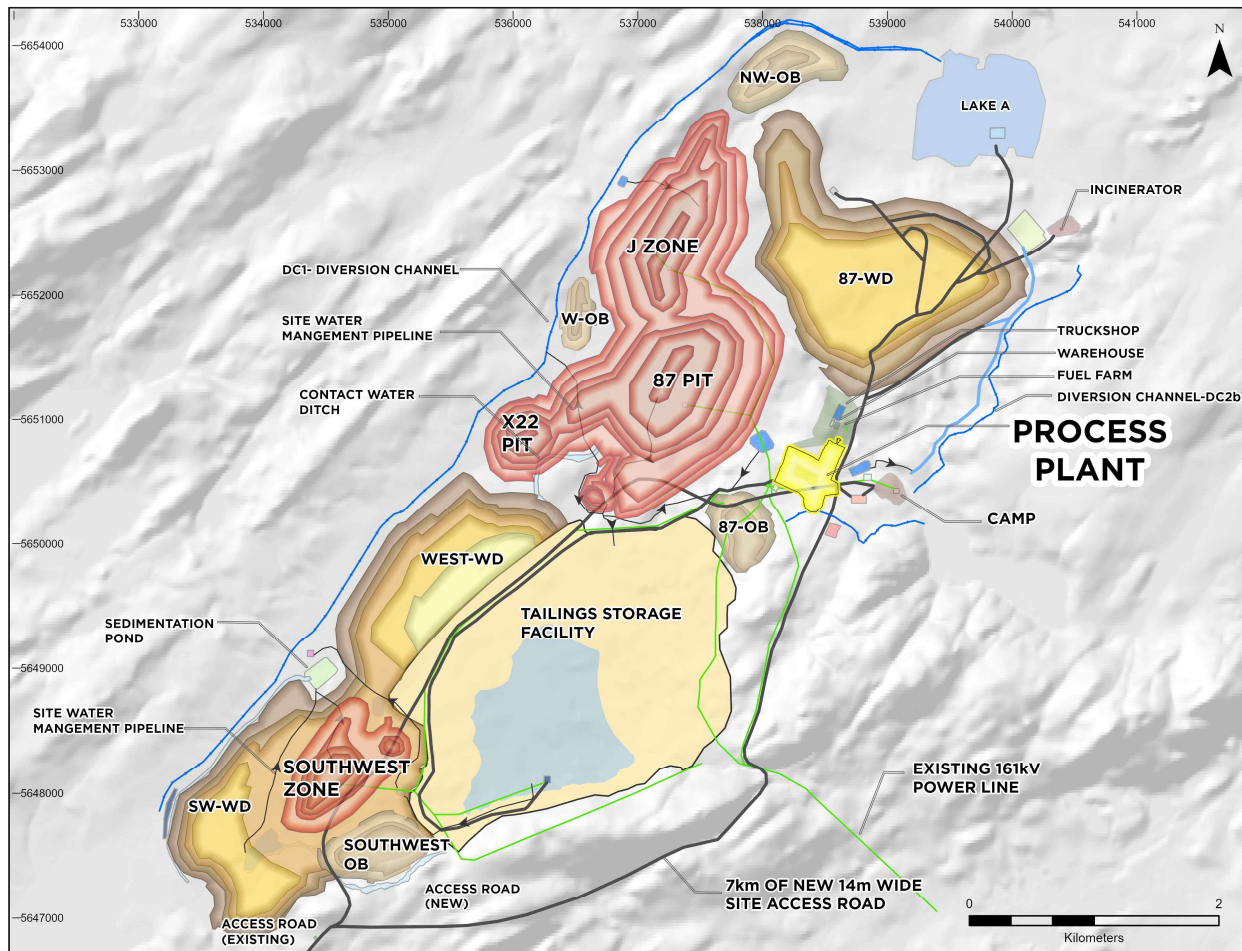


Figure 1.1 – Aménagement du site minier du projet Troilus à l'année 22 (Troilus Gold, 2024)

Les opérations passées ont consisté en l'exploitation à ciel ouvert des zones J4 et 87, et il est prévu les agrandir pour éventuellement les réunir en une seule fosse qui comprendra aussi la zone X22. La zone Sud-Ouest n'a jamais été exploitée. Plusieurs infrastructures minières témoignent des anciennes opérations ayant eu lieu sur le site. Actuellement, des haldes à stériles et un parc à résidus miniers sont présents sur le site, et les anciennes fosses sont ennoyées. Pour le projet futur, il est prévu de procéder à du remblayage dans les fosses avec les résidus et stériles miniers lorsque la production le permettra afin de réduire l'empreinte du site. Pour l'instant, des activités de forage d'exploration sont toujours en cours afin de vérifier les extensions latérales et en profondeur des zones minéralisées actuelles, et afin d'augmenter le volume et le niveau de confiance (classes) des réserves et ressources minérales. L'étude d'impacts environnementaux et sociaux est également en cours et devrait être déposée au courant des prochains mois.

1.2. PROBLÉMATIQUES ET OBJECTIFS DU PROJET DE RECHERCHE

Le projet de réouverture de la mine Troilus étant à l'étape de mise en valeur, il est primordial d'évaluer dès maintenant les différents aspects environnementaux et sociaux, afin de minimiser et d'atténuer son impact sur les habitats environnants. Ce projet de recherche vise donc l'étude d'un enjeu incontournable lié aux activités minières et à l'environnement : la qualité de l'eau. Une bonne prédiction de la qualité des eaux qui seront générées lors de l'exploitation de la mine permettra à Troilus Gold d'optimiser sa stratégie de gestion des stériles et des résidus miniers, de cibler les infrastructures de traitement des eaux adéquates et de privilégier une méthode de restauration appropriée en lien avec les problématiques identifiées dans le cadre des travaux de recherche.

La prédiction de la qualité de l'eau à l'effluent final pour un projet minier en développement reste toutefois un défi important. Bien que cette thématique ait fait l'objet de nombreux articles scientifiques, conférences et ateliers, celle-ci s'est trop souvent avérée erronée, sous-estimant les concentrations des différents éléments chimiques dans les eaux en contact avec les stériles, les résidus miniers ou les parois des ouvertures minières. Face à ce constat, les autorités gouvernementales sont plus exigeantes lors de l'émission des permis d'exploitation et incitent les promoteurs à réaliser davantage d'essais et à utiliser des hypothèses de calcul plus prudentes dans leurs prévisions. Il apparaît donc critique à Troilus Gold de développer des méthodes mieux adaptées à la prédiction de la qualité des eaux et le cas échéant, à la prévention de la contamination du milieu par la conception de mesures d'atténuation en amont de la réalisation de l'étude d'impact. Des tests plus fiables et mieux ciblés pour les différents sites miniers permettront d'augmenter l'acceptabilité sociale des projets en améliorant le niveau de confiance entre les promoteurs, les instances gouvernementales et les communautés locales.

Ce projet de recherche a été réalisé dans un contexte unique : le fait que la mine ait déjà été en opération a permis d'avoir accès à de nombreuses données sur la qualité de l'eau associée aux stériles déjà en place. Il s'agit d'un atout majeur qui favorisera l'élaboration de prédictions plus réalistes à partir d'essais en laboratoire et sur le terrain. Plusieurs études antérieures de caractérisation géochimique ont présenté des résultats incohérents d'essais statiques et d'essais cinétiques avec la réalité qui fut observée et mesurée ensuite sur le site. Alors que les essais statiques du type « bilan acide-base (ABA) » prédisaient des stériles générateurs d'acide, les mesures de pH prises sur le terrain à l'effluent STP-9 sont neutres (cet effluent draine les eaux en provenance de la halde de stériles J4). Certaines études ont suggéré un délai de latence avant la génération d'acide, mais ce délai pouvait varier de quelques dizaines d'années à quelques milliers. Il est donc difficile de se baser uniquement sur les essais de prédiction conventionnels afin de

bâtir un modèle de prédiction fiable pour le développement du projet. C'est dans cet état d'esprit que l'actuel projet de recherche a été développé.

Un des principaux objectifs du projet de recherche vise à développer différents protocoles d'essais sur le terrain (in situ) pour permettre d'identifier et de valider les méthodes de prédiction de la qualité des eaux les mieux adaptées dans le cadre de la mise en valeur du site minier Troilus. Le modèle de prédiction retenu, en regard de sa fiabilité à évaluer plus justement la qualité de l'eau issue d'une exploitation minière, sera partagé à travers la communauté scientifique et l'industrie minière du Québec. Un autre objectif essentiel est de former ou sensibiliser les étudiants et le monde minier à la pertinence des outils de prédiction en matière de prévention et de protection environnementale. Quant aux objectifs spécifiques, ils se détaillent comme suit :

- Développer une méthode fiable de prédiction de la qualité de l'eau drainée au travers des futures haldes de stériles de la mine Troilus;
- Déterminer les principaux facteurs qui influencent la qualité de l'eau et leur impact sur la validité des modèles prédictifs;
- Établir un protocole d'essais en colonne représentatif du comportement des futures haldes de stériles en conditions réelles d'exposition climatiques;
- Sensibiliser la communauté scientifique et l'industrie minière aux avantages d'utiliser des modèles prédictifs pour évaluer les impacts de l'exploitation d'une mine et ce, dès le début de la mise en valeur.

1.3. ÉQUIPE DE TRAVAIL

Ce projet de recherche a pu être réalisé grâce au programme de recherche en partenariat sur le développement durable du secteur minier-II du FRQNT. COALIA est le centre de recherches responsable du projet et certaines analyses ont été réalisées avec leurs équipements disponibles. Plusieurs personnes de COALIA furent impliquées dans le projet :

- Katline Guay, chercheuse principale
- Jean-François Grenier, co-chercheur
- Nassima Kemache et Caroline Chouinard, actuelle et précédente directrice des opérations
- Julie Alain, technicienne en minéralurgie
- Emmanuelle Aubert, technicienne en chimie analytique
- Michel Jacques, technicien en minéralurgie
- Mélyna Dufault, étudiante collégiale en Technologie minérale (Cégep de Thetford Mines)
- Claudia Lemoyne, étudiante au baccalauréat en génie des mines et de la minéralurgie (Univ. Laval)
- Charles Bernier, étudiant au baccalauréat en génie des mines et de la minéralurgie (Univ. Laval)
- Équipe du laboratoire et du secteur minéral

Le partenaire industriel, Troilus Gold, a également mis à contribution une grande partie de son équipe sur le site afin de permettre le montage et le suivi des essais sur le terrain, dont principalement les équipes d’environnement et de géologie. La collecte et le partage des données de suivi sur le site ont aussi été accomplies grâce à leur bonne collaboration. Les personnes ressources pour Troilus Gold sont Jacqueline Leroux et Mathieu Michaud.

L’équipe du CNRC au Centre de recherche sur l’énergie, les mines et l’environnement (CNRC-EME) a réalisé les analyses ICP-MS (spectroscopie de masse de plasma à couplage inductif) des échantillons d’eaux. L’équipe du CNRC-EME détient une vaste expérience en chimie analytique, notamment dans le développement de méthodes pour l’analyse d’échantillons environnementaux. Parmi les personnes impliquées dans le projet, on retrouve entre autres Paramee Kumkrong, Bussaraporn Patarachao et Adrian Simon.

Des consultants ont aussi été greffés à l’équipe de recherche, soit Kevin Morin de MDAG ainsi que Ann Lamontagne et Maude Lévesque Michaud de Lamont. MDAG et Lamont sont reconnus pour leur expertise en environnement minier et leur contribution a été essentielle pour le développement de protocoles et de modèles de prédiction.

2. MÉTHODOLOGIE

2.1. APPROCHE MÉTHODOLOGIQUE

La prédiction de la qualité de l’eau en contact avec les résidus miniers et les stériles passe par une série d’essais à réaliser en laboratoire ou sur le terrain afin de produire un modèle prédictif fiable et prudent. La prédiction de la qualité de l’eau d’un site minier est importante pour les compagnies minières et pour les parties prenantes. La prédiction de la qualité de l’eau permet de confirmer des scénarios de gestion des rejets miniers, de mettre en place des mesures d’atténuation adaptées et de prévoir les coûts associés à ces mesures. À partir des prédictions faites dans le cadre du projet, Troilus est en mesure de mettre en place des mesures efficaces pour prévenir toute dégradation du milieu récepteur pendant la construction, l’opération et la fermeture du site et de valider le retour dans la fosse comme concept de gestion et de restauration des rejets miniers, puis de sécuriser les montants d’argent reliés à la garantie financière qui accompagnera le plan de restauration.

Il n’existe pas de méthode ou technique unique capable de prédire de manière fiable la qualité de l’eau de drainage d’un site. Pour faire cette prédiction, il faut réaliser plusieurs essais selon plusieurs protocoles et coupler les résultats afin de réaliser une interprétation valide de la qualité de l’eau. Les types d’essais sont nombreux et l’approche proposée par Morin et Hutt (1998)

requiert une grande expérience afin de cibler les essais et les protocoles permettant d'arriver à des résultats fiables.

Approche de Morin et Hutt pour la prédiction de la qualité des eaux de drainage

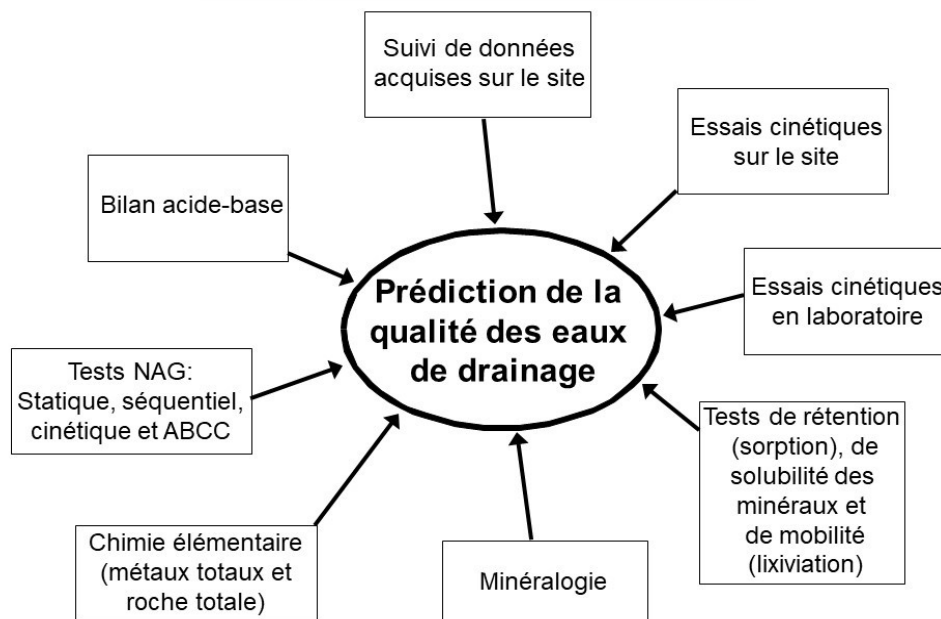


Figure 2.1 – Approche de Morin et Hutt (1998) pour la prédiction de la qualité des eaux de drainage (traduite en français à partir de l'original)

Dans le cas de Troilus, une caractérisation géochimique récente et exhaustive a été réalisée. Les essais faits en laboratoire permettent de connaître les taux maximaux de réaction si suffisamment d'oxygène est disponible de même que les éléments à surveiller, alors que les essais de terrain prennent en considération des paramètres qu'on ne simule habituellement pas en laboratoire (variations de température saisonnière, cycle de gel et de dégel, précipitations variables, vent). Les taux de réaction sont généralement plus lents et par conséquent, la variation de la qualité de l'eau est aussi plus lente à observer. Par contre, le rapport stériles/quantité d'eau est beaucoup plus grand qu'en laboratoire et permet d'obtenir des concentrations qui ne sont pas diluées. Il est même attendu que ce rapport soit suffisant pour provoquer la précipitation de minéraux secondaires ce qui permet de supposer que les concentrations maximales sont atteintes dans les eaux de drainage. Enfin, ces essais sont importants à réaliser et permettent de comparer les prédictions pour ensuite ajuster le modèle afin, notamment, de prévoir avec plus de précision quels pourraient être des éventuels besoins en traitement des eaux ainsi que leurs coûts.

Il n'existe pas de protocole normé pour les essais de terrain, en grande partie puisque les besoins et les ressources de chaque site minier sont différents. L'objectif principal du projet de recherche vise donc à développer différents protocoles d'essais sur le terrain pour déterminer quels facteurs peuvent permettre d'améliorer leur conception. Plusieurs aspects ont été intégrés au projet :

- Concevoir des protocoles d'essais de terrain à mettre en place sur le site minier de Troilus et réaliser ces essais de terrain avec des stériles déjà en place et de futurs stériles à des fins de comparaison;
- Évaluer l'impact de la longueur du parcours de l'eau et de la quantité de stériles sur les essais terrain;
- Réaliser des essais en laboratoire dans des conditions contrôlées et comparer les résultats avec ceux des essais terrain;
- Prédire les concentrations maximales à l'équilibre de tous les éléments chimiques pouvant potentiellement se retrouver dans les eaux en contact avec les rejets miniers issus de l'exploitation future;
- Analyser les données disponibles sur la qualité des eaux liées à la première exploitation et évaluer la corrélation avec les essais de terrain réalisés avec les stériles existants;
- Définir quelle méthode de prédiction est la plus appropriée pour le projet minier de Troilus Gold.

Plus concrètement, les activités suivantes ont été réalisées :

- Sélection et échantillonnage des stériles dans la halde J4 ou dans les carottes de forage d'exploration;
- Caractérisation chimique initiale des échantillons;
- Essais cinétiques en colonne de terrain avec une hauteur variable et des essais de recirculation;
- Essais cinétiques en cellule humide au laboratoire;
- Suivi de l'effluent STP-9 à la base de la halde J4.

Il est important de rappeler que l'élaboration du modèle de prédiction géochimique a été complétée dans un mandat distinct attribué à MDAG par Troilus. Le projet de recherche actuel et les essais élaborés ne sont qu'un outil nécessaire à l'ensemble du modèle.

2.2. CALENDRIER

Le projet de recherche a démarré en mai 2021. Le premier été fut consacré à la sélection des échantillons, leur caractérisation, et le montage des colonnes pour les essais de terrain. Ceux-ci ont débuté le 14 septembre 2021 et le premier échantillonnage a eu lieu le 25 octobre 2021. Dans le cadre de ce projet, le suivi des qualités d'eau à l'effluent STP-9 a aussi commencé le 25 octobre 2021 (des données antérieures sont disponibles, mais avec une fréquence d'échantillonnage plus faible). Pour les essais de terrain, il y a eu un total de 14 échantillonnages, le dernier ayant eu lieu

le 3 octobre 2023. Le suivi de STP-9 a duré jusqu'au 12 décembre 2023, pour un total de 43 échantillonnages.

Les essais en laboratoire ont été mis en place lors de la deuxième année du projet de recherche. Les 4 essais en cellule humide ont débuté le 9 juin 2022. Deux essais ont terminé le 1^{er} septembre 2023, soit après 63 échantillonnages (semaines). Les deux autres essais ont duré jusqu'au 30 novembre 2023, soit 75 échantillonnages (semaines). Les lixiviations finales et la caractérisation post-démantèlement des échantillons ont été complétées dans le mois suivant la fin des essais.

Dans le cadre du projet de recherche, un rapport d'étape a été produit par COALIA à l'automne 2022. Le rapport scientifique est prévu pour la fin du mois d'août 2024, et le rapport final doit être soumis avant le 31 mars 2025. Le présent document pourra servir de support à ces rapports qui seront préparés par COALIA. En effet, ce rapport ne fait pas partie des livrables initialement prévus dans le projet de recherche et il a plutôt été demandé à Lamont par Troilus dans le cadre d'un mandat externe au projet de recherche et des subventions et budget qui s'y rattachent.

Une présentation du projet par Jean-François Grenier de COALIA eu lieu le 29 novembre 2023 dans le cadre d'un Rendez-vous innovation & recherche. La présentation s'adressait à des étudiants collégiaux afin de partager avec eux au sujet des outils de prédiction de la qualité des eaux minières.

2.3. SÉLECTION DES ÉCHANTILLONS

La sélection des échantillons a été préparée par MDAG. Le protocole est joint à l'Annexe A. Il a été décidé de choisir initialement les matériaux destinés aux essais de terrain, puis d'en préparer en quantité suffisante pour pouvoir utiliser les mêmes matériaux pour les caractérisations et essais en laboratoire. Les essais de terrain consistaient à remplir de stériles des colonnes en HDPE de 1 m ou de 3 m de hauteur et de 300 mm de diamètre. Tout d'abord, il a été défini qu'il allait y avoir 11 essais avec des colonnes de 1 m de haut, et 2 essais avec des colonnes de 3 m de haut. Les colonnes de 1 m ont été remplies avec des carottes de forage représentant les futurs stériles de la fosse J4, tandis que les colonnes de 3 m ont été remplies avec des stériles existants de la halde J4. Selon une analyse géostatistique effectuée précédemment par MDAG à partir de la base de données des forages d'exploration, il a été déterminé que les futurs stériles contiendront moins de soufre que les stériles actuels en place. Cette même analyse géostatistique a permis d'estimer les proportions de chaque lithologie (ou groupe de lithologies semblables) pour les futurs stériles :

- Diorite (I2J) : 62 %
- Diorite bréchifiée (I2J;BR) : 16 %

- Roches volcaniques indifférenciées (V) : 7 %
- Intrusions felsiques, incluant le granite (I1) : 5 %
- Autres unités marginales ou indéfinies, incluant le mort-terrain : 10 %

Les carottes des forages d'exploration sont systématiquement analysées sur toute leur longueur pour l'or et les métaux. Plus d'une trentaine d'éléments sont analysés par une analyse avec digestion aux 4 acides et ICP-MS. Toutes ces données analytiques (> 25 000 analyses pour le secteur J4) ont permis de bien cibler les intervalles à échantillonner dans les forages afin de couvrir la variabilité de la composition chimique des roches. Cela implique aussi qu'il reste seulement des demi-carottes dans les boîtes de forage. Afin de conserver un témoin dans les boîtes, chaque intervalle devait donc être scié de nouveau en deux afin de prélever un quart de carotte. Il a été estimé qu'un quart de carotte avait une masse approximative de 0,5 kg pour une longueur de 1 m. Les colonnes de 1 m pouvant contenir entre 80 et 100 kg, il a été déterminé qu'il était nécessaire de sélectionner environ 125 kg afin de remplir la colonne et conserver une portion d'environ 25 kg pour les analyses et/ou autres tests si nécessaire. Cela représente ainsi 250 m de carottes de forage (en quart) pour chaque échantillon.

Pour remplir les 11 colonnes de 1 m, 3256 intervalles de forages ont été sélectionnés. Les critères de sélection ont été les suivants :

- La lithologie recherchée pour chaque essai;
- La teneur en soufre : élevé (un écart-type au-dessus de la moyenne), moyen (moyenne), faible (un écart-type en-dessous de la moyenne)²;
- L'emplacement de l'intervalle à l'intérieur de la fosse J4 projetée et une distribution spatiale à travers toute la fosse.

La liste de tous les intervalles, incluant la teneur en soufre de chaque intervalle, est fournie à l'Annexe A. Les données de l'analyse géostatistique sur lesquelles sont basés le choix des échantillons sont aussi présentées.

Des stériles prélevés sur la halde J4 ont été prélevés pour remplir les deux colonnes de 3 m. Les stériles étaient altérés puisqu'ils ont été exposés aux conditions atmosphériques depuis plusieurs années. Les données disponibles présentées dans un rapport de SRK (2011) ont permis de cibler deux emplacements où des tranchées (test pits) avaient été réalisés. La première tranchée se situe à l'endroit du test M4 (identifié dans le rapport de SRK) où des stériles oxydés de couleur

² Les données statistiques ont été évaluées en base logarithmique lors de l'analyse géostatistique, la distribution du soufre suivant une loi log-normale.

brunâtre avaient été observés. Des mesures de pH en pâte à cet endroit indiquaient un pH acide. La seconde tranchée se situe près du test SE6 (identifié dans le rapport de SRK) et ciblait des stériles non-oxydés de couleur gris. Ces emplacements ont été choisis en raison de leur proximité avec l’effluent STP-9.

Pour les essais en cellules humides, quatre échantillons parmi ceux utilisés pour les essais en colonnes de terrain ont été choisis. Les premiers résultats obtenus à partir des essais en colonnes de terrain ont orienté ce choix. Il s’agit des échantillons représentant les colonnes C12, C13, C3 et C7, respectivement utilisés pour les essais nommés Cell1, Cell2, Cell3 et Cell4.

Le tableau 2.1 décrit les échantillons utilisés pour chaque essai.

Tableau 2.1 – Description des échantillons dans les essais de terrain et de laboratoire

Identification de l’essai	Description
C1	Diorite soufre faible (I2J)
C2	Diorite soufre moyen (I2J)
C3	Diorite soufre élevé (I2J)
C4	Diorite bréchifiée soufre faible (I2J;BR)
C5	Diorite bréchifiée soufre moyen (I2J;BR)
C6	Diorite bréchifiée soufre élevé (I2J;BR)
C7	Roches volcaniques indifférenciées soufre élevé (V)
C8	Intrusions felsiques soufre élevé (I1)
C9	Minerai J4 soufre élevé (Ore)
C10	Diorite soufre moyen (I2J)
C11	Diorite bréchifiée soufre moyen (I2J;BR)
C12	Stériles oxydés de la halde J4
C13	Stériles non-oxydés de la halde J4
Cell1	Stériles oxydés de la halde J4 (<i>comme C12</i>)
Cell2	Stériles non-oxydés de la halde J4 (<i>comme C13</i>)
Cell3	Diorite soufre élevé (I2J) (<i>comme C3</i>)
Cell4	Roches volcaniques indifférenciées soufre élevé (V) (<i>comme C7</i>)

2.4. PROTOCOLES D’ESSAIS

Deux types d’essais cinétiques ont été réalisés pour les fins de ce projet de recherche, soit des essais en colonnes installées sur le terrain au site de Troilus et des cellules humides au laboratoire de COALIA.

Les protocoles d’essais ont été préparés par COALIA en collaboration avec l’équipe du projet de recherche. Des documents rédigés par COALIA incluant les protocoles des essais, l’échantillonnage et le détail des travaux de terrain sont joints à l’Annexe B.

2.5. PROGRAMME ANALYTIQUE

Le programme analytique a été préparée par COALIA en collaboration avec l'équipe du projet de recherche. Deux programmes ont été élaborés, soit celui pour les échantillons de roche et celui pour les échantillons d'eau.

2.5.1. Échantillons de roche

Lors du montage des essais en colonnes de terrain, des échantillons de roche ont été prélevés puis envoyés au laboratoire de COALIA. Un échantillon a été pris pour chaque colonne C1 à C11, respectivement identifié E1 à E11. Pour les colonnes C12 et C13, 10 échantillons ont été pris par colonne et sont respectivement nommés de E12-01 à E12-10, et de E13-01 à E13-10. Ainsi, un total de 31 échantillons de roche a été soumis au programme analytique de caractérisation initiale. Celui-ci comportait les analyses suivantes :

- Bilan acide-base, incluant le soufre total, soufre dans les sulfates, soufre dans les sulfures (mesuré et calculé), carbone inorganique, pH en pâte et le potentiel de neutralisation selon la méthode de Sobek originale (Sobek et al., 1978);
- Analyse roche totale par XRF-OM;
- Analyse de la composition chimique (métaux) par ICP-MS suivant une digestion aux 4 acides, un protocole interne de digestion a été développé par COALIA afin d'optimiser la dissolution de la majorité des minéraux.

Les analyses du bilan acide-base ont été réalisées par le laboratoire ALS, l'analyse roche totale et la digestion 4 acides ont été faites par COALIA, et l'analyse ICP-MS par le CRNC-EME. La gestion et le transport des échantillons ont été effectuées par COALIA.

2.5.2. Échantillons d'eau

Le programme analytique des échantillons d'eau est le même pour tous les essais, ainsi que pour le suivi de STP-9. Il se compose de trois parties :

- Terrain : mesures prises sur le terrain avec une sonde multiparamètres Hanna HI 98194 (pH, conductivité, potentiel d'oxydo-réduction, température);
- CNRC-EME : analyse élémentaire par ICP-MS (35 éléments : Ag, Al, As, B, Ba, Be, Bi, Ca, Cd, Co, Cr, Cu, Fe, Hg, K, Li, Mg, Mn, Mo, Na, Ni, P, Pb, S, Sb, Sc, Se, Si, Sn, Sr, Ti, Tl, U, V, Zn);
- Laboratoire H2Lab : acidité, alcalinité, chlorures, fluorures, sulfates (SO₄) et thiosulfates (S₂O₃) (le carbone organique dissous avait été ajouté pour les premiers échantillonnages, mais il a été retiré du programme puisqu'il s'agit d'un paramètre davantage suivi en milieu naturel).

3. PRÉSENTATION DES RÉSULTATS

Les résultats présentés dans cette section ont été obtenus dans quatre différents laboratoires : COALIA, CNRC-EME, H2Lab et ALS. Des mesures de certains paramètres ont aussi été prises sur le terrain lors des prélèvements d'eau par le personnel de Troilus Gold. Tous les résultats ont été compilés et sont présentés dans les tableaux de l'Annexe C. Seuls les laboratoires H2Lab et ALS ont fourni des certificats d'analyse officiels. Étant donné le nombre important de pages que ces certificats représentent, ils ne sont pas joints en annexe.

3.1. CARACTÉRISATION DES ÉCHANTILLONS

La caractérisation chimique des échantillons a permis de confirmer la composition des échantillons pour chacun des essais en colonnes de terrain.

Le soufre (S) est un paramètre important dans ce projet puisque la sélection des échantillons est basée sur la teneur en soufre. À Troilus, le soufre est principalement contenu dans les sulfures. On peut ainsi supposer que le soufre total est représentatif des concentrations en sulfures et donc du potentiel d'acidité. Le tableau 3.1 présente 3 teneurs de soufre (%S) par échantillon :

- le %S ciblé qui correspond au pourcentage obtenu dans l'analyse géostatistique (Annexe A);
- le %S estimé qui a été calculé à l'aide des analyses en soufre pour les intervalles sélectionnés et qui ont été extraites de la base de données de forage d'exploration fournie par Troilus;
- le %S analysé qui correspond à l'analyse en soufre total mesuré lors de la caractérisation.

Les échantillons E12 et E13, provenant des colonnes de 3 m remplies de stériles de J4, ne sont pas présentés puisque les concentrations en soufre ne pouvaient pas être estimées comme pour les échantillons composés de carottes de forage. On peut constater que pour chaque échantillon, les valeurs sont très similaires, ce qui veut dire que la sélection des intervalles et la préparation des échantillons ont été bien effectuées. La classe de %S (faible, moyen, élevé) a aussi pu être confirmée. Les échantillons E2 et E10 ont été formés à partir du même composite (I2J Smoyen) et les %S analysés sont similaires (0,29 et 0,31 %S). Il en est de même pour les échantillons E5 et E11 qui proviennent aussi d'un même composite (I2J;BR Smoyen) avec des résultats de 0,25 et 0,24 %S.

Tableau 3.1 – Concentrations en soufre total des échantillons de futurs stériles

Échantillon	Classe %S	%S ciblé	%S estimé	%S analysé
E1	Faible	0,098	0,09	0,12
E2	Moyen	0,275	0,27	0,29
E3	Élevé	0,776	0,79	0,70
E4	Faible	0,102	0,11	0,11
E5	Moyen	0,275	0,27	0,25
E6	Élevé	0,741	0,74	0,72
E7	Élevé	1,023	1,10	1,01
E8	Élevé	0,457	0,51	0,46
E9	Élevé	1,479	1,48	1,55
E10	Moyen	0,275	0,27	0,31
E11	Moyen	0,275	0,27	0,24

Le graphique de la figure 3.1 montre la distribution des oxydes majeurs et mineurs dans chaque échantillon représentant les stériles dans chaque colonne. Pour les échantillons E12 et E13, des concentrations moyennes ont été calculées à partir des 10 échantillons prélevés par colonne lors du montage des essais de terrain. Les conclusions suivantes peuvent être tirées de ces résultats :

- La composition principale des échantillons est très similaire et est constitué à environ 95% de cinq oxydes : SiO_2 , Al_2O_3 , Fe_2O_3 , CaO et MgO . Seul l'échantillon E8 est légèrement différent puisqu'il contient davantage de SiO_2 et moins de Fe_2O_3 , CaO et MgO . Cela est cohérent puisque cet échantillon représente les unités d'intrusions felsiques.
- Ce type d'analyse ne permet pas de faire la différence entre les roches de diorite (E1 à E6) et les roches volcaniques (E7), ni du minerai (E9) versus les stériles.
- La composition en oxydes des stériles existants est similaire à celle des futurs stériles, à l'exception du Fe_2O_3 qui est plus élevé dans les stériles existants oxydés (E12).
- Les valeurs en Fe_2O_3 les plus élevées ont été mesurées dans les échantillons de minerai (E9) et de stériles existants oxydés (E12). Elles peuvent correspondre à des concentrations en pyrite plus élevées, d'où l'oxydation qui s'est produite dans ces stériles.

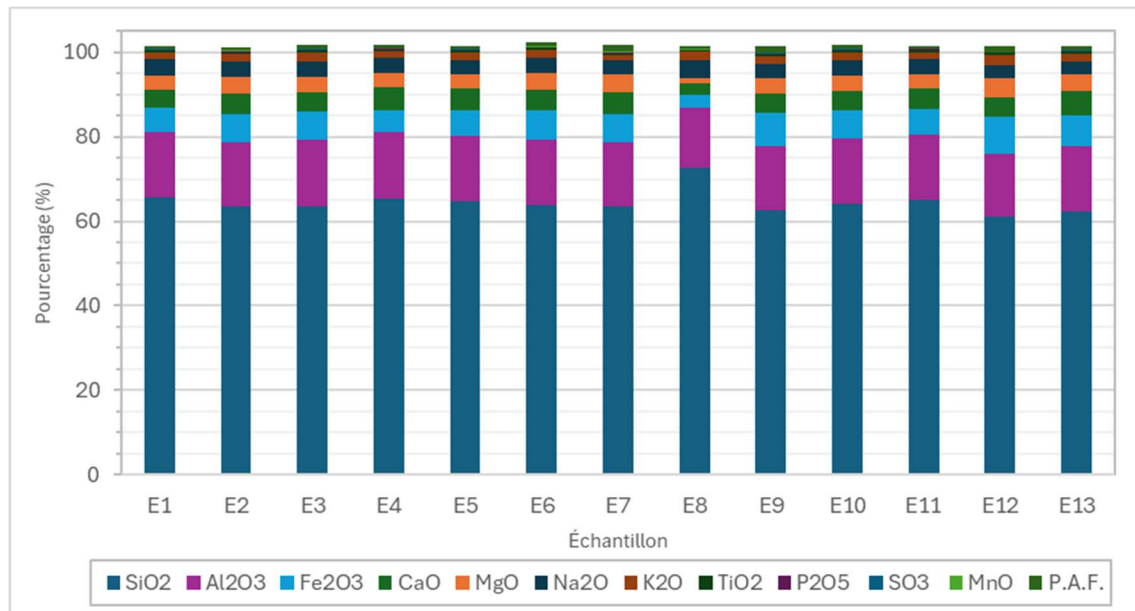


Figure 3.1 – Composition en oxydes majeurs et mineurs des échantillons de stériles futurs et existants

Les figures 3.2 et 3.3 montrent respectivement quelques résultats pour les 10 échantillons de stériles existants oxydés (E12) et ceux non-oxydés (E13). L'échantillon 1 correspond à l'échantillon pris au bas de la colonne, et l'échantillon 10 celui au sommet. Les points suivants ont été observés :

- Les concentrations en soufre sont plus élevées dans les stériles oxydés.
- Il y a un échantillon dans les stériles non-oxydés (E13-09) dont la composition se rapproche davantage des stériles oxydés. Il est probable qu'une certaine quantité de stériles oxydés ait pu se retrouver dans les essais de stériles non-oxydés, et vice versa.
- Le potentiel de neutralisation (PN) mesuré par l'essai de Sobek se situe toujours entre 14 et 24 kg CaCO₃/t, ce qui est relativement faible.
- Les concentrations en carbone (non-montrées sur les figures) sont généralement < 0,05 %. Le calcium (Ca) mesuré n'est donc pas représentatif des carbonates comme la calcite, car les concentrations en Ca sont trop élevées.
- Selon d'autres études géochimiques et minéralogiques réalisées pour le site minier Troilus, le calcium et le sodium (Na) sont principalement contenus dans des plagioclases, un type de silicates. Ces silicates peuvent contribuer au potentiel de neutralisation, mais leur PN ne peut être quantifié par des essais du type Sobek.
- Les concentrations en Ca sont plus élevées dans les stériles non-oxydés.
- Les concentrations en fer (Fe), cuivre (Cu) et argent (Ag) varient beaucoup d'un échantillon à l'autre dans les stériles oxydés. Ces mêmes métaux sont plutôt stables dans les stériles non-oxydés.

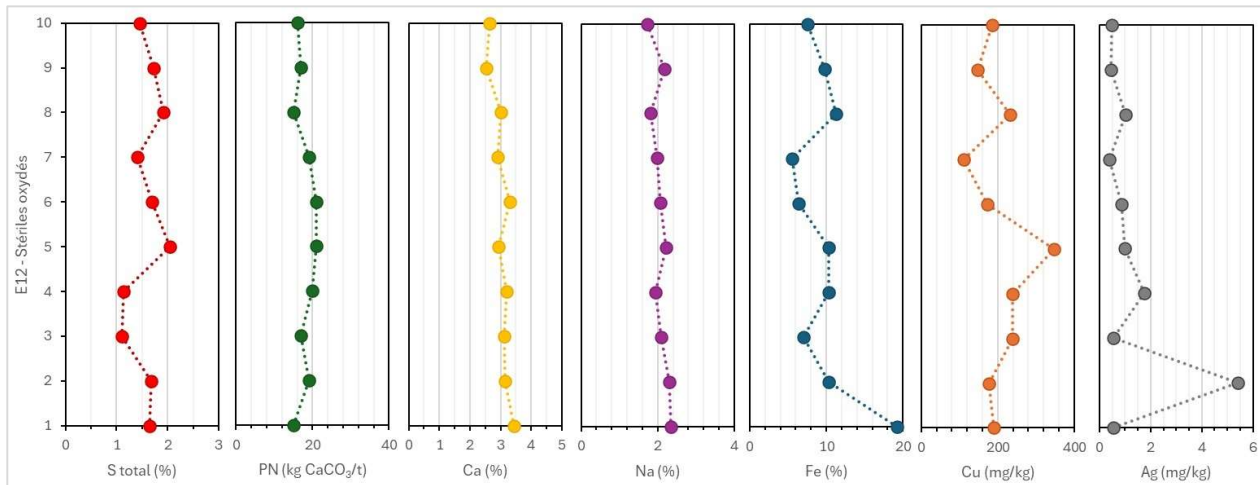


Figure 3.2 – Valeurs de S, PN, Ca, Na, Fe, Cu et Ag dans les échantillons de stériles existants oxydés (E12)

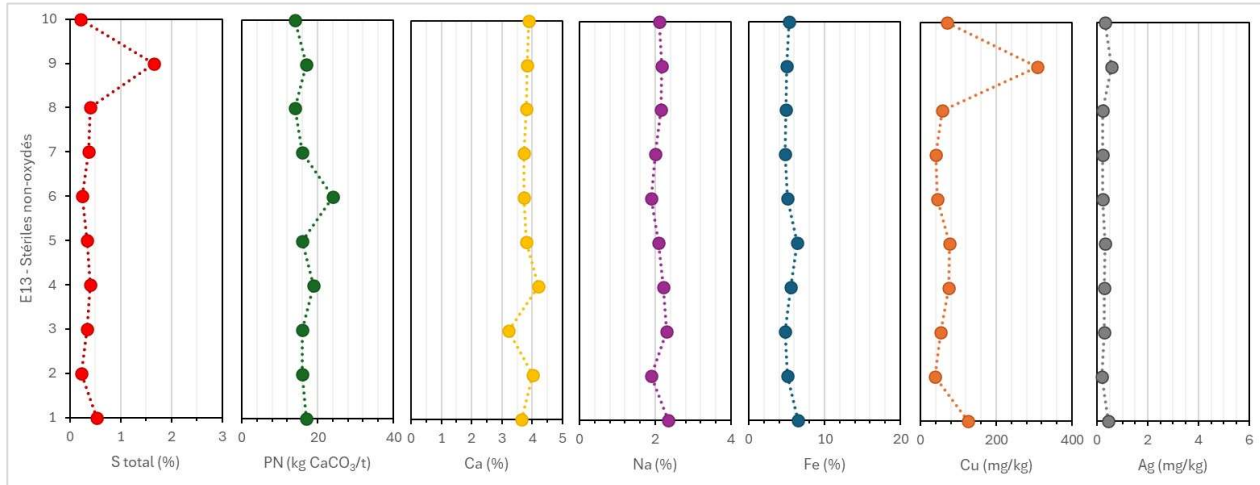


Figure 3.3 – Valeurs de S, PN, Ca, Na, Fe, Cu et Ag dans les échantillons de stériles existants non-oxydés (E13)

L'analyse aux 4 acides et ICP-MS a représenté un défi puisque la digestion était effectuée par l'équipe de COALIA et l'analyse par le CNRC-EME. Lors du premier envoi des laboratoires de COALIA à Thetford Mines vers ceux du CNRC-EME à Ottawa, des précipités s'étaient formés dans les échantillons et le CNRC-EME a dû refaire une digestion. COALIA a refait des tests à partir de différentes masses d'échantillons, et les résultats obtenus à l'ICP-MS pouvaient être très variables. La fiabilité des résultats pour certains éléments est remise en doute, tel que pour le Bi, Hg et Se. Ces éléments ont été détectés à l'échelle de traces, mais ils n'avaient jamais été détectés lors d'études et d'analyses précédentes. L'interprétation de l'analyse en métaux doit donc être faite avec prudence.

3.2. ESSAIS DE TERRAIN

Les essais de terrain se sont déroulés du 14 septembre 2021 au 3 octobre 2023. Un total de 14 échantillonnages d'eau a été réalisé. La recirculation de l'eau de précipitation dans les essais C10 et C11 a débuté au 8^e échantillonnage, soit le 6 octobre 2022. Quelques difficultés ont été rencontrées lors de certains échantillonnages en raison de bris d'équipement (p.ex. des chaudières brisées ou une sonde défectueuse). Des mesures ont rapidement été mises en place par l'équipe de Troilus afin de remédier à la situation. De plus, l'accès au site a été restreint au début de l'été 2023 en raison des feux de forêt qui sévissaient dans la région.

Tous les résultats bruts sont présentés dans les tableaux à l'Annexe C, tandis que les figures ci-dessous excluent certaines valeurs qui ont été retirées en raison de mauvaises manipulations ou calibrations des appareils. Le retrait de ces valeurs est appuyé par le programme d'assurance et de contrôle de la qualité qui a été réalisé.

Les figures 3.4 à 3.7 montrent respectivement l'évolution du pH, des concentrations en calcium (Ca), des concentrations et des charges en sulfates (SO_4^{2-}). Les longues périodes sans échantillonnage correspondent aux périodes hivernales où l'eau était gelée. Les valeurs sont relativement stables en fonction du temps. Pour les colonnes contenant les carottes de forage (futurs stériles), le pH se maintient majoritairement entre 7 et 8. Pour les colonnes contenant les stériles existants de J4, le pH mesuré est de l'ordre de 3,5 pour la colonne contenant des stériles oxydés et entre 6 et 6,5 pour celle contenant les stériles non-oxydés. Les concentrations en sulfates sont plus élevées pour les échantillons d'eau de la colonne contenant les stériles oxydés.

Les colonnes avec des stériles existants de J4 contiennent trois fois plus de roches par rapport à celles contenant des bouts de carottes de forage. Lorsque les concentrations des différents paramètres sont rapportées par rapport à la masse de roche et au volume d'eau (soit en charges), les valeurs sont plus élevées pour les colonnes contenant des carottes de forage. Ceci indique que les carottes libèrent plus de sulfates que les stériles existants même si les concentrations sont moindres. L'analyse de tous les résultats devra tenir compte de cette observation, incluant les conclusions qui seront tirées de la comparaison avec les résultats provenant de la station STP-9.

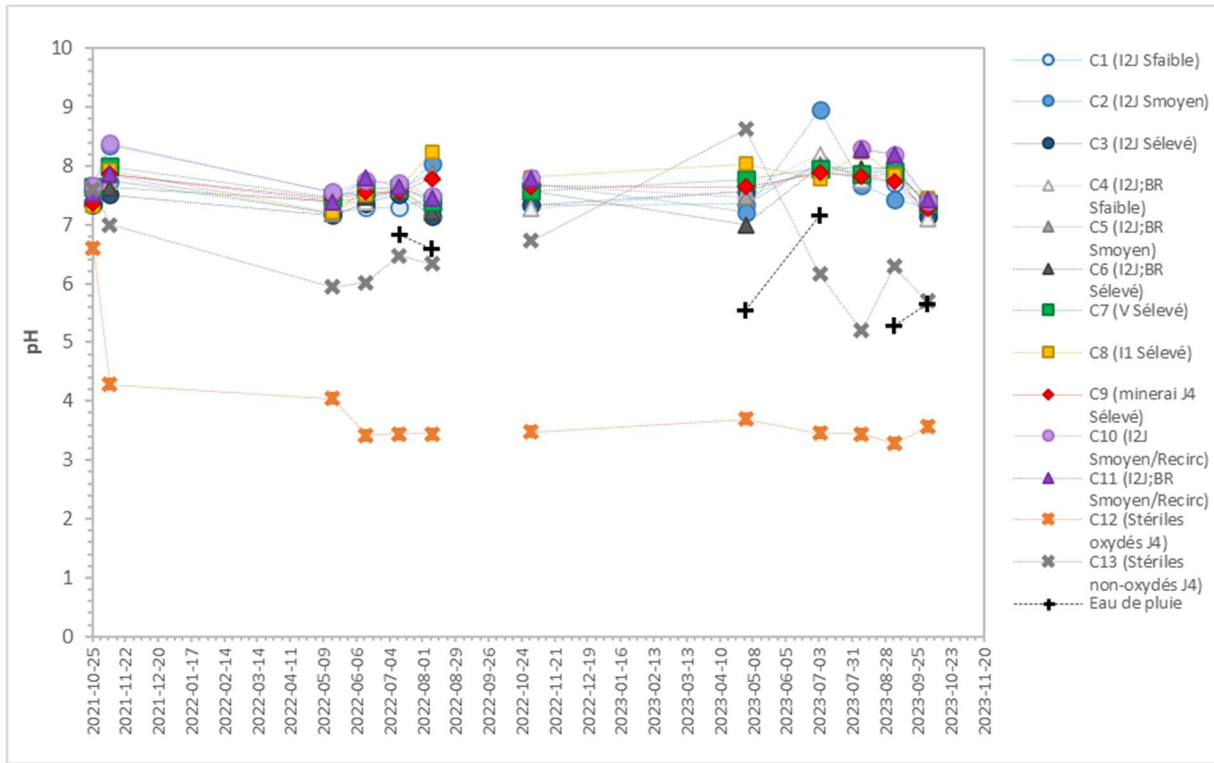


Figure 3.4 – Évolution du pH en fonction du temps (colonnes)

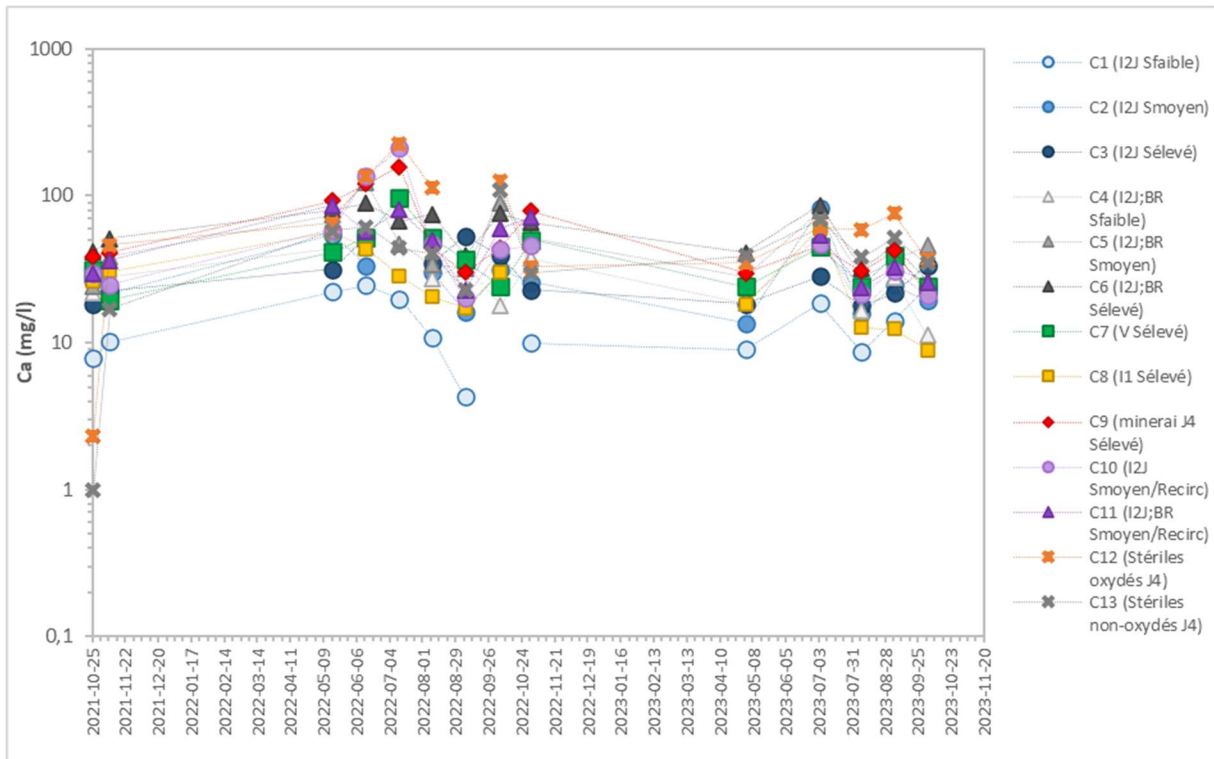


Figure 3.5 – Évolution des concentrations en calcium en fonction du temps (colonnes)

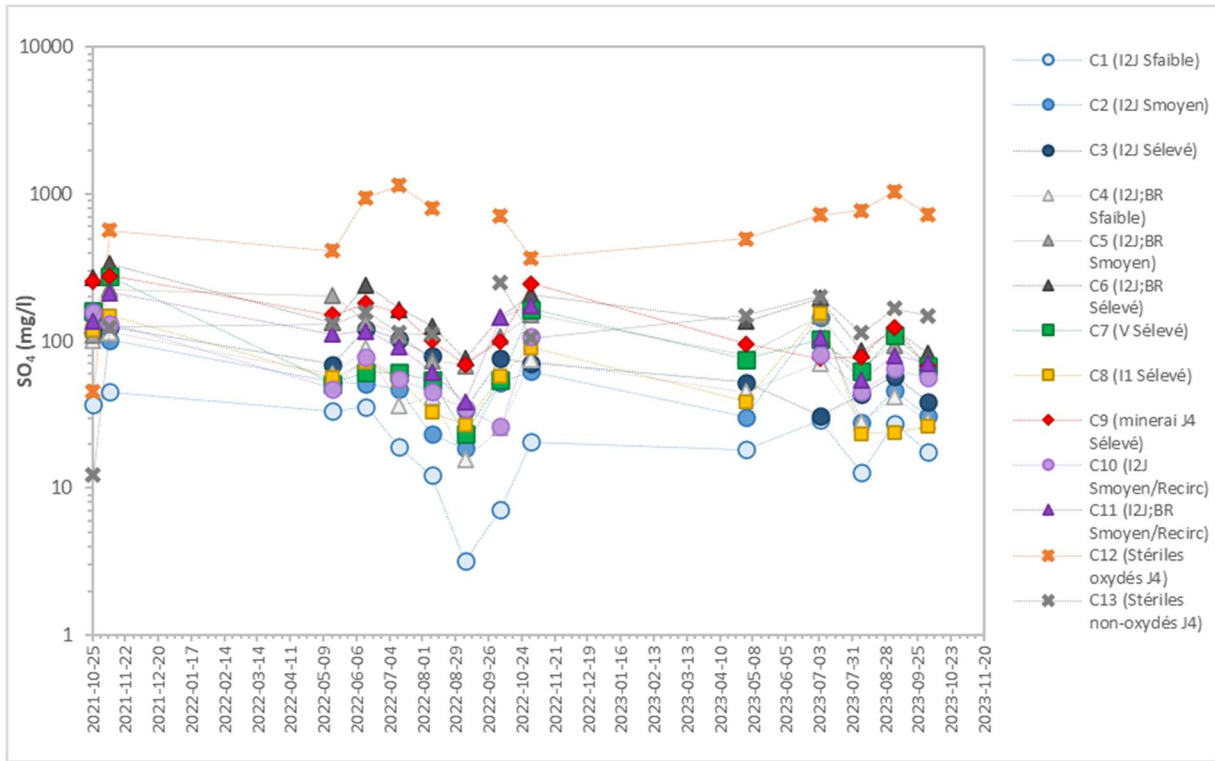


Figure 3.6 – Évolution des concentrations en sulfates en fonction du temps (colonnes)

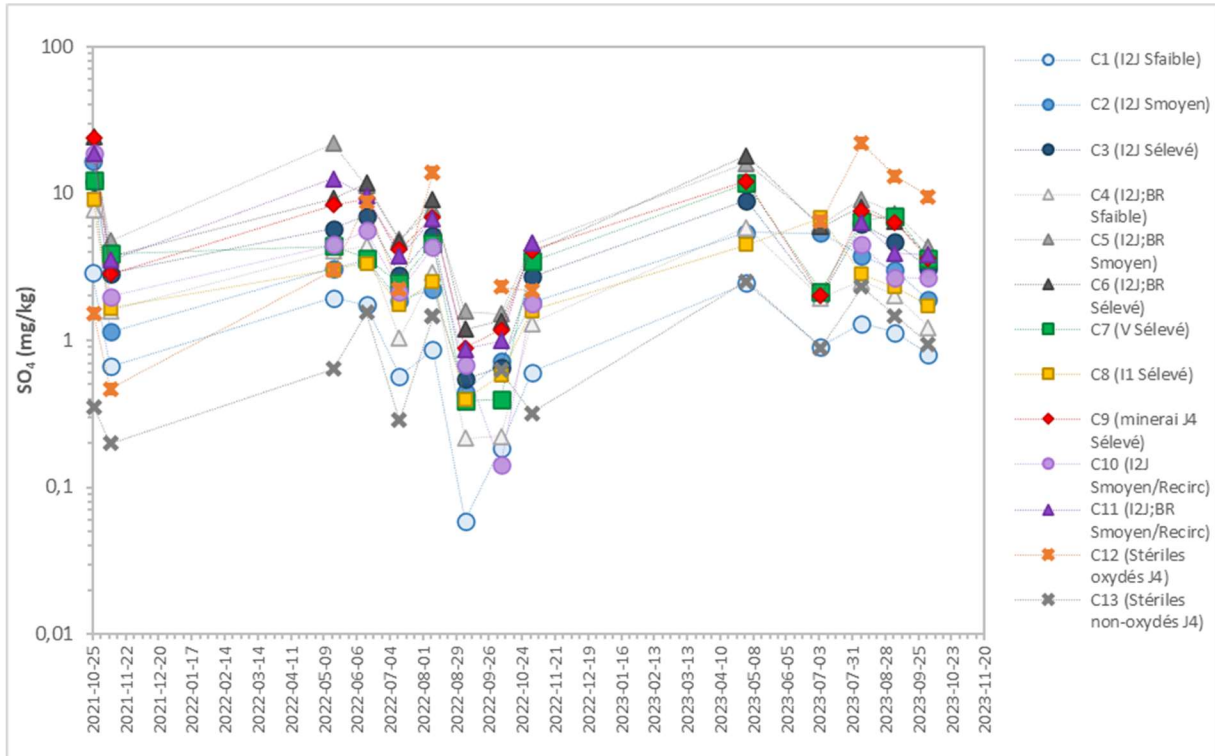


Figure 3.7 – Évolution des charges en sulfates en fonction du temps (colonnes)

La figure 3.8 met en relation l'alcalinité et les sulfates pour toutes les colonnes. On remarque que plus la concentration en sulfates augmente et plus l'alcalinité augmente également ce qui est contre-intuitif. En effet, il semble que l'oxydation des sulfures qui produit des sulfates dans l'eau est associée avec d'autres réactions libérant de l'alcalinité dans l'eau (réactions de neutralisation). Ainsi, plus il y a d'oxydation et plus il y a d'alcalinité. Cela explique pourquoi le pH demeure près de la neutralité même si la concentration en sulfates augmente dans les eaux de lixiviation. En parallèle au projet de recherche actuel, des recherches ont aussi été réalisées sur le potentiel de neutralisation des silicates présents au site Troilus. C'est ce qui explique les résultats observés des colonnes de terrain. La démarche expliquant la neutralisation des silicates fait l'objet de rapports concomitants à celui-ci (MDAG, CRNC) et d'un article scientifique (ICARD 2024).

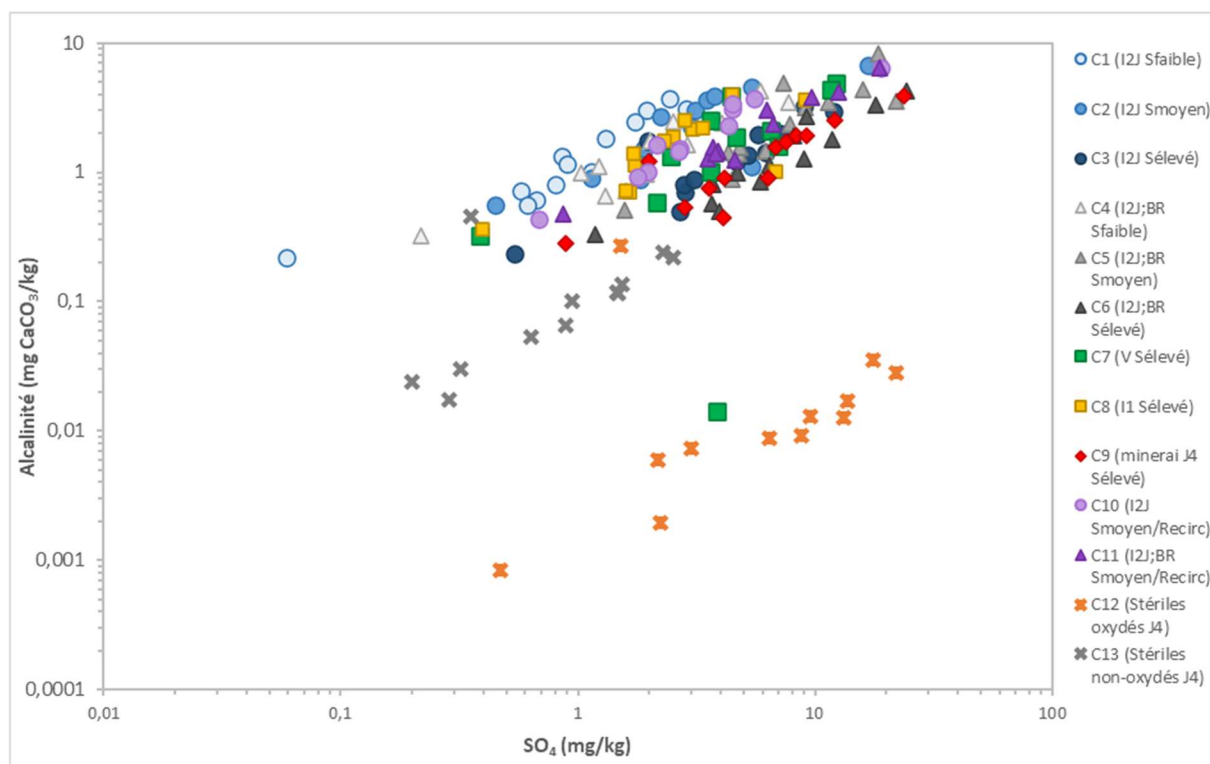


Figure 3.8 – Alcalinité en fonction des sulfates (colonnes)

3.3. SUIVI DE L'EFFLUENT STP-9

L'effluent STP-9 est situé à l'ouest de la halde J4 et il collecte une partie des exfiltrations de la halde. Le rejet de STP-9 se fait dans le ruisseau Bibou. Un suivi régulier est fait à cette station depuis 2009. Les paramètres analysés sont minimalement ceux exigés par le MELCCFP. Troilus effectue maintenant un suivi mensuel à cette station. Dans le cadre du projet de recherche, la fréquence a été augmentée à deux fois par mois entre le 25 octobre 2021 et le 12 décembre 2023. La figure 3.9 montre l'évolution du pH mesuré à la station de l'effluent STP-9 entre ces dates.

Celui-ci se situe entre 6,0 et 7,3. Historiquement, le pH à STP-9 se situe aussi dans un intervalle de pH neutre.

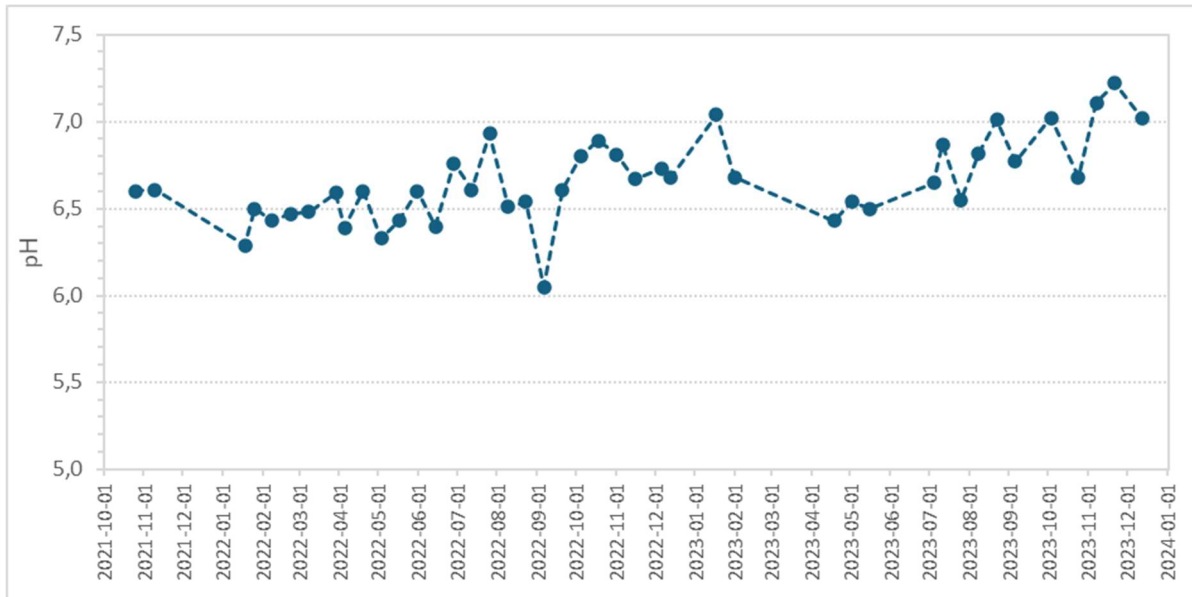


Figure 3.9 – Évolution du pH à l’effluent STP-9

La figure 3.10 présente les concentrations en sulfates à STP-9. Les valeurs les plus faibles ont été mesurées en mai de chaque année, période qui correspond au dégel et aux débits les plus importants. Ainsi, la quantité de sulfates est probablement la même mais la dilution diminue la concentration. On remarque que les concentrations sont beaucoup plus élevées (environ un ordre de grandeur) par rapport à celles mesurées dans les échantillons d’eau provenant des essais de terrain en colonne et pour lesquels les mesures de pH sont similaires. Cela démontre un effet d’échelle (de quantité de roches en contact avec les précipitations) entre les essais en colonne de terrain et la halde de stériles J4.

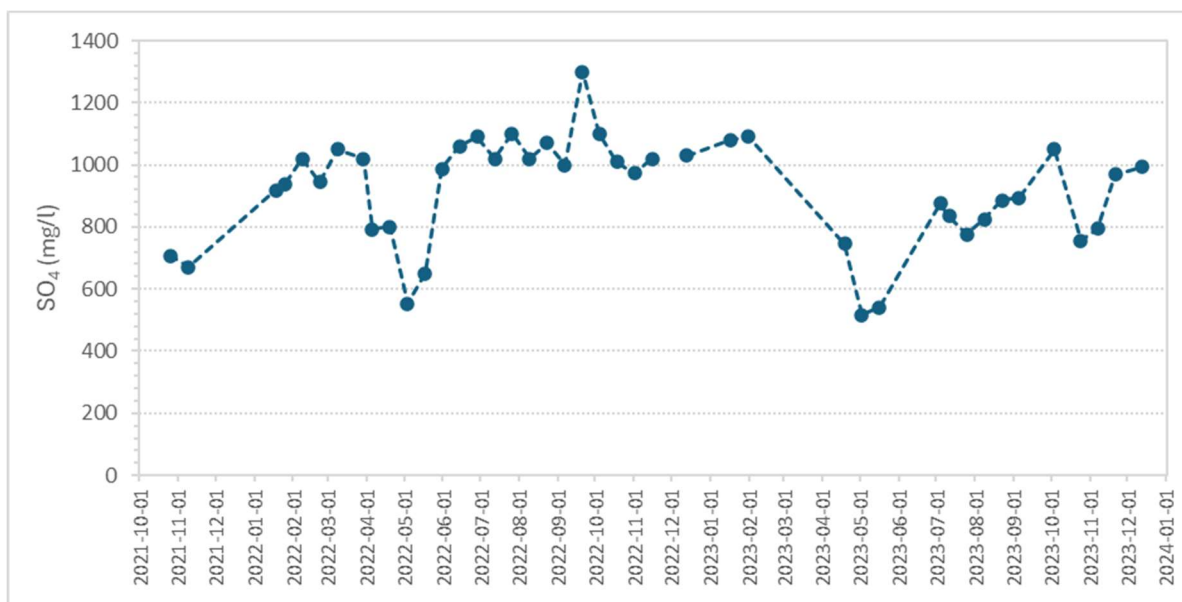


Figure 3.10 – Concentrations en sulfates à l'effluent STP-9

3.4. ESSAIS DE LABORATOIRE

Des essais de laboratoire en cellule humide ont été réalisés avec 4 échantillons provenant des composites obtenus lors du montage des colonnes de terrain. L'objectif des essais en cellule humide était de comparer les résultats obtenus en utilisant différents protocoles. De plus, l'essai en cellule humide suit un protocole normé et il est couramment utilisé en prédiction géochimique malgré certains désavantages. En effet, l'interprétation des résultats de cet essai pris seul n'est pas recommandé afin de prédire la qualité d'eau, par exemple en comparant les concentrations en métaux analysés dans les lixiviats avec des critères de qualité d'eau à cause de la forte dilution qui empêche la précipitation de minéraux secondaires. C'est entre autres pourquoi l'essai en cellule humide n'est pas recommandé pour la prédiction du drainage neutre contaminé.

Les résultats ci-dessous portent seulement sur les essais de laboratoire. La comparaison avec les essais de terrain est présentée plus loin à la section 4. Dans le cas des essais en cellule humide, la présentation des résultats en concentrations (mg/l) ou en charges (mg/kg) ne varie pas beaucoup puisque l'eau de rinçage est de 1000 ml et que l'échantillon a une masse de 1 kg.

Les essais en cellule humide peuvent durer plusieurs semaines, voire des mois et même des années. Lorsque possible, on termine les essais une fois que les résultats sont stabilisés. Dans le cas de Troilus, les essais ont duré 75 semaines pour les cellules 1 et 2 (stériles existants) et 63 semaines pour les cellules 3 et 4 (futurs stériles de diorite avec soufre élevé et de roches volcaniques avec soufre élevé). Étant donné la nature des échantillons de Troilus, c'est sans

surprise qu’il n’y a pas eu d’augmentation ou de diminution importante des paramètres puisque les réactions géochimiques sont très lentes.

Les figures 3.11 à 3.13 montrent respectivement l’évolution du pH, de l’acidité et de l’alcalinité pour les 4 essais en fonction du temps. L’essai Cell1 contenant des stériles existants oxydés donne des pH plus faibles, majoritairement entre 4 et 5. Les trois autres essais ont donné des pH plus neutres, soit entre 6 et 8. Les valeurs d’acidité et d’alcalinité corrèlent avec les pH obtenus, soit une acidité plus élevée pour l’essai Cell1, et des résultats similaires pour les trois autres. Il est bon de rappeler que les concentrations en soufre total initiales sont de 1,58 % pour les stériles existants oxydés (Cell1), 0,47 % pour les stériles existants non-oxydés (Cell2), 0,70 % pour la diorite avec soufre élevé (Cell3) et 1,01 % pour les roches volcaniques avec soufre élevé (Cell4). Donc la concentration en soufre et l’oxydation des sulfures n’est pas l’unique réaction qui contrôle le comportement géochimique des stériles lors des essais cinétiques.

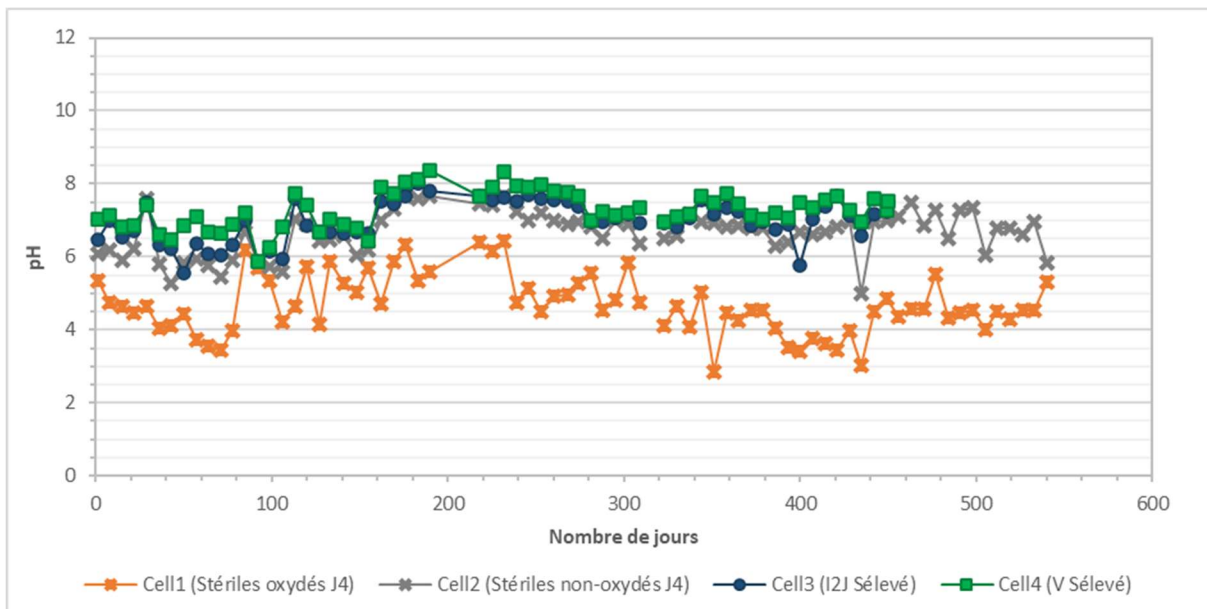


Figure 3.11 – Évolution du pH en fonction du temps (cellule humide)

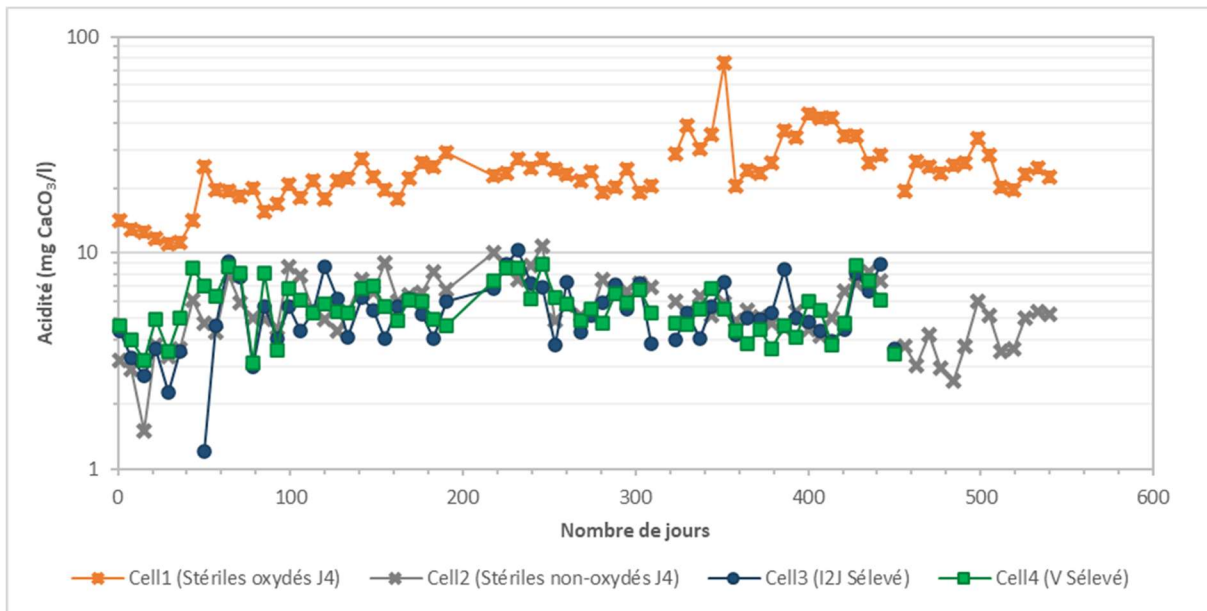


Figure 3.12 – Évolution de l'acidité en fonction du temps (cellule humide)

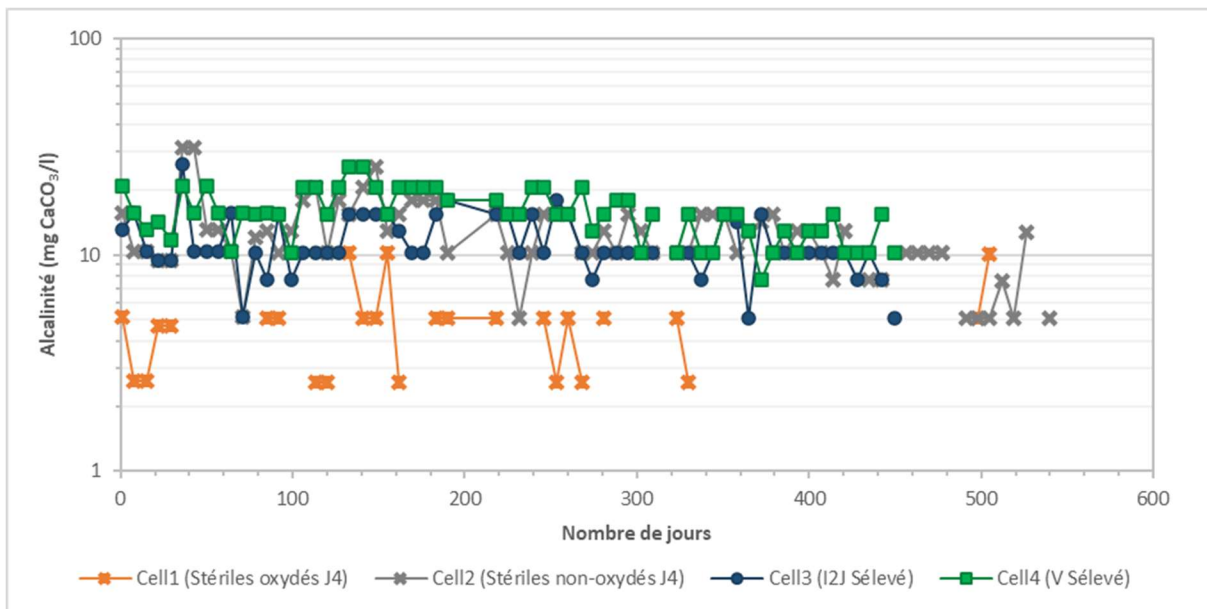


Figure 3.13 – Évolution de l'alcalinité en fonction du temps (cellule humide)

Les figures 3.14 à 3.20 montrent l'évolution des principaux anions (les sulfates) et cations (Al, Ca, Fe, K, Mg et Na). Ces profils servent à calculer le taux de production pour chaque élément, et ainsi fournir des informations sur la réactivité des minéraux. Par exemple, l'essai Cell4 contenant des roches volcaniques donne les concentrations les plus élevées en Ca, signe de la présence de minéraux calciques facilement solubles dans ce type de roche. Il ne faut pas oublier que certains éléments sont plus solubles à certains pH, dont le Fe à pH acide, expliquant ainsi les

concentrations en Fe plus élevées avec l'essai Cell1 (stériles existants oxydés) pour lequel les pH mesurés sont inférieurs à 6.

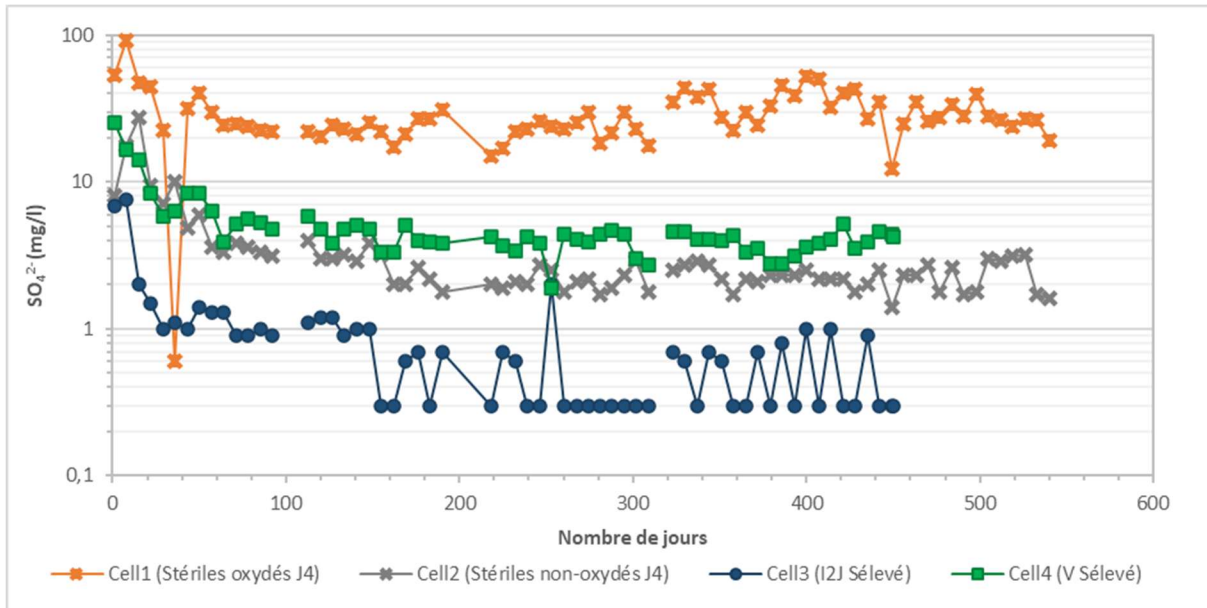


Figure 3.14 – Évolution des concentrations en sulfates en fonction du temps (cellule humide)

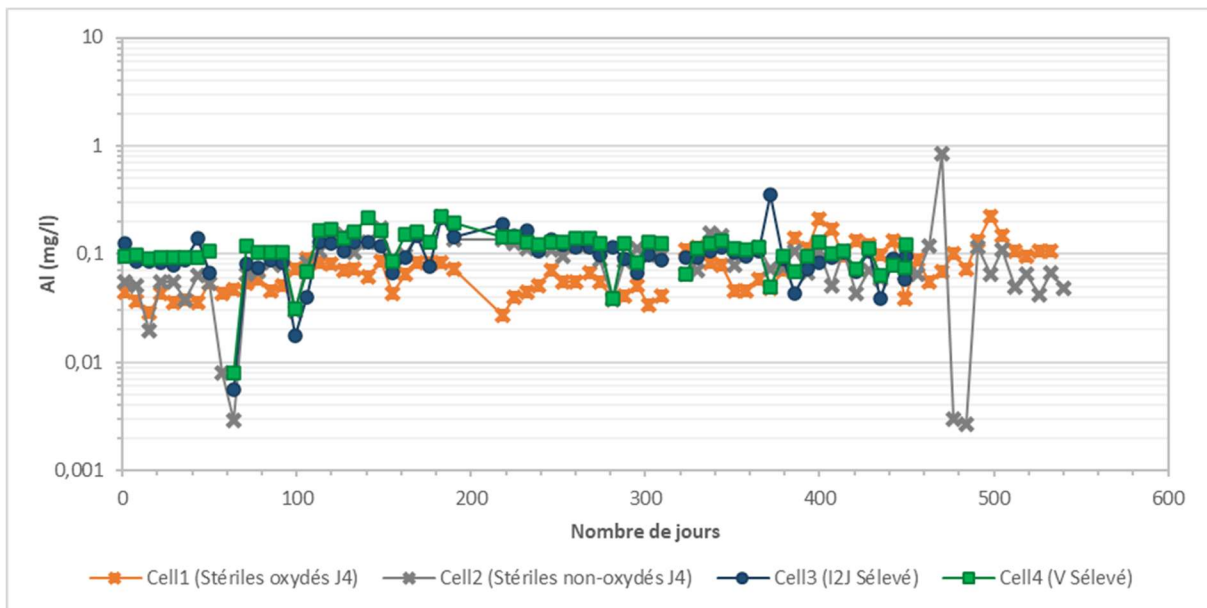


Figure 3.15 – Évolution des concentrations en aluminium en fonction du temps (cellule humide)

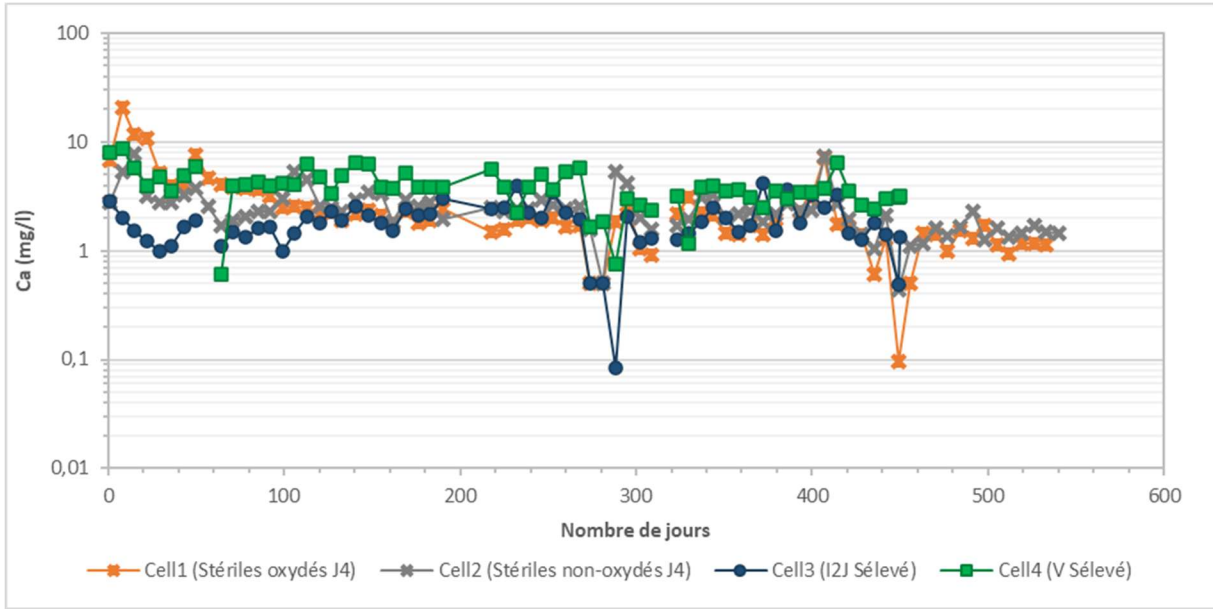


Figure 3.16 – Évolution des concentrations en calcium en fonction du temps (cellule humide)

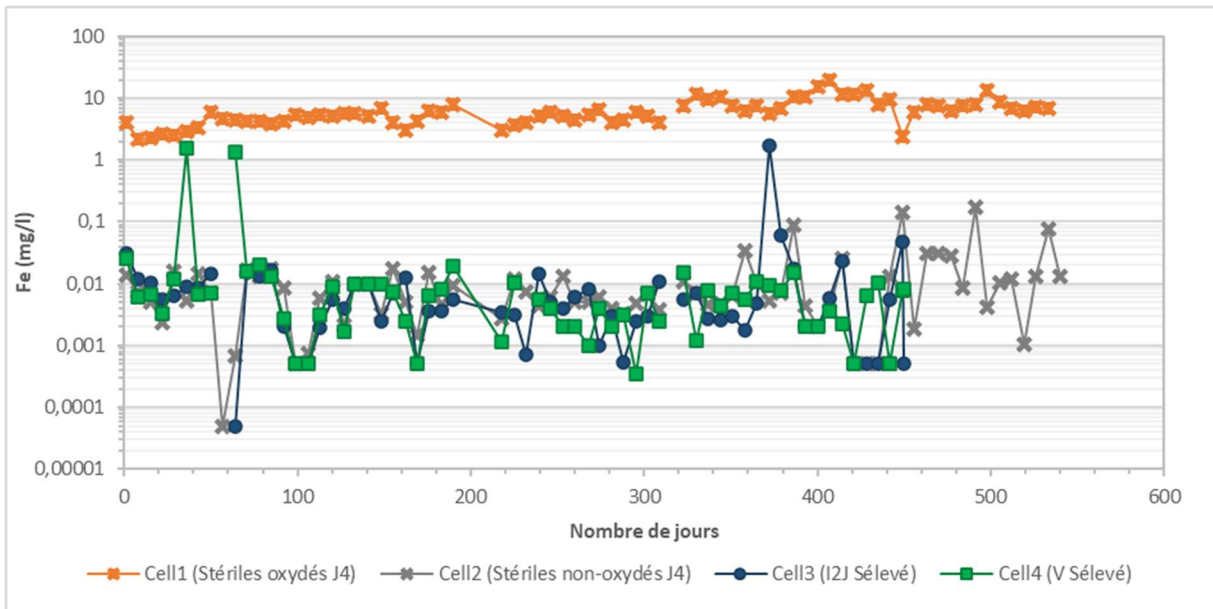


Figure 3.17 – Évolution des concentrations en fer en fonction du temps (cellule humide)

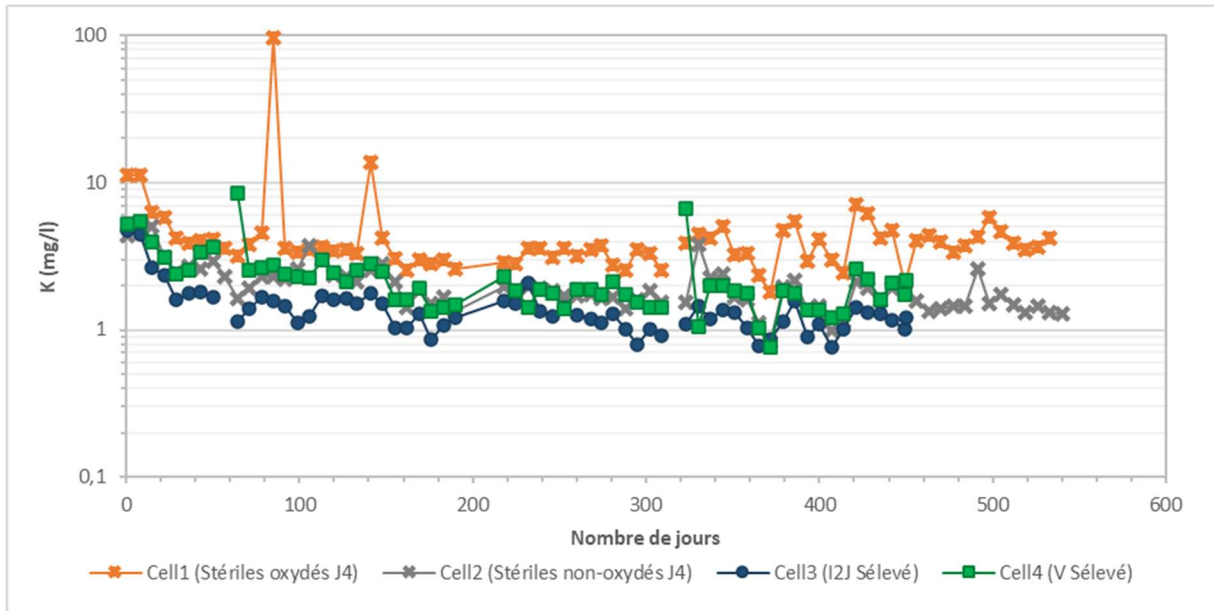


Figure 3.18 – Évolution des concentrations en potassium en fonction du temps (cellule humide)

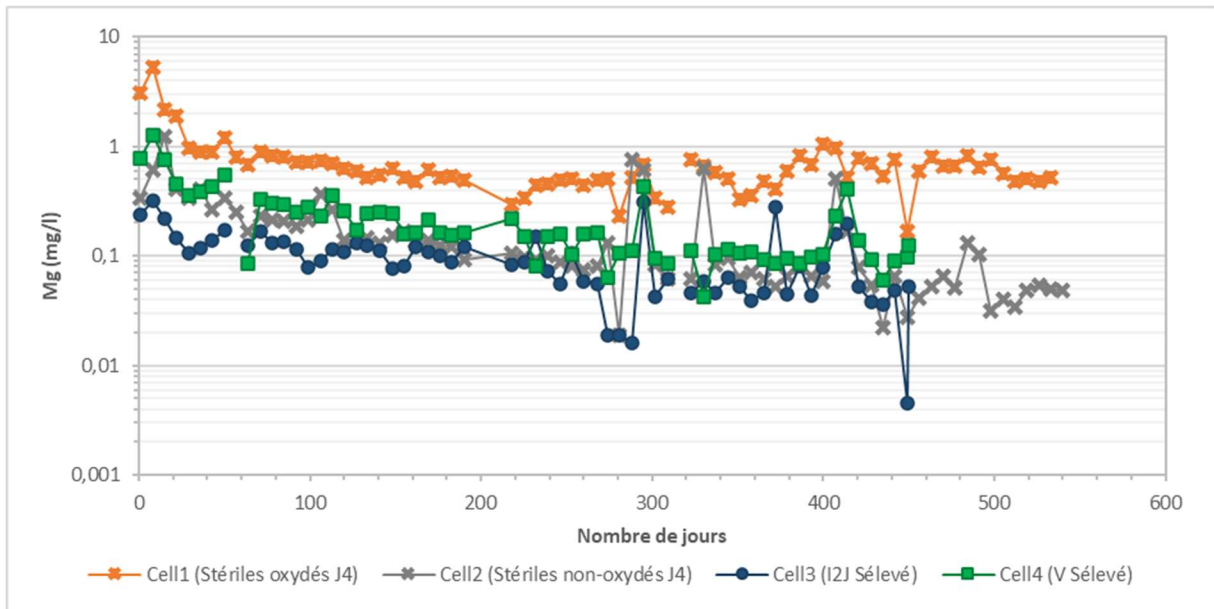


Figure 3.19 – Évolution des concentrations en magnésium en fonction du temps (cellule humide)

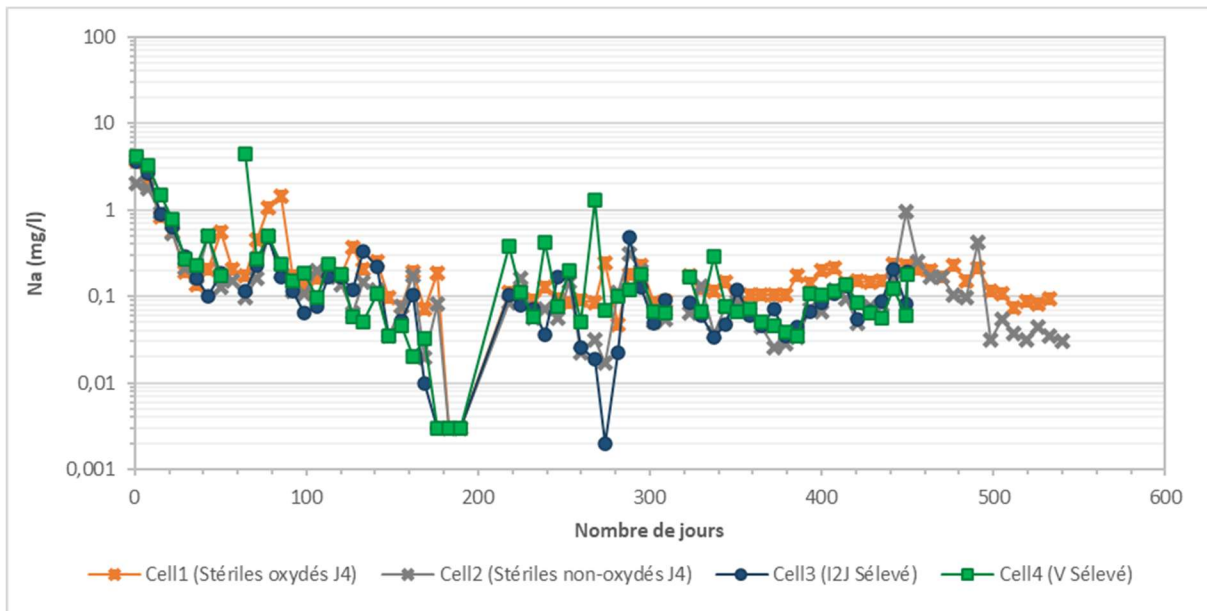


Figure 3.20 – Évolution des concentrations en sodium en fonction du temps (cellule humide)

Un autre objectif des essais en cellule humide est de comprendre les réactions qui contrôlent les concentrations obtenues dans les lixiviats. Par exemple, les concentrations en zinc ont été mises en relation avec le pH, le Eh et les sulfates (figures 3.21 à 3.23). Une corrélation peut être observée entre le zinc et les sulfates pour l'essai Cell1 (stériles existants oxydés) (figure 3.24). Une corrélation similaire a été observée entre le zinc et le fer (figure 3.25), ainsi qu'entre le fer et les sulfates (figure 3.26). On peut ainsi supposer que les concentrations en zinc et en fer dans les lixiviats sont contrôlées par l'oxydation des sulfures. Cela n'est pas le cas pour les autres essais, où la réactivité des échantillons est trop faible pour permettre de telles observations à partir des résultats d'essais en cellule humide.

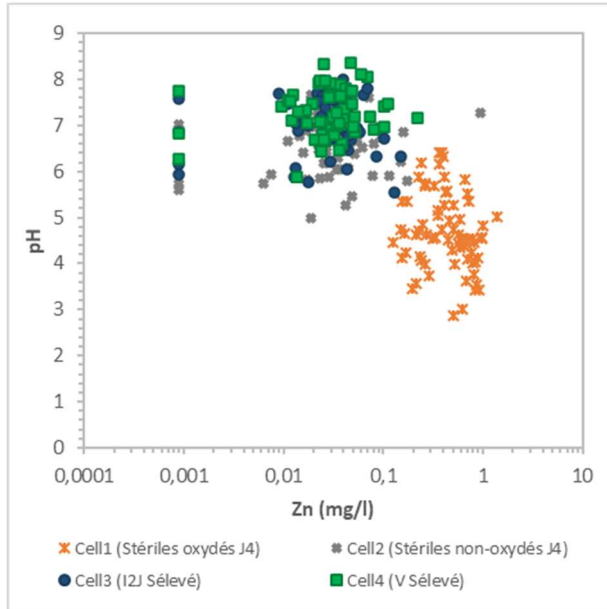


Figure 3.21 – pH en fonction des concentrations en zinc (cellule humide)

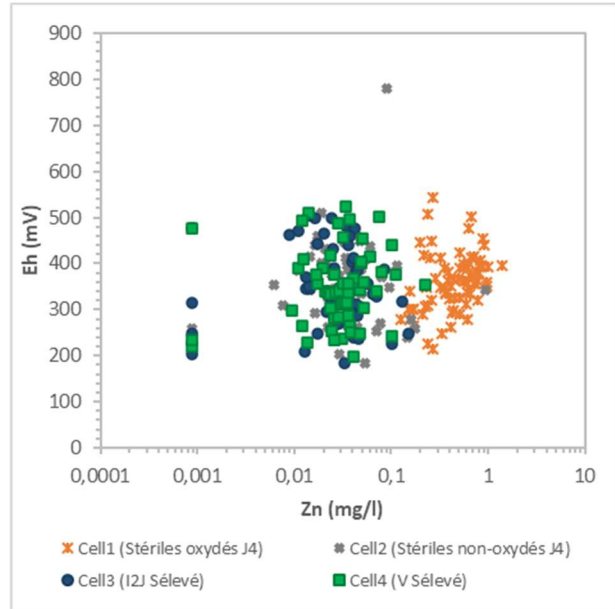


Figure 3.22 – Eh en fonction des concentrations en zinc (cellule humide)

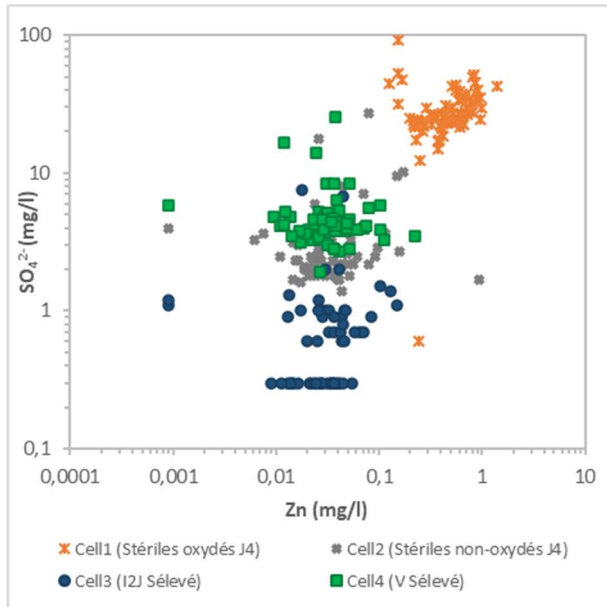


Figure 3.23 – Concentrations en sulfates en fonction des concentrations en zinc (cellule humide)

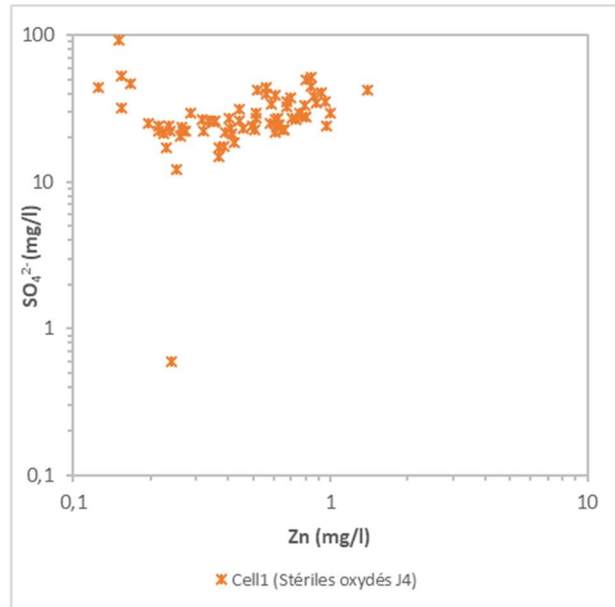


Figure 3.24 – Concentrations en sulfates en fonction des concentrations en zinc pour l'essai Cell1 (cellule humide)

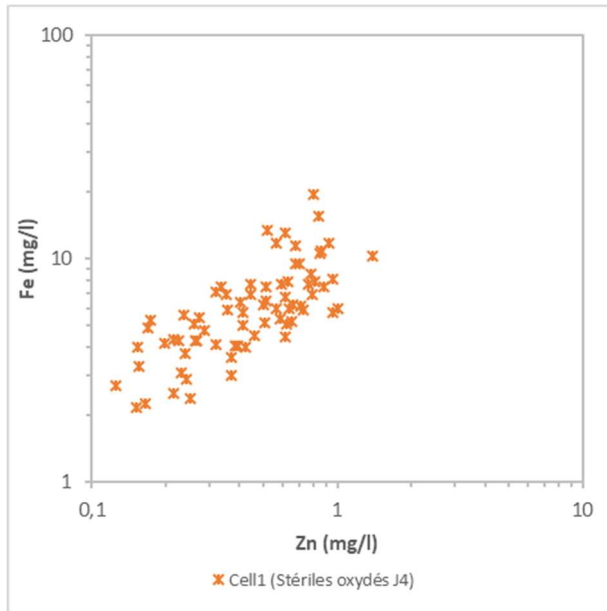


Figure 3.25 – Concentrations en fer en fonction des concentrations en zinc pour l’essai Cell1 (cellule humide)

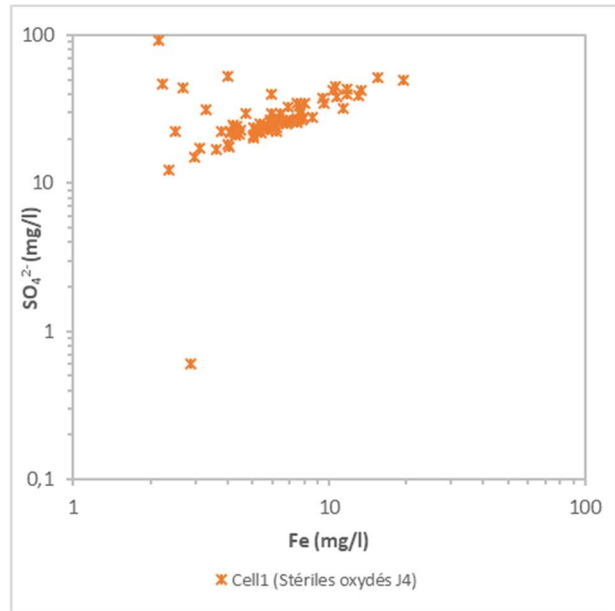


Figure 3.26 – Concentrations en sulfates en fonction des concentrations en fer pour l’essai Cell1 (cellule humide)

À la fin d’un essai cinétique en cellule humide, il est commun de procéder à une lixiviation finale où l’échantillon est agité pendant 24h afin de retirer les précipitations secondaires solubles. On analyse ensuite l’échantillon solide afin de réaliser une caractérisation post-démantèlement. Dans certains cas, on peut observer une diminution de certains paramètres ou éléments chimiques. Toutefois, puisque seulement quelques grammes sont utilisés pour l’analyse, la variabilité intrinsèque des échantillons peut aussi influencer les résultats. Il est rare que le bilan de masse soit exact. Cela peut quand même donner une idée sur la réactivité des échantillons et sur les paramètres ayant été les plus affectés par les multiples rinçages de l’essai cinétique. Le tableau 3.2 présente les résultats pour quelques paramètres.

Tableau 3.2 – Résultats d’analyse pour les échantillons post-démantèlement (cellule humide)

Paramètre	Unité	Cell1		Cell2		Cell3		Cell4	
		Avant	Après	Avant	Après	Avant	Après	Avant	Après
Potentiel de neutralisation (PN)	kg CaCO ₃ /t	18	15	17	17	16	18	18	17
Soufre total	%S	1,58	1,36	0,47	0,31	0,70	0,09	1,01	0,99
Carbone inorganique	%C	<0,05	<0,05	<0,05	<0,05	0,06	<0,05	0,08	0,05

Malheureusement, les résultats obtenus par l’analyse ICP-MS ne sont pas concluants puisqu’il semble y avoir eu des problèmes lors de la digestion (les concentrations sont beaucoup trop faibles pour tous les paramètres). En comparaison, l’analyse de roche totale a donné des résultats

similaires pour la composition des échantillons avant et après l'essai cinétique en cellule humide, ce qui est beaucoup plus probable.

3.5. PROGRAMME D'ASSURANCE ET DE CONTRÔLE DE LA QUALITÉ

Pour tous les essais, des échantillons ont été ajoutés pour le programme interne d'assurance et de contrôle de la qualité (QAQC). Le suivi a été réalisé par COALIA. Lorsque des anomalies majeures étaient détectées, des réanalyses ont été demandées au laboratoire et ont été refaites dans la mesure du possible. Dans certains cas, il a fallu exclure certains résultats. Un blanc intégré lors du 8^e échantillonnage des essais de terrain a donné des résultats supérieurs aux valeurs attendues. Une contamination du blanc est suspectée.

Les données ont été compilées par COALIA puis validées par Lamont. Lors de cette étape de validation, des calculs de balance ionique ont aussi été effectués. Cela a permis de relever quelques anomalies supplémentaires, notamment quant à certains résultats à l'ICP-MS où les résultats en cations étaient beaucoup trop faibles. Les résultats en soufre ont aussi été comparés, c'est-à-dire la somme des sulfates et thiosulfates par chromatographie ionique (H2Lab) et le soufre mesuré par ICP-MS (CNRC). Lorsqu'il y avait divergence des résultats, ceux par chromatographie ionique permettaient d'obtenir une meilleure balance ionique. Les résultats en soufre utilisés sont donc ceux en sulfates et thiosulfates.

Finalement, il est important aussi de mentionner que les résultats à l'ICP-MS ont été présentés à COALIA en utilisant les limites de détection de l'appareil, et non celles de la méthode. Les limites de détection sont ainsi plus faibles, mais des variations pour certains paramètres sont des artefacts qui n'auraient pas dû être relevés avec une limite de détection de la méthode. Puisque les appareils du CNRC sont régulièrement recalibrés et ajustés pour la recherche, les limites de détection variaient à chaque analyse, ou presque, alors il aurait été très fastidieux de retracer les limites de détection de la méthode pour chaque date d'analyse. Les limites de détection de l'appareil telles que présentées initialement ont donc été conservées.

4. INTERPRÉTATION

Le projet de recherche avait pour objectif de tester différentes configurations et protocoles d'essais cinétiques afin de cibler celui le plus adéquat pour le modèle de prédiction géochimique du site minier Troilus. La halde de stériles J4 est un cas particulier pour lequel les méthodes de prédiction géochimique conventionnelles ne fonctionnent pas, tel qu'il est décrit dans les sections précédentes. Plusieurs variantes d'essais ont été testées, dont la recirculation de lixiviats dans certaines colonnes afin de simuler plusieurs fois la hauteur de roches contenues dans la colonne, ou encore le montage de colonnes de 3 m de hauteur permettant d'évaluer si l'effet d'échelle entre les essais en colonne et une halde réelle peut être réduit en augmentant simplement la hauteur de la colonne.

4.1. RECIRCULATION

Les essais de terrain ont été utilisés afin de tester la recirculation des eaux dans deux colonnes. L'idée derrière ce concept est d'approcher, voire atteindre les concentrations maximales en milieu aqueux en faisant circuler la même eau plusieurs fois à travers les roches. Pour réaliser ces tests, deux colonnes ont été remplies avec le même composite de stériles futurs. Il a été choisi de doubler les essais contenant de la diorite avec soufre moyen (C2-C10) et de la diorite bréchifiée avec soufre moyen (C5-C11). Les premiers échantillonnages ont été réalisés sans recirculation afin de valider que les essais donnaient des résultats similaires. La recirculation a débuté au 8^e échantillonnage, soit celui du 10 octobre 2022. Certains échantillonnages avec recirculation sont malencontreusement manquants puisqu'il y a eu des bris d'équipement sur le terrain.

Les figures 4.1 à 4.6 montrent l'évolution de certains paramètres par paire d'essais. Dans la plupart des cas, la recirculation ne montre pas de tendance à la hausse des concentrations. Cette démonstration n'est donc pas très concluante concernant l'ajout de la recirculation pour optimiser la méthode d'essai cinétique.

Une manipulation sur le terrain qui n'était pas prévue au protocole a cependant permis de faire quelques observations intéressantes. Au 13^e échantillonnage (5 septembre 2023), des échantillons d'eau ont été pris avant et après la recirculation dans les essais C10 et C11, et ils ont été envoyés à l'analyse. Les figures 4.7 et 4.8 montrent les résultats obtenus. Puisqu'il s'agit des mêmes essais avec la même quantité d'eau, les concentrations en mg/l sont présentées. On peut observer que pour un même cycle avec le même essai, les concentrations en métaux sont plus élevées après recirculation. Ces métaux sont : argent (Ag), aluminium (Al), baryum (Ba), bismuth (Bi), cadmium (Cd), cobalt (Co), chrome (Cr), cuivre (Cu), fer (Fe), manganèse (Mn), nickel (Ni), plomb (Pb), étain (Sn) et le titane (Ti). Cela suggère ainsi un enrichissement dans l'eau pour ces métaux causé par la recirculation, et donc que les concentrations aqueuses maximales ne sont

pas atteintes avec un seul cycle de circulation à travers 1 m de stériles. Si le test était à refaire, il serait préférable d'échantillonner la même eau plusieurs fois après des cycles de recirculation plutôt que de concevoir des essais dans différentes colonnes.

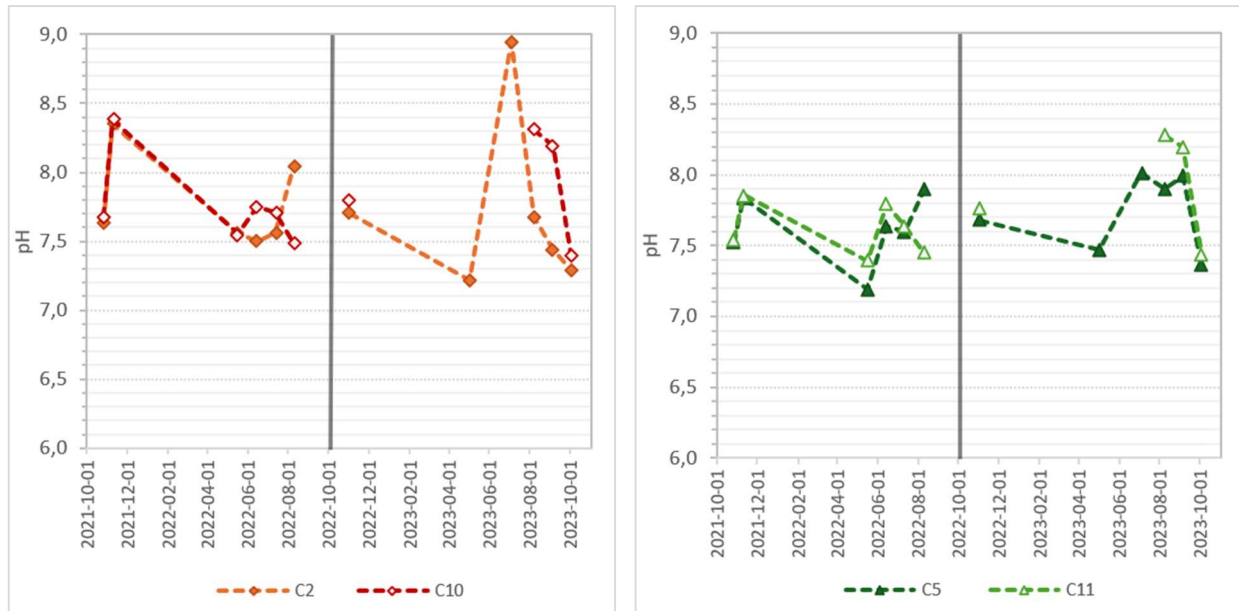


Figure 4.1 – Résultats des essais de recirculation - pH

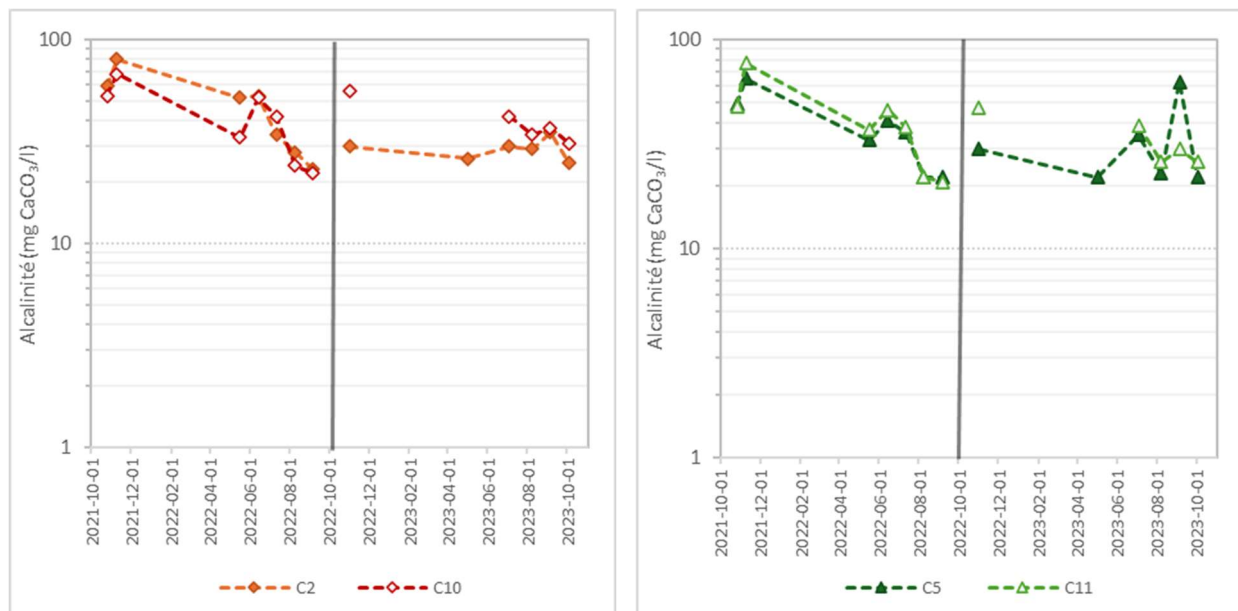


Figure 4.2 – Résultats des essais de recirculation - Alcalinité

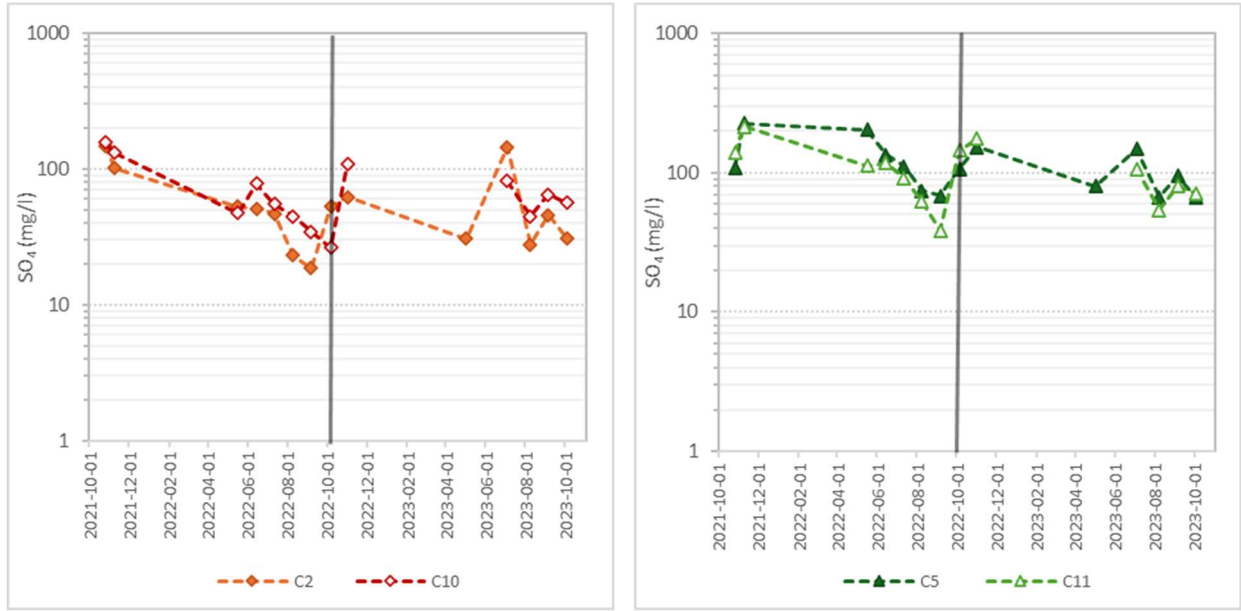


Figure 4.3 – Résultats des essais de recirculation - Sulfates

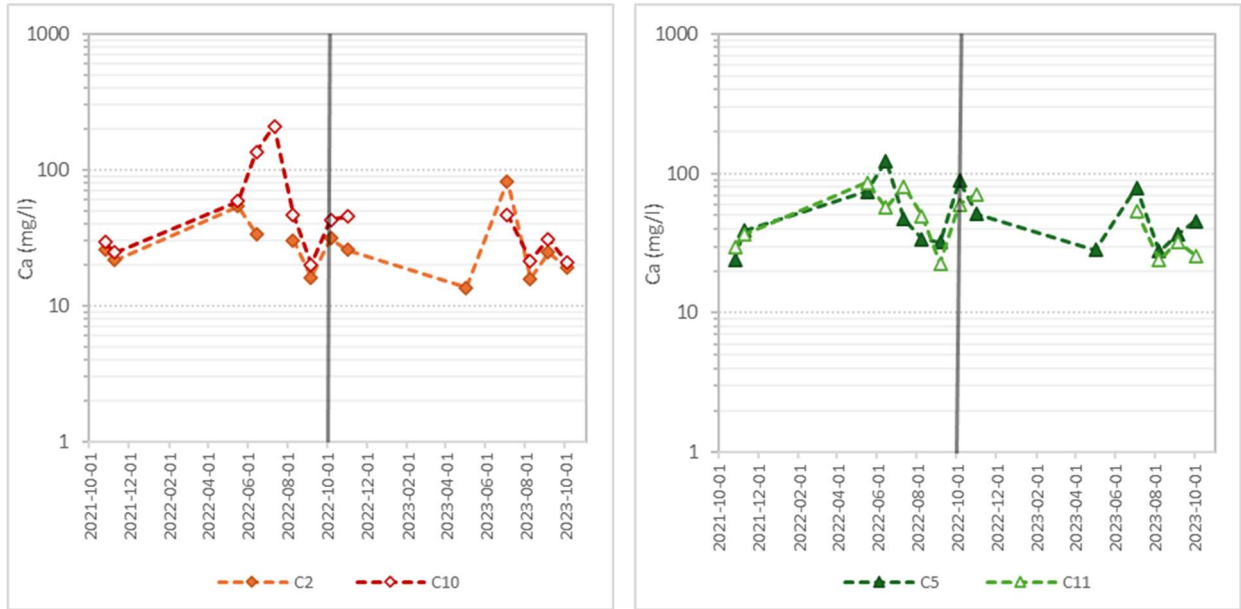


Figure 4.4 – Résultats des essais de recirculation - Calcium

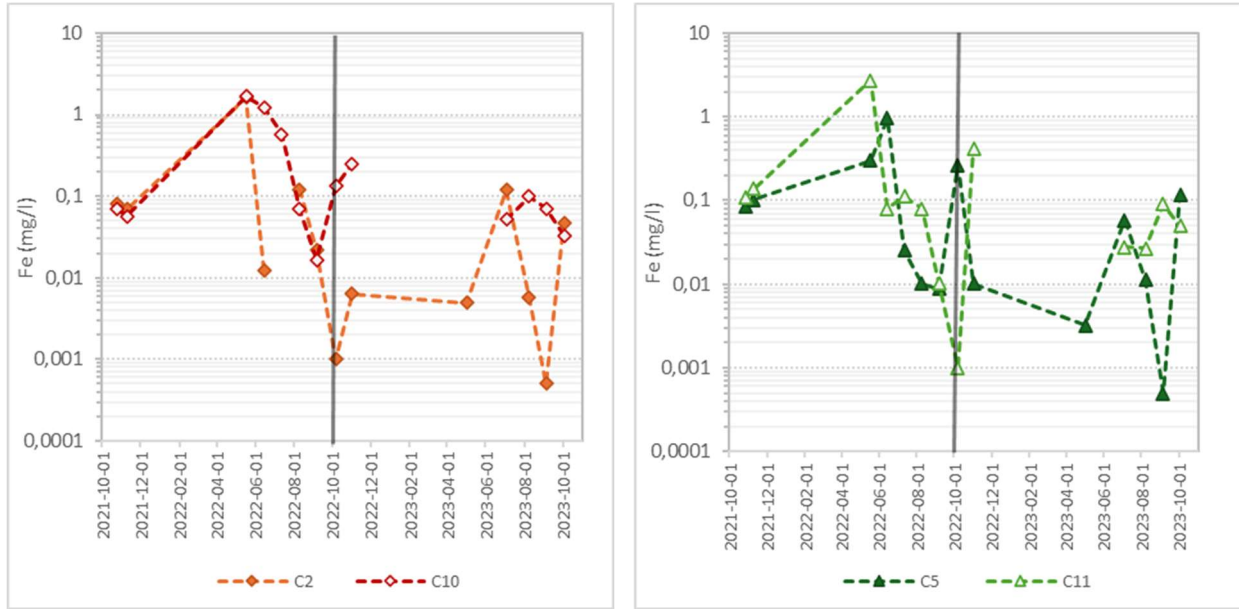


Figure 4.5 – Résultats des essais de recirculation - Fer

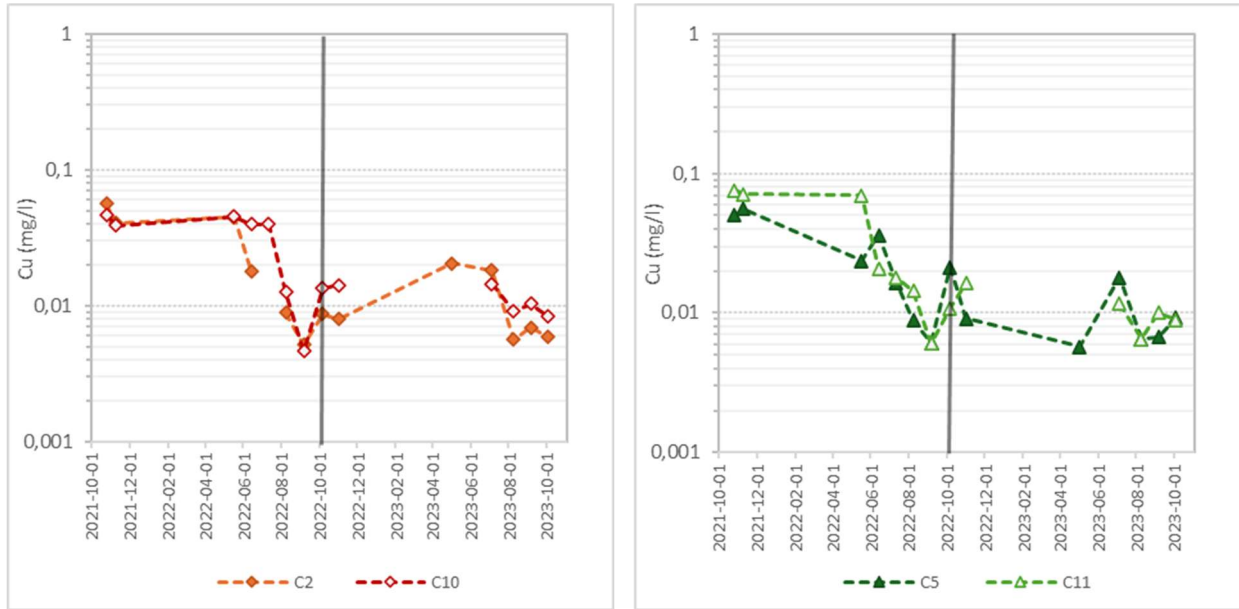


Figure 4.6 – Résultats des essais de recirculation - Cuivre

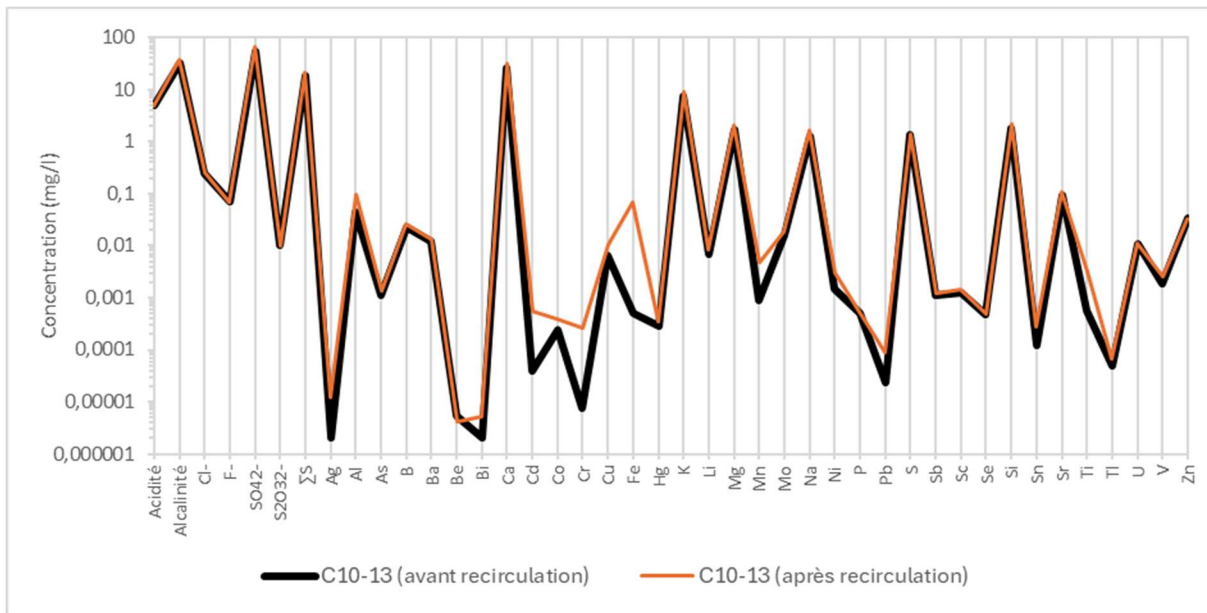


Figure 4.7 – Comparaison des résultats avant et après recirculation (essai C10, échantillonnage #13)

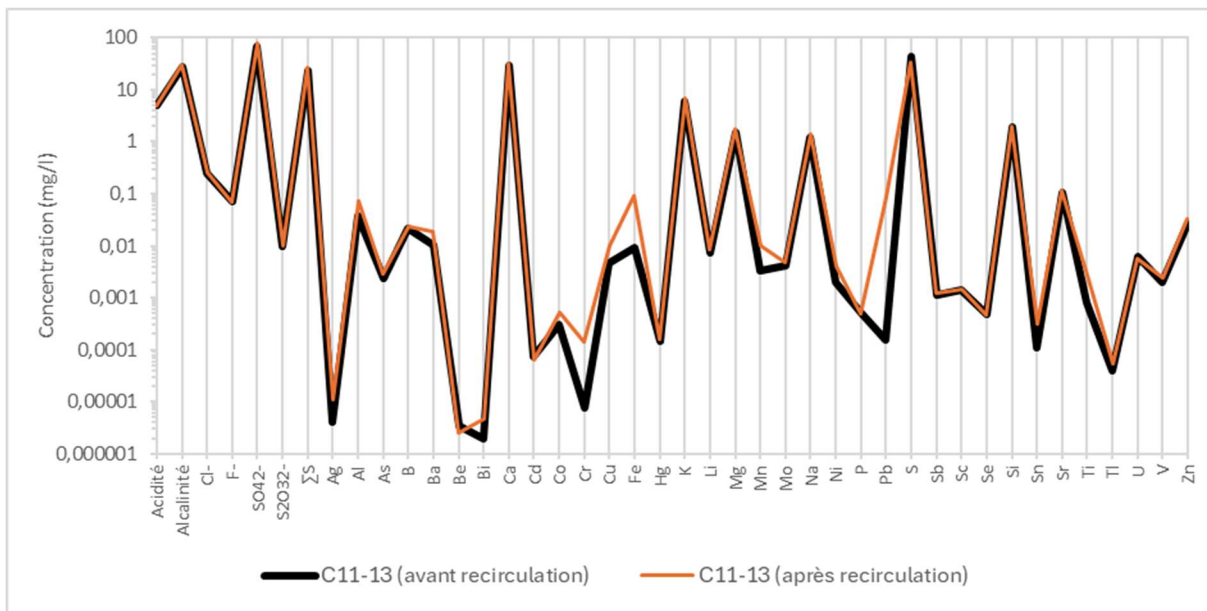


Figure 4.8 – Comparaison des résultats avant et après recirculation (essai C11, échantillonnage #13)

4.2. QUANTITÉ DE STÉRILES ET HAUTEUR DES ESSAIS DE TERRAIN

Afin de permettre la circulation de l'eau à travers une plus grande épaisseur de stériles, les colonnes d'une hauteur de 3 m ont été construites. Ces essais ont permis de tester les effets d'un plus long parcours de l'eau sur la qualité d'eau résultante. En d'autres mots, on peut aussi dire que chaque goutte d'eau a été en contact avec plus de surfaces de stériles lors de son écoulement

dans la colonne. Les grandes colonnes (C12 et C13) ont été remplies avec des stériles existants de la halde J4. Il n'est pas possible de comparer directement avec des essais dans des colonnes de 1 m puisqu'il n'y a pas eu d'essais de terrain de moindre hauteur avec des stériles existants.

On peut tout de même comparer les résultats des essais en colonne de 3 m sur le terrain (≈ 300 kg), et des cellules humides en laboratoire (1 kg). Deux colonnes de 1 m (≈ 100 kg) peuvent aussi être comparées avec des cellules humides. Afin d'uniformiser les résultats en fonction des masses, ceux-ci sont présentés en charges (mg/kg). Les paires d'essais sont :

- Cell1 et C12 : stériles existants oxydés
- Cell2 et C13 : stériles existants non-oxydés
- Cell3 et C3 : futurs stériles de diorite avec soufre élevé
- Cell4 et C7 : futurs stériles de roches volcaniques avec soufre élevé

On ne peut pas parler d'un effet d'échelle proprement dit en fonction de la masse des échantillons, puisque d'autres conditions sont également différentes entre les méthodes d'essais (par exemple : fréquence des rinçages, ratio liquide:solide, cycles de séchage et de mouillage, température et humidité ambiante). Il demeure tout de même intéressant de relever les différences entre les méthodes d'essais pour mieux comprendre les résultats qui sont obtenus, et pourquoi certaines méthodes s'appliquent mieux à la prédiction géochimique selon les objectifs recherchés.

Les figures 4.9 à 4.12 montrent les résultats en sulfates, calcium, fer et cuivre en fonction du pH. Il a été choisi de présenter les données en fonction du pH puisque ce paramètre est relativement stable et similaire pour chaque paire d'essais. Les observations sont variables d'un paramètre et d'une paire d'essais à l'autre. En général, les charges sont plus élevées avec les essais en cellule humide, mais ce n'est pas toujours le cas. Par exemple, les sulfates sont plus élevés dans l'essai de terrain C3 que dans la cellule Cell3. Les différences sont aussi plus grandes pour les paires d'essais incluant une colonne de 3 m. On peut remarquer que les charges en calcium sont similaires pour chaque paire, sauf celles de stériles existants non-oxydés où l'essai de terrain donnent des résultats plus faibles. Il n'y a donc pas de tendance générale s'appliquant à toutes les paires d'essais ou encore à tous les paramètres. Il y a toujours une exception qui suggère qu'il demeure préférable de faire les tests selon différentes méthodes. Il n'est pas possible de substituer une méthode à une autre, même en lui ajoutant un facteur de conversion.

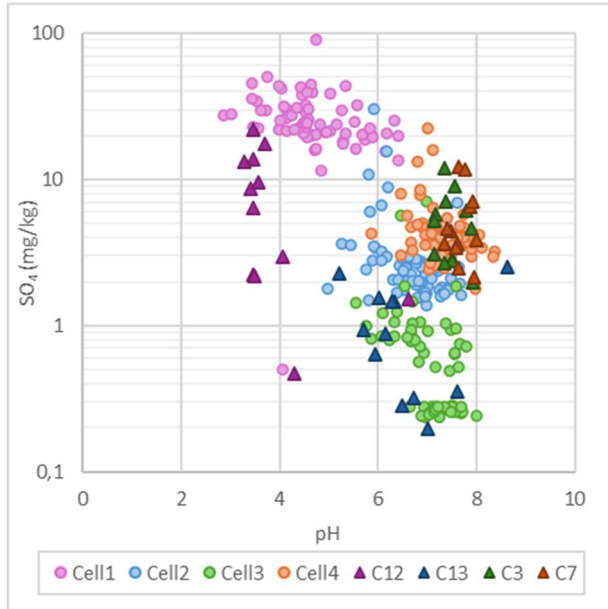


Figure 4.9 – Comparaison des charges en sulfates en fonction du pH (colonnes et cellule humide)

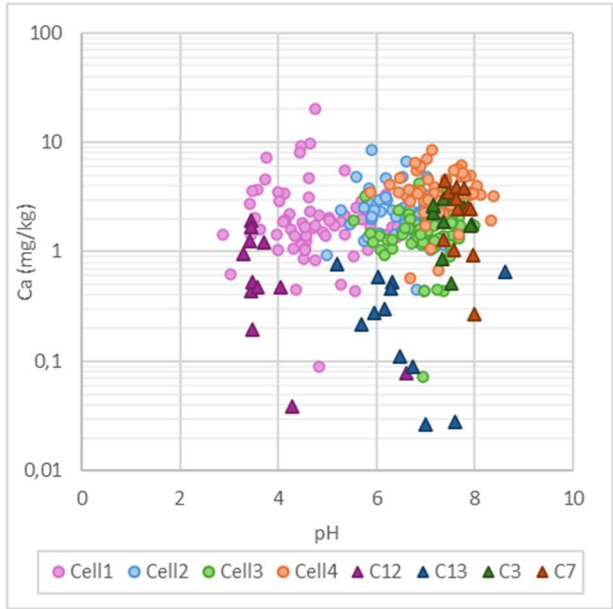


Figure 4.10 – Comparaison des charges en calcium en fonction du pH (colonnes et cellule humide)

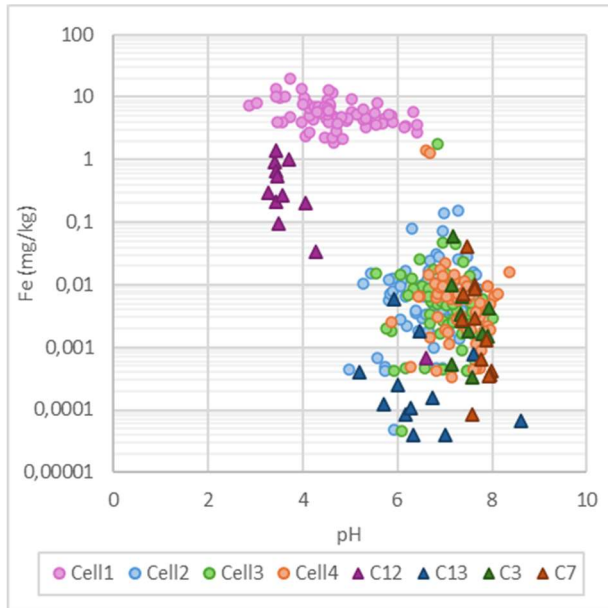


Figure 4.11 – Comparaison des charges en fer en fonction du pH (colonnes et cellule humide)

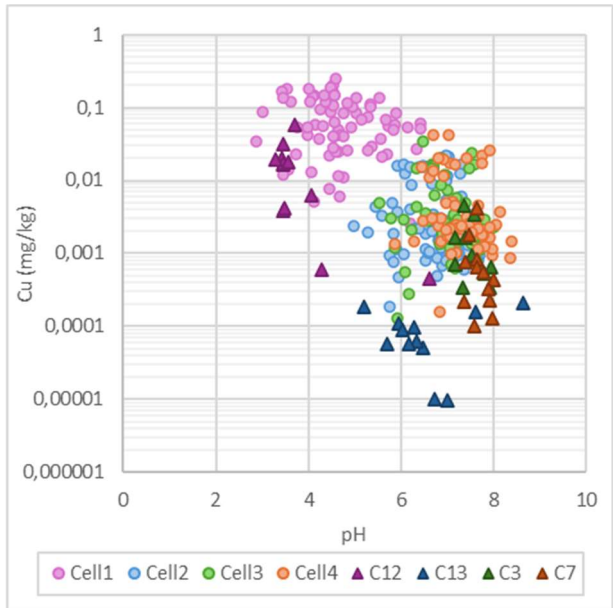


Figure 4.12 – Comparaison des charges en cuivre en fonction du pH (colonnes et cellule humide)

La figure 4.13 montre un exemple où il est crucial de bien maîtriser les données utilisées. Pour tous les essais, une analyse des thiosulfates a été réalisée. Ce paramètre est important dans l'interprétation du drainage minier acide, puisque la présence de thiosels comme les thiosulfates peut libérer de l'acidité supplémentaire dans le milieu récepteur. Dans le cas de Troilus, la présence de thiosels n'est pas un enjeu, mais le paramètre est tout de même inclus dans les suivis environnementaux. Pour les essais dont il est question dans le projet de recherche, les concentrations en thiosulfates (graphique de droite à la figure 4.13) sont faibles, voire négligeables, surtout dans les essais de terrain. Lorsqu'on convertit les concentrations en charges, on retrouve un plancher à environ 0,01 mg/kg pour les cellules humides, ce qui correspond à la moitié de la limite de détection mesurée en concentrations. Toutefois avec les essais de terrain, les valeurs semblent beaucoup plus faibles, mais cela est seulement dû aux calculs qui divisent en fonction de la quantité d'eau et de la masse de l'échantillon puisque la limite de détection de la méthode analytique est la même. Il faut ainsi demeurer prudent dans l'interprétation des données et ne jamais adopter d'approches systématiques.

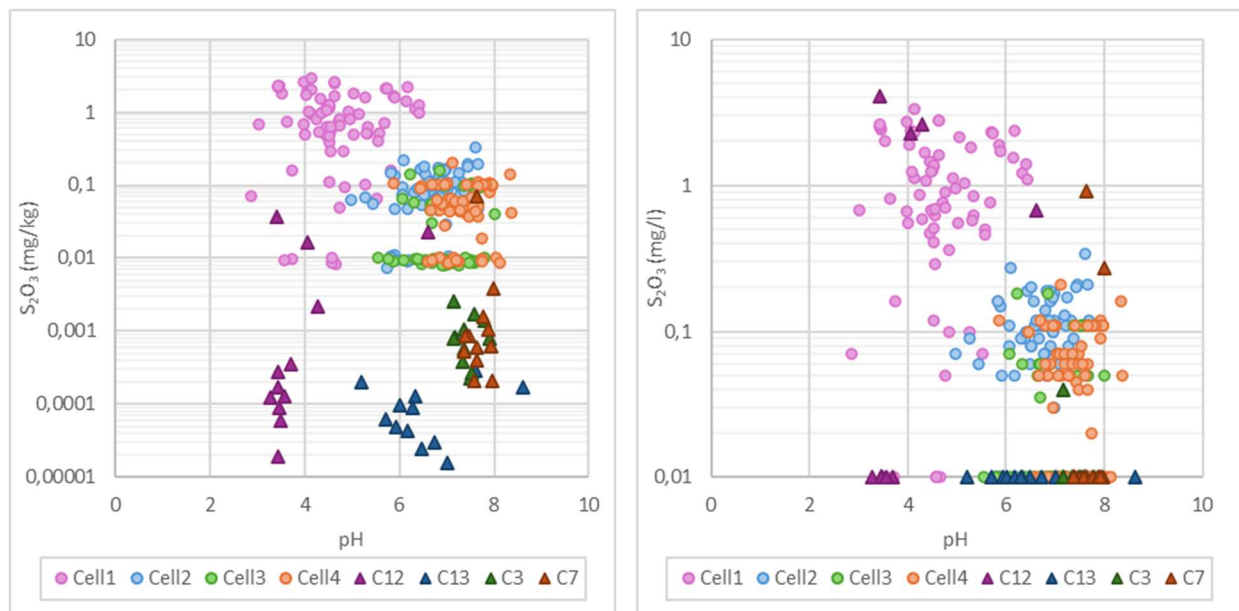


Figure 4.13 – Comparaison des charges et concentrations en thiosulfates (colonnes et cellule humide)

4.3. COMPARAISON AVEC L'EFFLUENT STP-9

Une des problématiques dans la prédiction géochimique du site minier Troilus est la différence entre les prédictions émises dans le passé pour les stériles de la halde J4, et la situation réelle maintenant mesurée au pied de la halde à l'effluent STP-9. Puisque les essais C12 et C13 ont été faits sur des stériles existants de la halde, il est intéressant de comparer ces résultats avec ceux

mesurés à l’effluent STP-9. Les figures 4.14 à 4.19 montrent les résultats d’acidité, d’alcalinité, ainsi que les concentrations en sulfates, calcium, fer et cuivre.

Pour l’acidité, l’alcalinité, et les métaux comme le fer et le cuivre, les résultats de STP-9 sont similaires aux concentrations mesurées dans l’essai C13, c’est-à-dire avec des stériles non-oxydés. Cependant, l’ordre de grandeur pour les valeurs en sulfates et en calcium se rapprochent beaucoup plus de celles de l’essai C12, soit des stériles oxydés, même si le pH n’est pas le même. Ces résultats peuvent aider à identifier les réactions d’équilibres chimiques qui contrôlent le comportement géochimique des stériles de la halde J4. Car bien que les concentrations en sulfates, produits de l’oxydation des sulfures, soient similaires à ceux des stériles oxydés, le pH, l’acidité et l’alcalinité demeurent contrôlés par les stériles non-oxydés.

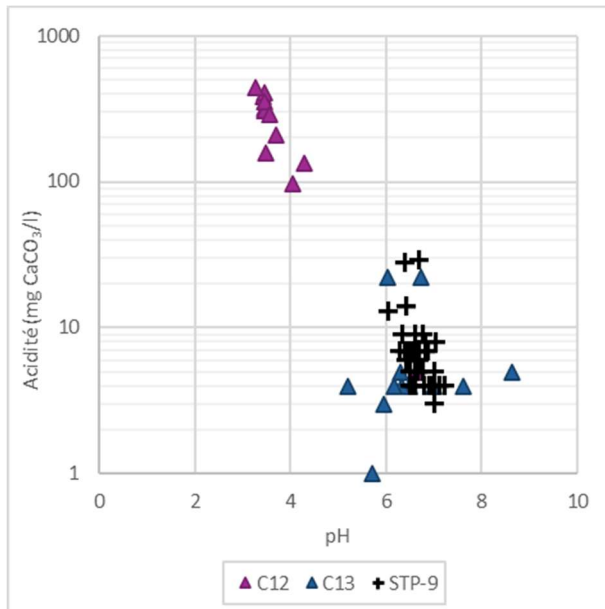


Figure 4.14 – Comparaison des résultats d’acidité (colonnes et STP-9)

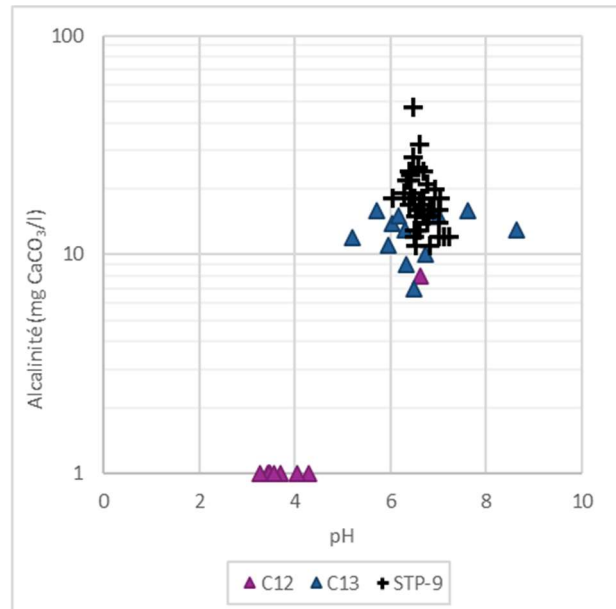


Figure 4.15 – Comparaison des résultats d’alcalinité (colonnes et STP-9)

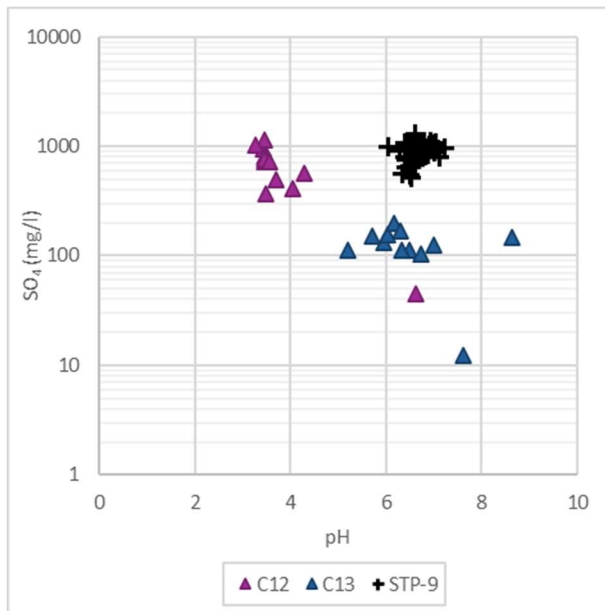


Figure 4.16 – Comparaison des concentrations en sulfates (colonnes et STP-9)

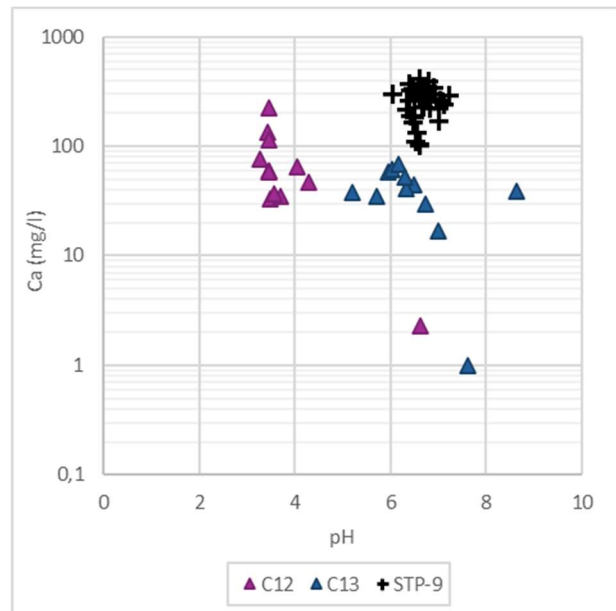


Figure 4.17 – Comparaison des concentrations en calcium (colonnes et STP-9)

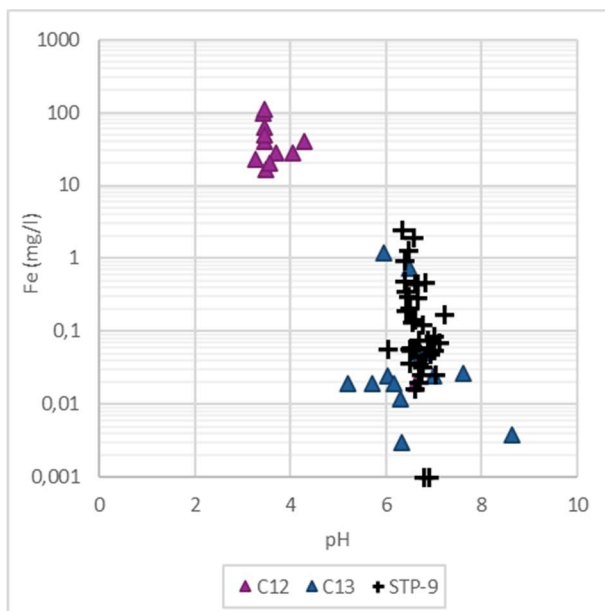


Figure 4.18 – Comparaison des concentrations en fer (colonnes et STP-9)

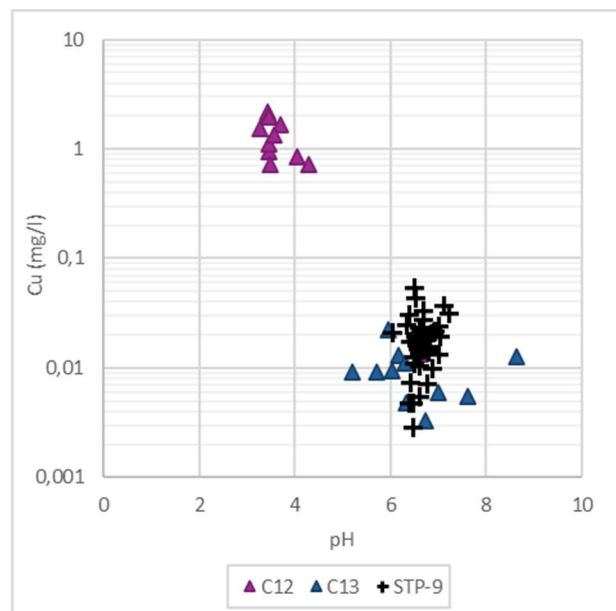


Figure 4.19 – Comparaison des concentrations en cuivre (colonnes et STP-9)

4.4. MODÈLE DE PRÉDICTION DE LA QUALITÉ DES EAUX

L'objectif d'un essai cinétique est de prédire la qualité des eaux provenant d'une aire d'accumulation de rejets miniers en analysant la qualité de l'eau ayant circulé à travers un échantillon solide du rejet à caractériser. Tel que mentionné plusieurs fois dans ce rapport, il ne

suffit pas d'un seul essai ni d'une relation « un-pour-un » pour prédire la qualité du drainage minier. On peut toutefois tenter d'optimiser la méthode d'essai afin que les données soient le plus adéquates possibles. En réalisant ce projet de recherche, il a été constaté que chaque essai était un ajout d'informations pour le modèle de prédiction. Il faut néanmoins bien comprendre les avantages et inconvénients de chacun.

Il n'a pas été démontré hors de tout doute que les concentrations maximales à l'équilibre avaient été atteintes lors des essais sur le terrain. En raison de la complexité de l'élaboration d'un modèle de prédiction géochimique, ce mandat a été confié à MDAG et fera l'objet de rapports distincts qui seront remis à la compagnie.

5. CONCLUSIONS ET RECOMMANDATIONS

Afin d'optimiser sa stratégie de gestion des stériles et des résidus miniers, de cibler les infrastructures de traitement des eaux adéquates et de privilégier une méthode de restauration appropriée, Troilus Gold se doit de réaliser une bonne prédiction de la qualité des eaux qui seront générées lors de l'exploitation de la mine. Le fait que la mine ait déjà été en opération permet d'avoir accès à de nombreuses données sur la qualité de l'eau associée aux stériles déjà en place, en plus de toutes les études de géochimie antérieures. Le contexte de la mine Troilus est particulier puisque que les essais statiques du type « bilan acide-base (ABA) » prédisaient des stériles générateurs d'acide, alors que les mesures de pH prises sur le terrain à l'effluent de la halde sont neutres depuis de nombreuses années. Certaines études ont suggéré un délai de latence avant la génération d'acide, mais ce délai pouvait varier de quelques dizaines à quelques milliers d'années. Il est donc difficile de se baser uniquement sur les essais de prédiction conventionnels afin de bâtir un modèle de prédiction fiable pour le développement du projet.

Un des principaux objectifs du projet de recherche visait à développer différents protocoles d'essais sur le terrain qui permettraient d'identifier et de valider les méthodes de prédiction de la qualité des eaux les mieux adaptées dans le cadre de la mise en valeur du site minier Troilus. Pour cela, des essais de terrain en colonnes ont été modifiés afin d'accroître la longueur du parcours de l'eau en recirculant l'eau dans les colonnes, ou encore en augmentant la hauteur des colonnes et ainsi la masse contenue dans celles-ci. Des essais de laboratoire en cellule humide ont aussi été réalisés afin de comparer les résultats de terrain avec une méthode normée.

Plusieurs données ont été récoltées pendant une période de deux ans. Une fois les données compilées et interprétées, il a été observé qu'en augmentant la hauteur des colonnes pour les essais de terrain ou encore en ajoutant la recirculation de l'eau, les résultats ne furent pas très concluants pour mesurer des concentrations maximales à l'équilibre. La complexité de mise en place et d'opération pour ces essais ne justifie pas leur utilisation dans le cas du site Troilus.

La comparaison des résultats obtenus à partir des essais avec les stériles existants et des analyses réalisées à l'effluent STP-9 situé au pied de la halde est beaucoup plus intéressante. Les mesures à l'effluent sont similaires à l'un ou l'autre des essais selon les paramètres. On se rapproche ainsi des concentrations réellement obtenues sur le site avec les essais de terrain de 3 m. Il a été démontré que les concentrations obtenues lors des essais en cellule humide au laboratoire ne sont pas comparables aux concentrations mesurées sur le terrain, alors ce type d'essai n'est pas recommandé pour prédire la qualité des eaux du site Troilus en utilisant les valeurs brutes de concentrations.

Pour les recommandations, il est encore possible d'améliorer les essais de terrain. Par exemple, la recirculation d'eau peut être testée avec un même essai, et les échantillons peuvent être pris entre chaque recirculation. Il aurait aussi été intéressant de pouvoir comparer les résultats avec une colonne de 1 m et une colonne de 3 m remplies avec les mêmes stériles.

Pour l'instant, il est recommandé que Troilus Gold continue les essais de terrain même si le projet de recherche est terminé. Les données accumulées permettront d'améliorer le modèle de prédiction géochimique. Il sera aussi intéressant de relever si des tendances s'installent au fil du temps avec certains types de lithologies de futurs stériles.

Dans cette optique, il est aussi recommandé de débiter des nouveaux essais de terrain avec des stériles provenant des autres zones du projet Troilus, soit 87-X22 et Sud-Ouest.

Finalement, il serait intéressant d'approfondir la recherche autour des réactions chimiques qui se produisent dans la halde de stériles afin de mieux comprendre pourquoi certains paramètres de l'effluent STP-9 sont similaires aux essais avec stériles oxydés et d'autres aux essais avec stériles non-oxydés.

6. RÉFÉRENCES

Morin K.A., et Hutt, N., 1998. Kinetic tests and Risk Assessment for ARD, Presented at the 5th Annual BC Metal Leaching and ARD Workshop, December 9-10, Vancouver, Canada.

Sobek, A.A., Schuller, W.A., Freeman, J.R. et Smith, R.M., 1978. Field and laboratory methods applicable to overburden and minesoils. EPA 600/2-78-054, 203 pages.

SRK, 2011. J4 Stockpile Geochemical Characterization Results – FINAL. Mémo technique préparé par Kennedy, C. et Day, S. pour Corporation Minière Inmet, 26 avril 2011, 18 pages.

Troilus Gold Corp., 2023. Technical Report and Mineral Resource Estimate on the Troilus Gold-Copper Project, Quebec, Canada. Prepared by AGP Mining Consultants Inc., Mineral Resources Effective Date: 02 October 2023, 343 pages.

Troilus Gold Corp., 2024. Troilus annonce les résultats de l'étude de faisabilité du projet d'or-cuivre Troilus : Présente un projet de mine à ciel ouvert à grande échelle, d'une durée de 22 ans, dans un territoire de premier rang, avec une valeur actualisée nette (van) de 884,5 millions de dollars américains. Communiqué de presse, consulté le 18 juin 2024, <https://fr.troilusgold.com/actualites-et-medias/communiqués-de-presse/troilus-annonce-feasibility-study-results-for-the-gold-copper-troilus-project-outlines-a-large-scale-22-year-open-pit-project-in-tier-one-jurisdiction-with-usd8845-million-npv5>

ANNEXE A

Sélection des échantillons (MDAG)

Troilus Gold

Sampling Plan for the R&D Columns of J4 Waste Rock

5 July 2021

Available Columns

1-m columns: 11

3-m columns: 2

Major Waste-Rock Units in the J4 Zone

Non-brecciated diorite (Unit I2J): 62%

Brecciated diorite (Unit I1J;BR): 16%

Undifferentiated volcanics (Unit V): 7%

Felsic intrusives including granite (Unit I1): 5%

Many others including undefined: 10%

Sulphur Contents and Acid Potentials of Existing and Future J4 Waste Rock

Based on ~25 000 assays of future J4 waste rock and ~100 analyses of existing J4 waste rock, the future waste rock will have less sulphur and Acid Potential on average than existing waste rock. The future J4 pit and waste rock will be much larger than the existing J4 pit and waste rock, and the existing J4 waste rock will be moved during future mining. Therefore, the results of column testing of existing waste rock will not necessarily be representative of future waste-rock geochemistry.

Weight of Rock Needed to Fill the R&D Columns

Calculations indicate approximately 80 kg are needed to fill each 1 m height of column. An additional 15 kg should be retained separately for potential future testing. At least 5 subsamples should be collected as each column is filled.

R&D Columns Filled with Future J4 Waste Rock Taken from Core

Most columns will be operated as “single-pass”, where rainwater is flowing. Some columns will be operated as “recirculating”, where the previous cycle’s water is continuously re-used to rinse the columns. Later, some single-pass columns may be converted to recirculating columns as needed.

Eleven 1-m columns:

- Column J4-C1: Single-pass low-sulphur non-brecciated diorite (Unit I2J)
- Column J4-C2: Single-pass mean-sulphur non-brecciated diorite (Unit I2J)
- Column J4-C3: Single-pass high-sulphur non-brecciated diorite (Unit I2J)
- Column J4-C4: Single-pass low-sulphur brecciated diorite (Unit I2J;BR)
- Column J4-C5: Single-pass mean-sulphur brecciated diorite (Unit I2J;BR)
- Column J4-C6: Single-pass high-sulphur brecciated diorite (Unit I2J;BR)
- Column J4-C7: Single-pass high-sulphur undifferentiated volcanics (Unit V)
- Column J4-C8: Single-pass high-sulphur felsic intrusives (Unit I1)
- Column J4-C9: Single-pass high-sulphur composite J4 ore (composite Ore units)
- Column J4-C10: Recirculating mean-sulphur non-brecciated diorite (Unit I2J)
- Column J4-C11: Recirculating mean-sulphur brecciated diorite (Unit I2J;BR)

These 1-m columns will be filled with recent core of future J4 rock. The core will be quartered, providing roughly 0.5 kg per m interval. As a result, approximately 250 quartered ore intervals will be needed to fill each column and also provide an excess around 20 kg for potential future testing. As each column is filled, at least five separate subsamples should be collected to confirm the geochemical contents of each column.

To fill all 11 columns, 3256 core intervals have been chosen with emphasis on:

- the required rock unit for each column
- the specific total-sulphur level with “high sulphur” being one logarithmic standard deviation above the mean and “low sulphur” being one standard deviation below;
- samples within the planned J4 pit shell.

The 3256 recommended core intervals are listed in “Troilus Gold - J4 Core Intervals for Filling the R&D Columns, 2021-07-08.xlsx”. Sheet “All Combined by Drillhole” contains all 3256 intervals compiled by drillhole and depth, and other sheets contain the intervals by individual

columns. Core intervals should be quartered and collected until each column is filled plus 20 kg excess for potential future testing.

R&D Columns Filled with Existing J4 Waste Rock Taken from the Existing J4 Pile

Two 3-m columns:

Column J4-C12: Recirculating column containing heavily oxidized J4 waste rock appearing like that shown in the photo below taken from Test Pit M4 on the map below.

Column J4-C13: Recirculating column containing relatively unoxidized J4 waste rock appearing like that shown in the photo below taken from Test Pit SW5 but the rock should be taken near Test Pit SE6 on the map below.



Source: \\Tor-svr0.tor.na.srk.ad\mining\Projects\Inmet_Troilus_IC1009.002_J4_Stockpile_MLARD\020_Project_Data\Client\Photos

Figure 2: Photograph of M4 pit. Depth of pit is approximately 5 metres.



Source: \\Tor-svr0.tor.na.srk.ad\mining\Projects\Inmet_Troilus_IC1009.002_J4_Stockpile_MLARD\020_Project_Data\Client\Photos

Figure 3: Photograph of SW5 pit. Depth of pit is approximately 5 metres.



Figure 1: J4 stockpile sampling locations.

Map of test pits in the existing J4 waste-rock pile by SRK (2011).

DDH ID	From	To	For Column	Rock Code	Title	S Final (%)
TLG-ZJ418-054	73	74	J4-C1	I2J; MAS	Diorite 50°; Roche massive	0,09
TLG-ZJ418-054	75	76	J4-C1	I2J; MAS	Diorite 50°; Roche massive	0,09
TLG-ZJ418-054	77	78	J4-C1	I2J; MAS	Diorite 50°; Roche massive	0,09
TLG-ZJ418-054	88	89	J4-C1	I2J; MAS	Diorite 50°; Roche massive	0,09
TLG-ZJ418-054	92	93	J4-C1	I2J; MAS	Diorite 50°; Roche massive	0,1
TLG-ZJ418-054	107	108	J4-C1	I2J; MAS	Diorite 50°; Roche massive	0,09
TLG-ZJ418-056	14	15	J4-C1	I2J; POR; MAS	Diorite 55°; Porphyrique; Roche massive	0,09
TLG-ZJ418-056	24	25	J4-C1	I2J; POR; MAS	Diorite 55°; Porphyrique; Roche massive	0,1
TLG-ZJ418-056	25	26	J4-C1	I2J; POR; MAS	Diorite 55°; Porphyrique; Roche massive	0,09
TLG-ZJ418-056	38	39	J4-C1	I2J; POR; MAS	Diorite 55°; Porphyrique; Roche massive	0,1
TLG-ZJ418-057	26	27	J4-C1	I2J; POR	Diorite 50°; Porphyrique	0,09
TLG-ZJ418-057	34	35	J4-C1	I2J; POR	Diorite 50°; Porphyrique	0,09
TLG-ZJ418-057	244	245	J4-C1	I2J	Diorite 75°	0,1
TLG-ZJ418-057	247	248	J4-C1	I2J	Diorite 75°	0,09
TLG-ZJ418-058	155	156	J4-C1	I2J	Diorite 60°	0,09
TLG-ZJ418-058	158	159	J4-C1	I2J	Diorite 60°	0,09
TLG-ZJ418-058	295	296	J4-C1	I2J	Diorite 77°	0,1
TLG-ZJ418-058	306	307	J4-C1	I2J	Diorite 75°	0,1
TLG-ZJ418-058	309	310	J4-C1	I2J	Diorite 75°	0,1
TLG-ZJ418-058	349	350	J4-C1	I2J	Diorite 60°	0,09
TLG-ZJ418-058	355	356	J4-C1	I2J	Diorite 60°	0,1
TLG-ZJ418-058	356	357	J4-C1	I2J	Diorite 60°	0,09
TLG-ZJ418-058	357	358	J4-C1	I2J	Diorite 60°	0,09
TLG-ZJ418-059	47	48	J4-C1	I2J	Diorite 50°	0,09
TLG-ZJ418-059	49	50	J4-C1	I2J	Diorite 50°	0,1
TLG-ZJ418-059	87	88	J4-C1	I2J	Diorite 65°	0,1
TLG-ZJ418-059	108	109	J4-C1	I2J	Diorite	0,09
TLG-ZJ418-059	128	129	J4-C1	I2J; POR	Diorite; Porphyrique	0,09
TLG-ZJ418-059	245	246	J4-C1	I2J	Diorite 75°	0,1
TLG-ZJ418-059	258	259	J4-C1	I2J	Diorite 75°	0,09
TLG-ZJ418-060	158	159	J4-C1	I2J; MAS	Diorite 45°; Roche massive	0,09
TLG-ZJ418-060	178	179	J4-C1	I2J; MAS	Diorite 45°; Roche massive	0,09
TLG-ZJ418-060	179	180	J4-C1	I2J; MAS	Diorite 45°; Roche massive	0,1
TLG-ZJ418-060	190	191	J4-C1	I2J; MAS	Diorite 45°; Roche massive	0,09
TLG-ZJ418-060	193	194	J4-C1	I2J; MAS	Diorite 45°; Roche massive	0,09
TLG-ZJ418-060	285	286	J4-C1	I2J; MAS	Diorite; Roche massive	0,1
TLG-ZJ418-060	313	314	J4-C1	I2J; MAS; LAM	Diorite; Roche massive; Laminations parallèles	0,1
TLG-ZJ418-060	314	315	J4-C1	I2J; MAS; LAM	Diorite; Roche massive; Laminations parallèles	0,09
TLG-ZJ418-060	315	316	J4-C1	I2J; MAS; LAM	Diorite; Roche massive; Laminations parallèles	0,1
TLG-ZJ418-061	128	129	J4-C1	I2J; POR	Diorite; Porphyrique	0,09
TLG-ZJ418-061	155	156	J4-C1	I2J; POR	Diorite; Porphyrique	0,09
TLG-ZJ418-061	188	189	J4-C1	I2J; POR	Diorite; Porphyrique	0,09
TLG-ZJ418-061	201	202	J4-C1	I2J; POR	Diorite; Porphyrique	0,09
TLG-ZJ418-061	273	274	J4-C1	I2J; POR	Diorite; Porphyrique	0,09
TLG-ZJ418-061	280	281	J4-C1	I2J; POR	Diorite; Porphyrique	0,1
TLG-ZJ418-061	281	282	J4-C1	I2J; POR	Diorite; Porphyrique	0,1
TLG-ZJ418-061	294	295	J4-C1	I2J; POR	Diorite; Porphyrique	0,1
TLG-ZJ418-061	301	302	J4-C1	I2J; POR	Diorite; Porphyrique	0,09
TLG-ZJ418-062	71	72	J4-C1	I2J; POR	Diorite; Porphyrique	0,1
TLG-ZJ418-062	140	141	J4-C1	I2J; POR	Diorite; Porphyrique	0,09
TLG-ZJ418-062	237	238	J4-C1	I2J; MAS; LAM	Diorite; Roche massive; Laminations parallèles	0,1
TLG-ZJ418-062	240	241	J4-C1	I2J; MAS; LAM	Diorite; Roche massive; Laminations parallèles	0,1
TLG-ZJ418-063	129	130	J4-C1	I2J; I2J; MAS; LAM	Diorite; Diorite; Roche massive; Laminations parallèles	0,09
TLG-ZJ418-063	146	147	J4-C1	I2J; I2J; MAS; LAM	Diorite; Diorite; Roche massive; Laminations parallèles	0,09
TLG-ZJ418-063	150	151	J4-C1	I2J; I2J; MAS; LAM	Diorite; Diorite; Roche massive; Laminations parallèles	0,1
TLG-ZJ418-063	204	205	J4-C1	I2J; I2J; MAS; LAM	Diorite; Diorite; Roche massive; Laminations parallèles	0,1
TLG-ZJ418-064	130	131	J4-C1	I2J; POR	Diorite 70°; Porphyrique	0,1
TLG-ZJ418-064	183	184	J4-C1	I2J; POR	Diorite 70°; Porphyrique	0,09
TLG-ZJ418-064	194	195	J4-C1	I2J; POR	Diorite 70°; Porphyrique	0,1
TLG-ZJ418-064	232	233	J4-C1	I2J; POR	Diorite 65°; Porphyrique	0,09
TLG-ZJ418-066	17	18	J4-C1	I2J	Diorite 60°	0,09
TLG-ZJ418-066	28	29	J4-C1	I2J	Diorite 60°	0,09
TLG-ZJ418-066	30	31	J4-C1	I2J	Diorite 60°	0,1
TLG-ZJ418-066	33	34	J4-C1	I2J	Diorite 60°	0,09
TLG-ZJ418-066	38	39	J4-C1	I2J	Diorite 60°	0,09
TLG-ZJ418-066	48	49	J4-C1	I2J	Diorite 60°	0,1
TLG-ZJ418-066	54	55	J4-C1	I2J	Diorite 60°	0,09
TLG-ZJ418-066	59	60	J4-C1	I2J	Diorite 60°	0,09
TLG-ZJ418-066	66	67	J4-C1	I2J	Diorite 60°	0,1
TLG-ZJ418-066	72	73	J4-C1	I2J	Diorite 60°	0,1
TLG-ZJ418-066	98	99	J4-C1	I2J; POR	Diorite 70°; Porphyrique	0,09
TLG-ZJ418-066	119	120	J4-C1	I2J	Diorite 65°	0,09
TLG-ZJ418-066	187	188	J4-C1	I2J	Diorite 60°	0,1

DDH ID	From	To	For Column	Rock Code	Title	S Final (%)
TLG-ZJ418-066	209	210	J4-C1	I2J	Diorite 60°	0,09
TLG-ZJ418-066	297	298	J4-C1	I2J	Diorite 65°	0,1
TLG-ZJ418-066	298	299	J4-C1	I2J	Diorite 65°	0,1
TLG-ZJ418-068	234	235	J4-C1	I2J	Diorite 55°	0,1
TLG-ZJ418-068	278	279	J4-C1	I2J	Diorite 55°	0,1
TLG-ZJ418-068	328	329	J4-C1	I2J	Diorite 70°	0,1
TLG-ZJ418-068	330	331	J4-C1	I2J	Diorite 70°	0,1
TLG-ZJ418-068	350	351	J4-C1	I2J	Diorite 70°	0,09
TLG-ZJ418-069	13	14	J4-C1	I2J	Diorite 65°	0,1
TLG-ZJ418-069	18	19	J4-C1	I2J	Diorite 65°	0,1
TLG-ZJ418-069	31	32	J4-C1	I2J	Diorite 65°	0,09
TLG-ZJ418-069	46	47	J4-C1	I2J	Diorite 65°	0,1
TLG-ZJ418-069	54	55	J4-C1	I2J	Diorite 65°	0,1
TLG-ZJ418-069	72	73	J4-C1	I2J	Diorite 65°	0,1
TLG-ZJ418-069	73	74	J4-C1	I2J	Diorite 65°	0,09
TLG-ZJ418-070	16	17	J4-C1	I2J	Diorite 50°	0,1
TLG-ZJ418-070	24	25	J4-C1	I2J	Diorite 50°	0,1
TLG-ZJ418-070	42	43	J4-C1	I2J	Diorite 50°	0,09
TLG-ZJ418-070	53	54	J4-C1	I2J	Diorite 55°	0,1
TLG-ZJ418-070	59	60	J4-C1	I2J	Diorite 55°	0,09
TLG-ZJ418-070	65	66	J4-C1	I2J	Diorite 55°	0,1
TLG-ZJ418-070	77	78	J4-C1	I2J	Diorite 55°	0,1
TLG-ZJ418-071	114	115	J4-C1	I2J; POR	Diorite 70°; Porphyrique	0,1
TLG-ZJ418-071	117	118	J4-C1	I2J; POR	Diorite 70°; Porphyrique	0,09
TLG-ZJ418-071	124	125	J4-C1	I2J; POR	Diorite 70°; Porphyrique	0,1
TLG-ZJ418-071	128	129	J4-C1	I2J; POR	Diorite 70°; Porphyrique	0,1
TLG-ZJ418-071	133	134	J4-C1	I2J; POR	Diorite 70°; Porphyrique	0,09
TLG-ZJ418-071	139	140	J4-C1	I2J; POR	Diorite 70°; Porphyrique	0,09
TLG-ZJ418-072	60	61	J4-C1	I2J; MOY	Diorite 40°; Grains moyens	0,1
TLG-ZJ418-072	101	102	J4-C1	I2J; FIN	Diorite 60°; Grains fins	0,09
TLG-ZJ418-072	102	103	J4-C1	I2J; FIN	Diorite 60°; Grains fins	0,1
TLG-ZJ418-072	105	106	J4-C1	I2J; FIN	Diorite 60°; Grains fins	0,1
TLG-ZJ418-072	106	107	J4-C1	I2J; POR	Diorite 60°; Porphyrique	0,09
TLG-ZJ418-072	107	108	J4-C1	I2J; POR	Diorite 60°; Porphyrique	0,1
TLG-ZJ418-072	120	121	J4-C1	I2J; POR	Diorite 60°; Porphyrique	0,09
TLG-ZJ418-072	121	122	J4-C1	I2J; POR	Diorite 60°; Porphyrique	0,1
TLG-ZJ418-073	14	15	J4-C1	I2J; MAS; FIN	Diorite; Roche massive; Grains fins	0,09
TLG-ZJ418-073	15	16	J4-C1	I2J; MAS; FIN	Diorite; Roche massive; Grains fins	0,09
TLG-ZJ418-073	17	18	J4-C1	I2J; MAS; FIN	Diorite; Roche massive; Grains fins	0,1
TLG-ZJ418-073	43	44	J4-C1	I2J; MAS; FIN	Diorite; Roche massive; Grains fins	0,1
TLG-ZJ418-073	58	59	J4-C1	I2J; MAS; FIN	Diorite; Roche massive; Grains fins	0,09
TLG-ZJ418-073	116	117	J4-C1	I2J; POR; MOY	Diorite; Porphyrique; Grains moyens	0,1
TLG-ZJ418-074	23	24	J4-C1	I2J; MOY	Diorite 55°; Grains moyens	0,09
TLG-ZJ418-074	49	50	J4-C1	I2J; SPH; POR	Diorite 65°; Sphérolitique; Porphyrique	0,09
TLG-ZJ418-074	176	177	J4-C1	I2J	Diorite 60°	0,09
TLG-ZJ418-080	37	38	J4-C1	I2J; MAS	Diorite; Roche massive	0,1
TLG-ZJ418-080	64	65	J4-C1	I2J; MAS; LAM	Diorite 55°; Roche massive; Laminations parallèles	0,09
TLG-ZJ418-080	74	75	J4-C1	I2J; MAS; LAM	Diorite 55°; Roche massive; Laminations parallèles	0,09
TLG-ZJ418-080	84	85	J4-C1	I2J; MAS; LAM	Diorite 55°; Roche massive; Laminations parallèles	0,09
TLG-ZJ418-080	89	90	J4-C1	I2J; MAS; LAM	Diorite 55°; Roche massive; Laminations parallèles	0,09
TLG-ZJ418-081	92	93	J4-C1	I2J; I2J	Diorite; Diorite 52°	0,1
TLG-ZJ418-081	97	98	J4-C1	I2J; I2J	Diorite; Diorite 52°	0,09
TLG-ZJ418-081	162	163	J4-C1	I2J; MAS	Diorite; Roche massive	0,1
TLG-ZJ418-081	231	232	J4-C1	I2J; LAM	Diorite 55°; Laminations parallèles	0,1
TLG-ZJ418-081	241	242	J4-C1	I2J; LAM	Diorite 55°; Laminations parallèles	0,09
TLG-ZJ418-083	194	195	J4-C1	I2J; POR; MAS	Diorite 50°; Porphyrique; Roche massive	0,1
TLG-ZJ418-083	198	199	J4-C1	I2J; POR; MAS	Diorite 50°; Porphyrique; Roche massive	0,1
TLG-ZJ418-083	209	210	J4-C1	I2J; POR; MAS	Diorite 50°; Porphyrique; Roche massive	0,1
TLG-ZJ418-083	212	213	J4-C1	I2J; POR; MAS	Diorite 50°; Porphyrique; Roche massive	0,1
TLG-ZJ418-083	216	217	J4-C1	I2J; POR; MAS	Diorite 50°; Porphyrique; Roche massive	0,1
TLG-ZJ418-083	235	236	J4-C1	I2J; POR; MAS	Diorite 50°; Porphyrique; Roche massive	0,1
TLG-ZJ418-083	244	245	J4-C1	I2J; POR; MAS	Diorite 50°; Porphyrique; Roche massive	0,09
TLG-ZJ418-083	279	280	J4-C1	I2J; POR; MAS	Diorite 50°; Porphyrique; Roche massive	0,1
TLG-ZJ418-083	303	304	J4-C1	I2J; POR; MAS	Diorite 50°; Porphyrique; Roche massive	0,09
TLG-ZJ418-083	311	312	J4-C1	I2J; POR; MAS	Diorite 50°; Porphyrique; Roche massive	0,09
TLG-ZJ418-083	313	314	J4-C1	I2J; POR; MAS	Diorite 50°; Porphyrique; Roche massive	0,1
TLG-ZJ418-083	332	333	J4-C1	I2J; POR; MAS	Diorite 50°; Porphyrique; Roche massive	0,1
TLG-ZJ418-083	334	335	J4-C1	I2J; POR; MAS	Diorite 50°; Porphyrique; Roche massive	0,09
TLG-ZJ419-092	59	60	J4-C1	I2J; LAM	Diorite; Laminations parallèles	0,09
TLG-ZJ419-092	78	79	J4-C1	I2J; LAM	Diorite; Laminations parallèles	0,09
TLG-ZJ419-092	121	122	J4-C1	I2J	Diorite	0,1
TLG-ZJ419-094	24	25	J4-C1	I2J	Diorite 50°	0,1
TLG-ZJ419-094	26	27	J4-C1	I2J	Diorite 50°	0,1

DDH ID	From	To	For Column	Rock Code	Title	S Final (%)
TLG-ZJ419-094	91	92	J4-C1	I2J	Diorite 61°	0,1
TLG-ZJ419-094	132	133	J4-C1	I2J	Diorite	0,09
TLG-ZJ419-094	315	317	J4-C1	I2J	Diorite 45°	0,09
TLG-ZJ419-095	48	49	J4-C1	I2J	Diorite 70°	0,09
TLG-ZJ419-095	51	52	J4-C1	I2J	Diorite 70°	0,09
TLG-ZJ419-095	63	64	J4-C1	I2J	Diorite 70°	0,1
TLG-ZJ419-095	65	66	J4-C1	I2J	Diorite 70°	0,1
TLG-ZJ419-095	69	70	J4-C1	I2J	Diorite 70°	0,1
TLG-ZJ419-095	73	74	J4-C1	I2J	Diorite 70°	0,09
TLG-ZJ419-095	96	97	J4-C1	I2J	Diorite 70°	0,09
TLG-ZJ419-095	141	142	J4-C1	I2J	Diorite 70°	0,09
TLG-ZJ419-095	151	152	J4-C1	I2J	Diorite 70°	0,09
TLG-ZJ419-095	174	175	J4-C1	I2J	Diorite 70°	0,09
TLG-ZJ419-095	177	178	J4-C1	I2J	Diorite 70°	0,09
TLG-ZJ419-095	178	179	J4-C1	I2J	Diorite 70°	0,09
TLG-ZJ419-095	229	230	J4-C1	I2J	Diorite 70°	0,09
TLG-ZJ419-096	22	23	J4-C1	I2J	Diorite 65°	0,1
TLG-ZJ419-096	28	29	J4-C1	I2J	Diorite 65°	0,09
TLG-ZJ419-096	37	38	J4-C1	I2J	Diorite 65°	0,09
TLG-ZJ419-096	61	62	J4-C1	I2J	Diorite 65°	0,09
TLG-ZJ419-096	62	63	J4-C1	I2J	Diorite 65°	0,09
TLG-ZJ419-096	63	64	J4-C1	I2J	Diorite 65°	0,09
TLG-ZJ419-096	75	76	J4-C1	I2J	Diorite 65°	0,09
TLG-ZJ419-096	90	91	J4-C1	I2J	Diorite 65°	0,1
TLG-ZJ419-096	95	96	J4-C1	I2J	Diorite 65°	0,1
TLG-ZJ419-096	101	102	J4-C1	I2J	Diorite 65°	0,09
TLG-ZJ419-096	113	114	J4-C1	I2J	Diorite 65°	0,1
TLG-ZJ419-096	117	118	J4-C1	I2J	Diorite 65°	0,1
TLG-ZJ419-096	181	183	J4-C1	I2J	Diorite	0,09
TLG-ZJ419-096	398	399	J4-C1	I2J	Diorite	0,1
TLG-ZJ419-098	14	15	J4-C1	I2J	Diorite 65°	0,1
TLG-ZJ419-098	45	46	J4-C1	I2J	Diorite 65°	0,09
TLG-ZJ419-098	47	48	J4-C1	I2J	Diorite 65°	0,1
TLG-ZJ419-098	61	62	J4-C1	I2J	Diorite 65°	0,09
TLG-ZJ419-098	62	63	J4-C1	I2J	Diorite 65°	0,09
TLG-ZJ419-098	63	64	J4-C1	I2J	Diorite 65°	0,1
TLG-ZJ419-098	75	76	J4-C1	I2J	Diorite 65°	0,1
TLG-ZJ419-098	137	138	J4-C1	I2J	Diorite 65°	0,1
TLG-ZJ419-099	17	18	J4-C1	I2J	Diorite 50°	0,09
TLG-ZJ419-099	32	33	J4-C1	I2J	Diorite 50°	0,1
TLG-ZJ419-099	35	36	J4-C1	I2J	Diorite 50°	0,09
TLG-ZJ419-099	39	40	J4-C1	I2J	Diorite 50°	0,09
TLG-ZJ419-099	146	147	J4-C1	I2J	Diorite 20°	0,09
TLG-ZJ419-099	178	180	J4-C1	I2J	Diorite 20°	0,1
TLG-ZJ419-101	52	54	J4-C1	I2J; FIN	Diorite; Grains fins	0,09
TLG-ZJ419-101	80	82	J4-C1	I2J; FIN	Diorite; Grains fins	0,1
TLG-ZJ419-101	134	136	J4-C1	I2J; GRO; MOY	Diorite; Grains grossiers; Grains moyens	0,1
TLG-ZJ419-101	152	154	J4-C1	I2J; FIN	Diorite; Grains fins	0,09
TLG-ZJ419-101	188	190	J4-C1	I2J; FIN	Diorite; Grains fins	0,09
TLG-ZJ419-101	190	192	J4-C1	I2J; FIN	Diorite; Grains fins	0,1
TLG-ZJ419-102	92	94	J4-C1	I2J; FIN	Diorite; Grains fins	0,1
TLG-ZJ419-102	98	100	J4-C1	I2J; FIN	Diorite; Grains fins	0,1
TLG-ZJ419-102	102	104	J4-C1	I2J; FIN	Diorite; Grains fins	0,09
TLG-ZJ419-102	114	116	J4-C1	I2J; FIN	Diorite; Grains fins	0,09
TLG-ZJ419-102	162	164	J4-C1	I2J; FIN	Diorite; Grains fins	0,1
TLG-ZJ419-102	170	172	J4-C1	I2J; FIN	Diorite; Grains fins	0,09
TLG-ZJ419-102	238	240	J4-C1	I2J; FIN	Diorite; Grains fins	0,1
TLG-ZJ419-103	18	19	J4-C1	I2J	Diorite 62°	0,09
TLG-ZJ419-103	19	20	J4-C1	I2J	Diorite 62°	0,1
TLG-ZJ419-103	20	21	J4-C1	I2J	Diorite 62°	0,09
TLG-ZJ419-103	39	40	J4-C1	I2J	Diorite	0,1
TLG-ZJ419-103	46	47	J4-C1	I2J	Diorite	0,09
TLG-ZJ419-103	86	87	J4-C1	I2J	Diorite	0,09
TLG-ZJ419-103	146	147	J4-C1	I2J	Diorite	0,09
TLG-ZJ419-103	157	158	J4-C1	I2J	Diorite	0,1
TLG-ZJ419-103	167	168	J4-C1	I2J	Diorite	0,09
TLG-ZJ419-103	175	176	J4-C1	I2J	Diorite	0,09
TLG-ZJ419-103	210	211	J4-C1	I2J	Diorite 20°	0,09
TLG-ZJ419-104	45	46	J4-C1	I2J	Diorite 60°	0,1
TLG-ZJ419-104	76	77	J4-C1	I2J	Diorite	0,09
TLG-ZJ419-104	80	81	J4-C1	I2J	Diorite	0,1
TLG-ZJ419-104	89	90	J4-C1	I2J	Diorite	0,1
TLG-ZJ419-104	92	93	J4-C1	I2J	Diorite	0,09

DDH ID	From	To	For Column	Rock Code	Title	S Final (%)
TLG-ZJ419-104	101	102	J4-C1	I2J	Diorite	0,09
TLG-ZJ419-104	103	104	J4-C1	I2J	Diorite	0,1
TLG-ZJ419-104	109	110	J4-C1	I2J	Diorite	0,09
TLG-ZJ419-104	111	112	J4-C1	I2J	Diorite	0,1
TLG-ZJ419-104	112	113	J4-C1	I2J	Diorite	0,1
TLG-ZJ419-105	62	63	J4-C1	I2J; I2J	Diorite; Diorite 50°	0,09
TLG-ZJ419-105	79	80	J4-C1	I2J; I2J	Diorite; Diorite 50°	0,09
TLG-ZJ419-105	113	114	J4-C1	I2J	Diorite 50°	0,1
TLG-ZJ419-105	117	118	J4-C1	I2J	Diorite 50°	0,09
TLG-ZJ419-105	130	131	J4-C1	I2J	Diorite 50°	0,09
TLG-ZJ419-105	138	139	J4-C1	I2J	Diorite 50°	0,1
TLG-ZJ419-105	156	157	J4-C1	I2J	Diorite 50°	0,09
TLG-ZJ419-105	169	170	J4-C1	I2J	Diorite 50°	0,1
TLG-ZJ419-106	107	109	J4-C1	I2J; LAM; FIN	Diorite; Laminations parallèles; Grains fins	0,1
TLG-ZJ419-106	151	153	J4-C1	I2J; LAM; FIN	Diorite; Laminations parallèles; Grains fins	0,1
TLG-ZJ419-106	157	159	J4-C1	I2J; LAM; FIN	Diorite; Laminations parallèles; Grains fins	0,1
TLG-ZJ419-106	199	201	J4-C1	I2J; LAM; FIN	Diorite; Laminations parallèles; Grains fins	0,1
TLG-ZJ419-106	203	205	J4-C1	I2J; LAM; FIN	Diorite; Laminations parallèles; Grains fins	0,09
TLG-ZJ419-107	47	49	J4-C1	I2J; LAM; FIN	Diorite; Laminations parallèles; Grains fins	0,09
TLG-ZJ419-107	51	53	J4-C1	I2J; LAM; FIN	Diorite; Laminations parallèles; Grains fins	0,09
TLG-ZJ419-107	133	135	J4-C1	I2J; LAM; FIN	Diorite; Laminations parallèles; Grains fins	0,1
TLG-ZJ419-107	135	137	J4-C1	I2J; LAM; FIN	Diorite; Laminations parallèles; Grains fins	0,09
TLG-ZJ419-107	139	141	J4-C1	I2J; LAM; FIN	Diorite; Laminations parallèles; Grains fins	0,1
TLG-ZJ419-107	151	153	J4-C1	I2J; LAM; FIN	Diorite; Laminations parallèles; Grains fins	0,1
TLG-ZJ419-107	153	155	J4-C1	I2J; LAM; FIN	Diorite; Laminations parallèles; Grains fins	0,1
TLG-ZJ419-107	173	175	J4-C1	I2J; LAM; APH	Diorite; Laminations parallèles; Aphanitique	0,09
TLG-ZJ419-107	199	201	J4-C1	I2J; LAM; POR	Diorite; Laminations parallèles; Porphyrique	0,1
TLG-ZJ419-113	72	74	J4-C1	I2J; I1; QFP	Diorite; Intrusif felsique; QFP	0,1
TLG-ZJ419-113	86	88	J4-C1	I2J; FIN; RUB; MAS	Diorite; Grains fins; Rubané; Roche massive	0,09
TLG-ZJ419-113	112	114	J4-C1	I2J; FIN; RUB; MAS	Diorite; Grains fins; Rubané; Roche massive	0,1
TLG-ZJ419-113	208	210	J4-C1	I2J; LAM; FIN; MOY; POR	Diorite; Laminations parallèles; Grains fins; Grains moyens; Porphyrique	0,09
TLG-ZJ419-113	220	222	J4-C1	I2J; LAM; FIN; MOY; POR	Diorite; Laminations parallèles; Grains fins; Grains moyens; Porphyrique	0,1
TLG-ZJ419-151	102	104	J4-C1	I2J; FIN; MAG; MAG	Diorite; Grains fins; Magnétique; Magnétique	0,1
TLG-ZJ419-151	122	124	J4-C1	I2J; FIN; MAG; MAG	Diorite; Grains fins; Magnétique; Magnétique	0,1
TLG-ZJ419-151	148	150	J4-C1	I2J; FIN; MAG; MAG	Diorite; Grains fins; Magnétique; Magnétique	0,09
TLG-ZJ419-151	150	152	J4-C1	I2J; FIN; MAG; MAG	Diorite; Grains fins; Magnétique; Magnétique	0,09
TLG-ZJ419-151	188	190	J4-C1	I2J; MOY; FIN; LAM	Diorite; Grains moyens; Grains fins; Laminations parallèles	0,09
TLG-ZJ419-152	79	81	J4-C1	I2J; LAM; FIN	Diorite; Laminations parallèles; Grains fins	0,1
TLG-ZJ419-152	81	83	J4-C1	I2J; LAM; FIN	Diorite; Laminations parallèles; Grains fins	0,1
TLG-ZJ419-152	89	91	J4-C1	I2J; LAM; FIN	Diorite; Laminations parallèles; Grains fins	0,1
TLG-ZJ419-152	99	101	J4-C1	I2J; LAM; FIN	Diorite; Laminations parallèles; Grains fins	0,1
TLG-ZJ419-152	129	131	J4-C1	I2J; LAM; FIN	Diorite; Laminations parallèles; Grains fins	0,1
TLG-ZJ419-152	141	143	J4-C1	I2J; LAM; FIN	Diorite; Laminations parallèles; Grains fins	0,09
TLG-ZJ419-152	149	151	J4-C1	I2J; LAM; FIN	Diorite; Laminations parallèles; Grains fins	0,09
TLG-ZJ419-152	165	167	J4-C1	I2J; LAM; FIN	Diorite; Laminations parallèles; Grains fins	0,1
TLG-ZJ419-153	108	110	J4-C1	I2J; FIN; LAM	Diorite; Grains fins; Laminations parallèles	0,09
TLG-ZJ419-153	110	112	J4-C1	I2J; FIN; LAM	Diorite; Grains fins; Laminations parallèles	0,1
TLG-ZJ419-153	126	128	J4-C1	I2J; FIN; LAM	Diorite; Grains fins; Laminations parallèles	0,09
TLG-ZJ419-153	272	274	J4-C1	I2J; FIN	Diorite; Grains fins	0,1
TLG-ZJ419-166	39	41	J4-C1	I2J; FIN; LAM	Diorite; Grains fins; Laminations parallèles	0,1
TLG-ZJ419-166	43	45	J4-C1	I2J; FIN; LAM	Diorite; Grains fins; Laminations parallèles	0,09
TLG-ZJ419-166	51	53	J4-C1	I2J; FIN; LAM	Diorite; Grains fins; Laminations parallèles	0,1
TLG-ZJ419-166	63	65	J4-C1	I2J; FIN	Diorite; Grains fins	0,09
TLG-ZJ419-166	149	151	J4-C1	I2J; FIN	Diorite; Grains fins	0,1
TLG-ZJ419-166	153	155	J4-C1	I2J; FIN	Diorite; Grains fins	0,09
TLG-ZJ419-166	159	161	J4-C1	I2J; FIN	Diorite; Grains fins	0,09
TLG-ZJ419-166	191	193	J4-C1	I2J; FIN; MAS	Diorite; Grains fins; Roche massive	0,1
TLG-ZJ419-166	207	209	J4-C1	I2J; FIN; MAS	Diorite; Grains fins; Roche massive	0,09
TLG-ZJ419-167	139	141	J4-C1	I2J; FIN	Diorite; Grains fins	0,09
TLG-ZJ419-167	197	199	J4-C1	I2J; FIN	Diorite; Grains fins	0,1
TLG-ZJ419-167	277	279	J4-C1	I2J	Diorite	0,09
TLG-ZJ419-167	279	281	J4-C1	I2J	Diorite	0,1
TLG-ZJ419-168	41	43	J4-C1	I2J; FIN; LAM	Diorite; Grains fins; Laminations parallèles	0,09
TLG-ZJ419-168	43	45	J4-C1	I2J; FIN; LAM	Diorite; Grains fins; Laminations parallèles	0,1
TLG-ZJ419-168	161	163	J4-C1	I2J; FIN; LAM	Diorite; Grains fins; Laminations parallèles	0,09
TLG-ZJ419-168	195	197	J4-C1	I2J; FIN; LAM	Diorite; Grains fins; Laminations parallèles	0,09
TLG-ZJ419-168	237	239	J4-C1	I2J; FIN; LAM	Diorite; Grains fins; Laminations parallèles	0,1
TLG-ZJ419-168	239	241	J4-C1	I2J; FIN; LAM	Diorite; Grains fins; Laminations parallèles	0,1
TLG-ZJ419-168	279	281	J4-C1	I2J; FIN	Diorite; Grains fins	0,09
TLG-ZJ419-172	84	86	J4-C1	I2J; LAM; M16; FIN	Diorite; Laminations parallèles; Amphibolite; Grains fins	0,09
TLG-ZJ419-172	88	90	J4-C1	I2J; LAM; M16; FIN	Diorite; Laminations parallèles; Amphibolite; Grains fins	0,09

DDH ID	From	To	For Column	Rock Code	Title	S Final (%)
TLG-ZJ419-172	94	96	J4-C1	I2J; LAM; M16; FIN	Diorite; Laminations parallèles; Amphibolite; Grains fins	0,09
TLG-ZJ419-172	100	102	J4-C1	I2J; POR	Diorite; Porphyrique	0,1
TLG-ZJ419-172	102	104	J4-C1	I2J; POR	Diorite; Porphyrique	0,1
TLG-ZJ419-172	214	216	J4-C1	I2J	Diorite	0,09
TLG-ZJ419-172	222	224	J4-C1	I2J	Diorite	0,1
TLG-ZJ20-221	22	23	J4-C1	I2J; FIN	Diorite; Grains fins	0,1
TLG-ZJ20-221	46	47	J4-C1	I2J; FIN	Diorite; Grains fins	0,1
TLG-ZJ20-221	47	48	J4-C1	I2J; FIN	Diorite; Grains fins	0,1
TLG-ZJ20-221	48	49	J4-C1	I2J; FIN	Diorite; Grains fins	0,1
TLG-ZJ20-221	52	53	J4-C1	I2J; FIN	Diorite; Grains fins	0,09
TLG-ZJ20-221	60	61	J4-C1	I2J; FIN	Diorite; Grains fins	0,1
TLG-ZJ20-221	86	87	J4-C1	I2J; LAM; POBBo	Diorite; Laminations parallèles; Porphyroblaste de biotite	0,09
TLG-ZJ20-221	89	90	J4-C1	I2J; LAM; POBBo	Diorite; Laminations parallèles; Porphyroblaste de biotite	0,1
TLG-ZJ20-221	99	100	J4-C1	I2J; LAM; POBBo	Diorite; Laminations parallèles; Porphyroblaste de biotite	0,1
TLG-ZJ20-221	111	112	J4-C1	I2J; LAM; POBBo	Diorite; Laminations parallèles; Porphyroblaste de biotite	0,1
TLG-ZJ20-221	157	158	J4-C1	I2J; FIN	Diorite; Grains fins	0,1
TLG-ZJ20-221	160	161	J4-C1	I2J; FIN	Diorite; Grains fins	0,09
TLG-ZJ20-222	39	40	J4-C1	I2J	Diorite	0,09
TLG-ZJ20-222	48	49	J4-C1	I2J	Diorite	0,09
TLG-ZJ20-222	49	50	J4-C1	I2J	Diorite	0,09
TLG-ZJ20-222	60	61	J4-C1	I2J	Diorite	0,1
TLG-ZJ20-222	65	66	J4-C1	I2J	Diorite	0,09
TLG-ZJ20-222	66	67	J4-C1	I2J	Diorite	0,09
TLG-ZJ20-222	123	124	J4-C1	I2J	Diorite	0,1
TLG-ZJ21-228	31	32	J4-C1	I2J; LAM	Diorite; Laminations parallèles	0,1
TLG-ZJ21-228	34	35	J4-C1	I2J; LAM	Diorite; Laminations parallèles	0,1
TLG-ZJ21-228	109	110	J4-C1	I2J; FIN	Diorite; Grains fins	0,1
TLG-ZJ21-228	139	140	J4-C1	I2J; FIN	Diorite; Grains fins	0,09
TLG-ZJ21-228	188	189	J4-C1	I2J; FIN	Diorite; Grains fins	0,1
TLG-ZJ21-229	83	84	J4-C1	I2J; FIN	Diorite; Grains fins	0,09
TLG-ZJ21-229	98	99	J4-C1	I2J; FIN	Diorite; Grains fins	0,09
TLG-ZJ21-229	101	102	J4-C1	I2J; FIN	Diorite; Grains fins	0,09
TLG-ZJ21-229	102	103	J4-C1	I2J; FIN	Diorite; Grains fins	0,09
TLG-ZJ21-229	129	130	J4-C1	I2J; FIN	Diorite; Grains fins	0,09
TLG-ZJ21-229	137	138	J4-C1	I2J; FIN	Diorite; Grains fins	0,1
TLG-ZJ21-229	140	141	J4-C1	I2J; FIN	Diorite; Grains fins	0,1
TLG-ZJ21-229	154	155	J4-C1	I2J; FIN	Diorite; Grains fins	0,09
TLG-ZJ21-229	187	188	J4-C1	I2J; FIN	Diorite; Grains fins	0,09
TLG-ZJ21-229	221	222	J4-C1	I2J; FIN	Diorite; Grains fins	0,09
TLG-ZJ21-232	190	191	J4-C1	I2J	Diorite	0,1
TLG-ZJ21-232	210	211	J4-C1	I2J	Diorite	0,09
TLG-ZJ21-232	215	216	J4-C1	I2J	Diorite	0,09
TLG-ZJ21-232	222	223	J4-C1	I2J	Diorite	0,09
TLG-ZJ21-232	241	242	J4-C1	I2J	Diorite	0,1
TLG-ZJ21-232	244	245	J4-C1	I2J	Diorite	0,1
TLG-ZJ21-232	245	246	J4-C1	I2J	Diorite	0,1
TLG-ZJ21-232	278	279	J4-C1	I2J	Diorite	0,1
TLG-ZJ21-232	516	517	J4-C1	I2J	Diorite	0,1
TLG-ZJ21-233	14	15	J4-C1	I2J; LAM	Diorite; Laminations parallèles	0,1
TLG-ZJ21-233	19	20	J4-C1	I2J; LAM	Diorite; Laminations parallèles	0,09
TLG-ZJ21-233	29	30	J4-C1	I2J; LAM	Diorite; Laminations parallèles	0,1
TLG-ZJ21-236	82	83	J4-C1	I2J	Diorite	0,09
TLG-ZJ21-236	95	96	J4-C1	I2J	Diorite	0,1
TLG-ZJ21-236	131	132	J4-C1	I2J	Diorite	0,09
TLG-ZJ21-236	132	133	J4-C1	I2J	Diorite	0,1
TLG-ZJ21-236	144	145	J4-C1	I2J	Diorite	0,09
TLG-ZJ21-236	145	146	J4-C1	I2J	Diorite	0,1
TLG-ZJ21-236	159	160	J4-C1	I2J	Diorite	0,09
TLG-ZJ21-236	262	263	J4-C1	I2J; GRO	Diorite; Grains grossiers	0,09
TLG-ZJ21-236	272	273	J4-C1	I2J; GRO	Diorite; Grains grossiers	0,1
TLG-ZJ21-236	321	322	J4-C1	I2J	Diorite	0,1
TLG-ZJ21-236	323	324	J4-C1	I2J	Diorite	0,1
TLG-ZJ21-236	329	330	J4-C1	I2J	Diorite	0,09
TLG-ZJ21-236	338	339	J4-C1	I2J	Diorite	0,09
TLG-ZJ21-238	232	233	J4-C1	I2J	Diorite	0,1
TLG-ZJ21-238	318	319	J4-C1	I2J; LAM	Diorite; Laminations parallèles	0,09
TLG-ZJ21-238	331	332	J4-C1	I2J; LAM	Diorite; Laminations parallèles	0,1
TLG-ZJ21-238	364	365	J4-C1	I2J; LAM	Diorite; Laminations parallèles	0,1
TLG-ZJ21-238	365	366	J4-C1	I2J; LAM	Diorite; Laminations parallèles	0,09
TLG-ZJ21-238	379	380	J4-C1	I2J; LAM	Diorite; Laminations parallèles	0,09
TLG-ZJ21-238	396	397	J4-C1	I2J; LAM	Diorite; Laminations parallèles	0,09
TLG-ZJ21-248	24	25	J4-C1	I2J	Diorite	0,09
TLG-ZJ21-248	35	36	J4-C1	I2J	Diorite	0,1
TLG-ZJ21-248	138	139	J4-C1	I2J	Diorite	0,1

DDH ID	From	To	For Column	Rock Code	Title	S Final (%)
TLG-ZJ418-051	35	36	J4-C2 & J4-C10	I2J; MAS; FIN	Diorite 50°; Roche massive; Grains fins	0,28
TLG-ZJ418-051	68	69	J4-C2 & J4-C10	I2J; MAS; FIN	Diorite 50°; Roche massive; Grains fins	0,26
TLG-ZJ418-052	12	13	J4-C2 & J4-C10	I2J; MAS; FIN	Diorite 55°; Roche massive; Grains fins	0,26
TLG-ZJ418-052	18	19	J4-C2 & J4-C10	I2J; LAM	Diorite 50°; Laminations parallèles	0,29
TLG-ZJ418-052	64,5	66	J4-C2 & J4-C10	I2J; LAM; MAS	Diorite 50°; Laminations parallèles; Roche massive	0,28
TLG-ZJ418-054	19	20	J4-C2 & J4-C10	I2J; LAM; MAS	Diorite 45°; Laminations parallèles; Roche massive	0,28
TLG-ZJ418-054	21	22	J4-C2 & J4-C10	I2J; LAM; MAS	Diorite 45°; Laminations parallèles; Roche massive	0,29
TLG-ZJ418-054	33	34	J4-C2 & J4-C10	I2J; POR	Diorite; Porphyrique	0,27
TLG-ZJ418-054	40	41	J4-C2 & J4-C10	I2J; POR	Diorite; Porphyrique	0,27
TLG-ZJ418-055	29	30	J4-C2 & J4-C10	I2J; POR	Diorite 65°; Porphyrique	0,29
TLG-ZJ418-055	31	32,4	J4-C2 & J4-C10	I2J; POR	Diorite 65°; Porphyrique	0,28
TLG-ZJ418-055	38	39	J4-C2 & J4-C10	I2J	Diorite 60°	0,28
TLG-ZJ418-055	39	40	J4-C2 & J4-C10	I2J	Diorite 60°	0,27
TLG-ZJ418-056	3	4	J4-C2 & J4-C10	I2J	Diorite 50°	0,26
TLG-ZJ418-056	41	42	J4-C2 & J4-C10	I2J; POR; MAS	Diorite 55°; Porphyrique; Roche massive	0,28
TLG-ZJ418-056	45	46	J4-C2 & J4-C10	I2J; POR; MAS	Diorite 55°; Porphyrique; Roche massive	0,27
TLG-ZJ418-057	25	26	J4-C2 & J4-C10	I2J; POR	Diorite 50°; Porphyrique	0,29
TLG-ZJ418-057	29	30	J4-C2 & J4-C10	I2J; POR	Diorite 50°; Porphyrique	0,28
TLG-ZJ418-057	31	32	J4-C2 & J4-C10	I2J; POR	Diorite 50°; Porphyrique	0,29
TLG-ZJ418-057	37	38	J4-C2 & J4-C10	I2J; POR	Diorite 50°; Porphyrique	0,27
TLG-ZJ418-057	101	102	J4-C2 & J4-C10	I2J	Diorite 65°	0,29
TLG-ZJ418-057	103	104	J4-C2 & J4-C10	I2J	Diorite 65°	0,26
TLG-ZJ418-057	111	112	J4-C2 & J4-C10	I2J	Diorite 65°	0,28
TLG-ZJ418-057	236	237,2	J4-C2 & J4-C10	I2J	Diorite 75°	0,27
TLG-ZJ418-057	260	261	J4-C2 & J4-C10	I2J	Diorite 75°	0,26
TLG-ZJ418-057	261	262	J4-C2 & J4-C10	I2J	Diorite 75°	0,28
TLG-ZJ418-058	68	69	J4-C2 & J4-C10	I2J	Diorite 60°	0,26
TLG-ZJ418-058	91	92	J4-C2 & J4-C10	I2J	Diorite 60°	0,26
TLG-ZJ418-058	104	105	J4-C2 & J4-C10	I2J	Diorite 60°	0,29
TLG-ZJ418-058	171	172	J4-C2 & J4-C10	I2J	Diorite 60°	0,29
TLG-ZJ418-058	177	178	J4-C2 & J4-C10	I2J	Diorite 60°	0,28
TLG-ZJ418-058	228	229	J4-C2 & J4-C10	I2J	Diorite 70°	0,28
TLG-ZJ418-058	288	289	J4-C2 & J4-C10	I2J	Diorite 77°	0,27
TLG-ZJ418-058	296	296,9	J4-C2 & J4-C10	I2J	Diorite 77°	0,26
TLG-ZJ418-058	336	337	J4-C2 & J4-C10	I2J	Diorite 60°	0,26
TLG-ZJ418-059	44	45	J4-C2 & J4-C10	I2J	Diorite 50°	0,26
TLG-ZJ418-059	95	96	J4-C2 & J4-C10	I2J	Diorite 65°	0,28
TLG-ZJ418-059	98	99	J4-C2 & J4-C10	I2J	Diorite 65°	0,27
TLG-ZJ418-059	228,9	230	J4-C2 & J4-C10	I2J	Diorite 70°	0,28
TLG-ZJ418-062	29	30	J4-C2 & J4-C10	I2J; POR	Diorite; Porphyrique	0,27
TLG-ZJ418-062	30	31	J4-C2 & J4-C10	I2J; POR	Diorite; Porphyrique	0,26
TLG-ZJ418-062	32	33	J4-C2 & J4-C10	I2J; POR	Diorite; Porphyrique	0,27
TLG-ZJ418-062	74	75	J4-C2 & J4-C10	I2J; POR	Diorite; Porphyrique	0,29
TLG-ZJ418-062	93	94	J4-C2 & J4-C10	I2J; POR	Diorite; Porphyrique	0,26
TLG-ZJ418-062	108	109	J4-C2 & J4-C10	I2J; POR	Diorite; Porphyrique	0,28
TLG-ZJ418-062	128	129	J4-C2 & J4-C10	I2J; POR	Diorite; Porphyrique	0,29
TLG-ZJ418-062	130	131	J4-C2 & J4-C10	I2J; POR	Diorite; Porphyrique	0,28
TLG-ZJ418-062	207	208	J4-C2 & J4-C10	I2J; MAS; LAM	Diorite; Roche massive; Laminations parallèles	0,26
TLG-ZJ418-062	222	223	J4-C2 & J4-C10	I2J; MAS; LAM	Diorite; Roche massive; Laminations parallèles	0,29
TLG-ZJ418-062	235	236	J4-C2 & J4-C10	I2J; MAS; LAM	Diorite; Roche massive; Laminations parallèles	0,29
TLG-ZJ418-062	248	249	J4-C2 & J4-C10	I2J; MAS; LAM	Diorite; Roche massive; Laminations parallèles	0,28
TLG-ZJ418-063	157	158	J4-C2 & J4-C10	I2J; I2J; MAS; LAM	Diorite; Diorite; Roche massive; Laminations parallèles	0,27
TLG-ZJ418-063	158	159	J4-C2 & J4-C10	I2J; I2J; MAS; LAM	Diorite; Diorite; Roche massive; Laminations parallèles	0,26
TLG-ZJ418-063	165	166	J4-C2 & J4-C10	I2J; I2J; MAS; LAM	Diorite; Diorite; Roche massive; Laminations parallèles	0,26
TLG-ZJ418-063	170	171	J4-C2 & J4-C10	I2J; I2J; MAS; LAM	Diorite; Diorite; Roche massive; Laminations parallèles	0,29
TLG-ZJ418-063	171	172	J4-C2 & J4-C10	I2J; I2J; MAS; LAM	Diorite; Diorite; Roche massive; Laminations parallèles	0,27
TLG-ZJ418-063	191	192	J4-C2 & J4-C10	I2J; I2J; MAS; LAM	Diorite; Diorite; Roche massive; Laminations parallèles	0,28
TLG-ZJ418-063	193	194	J4-C2 & J4-C10	I2J; I2J; MAS; LAM	Diorite; Diorite; Roche massive; Laminations parallèles	0,28
TLG-ZJ418-063	287	288	J4-C2 & J4-C10	I2J; MAS; LAM	Diorite; Roche massive; Laminations parallèles	0,29
TLG-ZJ418-064	122	123	J4-C2 & J4-C10	I2J; POR	Diorite 70°; Porphyrique	0,26
TLG-ZJ418-064	126	127	J4-C2 & J4-C10	I2J; POR	Diorite 70°; Porphyrique	0,28
TLG-ZJ418-064	139	140	J4-C2 & J4-C10	I2J; POR	Diorite 70°; Porphyrique	0,26
TLG-ZJ418-064	144	145	J4-C2 & J4-C10	I2J; POR	Diorite 70°; Porphyrique	0,26
TLG-ZJ418-064	154	155	J4-C2 & J4-C10	I2J; POR	Diorite 70°; Porphyrique	0,29
TLG-ZJ418-064	170	171	J4-C2 & J4-C10	I2J; POR	Diorite 70°; Porphyrique	0,27
TLG-ZJ418-064	172	173	J4-C2 & J4-C10	I2J; POR	Diorite 70°; Porphyrique	0,26
TLG-ZJ418-064	199	200	J4-C2 & J4-C10	I2J; POR	Diorite 70°; Porphyrique	0,29
TLG-ZJ418-064	202	203	J4-C2 & J4-C10	I2J; POR	Diorite 70°; Porphyrique	0,26
TLG-ZJ418-064	203	204	J4-C2 & J4-C10	I2J; POR	Diorite 70°; Porphyrique	0,27
TLG-ZJ418-064	231	232	J4-C2 & J4-C10	I2J; POR	Diorite 65°; Porphyrique	0,27
TLG-ZJ418-064	237	238	J4-C2 & J4-C10	I2J; POR	Diorite 65°; Porphyrique	0,28
TLG-ZJ418-064	239	240	J4-C2 & J4-C10	I2J; POR	Diorite 65°; Porphyrique	0,29
TLG-ZJ418-064	244	245	J4-C2 & J4-C10	I2J; POR	Diorite 65°; Porphyrique	0,28

DDH ID	From	To	For Column	Rock Code	Title	S Final (%)
TLG-ZJ418-064	248	249	J4-C2 & J4-C10	I2J; POR	Diorite 65°; Porphyrique	0,28
TLG-ZJ418-064	292	293	J4-C2 & J4-C10	I2J; POR	Diorite 80°; Porphyrique	0,28
TLG-ZJ418-065	215	216	J4-C2 & J4-C10	I2J	Diorite 65°	0,27
TLG-ZJ418-065	242	243	J4-C2 & J4-C10	I2J	Diorite 70°	0,26
TLG-ZJ418-065	312	313	J4-C2 & J4-C10	I2J	Diorite 70°	0,29
TLG-ZJ418-065	314	315	J4-C2 & J4-C10	I2J	Diorite 70°	0,28
TLG-ZJ418-065	336	337	J4-C2 & J4-C10	I2J	Diorite 77°	0,29
TLG-ZJ418-066	22	23	J4-C2 & J4-C10	I2J	Diorite 60°	0,29
TLG-ZJ418-066	25	26	J4-C2 & J4-C10	I2J	Diorite 60°	0,26
TLG-ZJ418-066	46	47	J4-C2 & J4-C10	I2J	Diorite 60°	0,28
TLG-ZJ418-066	63	64	J4-C2 & J4-C10	I2J	Diorite 60°	0,29
TLG-ZJ418-066	101	103	J4-C2 & J4-C10	I2J; POR	Diorite 70°; Porphyrique	0,29
TLG-ZJ418-066	107	108	J4-C2 & J4-C10	I2J	Diorite 65°	0,28
TLG-ZJ418-066	110	111	J4-C2 & J4-C10	I2J	Diorite 65°	0,27
TLG-ZJ418-066	123	124	J4-C2 & J4-C10	I2J	Diorite 65°	0,28
TLG-ZJ418-066	180	181	J4-C2 & J4-C10	I2J	Diorite 60°	0,26
TLG-ZJ418-066	190	191	J4-C2 & J4-C10	I2J	Diorite 60°	0,27
TLG-ZJ418-066	192	193	J4-C2 & J4-C10	I2J	Diorite 60°	0,26
TLG-ZJ418-066	195	196	J4-C2 & J4-C10	I2J	Diorite 60°	0,26
TLG-ZJ418-066	198	199	J4-C2 & J4-C10	I2J	Diorite 60°	0,27
TLG-ZJ418-066	201	202	J4-C2 & J4-C10	I2J	Diorite 60°	0,28
TLG-ZJ418-066	223	224	J4-C2 & J4-C10	I2J	Diorite 60°	0,29
TLG-ZJ418-066	237	238	J4-C2 & J4-C10	I2J	Diorite 55°	0,28
TLG-ZJ418-066	238	239	J4-C2 & J4-C10	I2J	Diorite 55°	0,26
TLG-ZJ418-066	295	296	J4-C2 & J4-C10	I2J	Diorite 65°	0,28
TLG-ZJ418-066	324	325	J4-C2 & J4-C10	I2J	Diorite 75°	0,29
TLG-ZJ418-066	329	330	J4-C2 & J4-C10	I2J	Diorite 75°	0,27
TLG-ZJ418-066	331	332	J4-C2 & J4-C10	I2J	Diorite 75°	0,29
TLG-ZJ418-067	149	150	J4-C2 & J4-C10	I2J	Diorite 65°	0,27
TLG-ZJ418-067	158	159	J4-C2 & J4-C10	I2J	Diorite 65°	0,26
TLG-ZJ418-067	159	160	J4-C2 & J4-C10	I2J	Diorite 65°	0,28
TLG-ZJ418-067	165	166	J4-C2 & J4-C10	I2J	Diorite 65°	0,27
TLG-ZJ418-067	167	168	J4-C2 & J4-C10	I2J	Diorite 65°	0,26
TLG-ZJ418-067	169	170	J4-C2 & J4-C10	I2J	Diorite 65°	0,27
TLG-ZJ418-067	174	175	J4-C2 & J4-C10	I2J	Diorite 65°	0,27
TLG-ZJ418-067	211	212	J4-C2 & J4-C10	I2J; POR	Diorite 75°; Porphyrique	0,26
TLG-ZJ418-067	283	284	J4-C2 & J4-C10	I2J	Diorite 65°	0,26
TLG-ZJ418-067	285	286	J4-C2 & J4-C10	I2J	Diorite 65°	0,27
TLG-ZJ418-067	308	309	J4-C2 & J4-C10	I2J	Diorite 65°	0,27
TLG-ZJ418-068	25	26	J4-C2 & J4-C10	I2J	Diorite 60°	0,26
TLG-ZJ418-068	34	35	J4-C2 & J4-C10	I2J	Diorite 60°	0,27
TLG-ZJ418-068	60	61	J4-C2 & J4-C10	I2J	Diorite 60°	0,26
TLG-ZJ418-068	62	63	J4-C2 & J4-C10	I2J	Diorite 60°	0,28
TLG-ZJ418-068	81	82	J4-C2 & J4-C10	I2J	Diorite 60°	0,28
TLG-ZJ418-068	87	88	J4-C2 & J4-C10	I2J	Diorite 60°	0,28
TLG-ZJ418-068	94	95	J4-C2 & J4-C10	I2J	Diorite 60°	0,26
TLG-ZJ418-068	120	121	J4-C2 & J4-C10	I2J	Diorite 60°	0,26
TLG-ZJ418-068	166	167	J4-C2 & J4-C10	I2J; POR	Diorite 65°; Porphyrique	0,29
TLG-ZJ418-068	167	168	J4-C2 & J4-C10	I2J; POR	Diorite 65°; Porphyrique	0,28
TLG-ZJ418-068	200	201	J4-C2 & J4-C10	I2J; POR	Diorite 60°; Porphyrique	0,26
TLG-ZJ418-068	223	224	J4-C2 & J4-C10	I2J; POR	Diorite 70°; Porphyrique	0,27
TLG-ZJ418-068	236,8	238	J4-C2 & J4-C10	I2J	Diorite 55°	0,27
TLG-ZJ418-068	282	283	J4-C2 & J4-C10	I2J	Diorite 55°	0,28
TLG-ZJ418-069	28	29	J4-C2 & J4-C10	I2J	Diorite 65°	0,26
TLG-ZJ418-069	38	39	J4-C2 & J4-C10	I2J	Diorite 65°	0,28
TLG-ZJ418-069	41	42	J4-C2 & J4-C10	I2J	Diorite 65°	0,29
TLG-ZJ418-069	55	56	J4-C2 & J4-C10	I2J	Diorite 65°	0,27
TLG-ZJ418-069	75	76	J4-C2 & J4-C10	I2J	Diorite 65°	0,27
TLG-ZJ418-069	82	83	J4-C2 & J4-C10	I2J	Diorite 65°	0,26
TLG-ZJ418-069	101	102	J4-C2 & J4-C10	I2J	Diorite 70°	0,28
TLG-ZJ418-069	115	116	J4-C2 & J4-C10	I2J	Diorite 70°	0,29
TLG-ZJ418-069	278	279	J4-C2 & J4-C10	I2J	Diorite 65°	0,29
TLG-ZJ418-069	318	319	J4-C2 & J4-C10	I2J	Diorite 65°	0,28
TLG-ZJ418-070	56	57	J4-C2 & J4-C10	I2J	Diorite 55°	0,29
TLG-ZJ418-070	101	102	J4-C2 & J4-C10	I2J	Diorite 70°	0,26
TLG-ZJ418-070	106	107	J4-C2 & J4-C10	I2J	Diorite 70°	0,28
TLG-ZJ418-072	58	59	J4-C2 & J4-C10	I2J; MOY	Diorite 40°; Grains moyens	0,28
TLG-ZJ418-073	50	51	J4-C2 & J4-C10	I2J; MAS; FIN	Diorite; Roche massive; Grains fins	0,26
TLG-ZJ418-073	77	78	J4-C2 & J4-C10	I2J; MAS; FIN	Diorite; Roche massive; Grains fins	0,27
TLG-ZJ418-073	82	83	J4-C2 & J4-C10	I2J; MAS; FIN	Diorite; Roche massive; Grains fins	0,28
TLG-ZJ418-073	88	89	J4-C2 & J4-C10	I2J; MAS; FIN	Diorite; Roche massive; Grains fins	0,29
TLG-ZJ418-073	119	120	J4-C2 & J4-C10	I2J; POR; MOY	Diorite; Porphyrique; Grains moyens	0,26
TLG-ZJ418-074	37	38	J4-C2 & J4-C10	I2J; POR; SPH	Diorite 68°; Porphyrique; Sphérolitique	0,26

DDH ID	From	To	For Column	Rock Code	Title	S Final (%)
TLG-ZJ418-074	40	41	J4-C2 & J4-C10	I2J; POR; SPH	Diorite 68°; Porphyrique; Sphérolitique	0,29
TLG-ZJ418-074	65	66	J4-C2 & J4-C10	I2J; POR	Diorite 80°; Porphyrique	0,29
TLG-ZJ418-074	82	83	J4-C2 & J4-C10	I2J; POR	Diorite 80°; Porphyrique	0,27
TLG-ZJ418-074	83	84	J4-C2 & J4-C10	I2J; POR	Diorite 80°; Porphyrique	0,28
TLG-ZJ418-074	158	159	J4-C2 & J4-C10	I2J	Diorite 60°	0,28
TLG-ZJ418-074	160	161	J4-C2 & J4-C10	I2J	Diorite 60°	0,27
TLG-ZJ418-074	178	179	J4-C2 & J4-C10	I2J	Diorite 60°	0,29
TLG-ZJ418-074	205	206	J4-C2 & J4-C10	I2J	Diorite 70°	0,28
TLG-ZJ418-074	302	303	J4-C2 & J4-C10	I2J; POR	Diorite; Porphyrique	0,28
TLG-ZJ418-074	517	519	J4-C2 & J4-C10	I2J; FIN; LAM	Diorite; Grains fins; Laminations parallèles	0,27
TLG-ZJ418-074	523	525	J4-C2 & J4-C10	I2J; FIN; LAM	Diorite; Grains fins; Laminations parallèles	0,27
TLG-ZJ418-074	543	545	J4-C2 & J4-C10	I2J; FIN; LAM	Diorite; Grains fins; Laminations parallèles	0,27
TLG-ZJ418-076	36	37	J4-C2 & J4-C10	I2J	Diorite 65°	0,26
TLG-ZJ418-076	41	42	J4-C2 & J4-C10	I2J	Diorite 65°	0,27
TLG-ZJ418-076	43	44	J4-C2 & J4-C10	I2J; GRO	Diorite 65°; Grains grossiers	0,28
TLG-ZJ418-076	51	52	J4-C2 & J4-C10	I2J; GRO	Diorite 65°; Grains grossiers	0,27
TLG-ZJ418-076	57	58	J4-C2 & J4-C10	I2J; GRO	Diorite 65°; Grains grossiers	0,28
TLG-ZJ418-076	91	92	J4-C2 & J4-C10	I2J; GRO	Diorite 65°; Grains grossiers	0,27
TLG-ZJ418-076	118	119	J4-C2 & J4-C10	I2J; GRO	Diorite 65°; Grains grossiers	0,26
TLG-ZJ418-076	119	120	J4-C2 & J4-C10	I2J; GRO	Diorite 65°; Grains grossiers	0,26
TLG-ZJ418-076	121	122	J4-C2 & J4-C10	I2J; GRO	Diorite 65°; Grains grossiers	0,27
TLG-ZJ418-076	129	130	J4-C2 & J4-C10	I2J; GRO	Diorite 65°; Grains grossiers	0,28
TLG-ZJ418-076	348	350	J4-C2 & J4-C10	I2J; FIN	Diorite; Grains fins	0,29
TLG-ZJ418-077	166	168	J4-C2 & J4-C10	I2J; POR	Diorite; Porphyrique	0,29
TLG-ZJ418-077	194	196	J4-C2 & J4-C10	I2J; MOY; POR	Diorite; Grains moyens; Porphyrique	0,27
TLG-ZJ418-077	196	198	J4-C2 & J4-C10	I2J; MOY; POR	Diorite; Grains moyens; Porphyrique	0,28
TLG-ZJ418-077	202	204	J4-C2 & J4-C10	I2J; MOY; POR	Diorite; Grains moyens; Porphyrique	0,26
TLG-ZJ418-079	93	94	J4-C2 & J4-C10	I2J; MAS	Diorite; Roche massive	0,29
TLG-ZJ418-079	99	100,7	J4-C2 & J4-C10	I2J; MAS	Diorite; Roche massive	0,27
TLG-ZJ418-079	111	112	J4-C2 & J4-C10	I2J; MAS	Diorite; Roche massive	0,28
TLG-ZJ418-079	118	119	J4-C2 & J4-C10	I2J; MAS	Diorite; Roche massive	0,28
TLG-ZJ418-080	4	5	J4-C2 & J4-C10	I2J; MAS	Diorite 58°; Roche massive	0,27
TLG-ZJ418-080	10	11	J4-C2 & J4-C10	I2J; MAS	Diorite; Roche massive	0,28
TLG-ZJ418-080	31	32	J4-C2 & J4-C10	I2J; MAS	Diorite; Roche massive	0,29
TLG-ZJ418-080	33	34	J4-C2 & J4-C10	I2J; MAS	Diorite; Roche massive	0,26
TLG-ZJ418-080	38	39,4	J4-C2 & J4-C10	I2J; MAS	Diorite; Roche massive	0,26
TLG-ZJ418-080	41	42	J4-C2 & J4-C10	I2J; MAS; LAM	Diorite 55°; Roche massive; Laminations parallèles	0,26
TLG-ZJ418-080	59	60	J4-C2 & J4-C10	I2J; MAS; LAM	Diorite 55°; Roche massive; Laminations parallèles	0,26
TLG-ZJ418-080	66	67	J4-C2 & J4-C10	I2J; MAS; LAM	Diorite 55°; Roche massive; Laminations parallèles	0,29
TLG-ZJ418-080	67	68	J4-C2 & J4-C10	I2J; MAS; LAM	Diorite 55°; Roche massive; Laminations parallèles	0,26
TLG-ZJ418-080	71	72	J4-C2 & J4-C10	I2J; MAS; LAM	Diorite 55°; Roche massive; Laminations parallèles	0,29
TLG-ZJ418-080	82	83	J4-C2 & J4-C10	I2J; MAS; LAM	Diorite 55°; Roche massive; Laminations parallèles	0,29
TLG-ZJ418-080	91	92	J4-C2 & J4-C10	I2J; MAS; LAM	Diorite 55°; Roche massive; Laminations parallèles	0,28
TLG-ZJ418-080	127	128	J4-C2 & J4-C10	I2J; MAS; LAM	Diorite 55°; Roche massive; Laminations parallèles	0,27
TLG-ZJ418-081	82	83	J4-C2 & J4-C10	I2J; I2J	Diorite; Diorite 52°	0,29
TLG-ZJ418-081	84	85	J4-C2 & J4-C10	I2J; I2J	Diorite; Diorite 52°	0,28
TLG-ZJ418-082	9	10	J4-C2 & J4-C10	I2J; MAS	Diorite 55°; Roche massive	0,27
TLG-ZJ418-082	32	33	J4-C2 & J4-C10	I2J; MAS	Diorite 55°; Roche massive	0,26
TLG-ZJ418-082	68	69	J4-C2 & J4-C10	I2J; MAS	Diorite 55°; Roche massive	0,26
TLG-ZJ418-082	91	92	J4-C2 & J4-C10	I2J; LAM	Diorite; Laminations parallèles	0,29
TLG-ZJ419-091	23	24	J4-C2 & J4-C10	I2J	Diorite	0,27
TLG-ZJ419-091	41	42	J4-C2 & J4-C10	I2J	Diorite	0,27
TLG-ZJ419-091	52	53	J4-C2 & J4-C10	I2J	Diorite	0,27
TLG-ZJ419-091	80	81	J4-C2 & J4-C10	I2J	Diorite	0,29
TLG-ZJ419-091	102	103	J4-C2 & J4-C10	I2J	Diorite	0,26
TLG-ZJ419-091	172	174	J4-C2 & J4-C10	I2J	Diorite	0,27
TLG-ZJ419-091	226	228	J4-C2 & J4-C10	I2J	Diorite	0,28
TLG-ZJ419-092	36	37	J4-C2 & J4-C10	I2J; LAM	Diorite; Laminations parallèles	0,26
TLG-ZJ419-092	51	52	J4-C2 & J4-C10	I2J; LAM	Diorite; Laminations parallèles	0,29
TLG-ZJ419-092	54	55	J4-C2 & J4-C10	I2J; LAM	Diorite; Laminations parallèles	0,26
TLG-ZJ419-092	63	64	J4-C2 & J4-C10	I2J; LAM	Diorite; Laminations parallèles	0,29
TLG-ZJ419-092	95	96	J4-C2 & J4-C10	I2J; LAM	Diorite; Laminations parallèles	0,26
TLG-ZJ419-092	96	97	J4-C2 & J4-C10	I2J; LAM	Diorite; Laminations parallèles	0,29
TLG-ZJ419-092	169	171	J4-C2 & J4-C10	I2J	Diorite	0,29
TLG-ZJ419-092	185	187	J4-C2 & J4-C10	I2J	Diorite	0,27
TLG-ZJ419-092	205	207	J4-C2 & J4-C10	I2J	Diorite	0,26
TLG-ZJ419-092	237	239	J4-C2 & J4-C10	I2J	Diorite	0,28
TLG-ZJ419-094	21	22	J4-C2 & J4-C10	I2J	Diorite 50°	0,27
TLG-ZJ419-094	36	37	J4-C2 & J4-C10	I2J	Diorite 50°	0,27
TLG-ZJ419-094	65	66	J4-C2 & J4-C10	I2J	Diorite 61°	0,28
TLG-ZJ419-094	70	71	J4-C2 & J4-C10	I2J	Diorite 61°	0,26
TLG-ZJ419-094	74	75	J4-C2 & J4-C10	I2J	Diorite 61°	0,26
TLG-ZJ419-094	79	80	J4-C2 & J4-C10	I2J	Diorite 61°	0,26

DDH ID	From	To	For Column	Rock Code	Title	S Final (%)
TLG-ZJ419-094	114	115	J4-C2 & J4-C10	I2J	Diorite	0,27
TLG-ZJ419-094	167	168	J4-C2 & J4-C10	I2J	Diorite	0,29
TLG-ZJ419-094	257	259	J4-C2 & J4-C10	I2J	Diorite 45°	0,28
TLG-ZJ419-094	305	307	J4-C2 & J4-C10	I2J	Diorite 45°	0,28
TLG-ZJ419-094	307	309	J4-C2 & J4-C10	I2J	Diorite 45°	0,29
TLG-ZJ419-095	105	106	J4-C2 & J4-C10	I2J	Diorite 70°	0,26
TLG-ZJ419-095	110	111	J4-C2 & J4-C10	I2J	Diorite 70°	0,27
TLG-ZJ419-095	130	131	J4-C2 & J4-C10	I2J	Diorite 70°	0,28
TLG-ZJ419-095	138	139	J4-C2 & J4-C10	I2J	Diorite 70°	0,26
TLG-ZJ419-095	146	147	J4-C2 & J4-C10	I2J	Diorite 70°	0,26
TLG-ZJ419-095	182	183	J4-C2 & J4-C10	I2J	Diorite 70°	0,28
TLG-ZJ419-095	191	192	J4-C2 & J4-C10	I2J	Diorite 70°	0,27
TLG-ZJ419-095	203	204	J4-C2 & J4-C10	I2J	Diorite 70°	0,27
TLG-ZJ419-095	211	212	J4-C2 & J4-C10	I2J	Diorite 70°	0,29
TLG-ZJ419-095	220	221	J4-C2 & J4-C10	I2J	Diorite 70°	0,29
TLG-ZJ419-095	234	235	J4-C2 & J4-C10	I2J	Diorite 70°	0,28
TLG-ZJ419-095	294	296	J4-C2 & J4-C10	I2J	Diorite 70°	0,28
TLG-ZJ419-096	31	32	J4-C2 & J4-C10	I2J	Diorite 65°	0,27
TLG-ZJ419-096	66	67	J4-C2 & J4-C10	I2J	Diorite 65°	0,28
TLG-ZJ419-096	120	121	J4-C2 & J4-C10	I2J	Diorite 65°	0,28
TLG-ZJ419-096	122	123	J4-C2 & J4-C10	I2J	Diorite 65°	0,29
TLG-ZJ419-096	123	124	J4-C2 & J4-C10	I2J	Diorite 65°	0,28
TLG-ZJ419-096	150	151	J4-C2 & J4-C10	I2J	Diorite	0,27
TLG-ZJ419-096	152	152,95	J4-C2 & J4-C10	I2J	Diorite	0,27
TLG-ZJ419-096	183	185	J4-C2 & J4-C10	I2J	Diorite	0,28
TLG-ZJ419-096	255	257	J4-C2 & J4-C10	I2J	Diorite	0,26
TLG-ZJ419-096	261	263	J4-C2 & J4-C10	I2J	Diorite	0,29
TLG-ZJ419-098	51	52	J4-C2 & J4-C10	I2J	Diorite 65°	0,27
TLG-ZJ419-098	81	82	J4-C2 & J4-C10	I2J	Diorite 65°	0,26
TLG-ZJ419-098	83	84	J4-C2 & J4-C10	I2J	Diorite 65°	0,27
TLG-ZJ419-098	113	114	J4-C2 & J4-C10	I2J	Diorite 65°	0,27
TLG-ZJ419-098	120	121	J4-C2 & J4-C10	I2J	Diorite 65°	0,26
TLG-ZJ419-098	125	126	J4-C2 & J4-C10	I2J	Diorite 65°	0,26
TLG-ZJ419-098	130	131	J4-C2 & J4-C10	I2J	Diorite 65°	0,26
TLG-ZJ419-098	132	133	J4-C2 & J4-C10	I2J	Diorite 65°	0,26
TLG-ZJ419-098	139	140	J4-C2 & J4-C10	I2J	Diorite 65°	0,29
TLG-ZJ419-098	141	142	J4-C2 & J4-C10	I2J	Diorite 65°	0,29
TLG-ZJ419-098	153	154	J4-C2 & J4-C10	I2J	Diorite 65°	0,27
TLG-ZJ419-098	198	199	J4-C2 & J4-C10	I2J	Diorite	0,29
TLG-ZJ419-098	199	200	J4-C2 & J4-C10	I2J	Diorite	0,29
TLG-ZJ419-098	204	205	J4-C2 & J4-C10	I2J	Diorite	0,28
TLG-ZJ419-098	216	217	J4-C2 & J4-C10	I2J	Diorite	0,28
TLG-ZJ419-098	224	225	J4-C2 & J4-C10	I2J	Diorite	0,29
TLG-ZJ419-098	238	240	J4-C2 & J4-C10	I2J	Diorite	0,28
TLG-ZJ419-099	23	24	J4-C2 & J4-C10	I2J	Diorite 50°	0,26
TLG-ZJ419-099	47	48	J4-C2 & J4-C10	I2J	Diorite 20°	0,27
TLG-ZJ419-099	50	51	J4-C2 & J4-C10	I2J	Diorite 20°	0,29
TLG-ZJ419-099	55	56	J4-C2 & J4-C10	I2J	Diorite 20°	0,27
TLG-ZJ419-099	114	115	J4-C2 & J4-C10	I2J	Diorite 20°	0,27
TLG-ZJ419-099	115	116	J4-C2 & J4-C10	I2J	Diorite 20°	0,28
TLG-ZJ419-099	118	119	J4-C2 & J4-C10	I2J	Diorite 20°	0,27
TLG-ZJ419-099	137	138	J4-C2 & J4-C10	I2J	Diorite 20°	0,29
TLG-ZJ419-099	142	143	J4-C2 & J4-C10	I2J	Diorite 20°	0,27
TLG-ZJ419-099	158	159	J4-C2 & J4-C10	I2J	Diorite 20°	0,26
TLG-ZJ419-099	166	167	J4-C2 & J4-C10	I2J	Diorite 20°	0,28
TLG-ZJ419-099	167	168	J4-C2 & J4-C10	I2J	Diorite 20°	0,29
TLG-ZJ419-099	174	176	J4-C2 & J4-C10	I2J	Diorite 20°	0,27
TLG-ZJ419-099	194	196	J4-C2 & J4-C10	I2J	Diorite 20°	0,28
TLG-ZJ419-099	210	212	J4-C2 & J4-C10	I2J	Diorite 20°	0,26
TLG-ZJ419-100	76	78	J4-C2 & J4-C10	I2J; FIN; MAS	Diorite; Grains fins; Roche massive	0,29
TLG-ZJ419-100	108	110	J4-C2 & J4-C10	I2J; FIN; POR	Diorite; Grains fins; Porphyrique	0,26
TLG-ZJ419-100	118	120	J4-C2 & J4-C10	I2J; MOY; GRO	Diorite; Grains moyens; Grains grossiers	0,26
TLG-ZJ419-100	134	136	J4-C2 & J4-C10	I2J; FIN; POR	Diorite; Grains fins; Porphyrique	0,28
TLG-ZJ419-100	138	140	J4-C2 & J4-C10	I2J; FIN; POR	Diorite; Grains fins; Porphyrique	0,26
TLG-ZJ419-100	142	144	J4-C2 & J4-C10	I2J; FIN; POR	Diorite; Grains fins; Porphyrique	0,27
TLG-ZJ419-100	144	146	J4-C2 & J4-C10	I2J; FIN; POR	Diorite; Grains fins; Porphyrique	0,29
TLG-ZJ419-100	146	148	J4-C2 & J4-C10	I2J; FIN; POR	Diorite; Grains fins; Porphyrique	0,26
TLG-ZJ419-100	192	194	J4-C2 & J4-C10	I2J; RUB; MOY	Diorite; Rubané; Grains moyens	0,29
TLG-ZJ419-100	266	268	J4-C2 & J4-C10	I2J; FIN	Diorite; Grains fins	0,27
TLG-ZJ419-100	352	354	J4-C2 & J4-C10	I2J; FIN	Diorite; Grains fins	0,26
TLG-ZJ419-101	54	56	J4-C2 & J4-C10	I2J; FIN	Diorite; Grains fins	0,27
TLG-ZJ419-101	104	106	J4-C2 & J4-C10	I2J; FIN	Diorite; Grains fins	0,27
TLG-ZJ419-101	108	110	J4-C2 & J4-C10	I2J; FIN	Diorite; Grains fins	0,26

DDH ID	From	To	For Column	Rock Code	Title	S Final (%)
TLG-ZJ419-101	114	116	J4-C2 & J4-C10	I2J; FIN	Diorite; Grains fins	0,28
TLG-ZJ419-101	142	144	J4-C2 & J4-C10	I2J; FIN	Diorite; Grains fins	0,27
TLG-ZJ419-101	156	158	J4-C2 & J4-C10	I2J; FIN	Diorite; Grains fins	0,29
TLG-ZJ419-101	168	170	J4-C2 & J4-C10	I2J; FIN	Diorite; Grains fins	0,27
TLG-ZJ419-101	184	186	J4-C2 & J4-C10	I2J; FIN	Diorite; Grains fins	0,27
TLG-ZJ419-101	204	206	J4-C2 & J4-C10	I2J; MOY	Diorite; Grains moyens	0,27
TLG-ZJ419-101	212	214	J4-C2 & J4-C10	I2J; MOY	Diorite; Grains moyens	0,27
TLG-ZJ419-101	264	266	J4-C2 & J4-C10	I2J; FIN; I1G	Diorite; Grains fins; Pegmatite	0,29
TLG-ZJ419-101	304	306	J4-C2 & J4-C10	I2J; FIN	Diorite; Grains fins	0,26
TLG-ZJ419-101	396	398	J4-C2 & J4-C10	I2J; FIN; RUB	Diorite; Grains fins; Rubané	0,29
TLG-ZJ419-102	164	166	J4-C2 & J4-C10	I2J; FIN	Diorite; Grains fins	0,29
TLG-ZJ419-102	208	210	J4-C2 & J4-C10	I2J; FIN	Diorite; Grains fins	0,26
TLG-ZJ419-102	222	224	J4-C2 & J4-C10	I2J; POR	Diorite; Porphyrique	0,26
TLG-ZJ419-102	226	228	J4-C2 & J4-C10	I2J; FIN	Diorite; Grains fins	0,26
TLG-ZJ419-102	252	254	J4-C2 & J4-C10	I2J; FIN	Diorite; Grains fins	0,26
TLG-ZJ419-102	268	270	J4-C2 & J4-C10	I2J; FIN	Diorite; Grains fins	0,27
TLG-ZJ419-102	274	276	J4-C2 & J4-C10	I2J; FIN	Diorite; Grains fins	0,27
TLG-ZJ419-102	276	278	J4-C2 & J4-C10	I2J; FIN	Diorite; Grains fins	0,27
TLG-ZJ419-102	284	286	J4-C2 & J4-C10	I2J; MAS; FIN	Diorite; Roche massive; Grains fins	0,27
TLG-ZJ419-102	300	302	J4-C2 & J4-C10	I2J; MAS; FIN	Diorite; Roche massive; Grains fins	0,28
TLG-ZJ419-102	308	310	J4-C2 & J4-C10	I2J; MAS; FIN	Diorite; Roche massive; Grains fins	0,28
TLG-ZJ419-103	32	33	J4-C2 & J4-C10	I2J	Diorite	0,26
TLG-ZJ419-103	51	52	J4-C2 & J4-C10	I2J	Diorite	0,29
TLG-ZJ419-103	57	58	J4-C2 & J4-C10	I2J	Diorite	0,27
TLG-ZJ419-103	95	96	J4-C2 & J4-C10	I2J	Diorite	0,26
TLG-ZJ419-103	116	117	J4-C2 & J4-C10	I2J	Diorite	0,26
TLG-ZJ419-103	121	122	J4-C2 & J4-C10	I2J	Diorite	0,29
TLG-ZJ419-103	151	152	J4-C2 & J4-C10	I2J	Diorite	0,27
TLG-ZJ419-103	163	164	J4-C2 & J4-C10	I2J	Diorite	0,27
TLG-ZJ419-103	223	224	J4-C2 & J4-C10	I2J	Diorite 20°	0,29
TLG-ZJ419-104	42	43	J4-C2 & J4-C10	I2J	Diorite 60°	0,26
TLG-ZJ419-104	44	45	J4-C2 & J4-C10	I2J	Diorite 60°	0,29
TLG-ZJ419-104	61	62	J4-C2 & J4-C10	I2J	Diorite 60°	0,29
TLG-ZJ419-104	66	67	J4-C2 & J4-C10	I2J	Diorite 60°	0,26
TLG-ZJ419-104	74	75	J4-C2 & J4-C10	I2J	Diorite	0,28
TLG-ZJ419-104	81	82	J4-C2 & J4-C10	I2J	Diorite	0,28
TLG-ZJ419-104	125	126	J4-C2 & J4-C10	I2J	Diorite	0,27
TLG-ZJ419-104	126	127	J4-C2 & J4-C10	I2J	Diorite	0,28
TLG-ZJ419-104	137	138	J4-C2 & J4-C10	I2J	Diorite	0,28
TLG-ZJ419-104	139	140	J4-C2 & J4-C10	I2J	Diorite	0,28
TLG-ZJ419-104	169	170	J4-C2 & J4-C10	I2J	Diorite	0,27
TLG-ZJ419-105	35	36	J4-C2 & J4-C10	I2J; I2J	Diorite; Diorite 50°	0,26
TLG-ZJ419-105	37	38	J4-C2 & J4-C10	I2J; I2J	Diorite; Diorite 50°	0,26
TLG-ZJ419-105	99	100	J4-C2 & J4-C10	I2J	Diorite 50°	0,26
TLG-ZJ419-105	106	107	J4-C2 & J4-C10	I2J	Diorite 50°	0,28
TLG-ZJ419-105	120	121	J4-C2 & J4-C10	I2J	Diorite 50°	0,27
TLG-ZJ419-105	147	148	J4-C2 & J4-C10	I2J	Diorite 50°	0,28
TLG-ZJ419-105	158	159	J4-C2 & J4-C10	I2J	Diorite 50°	0,28
TLG-ZJ419-105	201	202	J4-C2 & J4-C10	I2J	Diorite 50°	0,28
TLG-ZJ419-105	213	214	J4-C2 & J4-C10	I2J	Diorite 50°	0,26
TLG-ZJ419-105	216	217	J4-C2 & J4-C10	I2J	Diorite 50°	0,27
TLG-ZJ419-105	225	226	J4-C2 & J4-C10	I2J	Diorite 50°	0,29
TLG-ZJ419-105	238	239	J4-C2 & J4-C10	I2J	Diorite 50°	0,26
TLG-ZJ419-105	254	255	J4-C2 & J4-C10	I2J	Diorite 50°	0,27
TLG-ZJ419-105	286	288	J4-C2 & J4-C10	I2J	Diorite 50°	0,27
TLG-ZJ419-105	290	292	J4-C2 & J4-C10	I2J	Diorite 50°	0,27
TLG-ZJ419-105	300	302	J4-C2 & J4-C10	I2J	Diorite 50°	0,27
TLG-ZJ419-105	386	388	J4-C2 & J4-C10	I2J	Diorite	0,28
TLG-ZJ419-106	189	191	J4-C2 & J4-C10	I2J; LAM; FIN	Diorite; Laminations parallèles; Grains fins	0,26
TLG-ZJ419-106	217	219	J4-C2 & J4-C10	I2J; LAM; FIN	Diorite; Laminations parallèles; Grains fins	0,29
TLG-ZJ419-106	229	231	J4-C2 & J4-C10	I2J; LAM; FIN	Diorite; Laminations parallèles; Grains fins	0,26
TLG-ZJ419-106	247	249	J4-C2 & J4-C10	I2J; LAM; FIN	Diorite; Laminations parallèles; Grains fins	0,28
TLG-ZJ419-106	259	261	J4-C2 & J4-C10	I2J; LAM; FIN	Diorite; Laminations parallèles; Grains fins	0,27
TLG-ZJ419-106	267	269	J4-C2 & J4-C10	I2J; LAM; FIN	Diorite; Laminations parallèles; Grains fins	0,26
TLG-ZJ419-106	397	399	J4-C2 & J4-C10	I2J; LAM; FIN	Diorite; Laminations parallèles; Grains fins	0,27
TLG-ZJ419-107	35	37	J4-C2 & J4-C10	I2J; LAM; FIN	Diorite; Laminations parallèles; Grains fins	0,29
TLG-ZJ419-107	99	101	J4-C2 & J4-C10	I2J; LAM; FIN	Diorite; Laminations parallèles; Grains fins	0,26
TLG-ZJ419-107	109	111	J4-C2 & J4-C10	I2J; LAM; FIN	Diorite; Laminations parallèles; Grains fins	0,28
TLG-ZJ419-107	127	129	J4-C2 & J4-C10	I2J; LAM; FIN	Diorite; Laminations parallèles; Grains fins	0,26
TLG-ZJ419-107	163	165	J4-C2 & J4-C10	I2J; LAM; FIN	Diorite; Laminations parallèles; Grains fins	0,26
TLG-ZJ419-107	243	245	J4-C2 & J4-C10	I2J; LAM; FIN	Diorite; Laminations parallèles; Grains fins	0,28
TLG-ZJ419-107	307	309	J4-C2 & J4-C10	I2J; LAM; FIN	Diorite; Laminations parallèles; Grains fins	0,27
TLG-ZJ419-107	395	397	J4-C2 & J4-C10	I2J; LAM; FIN	Diorite; Laminations parallèles; Grains fins	0,28

DDH ID	From	To	For Column	Rock Code	Title	S Final (%)
TLG-ZJ419-107	401	403	J4-C2 & J4-C10	I2J; LAM; FIN	Diorite; Laminations parallèles; Grains fins	0,28
TLG-ZJ419-108	32	34	J4-C2 & J4-C10	I2J; FIN; LAM	Diorite; Grains fins; Laminations parallèles	0,29
TLG-ZJ419-108	48	50	J4-C2 & J4-C10	I2J; FIN; POR; LAM; MAG	Diorite; Grains fins; Porphyrique; Laminations parallèles; Magnétique	0,29
TLG-ZJ419-108	108	110	J4-C2 & J4-C10	I2J; FIN; POR	Diorite; Grains fins; Porphyrique	0,26
TLG-ZJ419-108	180	182	J4-C2 & J4-C10	I2J; FIN; POR	Diorite; Grains fins; Porphyrique	0,26
TLG-ZJ419-108	204	206	J4-C2 & J4-C10	I2J; FIN; POR	Diorite; Grains fins; Porphyrique	0,26
TLG-ZJ419-110	256	258	J4-C2 & J4-C10	I2J; POR; MOY	Diorite; Porphyrique; Grains moyens	0,28
TLG-ZJ419-110	282	284	J4-C2 & J4-C10	I2J; FIN; MOY; POR	Diorite; Grains fins; Grains moyens; Porphyrique	0,28
TLG-ZJ419-110	288	290	J4-C2 & J4-C10	I2J; FIN; MOY; POR	Diorite; Grains fins; Grains moyens; Porphyrique	0,29
TLG-ZJ419-110	358	360	J4-C2 & J4-C10	I2J; FIN; MOY; LAM	Diorite; Grains fins; Grains moyens; Laminations parallèles	0,27
TLG-ZJ419-110	394	396	J4-C2 & J4-C10	I2J; FIN; MOY; LAM	Diorite; Grains fins; Grains moyens; Laminations parallèles	0,29
TLG-ZJ419-110	408	410	J4-C2 & J4-C10	I2J; FIN; MOY; LAM	Diorite; Grains fins; Grains moyens; Laminations parallèles	0,29
TLG-ZJ419-110	518	520	J4-C2 & J4-C10	I2J; FIN; LAM	Diorite; Grains fins; Laminations parallèles	0,28
TLG-ZJ419-112	106	108	J4-C2 & J4-C10	I2J; FIN; LAM	Diorite; Grains fins; Laminations parallèles	0,27
TLG-ZJ419-112	132	134	J4-C2 & J4-C10	I2J; FIN; LAM	Diorite; Grains fins; Laminations parallèles	0,27
TLG-ZJ419-112	202	204	J4-C2 & J4-C10	I2J; LAM; MOY	Diorite; Laminations parallèles; Grains moyens	0,26
TLG-ZJ419-112	256	258	J4-C2 & J4-C10	I2J	Diorite	0,27
TLG-ZJ419-112	262	264	J4-C2 & J4-C10	I2J	Diorite	0,28
TLG-ZJ419-112	448	450	J4-C2 & J4-C10	I2J; FIN	Diorite; Grains fins	0,29
TLG-ZJ419-113	60	62	J4-C2 & J4-C10	I2J; I1; QFP	Diorite; Intrusif felsique; QFP	0,28
TLG-ZJ419-113	68	70	J4-C2 & J4-C10	I2J; I1; QFP	Diorite; Intrusif felsique; QFP	0,29
TLG-ZJ419-113	140	142	J4-C2 & J4-C10	I2J; FIN; LAM	Diorite; Grains fins; Laminations parallèles	0,28
TLG-ZJ419-113	228	230	J4-C2 & J4-C10	I2J; LAM; FIN; MOY; POR	Diorite; Laminations parallèles; Grains fins; Grains moyens; Porphyrique	0,26
TLG-ZJ419-113	234	236	J4-C2 & J4-C10	I2J; LAM; FIN; MOY; POR	Diorite; Laminations parallèles; Grains fins; Grains moyens; Porphyrique	0,26
TLG-ZJ419-113	280	282	J4-C2 & J4-C10	I2J; LAM; FIN; MAG	Diorite; Laminations parallèles; Grains fins; Magnétique	0,26
TLG-ZJ419-113	282	284	J4-C2 & J4-C10	I2J; LAM; FIN; MAG	Diorite; Laminations parallèles; Grains fins; Magnétique	0,27
TLG-ZJ419-113	286	288	J4-C2 & J4-C10	I2J; LAM; FIN; MAG	Diorite; Laminations parallèles; Grains fins; Magnétique	0,26
TLG-ZJ419-113	292	294	J4-C2 & J4-C10	I2J; LAM; FIN; MAG	Diorite; Laminations parallèles; Grains fins; Magnétique	0,27
TLG-ZJ419-113	300	302	J4-C2 & J4-C10	I2J; LAM; FIN; MAG	Diorite; Laminations parallèles; Grains fins; Magnétique	0,27
TLG-ZJ419-113	376	378	J4-C2 & J4-C10	I2J; FIN; LAM; MAG	Diorite; Grains fins; Laminations parallèles; Magnétique	0,28
TLG-ZJ419-148	116	118	J4-C2 & J4-C10	I2J; FIN; MOY	Diorite; Grains fins; Grains moyens	0,27
TLG-ZJ419-149	130	132	J4-C2 & J4-C10	I2J; MAS	Diorite; Roche massive	0,28
TLG-ZJ419-149	200	202	J4-C2 & J4-C10	I2J; FIN; MOY	Diorite; Grains fins; Grains moyens	0,29
TLG-ZJ419-149	220	222	J4-C2 & J4-C10	I2J; FIN; MOY	Diorite; Grains fins; Grains moyens	0,26
TLG-ZJ419-149	232	234	J4-C2 & J4-C10	I2J; FIN; MOY	Diorite; Grains fins; Grains moyens	0,28
TLG-ZJ419-149	306	308	J4-C2 & J4-C10	I2J; FIN; LAM	Diorite; Grains fins; Laminations parallèles	0,27
TLG-ZJ419-149	322	324	J4-C2 & J4-C10	I2J; FIN; LAM	Diorite; Grains fins; Laminations parallèles	0,26
TLG-ZJ419-151	64	66	J4-C2 & J4-C10	I2J; FIN	Diorite; Grains fins	0,27
TLG-ZJ419-151	84	86	J4-C2 & J4-C10	I2J; FIN	Diorite; Grains fins	0,26
TLG-ZJ419-151	182	184	J4-C2 & J4-C10	I2J; MOY; FIN; LAM	Diorite; Grains moyens; Grains fins; Laminations parallèles	0,26
TLG-ZJ419-151	206	208	J4-C2 & J4-C10	I2J; MOY; FIN; LAM	Diorite; Grains moyens; Grains fins; Laminations parallèles	0,28
TLG-ZJ419-152	203	205	J4-C2 & J4-C10	I2J; LAM; FIN	Diorite; Laminations parallèles; Grains fins	0,28
TLG-ZJ419-152	209	211	J4-C2 & J4-C10	I2J; LAM; FIN	Diorite; Laminations parallèles; Grains fins	0,28
TLG-ZJ419-152	225	227	J4-C2 & J4-C10	I2J; POR; LAM; MOY	Diorite; Porphyrique; Laminations parallèles; Grains moyens	0,29
TLG-ZJ419-152	259	261	J4-C2 & J4-C10	I2J; POR; LAM; MOY	Diorite; Porphyrique; Laminations parallèles; Grains moyens	0,28
TLG-ZJ419-152	261	263	J4-C2 & J4-C10	I2J; POR; LAM; MOY	Diorite; Porphyrique; Laminations parallèles; Grains moyens	0,28
TLG-ZJ419-152	389	391	J4-C2 & J4-C10	I2J; LAM; FIN	Diorite; Laminations parallèles; Grains fins	0,27
TLG-ZJ419-153	176	178	J4-C2 & J4-C10	I2J; FIN; GRO; POR; LAM	Diorite; Grains fins; Grains grossiers; Porphyrique; Laminations parallèles	0,27
TLG-ZJ419-153	204	206	J4-C2 & J4-C10	I2J; GRO; POR	Diorite; Grains grossiers; Porphyrique	0,28
TLG-ZJ419-153	248	250	J4-C2 & J4-C10	I2J; FIN	Diorite; Grains fins	0,26
TLG-ZJ419-153	266	268	J4-C2 & J4-C10	I2J; FIN	Diorite; Grains fins	0,29
TLG-ZJ419-153	290	292	J4-C2 & J4-C10	I2J; FIN	Diorite; Grains fins	0,27
TLG-ZJ419-153	390	392	J4-C2 & J4-C10	I2J; FIN; LAM	Diorite; Grains fins; Laminations parallèles	0,27
TLG-ZJ419-155	164	166	J4-C2 & J4-C10	I2J; LAM; FIN	Diorite; Laminations parallèles; Grains fins	0,27
TLG-ZJ419-155	186	188	J4-C2 & J4-C10	I2J; LAM; FIN	Diorite; Laminations parallèles; Grains fins	0,29
TLG-ZJ419-155	228	230	J4-C2 & J4-C10	I2J; MOY; POR	Diorite; Grains moyens; Porphyrique	0,29
TLG-ZJ419-155	240	242	J4-C2 & J4-C10	I2J; FIN	Diorite; Grains fins	0,28
TLG-ZJ419-155	272	274	J4-C2 & J4-C10	I2J; FIN; LAM	Diorite; Grains fins; Laminations parallèles	0,29
TLG-ZJ419-155	280	282	J4-C2 & J4-C10	I2J; MOY	Diorite; Grains moyens	0,28
TLG-ZJ419-155	348	350	J4-C2 & J4-C10	I2J; FIN	Diorite; Grains fins	0,27
TLG-ZJ419-156	141	143	J4-C2 & J4-C10	I2J; FIN; LAM	Diorite; Grains fins; Laminations parallèles	0,26
TLG-ZJ419-156	151	153	J4-C2 & J4-C10	I2J; FIN; LAM	Diorite; Grains fins; Laminations parallèles	0,26
TLG-ZJ419-156	165	167	J4-C2 & J4-C10	I2J; FIN; LAM	Diorite; Grains fins; Laminations parallèles	0,29
TLG-ZJ419-156	289	291	J4-C2 & J4-C10	I2J; RUB; LAM; FIN	Diorite; Rubané; Laminations parallèles; Grains fins	0,28
TLG-ZJ419-157	111	113	J4-C2 & J4-C10	I2J; LAM; FIN	Diorite; Laminations parallèles; Grains fins	0,27
TLG-ZJ419-157	369	371	J4-C2 & J4-C10	I2J; LAM; FIN	Diorite; Laminations parallèles; Grains fins	0,29
TLG-ZJ419-159	15	17	J4-C2 & J4-C10	I2J; LAM	Diorite; Laminations parallèles	0,26
TLG-ZJ419-159	45	47	J4-C2 & J4-C10	I2J; LAM	Diorite; Laminations parallèles	0,28
TLG-ZJ419-165	182	184	J4-C2 & J4-C10	I2J; FIN; LAM	Diorite; Grains fins; Laminations parallèles	0,28
TLG-ZJ419-165	204	206	J4-C2 & J4-C10	I2J; LAM; FIN	Diorite; Laminations parallèles; Grains fins	0,26
TLG-ZJ419-165	236	238	J4-C2 & J4-C10	I2J; LAM; FIN	Diorite; Laminations parallèles; Grains fins	0,28
TLG-ZJ419-165	260	262	J4-C2 & J4-C10	I2J; FIN; LAM	Diorite; Grains fins; Laminations parallèles	0,29
TLG-ZJ419-165	262	264	J4-C2 & J4-C10	I2J; FIN; LAM	Diorite; Grains fins; Laminations parallèles	0,27

DDH ID	From	To	For Column	Rock Code	Title	S Final (%)
TLG-ZJ419-165	288	290	J4-C2 & J4-C10	I2J; FIN; LAM	Diorite; Grains fins; Laminations parallèles	0,28
TLG-ZJ419-166	179	181	J4-C2 & J4-C10	I2J; FIN; POR	Diorite; Grains fins; Porphyrique	0,26
TLG-ZJ419-166	237	239	J4-C2 & J4-C10	I2J; FIN; LAM	Diorite; Grains fins; Laminations parallèles	0,26
TLG-ZJ419-166	247	249	J4-C2 & J4-C10	I2J; FIN; LAM	Diorite; Grains fins; Laminations parallèles	0,29
TLG-ZJ419-166	255	257	J4-C2 & J4-C10	I2J; FIN; LAM	Diorite; Grains fins; Laminations parallèles	0,26
TLG-ZJ419-166	271	273	J4-C2 & J4-C10	I2J; FIN; LAM	Diorite; Grains fins; Laminations parallèles	0,27
TLG-ZJ419-167	145	147	J4-C2 & J4-C10	I2J; FIN	Diorite; Grains fins	0,28
TLG-ZJ419-167	157	159	J4-C2 & J4-C10	I2J; FIN	Diorite; Grains fins	0,28
TLG-ZJ419-168	59	61	J4-C2 & J4-C10	I2J; FIN; LAM	Diorite; Grains fins; Laminations parallèles	0,26
TLG-ZJ419-168	119	121	J4-C2 & J4-C10	I2J; FIN; LAM	Diorite; Grains fins; Laminations parallèles	0,27
TLG-ZJ419-168	131	133	J4-C2 & J4-C10	I2J; FIN; LAM	Diorite; Grains fins; Laminations parallèles	0,26
TLG-ZJ419-168	149	151	J4-C2 & J4-C10	I2J; FIN; LAM	Diorite; Grains fins; Laminations parallèles	0,26
TLG-ZJ419-168	155	157	J4-C2 & J4-C10	I2J; FIN; LAM	Diorite; Grains fins; Laminations parallèles	0,26
TLG-ZJ419-168	193	195	J4-C2 & J4-C10	I2J; FIN; LAM	Diorite; Grains fins; Laminations parallèles	0,29
TLG-ZJ419-168	201	203	J4-C2 & J4-C10	I2J; FIN; LAM	Diorite; Grains fins; Laminations parallèles	0,26
TLG-ZJ419-168	225	227	J4-C2 & J4-C10	I2J; FIN; LAM	Diorite; Grains fins; Laminations parallèles	0,26
TLG-ZJ419-168	241	243	J4-C2 & J4-C10	I2J; FIN; LAM	Diorite; Grains fins; Laminations parallèles	0,28
TLG-ZJ419-168	299	301	J4-C2 & J4-C10	I2J; FIN	Diorite; Grains fins	0,29
TLG-ZJ419-168	315	317	J4-C2 & J4-C10	I2J; FIN	Diorite; Grains fins	0,28
TLG-ZJ419-168	365	367	J4-C2 & J4-C10	I2J; FIN; LAM	Diorite; Grains fins; Laminations parallèles	0,27
TLG-ZJ419-170	36	38	J4-C2 & J4-C10	I2J; LAM; V	Diorite; Laminations parallèles; Volcanites indifférenciées	0,27
TLG-ZJ419-170	84	86	J4-C2 & J4-C10	I2J; LAM; V	Diorite; Laminations parallèles; Volcanites indifférenciées	0,28
TLG-ZJ419-172	224	226	J4-C2 & J4-C10	I2J	Diorite	0,27
TLG-ZJ419-172	252	254	J4-C2 & J4-C10	I2J	Diorite	0,29
TLG-ZJ419-172	300	302	J4-C2 & J4-C10	I2J; FIN	Diorite; Grains fins	0,26
TLG-ZJ20-221	28	29	J4-C2 & J4-C10	I2J; FIN	Diorite; Grains fins	0,26
TLG-ZJ20-221	29	30	J4-C2 & J4-C10	I2J; FIN	Diorite; Grains fins	0,27
TLG-ZJ20-221	68	69	J4-C2 & J4-C10	I2J; FIN	Diorite; Grains fins	0,27
TLG-ZJ20-221	116	117	J4-C2 & J4-C10	I2J; LAM; POBBo	Diorite; Laminations parallèles; Porphyroblaste de biotite	0,26
TLG-ZJ20-221	118	119	J4-C2 & J4-C10	I2J; LAM; POBBo	Diorite; Laminations parallèles; Porphyroblaste de biotite	0,26
TLG-ZJ20-221	143	144	J4-C2 & J4-C10	I2J; FIN	Diorite; Grains fins	0,29
TLG-ZJ20-221	177	178	J4-C2 & J4-C10	I2J; FIN	Diorite; Grains fins	0,26
TLG-ZJ20-221	192	193	J4-C2 & J4-C10	I2J; LAM; POBBo	Diorite; Laminations parallèles; Porphyroblaste de biotite	0,27
TLG-ZJ20-221	274	275	J4-C2 & J4-C10	I2J; LAM; POBBo	Diorite; Laminations parallèles; Porphyroblaste de biotite	0,29
TLG-ZJ20-221	276	277	J4-C2 & J4-C10	I2J; LAM; POBBo	Diorite; Laminations parallèles; Porphyroblaste de biotite	0,28
TLG-ZJ20-221	277	278	J4-C2 & J4-C10	I2J; LAM; POBBo	Diorite; Laminations parallèles; Porphyroblaste de biotite	0,28
TLG-ZJ20-221	294	295	J4-C2 & J4-C10	I2J; FIN	Diorite; Grains fins	0,26
TLG-ZJ20-221	304	305	J4-C2 & J4-C10	I2J; LAM	Diorite; Laminations parallèles	0,26
TLG-ZJ20-221	306	307	J4-C2 & J4-C10	I2J; LAM	Diorite; Laminations parallèles	0,26
TLG-ZJ20-221	324	325	J4-C2 & J4-C10	I2J; LAM	Diorite; Laminations parallèles	0,27
TLG-ZJ20-222	71	72	J4-C2 & J4-C10	I2J	Diorite	0,26
TLG-ZJ20-222	77	78	J4-C2 & J4-C10	I2J	Diorite	0,26
TLG-ZJ20-222	91	92	J4-C2 & J4-C10	I2J	Diorite	0,28
TLG-ZJ20-222	112	113	J4-C2 & J4-C10	I2J	Diorite	0,26
TLG-ZJ20-222	114	115	J4-C2 & J4-C10	I2J	Diorite	0,29
TLG-ZJ20-222	125	126	J4-C2 & J4-C10	I2J	Diorite	0,26
TLG-ZJ20-222	241	242	J4-C2 & J4-C10	I2J	Diorite	0,26
TLG-ZJ20-222	246	247	J4-C2 & J4-C10	I2J	Diorite	0,27
TLG-ZJ20-222	266	267	J4-C2 & J4-C10	I2J	Diorite	0,26
TLG-ZJ20-222	269	270	J4-C2 & J4-C10	I2J	Diorite	0,29
TLG-ZJ20-222	319	320	J4-C2 & J4-C10	I2J	Diorite	0,29
TLG-ZJ20-223	40	41	J4-C2 & J4-C10	I2J	Diorite	0,28
TLG-ZJ20-223	113	114	J4-C2 & J4-C10	I2J	Diorite	0,27
TLG-ZJ20-223	118	119	J4-C2 & J4-C10	I2J	Diorite	0,28
TLG-ZJ20-223	129	130	J4-C2 & J4-C10	I2J	Diorite	0,28
TLG-ZJ20-223	133	134	J4-C2 & J4-C10	I2J	Diorite	0,27
TLG-ZJ20-223	136	137	J4-C2 & J4-C10	I2J	Diorite	0,28
TLG-ZJ20-223	163	164	J4-C2 & J4-C10	I2J	Diorite	0,27
TLG-ZJ20-223	191	192	J4-C2 & J4-C10	I2J	Diorite	0,26
TLG-ZJ20-223	210	211	J4-C2 & J4-C10	I2J	Diorite	0,28
TLG-ZJ20-223	243	244	J4-C2 & J4-C10	I2J	Diorite	0,29
TLG-ZJ20-223	256	257	J4-C2 & J4-C10	I2J	Diorite	0,26
TLG-ZJ20-224	134	135	J4-C2 & J4-C10	I2J; FIN	Diorite; Grains fins	0,29
TLG-ZJ20-224	149	150	J4-C2 & J4-C10	I2J; POB	Diorite; Porphyroblastique	0,28
TLG-ZJ20-224	187	188	J4-C2 & J4-C10	I2J	Diorite	0,29
TLG-ZJ20-224	241	242	J4-C2 & J4-C10	I2J; POB	Diorite; Porphyroblastique	0,28
TLG-ZJ21-225	132	133	J4-C2 & J4-C10	I2J	Diorite	0,28
TLG-ZJ21-225	135	136	J4-C2 & J4-C10	I2J	Diorite	0,29
TLG-ZJ21-225	211	212	J4-C2 & J4-C10	I2J	Diorite	0,28
TLG-ZJ21-225	319	320	J4-C2 & J4-C10	I2J	Diorite	0,29
TLG-ZJ21-225	342	343	J4-C2 & J4-C10	I2J	Diorite	0,28
TLG-ZJ21-225	344	345	J4-C2 & J4-C10	I2J	Diorite	0,26
TLG-ZJ21-225	355	356	J4-C2 & J4-C10	I2J	Diorite	0,26

DDH ID	From	To	For Column	Rock Code	Title	S Final (%)
TLG-ZJ21-225	366	367	J4-C2 & J4-C10	I2J	Diorite	0,26
TLG-ZJ21-228	44	45	J4-C2 & J4-C10	I2J; LAM	Diorite; Laminations parallèles	0,27
TLG-ZJ21-228	45	46	J4-C2 & J4-C10	I2J; LAM	Diorite; Laminations parallèles	0,29
TLG-ZJ21-228	59	60	J4-C2 & J4-C10	I2J; LAM	Diorite; Laminations parallèles	0,29
TLG-ZJ21-228	193	194	J4-C2 & J4-C10	I2J; FIN	Diorite; Grains fins	0,27
TLG-ZJ21-228	197	198	J4-C2 & J4-C10	I2J; FIN	Diorite; Grains fins	0,26
TLG-ZJ21-229	124	125	J4-C2 & J4-C10	I2J; FIN	Diorite; Grains fins	0,28
TLG-ZJ21-229	144	145	J4-C2 & J4-C10	I2J; FIN	Diorite; Grains fins	0,26
TLG-ZJ21-229	145	146	J4-C2 & J4-C10	I2J; FIN	Diorite; Grains fins	0,29
TLG-ZJ21-229	179	180	J4-C2 & J4-C10	I2J; FIN	Diorite; Grains fins	0,27
TLG-ZJ21-229	199	200	J4-C2 & J4-C10	I2J; FIN	Diorite; Grains fins	0,29
TLG-ZJ21-229	201	202	J4-C2 & J4-C10	I2J; FIN	Diorite; Grains fins	0,26
TLG-ZJ21-229	206	207	J4-C2 & J4-C10	I2J; FIN	Diorite; Grains fins	0,28
TLG-ZJ21-229	210	211	J4-C2 & J4-C10	I2J; FIN	Diorite; Grains fins	0,27
TLG-ZJ21-229	219	220	J4-C2 & J4-C10	I2J; FIN	Diorite; Grains fins	0,28
TLG-ZJ21-229	222	223	J4-C2 & J4-C10	I2J; FIN	Diorite; Grains fins	0,27
TLG-ZJ21-229	223	224	J4-C2 & J4-C10	I2J; FIN	Diorite; Grains fins	0,27
TLG-ZJ21-229	224	225	J4-C2 & J4-C10	I2J; FIN	Diorite; Grains fins	0,28
TLG-ZJ21-230	79	79,95	J4-C2 & J4-C10	I2J	Diorite	0,28
TLG-ZJ21-230	148	149	J4-C2 & J4-C10	I2J	Diorite	0,26
TLG-ZJ21-230	164	165	J4-C2 & J4-C10	I2J	Diorite	0,26
TLG-ZJ21-231	33	34	J4-C2 & J4-C10	I2J	Diorite	0,27
TLG-ZJ21-231	51	52	J4-C2 & J4-C10	I2J	Diorite	0,28
TLG-ZJ21-231	73	74	J4-C2 & J4-C10	I2J	Diorite	0,26
TLG-ZJ21-232	31	32	J4-C2 & J4-C10	I2J	Diorite	0,26
TLG-ZJ21-232	188	189	J4-C2 & J4-C10	I2J	Diorite	0,26
TLG-ZJ21-232	214	215	J4-C2 & J4-C10	I2J	Diorite	0,26
TLG-ZJ21-232	250	251	J4-C2 & J4-C10	I2J	Diorite	0,29
TLG-ZJ21-232	273	274	J4-C2 & J4-C10	I2J	Diorite	0,26
TLG-ZJ21-232	291	292	J4-C2 & J4-C10	I2J	Diorite	0,29
TLG-ZJ21-232	292	293	J4-C2 & J4-C10	I2J	Diorite	0,28
TLG-ZJ21-232	304	305,2	J4-C2 & J4-C10	I2J	Diorite	0,27
TLG-ZJ21-232	317	318	J4-C2 & J4-C10	I2J	Diorite	0,28
TLG-ZJ21-232	323	324	J4-C2 & J4-C10	I2J	Diorite	0,27
TLG-ZJ21-233	35	36	J4-C2 & J4-C10	I2J; LAM	Diorite; Laminations parallèles	0,27
TLG-ZJ21-233	45	46	J4-C2 & J4-C10	I2J; LAM	Diorite; Laminations parallèles	0,28
TLG-ZJ21-233	62	63	J4-C2 & J4-C10	I2J; LAM	Diorite; Laminations parallèles	0,28
TLG-ZJ21-233	76	77	J4-C2 & J4-C10	I2J; LAM	Diorite; Laminations parallèles	0,26
TLG-ZJ21-233	82	83	J4-C2 & J4-C10	I2J; LAM	Diorite; Laminations parallèles	0,27
TLG-ZJ21-236	109	110	J4-C2 & J4-C10	I2J	Diorite	0,29
TLG-ZJ21-236	111	112	J4-C2 & J4-C10	I2J	Diorite	0,26
TLG-ZJ21-236	146	147	J4-C2 & J4-C10	I2J	Diorite	0,26
TLG-ZJ21-236	167	168	J4-C2 & J4-C10	I2J	Diorite	0,28
TLG-ZJ21-236	206	207	J4-C2 & J4-C10	I2J	Diorite	0,29
TLG-ZJ21-240	311	312	J4-C2 & J4-C10	I2J	Diorite	0,28
TLG-ZJ21-240	315	316	J4-C2 & J4-C10	I2J	Diorite	0,26
TLG-ZJ21-240	317	318	J4-C2 & J4-C10	I2J	Diorite	0,29
TLG-ZJ21-240	325	326	J4-C2 & J4-C10	I2J	Diorite	0,28
TLG-ZJ21-242	164	165	J4-C2 & J4-C10	I2J	Diorite	0,28
TLG-ZJ21-242	191	192	J4-C2 & J4-C10	I2J	Diorite	0,27
TLG-ZJ21-242	233	234	J4-C2 & J4-C10	I2J	Diorite	0,28
TLG-ZJ21-243	48	49	J4-C2 & J4-C10	I2J; RUB	Diorite; Rubané	0,27
TLG-ZJ21-243	117	118	J4-C2 & J4-C10	I2J; FIN	Diorite; Grains fins	0,29
TLG-ZJ21-243	119	120	J4-C2 & J4-C10	I2J; FIN	Diorite; Grains fins	0,26
TLG-ZJ21-243	123	124	J4-C2 & J4-C10	I2J; FIN	Diorite; Grains fins	0,26
TLG-ZJ21-246	121	122	J4-C2 & J4-C10	I2J	Diorite	0,29
TLG-ZJ21-246	130	131	J4-C2 & J4-C10	I2J	Diorite	0,27
TLG-ZJ21-248	18	19	J4-C2 & J4-C10	I2J	Diorite	0,27
TLG-ZJ21-248	36	37	J4-C2 & J4-C10	I2J	Diorite	0,28

DDH ID	From	To	For Column	Rock Code	Title	S Final (%)
TLG-ZJ418-051	21	22	J4-C3	I2J; MAS; FIN	Diorite 50°; Roche massive; Grains fins	0,8
TLG-ZJ418-051	65	66	J4-C3	I2J; MAS; FIN	Diorite 50°; Roche massive; Grains fins	0,82
TLG-ZJ418-051	69	70	J4-C3	I2J; MAS; FIN	Diorite 50°; Roche massive; Grains fins	0,82
TLG-ZJ418-052	17	18	J4-C3	I2J; LAM	Diorite 50°; Laminations parallèles	0,79
TLG-ZJ418-052	122	123	J4-C3	I2J; LAM; MAS	Diorite 50°; Laminations parallèles; Roche massive	0,78
TLG-ZJ418-054	151	152	J4-C3	I2J; LAM; FIN	Diorite 75°; Laminations parallèles; Grains fins	0,82
TLG-ZJ418-055	94	95	J4-C3	I2J	Diorite 50°	0,82
TLG-ZJ418-056	43	44	J4-C3	I2J; POR; MAS	Diorite 55°; Porphyrique; Roche massive	0,81
TLG-ZJ418-057	21	22	J4-C3	I2J; POR	Diorite 50°; Porphyrique	0,82
TLG-ZJ418-057	49	50	J4-C3	I2J	Diorite 65°	0,8
TLG-ZJ418-057	89	90	J4-C3	I2J	Diorite 65°	0,76
TLG-ZJ418-057	138	139	J4-C3	I2J	Diorite 65°	0,76
TLG-ZJ418-057	143	144	J4-C3	I2J	Diorite 65°	0,82
TLG-ZJ418-058	209	210	J4-C3	I2J	Diorite 60°	0,8
TLG-ZJ418-058	234	235	J4-C3	I2J	Diorite 70°	0,77
TLG-ZJ418-058	235	236	J4-C3	I2J	Diorite 70°	0,79
TLG-ZJ418-059	144	145	J4-C3	I2J; POR	Diorite; Porphyrique	0,78
TLG-ZJ418-059	158	159	J4-C3	I2J; POR	Diorite; Porphyrique	0,8
TLG-ZJ418-059	161	162	J4-C3	I2J; POR	Diorite; Porphyrique	0,79
TLG-ZJ418-059	209	210	J4-C3	I2J	Diorite 60°	0,8
TLG-ZJ418-060	78	79	J4-C3	I2J; MAS; FIN	Diorite; Roche massive; Grains fins	0,81
TLG-ZJ418-060	99	100	J4-C3	I2J; POR; MOY	Diorite 50°; Porphyrique; Grains moyens	0,76
TLG-ZJ418-060	103	104	J4-C3	I2J; POR; MOY	Diorite 50°; Porphyrique; Grains moyens	0,77
TLG-ZJ418-060	130	131	J4-C3	I2J; MAS; FIN	Diorite; Roche massive; Grains fins	0,77
TLG-ZJ418-060	134	135	J4-C3	I2J; MAS; FIN	Diorite; Roche massive; Grains fins	0,76
TLG-ZJ418-060	202	203	J4-C3	I2J; MAS	Diorite 45°; Roche massive	0,79
TLG-ZJ418-060	279	280	J4-C3	I2J; MAS	Diorite; Roche massive	0,76
TLG-ZJ418-061	10	11	J4-C3	I2J; POR	Diorite 55°; Porphyrique	0,81
TLG-ZJ418-061	101	102	J4-C3	I2J; POR	Diorite; Porphyrique	0,77
TLG-ZJ418-061	184	185	J4-C3	I2J; POR	Diorite; Porphyrique	0,79
TLG-ZJ418-062	34	35	J4-C3	I2J; POR	Diorite; Porphyrique	0,82
TLG-ZJ418-062	199	200	J4-C3	I2J; MAS; LAM	Diorite; Roche massive; Laminations parallèles	0,82
TLG-ZJ418-062	204	205	J4-C3	I2J; MAS; LAM	Diorite; Roche massive; Laminations parallèles	0,76
TLG-ZJ418-063	88	89	J4-C3	I2J; I2J; MAS; LAM	Diorite; Diorite; Roche massive; Laminations parallèles	0,79
TLG-ZJ418-063	95	96	J4-C3	I2J; I2J; MAS; LAM	Diorite; Diorite; Roche massive; Laminations parallèles	0,81
TLG-ZJ418-063	103	104	J4-C3	I2J; I2J; MAS; LAM	Diorite; Diorite; Roche massive; Laminations parallèles	0,76
TLG-ZJ418-063	106	107	J4-C3	I2J; I2J; MAS; LAM	Diorite; Diorite; Roche massive; Laminations parallèles	0,76
TLG-ZJ418-063	198	199	J4-C3	I2J; I2J; MAS; LAM	Diorite; Diorite; Roche massive; Laminations parallèles	0,79
TLG-ZJ418-063	221	222	J4-C3	I2J; I2J; MAS; LAM	Diorite; Diorite; Roche massive; Laminations parallèles	0,8
TLG-ZJ418-063	232	233	J4-C3	I2J; I2J; MAS; LAM	Diorite; Diorite; Roche massive; Laminations parallèles	0,78
TLG-ZJ418-064	75	76	J4-C3	I2J; POR	Diorite 70°; Porphyrique	0,78
TLG-ZJ418-064	101	102	J4-C3	I2J; POR	Diorite 70°; Porphyrique	0,8
TLG-ZJ418-064	178	179	J4-C3	I2J; POR	Diorite 70°; Porphyrique	0,77
TLG-ZJ418-064	209	210	J4-C3	I2J; POR	Diorite 70°; Porphyrique	0,77
TLG-ZJ418-064	250	251	J4-C3	I2J; POR	Diorite 65°; Porphyrique	0,77
TLG-ZJ418-066	125	126	J4-C3	I2J	Diorite 65°	0,78
TLG-ZJ418-066	339	340	J4-C3	I2J	Diorite 75°	0,82
TLG-ZJ418-067	287	288	J4-C3	I2J	Diorite 65°	0,8
TLG-ZJ418-067	300	301	J4-C3	I2J	Diorite 65°	0,77
TLG-ZJ418-068	53	54	J4-C3	I2J	Diorite 60°	0,8
TLG-ZJ418-068	73	74	J4-C3	I2J	Diorite 60°	0,77
TLG-ZJ418-068	180	181	J4-C3	I2J; POR	Diorite 65°; Porphyrique	0,79
TLG-ZJ418-068	301	302	J4-C3	I2J	Diorite 65°	0,77
TLG-ZJ418-068	310	311	J4-C3	I2J	Diorite 65°	0,77
TLG-ZJ418-069	261	262	J4-C3	I2J	Diorite 55°	0,76
TLG-ZJ418-070	68	69	J4-C3	I2J	Diorite 55°	0,78
TLG-ZJ418-070	69	70	J4-C3	I2J	Diorite 55°	0,78
TLG-ZJ418-070	104	106	J4-C3	I2J	Diorite 70°	0,77
TLG-ZJ418-071	174	175	J4-C3	I2J	Diorite 70°	0,76
TLG-ZJ418-071	178	179	J4-C3	I2J	Diorite 70°	0,76
TLG-ZJ418-072	57	58	J4-C3	I2J; MOY	Diorite 40°; Grains moyens	0,81
TLG-ZJ418-074	105	106	J4-C3	I2J	Diorite 65°	0,8
TLG-ZJ418-074	174	175	J4-C3	I2J	Diorite 60°	0,78
TLG-ZJ418-074	196	197	J4-C3	I2J	Diorite 60°	0,82
TLG-ZJ418-074	209	210	J4-C3	I2J	Diorite 70°	0,79
TLG-ZJ418-074	306	307	J4-C3	I2J; POR	Diorite; Porphyrique	0,79
TLG-ZJ418-074	319	320	J4-C3	I2J; POR	Diorite; Porphyrique	0,82
TLG-ZJ418-076	125	126	J4-C3	I2J; GRO	Diorite 65°; Grains grossiers	0,78
TLG-ZJ418-079	59	60	J4-C3	I2J; MAS; LAM	Diorite 52°; Roche massive; Laminations parallèles	0,78
TLG-ZJ418-079	63	64	J4-C3	I2J; MAS; LAM	Diorite 52°; Roche massive; Laminations parallèles	0,8
TLG-ZJ418-079	67	68,5	J4-C3	I2J; MAS; LAM	Diorite 52°; Roche massive; Laminations parallèles	0,82
TLG-ZJ418-079	83	84	J4-C3	I2J; MAS	Diorite; Roche massive	0,79
TLG-ZJ418-079	156	157	J4-C3	I2J; MAS	Diorite; Roche massive	0,81

DDH ID	From	To	For Column	Rock Code	Title	S Final (%)
TLG-ZJ418-079	164	165	J4-C3	I2J; MAS	Diorite; Roche massive	0,81
TLG-ZJ418-080	142	143	J4-C3	I2J; MAS; LAM	Diorite; Roche massive; Laminations parallèles	0,77
TLG-ZJ418-080	143	144	J4-C3	I2J; MAS; LAM	Diorite; Roche massive; Laminations parallèles	0,77
TLG-ZJ418-080	153	154	J4-C3	I2J; LAM	Diorite; Laminations parallèles	0,81
TLG-ZJ418-081	35	36	J4-C3	I2J; POR	Diorite 55°; Porphyrique	0,79
TLG-ZJ418-081	47	48	J4-C3	I2J; POR	Diorite 55°; Porphyrique	0,79
TLG-ZJ418-081	53	54	J4-C3	I2J; POR	Diorite 55°; Porphyrique	0,79
TLG-ZJ418-081	74	75	J4-C3	I2J; I2J	Diorite; Diorite 52°	0,76
TLG-ZJ418-081	106	107	J4-C3	I2J; I2J	Diorite; Diorite 52°	0,78
TLG-ZJ418-082	65	66	J4-C3	I2J; MAS	Diorite 55°; Roche massive	0,82
TLG-ZJ418-082	75	76	J4-C3	I2J; MAS	Diorite 55°; Roche massive	0,8
TLG-ZJ418-083	19	20	J4-C3	I2J; POR; MAS	Diorite 50°; Porphyrique; Roche massive	0,81
TLG-ZJ418-083	26	27	J4-C3	I2J; POR; MAS	Diorite 50°; Porphyrique; Roche massive	0,79
TLG-ZJ418-083	55	56	J4-C3	I2J; POR; MAS	Diorite 50°; Porphyrique; Roche massive	0,8
TLG-ZJ418-083	62	63	J4-C3	I2J; POR; MAS	Diorite 50°; Porphyrique; Roche massive	0,78
TLG-ZJ418-083	98	99	J4-C3	I2J; POR; MAS	Diorite 50°; Porphyrique; Roche massive	0,82
TLG-ZJ418-083	102	103	J4-C3	I2J; POR; MAS	Diorite 50°; Porphyrique; Roche massive	0,78
TLG-ZJ418-083	116	117	J4-C3	I2J; POR; MAS	Diorite 50°; Porphyrique; Roche massive	0,76
TLG-ZJ418-083	124	125	J4-C3	I2J; POR; MAS	Diorite 50°; Porphyrique; Roche massive	0,79
TLG-ZJ418-083	302	303	J4-C3	I2J; POR; MAS	Diorite 50°; Porphyrique; Roche massive	0,81
TLG-ZJ418-083	347	348	J4-C3	I2J; POR; MAS	Diorite 50°; Porphyrique; Roche massive	0,79
TLG-ZJ419-091	37	38	J4-C3	I2J	Diorite	0,81
TLG-ZJ419-091	85	86	J4-C3	I2J	Diorite	0,81
TLG-ZJ419-091	184	186	J4-C3	I2J	Diorite	0,76
TLG-ZJ419-092	137	138	J4-C3	I2J; POR	Diorite; Porphyrique	0,79
TLG-ZJ419-092	263	265	J4-C3	I2J; POR	Diorite; Porphyrique	0,82
TLG-ZJ419-092	311	313	J4-C3	I2J	Diorite	0,78
TLG-ZJ419-094	38	39	J4-C3	I2J	Diorite 50°	0,77
TLG-ZJ419-094	124	125	J4-C3	I2J	Diorite	0,78
TLG-ZJ419-094	204	205	J4-C3	I2J	Diorite 45°	0,81
TLG-ZJ419-094	297	299	J4-C3	I2J	Diorite 45°	0,79
TLG-ZJ419-094	353	355	J4-C3	I2J	Diorite 45°	0,8
TLG-ZJ419-094	363	365	J4-C3	I2J	Diorite 45°	0,79
TLG-ZJ419-095	336	338	J4-C3	I2J	Diorite 70°	0,76
TLG-ZJ419-095	350	352	J4-C3	I2J	Diorite 70°	0,79
TLG-ZJ419-096	124	125	J4-C3	I2J	Diorite 65°	0,77
TLG-ZJ419-096	145	146	J4-C3	I2J	Diorite	0,78
TLG-ZJ419-096	233	235	J4-C3	I2J	Diorite	0,82
TLG-ZJ419-096	386	387	J4-C3	I2J	Diorite	0,82
TLG-ZJ419-098	161	162	J4-C3	I2J	Diorite 65°	0,78
TLG-ZJ419-098	217	218	J4-C3	I2J	Diorite	0,77
TLG-ZJ419-098	278	280	J4-C3	I2J	Diorite	0,76
TLG-ZJ419-099	161	162	J4-C3	I2J	Diorite 20°	0,76
TLG-ZJ419-099	264	266	J4-C3	I2J	Diorite 20°	0,76
TLG-ZJ419-099	366	368	J4-C3	I2J	Diorite 20°	0,78
TLG-ZJ419-099	368	370	J4-C3	I2J	Diorite 20°	0,8
TLG-ZJ419-100	150	152	J4-C3	I2J; FIN; POR	Diorite; Grains fins; Porphyrique	0,8
TLG-ZJ419-100	156	158	J4-C3	I2J; FIN; POR	Diorite; Grains fins; Porphyrique	0,81
TLG-ZJ419-100	180	182	J4-C3	I2J; RUB; MOY	Diorite; Rubané; Grains moyens	0,77
TLG-ZJ419-101	172	174	J4-C3	I2J; FIN	Diorite; Grains fins	0,81
TLG-ZJ419-101	176	178	J4-C3	I2J; FIN	Diorite; Grains fins	0,77
TLG-ZJ419-101	256	258	J4-C3	I2J; FIN	Diorite; Grains fins	0,81
TLG-ZJ419-101	380	382	J4-C3	I2J; FIN; RUB	Diorite; Grains fins; Rubané	0,76
TLG-ZJ419-102	48	50	J4-C3	I2J; FIN; MAS	Diorite; Grains fins; Roche massive	0,76
TLG-ZJ419-103	350	352	J4-C3	I2J	Diorite 20°	0,81
TLG-ZJ419-103	380	382	J4-C3	I2J	Diorite 20°	0,82
TLG-ZJ419-103	398	400	J4-C3	I2J	Diorite 20°	0,81
TLG-ZJ419-104	160	161	J4-C3	I2J	Diorite	0,78
TLG-ZJ419-105	78	79	J4-C3	I2J; I2J	Diorite; Diorite 50°	0,81
TLG-ZJ419-107	361	363	J4-C3	I2J; LAM; FIN	Diorite; Laminations parallèles; Grains fins	0,76
TLG-ZJ419-108	146	148	J4-C3	I2J; FIN; POR	Diorite; Grains fins; Porphyrique	0,8
TLG-ZJ419-108	230	232	J4-C3	I2J; FIN; POR	Diorite; Grains fins; Porphyrique	0,76
TLG-ZJ419-108	250	252	J4-C3	I2J; I2J; FIN; MAS	Diorite; Diorite; Grains fins; Roche massive	0,8
TLG-ZJ419-109	96	98	J4-C3	I2J; FIN; MOY; POR; MAS	Diorite; Grains fins; Grains moyens; Porphyrique; Roche massive	0,76
TLG-ZJ419-110	234	236	J4-C3	I2J; POR; MOY	Diorite; Porphyrique; Grains moyens	0,8
TLG-ZJ419-110	254	256	J4-C3	I2J; POR; MOY	Diorite; Porphyrique; Grains moyens	0,81
TLG-ZJ419-110	260	262	J4-C3	I2J; POR; MOY	Diorite; Porphyrique; Grains moyens	0,76
TLG-ZJ419-110	280	282	J4-C3	I2J; FIN; MOY; POR	Diorite; Grains fins; Grains moyens; Porphyrique	0,77
TLG-ZJ419-110	348	350	J4-C3	I2J; FIN; MOY; LAM	Diorite; Grains fins; Grains moyens; Laminations parallèles	0,78
TLG-ZJ419-112	280	282	J4-C3	I2J; FIN	Diorite; Grains fins	0,77
TLG-ZJ419-112	392	394	J4-C3	I2J; FIN	Diorite; Grains fins	0,79
TLG-ZJ419-113	44	46	J4-C3	I2J; FIN; LAM	Diorite; Grains fins; Laminations parallèles	0,76
TLG-ZJ419-113	90	92	J4-C3	I2J; FIN; RUB; MAS	Diorite; Grains fins; Rubané; Roche massive	0,8

DDH ID	From	To	For Column	Rock Code	Title	S Final (%)
TLG-ZJ419-113	246	248	J4-C3	I2J; LAM; FIN; MOY; POR	Diorite; Laminations parallèles; Grains fins; Grains moyens; Porphyrique	0,79
TLG-ZJ419-148	92	94	J4-C3	I2J; MAS; LAM; FIN	Diorite; Roche massive; Laminations parallèles; Grains fins	0,78
TLG-ZJ419-148	102	104	J4-C3	I2J; MAS; LAM; FIN	Diorite; Roche massive; Laminations parallèles; Grains fins	0,77
TLG-ZJ419-149	140	142	J4-C3	I2J; FIN; LAM; POR	Diorite; Grains fins; Laminations parallèles; Porphyrique	0,79
TLG-ZJ419-149	146	148	J4-C3	I2J; FIN; LAM; POR	Diorite; Grains fins; Laminations parallèles; Porphyrique	0,78
TLG-ZJ419-153	150	152	J4-C3	I2J; FIN; POR	Diorite; Grains fins; Porphyrique	0,78
TLG-ZJ419-153	168	170	J4-C3	I2J; FIN; GRO; POR; LAM	Diorite; Grains fins; Grains grossiers; Porphyrique; Laminations parallèles	0,82
TLG-ZJ419-153	380	382	J4-C3	I2J; FIN; LAM	Diorite; Grains fins; Laminations parallèles	0,8
TLG-ZJ419-155	30	32	J4-C3	I2J; FIN; MOY; LAM	Diorite; Grains fins; Grains moyens; Laminations parallèles	0,8
TLG-ZJ419-155	48	50	J4-C3	I2J; FIN; MOY; LAM	Diorite; Grains fins; Grains moyens; Laminations parallèles	0,81
TLG-ZJ419-156	69	71	J4-C3	I2J; LAM; FIN	Diorite; Laminations parallèles; Grains fins	0,77
TLG-ZJ419-156	105	107	J4-C3	I2J; LAM; FIN	Diorite; Laminations parallèles; Grains fins	0,76
TLG-ZJ419-156	109	111	J4-C3	I2J; LAM; FIN	Diorite; Laminations parallèles; Grains fins	0,79
TLG-ZJ419-156	197	199	J4-C3	I2J; FIN; LAM	Diorite; Grains fins; Laminations parallèles	0,8
TLG-ZJ419-158	68	70	J4-C3	I2J; LAM; MAG; FIN	Diorite; Laminations parallèles; Magnétique; Grains fins	0,78
TLG-ZJ419-159	21	23	J4-C3	I2J; LAM	Diorite; Laminations parallèles	0,82
TLG-ZJ419-159	35	37	J4-C3	I2J; LAM	Diorite; Laminations parallèles	0,77
TLG-ZJ419-159	349	351	J4-C3	I2J; FIN; LAM	Diorite; Grains fins; Laminations parallèles	0,77
TLG-ZJ419-159	351	353	J4-C3	I2J; FIN; LAM	Diorite; Grains fins; Laminations parallèles	0,78
TLG-ZJ419-159	357	359	J4-C3	I2J; FIN; LAM	Diorite; Grains fins; Laminations parallèles	0,78
TLG-ZJ419-160	181	183	J4-C3	I2J; FIN; MOY; LAM; RUB	Diorite; Grains fins; Grains moyens; Laminations parallèles; Rubané	0,82
TLG-ZJ419-160	185	187	J4-C3	I2J; FIN; MOY; LAM; RUB	Diorite; Grains fins; Grains moyens; Laminations parallèles; Rubané	0,77
TLG-ZJ419-161	120	122	J4-C3	I2J; FIN; LAM	Diorite; Grains fins; Laminations parallèles	0,77
TLG-ZJ419-161	382	384	J4-C3	I2J; FIN; RUB	Diorite; Grains fins; Rubané	0,77
TLG-ZJ419-162	209	211	J4-C3	I2J; FIN; POR	Diorite; Grains fins; Porphyrique	0,81
TLG-ZJ419-162	213	215	J4-C3	I2J; FIN; POR	Diorite; Grains fins; Porphyrique	0,82
TLG-ZJ419-166	315	317	J4-C3	I2J; FIN; LAM	Diorite; Grains fins; Laminations parallèles	0,78
TLG-ZJ419-166	349	351	J4-C3	I2J; FIN; LAM; RUB	Diorite; Grains fins; Laminations parallèles; Rubané	0,79
TLG-ZJ419-167	113	115	J4-C3	I2J; FIN	Diorite; Grains fins	0,79
TLG-ZJ419-168	353	355	J4-C3	I2J; FIN; LAM	Diorite; Grains fins; Laminations parallèles	0,79
TLG-ZJ419-168	361	363	J4-C3	I2J; FIN; LAM	Diorite; Grains fins; Laminations parallèles	0,78
TLG-ZJ419-169	30	32	J4-C3	I2J; FIN	Diorite; Grains fins	0,81
TLG-ZJ419-169	40	42	J4-C3	I2J; FIN	Diorite; Grains fins	0,81
TLG-ZJ419-169	48	50	J4-C3	I2J; FIN	Diorite; Grains fins	0,77
TLG-ZJ419-169	70	72	J4-C3	I2J; FIN	Diorite; Grains fins	0,79
TLG-ZJ419-170	56	58	J4-C3	I2J; LAM; V	Diorite; Laminations parallèles; Volcanites indifférenciées	0,81
TLG-ZJ419-170	88	90	J4-C3	I2J; LAM; V	Diorite; Laminations parallèles; Volcanites indifférenciées	0,79
TLG-ZJ419-170	94	96	J4-C3	I2J; LAM; FIN	Diorite; Laminations parallèles; Grains fins	0,76
TLG-ZJ20-221	130	131	J4-C3	I2J; LAM; POBBo	Diorite; Laminations parallèles; Porphyroblaste de biotite	0,76
TLG-ZJ20-221	235	236	J4-C3	I2J; LAM; POBBo	Diorite; Laminations parallèles; Porphyroblaste de biotite	0,81
TLG-ZJ20-221	239	240	J4-C3	I2J; LAM; POBBo	Diorite; Laminations parallèles; Porphyroblaste de biotite	0,81
TLG-ZJ20-221	314	315	J4-C3	I2J; LAM	Diorite; Laminations parallèles	0,82
TLG-ZJ20-221	360	361	J4-C3	I2J; POBAm	Diorite; Porphyroblaste d amphibole	0,76
TLG-ZJ20-222	173	174	J4-C3	I2J	Diorite	0,76
TLG-ZJ20-222	197	198	J4-C3	I2J	Diorite	0,82
TLG-ZJ20-222	223	224	J4-C3	I2J	Diorite	0,77
TLG-ZJ20-222	228	229	J4-C3	I2J	Diorite	0,78
TLG-ZJ20-222	237	238	J4-C3	I2J	Diorite	0,79
TLG-ZJ20-222	340	341	J4-C3	I2J	Diorite	0,76
TLG-ZJ20-222	399	400	J4-C3	I2J	Diorite	0,8
TLG-ZJ20-223	114	115	J4-C3	I2J	Diorite	0,82
TLG-ZJ20-223	117	118	J4-C3	I2J	Diorite	0,81
TLG-ZJ20-223	205	206	J4-C3	I2J	Diorite	0,82
TLG-ZJ20-223	232	233	J4-C3	I2J	Diorite	0,8
TLG-ZJ20-223	250	251	J4-C3	I2J	Diorite	0,79
TLG-ZJ20-223	260	261	J4-C3	I2J	Diorite	0,77
TLG-ZJ20-224	226	227	J4-C3	I2J; POB	Diorite; Porphyroblastique	0,79
TLG-ZJ20-224	230	231	J4-C3	I2J; POB	Diorite; Porphyroblastique	0,82
TLG-ZJ21-225	204	205	J4-C3	I2J	Diorite	0,8
TLG-ZJ21-225	265	266	J4-C3	I2J	Diorite	0,82
TLG-ZJ21-225	310	311	J4-C3	I2J	Diorite	0,8
TLG-ZJ21-225	327	328	J4-C3	I2J	Diorite	0,77
TLG-ZJ21-231	59	60	J4-C3	I2J	Diorite	0,81
TLG-ZJ21-231	60	61	J4-C3	I2J	Diorite	0,8
TLG-ZJ21-233	91	92	J4-C3	I2J; LAM	Diorite; Laminations parallèles	0,76
TLG-ZJ21-233	94	95	J4-C3	I2J; LAM	Diorite; Laminations parallèles	0,81
TLG-ZJ21-233	332	333	J4-C3	I2J; FIN	Diorite; Grains fins	0,76
TLG-ZJ21-233	339	340	J4-C3	I2J; FIN	Diorite; Grains fins	0,78
TLG-ZJ21-234	50	51	J4-C3	I2J; LAM	Diorite; Laminations parallèles	0,78
TLG-ZJ21-234	52	53	J4-C3	I2J; LAM	Diorite; Laminations parallèles	0,76
TLG-ZJ21-234	56	57	J4-C3	I2J; LAM	Diorite; Laminations parallèles	0,76

DDH ID	From	To	For Column	Rock Code	Title	S Final (%)
TLG-ZJ21-234	85	86	J4-C3	I2J; LAM	Diorite; Laminations parallèles	0,81
TLG-ZJ21-234	91	92	J4-C3	I2J; LAM	Diorite; Laminations parallèles	0,8
TLG-ZJ21-234	92	93	J4-C3	I2J; LAM	Diorite; Laminations parallèles	0,77
TLG-ZJ21-234	98	99	J4-C3	I2J; LAM	Diorite; Laminations parallèles	0,81
TLG-ZJ21-235	264	265	J4-C3	I2J	Diorite	0,76
TLG-ZJ21-235	374	375	J4-C3	I2J	Diorite	0,77
TLG-ZJ21-236	24	25	J4-C3	I2J	Diorite	0,78
TLG-ZJ21-236	53	54	J4-C3	I2J	Diorite	0,76
TLG-ZJ21-238	186	187	J4-C3	I2J	Diorite	0,79
TLG-ZJ21-238	190	191	J4-C3	I2J	Diorite	0,81
TLG-ZJ21-238	195	196	J4-C3	I2J	Diorite	0,79
TLG-ZJ21-238	206	207	J4-C3	I2J	Diorite	0,77
TLG-ZJ21-238	207	208	J4-C3	I2J	Diorite	0,82
TLG-ZJ21-238	210	211	J4-C3	I2J	Diorite	0,76
TLG-ZJ21-238	273	274	J4-C3	I2J; LAM	Diorite; Laminations parallèles	0,8
TLG-ZJ21-239	256	257	J4-C3	I2J; POR	Diorite; Porphyrique	0,79
TLG-ZJ21-239	260	261	J4-C3	I2J; POR	Diorite; Porphyrique	0,76
TLG-ZJ21-239	271	272	J4-C3	I2J; POR	Diorite; Porphyrique	0,78
TLG-ZJ21-240	269	270	J4-C3	I2J	Diorite	0,81
TLG-ZJ21-240	279	280	J4-C3	I2J	Diorite	0,81
TLG-ZJ21-240	395	396	J4-C3	I2J	Diorite	0,78
TLG-ZJ21-241	174	175	J4-C3	I2J; FIN	Diorite; Grains fins	0,82
TLG-ZJ21-241	208	209	J4-C3	I2J; FIN	Diorite; Grains fins	0,77
TLG-ZJ21-241	209	210	J4-C3	I2J; FIN	Diorite; Grains fins	0,81
TLG-ZJ21-241	232	233	J4-C3	I2J; FIN	Diorite; Grains fins	0,82
TLG-ZJ21-241	233	234	J4-C3	I2J; FIN	Diorite; Grains fins	0,81
TLG-ZJ21-241	239	240	J4-C3	I2J; FIN	Diorite; Grains fins	0,77
TLG-ZJ21-241	246	247	J4-C3	I2J; FIN	Diorite; Grains fins	0,81
TLG-ZJ21-241	247	248	J4-C3	I2J; FIN	Diorite; Grains fins	0,8
TLG-ZJ21-241	249	250	J4-C3	I2J; FIN	Diorite; Grains fins	0,79
TLG-ZJ21-241	252	253	J4-C3	I2J; FIN	Diorite; Grains fins	0,8
TLG-ZJ21-241	273	274	J4-C3	I2J; FIN	Diorite; Grains fins	0,82
TLG-ZJ21-241	284	285	J4-C3	I2J; FIN	Diorite; Grains fins	0,76
TLG-ZJ21-241	398	399	J4-C3	I2J; FIN	Diorite; Grains fins	0,8
TLG-ZJ21-243	112	113	J4-C3	I2J; FIN	Diorite; Grains fins	0,82
TLG-ZJ21-243	151	152	J4-C3	I2J; FIN	Diorite; Grains fins	0,8
TLG-ZJ21-246	14	15	J4-C3	I2J	Diorite	0,81
TLG-ZJ21-246	154	155	J4-C3	I2J	Diorite	0,78
TLG-ZJ21-246	157	158	J4-C3	I2J	Diorite	0,81
TLG-ZJ21-246	212	213	J4-C3	I2J	Diorite	0,78
TLG-ZJ21-246	230	231	J4-C3	I2J	Diorite	0,81
TLG-ZJ21-246	237	238	J4-C3	I2J	Diorite	0,8
TLG-ZJ21-248	164	165	J4-C3	I2J	Diorite	0,76
TLG-ZJ21-248	168	169	J4-C3	I2J	Diorite	0,77
TLG-ZJ21-248	197	198	J4-C3	I2J	Diorite	0,82
TLG-ZJ21-248	201	202	J4-C3	I2J	Diorite	0,81
TLG-ZJ21-248	221	222	J4-C3	I2J	Diorite	0,77
TLG-ZJ21-249	21	22	J4-C3	I2J	Diorite	0,76
TLG-ZJ21-253-GT	138	139	J4-C3	I2J	Diorite	0,79
TLG-ZJ21-253-GT	205	206	J4-C3	I2J	Diorite	0,78

DDH ID	From	To	For Column	Rock Code	Title	S Final (%)
TLG-ZJ418-051	92	93	J4-C4	I2J; FIN; LAM; BRI	Diorite; Grains fins; Laminations parallèles; Brèche intrusive	0,11
TLG-ZJ418-051	96	97	J4-C4	I2J; FIN; LAM; BRI	Diorite; Grains fins; Laminations parallèles; Brèche intrusive	0,1
TLG-ZJ418-051	98	99	J4-C4	I2J; FIN; LAM; BRI	Diorite; Grains fins; Laminations parallèles; Brèche intrusive	0,12
TLG-ZJ418-051	108	109	J4-C4	I2J; FIN; LAM; BRI	Diorite; Grains fins; Laminations parallèles; Brèche intrusive	0,09
TLG-ZJ418-053	21	22	J4-C4	I2J; LAM; BRI	Diorite 70°; Laminations parallèles; Brèche intrusive	0,11
TLG-ZJ418-053	23	24	J4-C4	I2J; LAM; BRI	Diorite 70°; Laminations parallèles; Brèche intrusive	0,12
TLG-ZJ418-053	24	25	J4-C4	I2J; LAM; BRI	Diorite 70°; Laminations parallèles; Brèche intrusive	0,11
TLG-ZJ418-053	32	33	J4-C4	I2J; LAM; BRI	Diorite 70°; Laminations parallèles; Brèche intrusive	0,11
TLG-ZJ418-053	69	70	J4-C4	I2J; LAM; BRI	Diorite 70°; Laminations parallèles; Brèche intrusive	0,09
TLG-ZJ418-053	72	73	J4-C4	I2J; LAM; BRI	Diorite 70°; Laminations parallèles; Brèche intrusive	0,11
TLG-ZJ418-053	84	85	J4-C4	I2J; LAM; BRI	Diorite 70°; Laminations parallèles; Brèche intrusive	0,12
TLG-ZJ418-053	88	89	J4-C4	I2J; LAM; BRI	Diorite 70°; Laminations parallèles; Brèche intrusive	0,1
TLG-ZJ418-053	90	91	J4-C4	I2J; LAM; BRI	Diorite 70°; Laminations parallèles; Brèche intrusive	0,11
TLG-ZJ418-064	41	42	J4-C4	I2J; BRI	Diorite 60°; Brèche intrusive	0,1
TLG-ZJ418-064	45	46	J4-C4	I2J; BRI	Diorite 60°; Brèche intrusive	0,12
TLG-ZJ418-064	48	49	J4-C4	I2J; BRI	Diorite 60°; Brèche intrusive	0,1
TLG-ZJ418-064	56	57,43	J4-C4	I2J; BRI	Diorite 60°; Brèche intrusive	0,11
TLG-ZJ418-065	15	16	J4-C4	I2J; BRC; SPH	Diorite 70°; Brèche de coulée; Sphérolitique	0,1
TLG-ZJ418-065	27	28	J4-C4	I2J; BRC; SPH	Diorite 70°; Brèche de coulée; Sphérolitique	0,09
TLG-ZJ418-065	44	45	J4-C4	I2J; BRC; SPH	Diorite 70°; Brèche de coulée; Sphérolitique	0,09
TLG-ZJ418-065	51	52	J4-C4	I2J; BRC; SPH	Diorite 70°; Brèche de coulée; Sphérolitique	0,12
TLG-ZJ418-065	54	55	J4-C4	I2J; BRC; SPH	Diorite 70°; Brèche de coulée; Sphérolitique	0,1
TLG-ZJ418-065	64	65	J4-C4	I2J; BRC; SPH	Diorite 70°; Brèche de coulée; Sphérolitique	0,12
TLG-ZJ418-065	68	69	J4-C4	I2J; BRC; SPH	Diorite 70°; Brèche de coulée; Sphérolitique	0,1
TLG-ZJ418-065	176	177	J4-C4	I2J; I2J; BRI	Diorite; Diorite 65°; Brèche intrusive	0,11
TLG-ZJ418-067	24	25	J4-C4	I2J; POR; BRC	Diorite 60°; Porphyrique; Brèche de coulée	0,11
TLG-ZJ418-067	32	33	J4-C4	I2J; POR; BRC	Diorite 60°; Porphyrique; Brèche de coulée	0,09
TLG-ZJ418-067	33	34	J4-C4	I2J; POR; BRC	Diorite 60°; Porphyrique; Brèche de coulée	0,11
TLG-ZJ418-067	35	36	J4-C4	I2J; POR; BRC	Diorite 60°; Porphyrique; Brèche de coulée	0,09
TLG-ZJ418-067	36	37	J4-C4	I2J; POR; BRC	Diorite 60°; Porphyrique; Brèche de coulée	0,1
TLG-ZJ418-067	51	52	J4-C4	I2J; POR; BRC	Diorite 60°; Porphyrique; Brèche de coulée	0,11
TLG-ZJ418-067	58	59	J4-C4	I2J; POR; BRC	Diorite 60°; Porphyrique; Brèche de coulée	0,09
TLG-ZJ418-067	66	67	J4-C4	I2J; POR; BRC	Diorite 60°; Porphyrique; Brèche de coulée	0,12
TLG-ZJ418-067	78	79	J4-C4	I2J; POR; BRC	Diorite 60°; Porphyrique; Brèche de coulée	0,12
TLG-ZJ418-067	79	80	J4-C4	I2J; POR; BRC	Diorite 60°; Porphyrique; Brèche de coulée	0,11
TLG-ZJ418-067	80	81	J4-C4	I2J; POR; BRC	Diorite 60°; Porphyrique; Brèche de coulée	0,09
TLG-ZJ418-067	109	110	J4-C4	I2J; POR; BRC	Diorite 60°; Porphyrique; Brèche de coulée	0,09
TLG-ZJ418-067	114	115	J4-C4	I2J; POR; BRC	Diorite 60°; Porphyrique; Brèche de coulée	0,11
TLG-ZJ418-067	118	119	J4-C4	I2J; POR; BRC	Diorite 60°; Porphyrique; Brèche de coulée	0,09
TLG-ZJ418-071	18	19	J4-C4	I2J; RUB; BRI	Diorite; Rubané; Brèche intrusive	0,11
TLG-ZJ418-071	23	24	J4-C4	I2J; RUB; BRI	Diorite; Rubané; Brèche intrusive	0,11
TLG-ZJ418-071	26	27	J4-C4	I2J; RUB; BRI	Diorite; Rubané; Brèche intrusive	0,12
TLG-ZJ418-071	32	33	J4-C4	I2J; RUB; BRI	Diorite; Rubané; Brèche intrusive	0,1
TLG-ZJ418-071	34	35	J4-C4	I2J; RUB; BRI	Diorite; Rubané; Brèche intrusive	0,11
TLG-ZJ418-071	41	42	J4-C4	I2J; RUB; BRI	Diorite; Rubané; Brèche intrusive	0,11
TLG-ZJ418-071	48	49	J4-C4	I2J; RUB; BRI	Diorite; Rubané; Brèche intrusive	0,11
TLG-ZJ418-071	49	50	J4-C4	I2J; RUB; BRI	Diorite; Rubané; Brèche intrusive	0,1
TLG-ZJ418-071	54	55	J4-C4	I2J; RUB; BRI	Diorite; Rubané; Brèche intrusive	0,1
TLG-ZJ418-071	56	57	J4-C4	I2J; RUB; BRI	Diorite; Rubané; Brèche intrusive	0,12
TLG-ZJ418-071	57	58	J4-C4	I2J; RUB; BRI	Diorite; Rubané; Brèche intrusive	0,11
TLG-ZJ418-072	21	22	J4-C4	I2J; BRI	Diorite 55°; Brèche intrusive	0,12
TLG-ZJ418-072	27	28	J4-C4	I2J; BRI	Diorite 55°; Brèche intrusive	0,1
TLG-ZJ418-072	32	33	J4-C4	I2J; BRI	Diorite 55°; Brèche intrusive	0,12
TLG-ZJ418-072	43	44	J4-C4	I2J; BRI	Diorite 55°; Brèche intrusive	0,12
TLG-ZJ418-072	45	46	J4-C4	I2J; BRI	Diorite 55°; Brèche intrusive	0,1
TLG-ZJ418-072	51	52	J4-C4	I2J; BRI	Diorite 55°; Brèche intrusive	0,11
TLG-ZJ418-073	40	41	J4-C4	I2J; BRI	Diorite; Brèche intrusive	0,11
TLG-ZJ418-073	64	65	J4-C4	I2J; BRI	Diorite; Brèche intrusive	0,09
TLG-ZJ418-074	387	389	J4-C4	I2J; LAM; MAG; BRI; MOY	Diorite; Laminations parallèles; Magnétique; Brèche intrusive; Grains moyens	0,1
TLG-ZJ418-074	389	391	J4-C4	I2J; LAM; MAG; BRI; MOY	Diorite; Laminations parallèles; Magnétique; Brèche intrusive; Grains moyens	0,09
TLG-ZJ418-074	391	393	J4-C4	I2J; LAM; MAG; BRI; MOY	Diorite; Laminations parallèles; Magnétique; Brèche intrusive; Grains moyens	0,1
TLG-ZJ418-074	403	405	J4-C4	I2J; LAM; MAG; BRI; MOY	Diorite; Laminations parallèles; Magnétique; Brèche intrusive; Grains moyens	0,1
TLG-ZJ418-074	483	485	J4-C4	I2J; LAM; MAG; BRI; MOY	Diorite; Laminations parallèles; Magnétique; Brèche intrusive; Grains moyens	0,1

DDH ID	From	To	For Column	Rock Code	Title	S Final (%)
TLG-ZJ418-074	487	489	J4-C4	I2J; LAM; MAG; BRI; MOY	Diorite; Laminations parallèles; Magnétique; Brèche intrusive; Grains moyens	0,11
TLG-ZJ418-074	493	495	J4-C4	I2J; LAM; MAG; BRI; MOY	Diorite; Laminations parallèles; Magnétique; Brèche intrusive; Grains moyens	0,11
TLG-ZJ418-074	499	501	J4-C4	I2J; LAM; MAG; BRI; MOY	Diorite; Laminations parallèles; Magnétique; Brèche intrusive; Grains moyens	0,1
TLG-ZJ418-075	232	233	J4-C4	I2J; POR; BRC	Diorite 60°; Porphyrique; Brèche de coulée	0,12
TLG-ZJ418-075	234	235	J4-C4	I2J; POR; BRC	Diorite 60°; Porphyrique; Brèche de coulée	0,12
TLG-ZJ418-075	235	236	J4-C4	I2J; POR; BRC	Diorite 60°; Porphyrique; Brèche de coulée	0,12
TLG-ZJ418-075	237	238	J4-C4	I2J; POR; BRC	Diorite 60°; Porphyrique; Brèche de coulée	0,11
TLG-ZJ418-075	238	239	J4-C4	I2J; POR; BRC	Diorite 60°; Porphyrique; Brèche de coulée	0,12
TLG-ZJ418-075	427	429	J4-C4	I2J; BRI; LAM; MOY; FIN; MAG	Diorite; Brèche intrusive; Laminations parallèles; Grains moyens; Grains fins; Magnétique	0,12
TLG-ZJ418-075	433	435	J4-C4	I2J; BRI; LAM; MOY; FIN; MAG	Diorite; Brèche intrusive; Laminations parallèles; Grains moyens; Grains fins; Magnétique	0,11
TLG-ZJ418-075	453	455	J4-C4	I2J; BRI; LAM; MOY; FIN; MAG	Diorite; Brèche intrusive; Laminations parallèles; Grains moyens; Grains fins; Magnétique	0,11
TLG-ZJ418-075	455	457	J4-C4	I2J; BRI; LAM; MOY; FIN; MAG	Diorite; Brèche intrusive; Laminations parallèles; Grains moyens; Grains fins; Magnétique	0,1
TLG-ZJ418-075	473	475	J4-C4	I2J; BRI; LAM; MOY; FIN; MAG	Diorite; Brèche intrusive; Laminations parallèles; Grains moyens; Grains fins; Magnétique	0,1
TLG-ZJ418-075	477	479	J4-C4	I2J; BRI; LAM; MOY; FIN; MAG	Diorite; Brèche intrusive; Laminations parallèles; Grains moyens; Grains fins; Magnétique	0,12
TLG-ZJ418-075	485	487	J4-C4	I2J; BRI; LAM; MOY; FIN; MAG	Diorite; Brèche intrusive; Laminations parallèles; Grains moyens; Grains fins; Magnétique	0,12
TLG-ZJ418-076	175	176	J4-C4	I2J; BRC; POR	Diorite 65°; Brèche de coulée; Porphyrique	0,1
TLG-ZJ418-076	181	182	J4-C4	I2J; BRC; POR	Diorite 65°; Brèche de coulée; Porphyrique	0,11
TLG-ZJ418-076	184	185	J4-C4	I2J; BRC; POR	Diorite 65°; Brèche de coulée; Porphyrique	0,11
TLG-ZJ418-076	194	195	J4-C4	I2J; BRC; POR	Diorite 65°; Brèche de coulée; Porphyrique	0,12
TLG-ZJ418-076	202	203	J4-C4	I2J; BRC; POR	Diorite 65°; Brèche de coulée; Porphyrique	0,12
TLG-ZJ418-076	324	326	J4-C4	I2J; BRI; MOY	Diorite; Brèche intrusive; Grains moyens	0,11
TLG-ZJ418-076	376	378	J4-C4	I2J; MOY; BRI	Diorite; Grains moyens; Brèche intrusive	0,12
TLG-ZJ418-076	398	400	J4-C4	I2J; GRO; BRI; MAS	Diorite; Grains grossiers; Brèche intrusive; Roche massive	0,09
TLG-ZJ418-076	412	414	J4-C4	I2J; GRO; BRI; MAS	Diorite; Grains grossiers; Brèche intrusive; Roche massive	0,1
TLG-ZJ418-076	438	440	J4-C4	I2J; MOY; BRI	Diorite; Grains moyens; Brèche intrusive	0,11
TLG-ZJ418-076	452	454	J4-C4	I2J; BRI	Diorite; Brèche intrusive	0,09
TLG-ZJ418-077	242	244	J4-C4	I2J; FIN; MOY; BRI; GRO	Diorite; Grains fins; Grains moyens; Brèche intrusive; Grains grossiers	0,11
TLG-ZJ418-077	250	252	J4-C4	I2J; FIN; MOY; BRI; GRO	Diorite; Grains fins; Grains moyens; Brèche intrusive; Grains grossiers	0,09
TLG-ZJ418-077	278	280	J4-C4	I2J; MOY; BRI	Diorite; Grains moyens; Brèche intrusive	0,1
TLG-ZJ418-077	280	282	J4-C4	I2J; MOY; BRI	Diorite; Grains moyens; Brèche intrusive	0,11
TLG-ZJ418-077	290	292	J4-C4	I2J; MOY; BRI	Diorite; Grains moyens; Brèche intrusive	0,11
TLG-ZJ418-077	294	296	J4-C4	I2J; MOY; BRI	Diorite; Grains moyens; Brèche intrusive	0,11
TLG-ZJ418-077	302	304	J4-C4	I2J; MOY; BRI	Diorite; Grains moyens; Brèche intrusive	0,12
TLG-ZJ418-077	306	308	J4-C4	I2J; MOY; BRI	Diorite; Grains moyens; Brèche intrusive	0,09
TLG-ZJ419-100	442	444	J4-C4	I2J; FIN; RUB; BRI	Diorite; Grains fins; Rubané; Brèche intrusive	0,09
TLG-ZJ419-100	446	448	J4-C4	I2J; FIN; RUB; BRI	Diorite; Grains fins; Rubané; Brèche intrusive	0,09
TLG-ZJ419-100	454	456	J4-C4	I2J; FIN; RUB; BRI	Diorite; Grains fins; Rubané; Brèche intrusive	0,09
TLG-ZJ419-100	480	482	J4-C4	I2J; MAS; RUB; BRI	Diorite; Roche massive; Rubané; Brèche intrusive	0,09
TLG-ZJ419-100	482	484	J4-C4	I2J; MAS; RUB; BRI	Diorite; Roche massive; Rubané; Brèche intrusive	0,11
TLG-ZJ419-100	492	494	J4-C4	I2J; MAS; RUB; BRI	Diorite; Roche massive; Rubané; Brèche intrusive	0,09
TLG-ZJ419-100	498	500	J4-C4	I2J; MAS; RUB; BRI	Diorite; Roche massive; Rubané; Brèche intrusive	0,09
TLG-ZJ419-100	504	506	J4-C4	I2J; MAS; RUB; BRI	Diorite; Roche massive; Rubané; Brèche intrusive	0,1
TLG-ZJ419-100	512	514	J4-C4	I2J; MAS; RUB; BRI	Diorite; Roche massive; Rubané; Brèche intrusive	0,12
TLG-ZJ419-101	444	446	J4-C4	I2J; POR; BRI	Diorite; Porphyrique; Brèche intrusive	0,1
TLG-ZJ419-101	454	456	J4-C4	I2J; POR; BRI	Diorite; Porphyrique; Brèche intrusive	0,12
TLG-ZJ419-101	506	508	J4-C4	I2J; FIN; RUB; BRI	Diorite; Grains fins; Rubané; Brèche intrusive	0,1
TLG-ZJ419-101	510	512	J4-C4	I2J; FIN; RUB; BRI	Diorite; Grains fins; Rubané; Brèche intrusive	0,11
TLG-ZJ419-101	518	520	J4-C4	I2J; FIN; RUB; BRI	Diorite; Grains fins; Rubané; Brèche intrusive	0,1
TLG-ZJ419-101	532	534	J4-C4	I2J; FIN; RUB; BRI	Diorite; Grains fins; Rubané; Brèche intrusive	0,12
TLG-ZJ419-101	538	540	J4-C4	I2J; FIN; RUB; BRI	Diorite; Grains fins; Rubané; Brèche intrusive	0,11
TLG-ZJ419-106	61	63	J4-C4	I2J; BRI; LAM	Diorite; Brèche intrusive; Laminations parallèles	0,11
TLG-ZJ419-106	67	69	J4-C4	I2J; BRI; LAM	Diorite; Brèche intrusive; Laminations parallèles	0,1
TLG-ZJ419-108	60	62	J4-C4	I2J; BRI	Diorite; Brèche intrusive	0,12
TLG-ZJ419-108	288	290	J4-C4	I2J; BRI; MOY	Diorite; Brèche intrusive; Grains moyens	0,11
TLG-ZJ419-108	296	298	J4-C4	I2J; BRI; MOY	Diorite; Brèche intrusive; Grains moyens	0,1
TLG-ZJ419-109	118	120	J4-C4	I2J; BRI; POR; RUB	Diorite; Brèche intrusive; Porphyrique; Rubané	0,12
TLG-ZJ419-109	146	148	J4-C4	I2J; FIN; MAS; POR; BRI	Diorite; Grains fins; Roche massive; Porphyrique; Brèche intrusive	0,11
TLG-ZJ419-109	322	324	J4-C4	I2J; GRO; POR; BRI	Diorite; Grains grossiers; Porphyrique; Brèche intrusive	0,12
TLG-ZJ419-109	394	396	J4-C4	I2J; GRO; BRI; POR	Diorite; Grains grossiers; Brèche intrusive; Porphyrique	0,11
TLG-ZJ419-109	398	400	J4-C4	I2J; GRO; BRI; POR	Diorite; Grains grossiers; Brèche intrusive; Porphyrique	0,11
TLG-ZJ419-109	546	548	J4-C4	I2J; GRO; BRI; POR	Diorite; Grains grossiers; Brèche intrusive; Porphyrique	0,12
TLG-ZJ419-111	75	77	J4-C4	I2J; BRI	Diorite; Brèche intrusive	0,11

DDH ID	From	To	For Column	Rock Code	Title	S Final (%)
TLG-ZJ419-111	97	99	J4-C4	I2J; FIN; BRI	Diorite; Grains fins; Brèche intrusive	0,12
TLG-ZJ419-111	117	119	J4-C4	I2J; FIN; BRI	Diorite; Grains fins; Brèche intrusive	0,09
TLG-ZJ419-111	129	131	J4-C4	I2J; FIN; BRI	Diorite; Grains fins; Brèche intrusive	0,1
TLG-ZJ419-111	155	157	J4-C4	I2J; FIN; BRI	Diorite; Grains fins; Brèche intrusive	0,09
TLG-ZJ419-111	165	167	J4-C4	I2J; FIN; BRI	Diorite; Grains fins; Brèche intrusive	0,11
TLG-ZJ419-111	195	197	J4-C4	I2J; FIN; BRI	Diorite; Grains fins; Brèche intrusive	0,1
TLG-ZJ419-111	197	199	J4-C4	I2J; FIN; BRI	Diorite; Grains fins; Brèche intrusive	0,11
TLG-ZJ419-111	199	201	J4-C4	I2J; FIN; BRI	Diorite; Grains fins; Brèche intrusive	0,11
TLG-ZJ419-111	201	203	J4-C4	I2J; FIN; BRI	Diorite; Grains fins; Brèche intrusive	0,09
TLG-ZJ419-111	361	363	J4-C4	I2J; BRI; LAM	Diorite; Brèche intrusive; Laminations parallèles	0,12
TLG-ZJ419-111	483	485	J4-C4	I2J; BRI; LAM	Diorite; Brèche intrusive; Laminations parallèles	0,11
TLG-ZJ419-112	46	48	J4-C4	I2J; BRI; LAM	Diorite; Brèche intrusive; Laminations parallèles	0,09
TLG-ZJ419-112	60	62	J4-C4	I2J; BRI; LAM	Diorite; Brèche intrusive; Laminations parallèles	0,1
TLG-ZJ419-112	144	146	J4-C4	I2J; BRI; LAM	Diorite; Brèche intrusive; Laminations parallèles	0,09
TLG-ZJ419-112	154	156	J4-C4	I2J; BRI; LAM	Diorite; Brèche intrusive; Laminations parallèles	0,1
TLG-ZJ419-112	184	186	J4-C4	I2J; BRI; LAM	Diorite; Brèche intrusive; Laminations parallèles	0,09
TLG-ZJ419-112	218	220	J4-C4	I2J; BRI; FIN	Diorite; Brèche intrusive; Grains fins	0,12
TLG-ZJ419-112	220	222	J4-C4	I2J; BRI; FIN	Diorite; Brèche intrusive; Grains fins	0,11
TLG-ZJ419-113	158	160	J4-C4	I2J; MOY; BRI	Diorite; Grains moyens; Brèche intrusive	0,1
TLG-ZJ419-113	160	162	J4-C4	I2J; MOY; BRI	Diorite; Grains moyens; Brèche intrusive	0,11
TLG-ZJ419-113	162	164	J4-C4	I2J; MOY; BRI	Diorite; Grains moyens; Brèche intrusive	0,11
TLG-ZJ419-113	164	166	J4-C4	I2J; MOY; BRI	Diorite; Grains moyens; Brèche intrusive	0,09
TLG-ZJ419-113	174	176	J4-C4	I2J; BRI; LAM; FIN	Diorite; Brèche intrusive; Laminations parallèles; Grains fins	0,1
TLG-ZJ419-113	204	206	J4-C4	I2J; BRI; LAM; FIN	Diorite; Brèche intrusive; Laminations parallèles; Grains fins	0,12
TLG-ZJ419-113	484	486	J4-C4	I2J; BRI; LAM; FIN; MOY; MAG	Diorite; Brèche intrusive; Laminations parallèles; Grains fins; Grains moyens; Magnétique	0,11
TLG-ZJ419-113	488	490	J4-C4	I2J; BRI; LAM; FIN; MOY; MAG	Diorite; Brèche intrusive; Laminations parallèles; Grains fins; Grains moyens; Magnétique	0,11
TLG-ZJ419-113	496	498	J4-C4	I2J; BRI; LAM; FIN; MOY; MAG	Diorite; Brèche intrusive; Laminations parallèles; Grains fins; Grains moyens; Magnétique	0,09
TLG-ZJ419-148	344	346	J4-C4	I2J; MOY; BRI	Diorite; Grains moyens; Brèche intrusive	0,11
TLG-ZJ419-148	364	366	J4-C4	I2J; MOY; BRI	Diorite; Grains moyens; Brèche intrusive	0,09
TLG-ZJ419-148	366	368	J4-C4	I2J; MOY; BRI	Diorite; Grains moyens; Brèche intrusive	0,11
TLG-ZJ419-148	368	370	J4-C4	I2J; MOY; BRI	Diorite; Grains moyens; Brèche intrusive	0,12
TLG-ZJ419-148	372	374	J4-C4	I2J; MOY; BRI	Diorite; Grains moyens; Brèche intrusive	0,1
TLG-ZJ419-148	388	390	J4-C4	I2J; BRI; GRO; MAS	Diorite; Brèche intrusive; Grains grossiers; Roche massive	0,12
TLG-ZJ419-148	390	392	J4-C4	I2J; BRI; GRO; MAS	Diorite; Brèche intrusive; Grains grossiers; Roche massive	0,09
TLG-ZJ419-148	394	396	J4-C4	I2J; BRI; GRO; MAS	Diorite; Brèche intrusive; Grains grossiers; Roche massive	0,12
TLG-ZJ419-148	396	398	J4-C4	I2J; BRI; GRO; MAS	Diorite; Brèche intrusive; Grains grossiers; Roche massive	0,09
TLG-ZJ419-148	444	446	J4-C4	I2J; POR; BRI; FIN; MAS	Diorite; Porphyrique; Brèche intrusive; Grains fins; Roche massive	0,1
TLG-ZJ419-148	454	456	J4-C4	I2J; POR; BRI; FIN; MAS	Diorite; Porphyrique; Brèche intrusive; Grains fins; Roche massive	0,11
TLG-ZJ419-148	456	458	J4-C4	I2J; POR; BRI; FIN; MAS	Diorite; Porphyrique; Brèche intrusive; Grains fins; Roche massive	0,1
TLG-ZJ419-148	462	464	J4-C4	I2J; POR; BRI; FIN; MAS	Diorite; Porphyrique; Brèche intrusive; Grains fins; Roche massive	0,09
TLG-ZJ419-148	472	474	J4-C4	I2J; POR; BRI; FIN; MAS	Diorite; Porphyrique; Brèche intrusive; Grains fins; Roche massive	0,11
TLG-ZJ419-148	474	476	J4-C4	I2J; POR; BRI; FIN; MAS	Diorite; Porphyrique; Brèche intrusive; Grains fins; Roche massive	0,11
TLG-ZJ419-148	478	480	J4-C4	I2J; POR; BRI; FIN; MAS	Diorite; Porphyrique; Brèche intrusive; Grains fins; Roche massive	0,11
TLG-ZJ419-148	492	494	J4-C4	I2J; BRI; MOY; FIN	Diorite; Brèche intrusive; Grains moyens; Grains fins	0,09
TLG-ZJ419-148	534	536	J4-C4	I2J; FIN; MOY; BRI	Diorite; Grains fins; Grains moyens; Brèche intrusive	0,09
TLG-ZJ419-148	552	554	J4-C4	I2J; FIN; MOY; BRI	Diorite; Grains fins; Grains moyens; Brèche intrusive	0,12
TLG-ZJ419-149	18	20	J4-C4	I2J; BRI	Diorite; Brèche intrusive	0,12
TLG-ZJ419-149	36	38	J4-C4	I2J; BRI	Diorite; Brèche intrusive	0,1
TLG-ZJ419-149	162	164	J4-C4	I2J; FIN; MOY; BRI; POR	Diorite; Grains fins; Grains moyens; Brèche intrusive; Porphyrique	0,12
TLG-ZJ419-149	410	412	J4-C4	I2J; MOY; POR; BRI	Diorite; Grains moyens; Porphyrique; Brèche intrusive	0,11
TLG-ZJ419-149	414	416	J4-C4	I2J; MOY; POR; BRI	Diorite; Grains moyens; Porphyrique; Brèche intrusive	0,12
TLG-ZJ419-149	456	458	J4-C4	I2J; MAS; BRI; MOY	Diorite; Roche massive; Brèche intrusive; Grains moyens	0,12
TLG-ZJ419-149	490	492	J4-C4	I2J; FIN; MOY; BRI; MAS	Diorite; Grains fins; Grains moyens; Brèche intrusive; Roche massive	0,09
TLG-ZJ419-149	552	554	J4-C4	I2J; MAS; BRI; POR; FIN; MOY	Diorite; Roche massive; Brèche intrusive; Porphyrique; Grains fins; Grains moyens	0,09
TLG-ZJ419-150	39	41	J4-C4	I2J; BRI	Diorite; Brèche intrusive	0,12
TLG-ZJ419-150	47	49	J4-C4	I2J; BRI	Diorite; Brèche intrusive	0,09
TLG-ZJ419-150	85	87	J4-C4	I2J; BRI; MAG	Diorite; Brèche intrusive; Magnétique	0,1
TLG-ZJ419-150	447	449	J4-C4	I2J; BRI; POR	Diorite; Brèche intrusive; Porphyrique	0,11
TLG-ZJ419-153	18	20	J4-C4	I2J; FIN; POR; BRI	Diorite; Grains fins; Porphyrique; Brèche intrusive	0,09
TLG-ZJ419-153	24	26	J4-C4	I2J; FIN; POR; BRI	Diorite; Grains fins; Porphyrique; Brèche intrusive	0,1
TLG-ZJ419-153	26	28	J4-C4	I2J; FIN; POR; BRI	Diorite; Grains fins; Porphyrique; Brèche intrusive	0,1
TLG-ZJ419-153	46	48	J4-C4	I2J; FIN; POR; BRI	Diorite; Grains fins; Porphyrique; Brèche intrusive	0,1
TLG-ZJ419-153	60	62	J4-C4	I2J; FIN; POR; BRI	Diorite; Grains fins; Porphyrique; Brèche intrusive	0,11
TLG-ZJ419-153	98	100	J4-C4	I2J; FIN; POR; BRI	Diorite; Grains fins; Porphyrique; Brèche intrusive	0,12
TLG-ZJ419-157	255	257	J4-C4	I2J; FIN; LAM; MAG; BRI	Diorite; Grains fins; Laminations parallèles; Magnétique; Brèche intrusive	0,11
TLG-ZJ419-157	263	265	J4-C4	I2J; FIN; LAM; MAG; BRI	Diorite; Grains fins; Laminations parallèles; Magnétique; Brèche intrusive	0,12
TLG-ZJ419-157	267	269	J4-C4	I2J; FIN; LAM; MAG; BRI	Diorite; Grains fins; Laminations parallèles; Magnétique; Brèche intrusive	0,11
TLG-ZJ419-157	293	295	J4-C4	I2J; FIN; LAM; MAG; BRI	Diorite; Grains fins; Laminations parallèles; Magnétique; Brèche intrusive	0,12

DDH ID	From	To	For Column	Rock Code	Title	S Final (%)
TLG-ZJ419-157	295	297	J4-C4	I2J; FIN; LAM; MAG; BRI	Diorite; Grains fins; Laminations parallèles; Magnétique; Brèche intrusive	0,11
TLG-ZJ419-157	297	299	J4-C4	I2J; FIN; LAM; MAG; BRI	Diorite; Grains fins; Laminations parallèles; Magnétique; Brèche intrusive	0,12
TLG-ZJ419-158	112	114	J4-C4	I2J; MAG; LAM; BRI; POR	Diorite; Magnétique; Laminations parallèles; Brèche intrusive; Porphyrique	0,12
TLG-ZJ419-158	178	180	J4-C4	I2J; MAG; LAM; BRI; POR	Diorite; Magnétique; Laminations parallèles; Brèche intrusive; Porphyrique	0,09
TLG-ZJ419-158	248	250	J4-C4	I2J; BRI; LAM	Diorite; Brèche intrusive; Laminations parallèles	0,1
TLG-ZJ419-159	277	279	J4-C4	I2J; BRI; LAM; FIN	Diorite; Brèche intrusive; Laminations parallèles; Grains fins	0,12
TLG-ZJ419-159	283	285	J4-C4	I2J; BRI; LAM; FIN	Diorite; Brèche intrusive; Laminations parallèles; Grains fins	0,1
TLG-ZJ419-159	285	287	J4-C4	I2J; BRI; LAM; FIN	Diorite; Brèche intrusive; Laminations parallèles; Grains fins	0,09
TLG-ZJ419-159	287	289	J4-C4	I2J; BRI; LAM; FIN	Diorite; Brèche intrusive; Laminations parallèles; Grains fins	0,09
TLG-ZJ419-159	293	295	J4-C4	I2J; BRI; LAM; FIN	Diorite; Brèche intrusive; Laminations parallèles; Grains fins	0,11
TLG-ZJ419-162	375	377	J4-C4	I2J; FIN; GRO; MAS; BRI	Diorite; Grains fins; Grains grossiers; Roche massive; Brèche intrusive	0,1
TLG-ZJ419-162	437	439	J4-C4	I2J; FIN; MOY; BRI	Diorite; Grains fins; Grains moyens; Brèche intrusive	0,12
TLG-ZJ419-162	495	497	J4-C4	I2J; BRI	Diorite; Brèche intrusive	0,09
TLG-ZJ419-162	503	505	J4-C4	I2J; BRI	Diorite; Brèche intrusive	0,11
TLG-ZJ419-163	41	43	J4-C4	I2J; BRI	Diorite; Brèche intrusive	0,12
TLG-ZJ419-163	55	57	J4-C4	I2J; BRI	Diorite; Brèche intrusive	0,12
TLG-ZJ419-163	57	59	J4-C4	I2J; BRI	Diorite; Brèche intrusive	0,11
TLG-ZJ419-163	59	61	J4-C4	I2J; BRI	Diorite; Brèche intrusive	0,12
TLG-ZJ419-163	61	63	J4-C4	I2J; BRI	Diorite; Brèche intrusive	0,09
TLG-ZJ419-163	63	65	J4-C4	I2J; BRI	Diorite; Brèche intrusive	0,1
TLG-ZJ419-163	69	71	J4-C4	I2J; BRI	Diorite; Brèche intrusive	0,09
TLG-ZJ419-163	413	415	J4-C4	I2J; MOY; BRI	Diorite; Grains moyens; Brèche intrusive	0,12
TLG-ZJ419-163	467	469	J4-C4	I2J; FIN; BRI; MAS	Diorite; Grains fins; Brèche intrusive; Roche massive	0,09
TLG-ZJ419-163	521	523	J4-C4	I2J; POR; BRI; FIN	Diorite; Porphyrique; Brèche intrusive; Grains fins	0,09
TLG-ZJ419-164	136	138	J4-C4	I2J; BRI; LAM; FIN	Diorite; Brèche intrusive; Laminations parallèles; Grains fins	0,09
TLG-ZJ419-164	162	164	J4-C4	I2J; FIN; BRI; LAM	Diorite; Grains fins; Brèche intrusive; Laminations parallèles	0,12
TLG-ZJ419-164	168	170	J4-C4	I2J; FIN; LAM; BRI	Diorite; Grains fins; Laminations parallèles; Brèche intrusive	0,09
TLG-ZJ419-164	208	210	J4-C4	I2J; FIN; LAM; BRI	Diorite; Grains fins; Laminations parallèles; Brèche intrusive	0,11
TLG-ZJ419-164	214	216	J4-C4	I2J; FIN; LAM; BRI	Diorite; Grains fins; Laminations parallèles; Brèche intrusive	0,12
TLG-ZJ419-164	236	238	J4-C4	I2J; FIN; LAM; BRI	Diorite; Grains fins; Laminations parallèles; Brèche intrusive	0,12
TLG-ZJ419-165	44	46	J4-C4	I2J; FIN; BRI; LAM	Diorite; Grains fins; Brèche intrusive; Laminations parallèles	0,11
TLG-ZJ419-165	52	54	J4-C4	I2J; FIN; BRI; LAM	Diorite; Grains fins; Brèche intrusive; Laminations parallèles	0,09
TLG-ZJ419-165	90	92	J4-C4	I2J; FIN; BRI; LAM	Diorite; Grains fins; Brèche intrusive; Laminations parallèles	0,1
TLG-ZJ419-165	114	116	J4-C4	I2J; FIN; BRI; LAM	Diorite; Grains fins; Brèche intrusive; Laminations parallèles	0,09
TLG-ZJ419-165	138	140	J4-C4	I2J; FIN; BRI; LAM	Diorite; Grains fins; Brèche intrusive; Laminations parallèles	0,1
TLG-ZJ419-167	31	33	J4-C4	I2J; BRI	Diorite; Brèche intrusive	0,11
TLG-ZJ419-167	33	35	J4-C4	I2J; BRI	Diorite; Brèche intrusive	0,11
TLG-ZJ419-167	55	57	J4-C4	I2J; BRI	Diorite; Brèche intrusive	0,09
TLG-ZJ419-167	59	61	J4-C4	I2J; BRI	Diorite; Brèche intrusive	0,09
TLG-ZJ419-167	61	63	J4-C4	I2J; BRI	Diorite; Brèche intrusive	0,1
TLG-ZJ419-167	63	65	J4-C4	I2J; BRI	Diorite; Brèche intrusive	0,1
TLG-ZJ419-167	71	73	J4-C4	I2J; BRI	Diorite; Brèche intrusive	0,12
TLG-ZJ419-167	85	87	J4-C4	I2J; BRI	Diorite; Brèche intrusive	0,12
TLG-ZJ419-167	93	95	J4-C4	I2J; BRI	Diorite; Brèche intrusive	0,12
TLG-ZJ419-167	209	211	J4-C4	I2J; BRI	Diorite; Brèche intrusive	0,11
TLG-ZJ419-167	233	235	J4-C4	I2J; BRI	Diorite; Brèche intrusive	0,1
TLG-ZJ419-167	235	237	J4-C4	I2J; BRI	Diorite; Brèche intrusive	0,12
TLG-ZJ419-167	529	531	J4-C4	I2J; BRI	Diorite; Brèche intrusive	0,12
TLG-ZJ419-168	79	81	J4-C4	I2J; FIN; MOY; LAM; BRI	Diorite; Grains fins; Grains moyens; Laminations parallèles; Brèche intrusive	0,1
TLG-ZJ419-168	87	89	J4-C4	I2J; FIN; MOY; LAM; BRI	Diorite; Grains fins; Grains moyens; Laminations parallèles; Brèche intrusive	0,09
TLG-ZJ419-168	97	99	J4-C4	I2J; FIN; MOY; LAM; BRI	Diorite; Grains fins; Grains moyens; Laminations parallèles; Brèche intrusive	0,09
TLG-ZJ419-169	98	100	J4-C4	I2J; FIN; LAM; RUB; BRI	Diorite; Grains fins; Laminations parallèles; Rubané; Brèche intrusive	0,12
TLG-ZJ419-169	274	276	J4-C4	I2J; FIN; POR; BRI	Diorite; Grains fins; Porphyrique; Brèche intrusive	0,1
TLG-ZJ419-169	282	284	J4-C4	I2J; FIN; POR; BRI	Diorite; Grains fins; Porphyrique; Brèche intrusive	0,09
TLG-ZJ419-169	326	328	J4-C4	I2J; FIN; POR; BRI	Diorite; Grains fins; Porphyrique; Brèche intrusive	0,09
TLG-ZJ419-172	182	184	J4-C4	I2J; BRI; MAG	Diorite; Brèche intrusive; Magnétique	0,12
TLG-ZJ419-172	184	186	J4-C4	I2J; BRI; MAG	Diorite; Brèche intrusive; Magnétique	0,11
TLG-ZJ419-172	200	202	J4-C4	I2J; BRI; MAG	Diorite; Brèche intrusive; Magnétique	0,09
TLG-ZJ20-224	179	180	J4-C4	I2J; BRI	Diorite; Brèche intrusive	0,1
TLG-ZJ20-224	181	182	J4-C4	I2J; BRI	Diorite; Brèche intrusive	0,12
TLG-ZJ20-224	182	183	J4-C4	I2J; BRI	Diorite; Brèche intrusive	0,12
TLG-ZJ21-225	448	449	J4-C4	I2J; BRI	Diorite; Brèche intrusive	0,11
TLG-ZJ21-225	453	454	J4-C4	I2J; BRI	Diorite; Brèche intrusive	0,1
TLG-ZJ21-225	501	502	J4-C4	I2J; BRI	Diorite; Brèche intrusive	0,12
TLG-ZJ21-225	502	503	J4-C4	I2J; BRI	Diorite; Brèche intrusive	0,09
TLG-ZJ21-225	507	508	J4-C4	I2J; BRI	Diorite; Brèche intrusive	0,12
TLG-ZJ21-225	510	511	J4-C4	I2J; BRI	Diorite; Brèche intrusive	0,09

DDH ID	From	To	For Column	Rock Code	Title	S Final (%)
TLG-ZJ21-225	529	530	J4-C4	I2J; BRI	Diorite; Brèche intrusive	0,1
TLG-ZJ21-225	534	535	J4-C4	I2J; BRI	Diorite; Brèche intrusive	0,12
TLG-ZJ21-225	542	543	J4-C4	I2J; BRI	Diorite; Brèche intrusive	0,11
TLG-ZJ21-234	226	227	J4-C4	I2J; BRI	Diorite; Brèche intrusive	0,09
TLG-ZJ21-234	230	231	J4-C4	I2J; BRI	Diorite; Brèche intrusive	0,11
TLG-ZJ21-234	232	233	J4-C4	I2J; BRI	Diorite; Brèche intrusive	0,1
TLG-ZJ21-234	234	235	J4-C4	I2J; BRI	Diorite; Brèche intrusive	0,12
TLG-ZJ21-234	237	238	J4-C4	I2J; BRI	Diorite; Brèche intrusive	0,09
TLG-ZJ21-238	132	133	J4-C4	I2J; BRI	Diorite; Brèche intrusive	0,11
TLG-ZJ21-238	133	134	J4-C4	I2J; BRI	Diorite; Brèche intrusive	0,12
TLG-ZJ21-238	134	135	J4-C4	I2J; BRI	Diorite; Brèche intrusive	0,09
TLG-ZJ21-238	137	138	J4-C4	I2J; BRI	Diorite; Brèche intrusive	0,09
TLG-ZJ21-238	138	139	J4-C4	I2J; BRI	Diorite; Brèche intrusive	0,1
TLG-ZJ21-238	141	142	J4-C4	I2J; BRI	Diorite; Brèche intrusive	0,1
TLG-ZJ21-238	142	143	J4-C4	I2J; BRI	Diorite; Brèche intrusive	0,11
TLG-ZJ21-238	156	157	J4-C4	I2J; BRI	Diorite; Brèche intrusive	0,09
TLG-ZJ21-240	289	290	J4-C4	I2J; BRI	Diorite; Brèche intrusive	0,11
TLG-ZJ21-240	453	454	J4-C4	I2J; BRI	Diorite; Brèche intrusive	0,12
TLG-ZJ21-240	465	466	J4-C4	I2J; BRI	Diorite; Brèche intrusive	0,12
TLG-ZJ21-240	496	497	J4-C4	I2J; BRI	Diorite; Brèche intrusive	0,09
TLG-ZJ21-240	498	499	J4-C4	I2J; BRI	Diorite; Brèche intrusive	0,12
TLG-ZJ21-240	499	500	J4-C4	I2J; BRI	Diorite; Brèche intrusive	0,09
TLG-ZJ21-246	49	50	J4-C4	I2J; BR	Diorite; Brèche/bréchique	0,09
TLG-ZJ21-246	78	79	J4-C4	I2J; BR	Diorite; Brèche/bréchique	0,11
TLG-ZJ21-246	86	87	J4-C4	I2J; BR	Diorite; Brèche/bréchique	0,09
TLG-ZJ21-249	107	108	J4-C4	I2J; BR	Diorite; Brèche/bréchique	0,11
TLG-ZJ21-249	110	111	J4-C4	I2J; BR	Diorite; Brèche/bréchique	0,09
TLG-ZJ21-249	112	113	J4-C4	I2J; BR	Diorite; Brèche/bréchique	0,11
TLG-ZJ21-249	157	158	J4-C4	I2J; BR	Diorite; Brèche/bréchique	0,11
TLG-ZJ21-249	163	164	J4-C4	I2J; BR	Diorite; Brèche/bréchique	0,11
TLG-ZJ21-249	165	166	J4-C4	I2J; BR	Diorite; Brèche/bréchique	0,09

DDH ID	From	To	For Column	Rock Code	Title	S Final (%)
TLG-ZJ418-051	94	95	J4-C5 & J4-C11	I2J; FIN; LAM; BRI	Diorite; Grains fins; Laminations parallèles; Brèche intrusive	0,22
TLG-ZJ418-051	97	98	J4-C5 & J4-C11	I2J; FIN; LAM; BRI	Diorite; Grains fins; Laminations parallèles; Brèche intrusive	0,27
TLG-ZJ418-051	114	115	J4-C5 & J4-C11	I2J; FIN; LAM; BRI	Diorite; Grains fins; Laminations parallèles; Brèche intrusive	0,22
TLG-ZJ418-053	11	11,8	J4-C5 & J4-C11	I2J; LAM; BRI	Diorite 70°; Laminations parallèles; Brèche intrusive	0,27
TLG-ZJ418-053	16	17	J4-C5 & J4-C11	I2J; LAM; BRI	Diorite 70°; Laminations parallèles; Brèche intrusive	0,25
TLG-ZJ418-053	20	21	J4-C5 & J4-C11	I2J; LAM; BRI	Diorite 70°; Laminations parallèles; Brèche intrusive	0,22
TLG-ZJ418-053	26,9	28	J4-C5 & J4-C11	I2J; LAM; BRI	Diorite 70°; Laminations parallèles; Brèche intrusive	0,3
TLG-ZJ418-053	30	31	J4-C5 & J4-C11	I2J; LAM; BRI	Diorite 70°; Laminations parallèles; Brèche intrusive	0,31
TLG-ZJ418-053	38	39	J4-C5 & J4-C11	I2J; LAM; BRI	Diorite 70°; Laminations parallèles; Brèche intrusive	0,31
TLG-ZJ418-053	65	66	J4-C5 & J4-C11	I2J; LAM; BRI	Diorite 70°; Laminations parallèles; Brèche intrusive	0,29
TLG-ZJ418-053	66	67	J4-C5 & J4-C11	I2J; LAM; BRI	Diorite 70°; Laminations parallèles; Brèche intrusive	0,25
TLG-ZJ418-053	75	76	J4-C5 & J4-C11	I2J; LAM; BRI	Diorite 70°; Laminations parallèles; Brèche intrusive	0,26
TLG-ZJ418-053	76	77	J4-C5 & J4-C11	I2J; LAM; BRI	Diorite 70°; Laminations parallèles; Brèche intrusive	0,31
TLG-ZJ418-053	82	83	J4-C5 & J4-C11	I2J; LAM; BRI	Diorite 70°; Laminations parallèles; Brèche intrusive	0,27
TLG-ZJ418-064	23	24	J4-C5 & J4-C11	I2J; BRI	Diorite 60°; Brèche intrusive	0,27
TLG-ZJ418-064	24	25	J4-C5 & J4-C11	I2J; BRI	Diorite 60°; Brèche intrusive	0,26
TLG-ZJ418-064	46	47	J4-C5 & J4-C11	I2J; BRI	Diorite 60°; Brèche intrusive	0,22
TLG-ZJ418-064	49	50	J4-C5 & J4-C11	I2J; BRI	Diorite 60°; Brèche intrusive	0,31
TLG-ZJ418-064	51	52	J4-C5 & J4-C11	I2J; BRI	Diorite 60°; Brèche intrusive	0,22
TLG-ZJ418-064	52	53	J4-C5 & J4-C11	I2J; BRI	Diorite 60°; Brèche intrusive	0,22
TLG-ZJ418-064	54	55	J4-C5 & J4-C11	I2J; BRI	Diorite 60°; Brèche intrusive	0,23
TLG-ZJ418-065	24	25	J4-C5 & J4-C11	I2J; BRC; SPH	Diorite 70°; Brèche de coulée; Sphérolitique	0,23
TLG-ZJ418-065	26	27	J4-C5 & J4-C11	I2J; BRC; SPH	Diorite 70°; Brèche de coulée; Sphérolitique	0,29
TLG-ZJ418-065	49	50	J4-C5 & J4-C11	I2J; BRC; SPH	Diorite 70°; Brèche de coulée; Sphérolitique	0,22
TLG-ZJ418-065	70	71	J4-C5 & J4-C11	I2J; BRC; SPH	Diorite 70°; Brèche de coulée; Sphérolitique	0,24
TLG-ZJ418-065	74	75	J4-C5 & J4-C11	I2J; BRC; SPH	Diorite 70°; Brèche de coulée; Sphérolitique	0,26
TLG-ZJ418-065	76	77	J4-C5 & J4-C11	I2J; BRC; SPH	Diorite 70°; Brèche de coulée; Sphérolitique	0,23
TLG-ZJ418-065	79	80	J4-C5 & J4-C11	I2J; BRC; SPH	Diorite 70°; Brèche de coulée; Sphérolitique	0,23
TLG-ZJ418-065	80	81	J4-C5 & J4-C11	I2J; BRC; SPH	Diorite 70°; Brèche de coulée; Sphérolitique	0,31
TLG-ZJ418-065	84,23	85	J4-C5 & J4-C11	I2J; I2J; BRI	Diorite; Diorite 65°; Brèche intrusive	0,3
TLG-ZJ418-065	92	93	J4-C5 & J4-C11	I2J; I2J; BRI	Diorite; Diorite 65°; Brèche intrusive	0,27
TLG-ZJ418-065	93	94	J4-C5 & J4-C11	I2J; I2J; BRI	Diorite; Diorite 65°; Brèche intrusive	0,24
TLG-ZJ418-065	97	98	J4-C5 & J4-C11	I2J; I2J; BRI	Diorite; Diorite 65°; Brèche intrusive	0,31
TLG-ZJ418-065	99	100	J4-C5 & J4-C11	I2J; I2J; BRI	Diorite; Diorite 65°; Brèche intrusive	0,33
TLG-ZJ418-065	112	113	J4-C5 & J4-C11	I2J; I2J; BRI	Diorite; Diorite 65°; Brèche intrusive	0,31
TLG-ZJ418-065	113	114	J4-C5 & J4-C11	I2J; I2J; BRI	Diorite; Diorite 65°; Brèche intrusive	0,31
TLG-ZJ418-065	114	115	J4-C5 & J4-C11	I2J; I2J; BRI	Diorite; Diorite 65°; Brèche intrusive	0,26
TLG-ZJ418-065	116	117	J4-C5 & J4-C11	I2J; I2J; BRI	Diorite; Diorite 65°; Brèche intrusive	0,25
TLG-ZJ418-065	117	118	J4-C5 & J4-C11	I2J; I2J; BRI	Diorite; Diorite 65°; Brèche intrusive	0,29
TLG-ZJ418-065	118	119	J4-C5 & J4-C11	I2J; I2J; BRI	Diorite; Diorite 65°; Brèche intrusive	0,31
TLG-ZJ418-065	132	133	J4-C5 & J4-C11	I2J; I2J; BRI	Diorite; Diorite 65°; Brèche intrusive	0,22
TLG-ZJ418-065	139	140	J4-C5 & J4-C11	I2J; I2J; BRI	Diorite; Diorite 65°; Brèche intrusive	0,29
TLG-ZJ418-065	143	144	J4-C5 & J4-C11	I2J; I2J; BRI	Diorite; Diorite 65°; Brèche intrusive	0,31
TLG-ZJ418-065	150	151	J4-C5 & J4-C11	I2J; I2J; BRI	Diorite; Diorite 65°; Brèche intrusive	0,27
TLG-ZJ418-065	151	152	J4-C5 & J4-C11	I2J; I2J; BRI	Diorite; Diorite 65°; Brèche intrusive	0,22
TLG-ZJ418-065	155	156	J4-C5 & J4-C11	I2J; I2J; BRI	Diorite; Diorite 65°; Brèche intrusive	0,31
TLG-ZJ418-065	159	160	J4-C5 & J4-C11	I2J; I2J; BRI	Diorite; Diorite 65°; Brèche intrusive	0,28
TLG-ZJ418-065	161	162	J4-C5 & J4-C11	I2J; I2J; BRI	Diorite; Diorite 65°; Brèche intrusive	0,28
TLG-ZJ418-065	162	163	J4-C5 & J4-C11	I2J; I2J; BRI	Diorite; Diorite 65°; Brèche intrusive	0,29
TLG-ZJ418-065	165	166	J4-C5 & J4-C11	I2J; I2J; BRI	Diorite; Diorite 65°; Brèche intrusive	0,3
TLG-ZJ418-065	166	167	J4-C5 & J4-C11	I2J; I2J; BRI	Diorite; Diorite 65°; Brèche intrusive	0,24
TLG-ZJ418-065	167	168	J4-C5 & J4-C11	I2J; I2J; BRI	Diorite; Diorite 65°; Brèche intrusive	0,32
TLG-ZJ418-065	181	182	J4-C5 & J4-C11	I2J; I2J; BRI	Diorite; Diorite 65°; Brèche intrusive	0,22
TLG-ZJ418-065	182	183	J4-C5 & J4-C11	I2J; I2J; BRI	Diorite; Diorite 65°; Brèche intrusive	0,27
TLG-ZJ418-065	184	185,3	J4-C5 & J4-C11	I2J; I2J; BRI	Diorite; Diorite 65°; Brèche intrusive	0,22
TLG-ZJ418-067	44	45	J4-C5 & J4-C11	I2J; POR; BRC	Diorite 60°; Porphyrique; Brèche de coulée	0,31
TLG-ZJ418-067	45	46	J4-C5 & J4-C11	I2J; POR; BRC	Diorite 60°; Porphyrique; Brèche de coulée	0,29
TLG-ZJ418-067	60	61	J4-C5 & J4-C11	I2J; POR; BRC	Diorite 60°; Porphyrique; Brèche de coulée	0,24
TLG-ZJ418-067	61	62	J4-C5 & J4-C11	I2J; POR; BRC	Diorite 60°; Porphyrique; Brèche de coulée	0,25
TLG-ZJ418-067	71	72	J4-C5 & J4-C11	I2J; POR; BRC	Diorite 60°; Porphyrique; Brèche de coulée	0,25
TLG-ZJ418-067	72	73	J4-C5 & J4-C11	I2J; POR; BRC	Diorite 60°; Porphyrique; Brèche de coulée	0,26
TLG-ZJ418-067	76	77	J4-C5 & J4-C11	I2J; POR; BRC	Diorite 60°; Porphyrique; Brèche de coulée	0,28
TLG-ZJ418-067	77	78	J4-C5 & J4-C11	I2J; POR; BRC	Diorite 60°; Porphyrique; Brèche de coulée	0,3
TLG-ZJ418-067	85	86	J4-C5 & J4-C11	I2J; POR; BRC	Diorite 60°; Porphyrique; Brèche de coulée	0,3
TLG-ZJ418-067	88	89	J4-C5 & J4-C11	I2J; POR; BRC	Diorite 60°; Porphyrique; Brèche de coulée	0,28
TLG-ZJ418-067	90	91	J4-C5 & J4-C11	I2J; POR; BRC	Diorite 60°; Porphyrique; Brèche de coulée	0,32
TLG-ZJ418-067	91	92	J4-C5 & J4-C11	I2J; POR; BRC	Diorite 60°; Porphyrique; Brèche de coulée	0,33
TLG-ZJ418-067	92	93	J4-C5 & J4-C11	I2J; POR; BRC	Diorite 60°; Porphyrique; Brèche de coulée	0,26
TLG-ZJ418-067	96	97	J4-C5 & J4-C11	I2J; POR; BRC	Diorite 60°; Porphyrique; Brèche de coulée	0,33
TLG-ZJ418-067	98	99	J4-C5 & J4-C11	I2J; POR; BRC	Diorite 60°; Porphyrique; Brèche de coulée	0,22
TLG-ZJ418-067	105	106	J4-C5 & J4-C11	I2J; POR; BRC	Diorite 60°; Porphyrique; Brèche de coulée	0,31
TLG-ZJ418-067	108	109	J4-C5 & J4-C11	I2J; POR; BRC	Diorite 60°; Porphyrique; Brèche de coulée	0,3
TLG-ZJ418-067	120	121	J4-C5 & J4-C11	I2J; POR; BRC	Diorite 60°; Porphyrique; Brèche de coulée	0,3

DDH ID	From	To	For Column	Rock Code	Title	S Final (%)
TLG-ZJ418-067	123	124	J4-C5 & J4-C11	I2J; POR; BRC	Diorite 60°; Porphyrique; Brèche de coulée	0,25
TLG-ZJ418-067	124	125	J4-C5 & J4-C11	I2J; POR; BRC	Diorite 60°; Porphyrique; Brèche de coulée	0,28
TLG-ZJ418-067	127	128	J4-C5 & J4-C11	I2J; POR; BRC	Diorite 60°; Porphyrique; Brèche de coulée	0,31
TLG-ZJ418-067	140	141	J4-C5 & J4-C11	I2J; POR; BRC	Diorite 60°; Porphyrique; Brèche de coulée	0,32
TLG-ZJ418-067	143	144	J4-C5 & J4-C11	I2J; POR; BRC	Diorite 60°; Porphyrique; Brèche de coulée	0,32
TLG-ZJ418-069	154	155	J4-C5 & J4-C11	I2J; BRI	Diorite 80°; Brèche intrusive	0,24
TLG-ZJ418-069	156	157	J4-C5 & J4-C11	I2J; BRI	Diorite 80°; Brèche intrusive	0,3
TLG-ZJ418-069	193	194	J4-C5 & J4-C11	I2J; BRI	Diorite 70°; Brèche intrusive	0,31
TLG-ZJ418-069	197	198	J4-C5 & J4-C11	I2J; BRI	Diorite 70°; Brèche intrusive	0,33
TLG-ZJ418-070	166	167	J4-C5 & J4-C11	I2J; BRC	Diorite 65°; Brèche de coulée	0,22
TLG-ZJ418-070	167	168	J4-C5 & J4-C11	I2J; BRC	Diorite 65°; Brèche de coulée	0,33
TLG-ZJ418-070	168	169	J4-C5 & J4-C11	I2J; BRC	Diorite 65°; Brèche de coulée	0,24
TLG-ZJ418-070	170	171	J4-C5 & J4-C11	I2J; BRC	Diorite 65°; Brèche de coulée	0,24
TLG-ZJ418-070	173	174	J4-C5 & J4-C11	I2J; BRC	Diorite 65°; Brèche de coulée	0,26
TLG-ZJ418-070	174	175	J4-C5 & J4-C11	I2J; BRC	Diorite 65°; Brèche de coulée	0,23
TLG-ZJ418-070	176	177	J4-C5 & J4-C11	I2J; BRC	Diorite 65°; Brèche de coulée	0,26
TLG-ZJ418-070	177	178	J4-C5 & J4-C11	I2J; BRC	Diorite 65°; Brèche de coulée	0,27
TLG-ZJ418-070	178	179	J4-C5 & J4-C11	I2J; BRC	Diorite 65°; Brèche de coulée	0,25
TLG-ZJ418-070	182	183	J4-C5 & J4-C11	I2J; BRC	Diorite 65°; Brèche de coulée	0,29
TLG-ZJ418-070	257	258	J4-C5 & J4-C11	I2J; BRC	Diorite 60°; Brèche de coulée	0,28
TLG-ZJ418-070	261	262	J4-C5 & J4-C11	I2J; BRC	Diorite 60°; Brèche de coulée	0,3
TLG-ZJ418-070	264	265	J4-C5 & J4-C11	I2J; BRC	Diorite 60°; Brèche de coulée	0,29
TLG-ZJ418-070	300	301	J4-C5 & J4-C11	I2J; BRC	Diorite 60°; Brèche de coulée	0,3
TLG-ZJ418-071	19	20	J4-C5 & J4-C11	I2J; RUB; BRI	Diorite; Rubané; Brèche intrusive	0,22
TLG-ZJ418-071	27	28	J4-C5 & J4-C11	I2J; RUB; BRI	Diorite; Rubané; Brèche intrusive	0,25
TLG-ZJ418-071	35	36	J4-C5 & J4-C11	I2J; RUB; BRI	Diorite; Rubané; Brèche intrusive	0,23
TLG-ZJ418-071	37	38	J4-C5 & J4-C11	I2J; RUB; BRI	Diorite; Rubané; Brèche intrusive	0,26
TLG-ZJ418-071	40	41	J4-C5 & J4-C11	I2J; RUB; BRI	Diorite; Rubané; Brèche intrusive	0,3
TLG-ZJ418-071	43	44	J4-C5 & J4-C11	I2J; RUB; BRI	Diorite; Rubané; Brèche intrusive	0,32
TLG-ZJ418-071	44	45	J4-C5 & J4-C11	I2J; RUB; BRI	Diorite; Rubané; Brèche intrusive	0,33
TLG-ZJ418-071	45	46	J4-C5 & J4-C11	I2J; RUB; BRI	Diorite; Rubané; Brèche intrusive	0,22
TLG-ZJ418-071	50	51	J4-C5 & J4-C11	I2J; RUB; BRI	Diorite; Rubané; Brèche intrusive	0,31
TLG-ZJ418-071	53	54	J4-C5 & J4-C11	I2J; RUB; BRI	Diorite; Rubané; Brèche intrusive	0,23
TLG-ZJ418-072	13	14	J4-C5 & J4-C11	I2J; BRI	Diorite 55°; Brèche intrusive	0,22
TLG-ZJ418-072	14	15	J4-C5 & J4-C11	I2J; BRI	Diorite 55°; Brèche intrusive	0,25
TLG-ZJ418-072	15	16	J4-C5 & J4-C11	I2J; BRI	Diorite 55°; Brèche intrusive	0,24
TLG-ZJ418-072	16	17	J4-C5 & J4-C11	I2J; BRI	Diorite 55°; Brèche intrusive	0,27
TLG-ZJ418-072	31	32	J4-C5 & J4-C11	I2J; BRI	Diorite 55°; Brèche intrusive	0,26
TLG-ZJ418-072	36	37	J4-C5 & J4-C11	I2J; BRI	Diorite 55°; Brèche intrusive	0,22
TLG-ZJ418-072	50	51	J4-C5 & J4-C11	I2J; BRI	Diorite 55°; Brèche intrusive	0,23
TLG-ZJ418-072	224	225	J4-C5 & J4-C11	I2J; BRI	Diorite 70°; Brèche intrusive	0,26
TLG-ZJ418-072	292	293	J4-C5 & J4-C11	I2J; BRI	Diorite 70°; Brèche intrusive	0,28
TLG-ZJ418-072	294	295	J4-C5 & J4-C11	I2J; BRI	Diorite 70°; Brèche intrusive	0,24
TLG-ZJ418-072	306	307	J4-C5 & J4-C11	I2J; BRI	Diorite 70°; Brèche intrusive	0,3
TLG-ZJ418-073	36	37	J4-C5 & J4-C11	I2J; BRI	Diorite; Brèche intrusive	0,32
TLG-ZJ418-073	41	42	J4-C5 & J4-C11	I2J; BRI	Diorite; Brèche intrusive	0,33
TLG-ZJ418-073	62	63	J4-C5 & J4-C11	I2J; BRI	Diorite; Brèche intrusive	0,28
TLG-ZJ418-073	318	319	J4-C5 & J4-C11	I2J; BRI	Diorite; Brèche intrusive	0,32
TLG-ZJ418-074	53	54	J4-C5 & J4-C11	I2J; BRI	Diorite 60°; Brèche intrusive	0,24
TLG-ZJ418-074	353	355	J4-C5 & J4-C11	I2J; LAM; MAG; BRI; MOY	Diorite; Laminations parallèles; Magnétique; Brèche intrusive; Grains moyens	0,24
TLG-ZJ418-074	355	357	J4-C5 & J4-C11	I2J; LAM; MAG; BRI; MOY	Diorite; Laminations parallèles; Magnétique; Brèche intrusive; Grains moyens	0,32
TLG-ZJ418-074	369	371	J4-C5 & J4-C11	I2J; LAM; MAG; BRI; MOY	Diorite; Laminations parallèles; Magnétique; Brèche intrusive; Grains moyens	0,24
TLG-ZJ418-074	385	387	J4-C5 & J4-C11	I2J; LAM; MAG; BRI; MOY	Diorite; Laminations parallèles; Magnétique; Brèche intrusive; Grains moyens	0,22
TLG-ZJ418-074	407	409	J4-C5 & J4-C11	I2J; LAM; MAG; BRI; MOY	Diorite; Laminations parallèles; Magnétique; Brèche intrusive; Grains moyens	0,32
TLG-ZJ418-074	435	437	J4-C5 & J4-C11	I2J; LAM; MAG; BRI; MOY	Diorite; Laminations parallèles; Magnétique; Brèche intrusive; Grains moyens	0,33
TLG-ZJ418-074	441	443	J4-C5 & J4-C11	I2J; LAM; MAG; BRI; MOY	Diorite; Laminations parallèles; Magnétique; Brèche intrusive; Grains moyens	0,24
TLG-ZJ418-074	447	449	J4-C5 & J4-C11	I2J; LAM; MAG; BRI; MOY	Diorite; Laminations parallèles; Magnétique; Brèche intrusive; Grains moyens	0,28
TLG-ZJ418-074	455	457	J4-C5 & J4-C11	I2J; LAM; MAG; BRI; MOY	Diorite; Laminations parallèles; Magnétique; Brèche intrusive; Grains moyens	0,25
TLG-ZJ418-074	459	461	J4-C5 & J4-C11	I2J; LAM; MAG; BRI; MOY	Diorite; Laminations parallèles; Magnétique; Brèche intrusive; Grains moyens	0,22
TLG-ZJ418-074	495	497	J4-C5 & J4-C11	I2J; LAM; MAG; BRI; MOY	Diorite; Laminations parallèles; Magnétique; Brèche intrusive; Grains moyens	0,23
TLG-ZJ418-075	65	66	J4-C5 & J4-C11	I2J; POR; BRC	Diorite 60°; Porphyrique; Brèche de coulée	0,23
TLG-ZJ418-075	100	101	J4-C5 & J4-C11	I2J; POR; BRC	Diorite 60°; Porphyrique; Brèche de coulée	0,25

DDH ID	From	To	For Column	Rock Code	Title	S Final (%)
TLG-ZJ418-075	103	104	J4-C5 & J4-C11	I2J; POR; BRC	Diorite 60°; Porphyrique; Brèche de coulée	0,29
TLG-ZJ418-075	106	107	J4-C5 & J4-C11	I2J; POR; BRC	Diorite 60°; Porphyrique; Brèche de coulée	0,32
TLG-ZJ418-075	117	118	J4-C5 & J4-C11	I2J; POR; BRC	Diorite 60°; Porphyrique; Brèche de coulée	0,28
TLG-ZJ418-075	120	121	J4-C5 & J4-C11	I2J; POR; BRC	Diorite 60°; Porphyrique; Brèche de coulée	0,32
TLG-ZJ418-075	134	135	J4-C5 & J4-C11	I2J; POR; BRC	Diorite 60°; Porphyrique; Brèche de coulée	0,25
TLG-ZJ418-075	147	148	J4-C5 & J4-C11	I2J; POR; BRC	Diorite 60°; Porphyrique; Brèche de coulée	0,25
TLG-ZJ418-075	156	157	J4-C5 & J4-C11	I2J; POR; BRC	Diorite 60°; Porphyrique; Brèche de coulée	0,32
TLG-ZJ418-075	161	162	J4-C5 & J4-C11	I2J; POR; BRC	Diorite 60°; Porphyrique; Brèche de coulée	0,28
TLG-ZJ418-075	162	163	J4-C5 & J4-C11	I2J; POR; BRC	Diorite 60°; Porphyrique; Brèche de coulée	0,25
TLG-ZJ418-075	165	166	J4-C5 & J4-C11	I2J; POR; BRC	Diorite 60°; Porphyrique; Brèche de coulée	0,28
TLG-ZJ418-075	182	183	J4-C5 & J4-C11	I2J; POR; BRC	Diorite 60°; Porphyrique; Brèche de coulée	0,26
TLG-ZJ418-075	196	197	J4-C5 & J4-C11	I2J; POR; BRC	Diorite 60°; Porphyrique; Brèche de coulée	0,33
TLG-ZJ418-075	198	199	J4-C5 & J4-C11	I2J; POR; BRC	Diorite 60°; Porphyrique; Brèche de coulée	0,3
TLG-ZJ418-075	233	234	J4-C5 & J4-C11	I2J; POR; BRC	Diorite 60°; Porphyrique; Brèche de coulée	0,31
TLG-ZJ418-075	239	240	J4-C5 & J4-C11	I2J; POR; BRC	Diorite 60°; Porphyrique; Brèche de coulée	0,22
TLG-ZJ418-075	242	243	J4-C5 & J4-C11	I2J; POR; BRC	Diorite 60°; Porphyrique; Brèche de coulée	0,32
TLG-ZJ418-075	255	256	J4-C5 & J4-C11	I2J; POR; BRC	Diorite 60°; Porphyrique; Brèche de coulée	0,27
TLG-ZJ418-075	256	257	J4-C5 & J4-C11	I2J; POR; BRC	Diorite 60°; Porphyrique; Brèche de coulée	0,25
TLG-ZJ418-075	258	259	J4-C5 & J4-C11	I2J; POR; BRC	Diorite 60°; Porphyrique; Brèche de coulée	0,23
TLG-ZJ418-075	264	265	J4-C5 & J4-C11	I2J; POR; BRC	Diorite 60°; Porphyrique; Brèche de coulée	0,24
TLG-ZJ418-075	272	273	J4-C5 & J4-C11	I2J; POR; BRC	Diorite 60°; Porphyrique; Brèche de coulée	0,27
TLG-ZJ418-075	341	343	J4-C5 & J4-C11	I2J; BRI; LAM; MOY; FIN; MAG	Diorite; Brèche intrusive; Laminations parallèles; Grains moyens; Grains fins; Magnétique	0,22
TLG-ZJ418-075	355	357	J4-C5 & J4-C11	I2J; BRI; LAM; MOY; FIN; MAG	Diorite; Brèche intrusive; Laminations parallèles; Grains moyens; Grains fins; Magnétique	0,25
TLG-ZJ418-075	389	391	J4-C5 & J4-C11	I2J; BRI; LAM; MOY; FIN; MAG	Diorite; Brèche intrusive; Laminations parallèles; Grains moyens; Grains fins; Magnétique	0,24
TLG-ZJ418-075	423	425	J4-C5 & J4-C11	I2J; BRI; LAM; MOY; FIN; MAG	Diorite; Brèche intrusive; Laminations parallèles; Grains moyens; Grains fins; Magnétique	0,23
TLG-ZJ418-075	439	441	J4-C5 & J4-C11	I2J; BRI; LAM; MOY; FIN; MAG	Diorite; Brèche intrusive; Laminations parallèles; Grains moyens; Grains fins; Magnétique	0,24
TLG-ZJ418-075	491	493	J4-C5 & J4-C11	I2J; BRI; LAM; MOY; FIN; MAG	Diorite; Brèche intrusive; Laminations parallèles; Grains moyens; Grains fins; Magnétique	0,22
TLG-ZJ418-076	140	141	J4-C5 & J4-C11	I2J; BRC; POR	Diorite 65°; Brèche de coulée; Porphyrique	0,31
TLG-ZJ418-076	142	143	J4-C5 & J4-C11	I2J; BRC; POR	Diorite 65°; Brèche de coulée; Porphyrique	0,23
TLG-ZJ418-076	143	144	J4-C5 & J4-C11	I2J; BRC; POR	Diorite 65°; Brèche de coulée; Porphyrique	0,28
TLG-ZJ418-076	144	145	J4-C5 & J4-C11	I2J; BRC; POR	Diorite 65°; Brèche de coulée; Porphyrique	0,22
TLG-ZJ418-076	148	149	J4-C5 & J4-C11	I2J; BRC; POR	Diorite 65°; Brèche de coulée; Porphyrique	0,23
TLG-ZJ418-076	160	161	J4-C5 & J4-C11	I2J; BRC; POR	Diorite 65°; Brèche de coulée; Porphyrique	0,23
TLG-ZJ418-076	163	164	J4-C5 & J4-C11	I2J; BRC; POR	Diorite 65°; Brèche de coulée; Porphyrique	0,3
TLG-ZJ418-076	165	166	J4-C5 & J4-C11	I2J; BRC; POR	Diorite 65°; Brèche de coulée; Porphyrique	0,29
TLG-ZJ418-076	168	169	J4-C5 & J4-C11	I2J; BRC; POR	Diorite 65°; Brèche de coulée; Porphyrique	0,3
TLG-ZJ418-076	171	172	J4-C5 & J4-C11	I2J; BRC; POR	Diorite 65°; Brèche de coulée; Porphyrique	0,24
TLG-ZJ418-076	174	175	J4-C5 & J4-C11	I2J; BRC; POR	Diorite 65°; Brèche de coulée; Porphyrique	0,3
TLG-ZJ418-076	182	183	J4-C5 & J4-C11	I2J; BRC; POR	Diorite 65°; Brèche de coulée; Porphyrique	0,22
TLG-ZJ418-076	185	186	J4-C5 & J4-C11	I2J; BRC; POR	Diorite 65°; Brèche de coulée; Porphyrique	0,3
TLG-ZJ418-076	189	190	J4-C5 & J4-C11	I2J; BRC; POR	Diorite 65°; Brèche de coulée; Porphyrique	0,32
TLG-ZJ418-076	196	197	J4-C5 & J4-C11	I2J; BRC; POR	Diorite 65°; Brèche de coulée; Porphyrique	0,23
TLG-ZJ418-076	197	198	J4-C5 & J4-C11	I2J; BRC; POR	Diorite 65°; Brèche de coulée; Porphyrique	0,25
TLG-ZJ418-076	198	199	J4-C5 & J4-C11	I2J; BRC; POR	Diorite 65°; Brèche de coulée; Porphyrique	0,23
TLG-ZJ418-076	204	205	J4-C5 & J4-C11	I2J; BRC; POR	Diorite 65°; Brèche de coulée; Porphyrique	0,26
TLG-ZJ418-076	205	206	J4-C5 & J4-C11	I2J; BRC; POR	Diorite 75°; Brèche de coulée; Porphyrique	0,23
TLG-ZJ418-076	224	225	J4-C5 & J4-C11	I2J; BRC; POR	Diorite 75°; Brèche de coulée; Porphyrique	0,22
TLG-ZJ418-076	226	227	J4-C5 & J4-C11	I2J; BRC; POR	Diorite 75°; Brèche de coulée; Porphyrique	0,32
TLG-ZJ418-076	240	241	J4-C5 & J4-C11	I2J; BRC; POR	Diorite 75°; Brèche de coulée; Porphyrique	0,27
TLG-ZJ418-076	247,8	248,6	J4-C5 & J4-C11	I2J; BRC; POR	Diorite 75°; Brèche de coulée; Porphyrique	0,3
TLG-ZJ418-076	260	261	J4-C5 & J4-C11	I2J; BRC; POR	Diorite 65°; Brèche de coulée; Porphyrique	0,24
TLG-ZJ418-076	265	266	J4-C5 & J4-C11	I2J; BRC; POR	Diorite 65°; Brèche de coulée; Porphyrique	0,28
TLG-ZJ418-076	266	267	J4-C5 & J4-C11	I2J; BRC; POR	Diorite 65°; Brèche de coulée; Porphyrique	0,31
TLG-ZJ418-076	277	278	J4-C5 & J4-C11	I2J; BRC; POR	Diorite 65°; Brèche de coulée; Porphyrique	0,25
TLG-ZJ418-076	356	358	J4-C5 & J4-C11	I2J; MOY; BRI	Diorite; Grains moyens; Brèche intrusive	0,29
TLG-ZJ418-076	388	390	J4-C5 & J4-C11	I2J; MOY; BRI	Diorite; Grains moyens; Brèche intrusive	0,31
TLG-ZJ418-076	392	394	J4-C5 & J4-C11	I2J; MOY; BRI	Diorite; Grains moyens; Brèche intrusive	0,24
TLG-ZJ418-076	432	434	J4-C5 & J4-C11	I2J; MOY; BRI	Diorite; Grains moyens; Brèche intrusive	0,33
TLG-ZJ418-077	212	214	J4-C5 & J4-C11	I2J; FIN; MOY; BRI; GRO	Diorite; Grains fins; Grains moyens; Brèche intrusive; Grains grossiers	0,3
TLG-ZJ418-077	222	224	J4-C5 & J4-C11	I2J; FIN; MOY; BRI; GRO	Diorite; Grains fins; Grains moyens; Brèche intrusive; Grains grossiers	0,22
TLG-ZJ418-077	240	242	J4-C5 & J4-C11	I2J; FIN; MOY; BRI; GRO	Diorite; Grains fins; Grains moyens; Brèche intrusive; Grains grossiers	0,26
TLG-ZJ418-077	286	288	J4-C5 & J4-C11	I2J; MOY; BRI	Diorite; Grains moyens; Brèche intrusive	0,23
TLG-ZJ418-077	296	298	J4-C5 & J4-C11	I2J; MOY; BRI	Diorite; Grains moyens; Brèche intrusive	0,22
TLG-ZJ418-077	304	306	J4-C5 & J4-C11	I2J; MOY; BRI	Diorite; Grains moyens; Brèche intrusive	0,24
TLG-ZJ418-078	29	30	J4-C5 & J4-C11	I2J; BRI	Diorite; Brèche intrusive	0,24
TLG-ZJ418-078	32	33	J4-C5 & J4-C11	I2J; BRI	Diorite; Brèche intrusive	0,22
TLG-ZJ419-092	331	333	J4-C5 & J4-C11	I2J; BRI	Diorite; Brèche intrusive	0,31

DDH ID	From	To	For Column	Rock Code	Title	S Final (%)
TLG-ZJ419-092	335	337	J4-C5 & J4-C11	I2J; BRI	Diorite; Brèche intrusive	0,33
TLG-ZJ419-100	314	316	J4-C5 & J4-C11	I2J; FIN; RUB; BRI	Diorite; Grains fins; Rubané; Brèche intrusive	0,31
TLG-ZJ419-100	318	320	J4-C5 & J4-C11	I2J; FIN; RUB; BRI	Diorite; Grains fins; Rubané; Brèche intrusive	0,32
TLG-ZJ419-100	450	452	J4-C5 & J4-C11	I2J; FIN; RUB; BRI	Diorite; Grains fins; Rubané; Brèche intrusive	0,23
TLG-ZJ419-100	452	454	J4-C5 & J4-C11	I2J; FIN; RUB; BRI	Diorite; Grains fins; Rubané; Brèche intrusive	0,26
TLG-ZJ419-100	470	472	J4-C5 & J4-C11	I2J; MAS; RUB; BRI	Diorite; Roche massive; Rubané; Brèche intrusive	0,29
TLG-ZJ419-100	472	474	J4-C5 & J4-C11	I2J; MAS; RUB; BRI	Diorite; Roche massive; Rubané; Brèche intrusive	0,29
TLG-ZJ419-100	518	520	J4-C5 & J4-C11	I2J; MAS; RUB; BRI	Diorite; Roche massive; Rubané; Brèche intrusive	0,27
TLG-ZJ419-108	292	294	J4-C5 & J4-C11	I2J; MAS; RUB; MOY	Diorite; Brèche intrusive; Grains moyens	0,28
TLG-ZJ419-108	298	300	J4-C5 & J4-C11	I2J; BRI; MOY	Diorite; Brèche intrusive; Grains moyens	0,29
TLG-ZJ419-108	306	308	J4-C5 & J4-C11	I2J; FIN; BRI	Diorite; Grains fins; Brèche intrusive	0,32
TLG-ZJ419-109	136	138	J4-C5 & J4-C11	I2J; FIN; MAS; POR; BRI	Diorite; Grains fins; Roche massive; Porphyrique; Brèche intrusive	0,23
TLG-ZJ419-109	138	140	J4-C5 & J4-C11	I2J; FIN; MAS; POR; BRI	Diorite; Grains fins; Roche massive; Porphyrique; Brèche intrusive	0,24
TLG-ZJ419-109	142	144	J4-C5 & J4-C11	I2J; FIN; MAS; POR; BRI	Diorite; Grains fins; Roche massive; Porphyrique; Brèche intrusive	0,22
TLG-ZJ419-109	144	146	J4-C5 & J4-C11	I2J; FIN; MAS; POR; BRI	Diorite; Grains fins; Roche massive; Porphyrique; Brèche intrusive	0,27
TLG-ZJ419-109	182	184	J4-C5 & J4-C11	I2J; FIN; MAS; POR; BRI	Diorite; Grains fins; Roche massive; Porphyrique; Brèche intrusive	0,31
TLG-ZJ419-109	266	268	J4-C5 & J4-C11	I2J; GRO; POR; BRI	Diorite; Grains grossiers; Porphyrique; Brèche intrusive	0,33
TLG-ZJ419-109	282	284	J4-C5 & J4-C11	I2J; GRO; POR; BRI	Diorite; Grains grossiers; Porphyrique; Brèche intrusive	0,22
TLG-ZJ419-109	288	290	J4-C5 & J4-C11	I2J; GRO; POR; BRI	Diorite; Grains grossiers; Porphyrique; Brèche intrusive	0,24
TLG-ZJ419-109	290	292	J4-C5 & J4-C11	I2J; GRO; POR; BRI	Diorite; Grains grossiers; Porphyrique; Brèche intrusive	0,32
TLG-ZJ419-109	292	294	J4-C5 & J4-C11	I2J; GRO; POR; BRI	Diorite; Grains grossiers; Porphyrique; Brèche intrusive	0,3
TLG-ZJ419-109	296	298	J4-C5 & J4-C11	I2J; GRO; POR; BRI	Diorite; Grains grossiers; Porphyrique; Brèche intrusive	0,27
TLG-ZJ419-109	298	300	J4-C5 & J4-C11	I2J; GRO; POR; BRI	Diorite; Grains grossiers; Porphyrique; Brèche intrusive	0,24
TLG-ZJ419-109	304	306	J4-C5 & J4-C11	I2J; GRO; POR; BRI	Diorite; Grains grossiers; Porphyrique; Brèche intrusive	0,33
TLG-ZJ419-109	316	318	J4-C5 & J4-C11	I2J; GRO; POR; BRI	Diorite; Grains grossiers; Porphyrique; Brèche intrusive	0,25
TLG-ZJ419-109	326	328	J4-C5 & J4-C11	I2J; GRO; POR; BRI	Diorite; Grains grossiers; Porphyrique; Brèche intrusive	0,22
TLG-ZJ419-109	328	330	J4-C5 & J4-C11	I2J; GRO; POR; BRI	Diorite; Grains grossiers; Porphyrique; Brèche intrusive	0,26
TLG-ZJ419-109	330	332	J4-C5 & J4-C11	I2J; GRO; POR; BRI	Diorite; Grains grossiers; Porphyrique; Brèche intrusive	0,3
TLG-ZJ419-109	334	336	J4-C5 & J4-C11	I2J; GRO; POR; BRI	Diorite; Grains grossiers; Porphyrique; Brèche intrusive	0,26
TLG-ZJ419-109	350	352	J4-C5 & J4-C11	I2J; GRO; POR; BRI	Diorite; Grains grossiers; Porphyrique; Brèche intrusive	0,26
TLG-ZJ419-109	356	358	J4-C5 & J4-C11	I2J; GRO; POR; BRI	Diorite; Grains grossiers; Porphyrique; Brèche intrusive	0,24
TLG-ZJ419-109	366	368	J4-C5 & J4-C11	I2J; GRO; POR; BRI	Diorite; Grains grossiers; Porphyrique; Brèche intrusive	0,27
TLG-ZJ419-109	390	392	J4-C5 & J4-C11	I2J; GRO; BRI; POR	Diorite; Grains grossiers; Brèche intrusive; Porphyrique	0,33
TLG-ZJ419-109	400	402	J4-C5 & J4-C11	I2J; GRO; BRI; POR	Diorite; Grains grossiers; Brèche intrusive; Porphyrique	0,33
TLG-ZJ419-109	498	500	J4-C5 & J4-C11	I2J; MOY; GRO; BRI	Diorite; Grains moyens; Grains grossiers; Brèche intrusive	0,24
TLG-ZJ419-109	518	520	J4-C5 & J4-C11	I2J; MOY; GRO; BRI; POR	Diorite; Grains moyens; Grains grossiers; Brèche intrusive; Porphyrique	0,25
TLG-ZJ419-110	318	320	J4-C5 & J4-C11	I2J; MOY; BRI	Diorite; Grains moyens; Brèche intrusive	0,31
TLG-ZJ419-110	334	336	J4-C5 & J4-C11	I2J; MOY; BRI	Diorite; Grains moyens; Brèche intrusive	0,22
TLG-ZJ419-110	342	344	J4-C5 & J4-C11	I2J; MOY; BRI	Diorite; Grains moyens; Brèche intrusive	0,29
TLG-ZJ419-110	422	424	J4-C5 & J4-C11	I2J; BRI; POR	Diorite; Brèche intrusive; Porphyrique	0,31
TLG-ZJ419-110	424	426	J4-C5 & J4-C11	I2J; BRI; POR	Diorite; Brèche intrusive; Porphyrique	0,26
TLG-ZJ419-110	426	428	J4-C5 & J4-C11	I2J; BRI; POR	Diorite; Brèche intrusive; Porphyrique	0,33
TLG-ZJ419-110	428	430	J4-C5 & J4-C11	I2J; BRI; POR	Diorite; Brèche intrusive; Porphyrique	0,27
TLG-ZJ419-110	440	442	J4-C5 & J4-C11	I2J; BRI; POR	Diorite; Brèche intrusive; Porphyrique	0,29
TLG-ZJ419-110	472	474	J4-C5 & J4-C11	I2J; BRI; POR	Diorite; Brèche intrusive; Porphyrique	0,22
TLG-ZJ419-110	488	490	J4-C5 & J4-C11	I2J; BRI; POR	Diorite; Brèche intrusive; Porphyrique	0,23
TLG-ZJ419-110	490	492	J4-C5 & J4-C11	I2J; BRI; POR	Diorite; Brèche intrusive; Porphyrique	0,32
TLG-ZJ419-111	47	49	J4-C5 & J4-C11	I2J; BRI	Diorite; Brèche intrusive	0,33
TLG-ZJ419-111	99	101	J4-C5 & J4-C11	I2J; FIN; BRI	Diorite; Grains fins; Brèche intrusive	0,25
TLG-ZJ419-111	101	103	J4-C5 & J4-C11	I2J; FIN; BRI	Diorite; Grains fins; Brèche intrusive	0,33
TLG-ZJ419-111	111	113	J4-C5 & J4-C11	I2J; FIN; BRI	Diorite; Grains fins; Brèche intrusive	0,29
TLG-ZJ419-111	135	137	J4-C5 & J4-C11	I2J; FIN; BRI	Diorite; Grains fins; Brèche intrusive	0,27
TLG-ZJ419-111	137	139	J4-C5 & J4-C11	I2J; FIN; BRI	Diorite; Grains fins; Brèche intrusive	0,25
TLG-ZJ419-111	139	141	J4-C5 & J4-C11	I2J; FIN; BRI	Diorite; Grains fins; Brèche intrusive	0,27
TLG-ZJ419-111	171	173	J4-C5 & J4-C11	I2J; FIN; BRI	Diorite; Grains fins; Brèche intrusive	0,25
TLG-ZJ419-111	177	179	J4-C5 & J4-C11	I2J; FIN; BRI	Diorite; Grains fins; Brèche intrusive	0,3
TLG-ZJ419-111	187	189	J4-C5 & J4-C11	I2J; FIN; BRI	Diorite; Grains fins; Brèche intrusive	0,3
TLG-ZJ419-111	189	191	J4-C5 & J4-C11	I2J; FIN; BRI	Diorite; Grains fins; Brèche intrusive	0,31
TLG-ZJ419-111	207	209	J4-C5 & J4-C11	I2J; FIN; BRI	Diorite; Grains fins; Brèche intrusive	0,28
TLG-ZJ419-111	213	215	J4-C5 & J4-C11	I2J; FIN; BRI	Diorite; Grains fins; Brèche intrusive	0,31
TLG-ZJ419-111	215	217	J4-C5 & J4-C11	I2J; FIN; BRI	Diorite; Grains fins; Brèche intrusive	0,22
TLG-ZJ419-111	321	323	J4-C5 & J4-C11	I2J; BRI; LAM	Diorite; Brèche intrusive; Laminations parallèles	0,29
TLG-ZJ419-111	347	349	J4-C5 & J4-C11	I2J; BRI; LAM	Diorite; Brèche intrusive; Laminations parallèles	0,22
TLG-ZJ419-111	359	361	J4-C5 & J4-C11	I2J; BRI; LAM	Diorite; Brèche intrusive; Laminations parallèles	0,32
TLG-ZJ419-111	365	367	J4-C5 & J4-C11	I2J; BRI; LAM	Diorite; Brèche intrusive; Laminations parallèles	0,33
TLG-ZJ419-111	425	427	J4-C5 & J4-C11	I2J; FIN; LAM; BRI	Diorite; Grains fins; Laminations parallèles; Brèche intrusive	0,28
TLG-ZJ419-111	449	451	J4-C5 & J4-C11	I2J; BRI; LAM	Diorite; Brèche intrusive; Laminations parallèles	0,28
TLG-ZJ419-111	451	453	J4-C5 & J4-C11	I2J; BRI; LAM	Diorite; Brèche intrusive; Laminations parallèles	0,28
TLG-ZJ419-111	485	487	J4-C5 & J4-C11	I2J; BRI; LAM	Diorite; Brèche intrusive; Laminations parallèles	0,33
TLG-ZJ419-111	487	489	J4-C5 & J4-C11	I2J; BRI; LAM	Diorite; Brèche intrusive; Laminations parallèles	0,27
TLG-ZJ419-111	491	493	J4-C5 & J4-C11	I2J; BRI; LAM	Diorite; Brèche intrusive; Laminations parallèles	0,26
TLG-ZJ419-111	493	495	J4-C5 & J4-C11	I2J; BRI; LAM	Diorite; Brèche intrusive; Laminations parallèles	0,22
TLG-ZJ419-112	40	42	J4-C5 & J4-C11	I2J; BRI; LAM	Diorite; Brèche intrusive; Laminations parallèles	0,23

DDH ID	From	To	For Column	Rock Code	Title	S Final (%)
TLG-ZJ419-112	52	54	J4-C5 & J4-C11	I2J; BRI; LAM	Diorite; Brèche intrusive; Laminations parallèles	0,25
TLG-ZJ419-112	62	64	J4-C5 & J4-C11	I2J; BRI; LAM	Diorite; Brèche intrusive; Laminations parallèles	0,32
TLG-ZJ419-112	68	70	J4-C5 & J4-C11	I2J; BRI; LAM	Diorite; Brèche intrusive; Laminations parallèles	0,26
TLG-ZJ419-112	76	78	J4-C5 & J4-C11	I2J; BRI; LAM	Diorite; Brèche intrusive; Laminations parallèles	0,26
TLG-ZJ419-112	164	166	J4-C5 & J4-C11	I2J; BRI; LAM	Diorite; Brèche intrusive; Laminations parallèles	0,31
TLG-ZJ419-112	170	172	J4-C5 & J4-C11	I2J; BRI; LAM	Diorite; Brèche intrusive; Laminations parallèles	0,22
TLG-ZJ419-112	174	176	J4-C5 & J4-C11	I2J; BRI; LAM	Diorite; Brèche intrusive; Laminations parallèles	0,28
TLG-ZJ419-112	176	178	J4-C5 & J4-C11	I2J; BRI; LAM	Diorite; Brèche intrusive; Laminations parallèles	0,31
TLG-ZJ419-112	178	180	J4-C5 & J4-C11	I2J; BRI; LAM	Diorite; Brèche intrusive; Laminations parallèles	0,3
TLG-ZJ419-112	182	184	J4-C5 & J4-C11	I2J; BRI; LAM	Diorite; Brèche intrusive; Laminations parallèles	0,27
TLG-ZJ419-112	212	214	J4-C5 & J4-C11	I2J; BRI; FIN	Diorite; Brèche intrusive; Grains fins	0,28
TLG-ZJ419-113	172	174	J4-C5 & J4-C11	I2J; BRI; LAM; FIN	Diorite; Brèche intrusive; Laminations parallèles; Grains fins	0,28
TLG-ZJ419-113	180	182	J4-C5 & J4-C11	I2J; BRI; LAM; FIN	Diorite; Brèche intrusive; Laminations parallèles; Grains fins	0,32
TLG-ZJ419-113	182	184	J4-C5 & J4-C11	I2J; BRI; LAM; FIN	Diorite; Brèche intrusive; Laminations parallèles; Grains fins	0,26
TLG-ZJ419-113	202	204	J4-C5 & J4-C11	I2J; BRI; LAM; FIN	Diorite; Brèche intrusive; Laminations parallèles; Grains fins	0,28
TLG-ZJ419-113	422	424	J4-C5 & J4-C11	I2J; BRI; LAM; FIN; MOY; MAG	Diorite; Brèche intrusive; Laminations parallèles; Grains fins; Grains moyens; Magnétique	0,25
TLG-ZJ419-113	444	446	J4-C5 & J4-C11	I2J; BRI; LAM; FIN; MOY; MAG	Diorite; Brèche intrusive; Laminations parallèles; Grains fins; Grains moyens; Magnétique	0,29
TLG-ZJ419-113	468	470	J4-C5 & J4-C11	I2J; BRI; LAM; FIN; MOY; MAG	Diorite; Brèche intrusive; Laminations parallèles; Grains fins; Grains moyens; Magnétique	0,31
TLG-ZJ419-113	476	478	J4-C5 & J4-C11	I2J; BRI; LAM; FIN; MOY; MAG	Diorite; Brèche intrusive; Laminations parallèles; Grains fins; Grains moyens; Magnétique	0,23
TLG-ZJ419-113	478	480	J4-C5 & J4-C11	I2J; BRI; LAM; FIN; MOY; MAG	Diorite; Brèche intrusive; Laminations parallèles; Grains fins; Grains moyens; Magnétique	0,28
TLG-ZJ419-113	486	488	J4-C5 & J4-C11	I2J; BRI; LAM; FIN; MOY; MAG	Diorite; Brèche intrusive; Laminations parallèles; Grains fins; Grains moyens; Magnétique	0,23
TLG-ZJ419-113	500	502	J4-C5 & J4-C11	I2J; BRI; LAM; FIN; MOY; MAG	Diorite; Brèche intrusive; Laminations parallèles; Grains fins; Grains moyens; Magnétique	0,31
TLG-ZJ419-148	42	44	J4-C5 & J4-C11	I2J; FIN; MOY; BRI	Diorite; Grains fins; Grains moyens; Brèche intrusive	0,3
TLG-ZJ419-148	64	66	J4-C5 & J4-C11	I2J; FIN; MOY; BRI	Diorite; Grains fins; Grains moyens; Brèche intrusive	0,24
TLG-ZJ419-148	68	70	J4-C5 & J4-C11	I2J; FIN; MOY; BRI	Diorite; Grains fins; Grains moyens; Brèche intrusive	0,23
TLG-ZJ419-148	80	82	J4-C5 & J4-C11	I2J; FIN; MOY; BRI	Diorite; Grains fins; Grains moyens; Brèche intrusive	0,26
TLG-ZJ419-148	152	154	J4-C5 & J4-C11	I2J; POR; BRI; FIN	Diorite; Porphyrique; Brèche intrusive; Grains fins	0,22
TLG-ZJ419-148	212	214	J4-C5 & J4-C11	I2J; FIN; MOY; RUB; BRI	Diorite; Grains fins; Grains moyens; Rubané; Brèche intrusive	0,3
TLG-ZJ419-148	290	292	J4-C5 & J4-C11	I2J; MOY; BRI	Diorite; Grains moyens; Brèche intrusive	0,22
TLG-ZJ419-148	298	300	J4-C5 & J4-C11	I2J; MOY; BRI	Diorite; Grains moyens; Brèche intrusive	0,3
TLG-ZJ419-148	302	304	J4-C5 & J4-C11	I2J; MOY; BRI	Diorite; Grains moyens; Brèche intrusive	0,23
TLG-ZJ419-148	308	310	J4-C5 & J4-C11	I2J; BRI; FIN	Diorite; Brèche intrusive; Grains fins	0,33
TLG-ZJ419-148	310	312	J4-C5 & J4-C11	I2J; BRI; FIN	Diorite; Brèche intrusive; Grains fins	0,31
TLG-ZJ419-148	346	348	J4-C5 & J4-C11	I2J; MOY; BRI	Diorite; Grains moyens; Brèche intrusive	0,26
TLG-ZJ419-148	348	350	J4-C5 & J4-C11	I2J; MOY; BRI	Diorite; Grains moyens; Brèche intrusive	0,27
TLG-ZJ419-148	352	354	J4-C5 & J4-C11	I2J; MOY; BRI	Diorite; Grains moyens; Brèche intrusive	0,28
TLG-ZJ419-148	358	360	J4-C5 & J4-C11	I2J; MOY; BRI	Diorite; Grains moyens; Brèche intrusive	0,31
TLG-ZJ419-148	360	362	J4-C5 & J4-C11	I2J; MOY; BRI	Diorite; Grains moyens; Brèche intrusive	0,31
TLG-ZJ419-148	376	378	J4-C5 & J4-C11	I2J; MOY; BRI	Diorite; Grains moyens; Brèche intrusive	0,27
TLG-ZJ419-148	378	380	J4-C5 & J4-C11	I2J; MOY; BRI	Diorite; Grains moyens; Brèche intrusive	0,22
TLG-ZJ419-148	400	402	J4-C5 & J4-C11	I2J; BRI; GRO; MAS	Diorite; Brèche intrusive; Grains grossiers; Roche massive	0,22
TLG-ZJ419-148	414	416	J4-C5 & J4-C11	I2J; BRI; GRO; MAS	Diorite; Brèche intrusive; Grains grossiers; Roche massive	0,27
TLG-ZJ419-148	416	418	J4-C5 & J4-C11	I2J; BRI; GRO; MAS	Diorite; Brèche intrusive; Grains grossiers; Roche massive	0,3
TLG-ZJ419-148	418	420	J4-C5 & J4-C11	I2J; BRI; GRO; MAS	Diorite; Brèche intrusive; Grains grossiers; Roche massive	0,22
TLG-ZJ419-148	426	428	J4-C5 & J4-C11	I2J; BRI; GRO; MAS	Diorite; Brèche intrusive; Grains grossiers; Roche massive	0,22
TLG-ZJ419-148	434	436	J4-C5 & J4-C11	I2J; BRI; GRO; MAS	Diorite; Brèche intrusive; Grains grossiers; Roche massive	0,31
TLG-ZJ419-148	490	492	J4-C5 & J4-C11	I2J; BRI; MOY; FIN	Diorite; Brèche intrusive; Grains moyens; Grains fins	0,25
TLG-ZJ419-148	496	498	J4-C5 & J4-C11	I2J; BRI; MOY; FIN	Diorite; Brèche intrusive; Grains moyens; Grains fins	0,23
TLG-ZJ419-148	506	508	J4-C5 & J4-C11	I2J; FIN; MOY; BRI	Diorite; Grains fins; Grains moyens; Brèche intrusive	0,22
TLG-ZJ419-148	516	518	J4-C5 & J4-C11	I2J; FIN; MOY; BRI	Diorite; Grains fins; Grains moyens; Brèche intrusive	0,26
TLG-ZJ419-149	22	24	J4-C5 & J4-C11	I2J; BRI	Diorite; Brèche intrusive	0,23
TLG-ZJ419-149	24	26	J4-C5 & J4-C11	I2J; BRI	Diorite; Brèche intrusive	0,27
TLG-ZJ419-149	40	42	J4-C5 & J4-C11	I2J; BRI	Diorite; Brèche intrusive	0,27
TLG-ZJ419-149	42	44	J4-C5 & J4-C11	I2J; BRI	Diorite; Brèche intrusive	0,24
TLG-ZJ419-149	150	152	J4-C5 & J4-C11	I2J; MOY; POR; BRI	Diorite; Grains moyens; Porphyrique; Brèche intrusive	0,33
TLG-ZJ419-149	154	156	J4-C5 & J4-C11	I2J; MOY; POR; BRI	Diorite; Grains moyens; Porphyrique; Brèche intrusive	0,22
TLG-ZJ419-149	160	162	J4-C5 & J4-C11	I2J; FIN; MOY; BRI; POR	Diorite; Grains fins; Grains moyens; Brèche intrusive; Porphyrique	0,25
TLG-ZJ419-149	168	170	J4-C5 & J4-C11	I2J; FIN; MOY; BRI; POR	Diorite; Grains fins; Grains moyens; Brèche intrusive; Porphyrique	0,33
TLG-ZJ419-149	170	172	J4-C5 & J4-C11	I2J; FIN; MOY; BRI; POR	Diorite; Grains fins; Grains moyens; Brèche intrusive; Porphyrique	0,26
TLG-ZJ419-149	184	186	J4-C5 & J4-C11	I2J; FIN; MOY; BRI; POR	Diorite; Grains fins; Grains moyens; Brèche intrusive; Porphyrique	0,22
TLG-ZJ419-149	186	188	J4-C5 & J4-C11	I2J; FIN; MOY; BRI; POR	Diorite; Grains fins; Grains moyens; Brèche intrusive; Porphyrique	0,25
TLG-ZJ419-149	188	190	J4-C5 & J4-C11	I2J; FIN; MOY; BRI; POR	Diorite; Grains fins; Grains moyens; Brèche intrusive; Porphyrique	0,28
TLG-ZJ419-149	280	282	J4-C5 & J4-C11	I2J; MOY; BRI	Diorite; Grains moyens; Brèche intrusive	0,23
TLG-ZJ419-149	284	286	J4-C5 & J4-C11	I2J; MOY; BRI	Diorite; Grains moyens; Brèche intrusive	0,24
TLG-ZJ419-149	288	290	J4-C5 & J4-C11	I2J; MOY; BRI	Diorite; Grains moyens; Brèche intrusive	0,25
TLG-ZJ419-149	290	292	J4-C5 & J4-C11	I2J; MOY; BRI	Diorite; Grains moyens; Brèche intrusive	0,25

DDH ID	From	To	For Column	Rock Code	Title	S Final (%)
TLG-ZJ419-149	294	296	J4-C5 & J4-C11	I2J; MOY; BRI	Diorite; Grains moyens; Brèche intrusive	0,31
TLG-ZJ419-149	390	392	J4-C5 & J4-C11	I2J; MOY; POR; BRI	Diorite; Grains moyens; Porphyrique; Brèche intrusive	0,27
TLG-ZJ419-149	392	394	J4-C5 & J4-C11	I2J; MOY; POR; BRI	Diorite; Grains moyens; Porphyrique; Brèche intrusive	0,31
TLG-ZJ419-149	396	398	J4-C5 & J4-C11	I2J; MOY; POR; BRI	Diorite; Grains moyens; Porphyrique; Brèche intrusive	0,27
TLG-ZJ419-149	450	452	J4-C5 & J4-C11	I2J; MAS; BRI; MOY	Diorite; Roche massive; Brèche intrusive; Grains moyens	0,29
TLG-ZJ419-149	510	512	J4-C5 & J4-C11	I2J; MAS; BRI; POR; FIN; MOY	Diorite; Roche massive; Brèche intrusive; Porphyrique; Grains fins; Grains moyens	0,24
TLG-ZJ419-149	512	514	J4-C5 & J4-C11	I2J; MAS; BRI; POR; FIN; MOY	Diorite; Roche massive; Brèche intrusive; Porphyrique; Grains fins; Grains moyens	0,31
TLG-ZJ419-149	518	520	J4-C5 & J4-C11	I2J; MAS; BRI; POR; FIN; MOY	Diorite; Roche massive; Brèche intrusive; Porphyrique; Grains fins; Grains moyens	0,3
TLG-ZJ419-150	55	57	J4-C5 & J4-C11	I2J; BRI	Diorite; Brèche intrusive	0,26
TLG-ZJ419-150	57	59	J4-C5 & J4-C11	I2J; BRI	Diorite; Brèche intrusive	0,25
TLG-ZJ419-150	79	81	J4-C5 & J4-C11	I2J; BRI; MAG	Diorite; Brèche intrusive; Magnétique	0,27
TLG-ZJ419-150	97	99	J4-C5 & J4-C11	I2J; BRI; MAG	Diorite; Brèche intrusive; Magnétique	0,26
TLG-ZJ419-150	99	101	J4-C5 & J4-C11	I2J; BRI; MAG	Diorite; Brèche intrusive; Magnétique	0,27
TLG-ZJ419-150	391	393	J4-C5 & J4-C11	I2J; FIN; LAM; BRI	Diorite; Grains fins; Laminations parallèles; Brèche intrusive	0,27
TLG-ZJ419-150	393	395	J4-C5 & J4-C11	I2J; FIN; LAM; BRI	Diorite; Grains fins; Laminations parallèles; Brèche intrusive	0,33
TLG-ZJ419-150	401	403	J4-C5 & J4-C11	I2J; FIN; LAM; BRI	Diorite; Grains fins; Laminations parallèles; Brèche intrusive	0,24
TLG-ZJ419-150	403	405	J4-C5 & J4-C11	I2J; FIN; LAM; BRI	Diorite; Grains fins; Laminations parallèles; Brèche intrusive	0,29
TLG-ZJ419-150	411	413	J4-C5 & J4-C11	I2J; FIN; LAM; BRI	Diorite; Grains fins; Laminations parallèles; Brèche intrusive	0,27
TLG-ZJ419-150	449	451	J4-C5 & J4-C11	I2J; BRI; POR	Diorite; Brèche intrusive; Porphyrique	0,32
TLG-ZJ419-150	475	477	J4-C5 & J4-C11	I2J; BRI; LAM	Diorite; Brèche intrusive; Laminations parallèles	0,31
TLG-ZJ419-153	36	38	J4-C5 & J4-C11	I2J; FIN; POR; BRI	Diorite; Grains fins; Porphyrique; Brèche intrusive	0,28
TLG-ZJ419-153	40	42	J4-C5 & J4-C11	I2J; FIN; POR; BRI	Diorite; Grains fins; Porphyrique; Brèche intrusive	0,24
TLG-ZJ419-153	56	58	J4-C5 & J4-C11	I2J; FIN; POR; BRI	Diorite; Grains fins; Porphyrique; Brèche intrusive	0,22
TLG-ZJ419-153	58	60	J4-C5 & J4-C11	I2J; FIN; POR; BRI	Diorite; Grains fins; Porphyrique; Brèche intrusive	0,23
TLG-ZJ419-153	64	66	J4-C5 & J4-C11	I2J; FIN; POR; BRI	Diorite; Grains fins; Porphyrique; Brèche intrusive	0,26
TLG-ZJ419-153	66	68	J4-C5 & J4-C11	I2J; FIN; POR; BRI	Diorite; Grains fins; Porphyrique; Brèche intrusive	0,23
TLG-ZJ419-153	78	80	J4-C5 & J4-C11	I2J; FIN; POR; BRI	Diorite; Grains fins; Porphyrique; Brèche intrusive	0,28
TLG-ZJ419-153	80	82	J4-C5 & J4-C11	I2J; FIN; POR; BRI	Diorite; Grains fins; Porphyrique; Brèche intrusive	0,32
TLG-ZJ419-153	86	88	J4-C5 & J4-C11	I2J; FIN; POR; BRI	Diorite; Grains fins; Porphyrique; Brèche intrusive	0,29
TLG-ZJ419-153	88	90	J4-C5 & J4-C11	I2J; FIN; POR; BRI	Diorite; Grains fins; Porphyrique; Brèche intrusive	0,27
TLG-ZJ419-153	92	94	J4-C5 & J4-C11	I2J; FIN; POR; BRI	Diorite; Grains fins; Porphyrique; Brèche intrusive	0,29
TLG-ZJ419-153	94	96	J4-C5 & J4-C11	I2J; FIN; POR; BRI	Diorite; Grains fins; Porphyrique; Brèche intrusive	0,32
TLG-ZJ419-153	96	98	J4-C5 & J4-C11	I2J; FIN; POR; BRI	Diorite; Grains fins; Porphyrique; Brèche intrusive	0,29
TLG-ZJ419-157	231	233	J4-C5 & J4-C11	I2J; FIN; LAM; MAG; BRI	Diorite; Grains fins; Laminations parallèles; Magnétique; Brèche intrusive	0,32
TLG-ZJ419-157	245	247	J4-C5 & J4-C11	I2J; FIN; LAM; MAG; BRI	Diorite; Grains fins; Laminations parallèles; Magnétique; Brèche intrusive	0,32
TLG-ZJ419-157	249	251	J4-C5 & J4-C11	I2J; FIN; LAM; MAG; BRI	Diorite; Grains fins; Laminations parallèles; Magnétique; Brèche intrusive	0,32
TLG-ZJ419-157	271	273	J4-C5 & J4-C11	I2J; FIN; LAM; MAG; BRI	Diorite; Grains fins; Laminations parallèles; Magnétique; Brèche intrusive	0,33
TLG-ZJ419-157	275	277	J4-C5 & J4-C11	I2J; FIN; LAM; MAG; BRI	Diorite; Grains fins; Laminations parallèles; Magnétique; Brèche intrusive	0,25
TLG-ZJ419-157	279	281	J4-C5 & J4-C11	I2J; FIN; LAM; MAG; BRI	Diorite; Grains fins; Laminations parallèles; Magnétique; Brèche intrusive	0,33
TLG-ZJ419-157	285	287	J4-C5 & J4-C11	I2J; FIN; LAM; MAG; BRI	Diorite; Grains fins; Laminations parallèles; Magnétique; Brèche intrusive	0,28
TLG-ZJ419-157	289	291	J4-C5 & J4-C11	I2J; FIN; LAM; MAG; BRI	Diorite; Grains fins; Laminations parallèles; Magnétique; Brèche intrusive	0,26
TLG-ZJ419-157	307	309	J4-C5 & J4-C11	I2J; FIN; LAM; MAG; BRI	Diorite; Grains fins; Laminations parallèles; Magnétique; Brèche intrusive	0,29
TLG-ZJ419-157	329	331	J4-C5 & J4-C11	I2J; LAM; FIN; BRI	Diorite; Laminations parallèles; Grains fins; Brèche intrusive	0,28
TLG-ZJ419-157	335	337	J4-C5 & J4-C11	I2J; LAM; FIN; BRI	Diorite; Laminations parallèles; Grains fins; Brèche intrusive	0,32
TLG-ZJ419-157	423	425	J4-C5 & J4-C11	I2J; LAM; POR; BRI	Diorite; Laminations parallèles; Porphyrique; Brèche intrusive	0,28
TLG-ZJ419-157	447	449	J4-C5 & J4-C11	I2J; LAM; POR; BRI	Diorite; Laminations parallèles; Porphyrique; Brèche intrusive	0,33
TLG-ZJ419-157	449	451	J4-C5 & J4-C11	I2J; LAM; POR; BRI	Diorite; Laminations parallèles; Porphyrique; Brèche intrusive	0,28
TLG-ZJ419-158	98	100	J4-C5 & J4-C11	I2J; MAG; LAM; BRI; POR	Diorite; Magnétique; Laminations parallèles; Brèche intrusive; Porphyrique	0,25
TLG-ZJ419-158	102	104	J4-C5 & J4-C11	I2J; MAG; LAM; BRI; POR	Diorite; Magnétique; Laminations parallèles; Brèche intrusive; Porphyrique	0,31
TLG-ZJ419-158	106	108	J4-C5 & J4-C11	I2J; MAG; LAM; BRI; POR	Diorite; Magnétique; Laminations parallèles; Brèche intrusive; Porphyrique	0,25
TLG-ZJ419-158	120	122	J4-C5 & J4-C11	I2J; MAG; LAM; BRI; POR	Diorite; Magnétique; Laminations parallèles; Brèche intrusive; Porphyrique	0,29
TLG-ZJ419-158	162	164	J4-C5 & J4-C11	I2J; MAG; LAM; BRI; POR	Diorite; Magnétique; Laminations parallèles; Brèche intrusive; Porphyrique	0,33
TLG-ZJ419-158	170	172	J4-C5 & J4-C11	I2J; MAG; LAM; BRI; POR	Diorite; Magnétique; Laminations parallèles; Brèche intrusive; Porphyrique	0,27
TLG-ZJ419-159	273	275	J4-C5 & J4-C11	I2J; BRI; LAM; FIN	Diorite; Brèche intrusive; Laminations parallèles; Grains fins	0,32
TLG-ZJ419-159	279	281	J4-C5 & J4-C11	I2J; BRI; LAM; FIN	Diorite; Brèche intrusive; Laminations parallèles; Grains fins	0,22

DDH ID	From	To	For Column	Rock Code	Title	S Final (%)
TLG-ZJ419-159	291	293	J4-C5 & J4-C11	I2J; BRI; LAM; FIN	Diorite; Brèche intrusive; Laminations parallèles; Grains fins	0,23
TLG-ZJ419-159	297	299	J4-C5 & J4-C11	I2J; BRI; LAM; FIN	Diorite; Brèche intrusive; Laminations parallèles; Grains fins	0,27
TLG-ZJ419-159	299	301	J4-C5 & J4-C11	I2J; BRI; LAM; FIN	Diorite; Brèche intrusive; Laminations parallèles; Grains fins	0,25
TLG-ZJ419-159	311	313	J4-C5 & J4-C11	I2J; BRI; LAM; FIN	Diorite; Brèche intrusive; Laminations parallèles; Grains fins	0,33
TLG-ZJ419-159	329	331	J4-C5 & J4-C11	I2J; BRI; LAM; FIN	Diorite; Brèche intrusive; Laminations parallèles; Grains fins	0,23
TLG-ZJ419-159	335	337	J4-C5 & J4-C11	I2J; BRI; LAM; FIN	Diorite; Brèche intrusive; Laminations parallèles; Grains fins	0,32
TLG-ZJ419-162	45	47	J4-C5 & J4-C11	I2J; FIN; LAM; RUB; BRI	Diorite; Grains fins; Laminations parallèles; Rubané; Brèche intrusive	0,22
TLG-ZJ419-162	297	299	J4-C5 & J4-C11	I2J; FIN; POBPG; BRI	Diorite; Grains fins; Porphyroblaste de plagioclase; Brèche intrusive	0,31
TLG-ZJ419-162	301	303	J4-C5 & J4-C11	I2J; FIN; POBPG; BRI	Diorite; Grains fins; Porphyroblaste de plagioclase; Brèche intrusive	0,27
TLG-ZJ419-162	303	305	J4-C5 & J4-C11	I2J; FIN; POBPG; BRI	Diorite; Grains fins; Porphyroblaste de plagioclase; Brèche intrusive	0,23
TLG-ZJ419-162	319	321	J4-C5 & J4-C11	I2J; FIN; POBPG; BRI	Diorite; Grains fins; Porphyroblaste de plagioclase; Brèche intrusive	0,33
TLG-ZJ419-162	321	323	J4-C5 & J4-C11	I2J; FIN; POBPG; BRI	Diorite; Grains fins; Porphyroblaste de plagioclase; Brèche intrusive	0,26
TLG-ZJ419-162	325	327	J4-C5 & J4-C11	I2J; FIN; POBPG; BRI	Diorite; Grains fins; Porphyroblaste de plagioclase; Brèche intrusive	0,23
TLG-ZJ419-162	327	329	J4-C5 & J4-C11	I2J; FIN; POBPG; BRI	Diorite; Grains fins; Porphyroblaste de plagioclase; Brèche intrusive	0,24
TLG-ZJ419-162	341	343	J4-C5 & J4-C11	I2J; FIN; GRO; MAS; BRI	Diorite; Grains fins; Grains grossiers; Roche massive; Brèche intrusive	0,27
TLG-ZJ419-162	343	345	J4-C5 & J4-C11	I2J; FIN; GRO; MAS; BRI	Diorite; Grains fins; Grains grossiers; Roche massive; Brèche intrusive	0,28
TLG-ZJ419-162	349	351	J4-C5 & J4-C11	I2J; FIN; GRO; MAS; BRI	Diorite; Grains fins; Grains grossiers; Roche massive; Brèche intrusive	0,29
TLG-ZJ419-162	387	389	J4-C5 & J4-C11	I2J; FIN; GRO; MAS; BRI	Diorite; Grains fins; Grains grossiers; Roche massive; Brèche intrusive	0,31
TLG-ZJ419-162	409	411	J4-C5 & J4-C11	I2J; FIN; GRO; MAS; BRI	Diorite; Grains fins; Grains grossiers; Roche massive; Brèche intrusive	0,31
TLG-ZJ419-162	421	423	J4-C5 & J4-C11	I2J; FIN; MOY; BRI	Diorite; Grains fins; Grains moyens; Brèche intrusive	0,27
TLG-ZJ419-162	431	433	J4-C5 & J4-C11	I2J; FIN; MOY; BRI	Diorite; Grains fins; Grains moyens; Brèche intrusive	0,3
TLG-ZJ419-162	439	441	J4-C5 & J4-C11	I2J; FIN; MOY; BRI	Diorite; Grains fins; Grains moyens; Brèche intrusive	0,23
TLG-ZJ419-162	445	447	J4-C5 & J4-C11	I2J; FIN; MOY; BRI	Diorite; Grains fins; Grains moyens; Brèche intrusive	0,26
TLG-ZJ419-162	447	449	J4-C5 & J4-C11	I2J; FIN; MOY; BRI	Diorite; Grains fins; Grains moyens; Brèche intrusive	0,23
TLG-ZJ419-162	453	455	J4-C5 & J4-C11	I2J; FIN; MOY; BRI	Diorite; Grains fins; Grains moyens; Brèche intrusive	0,24
TLG-ZJ419-162	457	459	J4-C5 & J4-C11	I2J; FIN; MOY; BRI	Diorite; Grains fins; Grains moyens; Brèche intrusive	0,25
TLG-ZJ419-162	461	463	J4-C5 & J4-C11	I2J; FIN; MOY; BRI	Diorite; Grains fins; Grains moyens; Brèche intrusive	0,26
TLG-ZJ419-162	475	477	J4-C5 & J4-C11	I2J; FIN; MOY; BRI	Diorite; Grains fins; Grains moyens; Brèche intrusive	0,22
TLG-ZJ419-162	479	481	J4-C5 & J4-C11	I2J; FIN; MOY; BRI	Diorite; Grains fins; Grains moyens; Brèche intrusive	0,25
TLG-ZJ419-162	485	487	J4-C5 & J4-C11	I2J; BRI	Diorite; Brèche intrusive	0,23
TLG-ZJ419-162	487	489	J4-C5 & J4-C11	I2J; BRI	Diorite; Brèche intrusive	0,33
TLG-ZJ419-162	497	499	J4-C5 & J4-C11	I2J; BRI	Diorite; Brèche intrusive	0,29
TLG-ZJ419-162	499	501	J4-C5 & J4-C11	I2J; BRI	Diorite; Brèche intrusive	0,26
TLG-ZJ419-162	501	503	J4-C5 & J4-C11	I2J; BRI	Diorite; Brèche intrusive	0,28
TLG-ZJ419-163	319	321	J4-C5 & J4-C11	I2J; MOY; FIN; BRI	Diorite; Grains moyens; Grains fins; Brèche intrusive	0,29
TLG-ZJ419-163	321	323	J4-C5 & J4-C11	I2J; MOY; FIN; BRI	Diorite; Grains moyens; Grains fins; Brèche intrusive	0,29
TLG-ZJ419-163	405	407	J4-C5 & J4-C11	I2J; MOY; BRI	Diorite; Grains moyens; Brèche intrusive	0,28
TLG-ZJ419-163	409	411	J4-C5 & J4-C11	I2J; MOY; BRI	Diorite; Grains moyens; Brèche intrusive	0,3
TLG-ZJ419-163	431	433	J4-C5 & J4-C11	I2J; MOY; BRI	Diorite; Grains moyens; Brèche intrusive	0,26
TLG-ZJ419-163	433	435	J4-C5 & J4-C11	I2J; MOY; BRI	Diorite; Grains moyens; Brèche intrusive	0,3
TLG-ZJ419-163	441	443	J4-C5 & J4-C11	I2J; MOY; BRI	Diorite; Grains moyens; Brèche intrusive	0,32
TLG-ZJ419-163	445	447	J4-C5 & J4-C11	I2J; MOY; BRI	Diorite; Grains moyens; Brèche intrusive	0,29
TLG-ZJ419-163	453	455	J4-C5 & J4-C11	I2J; FIN; BRI; MAS	Diorite; Grains fins; Brèche intrusive; Roche massive	0,28
TLG-ZJ419-163	469	471	J4-C5 & J4-C11	I2J; FIN; BRI; MAS	Diorite; Grains fins; Brèche intrusive; Roche massive	0,23
TLG-ZJ419-163	471	473	J4-C5 & J4-C11	I2J; FIN; BRI; MAS	Diorite; Grains fins; Brèche intrusive; Roche massive	0,3
TLG-ZJ419-164	124	126	J4-C5 & J4-C11	I2J; BRI; LAM; FIN	Diorite; Brèche intrusive; Laminations parallèles; Grains fins	0,27
TLG-ZJ419-164	166	168	J4-C5 & J4-C11	I2J; FIN; BRI; LAM	Diorite; Grains fins; Brèche intrusive; Laminations parallèles	0,27
TLG-ZJ419-164	172	174	J4-C5 & J4-C11	I2J; FIN; LAM; BRI	Diorite; Grains fins; Laminations parallèles; Brèche intrusive	0,32
TLG-ZJ419-164	174	176	J4-C5 & J4-C11	I2J; FIN; LAM; BRI	Diorite; Grains fins; Laminations parallèles; Brèche intrusive	0,26
TLG-ZJ419-164	176	178	J4-C5 & J4-C11	I2J; FIN; LAM; BRI	Diorite; Grains fins; Laminations parallèles; Brèche intrusive	0,22
TLG-ZJ419-164	180	182	J4-C5 & J4-C11	I2J; FIN; LAM; BRI	Diorite; Grains fins; Laminations parallèles; Brèche intrusive	0,33
TLG-ZJ419-164	200	202	J4-C5 & J4-C11	I2J; FIN; LAM; BRI	Diorite; Grains fins; Laminations parallèles; Brèche intrusive	0,22
TLG-ZJ419-164	204	206	J4-C5 & J4-C11	I2J; FIN; LAM; BRI	Diorite; Grains fins; Laminations parallèles; Brèche intrusive	0,25
TLG-ZJ419-164	226	228	J4-C5 & J4-C11	I2J; FIN; LAM; BRI	Diorite; Grains fins; Laminations parallèles; Brèche intrusive	0,25
TLG-ZJ419-164	288	290	J4-C5 & J4-C11	I2J; FIN; LAM; BRI	Diorite; Grains fins; Laminations parallèles; Brèche intrusive	0,3
TLG-ZJ419-164	326	328	J4-C5 & J4-C11	I2J; FIN; LAM; BRI	Diorite; Grains fins; Laminations parallèles; Brèche intrusive	0,33
TLG-ZJ419-164	374	376	J4-C5 & J4-C11	I2J; FIN; LAM; BRI	Diorite; Grains fins; Laminations parallèles; Brèche intrusive	0,24
TLG-ZJ419-164	376	378	J4-C5 & J4-C11	I2J; FIN; LAM; BRI	Diorite; Grains fins; Laminations parallèles; Brèche intrusive	0,28
TLG-ZJ419-164	388	390	J4-C5 & J4-C11	I2J; FIN; LAM; BRI	Diorite; Grains fins; Laminations parallèles; Brèche intrusive	0,32
TLG-ZJ419-164	474	476	J4-C5 & J4-C11	I2J; BRI	Diorite; Brèche intrusive	0,24
TLG-ZJ419-165	84	86	J4-C5 & J4-C11	I2J; FIN; BRI; LAM	Diorite; Grains fins; Brèche intrusive; Laminations parallèles	0,22
TLG-ZJ419-165	140	142	J4-C5 & J4-C11	I2J; FIN; BRI; LAM	Diorite; Grains fins; Brèche intrusive; Laminations parallèles	0,26
TLG-ZJ419-165	144	146	J4-C5 & J4-C11	I2J; FIN; BRI; LAM	Diorite; Grains fins; Brèche intrusive; Laminations parallèles	0,26
TLG-ZJ419-165	146	148	J4-C5 & J4-C11	I2J; FIN; BRI; LAM	Diorite; Grains fins; Brèche intrusive; Laminations parallèles	0,23
TLG-ZJ419-165	388	390	J4-C5 & J4-C11	I2J; BRI; FIN	Diorite; Brèche intrusive; Grains fins	0,28
TLG-ZJ419-165	488	490	J4-C5 & J4-C11	I2J; BRI	Diorite; Brèche intrusive	0,23
TLG-ZJ419-166	91	93	J4-C5 & J4-C11	I2J; FIN; MAS; LAM; RUB; BRI	Diorite; Grains fins; Roche massive; Laminations parallèles; Rubané; Brèche intrusive	0,26
TLG-ZJ419-166	95	97	J4-C5 & J4-C11	I2J; FIN; MAS; LAM; RUB; BRI	Diorite; Grains fins; Roche massive; Laminations parallèles; Rubané; Brèche intrusive	0,24
TLG-ZJ419-166	109	111	J4-C5 & J4-C11	I2J; FIN; MAS; LAM; RUB; BRI	Diorite; Grains fins; Roche massive; Laminations parallèles; Rubané; Brèche intrusive	0,25

DDH ID	From	To	For Column	Rock Code	Title	S Final (%)
TLG-ZJ419-166	123	125	J4-C5 & J4-C11	I2J; FIN; MAS; LAM; RUB; BRI	Diorite; Grains fins; Roche massive; Laminations parallèles; Rubané; Brèche intrusive	0,26
TLG-ZJ419-166	133	135	J4-C5 & J4-C11	I2J; FIN; MAS; LAM; RUB; BRI	Diorite; Grains fins; Roche massive; Laminations parallèles; Rubané; Brèche intrusive	0,23
TLG-ZJ419-166	505	507	J4-C5 & J4-C11	I2J; LAM; FIN; BRI; POR	Diorite; Laminations parallèles; Grains fins; Brèche intrusive; Porphyrique	0,3
TLG-ZJ419-167	215	217	J4-C5 & J4-C11	I2J; BRI	Diorite; Brèche intrusive	0,22
TLG-ZJ419-167	219	221	J4-C5 & J4-C11	I2J; BRI	Diorite; Brèche intrusive	0,33
TLG-ZJ419-167	225	227	J4-C5 & J4-C11	I2J; BRI	Diorite; Brèche intrusive	0,24
TLG-ZJ419-167	227	229	J4-C5 & J4-C11	I2J; BRI	Diorite; Brèche intrusive	0,22
TLG-ZJ419-167	245	247	J4-C5 & J4-C11	I2J; FIN; BRI	Diorite; Grains fins; Brèche intrusive	0,28
TLG-ZJ419-167	247	249	J4-C5 & J4-C11	I2J; FIN; BRI	Diorite; Grains fins; Brèche intrusive	0,23
TLG-ZJ419-167	253	255	J4-C5 & J4-C11	I2J; FIN; BRI	Diorite; Grains fins; Brèche intrusive	0,33
TLG-ZJ419-167	259	261	J4-C5 & J4-C11	I2J; FIN; BRI	Diorite; Grains fins; Brèche intrusive	0,32
TLG-ZJ419-167	261	263	J4-C5 & J4-C11	I2J; FIN; BRI	Diorite; Grains fins; Brèche intrusive	0,3
TLG-ZJ419-167	267	269	J4-C5 & J4-C11	I2J; FIN; BRI	Diorite; Grains fins; Brèche intrusive	0,22
TLG-ZJ419-167	321	323	J4-C5 & J4-C11	I2J; FIN; BRI	Diorite; Grains fins; Brèche intrusive	0,31
TLG-ZJ419-167	515	517	J4-C5 & J4-C11	I2J; BRI	Diorite; Brèche intrusive	0,33
TLG-ZJ419-168	67	69	J4-C5 & J4-C11	I2J; FIN; MOY; LAM; BRI	Diorite; Grains fins; Grains moyens; Laminations parallèles; Brèche intrusive	0,23
TLG-ZJ419-168	71	73	J4-C5 & J4-C11	I2J; FIN; MOY; LAM; BRI	Diorite; Grains fins; Grains moyens; Laminations parallèles; Brèche intrusive	0,3
TLG-ZJ419-169	86	88	J4-C5 & J4-C11	I2J; FIN; LAM; RUB; BRI	Diorite; Grains fins; Laminations parallèles; Rubané; Brèche intrusive	0,29
TLG-ZJ419-169	114	116	J4-C5 & J4-C11	I2J; FIN; LAM; RUB; BRI	Diorite; Grains fins; Laminations parallèles; Rubané; Brèche intrusive	0,27
TLG-ZJ419-169	288	290	J4-C5 & J4-C11	I2J; FIN; POR; BRI	Diorite; Grains fins; Porphyrique; Brèche intrusive	0,32
TLG-ZJ419-169	290	292	J4-C5 & J4-C11	I2J; FIN; POR; BRI	Diorite; Grains fins; Porphyrique; Brèche intrusive	0,24
TLG-ZJ419-169	302	304	J4-C5 & J4-C11	I2J; FIN; POR; BRI	Diorite; Grains fins; Porphyrique; Brèche intrusive	0,31
TLG-ZJ419-169	308	310	J4-C5 & J4-C11	I2J; FIN; POR; BRI	Diorite; Grains fins; Porphyrique; Brèche intrusive	0,26
TLG-ZJ419-169	310	312	J4-C5 & J4-C11	I2J; FIN; POR; BRI	Diorite; Grains fins; Porphyrique; Brèche intrusive	0,33
TLG-ZJ419-169	312	314	J4-C5 & J4-C11	I2J; FIN; POR; BRI	Diorite; Grains fins; Porphyrique; Brèche intrusive	0,22
TLG-ZJ419-169	314	316	J4-C5 & J4-C11	I2J; FIN; POR; BRI	Diorite; Grains fins; Porphyrique; Brèche intrusive	0,27
TLG-ZJ419-169	318	320	J4-C5 & J4-C11	I2J; FIN; POR; BRI	Diorite; Grains fins; Porphyrique; Brèche intrusive	0,31
TLG-ZJ419-169	320	322	J4-C5 & J4-C11	I2J; FIN; POR; BRI	Diorite; Grains fins; Porphyrique; Brèche intrusive	0,24
TLG-ZJ419-169	328	330	J4-C5 & J4-C11	I2J; FIN; POR; BRI	Diorite; Grains fins; Porphyrique; Brèche intrusive	0,22
TLG-ZJ419-169	330	332	J4-C5 & J4-C11	I2J; FIN; POR; BRI	Diorite; Grains fins; Porphyrique; Brèche intrusive	0,22
TLG-ZJ419-169	332	334	J4-C5 & J4-C11	I2J; FIN; POR; BRI	Diorite; Grains fins; Porphyrique; Brèche intrusive	0,25
TLG-ZJ419-172	190	192	J4-C5 & J4-C11	I2J; BRI; MAG	Diorite; Brèche intrusive; Magnétique	0,27
TLG-ZJ419-172	198	200	J4-C5 & J4-C11	I2J; BRI; MAG	Diorite; Brèche intrusive; Magnétique	0,24
TLG-ZJ20-221	246	247	J4-C5 & J4-C11	I2J; BRI	Diorite; Brèche intrusive	0,26
TLG-ZJ20-221	250	251	J4-C5 & J4-C11	I2J; BRI	Diorite; Brèche intrusive	0,24
TLG-ZJ20-221	263	264	J4-C5 & J4-C11	I2J; BRI	Diorite; Brèche intrusive	0,27
TLG-ZJ20-221	267	268	J4-C5 & J4-C11	I2J; BRI	Diorite; Brèche intrusive	0,32
TLG-ZJ20-221	270	271	J4-C5 & J4-C11	I2J; BRI	Diorite; Brèche intrusive	0,25
TLG-ZJ20-224	178	179	J4-C5 & J4-C11	I2J; BRI	Diorite; Brèche intrusive	0,3
TLG-ZJ20-224	180	181	J4-C5 & J4-C11	I2J; BRI	Diorite; Brèche intrusive	0,22
TLG-ZJ21-225	376	377	J4-C5 & J4-C11	I2J; BRI	Diorite; Brèche intrusive	0,33
TLG-ZJ21-225	378	379	J4-C5 & J4-C11	I2J; BRI	Diorite; Brèche intrusive	0,27
TLG-ZJ21-225	380	381	J4-C5 & J4-C11	I2J; BRI	Diorite; Brèche intrusive	0,27
TLG-ZJ21-225	381	382	J4-C5 & J4-C11	I2J; BRI	Diorite; Brèche intrusive	0,29
TLG-ZJ21-225	384	385	J4-C5 & J4-C11	I2J; BRI	Diorite; Brèche intrusive	0,33
TLG-ZJ21-225	388	389	J4-C5 & J4-C11	I2J; BRI	Diorite; Brèche intrusive	0,22
TLG-ZJ21-225	389	390	J4-C5 & J4-C11	I2J; BRI	Diorite; Brèche intrusive	0,3
TLG-ZJ21-225	406	407	J4-C5 & J4-C11	I2J; BRI	Diorite; Brèche intrusive	0,26
TLG-ZJ21-225	407	408	J4-C5 & J4-C11	I2J; BRI	Diorite; Brèche intrusive	0,32
TLG-ZJ21-225	435	436	J4-C5 & J4-C11	I2J; BRI	Diorite; Brèche intrusive	0,29
TLG-ZJ21-225	441	442	J4-C5 & J4-C11	I2J; BRI	Diorite; Brèche intrusive	0,27
TLG-ZJ21-225	442	443	J4-C5 & J4-C11	I2J; BRI	Diorite; Brèche intrusive	0,3
TLG-ZJ21-225	456	457	J4-C5 & J4-C11	I2J; BRI	Diorite; Brèche intrusive	0,22
TLG-ZJ21-225	460	461	J4-C5 & J4-C11	I2J; BRI	Diorite; Brèche intrusive	0,22
TLG-ZJ21-225	462	463	J4-C5 & J4-C11	I2J; BRI	Diorite; Brèche intrusive	0,24
TLG-ZJ21-225	465	466	J4-C5 & J4-C11	I2J; BRI	Diorite; Brèche intrusive	0,32
TLG-ZJ21-225	471	472	J4-C5 & J4-C11	I2J; BRI	Diorite; Brèche intrusive	0,28
TLG-ZJ21-225	473	474	J4-C5 & J4-C11	I2J; BRI	Diorite; Brèche intrusive	0,28
TLG-ZJ21-225	475	476	J4-C5 & J4-C11	I2J; BRI	Diorite; Brèche intrusive	0,28
TLG-ZJ21-225	476	477	J4-C5 & J4-C11	I2J; BRI	Diorite; Brèche intrusive	0,3
TLG-ZJ21-225	486	487	J4-C5 & J4-C11	I2J; BRI	Diorite; Brèche intrusive	0,33
TLG-ZJ21-225	487	488	J4-C5 & J4-C11	I2J; BRI	Diorite; Brèche intrusive	0,23
TLG-ZJ21-225	498	499	J4-C5 & J4-C11	I2J; BRI	Diorite; Brèche intrusive	0,3
TLG-ZJ21-225	500	501	J4-C5 & J4-C11	I2J; BRI	Diorite; Brèche intrusive	0,24
TLG-ZJ21-225	505	506	J4-C5 & J4-C11	I2J; BRI	Diorite; Brèche intrusive	0,3
TLG-ZJ21-225	513	514	J4-C5 & J4-C11	I2J; BRI	Diorite; Brèche intrusive	0,28
TLG-ZJ21-225	519	520	J4-C5 & J4-C11	I2J; BRI	Diorite; Brèche intrusive	0,25
TLG-ZJ21-226	223	224	J4-C5 & J4-C11	I2J; BRI	Diorite; Brèche intrusive	0,31

DDH ID	From	To	For Column	Rock Code	Title	S Final (%)
TLG-ZJ21-226	224	225	J4-C5 & J4-C11	I2J; BRI	Diorite; Brèche intrusive	0,31
TLG-ZJ21-238	149	150	J4-C5 & J4-C11	I2J; BRI	Diorite; Brèche intrusive	0,26
TLG-ZJ21-238	151	152	J4-C5 & J4-C11	I2J; BRI	Diorite; Brèche intrusive	0,32
TLG-ZJ21-238	155	156	J4-C5 & J4-C11	I2J; BRI	Diorite; Brèche intrusive	0,28
TLG-ZJ21-238	165	166	J4-C5 & J4-C11	I2J; BRI	Diorite; Brèche intrusive	0,26
TLG-ZJ21-238	168	169	J4-C5 & J4-C11	I2J; BRI	Diorite; Brèche intrusive	0,24
TLG-ZJ21-238	170	171	J4-C5 & J4-C11	I2J; BRI	Diorite; Brèche intrusive	0,24
TLG-ZJ21-238	172	173	J4-C5 & J4-C11	I2J; BRI	Diorite; Brèche intrusive	0,25
TLG-ZJ21-238	173	174	J4-C5 & J4-C11	I2J; BRI	Diorite; Brèche intrusive	0,27
TLG-ZJ21-238	174	175	J4-C5 & J4-C11	I2J; BRI	Diorite; Brèche intrusive	0,3
TLG-ZJ21-240	195	196	J4-C5 & J4-C11	I2J; BRI	Diorite; Brèche intrusive	0,27
TLG-ZJ21-240	200	201	J4-C5 & J4-C11	I2J; BRI	Diorite; Brèche intrusive	0,27
TLG-ZJ21-240	207	208	J4-C5 & J4-C11	I2J; BRI	Diorite; Brèche intrusive	0,24
TLG-ZJ21-240	208	209	J4-C5 & J4-C11	I2J; BRI	Diorite; Brèche intrusive	0,28
TLG-ZJ21-240	209	210	J4-C5 & J4-C11	I2J; BRI	Diorite; Brèche intrusive	0,26
TLG-ZJ21-240	216	217	J4-C5 & J4-C11	I2J; BRI	Diorite; Brèche intrusive	0,33
TLG-ZJ21-240	218	219	J4-C5 & J4-C11	I2J; BRI	Diorite; Brèche intrusive	0,31
TLG-ZJ21-240	219	220	J4-C5 & J4-C11	I2J; BRI	Diorite; Brèche intrusive	0,23
TLG-ZJ21-240	222	223	J4-C5 & J4-C11	I2J; BRI	Diorite; Brèche intrusive	0,31
TLG-ZJ21-240	223	224	J4-C5 & J4-C11	I2J; BRI	Diorite; Brèche intrusive	0,3
TLG-ZJ21-240	234	235	J4-C5 & J4-C11	I2J; BRI	Diorite; Brèche intrusive	0,28
TLG-ZJ21-240	288	289	J4-C5 & J4-C11	I2J; BRI	Diorite; Brèche intrusive	0,28
TLG-ZJ21-240	290	291	J4-C5 & J4-C11	I2J; BRI	Diorite; Brèche intrusive	0,25
TLG-ZJ21-240	298	299	J4-C5 & J4-C11	I2J; BRI	Diorite; Brèche intrusive	0,3
TLG-ZJ21-240	304	305	J4-C5 & J4-C11	I2J; BRI	Diorite; Brèche intrusive	0,29
TLG-ZJ21-240	443	444	J4-C5 & J4-C11	I2J; BRI	Diorite; Brèche intrusive	0,22
TLG-ZJ21-240	448	449	J4-C5 & J4-C11	I2J; BRI	Diorite; Brèche intrusive	0,31
TLG-ZJ21-240	454	455	J4-C5 & J4-C11	I2J; BRI	Diorite; Brèche intrusive	0,24
TLG-ZJ21-240	456	457	J4-C5 & J4-C11	I2J; BRI	Diorite; Brèche intrusive	0,27
TLG-ZJ21-240	469	470	J4-C5 & J4-C11	I2J; BRI	Diorite; Brèche intrusive	0,27
TLG-ZJ21-240	470	471	J4-C5 & J4-C11	I2J; BRI	Diorite; Brèche intrusive	0,22
TLG-ZJ21-240	471	472	J4-C5 & J4-C11	I2J; BRI	Diorite; Brèche intrusive	0,27
TLG-ZJ21-240	472	473,07	J4-C5 & J4-C11	I2J; BRI	Diorite; Brèche intrusive	0,28
TLG-ZJ21-240	481	482	J4-C5 & J4-C11	I2J; BRI	Diorite; Brèche intrusive	0,24
TLG-ZJ21-240	485	486	J4-C5 & J4-C11	I2J; BRI	Diorite; Brèche intrusive	0,25
TLG-ZJ21-240	488	489	J4-C5 & J4-C11	I2J; BRI	Diorite; Brèche intrusive	0,33
TLG-ZJ21-240	489	490	J4-C5 & J4-C11	I2J; BRI	Diorite; Brèche intrusive	0,26
TLG-ZJ21-240	491	492	J4-C5 & J4-C11	I2J; BRI	Diorite; Brèche intrusive	0,24
TLG-ZJ21-240	495	496	J4-C5 & J4-C11	I2J; BRI	Diorite; Brèche intrusive	0,28
TLG-ZJ21-240	500	501	J4-C5 & J4-C11	I2J; BRI	Diorite; Brèche intrusive	0,32
TLG-ZJ21-240	501	502	J4-C5 & J4-C11	I2J; BRI	Diorite; Brèche intrusive	0,28
TLG-ZJ21-240	503	504	J4-C5 & J4-C11	I2J; BRI	Diorite; Brèche intrusive	0,23
TLG-ZJ21-240	505	506	J4-C5 & J4-C11	I2J; BRI	Diorite; Brèche intrusive	0,31
TLG-ZJ21-246	48	49	J4-C5 & J4-C11	I2J; BR	Diorite; Brèche/bréchiq	0,25
TLG-ZJ21-246	57	58	J4-C5 & J4-C11	I2J; BR	Diorite; Brèche/bréchiq	0,25
TLG-ZJ21-246	59	60	J4-C5 & J4-C11	I2J; BR	Diorite; Brèche/bréchiq	0,22
TLG-ZJ21-246	61	62	J4-C5 & J4-C11	I2J; BR	Diorite; Brèche/bréchiq	0,29
TLG-ZJ21-246	79	80	J4-C5 & J4-C11	I2J; BR	Diorite; Brèche/bréchiq	0,23
TLG-ZJ21-246	80	81	J4-C5 & J4-C11	I2J; BR	Diorite; Brèche/bréchiq	0,33
TLG-ZJ21-246	88	89	J4-C5 & J4-C11	I2J; BR	Diorite; Brèche/bréchiq	0,26
TLG-ZJ21-249	101	102	J4-C5 & J4-C11	I2J; BR	Diorite; Brèche/bréchiq	0,28
TLG-ZJ21-249	104	105	J4-C5 & J4-C11	I2J; BR	Diorite; Brèche/bréchiq	0,29

DDH ID	From	To	For Column	Rock Code	Title	S Final (%)
TLG-ZJ418-051	115	116	J4-C6	I2J; FIN; LAM; BRI	Diorite; Grains fins; Laminations parallèles; Brèche intrusive	0,72
TLG-ZJ418-053	11,8	13	J4-C6	I2J; LAM; BRI	Diorite 70°; Laminations parallèles; Brèche intrusive	0,75
TLG-ZJ418-053	37	38	J4-C6	I2J; LAM; BRI	Diorite 70°; Laminations parallèles; Brèche intrusive	0,76
TLG-ZJ418-053	47	48	J4-C6	I2J; LAM; BRI	Diorite 70°; Laminations parallèles; Brèche intrusive	0,75
TLG-ZJ418-053	49	50	J4-C6	I2J; LAM; BRI	Diorite 70°; Laminations parallèles; Brèche intrusive	0,75
TLG-ZJ418-053	51	52	J4-C6	I2J; LAM; BRI	Diorite 70°; Laminations parallèles; Brèche intrusive	0,72
TLG-ZJ418-053	52	53	J4-C6	I2J; LAM; BRI	Diorite 70°; Laminations parallèles; Brèche intrusive	0,84
TLG-ZJ418-060	72	73	J4-C6	I2J; BRI; MAS	Diorite 60°; Brèche intrusive; Roche massive	0,81
TLG-ZJ418-060	256	257	J4-C6	I2J; MAS; BRI	Diorite 65°; Roche massive; Brèche intrusive	0,85
TLG-ZJ418-060	270	271	J4-C6	I2J; MAS; BRI	Diorite 65°; Roche massive; Brèche intrusive	0,7
TLG-ZJ418-063	53	54	J4-C6	I2J; BRI	Diorite; Brèche intrusive	0,69
TLG-ZJ418-063	59	60	J4-C6	I2J; BRI	Diorite; Brèche intrusive	0,67
TLG-ZJ418-064	22	23	J4-C6	I2J; BRI	Diorite 60°; Brèche intrusive	0,72
TLG-ZJ418-064	26	27	J4-C6	I2J; BRI	Diorite 60°; Brèche intrusive	0,83
TLG-ZJ418-064	42	43	J4-C6	I2J; BRI	Diorite 60°; Brèche intrusive	0,67
TLG-ZJ418-065	109	110	J4-C6	I2J; I2J; BRI	Diorite; Diorite 65°; Brèche intrusive	0,68
TLG-ZJ418-065	127	128	J4-C6	I2J; I2J; BRI	Diorite; Diorite 65°; Brèche intrusive	0,83
TLG-ZJ418-065	146	147	J4-C6	I2J; I2J; BRI	Diorite; Diorite 65°; Brèche intrusive	0,82
TLG-ZJ418-067	75	76	J4-C6	I2J; POR; BRC	Diorite 60°; Porphyrique; Brèche de coulée	0,81
TLG-ZJ418-067	84	85	J4-C6	I2J; POR; BRC	Diorite 60°; Porphyrique; Brèche de coulée	0,73
TLG-ZJ418-067	137	138	J4-C6	I2J; POR; BRC	Diorite 60°; Porphyrique; Brèche de coulée	0,75
TLG-ZJ418-069	185	186	J4-C6	I2J; BRI	Diorite 70°; Brèche intrusive	0,73
TLG-ZJ418-069	186	187	J4-C6	I2J; BRI	Diorite 70°; Brèche intrusive	0,73
TLG-ZJ418-070	186	187	J4-C6	I2J; BRC	Diorite 65°; Brèche de coulée	0,8
TLG-ZJ418-070	195	196,4	J4-C6	I2J; BRC	Diorite 65°; Brèche de coulée	0,72
TLG-ZJ418-070	244	245	J4-C6	I2J; BRC	Diorite 60°; Brèche de coulée	0,67
TLG-ZJ418-070	252	253	J4-C6	I2J; BRC	Diorite 60°; Brèche de coulée	0,73
TLG-ZJ418-070	255	256	J4-C6	I2J; BRC	Diorite 60°; Brèche de coulée	0,73
TLG-ZJ418-070	256	257	J4-C6	I2J; BRC	Diorite 60°; Brèche de coulée	0,82
TLG-ZJ418-070	265	266	J4-C6	I2J; BRC	Diorite 60°; Brèche de coulée	0,73
TLG-ZJ418-070	267	268	J4-C6	I2J; BRC	Diorite 60°; Brèche de coulée	0,7
TLG-ZJ418-070	280	281	J4-C6	I2J; BRC	Diorite 60°; Brèche de coulée	0,77
TLG-ZJ418-070	282	283	J4-C6	I2J; BRC	Diorite 60°; Brèche de coulée	0,76
TLG-ZJ418-070	297	298	J4-C6	I2J; BRC	Diorite 60°; Brèche de coulée	0,84
TLG-ZJ418-070	298	299	J4-C6	I2J; BRC	Diorite 60°; Brèche de coulée	0,67
TLG-ZJ418-070	302	303	J4-C6	I2J; BRC	Diorite 60°; Brèche de coulée	0,73
TLG-ZJ418-070	312	313	J4-C6	I2J; BRC	Diorite 60°; Brèche de coulée	0,83
TLG-ZJ418-070	313	314	J4-C6	I2J; BRC	Diorite 60°; Brèche de coulée	0,75
TLG-ZJ418-070	315	316	J4-C6	I2J; BRC	Diorite 60°; Brèche de coulée	0,76
TLG-ZJ418-070	320	321	J4-C6	I2J; BRC	Diorite 60°; Brèche de coulée	0,77
TLG-ZJ418-072	192	193	J4-C6	I2J; BRI	Diorite 75°; Brèche intrusive	0,73
TLG-ZJ418-072	227	228	J4-C6	I2J; BRI	Diorite 70°; Brèche intrusive	0,83
TLG-ZJ418-072	228	230	J4-C6	I2J; BRI	Diorite 70°; Brèche intrusive	0,7
TLG-ZJ418-072	259	260	J4-C6	I2J; BRI	Diorite 70°; Brèche intrusive	0,68
TLG-ZJ418-072	263	264	J4-C6	I2J; BRI	Diorite 70°; Brèche intrusive	0,73
TLG-ZJ418-072	269	270	J4-C6	I2J; BRI	Diorite 70°; Brèche intrusive	0,78
TLG-ZJ418-072	309	310	J4-C6	I2J; BRI	Diorite 70°; Brèche intrusive	0,72
TLG-ZJ418-073	310	311	J4-C6	I2J; BRI	Diorite; Brèche intrusive	0,71
TLG-ZJ418-074	57	58	J4-C6	I2J; BRI	Diorite 60°; Brèche intrusive	0,68
TLG-ZJ418-074	59	60	J4-C6	I2J; BRI	Diorite 60°; Brèche intrusive	0,85
TLG-ZJ418-074	238	239	J4-C6	I2J; BRI	Diorite; Brèche intrusive	0,75
TLG-ZJ418-074	242	243	J4-C6	I2J; BRI	Diorite; Brèche intrusive	0,85
TLG-ZJ418-074	247	248	J4-C6	I2J; BRI	Diorite; Brèche intrusive	0,72
TLG-ZJ418-074	327	329	J4-C6	I2J; MAG; BRI; LAM; FIN	Diorite; Magnétique; Brèche intrusive; Laminations parallèles; Grains fins	0,85
TLG-ZJ418-074	331	333	J4-C6	I2J; MAG; BRI; LAM; FIN	Diorite; Magnétique; Brèche intrusive; Laminations parallèles; Grains fins	0,84
TLG-ZJ418-074	351	353	J4-C6	I2J; LAM; MAG; BRI; MOY	Diorite; Laminations parallèles; Magnétique; Brèche intrusive; Grains moyens	0,68
TLG-ZJ418-074	357	359	J4-C6	I2J; LAM; MAG; BRI; MOY	Diorite; Laminations parallèles; Magnétique; Brèche intrusive; Grains moyens	0,67
TLG-ZJ418-074	367	369	J4-C6	I2J; LAM; MAG; BRI; MOY	Diorite; Laminations parallèles; Magnétique; Brèche intrusive; Grains moyens	0,73
TLG-ZJ418-074	381	383	J4-C6	I2J; LAM; MAG; BRI; MOY	Diorite; Laminations parallèles; Magnétique; Brèche intrusive; Grains moyens	0,66
TLG-ZJ418-074	415	417	J4-C6	I2J; LAM; MAG; BRI; MOY	Diorite; Laminations parallèles; Magnétique; Brèche intrusive; Grains moyens	0,66
TLG-ZJ418-074	439	441	J4-C6	I2J; LAM; MAG; BRI; MOY	Diorite; Laminations parallèles; Magnétique; Brèche intrusive; Grains moyens	0,81
TLG-ZJ418-074	473	475	J4-C6	I2J; LAM; MAG; BRI; MOY	Diorite; Laminations parallèles; Magnétique; Brèche intrusive; Grains moyens	0,73
TLG-ZJ418-075	72	73	J4-C6	I2J; POR; BRC	Diorite 60°; Porphyrique; Brèche de coulée	0,68
TLG-ZJ418-075	75	76	J4-C6	I2J; POR; BRC	Diorite 60°; Porphyrique; Brèche de coulée	0,73
TLG-ZJ418-075	77	78	J4-C6	I2J; POR; BRC	Diorite 60°; Porphyrique; Brèche de coulée	0,85
TLG-ZJ418-075	97	98	J4-C6	I2J; POR; BRC	Diorite 60°; Porphyrique; Brèche de coulée	0,75

DDH ID	From	To	For Column	Rock Code	Title	S Final (%)
TLG-ZJ418-075	105	106	J4-C6	I2J; POR; BRC	Diorite 60°; Porphyrique; Brèche de coulée	0,66
TLG-ZJ418-075	107	108	J4-C6	I2J; POR; BRC	Diorite 60°; Porphyrique; Brèche de coulée	0,76
TLG-ZJ418-075	109	110	J4-C6	I2J; POR; BRC	Diorite 60°; Porphyrique; Brèche de coulée	0,73
TLG-ZJ418-075	118	119	J4-C6	I2J; POR; BRC	Diorite 60°; Porphyrique; Brèche de coulée	0,66
TLG-ZJ418-075	142	143	J4-C6	I2J; POR; BRC	Diorite 60°; Porphyrique; Brèche de coulée	0,78
TLG-ZJ418-075	152	153	J4-C6	I2J; POR; BRC	Diorite 60°; Porphyrique; Brèche de coulée	0,75
TLG-ZJ418-075	164	165	J4-C6	I2J; POR; BRC	Diorite 60°; Porphyrique; Brèche de coulée	0,81
TLG-ZJ418-075	170	171	J4-C6	I2J; POR; BRC	Diorite 60°; Porphyrique; Brèche de coulée	0,73
TLG-ZJ418-075	190	191	J4-C6	I2J; POR; BRC	Diorite 60°; Porphyrique; Brèche de coulée	0,76
TLG-ZJ418-075	192	193	J4-C6	I2J; POR; BRC	Diorite 60°; Porphyrique; Brèche de coulée	0,66
TLG-ZJ418-075	212	213	J4-C6	I2J; POR; BRC	Diorite 60°; Porphyrique; Brèche de coulée	0,81
TLG-ZJ418-075	250	251	J4-C6	I2J; POR; BRC	Diorite 60°; Porphyrique; Brèche de coulée	0,69
TLG-ZJ418-075	267	268	J4-C6	I2J; POR; BRC	Diorite 60°; Porphyrique; Brèche de coulée	0,67
TLG-ZJ418-075	277	278	J4-C6	I2J; POR; BRC	Diorite 60°; Porphyrique; Brèche de coulée	0,73
TLG-ZJ418-075	299	300	J4-C6	I2J; POR; BRC	Diorite 60°; Porphyrique; Brèche de coulée	0,67
TLG-ZJ418-075	300	301	J4-C6	I2J; POR; BRC	Diorite 60°; Porphyrique; Brèche de coulée	0,84
TLG-ZJ418-075	310	311	J4-C6	I2J; POR; BRC	Diorite 60°; Porphyrique; Brèche de coulée	0,8
TLG-ZJ418-075	373	375	J4-C6	I2J; BRI; LAM; MOY; FIN; MAG	Diorite; Brèche intrusive; Laminations parallèles; Grains moyens; Grains fins; Magnétique	0,79
TLG-ZJ418-075	375	377	J4-C6	I2J; BRI; LAM; MOY; FIN; MAG	Diorite; Brèche intrusive; Laminations parallèles; Grains moyens; Grains fins; Magnétique	0,76
TLG-ZJ418-075	407	409	J4-C6	I2J; BRI; LAM; MOY; FIN; MAG	Diorite; Brèche intrusive; Laminations parallèles; Grains moyens; Grains fins; Magnétique	0,66
TLG-ZJ418-075	419	421	J4-C6	I2J; BRI; LAM; MOY; FIN; MAG	Diorite; Brèche intrusive; Laminations parallèles; Grains moyens; Grains fins; Magnétique	0,85
TLG-ZJ418-076	141	142	J4-C6	I2J; BRC; POR	Diorite 65°; Brèche de coulée; Porphyrique	0,69
TLG-ZJ418-076	157	158	J4-C6	I2J; BRC; POR	Diorite 65°; Brèche de coulée; Porphyrique	0,73
TLG-ZJ418-076	211	212	J4-C6	I2J; BRC; POR	Diorite 75°; Brèche de coulée; Porphyrique	0,67
TLG-ZJ418-076	213	214	J4-C6	I2J; BRC; POR	Diorite 75°; Brèche de coulée; Porphyrique	0,8
TLG-ZJ418-076	217	218	J4-C6	I2J; BRC; POR	Diorite 75°; Brèche de coulée; Porphyrique	0,77
TLG-ZJ418-076	227	228	J4-C6	I2J; BRC; POR	Diorite 75°; Brèche de coulée; Porphyrique	0,84
TLG-ZJ418-076	232	233	J4-C6	I2J; BRC; POR	Diorite 75°; Brèche de coulée; Porphyrique	0,81
TLG-ZJ418-076	236	237	J4-C6	I2J; BRC; POR	Diorite 75°; Brèche de coulée; Porphyrique	0,69
TLG-ZJ418-076	239	240	J4-C6	I2J; BRC; POR	Diorite 75°; Brèche de coulée; Porphyrique	0,69
TLG-ZJ418-076	242	243	J4-C6	I2J; BRC; POR	Diorite 75°; Brèche de coulée; Porphyrique	0,73
TLG-ZJ418-076	273	274	J4-C6	I2J; BRC; POR	Diorite 65°; Brèche de coulée; Porphyrique	0,75
TLG-ZJ418-078	33	34	J4-C6	I2J; BRI	Diorite; Brèche intrusive	0,72
TLG-ZJ418-078	36	37	J4-C6	I2J; BRI	Diorite; Brèche intrusive	0,85
TLG-ZJ419-092	341	343	J4-C6	I2J; BRI	Diorite; Brèche intrusive	0,83
TLG-ZJ419-100	308	310	J4-C6	I2J; FIN; RUB; BRI	Diorite; Grains fins; Rubané; Brèche intrusive	0,68
TLG-ZJ419-100	328	330	J4-C6	I2J; FIN; BRI	Diorite; Grains fins; Brèche intrusive	0,82
TLG-ZJ419-100	500	502	J4-C6	I2J; MAS; RUB; BRI	Diorite; Roche massive; Rubané; Brèche intrusive	0,66
TLG-ZJ419-109	128	130	J4-C6	I2J; BRI; POR; RUB	Diorite; Brèche intrusive; Porphyrique; Rubané	0,69
TLG-ZJ419-109	160	162	J4-C6	I2J; FIN; MAS; POR; BRI	Diorite; Grains fins; Roche massive; Porphyrique; Brèche intrusive	0,67
TLG-ZJ419-109	168	170	J4-C6	I2J; FIN; MAS; POR; BRI	Diorite; Grains fins; Roche massive; Porphyrique; Brèche intrusive	0,72
TLG-ZJ419-109	232	234	J4-C6	I2J; BRI; GRO	Diorite; Brèche intrusive; Grains grossiers	0,71
TLG-ZJ419-109	250	252	J4-C6	I2J; GRO; POR; BRI	Diorite; Grains grossiers; Porphyrique; Brèche intrusive	0,66
TLG-ZJ419-109	252	254	J4-C6	I2J; GRO; POR; BRI	Diorite; Grains grossiers; Porphyrique; Brèche intrusive	0,81
TLG-ZJ419-109	260	262	J4-C6	I2J; GRO; POR; BRI	Diorite; Grains grossiers; Porphyrique; Brèche intrusive	0,68
TLG-ZJ419-109	262	264	J4-C6	I2J; GRO; POR; BRI	Diorite; Grains grossiers; Porphyrique; Brèche intrusive	0,85
TLG-ZJ419-109	268	270	J4-C6	I2J; GRO; POR; BRI	Diorite; Grains grossiers; Porphyrique; Brèche intrusive	0,67
TLG-ZJ419-109	312	314	J4-C6	I2J; GRO; POR; BRI	Diorite; Grains grossiers; Porphyrique; Brèche intrusive	0,67
TLG-ZJ419-109	372	374	J4-C6	I2J; GRO; POR; BRI	Diorite; Grains grossiers; Porphyrique; Brèche intrusive	0,7
TLG-ZJ419-109	380	382	J4-C6	I2J; GRO; BRI; POR	Diorite; Grains grossiers; Brèche intrusive; Porphyrique	0,7
TLG-ZJ419-109	404	406	J4-C6	I2J; GRO; BRI; POR	Diorite; Grains grossiers; Brèche intrusive; Porphyrique	0,72
TLG-ZJ419-110	328	330	J4-C6	I2J; MOY; BRI	Diorite; Grains moyens; Brèche intrusive	0,74
TLG-ZJ419-110	330	332	J4-C6	I2J; MOY; BRI	Diorite; Grains moyens; Brèche intrusive	0,79
TLG-ZJ419-110	340	342	J4-C6	I2J; MOY; BRI	Diorite; Grains moyens; Brèche intrusive	0,74
TLG-ZJ419-110	436	438	J4-C6	I2J; BRI; POR	Diorite; Brèche intrusive; Porphyrique	0,78
TLG-ZJ419-110	486	488	J4-C6	I2J; BRI; POR	Diorite; Brèche intrusive; Porphyrique	0,69
TLG-ZJ419-110	500	502	J4-C6	I2J; BRI; POR	Diorite; Brèche intrusive; Porphyrique	0,85
TLG-ZJ419-111	35	37	J4-C6	I2J; BRI	Diorite; Brèche intrusive	0,82
TLG-ZJ419-111	127	129	J4-C6	I2J; FIN; BRI	Diorite; Grains fins; Brèche intrusive	0,76
TLG-ZJ419-111	133	135	J4-C6	I2J; FIN; BRI	Diorite; Grains fins; Brèche intrusive	0,72
TLG-ZJ419-111	175	177	J4-C6	I2J; FIN; BRI	Diorite; Grains fins; Brèche intrusive	0,72
TLG-ZJ419-111	315	317	J4-C6	I2J; BRI; LAM	Diorite; Brèche intrusive; Laminations parallèles	0,66
TLG-ZJ419-111	339	341	J4-C6	I2J; BRI; LAM	Diorite; Brèche intrusive; Laminations parallèles	0,66
TLG-ZJ419-111	341	343	J4-C6	I2J; BRI; LAM	Diorite; Brèche intrusive; Laminations parallèles	0,77
TLG-ZJ419-111	351	353	J4-C6	I2J; BRI; LAM	Diorite; Brèche intrusive; Laminations parallèles	0,82
TLG-ZJ419-111	391	393	J4-C6	I2J; FIN; LAM; BRI	Diorite; Grains fins; Laminations parallèles; Brèche intrusive	0,75
TLG-ZJ419-111	423	425	J4-C6	I2J; FIN; LAM; BRI	Diorite; Grains fins; Laminations parallèles; Brèche intrusive	0,73
TLG-ZJ419-111	429	431	J4-C6	I2J; FIN; LAM; BRI	Diorite; Grains fins; Laminations parallèles; Brèche intrusive	0,76
TLG-ZJ419-111	445	447	J4-C6	I2J; BRI; LAM	Diorite; Brèche intrusive; Laminations parallèles	0,76

DDH ID	From	To	For Column	Rock Code	Title	S Final (%)
TLG-ZJ419-111	467	469	J4-C6	I2J; BRI; LAM	Diorite; Brèche intrusive; Laminations parallèles	0,7
TLG-ZJ419-111	475	477	J4-C6	I2J; BRI; LAM	Diorite; Brèche intrusive; Laminations parallèles	0,67
TLG-ZJ419-113	194	196	J4-C6	I2J; BRI; LAM; FIN	Diorite; Brèche intrusive; Laminations parallèles; Grains fins	0,66
TLG-ZJ419-113	428	430	J4-C6	I2J; BRI; LAM; FIN; MOY; MAG	Diorite; Brèche intrusive; Laminations parallèles; Grains fins; Grains moyens; Magnétique	0,74
TLG-ZJ419-113	438	440	J4-C6	I2J; BRI; LAM; FIN; MOY; MAG	Diorite; Brèche intrusive; Laminations parallèles; Grains fins; Grains moyens; Magnétique	0,85
TLG-ZJ419-113	440	442	J4-C6	I2J; BRI; LAM; FIN; MOY; MAG	Diorite; Brèche intrusive; Laminations parallèles; Grains fins; Grains moyens; Magnétique	0,74
TLG-ZJ419-113	442	444	J4-C6	I2J; BRI; LAM; FIN; MOY; MAG	Diorite; Brèche intrusive; Laminations parallèles; Grains fins; Grains moyens; Magnétique	0,68
TLG-ZJ419-113	446	448	J4-C6	I2J; BRI; LAM; FIN; MOY; MAG	Diorite; Brèche intrusive; Laminations parallèles; Grains fins; Grains moyens; Magnétique	0,71
TLG-ZJ419-113	450	452	J4-C6	I2J; BRI; LAM; FIN; MOY; MAG	Diorite; Brèche intrusive; Laminations parallèles; Grains fins; Grains moyens; Magnétique	0,85
TLG-ZJ419-113	456	458	J4-C6	I2J; BRI; LAM; FIN; MOY; MAG	Diorite; Brèche intrusive; Laminations parallèles; Grains fins; Grains moyens; Magnétique	0,71
TLG-ZJ419-113	458	460	J4-C6	I2J; BRI; LAM; FIN; MOY; MAG	Diorite; Brèche intrusive; Laminations parallèles; Grains fins; Grains moyens; Magnétique	0,75
TLG-ZJ419-113	480	482	J4-C6	I2J; BRI; LAM; FIN; MOY; MAG	Diorite; Brèche intrusive; Laminations parallèles; Grains fins; Grains moyens; Magnétique	0,75
TLG-ZJ419-148	160	162	J4-C6	I2J; POR; BRI; FIN	Diorite; Porphyrique; Brèche intrusive; Grains fins	0,72
TLG-ZJ419-148	162	164	J4-C6	I2J; POR; BRI; FIN	Diorite; Porphyrique; Brèche intrusive; Grains fins	0,68
TLG-ZJ419-148	174	176	J4-C6	I2J; FIN; MOY; RUB; BRI	Diorite; Grains fins; Grains moyens; Rubané; Brèche intrusive	0,8
TLG-ZJ419-148	192	194	J4-C6	I2J; FIN; MOY; RUB; BRI	Diorite; Grains fins; Grains moyens; Rubané; Brèche intrusive	0,83
TLG-ZJ419-148	198	200	J4-C6	I2J; FIN; MOY; RUB; BRI	Diorite; Grains fins; Grains moyens; Rubané; Brèche intrusive	0,66
TLG-ZJ419-148	206	208	J4-C6	I2J; FIN; MOY; RUB; BRI	Diorite; Grains fins; Grains moyens; Rubané; Brèche intrusive	0,66
TLG-ZJ419-148	320	322	J4-C6	I2J; BRI; FIN	Diorite; Brèche intrusive; Grains fins	0,8
TLG-ZJ419-148	332	334	J4-C6	I2J; BRI; FIN	Diorite; Brèche intrusive; Grains fins	0,76
TLG-ZJ419-148	436	438	J4-C6	I2J; BRI; GRO; MAS	Diorite; Brèche intrusive; Grains grossiers; Roche massive	0,68
TLG-ZJ419-148	514	516	J4-C6	I2J; FIN; MOY; BRI	Diorite; Grains fins; Grains moyens; Brèche intrusive	0,71
TLG-ZJ419-149	176	178	J4-C6	I2J; FIN; MOY; BRI; POR	Diorite; Grains fins; Grains moyens; Brèche intrusive; Porphyrique	0,77
TLG-ZJ419-149	298	300	J4-C6	I2J; MOY; BRI	Diorite; Grains moyens; Brèche intrusive	0,79
TLG-ZJ419-149	304	306	J4-C6	I2J; MOY; BRI	Diorite; Grains moyens; Brèche intrusive	0,68
TLG-ZJ419-149	516	518	J4-C6	I2J; MAS; BRI; POR; FIN; MOY	Diorite; Roche massive; Brèche intrusive; Porphyrique; Grains fins; Grains moyens	0,77
TLG-ZJ419-150	81	83	J4-C6	I2J; BRI; MAG	Diorite; Brèche intrusive; Magnétique	0,75
TLG-ZJ419-150	239	241	J4-C6	I2J; FIN; LAM; BRI	Diorite; Grains fins; Laminations parallèles; Brèche intrusive	0,72
TLG-ZJ419-150	255	257	J4-C6	I2J; FIN; LAM; BRI	Diorite; Grains fins; Laminations parallèles; Brèche intrusive	0,77
TLG-ZJ419-150	283	285	J4-C6	I2J; FIN; LAM; BRI	Diorite; Grains fins; Laminations parallèles; Brèche intrusive	0,7
TLG-ZJ419-150	301	303	J4-C6	I2J; GRO; BRI; LAM	Diorite; Grains grossiers; Brèche intrusive; Laminations parallèles	0,68
TLG-ZJ419-150	319	321	J4-C6	I2J; GRO; BRI; LAM	Diorite; Grains grossiers; Brèche intrusive; Laminations parallèles	0,71
TLG-ZJ419-150	325	327	J4-C6	I2J; GRO; BRI; LAM	Diorite; Grains grossiers; Brèche intrusive; Laminations parallèles	0,72
TLG-ZJ419-150	365	367	J4-C6	I2J; FIN; LAM; BRI	Diorite; Grains fins; Laminations parallèles; Brèche intrusive	0,69
TLG-ZJ419-150	383	385	J4-C6	I2J; FIN; LAM; BRI	Diorite; Grains fins; Laminations parallèles; Brèche intrusive	0,81
TLG-ZJ419-150	395	397	J4-C6	I2J; FIN; LAM; BRI	Diorite; Grains fins; Laminations parallèles; Brèche intrusive	0,7
TLG-ZJ419-150	451	453	J4-C6	I2J; BRI; POR	Diorite; Brèche intrusive; Porphyrique	0,7
TLG-ZJ419-150	467	469	J4-C6	I2J; BRI; LAM	Diorite; Brèche intrusive; Laminations parallèles	0,71
TLG-ZJ419-150	527	529	J4-C6	I2J; BRI; LAM	Diorite; Brèche intrusive; Laminations parallèles	0,73
TLG-ZJ419-150	533	535	J4-C6	I2J; BRI; LAM	Diorite; Brèche intrusive; Laminations parallèles	0,67
TLG-ZJ419-150	535	537	J4-C6	I2J; BRI; LAM	Diorite; Brèche intrusive; Laminations parallèles	0,66
TLG-ZJ419-150	541	543	J4-C6	I2J; BRI; LAM	Diorite; Brèche intrusive; Laminations parallèles	0,79
TLG-ZJ419-150	543	545	J4-C6	I2J; BRI; LAM	Diorite; Brèche intrusive; Laminations parallèles	0,77
TLG-ZJ419-150	545	547	J4-C6	I2J; BRI; LAM	Diorite; Brèche intrusive; Laminations parallèles	0,74
TLG-ZJ419-157	251	253	J4-C6	I2J; FIN; LAM; MAG; BRI	Diorite; Grains fins; Laminations parallèles; Magnétique; Brèche intrusive	0,81
TLG-ZJ419-157	265	267	J4-C6	I2J; FIN; LAM; MAG; BRI	Diorite; Grains fins; Laminations parallèles; Magnétique; Brèche intrusive	0,79
TLG-ZJ419-157	311	313	J4-C6	I2J; FIN; LAM; MAG; BRI	Diorite; Grains fins; Laminations parallèles; Magnétique; Brèche intrusive	0,67
TLG-ZJ419-157	315	317	J4-C6	I2J; FIN; LAM; MAG; BRI	Diorite; Grains fins; Laminations parallèles; Magnétique; Brèche intrusive	0,77
TLG-ZJ419-157	339	341	J4-C6	I2J; LAM; FIN; BRI	Diorite; Laminations parallèles; Grains fins; Brèche intrusive	0,67
TLG-ZJ419-157	341	343	J4-C6	I2J; LAM; FIN; BRI	Diorite; Laminations parallèles; Grains fins; Brèche intrusive	0,67
TLG-ZJ419-157	345	347	J4-C6	I2J; LAM; FIN; BRI	Diorite; Laminations parallèles; Grains fins; Brèche intrusive	0,69
TLG-ZJ419-157	359	361	J4-C6	I2J; LAM; FIN; BRI	Diorite; Laminations parallèles; Grains fins; Brèche intrusive	0,85
TLG-ZJ419-158	82	84	J4-C6	I2J; MAG; LAM; BRI; POR	Diorite; Magnétique; Laminations parallèles; Brèche intrusive; Porphyrique	0,66
TLG-ZJ419-158	90	92	J4-C6	I2J; MAG; LAM; BRI; POR	Diorite; Magnétique; Laminations parallèles; Brèche intrusive; Porphyrique	0,67
TLG-ZJ419-158	126	128	J4-C6	I2J; MAG; LAM; BRI; POR	Diorite; Magnétique; Laminations parallèles; Brèche intrusive; Porphyrique	0,75
TLG-ZJ419-158	132	134	J4-C6	I2J; MAG; LAM; BRI; POR	Diorite; Magnétique; Laminations parallèles; Brèche intrusive; Porphyrique	0,85
TLG-ZJ419-158	138	140	J4-C6	I2J; MAG; LAM; BRI; POR	Diorite; Magnétique; Laminations parallèles; Brèche intrusive; Porphyrique	0,69
TLG-ZJ419-158	148	150	J4-C6	I2J; MAG; LAM; BRI; POR	Diorite; Magnétique; Laminations parallèles; Brèche intrusive; Porphyrique	0,83
TLG-ZJ419-158	150	152	J4-C6	I2J; MAG; LAM; BRI; POR	Diorite; Magnétique; Laminations parallèles; Brèche intrusive; Porphyrique	0,81
TLG-ZJ419-158	252	254	J4-C6	I2J; BRI; LAM	Diorite; Brèche intrusive; Laminations parallèles	0,74
TLG-ZJ419-158	254	256	J4-C6	I2J; BRI; LAM	Diorite; Brèche intrusive; Laminations parallèles	0,84
TLG-ZJ419-158	264	266	J4-C6	I2J; BRI; LAM	Diorite; Brèche intrusive; Laminations parallèles	0,75
TLG-ZJ419-158	274	276	J4-C6	I2J; BRI; LAM; POR	Diorite; Brèche intrusive; Laminations parallèles; Porphyrique	0,67

DDH ID	From	To	For Column	Rock Code	Title	S Final (%)
TLG-ZJ419-159	213	215	J4-C6	I2J; BRI; LAM; FIN	Diorite; Brèche intrusive; Laminations parallèles; Grains fins	0,8
TLG-ZJ419-159	217	219	J4-C6	I2J; BRI; LAM; FIN	Diorite; Brèche intrusive; Laminations parallèles; Grains fins	0,76
TLG-ZJ419-159	237	239	J4-C6	I2J; BRI; LAM; FIN	Diorite; Brèche intrusive; Laminations parallèles; Grains fins	0,75
TLG-ZJ419-159	239	241	J4-C6	I2J; BRI; LAM; FIN	Diorite; Brèche intrusive; Laminations parallèles; Grains fins	0,76
TLG-ZJ419-159	245	247	J4-C6	I2J; BRI; LAM; FIN	Diorite; Brèche intrusive; Laminations parallèles; Grains fins	0,69
TLG-ZJ419-159	253	255	J4-C6	I2J; BRI; LAM; FIN	Diorite; Brèche intrusive; Laminations parallèles; Grains fins	0,69
TLG-ZJ419-159	331	333	J4-C6	I2J; BRI; LAM; FIN	Diorite; Brèche intrusive; Laminations parallèles; Grains fins	0,79
TLG-ZJ419-159	339	341	J4-C6	I2J; BRI; LAM; FIN	Diorite; Brèche intrusive; Laminations parallèles; Grains fins	0,79
TLG-ZJ419-159	341	343	J4-C6	I2J; BRI; LAM; FIN	Diorite; Brèche intrusive; Laminations parallèles; Grains fins	0,82
TLG-ZJ419-162	255	257	J4-C6	I2J; FIN; POBPG; BRI	Diorite; Grains fins; Porphyroblaste de plagioclase; Brèche intrusive	0,73
TLG-ZJ419-162	257	259	J4-C6	I2J; FIN; POBPG; BRI	Diorite; Grains fins; Porphyroblaste de plagioclase; Brèche intrusive	0,68
TLG-ZJ419-162	259	261	J4-C6	I2J; FIN; POBPG; BRI	Diorite; Grains fins; Porphyroblaste de plagioclase; Brèche intrusive	0,69
TLG-ZJ419-162	273	275	J4-C6	I2J; FIN; POBPG; BRI	Diorite; Grains fins; Porphyroblaste de plagioclase; Brèche intrusive	0,79
TLG-ZJ419-162	275	277	J4-C6	I2J; FIN; POBPG; BRI	Diorite; Grains fins; Porphyroblaste de plagioclase; Brèche intrusive	0,78
TLG-ZJ419-162	285	287	J4-C6	I2J; FIN; POBPG; BRI	Diorite; Grains fins; Porphyroblaste de plagioclase; Brèche intrusive	0,84
TLG-ZJ419-162	293	295	J4-C6	I2J; FIN; POBPG; BRI	Diorite; Grains fins; Porphyroblaste de plagioclase; Brèche intrusive	0,78
TLG-ZJ419-162	305	307	J4-C6	I2J; FIN; POBPG; BRI	Diorite; Grains fins; Porphyroblaste de plagioclase; Brèche intrusive	0,73
TLG-ZJ419-162	359	361	J4-C6	I2J; FIN; GRO; MAS; BRI	Diorite; Grains fins; Grains grossiers; Roche massive; Brèche intrusive	0,69
TLG-ZJ419-162	365	367	J4-C6	I2J; FIN; GRO; MAS; BRI	Diorite; Grains fins; Grains grossiers; Roche massive; Brèche intrusive	0,84
TLG-ZJ419-162	391	393	J4-C6	I2J; FIN; GRO; MAS; BRI	Diorite; Grains fins; Grains grossiers; Roche massive; Brèche intrusive	0,79
TLG-ZJ419-162	401	403	J4-C6	I2J; FIN; GRO; MAS; BRI	Diorite; Grains fins; Grains grossiers; Roche massive; Brèche intrusive	0,76
TLG-ZJ419-162	423	425	J4-C6	I2J; FIN; MOY; BRI	Diorite; Grains fins; Grains moyens; Brèche intrusive	0,85
TLG-ZJ419-162	471	473	J4-C6	I2J; FIN; MOY; BRI	Diorite; Grains fins; Grains moyens; Brèche intrusive	0,79
TLG-ZJ419-162	481	483	J4-C6	I2J; FIN; MOY; BRI	Diorite; Grains fins; Grains moyens; Brèche intrusive	0,82
TLG-ZJ419-162	483	485	J4-C6	I2J; FIN; MOY; BRI	Diorite; Grains fins; Grains moyens; Brèche intrusive	0,82
TLG-ZJ419-162	515	517	J4-C6	I2J; BRI	Diorite; Brèche intrusive	0,67
TLG-ZJ419-163	71	73	J4-C6	I2J; BRI	Diorite; Brèche intrusive	0,82
TLG-ZJ419-163	239	241	J4-C6	I2J; BRI; FIN	Diorite; Brèche intrusive; Grains fins	0,82
TLG-ZJ419-163	245	247	J4-C6	I2J; BRI; FIN	Diorite; Brèche intrusive; Grains fins	0,8
TLG-ZJ419-163	253	255	J4-C6	I2J; BRI; FIN	Diorite; Brèche intrusive; Grains fins	0,69
TLG-ZJ419-163	255	257	J4-C6	I2J; BRI; FIN	Diorite; Brèche intrusive; Grains fins	0,73
TLG-ZJ419-163	265	267	J4-C6	I2J; BRI; FIN	Diorite; Brèche intrusive; Grains fins	0,68
TLG-ZJ419-163	269	271	J4-C6	I2J; BRI; FIN	Diorite; Brèche intrusive; Grains fins	0,66
TLG-ZJ419-163	277	279	J4-C6	I2J; BRI; FIN	Diorite; Brèche intrusive; Grains fins	0,66
TLG-ZJ419-163	279	281	J4-C6	I2J; BRI; FIN	Diorite; Brèche intrusive; Grains fins	0,76
TLG-ZJ419-163	285	287	J4-C6	I2J; BRI; FIN	Diorite; Brèche intrusive; Grains fins	0,84
TLG-ZJ419-163	289	291	J4-C6	I2J; BRI; FIN	Diorite; Brèche intrusive; Grains fins	0,77
TLG-ZJ419-163	359	361	J4-C6	I2J; POR; MOY; BRI	Diorite; Porphyrique; Grains moyens; Brèche intrusive	0,77
TLG-ZJ419-163	361	363	J4-C6	I2J; POR; MOY; BRI	Diorite; Porphyrique; Grains moyens; Brèche intrusive	0,79
TLG-ZJ419-163	365	367	J4-C6	I2J; POR; MOY; BRI	Diorite; Porphyrique; Grains moyens; Brèche intrusive	0,72
TLG-ZJ419-163	459	461	J4-C6	I2J; FIN; BRI; MAS	Diorite; Grains fins; Brèche intrusive; Roche massive	0,83
TLG-ZJ419-163	515	517	J4-C6	I2J; POR; BRI; FIN	Diorite; Porphyrique; Brèche intrusive; Grains fins	0,73
TLG-ZJ419-163	527	529	J4-C6	I2J; POR; BRI; FIN	Diorite; Porphyrique; Brèche intrusive; Grains fins	0,66
TLG-ZJ419-164	116	118	J4-C6	I2J; BRI; LAM; FIN	Diorite; Brèche intrusive; Laminations parallèles; Grains fins	0,78
TLG-ZJ419-164	188	190	J4-C6	I2J; FIN; LAM; BRI	Diorite; Grains fins; Laminations parallèles; Brèche intrusive	0,85
TLG-ZJ419-164	294	296	J4-C6	I2J; FIN; LAM; BRI	Diorite; Grains fins; Laminations parallèles; Brèche intrusive	0,71
TLG-ZJ419-164	298	300	J4-C6	I2J; FIN; LAM; BRI	Diorite; Grains fins; Laminations parallèles; Brèche intrusive	0,7
TLG-ZJ419-164	304	306	J4-C6	I2J; FIN; LAM; BRI	Diorite; Grains fins; Laminations parallèles; Brèche intrusive	0,76
TLG-ZJ419-164	308	310	J4-C6	I2J; FIN; LAM; BRI	Diorite; Grains fins; Laminations parallèles; Brèche intrusive	0,74
TLG-ZJ419-164	340	342	J4-C6	I2J; FIN; LAM; BRI	Diorite; Grains fins; Laminations parallèles; Brèche intrusive	0,68
TLG-ZJ419-164	378	380	J4-C6	I2J; FIN; LAM; BRI	Diorite; Grains fins; Laminations parallèles; Brèche intrusive	0,74
TLG-ZJ419-164	392	394	J4-C6	I2J; FIN; LAM; BRI	Diorite; Grains fins; Laminations parallèles; Brèche intrusive	0,69
TLG-ZJ419-164	398	400	J4-C6	I2J; FIN; LAM; BRI	Diorite; Grains fins; Laminations parallèles; Brèche intrusive	0,76
TLG-ZJ419-165	68	70	J4-C6	I2J; FIN; BRI; LAM	Diorite; Grains fins; Brèche intrusive; Laminations parallèles	0,74
TLG-ZJ419-165	358	360	J4-C6	I2J; BRI; FIN	Diorite; Brèche intrusive; Grains fins	0,73
TLG-ZJ419-165	376	378	J4-C6	I2J; BRI; FIN	Diorite; Brèche intrusive; Grains fins	0,67
TLG-ZJ419-165	484	486	J4-C6	I2J; BRI	Diorite; Brèche intrusive	0,79
TLG-ZJ419-166	85	87	J4-C6	I2J; FIN; MAS; LAM; RUB; BRI	Diorite; Grains fins; Roche massive; Laminations parallèles; Rubané; Brèche intrusive	0,75
TLG-ZJ419-166	107	109	J4-C6	I2J; FIN; MAS; LAM; RUB; BRI	Diorite; Grains fins; Roche massive; Laminations parallèles; Rubané; Brèche intrusive	0,82
TLG-ZJ419-166	485	487	J4-C6	I2J; LAM; FIN; BRI; POR	Diorite; Laminations parallèles; Grains fins; Brèche intrusive; Porphyrique	0,66
TLG-ZJ419-166	487	489	J4-C6	I2J; LAM; FIN; BRI; POR	Diorite; Laminations parallèles; Grains fins; Brèche intrusive; Porphyrique	0,69
TLG-ZJ419-166	489	491	J4-C6	I2J; LAM; FIN; BRI; POR	Diorite; Laminations parallèles; Grains fins; Brèche intrusive; Porphyrique	0,66
TLG-ZJ419-166	491	493	J4-C6	I2J; LAM; FIN; BRI; POR	Diorite; Laminations parallèles; Grains fins; Brèche intrusive; Porphyrique	0,84
TLG-ZJ419-167	77	79	J4-C6	I2J; BRI	Diorite; Brèche intrusive	0,66
TLG-ZJ419-167	491	493	J4-C6	I2J; BRI	Diorite; Brèche intrusive	0,74
TLG-ZJ419-167	493	495	J4-C6	I2J; BRI	Diorite; Brèche intrusive	0,73
TLG-ZJ419-167	499	501	J4-C6	I2J; BRI	Diorite; Brèche intrusive	0,82
TLG-ZJ419-169	90	92	J4-C6	I2J; FIN; LAM; RUB; BRI	Diorite; Grains fins; Laminations parallèles; Rubané; Brèche intrusive	0,73
TLG-ZJ419-169	300	302	J4-C6	I2J; FIN; POR; BRI	Diorite; Grains fins; Porphyrique; Brèche intrusive	0,84
TLG-ZJ20-221	251	252	J4-C6	I2J; BRI	Diorite; Brèche intrusive	0,73
TLG-ZJ20-221	254	255	J4-C6	I2J; BRI	Diorite; Brèche intrusive	0,67

DDH ID	From	To	For Column	Rock Code	Title	S Final (%)
TLG-ZJ20-221	255	256	J4-C6	I2J; BRI	Diorite; Brèche intrusive	0,75
TLG-ZJ21-225	395	396	J4-C6	I2J; BRI	Diorite; Brèche intrusive	0,79
TLG-ZJ21-225	402	403	J4-C6	I2J; BRI	Diorite; Brèche intrusive	0,71
TLG-ZJ21-225	403	404	J4-C6	I2J; BRI	Diorite; Brèche intrusive	0,76
TLG-ZJ21-225	404	405	J4-C6	I2J; BRI	Diorite; Brèche intrusive	0,84
TLG-ZJ21-225	416	417	J4-C6	I2J; BRI	Diorite; Brèche intrusive	0,66
TLG-ZJ21-225	423	424	J4-C6	I2J; BRI	Diorite; Brèche intrusive	0,79
TLG-ZJ21-225	427	428	J4-C6	I2J; BRI	Diorite; Brèche intrusive	0,68
TLG-ZJ21-225	433	434	J4-C6	I2J; BRI	Diorite; Brèche intrusive	0,7
TLG-ZJ21-225	514	515	J4-C6	I2J; BRI	Diorite; Brèche intrusive	0,67
TLG-ZJ21-225	516	517	J4-C6	I2J; BRI	Diorite; Brèche intrusive	0,73
TLG-ZJ21-225	517	518	J4-C6	I2J; BRI	Diorite; Brèche intrusive	0,82
TLG-ZJ21-226	221	222	J4-C6	I2J; BRI	Diorite; Brèche intrusive	0,69
TLG-ZJ21-226	222	223	J4-C6	I2J; BRI	Diorite; Brèche intrusive	0,66
TLG-ZJ21-240	197	198	J4-C6	I2J; BRI	Diorite; Brèche intrusive	0,8
TLG-ZJ21-240	239	240	J4-C6	I2J; BRI	Diorite; Brèche intrusive	0,73
TLG-ZJ21-240	244	245	J4-C6	I2J; BRI	Diorite; Brèche intrusive	0,67
TLG-ZJ21-240	486	487	J4-C6	I2J; BRI	Diorite; Brèche intrusive	0,81
TLG-ZJ21-246	64	65	J4-C6	I2J; BR	Diorite; Brèche/bréchiq	0,75
TLG-ZJ21-246	66	67	J4-C6	I2J; BR	Diorite; Brèche/bréchiq	0,68
TLG-ZJ21-249	144	145	J4-C6	I2J; BR	Diorite; Brèche/bréchiq	0,79
TLG-ZJ21-249	177	178	J4-C6	I2J; BR	Diorite; Brèche/bréchiq	0,69
TLG-ZJ21-249	191	192	J4-C6	I2J; BR	Diorite; Brèche/bréchiq	0,82
TLG-ZJ21-249	201	202	J4-C6	I2J; BR	Diorite; Brèche/bréchiq	0,77
TLG-ZJ21-249	210	211	J4-C6	I2J; BR	Diorite; Brèche/bréchiq	0,8
TLG-ZJ21-249	219	220	J4-C6	I2J; BR	Diorite; Brèche/bréchiq	0,71
TLG-ZJ21-249	236	237	J4-C6	I2J; BR	Diorite; Brèche/bréchiq	0,8
TLG-ZJ21-249	241	242	J4-C6	I2J; BR	Diorite; Brèche/bréchiq	0,84

DDH ID	From	To	For Column	Rock Code	Title	S Final (%)
TLG-ZJ419-149	50	52	J4-C7	V; APH; LAM	Volcanites indifférenciées; Aphanitique; Laminations parallèles	0,87
TLG-ZJ419-149	62	64	J4-C7	V; TX2; LAM	Volcanites indifférenciées; Tuf à cristaux intermédiaire; Laminations parallèles	0,92
TLG-ZJ419-149	72	74	J4-C7	V; TX2; LAM	Volcanites indifférenciées; Tuf à cristaux intermédiaire; Laminations parallèles	1,23
TLG-ZJ419-149	76	78	J4-C7	V; TX2; LAM	Volcanites indifférenciées; Tuf à cristaux intermédiaire; Laminations parallèles	0,71
TLG-ZJ419-149	78	80	J4-C7	V; TX2; LAM	Volcanites indifférenciées; Tuf à cristaux intermédiaire; Laminations parallèles	0,68
TLG-ZJ419-151	292	294	J4-C7	V; RUB; LAM	Volcanites indifférenciées; Rubané; Laminations parallèles	0,72
TLG-ZJ419-151	302	304	J4-C7	V; RUB; LAM	Volcanites indifférenciées; Rubané; Laminations parallèles	1,02
TLG-ZJ419-151	316	318	J4-C7	V; RUB; LAM	Volcanites indifférenciées; Rubané; Laminations parallèles	1,13
TLG-ZJ419-151	364	366	J4-C7	V; FIN; APH; LAM; RUB	Volcanites indifférenciées; Grains fins; Aphanitique; Laminations parallèles; Rubané	0,99
TLG-ZJ419-169	130	132	J4-C7	V; APH; BRC	Volcanites indifférenciées; Aphanitique; Brèche de coulée	0,69
TLG-ZJ419-169	192	194	J4-C7	V; FIN; LAM	Volcanites indifférenciées; Grains fins; Laminations parallèles	0,62
TLG-ZJ419-169	210	212	J4-C7	V; V1B	Volcanites indifférenciées; Rhyolite	0,77
TLG-ZJ419-172	484	486	J4-C7	V; LAM; I2J	Volcanites indifférenciées; Laminations parallèles; Diorite	1,21
TLG-ZJ419-172	504	506	J4-C7	V; LAM; I2J	Volcanites indifférenciées; Laminations parallèles; Diorite	0,67
TLG-ZJ419-172	506	508	J4-C7	V; LAM; I2J	Volcanites indifférenciées; Laminations parallèles; Diorite	0,85
TLG-ZJ20-223	103	104	J4-C7	V	Volcanites indifférenciées	1
TLG-ZJ20-223	105	106	J4-C7	V	Volcanites indifférenciées	0,68
TLG-ZJ20-223	106	107	J4-C7	V	Volcanites indifférenciées	1,68
TLG-ZJ20-223	107	108	J4-C7	V	Volcanites indifférenciées	1,54
TLG-ZJ21-225	45	46	J4-C7	V	Volcanites indifférenciées	0,64
TLG-ZJ21-226	31	32	J4-C7	V; RUB	Volcanites indifférenciées; Rubané	1,29
TLG-ZJ21-226	161	162	J4-C7	V	Volcanites indifférenciées	0,94
TLG-ZJ21-226	162	163,45	J4-C7	V	Volcanites indifférenciées	1,28
TLG-ZJ21-226	193	194	J4-C7	V	Volcanites indifférenciées	0,81
TLG-ZJ21-226	200	201	J4-C7	V	Volcanites indifférenciées	0,65
TLG-ZJ21-227	25	26	J4-C7	V; RUB	Volcanites indifférenciées; Rubané	0,84
TLG-ZJ21-227	26	27	J4-C7	V; RUB	Volcanites indifférenciées; Rubané	1,17
TLG-ZJ21-227	27	28	J4-C7	V; RUB	Volcanites indifférenciées; Rubané	1,06
TLG-ZJ21-227	29	30	J4-C7	V; RUB	Volcanites indifférenciées; Rubané	1,15
TLG-ZJ21-227	30	31	J4-C7	V; RUB	Volcanites indifférenciées; Rubané	0,83
TLG-ZJ21-227	31	32	J4-C7	V; RUB	Volcanites indifférenciées; Rubané	0,79
TLG-ZJ21-227	32	33	J4-C7	V; RUB	Volcanites indifférenciées; Rubané	0,95
TLG-ZJ21-227	33	34	J4-C7	V; RUB	Volcanites indifférenciées; Rubané	1,12
TLG-ZJ21-227	34	35	J4-C7	V; RUB	Volcanites indifférenciées; Rubané	0,66
TLG-ZJ21-227	52	53	J4-C7	V; RUB	Volcanites indifférenciées; Rubané	0,62
TLG-ZJ21-227	56	57	J4-C7	V; RUB	Volcanites indifférenciées; Rubané	0,63
TLG-ZJ21-227	59	60	J4-C7	V; RUB	Volcanites indifférenciées; Rubané	1,38
TLG-ZJ21-227	105	106	J4-C7	V	Volcanites indifférenciées	0,68
TLG-ZJ21-227	106	107	J4-C7	V	Volcanites indifférenciées	0,79
TLG-ZJ21-230	27,2	28	J4-C7	V	Volcanites indifférenciées	1,16
TLG-ZJ21-230	38	39	J4-C7	V	Volcanites indifférenciées	1,72
TLG-ZJ21-230	40	41	J4-C7	V	Volcanites indifférenciées	0,73
TLG-ZJ21-230	45	46	J4-C7	V	Volcanites indifférenciées	0,86
TLG-ZJ21-230	82,2	83	J4-C7	V	Volcanites indifférenciées	1,04
TLG-ZJ21-230	174	175	J4-C7	V	Volcanites indifférenciées	0,69
TLG-ZJ21-230	175	176	J4-C7	V	Volcanites indifférenciées	0,88
TLG-ZJ21-230	176	177	J4-C7	V	Volcanites indifférenciées	0,65
TLG-ZJ21-230	181	182	J4-C7	V	Volcanites indifférenciées	1,01
TLG-ZJ21-230	183	184	J4-C7	V	Volcanites indifférenciées	0,72
TLG-ZJ21-230	189	190	J4-C7	V	Volcanites indifférenciées	1,06
TLG-ZJ21-231	87	88	J4-C7	V	Volcanites indifférenciées	0,82
TLG-ZJ21-232	66	67	J4-C7	V	Volcanites indifférenciées	0,94
TLG-ZJ21-232	73	74	J4-C7	V	Volcanites indifférenciées	0,74
TLG-ZJ21-232	110	111	J4-C7	V	Volcanites indifférenciées	0,67
TLG-ZJ21-232	369	370	J4-C7	V	Volcanites indifférenciées	1,21
TLG-ZJ21-232	374	375	J4-C7	V	Volcanites indifférenciées	1,46
TLG-ZJ21-233	224,1	225	J4-C7	V	Volcanites indifférenciées	0,96
TLG-ZJ21-237	23	24	J4-C7	V	Volcanites indifférenciées	0,78
TLG-ZJ21-237	24	25	J4-C7	V	Volcanites indifférenciées	0,89
TLG-ZJ21-237	29	30	J4-C7	V	Volcanites indifférenciées	0,68
TLG-ZJ21-237	33	34	J4-C7	V	Volcanites indifférenciées	0,91
TLG-ZJ21-237	35	36	J4-C7	V	Volcanites indifférenciées	0,8
TLG-ZJ21-237	46	47	J4-C7	V	Volcanites indifférenciées	1,36
TLG-ZJ21-237	47	48	J4-C7	V	Volcanites indifférenciées	1,15
TLG-ZJ21-237	48	49	J4-C7	V	Volcanites indifférenciées	1,1
TLG-ZJ21-237	51	52	J4-C7	V	Volcanites indifférenciées	1,05
TLG-ZJ21-237	53	54	J4-C7	V	Volcanites indifférenciées	0,77
TLG-ZJ21-237	54	55	J4-C7	V	Volcanites indifférenciées	0,68

DDH ID	From	To	For Column	Rock Code	Title	S Final (%)
TLG-ZJ21-237	55	56	J4-C7	V	Volcanites indifférenciées	0,83
TLG-ZJ21-237	57	58	J4-C7	V	Volcanites indifférenciées	1,39
TLG-ZJ21-237	58	59	J4-C7	V	Volcanites indifférenciées	1,31
TLG-ZJ21-237	59	60	J4-C7	V	Volcanites indifférenciées	0,7
TLG-ZJ21-237	60	61	J4-C7	V	Volcanites indifférenciées	0,94
TLG-ZJ21-237	64	65	J4-C7	V	Volcanites indifférenciées	1,43
TLG-ZJ21-237	65	66	J4-C7	V	Volcanites indifférenciées	1,26
TLG-ZJ21-237	68	69	J4-C7	V	Volcanites indifférenciées	1,65
TLG-ZJ21-237	69	70	J4-C7	V	Volcanites indifférenciées	1,05
TLG-ZJ21-237	70	71	J4-C7	V	Volcanites indifférenciées	0,72
TLG-ZJ21-237	72	73	J4-C7	V	Volcanites indifférenciées	1,06
TLG-ZJ21-237	73	74	J4-C7	V	Volcanites indifférenciées	0,9
TLG-ZJ21-237	74	75	J4-C7	V	Volcanites indifférenciées	1,36
TLG-ZJ21-237	75	76	J4-C7	V	Volcanites indifférenciées	1,28
TLG-ZJ21-237	76	77	J4-C7	V	Volcanites indifférenciées	1,71
TLG-ZJ21-237	77	78	J4-C7	V	Volcanites indifférenciées	1,02
TLG-ZJ21-237	78	79	J4-C7	V	Volcanites indifférenciées	1,71
TLG-ZJ21-237	79	80	J4-C7	V	Volcanites indifférenciées	1,23
TLG-ZJ21-237	80	81	J4-C7	V	Volcanites indifférenciées	0,85
TLG-ZJ21-237	81	82	J4-C7	V	Volcanites indifférenciées	0,69
TLG-ZJ21-237	87	88	J4-C7	V	Volcanites indifférenciées	0,65
TLG-ZJ21-237	89	90	J4-C7	V	Volcanites indifférenciées	0,74
TLG-ZJ21-237	94	95	J4-C7	V	Volcanites indifférenciées	0,97
TLG-ZJ21-237	95	96	J4-C7	V	Volcanites indifférenciées	1,11
TLG-ZJ21-237	96	97	J4-C7	V	Volcanites indifférenciées	0,7
TLG-ZJ21-237	97	98	J4-C7	V	Volcanites indifférenciées	0,79
TLG-ZJ21-237	98	99	J4-C7	V	Volcanites indifférenciées	0,67
TLG-ZJ21-237	100	101	J4-C7	V	Volcanites indifférenciées	1,13
TLG-ZJ21-237	101	102	J4-C7	V	Volcanites indifférenciées	1,28
TLG-ZJ21-237	102	103	J4-C7	V	Volcanites indifférenciées	1,48
TLG-ZJ21-237	104	105	J4-C7	V	Volcanites indifférenciées	1,67
TLG-ZJ21-237	105	106	J4-C7	V	Volcanites indifférenciées	1,55
TLG-ZJ21-237	106	107	J4-C7	V	Volcanites indifférenciées	1,5
TLG-ZJ21-237	109	110	J4-C7	V	Volcanites indifférenciées	0,67
TLG-ZJ21-237	110	111	J4-C7	V	Volcanites indifférenciées	1,06
TLG-ZJ21-237	111	112	J4-C7	V	Volcanites indifférenciées	1,17
TLG-ZJ21-237	112	113	J4-C7	V	Volcanites indifférenciées	1,21
TLG-ZJ21-237	113	114	J4-C7	V	Volcanites indifférenciées	0,81
TLG-ZJ21-237	114	115	J4-C7	V	Volcanites indifférenciées	0,86
TLG-ZJ21-237	115	116	J4-C7	V	Volcanites indifférenciées	1,49
TLG-ZJ21-237	116	117	J4-C7	V	Volcanites indifférenciées	0,98
TLG-ZJ21-237	117	118	J4-C7	V	Volcanites indifférenciées	1,52
TLG-ZJ21-237	128	129	J4-C7	V	Volcanites indifférenciées	0,73
TLG-ZJ21-237	129	130	J4-C7	V	Volcanites indifférenciées	1,63
TLG-ZJ21-237	132	133	J4-C7	V	Volcanites indifférenciées	1,15
TLG-ZJ21-237	136	137	J4-C7	V	Volcanites indifférenciées	0,75
TLG-ZJ21-237	137	138	J4-C7	V	Volcanites indifférenciées	0,98
TLG-ZJ21-237	138	139	J4-C7	V	Volcanites indifférenciées	1,74
TLG-ZJ21-237	139	140	J4-C7	V	Volcanites indifférenciées	1,35
TLG-ZJ21-237	142	143	J4-C7	V	Volcanites indifférenciées	0,92
TLG-ZJ21-237	143	144	J4-C7	V	Volcanites indifférenciées	0,85
TLG-ZJ21-238	92	93	J4-C7	V; RUB	Volcanites indifférenciées; Rubané	0,71
TLG-ZJ21-238	108	109	J4-C7	V; RUB	Volcanites indifférenciées; Rubané	0,76
TLG-ZJ21-239	15	16	J4-C7	V; RUB	Volcanites indifférenciées; Rubané	0,67
TLG-ZJ21-239	20	21	J4-C7	V; RUB	Volcanites indifférenciées; Rubané	1,11
TLG-ZJ21-239	22	23	J4-C7	V; RUB	Volcanites indifférenciées; Rubané	1,55
TLG-ZJ21-239	23	24	J4-C7	V; RUB	Volcanites indifférenciées; Rubané	1,72
TLG-ZJ21-239	24	25	J4-C7	V; RUB	Volcanites indifférenciées; Rubané	1,03
TLG-ZJ21-239	25	26	J4-C7	V; RUB	Volcanites indifférenciées; Rubané	1,17
TLG-ZJ21-239	26	27	J4-C7	V; RUB	Volcanites indifférenciées; Rubané	0,81
TLG-ZJ21-239	27	28	J4-C7	V; RUB	Volcanites indifférenciées; Rubané	1,11
TLG-ZJ21-239	28	29	J4-C7	V; RUB	Volcanites indifférenciées; Rubané	1,17
TLG-ZJ21-239	29	30	J4-C7	V; RUB	Volcanites indifférenciées; Rubané	1,21
TLG-ZJ21-239	32	33	J4-C7	V; RUB	Volcanites indifférenciées; Rubané	0,91
TLG-ZJ21-239	33	34	J4-C7	V; RUB	Volcanites indifférenciées; Rubané	1,49
TLG-ZJ21-239	35	36	J4-C7	V; RUB	Volcanites indifférenciées; Rubané	1,4
TLG-ZJ21-239	38	39	J4-C7	V; RUB	Volcanites indifférenciées; Rubané	1,5
TLG-ZJ21-239	39	40	J4-C7	V; RUB	Volcanites indifférenciées; Rubané	1,77
TLG-ZJ21-239	40	41	J4-C7	V; RUB	Volcanites indifférenciées; Rubané	1,41
TLG-ZJ21-239	41	42	J4-C7	V; RUB	Volcanites indifférenciées; Rubané	0,82
TLG-ZJ21-239	42	43	J4-C7	V; RUB	Volcanites indifférenciées; Rubané	0,75
TLG-ZJ21-239	43	44	J4-C7	V; RUB	Volcanites indifférenciées; Rubané	1,68
TLG-ZJ21-239	46	47	J4-C7	V; RUB	Volcanites indifférenciées; Rubané	1,68

DDH ID	From	To	For Column	Rock Code	Title	S Final (%)
TLG-ZJ21-239	47	48	J4-C7	V; RUB	Volcanites indifférenciées; Rubané	1,44
TLG-ZJ21-239	48	49	J4-C7	V; RUB	Volcanites indifférenciées; Rubané	1,7
TLG-ZJ21-239	49	50	J4-C7	V; RUB	Volcanites indifférenciées; Rubané	1,38
TLG-ZJ21-239	51	52	J4-C7	V; RUB	Volcanites indifférenciées; Rubané	1,19
TLG-ZJ21-239	53	54	J4-C7	V; RUB	Volcanites indifférenciées; Rubané	1,34
TLG-ZJ21-239	54	55	J4-C7	V; RUB	Volcanites indifférenciées; Rubané	0,73
TLG-ZJ21-239	57	58	J4-C7	V; RUB	Volcanites indifférenciées; Rubané	0,91
TLG-ZJ21-239	58	59	J4-C7	V; RUB	Volcanites indifférenciées; Rubané	1,63
TLG-ZJ21-239	59	60	J4-C7	V; RUB	Volcanites indifférenciées; Rubané	1,24
TLG-ZJ21-239	60	61	J4-C7	V; RUB	Volcanites indifférenciées; Rubané	1,59
TLG-ZJ21-239	64	65	J4-C7	V; RUB	Volcanites indifférenciées; Rubané	1,7
TLG-ZJ21-239	66	67	J4-C7	V; RUB	Volcanites indifférenciées; Rubané	1,52
TLG-ZJ21-239	67	68	J4-C7	V; RUB	Volcanites indifférenciées; Rubané	1,31
TLG-ZJ21-239	68	69	J4-C7	V; RUB	Volcanites indifférenciées; Rubané	0,96
TLG-ZJ21-239	69	70	J4-C7	V; RUB	Volcanites indifférenciées; Rubané	1,19
TLG-ZJ21-239	70	71	J4-C7	V; RUB	Volcanites indifférenciées; Rubané	0,95
TLG-ZJ21-239	72	73	J4-C7	V; RUB	Volcanites indifférenciées; Rubané	0,76
TLG-ZJ21-239	73	74	J4-C7	V; RUB	Volcanites indifférenciées; Rubané	1,28
TLG-ZJ21-239	75	76	J4-C7	V; RUB	Volcanites indifférenciées; Rubané	1,71
TLG-ZJ21-239	81	82	J4-C7	V; RUB	Volcanites indifférenciées; Rubané	0,92
TLG-ZJ21-239	82	83	J4-C7	V; RUB	Volcanites indifférenciées; Rubané	0,81
TLG-ZJ21-239	83	84	J4-C7	V; RUB	Volcanites indifférenciées; Rubané	1,45
TLG-ZJ21-239	84	85	J4-C7	V; RUB	Volcanites indifférenciées; Rubané	1,23
TLG-ZJ21-239	85	86	J4-C7	V; RUB	Volcanites indifférenciées; Rubané	1,35
TLG-ZJ21-239	86	87	J4-C7	V; RUB	Volcanites indifférenciées; Rubané	1,35
TLG-ZJ21-239	88	89	J4-C7	V; RUB	Volcanites indifférenciées; Rubané	1,15
TLG-ZJ21-239	90	91	J4-C7	V; RUB	Volcanites indifférenciées; Rubané	1,48
TLG-ZJ21-239	99	100	J4-C7	V; RUB	Volcanites indifférenciées; Rubané	0,69
TLG-ZJ21-239	108	109	J4-C7	V; RUB	Volcanites indifférenciées; Rubané	1,76
TLG-ZJ21-239	109	110	J4-C7	V; RUB	Volcanites indifférenciées; Rubané	0,95
TLG-ZJ21-239	111	112	J4-C7	V; RUB	Volcanites indifférenciées; Rubané	1,01
TLG-ZJ21-239	132	133	J4-C7	V; RUB	Volcanites indifférenciées; Rubané	1,67
TLG-ZJ21-239	133	134	J4-C7	V; RUB	Volcanites indifférenciées; Rubané	1,7
TLG-ZJ21-239	170	171	J4-C7	V; FIN	Volcanites indifférenciées; Grains fins	0,76
TLG-ZJ21-239	235	236	J4-C7	V; FIN	Volcanites indifférenciées; Grains fins	1,27
TLG-ZJ21-239	236	237	J4-C7	V; FIN	Volcanites indifférenciées; Grains fins	1,41
TLG-ZJ21-239	237	238	J4-C7	V; FIN	Volcanites indifférenciées; Grains fins	0,92
TLG-ZJ21-240	47	48	J4-C7	V; RUB	Volcanites indifférenciées; Rubané	0,63
TLG-ZJ21-240	49	50	J4-C7	V; RUB	Volcanites indifférenciées; Rubané	0,62
TLG-ZJ21-240	67	68	J4-C7	V; RUB	Volcanites indifférenciées; Rubané	1,39
TLG-ZJ21-240	68	69	J4-C7	V; RUB	Volcanites indifférenciées; Rubané	1,75
TLG-ZJ21-240	69	70	J4-C7	V; RUB	Volcanites indifférenciées; Rubané	1,06
TLG-ZJ21-240	70	71	J4-C7	V; RUB	Volcanites indifférenciées; Rubané	0,64
TLG-ZJ21-240	71	72	J4-C7	V; RUB	Volcanites indifférenciées; Rubané	0,65
TLG-ZJ21-240	72	73	J4-C7	V; RUB	Volcanites indifférenciées; Rubané	0,98
TLG-ZJ21-240	73	74	J4-C7	V; RUB	Volcanites indifférenciées; Rubané	1,36
TLG-ZJ21-240	74	75	J4-C7	V; RUB	Volcanites indifférenciées; Rubané	1,3
TLG-ZJ21-240	76	77	J4-C7	V; RUB	Volcanites indifférenciées; Rubané	1,6
TLG-ZJ21-240	79	80	J4-C7	V; RUB	Volcanites indifférenciées; Rubané	1,47
TLG-ZJ21-240	86	87	J4-C7	V; RUB	Volcanites indifférenciées; Rubané	1,49
TLG-ZJ21-240	88	89	J4-C7	V; FIN	Volcanites indifférenciées; Grains fins	1,52
TLG-ZJ21-240	90	91	J4-C7	V; FIN	Volcanites indifférenciées; Grains fins	1,78
TLG-ZJ21-240	91	92	J4-C7	V; FIN	Volcanites indifférenciées; Grains fins	1,53
TLG-ZJ21-240	92	93	J4-C7	V; FIN	Volcanites indifférenciées; Grains fins	1,19
TLG-ZJ21-240	93	94	J4-C7	V; FIN	Volcanites indifférenciées; Grains fins	1,76
TLG-ZJ21-240	94	95	J4-C7	V; FIN	Volcanites indifférenciées; Grains fins	1,73
TLG-ZJ21-240	97	98	J4-C7	V; FIN	Volcanites indifférenciées; Grains fins	1,46
TLG-ZJ21-240	102	103	J4-C7	V; FIN	Volcanites indifférenciées; Grains fins	1,38
TLG-ZJ21-240	105	106	J4-C7	V; FIN	Volcanites indifférenciées; Grains fins	1,51
TLG-ZJ21-240	111	112	J4-C7	V; FIN	Volcanites indifférenciées; Grains fins	1,54
TLG-ZJ21-240	112	113	J4-C7	V; FIN	Volcanites indifférenciées; Grains fins	1,21
TLG-ZJ21-240	113	114	J4-C7	V; FIN	Volcanites indifférenciées; Grains fins	1,47
TLG-ZJ21-240	122	123	J4-C7	V; FIN	Volcanites indifférenciées; Grains fins	0,85
TLG-ZJ21-240	123	124	J4-C7	V; FIN	Volcanites indifférenciées; Grains fins	0,62
TLG-ZJ21-240	124	125	J4-C7	V; FIN	Volcanites indifférenciées; Grains fins	1,42
TLG-ZJ21-240	125	126	J4-C7	V; FIN	Volcanites indifférenciées; Grains fins	0,78
TLG-ZJ21-240	132	133	J4-C7	V; FIN	Volcanites indifférenciées; Grains fins	0,94
TLG-ZJ21-240	134	135	J4-C7	V; FIN	Volcanites indifférenciées; Grains fins	0,8
TLG-ZJ21-240	135	136	J4-C7	V; FIN	Volcanites indifférenciées; Grains fins	0,7
TLG-ZJ21-240	137	138	J4-C7	V; FIN	Volcanites indifférenciées; Grains fins	1,11
TLG-ZJ21-240	169	170	J4-C7	V	Volcanites indifférenciées	1,4
TLG-ZJ21-240	171	172	J4-C7	V	Volcanites indifférenciées	1,25
TLG-ZJ21-240	175	176	J4-C7	V	Volcanites indifférenciées	1,07

DDH ID	From	To	For Column	Rock Code	Title	S Final (%)
TLG-ZJ21-240	176	177	J4-C7	V	Volcanites indifférenciées	1,07
TLG-ZJ21-240	179	180	J4-C7	V	Volcanites indifférenciées	0,62
TLG-ZJ21-240	180	181	J4-C7	V	Volcanites indifférenciées	1,1
TLG-ZJ21-240	181	182	J4-C7	V	Volcanites indifférenciées	0,7
TLG-ZJ21-240	182	183	J4-C7	V	Volcanites indifférenciées	0,96
TLG-ZJ21-240	184	185	J4-C7	V	Volcanites indifférenciées	0,62
TLG-ZJ21-240	188	189	J4-C7	V	Volcanites indifférenciées	0,81
TLG-ZJ21-240	189	190	J4-C7	V	Volcanites indifférenciées	0,63
TLG-ZJ21-240	191	192	J4-C7	V	Volcanites indifférenciées	0,67
TLG-ZJ21-241	49	50	J4-C7	V; RUB	Volcanites indifférenciées; Rubané	0,79
TLG-ZJ21-241	50	51	J4-C7	V; RUB	Volcanites indifférenciées; Rubané	1,35
TLG-ZJ21-241	52	53	J4-C7	V; RUB	Volcanites indifférenciées; Rubané	0,8
TLG-ZJ21-241	56	57	J4-C7	V; RUB	Volcanites indifférenciées; Rubané	0,63
TLG-ZJ21-241	59	60	J4-C7	V; RUB	Volcanites indifférenciées; Rubané	1,14
TLG-ZJ21-241	60	61	J4-C7	V; RUB	Volcanites indifférenciées; Rubané	0,96
TLG-ZJ21-241	69	70	J4-C7	V; RUB	Volcanites indifférenciées; Rubané	1,57
TLG-ZJ21-241	70	71	J4-C7	V; RUB	Volcanites indifférenciées; Rubané	1,49
TLG-ZJ21-241	72	73	J4-C7	V; RUB	Volcanites indifférenciées; Rubané	1,4
TLG-ZJ21-241	73	74	J4-C7	V; RUB	Volcanites indifférenciées; Rubané	0,87
TLG-ZJ21-241	111	112	J4-C7	V	Volcanites indifférenciées	1,28
TLG-ZJ21-241	112	113	J4-C7	V	Volcanites indifférenciées	0,79
TLG-ZJ21-241	142	143	J4-C7	V	Volcanites indifférenciées	0,97
TLG-ZJ21-241	148	149	J4-C7	V	Volcanites indifférenciées	0,69
TLG-ZJ21-242	19	20	J4-C7	V; RUB	Volcanites indifférenciées; Rubané	0,72
TLG-ZJ21-242	22	23	J4-C7	V; RUB	Volcanites indifférenciées; Rubané	0,83
TLG-ZJ21-242	23	24	J4-C7	V; RUB	Volcanites indifférenciées; Rubané	1,08
TLG-ZJ21-242	24	25	J4-C7	V; RUB	Volcanites indifférenciées; Rubané	0,64
TLG-ZJ21-242	30	31	J4-C7	V; RUB	Volcanites indifférenciées; Rubané	0,75
TLG-ZJ21-242	31	32	J4-C7	V; RUB	Volcanites indifférenciées; Rubané	0,71
TLG-ZJ21-242	34	35	J4-C7	V; RUB	Volcanites indifférenciées; Rubané	0,68
TLG-ZJ21-242	37	38	J4-C7	V; RUB	Volcanites indifférenciées; Rubané	0,68
TLG-ZJ21-242	39	40	J4-C7	V; RUB	Volcanites indifférenciées; Rubané	0,89
TLG-ZJ21-242	43	44	J4-C7	V; RUB	Volcanites indifférenciées; Rubané	1,2
TLG-ZJ21-242	44	45	J4-C7	V; RUB	Volcanites indifférenciées; Rubané	0,63
TLG-ZJ21-242	49	50	J4-C7	V; RUB	Volcanites indifférenciées; Rubané	0,7
TLG-ZJ21-242	50	51	J4-C7	V; RUB	Volcanites indifférenciées; Rubané	1,22
TLG-ZJ21-242	51	52	J4-C7	V; RUB	Volcanites indifférenciées; Rubané	1,64
TLG-ZJ21-242	53	54	J4-C7	V; RUB	Volcanites indifférenciées; Rubané	0,71
TLG-ZJ21-242	63	64	J4-C7	V; RUB	Volcanites indifférenciées; Rubané	1,34
TLG-ZJ21-242	64	65	J4-C7	V; RUB	Volcanites indifférenciées; Rubané	1,54
TLG-ZJ21-242	68	69	J4-C7	V; RUB	Volcanites indifférenciées; Rubané	1,75
TLG-ZJ21-242	69	70	J4-C7	V; RUB	Volcanites indifférenciées; Rubané	1,03
TLG-ZJ21-242	70	71	J4-C7	V; RUB	Volcanites indifférenciées; Rubané	0,64
TLG-ZJ21-242	71	72	J4-C7	V; RUB	Volcanites indifférenciées; Rubané	1,05
TLG-ZJ21-242	73	74	J4-C7	V; RUB	Volcanites indifférenciées; Rubané	0,75
TLG-ZJ21-242	74	75	J4-C7	V; RUB	Volcanites indifférenciées; Rubané	1,75
TLG-ZJ21-242	75	76	J4-C7	V; RUB	Volcanites indifférenciées; Rubané	1,34
TLG-ZJ21-242	86	87	J4-C7	V; RUB	Volcanites indifférenciées; Rubané	1,76
TLG-ZJ21-242	87	88	J4-C7	V; RUB	Volcanites indifférenciées; Rubané	1,47
TLG-ZJ21-242	88	89	J4-C7	V; RUB	Volcanites indifférenciées; Rubané	1,25
TLG-ZJ21-242	90	91	J4-C7	V; RUB	Volcanites indifférenciées; Rubané	1,63
TLG-ZJ21-242	100	101	J4-C7	V; RUB	Volcanites indifférenciées; Rubané	1,76
TLG-ZJ21-242	110	111	J4-C7	V; RUB	Volcanites indifférenciées; Rubané	1,48
TLG-ZJ21-242	111	112	J4-C7	V; RUB	Volcanites indifférenciées; Rubané	1,76
TLG-ZJ21-242	121	122	J4-C7	V; RUB	Volcanites indifférenciées; Rubané	1,79
TLG-ZJ21-242	125	126	J4-C7	V; RUB	Volcanites indifférenciées; Rubané	1,59
TLG-ZJ21-242	126	127	J4-C7	V; RUB	Volcanites indifférenciées; Rubané	1,01
TLG-ZJ21-242	128	129	J4-C7	V; RUB	Volcanites indifférenciées; Rubané	1,31
TLG-ZJ21-253-GT	70	71	J4-C7	V; RUB	Volcanites indifférenciées; Rubané	0,66
TLG-ZJ21-253-GT	87	88	J4-C7	V; RUB	Volcanites indifférenciées; Rubané	0,77
TLG-ZJ21-253-GT	88	89	J4-C7	V; RUB	Volcanites indifférenciées; Rubané	0,81
TLG-ZJ21-253-GT	89	90	J4-C7	V; RUB	Volcanites indifférenciées; Rubané	1,62
TLG-ZJ21-253-GT	90	91	J4-C7	V; RUB	Volcanites indifférenciées; Rubané	1,76
TLG-ZJ21-253-GT	91	92	J4-C7	V; RUB	Volcanites indifférenciées; Rubané	0,74
TLG-ZJ21-253-GT	92	93	J4-C7	V; RUB	Volcanites indifférenciées; Rubané	1,25
TLG-ZJ21-253-GT	93	94	J4-C7	V; RUB	Volcanites indifférenciées; Rubané	0,88
TLG-ZJ21-253-GT	95	96	J4-C7	V; RUB	Volcanites indifférenciées; Rubané	1,45
TLG-ZJ21-253-GT	97	98	J4-C7	V; RUB	Volcanites indifférenciées; Rubané	0,93
TLG-ZJ21-253-GT	98	99	J4-C7	V; RUB	Volcanites indifférenciées; Rubané	0,79
TLG-ZJ21-253-GT	99	100	J4-C7	V; RUB	Volcanites indifférenciées; Rubané	1,32
TLG-ZJ21-253-GT	100	101	J4-C7	V; RUB	Volcanites indifférenciées; Rubané	0,83
TLG-ZJ21-253-GT	103	104	J4-C7	V; RUB	Volcanites indifférenciées; Rubané	0,65
TLG-ZJ21-253-GT	104	105	J4-C7	V; RUB	Volcanites indifférenciées; Rubané	1,15

DDH ID	From	To	For Column	Rock Code	Title	S Final (%)
TLG-ZJ21-253-GT	105	106	J4-C7	V; RUB	Volcanites indifférenciées; Rubané	1,62
TLG-ZJ21-253-GT	106	107	J4-C7	V; RUB	Volcanites indifférenciées; Rubané	1,44
TLG-ZJ21-253-GT	110	111	J4-C7	V; RUB	Volcanites indifférenciées; Rubané	1,58
TLG-ZJ21-253-GT	111	112	J4-C7	V; RUB	Volcanites indifférenciées; Rubané	1,72
TLG-ZJ21-253-GT	112	113	J4-C7	V; RUB	Volcanites indifférenciées; Rubané	1,27
TLG-ZJ21-253-GT	114	115	J4-C7	V; RUB	Volcanites indifférenciées; Rubané	1,21
TLG-ZJ21-253-GT	120	121	J4-C7	V; RUB	Volcanites indifférenciées; Rubané	0,96

DDH ID	From	To	For Column	Rock Code	Title	S Final (%)
TLG-ZJ418-051	127	128	J4-C8	I1G; GRO	Pegmatite; Grains grossiers	0,46
TLG-ZJ418-051	131	132	J4-C8	I1G; GRO	Pegmatite; Grains grossiers	0,33
TLG-ZJ418-052	141	142	J4-C8	I1G	Pegmatite	0,5
TLG-ZJ418-054	26	27,1	J4-C8	I1G	Pegmatite	0,3
TLG-ZJ418-055	53	54	J4-C8	I1B; PG	Granite 10°; Pegmatitique	0,48
TLG-ZJ418-056	6	6,7	J4-C8	I1G	Pegmatite	0,5
TLG-ZJ418-057	57,55	58,65	J4-C8	I1; POR	Intrusif felsique 63°; Porphyrique	0,39
TLG-ZJ418-057	147	148	J4-C8	I1B; PG; I2J	Granite 10°; Pegmatitique; Diorite	0,58
TLG-ZJ418-057	271,95	273	J4-C8	I1; POR	Intrusif felsique 80°; Porphyrique	0,34
TLG-ZJ418-058	23,8	24,8	J4-C8	I1; POR; I2J	Intrusif felsique 55°; Porphyrique; Diorite	0,39
TLG-ZJ418-058	30,79	32	J4-C8	I1; POR	Intrusif felsique 65°; Porphyrique	0,34
TLG-ZJ418-058	34	35	J4-C8	I1; POR	Intrusif felsique 65°; Porphyrique	0,31
TLG-ZJ418-058	35	36,16	J4-C8	I1; POR	Intrusif felsique 65°; Porphyrique	0,54
TLG-ZJ418-058	219,6	220,88	J4-C8	I1B; PG	Granite 20°; Pegmatitique	0,53
TLG-ZJ418-058	373	374	J4-C8	I1; POR; POB	Intrusif felsique 75°; Porphyrique; Porphyroblastique	0,45
TLG-ZJ418-058	374	375	J4-C8	I1; POR; POB	Intrusif felsique 75°; Porphyrique; Porphyroblastique	0,57
TLG-ZJ418-058	375	376	J4-C8	I1; POR; POB	Intrusif felsique 75°; Porphyrique; Porphyroblastique	0,6
TLG-ZJ418-058	376	377	J4-C8	I1; POR; POB	Intrusif felsique 75°; Porphyrique; Porphyroblastique	0,45
TLG-ZJ418-059	10,4	11	J4-C8	I1; POR	Intrusif felsique 60°; Porphyrique	0,83
TLG-ZJ418-059	15	16	J4-C8	I1; POR	Intrusif felsique 60°; Porphyrique	0,71
TLG-ZJ418-059	16	17	J4-C8	I1; POR	Intrusif felsique 60°; Porphyrique	0,59
TLG-ZJ418-059	17	18,45	J4-C8	I1; POR	Intrusif felsique 60°; Porphyrique	0,53
TLG-ZJ418-059	23,5	24,5	J4-C8	I1; POR	Intrusif felsique 55°; Porphyrique	0,4
TLG-ZJ418-059	24,5	25,5	J4-C8	I1; POR	Intrusif felsique 55°; Porphyrique	0,36
TLG-ZJ418-059	25,5	26,5	J4-C8	I1; POR	Intrusif felsique 55°; Porphyrique	0,44
TLG-ZJ418-059	27,5	28,5	J4-C8	I1; POR	Intrusif felsique 55°; Porphyrique	0,41
TLG-ZJ418-059	28,5	29,5	J4-C8	I1; POR	Intrusif felsique 55°; Porphyrique	0,74
TLG-ZJ418-059	29,5	30,5	J4-C8	I1; POR	Intrusif felsique 55°; Porphyrique	0,75
TLG-ZJ418-059	30,5	31,5	J4-C8	I1; POR	Intrusif felsique 55°; Porphyrique	0,8
TLG-ZJ418-059	31,5	32,5	J4-C8	I1; POR	Intrusif felsique 55°; Porphyrique	0,69
TLG-ZJ418-059	33,5	34,5	J4-C8	I1; POR	Intrusif felsique 55°; Porphyrique	0,4
TLG-ZJ418-059	34,5	35,5	J4-C8	I1; POR	Intrusif felsique 55°; Porphyrique	0,39
TLG-ZJ418-059	35,5	36,5	J4-C8	I1; POR	Intrusif felsique 55°; Porphyrique	0,54
TLG-ZJ418-059	36,5	37,5	J4-C8	I1; POR	Intrusif felsique 55°; Porphyrique	0,35
TLG-ZJ418-059	37,5	38,5	J4-C8	I1; POR	Intrusif felsique 55°; Porphyrique	0,57
TLG-ZJ418-059	38,5	39,5	J4-C8	I1; POR	Intrusif felsique 55°; Porphyrique	0,38
TLG-ZJ418-059	39,5	40,5	J4-C8	I1; POR	Intrusif felsique 55°; Porphyrique	0,46
TLG-ZJ418-059	40,5	41,47	J4-C8	I1; POR	Intrusif felsique 55°; Porphyrique	0,38
TLG-ZJ418-059	114	115	J4-C8	I1B; PG	Granite; Pegmatitique	0,3
TLG-ZJ418-059	270,63	271,5	J4-C8	I1; POR	Intrusif felsique 70°; Porphyrique	0,4
TLG-ZJ418-059	271,5	272,26	J4-C8	I1; POR	Intrusif felsique 70°; Porphyrique	0,42
TLG-ZJ418-060	226	227	J4-C8	I1G	Pegmatite 25°	0,32
TLG-ZJ418-060	340	341	J4-C8	I1G; I1	Pegmatite; Intrusif felsique	0,8
TLG-ZJ418-060	342	343	J4-C8	I1G; I1	Pegmatite; Intrusif felsique	0,92
TLG-ZJ418-060	345	346	J4-C8	I1G; I1	Pegmatite; Intrusif felsique	0,78
TLG-ZJ418-060	346	347	J4-C8	I1G; I1	Pegmatite; Intrusif felsique	0,49
TLG-ZJ418-060	350	351	J4-C8	I1G; I1	Pegmatite; Intrusif felsique	0,38
TLG-ZJ418-061	146	147	J4-C8	I1G	Pegmatite	0,62
TLG-ZJ418-062	65	66	J4-C8	I1G	Pegmatite	0,42
TLG-ZJ418-062	66	67	J4-C8	I1G	Pegmatite	0,32
TLG-ZJ418-062	109	110	J4-C8	I1G	Pegmatite	0,3
TLG-ZJ418-062	110	111	J4-C8	I1G	Pegmatite	0,54
TLG-ZJ418-062	111	112	J4-C8	I1G	Pegmatite	0,74
TLG-ZJ418-063	31,7	33	J4-C8	I1	Intrusif felsique	0,83
TLG-ZJ418-063	33	34	J4-C8	I1	Intrusif felsique	0,76
TLG-ZJ418-063	34	35	J4-C8	I1	Intrusif felsique	0,64
TLG-ZJ418-063	35	36	J4-C8	I1	Intrusif felsique	0,51
TLG-ZJ418-063	37	38	J4-C8	I1	Intrusif felsique	0,64
TLG-ZJ418-063	42	43	J4-C8	I1	Intrusif felsique	0,52
TLG-ZJ418-063	43	44	J4-C8	I1	Intrusif felsique	0,52
TLG-ZJ418-063	45	46	J4-C8	I1	Intrusif felsique	0,63
TLG-ZJ418-063	47	48	J4-C8	I1	Intrusif felsique	0,4
TLG-ZJ418-063	48	49	J4-C8	I1	Intrusif felsique	0,46
TLG-ZJ418-063	49	50	J4-C8	I1	Intrusif felsique	0,57
TLG-ZJ418-064	309,88	311,26	J4-C8	I1; POR	Intrusif felsique 75°; Porphyrique	0,9
TLG-ZJ418-064	312,57	314,01	J4-C8	I1; POR	Intrusif felsique 85°; Porphyrique	0,57
TLG-ZJ418-064	332	333	J4-C8	I1; POR	Intrusif felsique 85°; Porphyrique	0,61
TLG-ZJ418-065	245,17	246	J4-C8	I1; POR	Intrusif felsique 70°; Porphyrique	0,3
TLG-ZJ418-065	338	339	J4-C8	I1; POR	Intrusif felsique; Porphyrique	0,4
TLG-ZJ418-065	339	340	J4-C8	I1; POR	Intrusif felsique; Porphyrique	0,52
TLG-ZJ418-065	340	341	J4-C8	I1; POR	Intrusif felsique; Porphyrique	0,59
TLG-ZJ418-066	85	86,72	J4-C8	I1; POR	Intrusif felsique 50°; Porphyrique	0,45
TLG-ZJ418-066	149,38	150,4	J4-C8	I1; POR	Intrusif felsique 70°; Porphyrique	0,55

DDH ID	From	To	For Column	Rock Code	Title	S Final (%)
TLG-ZJ418-066	317,88	318,94	J4-C8	I1; POR	Intrusif felsique 70°; Porphyrique	0,5
TLG-ZJ418-067	147	148,1	J4-C8	I1; POR	Intrusif felsique 60°; Porphyrique	0,66
TLG-ZJ418-067	251,4	252,1	J4-C8	I1; POR	Intrusif felsique 80°; Porphyrique	0,54
TLG-ZJ418-067	253,92	255	J4-C8	I1; POR	Intrusif felsique 80°; Porphyrique	0,37
TLG-ZJ418-067	280,57	281,71	J4-C8	I1; POR	Intrusif felsique 75°; Porphyrique	0,37
TLG-ZJ418-068	125,11	126	J4-C8	I1; POR; I2J	Intrusif felsique 70°; Porphyrique; Diorite	0,88
TLG-ZJ418-068	126	127	J4-C8	I1; POR; I2J	Intrusif felsique 70°; Porphyrique; Diorite	0,39
TLG-ZJ418-068	127	127,84	J4-C8	I1; POR; I2J	Intrusif felsique 70°; Porphyrique; Diorite	0,3
TLG-ZJ418-068	154	155	J4-C8	I1; POR	Intrusif felsique 70°; Porphyrique	0,65
TLG-ZJ418-068	155	156	J4-C8	I1; POR	Intrusif felsique 70°; Porphyrique	0,38
TLG-ZJ418-068	156	157	J4-C8	I1; POR	Intrusif felsique 70°; Porphyrique	0,6
TLG-ZJ418-068	157	158	J4-C8	I1; POR	Intrusif felsique 70°; Porphyrique	0,54
TLG-ZJ418-068	158	159	J4-C8	I1; POR	Intrusif felsique 70°; Porphyrique	0,3
TLG-ZJ418-068	159	159,7	J4-C8	I1; POR	Intrusif felsique 70°; Porphyrique	0,4
TLG-ZJ418-068	159,7	160,5	J4-C8	I1; POR	Intrusif felsique 70°; Porphyrique	0,33
TLG-ZJ418-068	187	188	J4-C8	I1; POR	Intrusif felsique 55°; Porphyrique	0,41
TLG-ZJ418-068	188	189	J4-C8	I1; POR	Intrusif felsique 55°; Porphyrique	0,56
TLG-ZJ418-068	192	193	J4-C8	I1; POR	Intrusif felsique 55°; Porphyrique	0,46
TLG-ZJ418-068	193	194	J4-C8	I1; POR	Intrusif felsique 55°; Porphyrique	0,32
TLG-ZJ418-068	194	195	J4-C8	I1; POR	Intrusif felsique 55°; Porphyrique	0,31
TLG-ZJ418-068	284,39	285,5	J4-C8	I1; POR	Intrusif felsique 70°; Porphyrique	0,53
TLG-ZJ418-069	125	126,66	J4-C8	I1; POR	Intrusif felsique; Porphyrique	0,65
TLG-ZJ418-069	132	133	J4-C8	I1; POR	Intrusif felsique 65°; Porphyrique	0,36
TLG-ZJ418-069	134	135	J4-C8	I1; POR	Intrusif felsique 65°; Porphyrique	0,33
TLG-ZJ418-069	135	136	J4-C8	I1; POR	Intrusif felsique 65°; Porphyrique	0,43
TLG-ZJ418-069	136	137	J4-C8	I1; POR	Intrusif felsique 65°; Porphyrique	0,32
TLG-ZJ418-069	137	138	J4-C8	I1; POR	Intrusif felsique 65°; Porphyrique	0,44
TLG-ZJ418-069	139	140	J4-C8	I1; POR	Intrusif felsique 65°; Porphyrique	0,37
TLG-ZJ418-069	150	150,73	J4-C8	I1; POR	Intrusif felsique 65°; Porphyrique	0,31
TLG-ZJ418-070	47	48	J4-C8	I1; POR	Intrusif felsique 65°; Porphyrique	0,46
TLG-ZJ418-070	94,84	96	J4-C8	I1; POR	Intrusif felsique 70°; Porphyrique	0,83
TLG-ZJ418-070	149	150	J4-C8	I1; POR	Intrusif felsique 65°; Porphyrique	0,37
TLG-ZJ418-070	152	153	J4-C8	I1; POR	Intrusif felsique 65°; Porphyrique	0,34
TLG-ZJ418-074	217	218	J4-C8	I1B; GRO	Granite 10°; Grains grossiers	0,62
TLG-ZJ418-076	63	64	J4-C8	I1B; GRO	Granite 65°; Grains grossiers	0,88
TLG-ZJ418-076	69	70	J4-C8	I1B; GRO	Granite 65°; Grains grossiers	0,87
TLG-ZJ418-076	418	420	J4-C8	I1G	Pegmatite	0,3
TLG-ZJ418-076	420	422	J4-C8	I1G	Pegmatite	0,53
TLG-ZJ418-077	204	206	J4-C8	I1; FIN; APH	Intrusif felsique; Grains fins; Aphanitique	0,92
TLG-ZJ418-079	131,9	132,5	J4-C8	I1G	Pegmatite	0,32
TLG-ZJ418-079	190	191	J4-C8	I1; POR	Intrusif felsique; Porphyrique	0,53
TLG-ZJ418-079	191	192	J4-C8	I1; POR	Intrusif felsique; Porphyrique	0,84
TLG-ZJ418-079	192	193	J4-C8	I1; POR	Intrusif felsique; Porphyrique	0,61
TLG-ZJ418-079	193	194	J4-C8	I1; POR	Intrusif felsique; Porphyrique	0,6
TLG-ZJ418-079	194	195	J4-C8	I1; POR	Intrusif felsique; Porphyrique	0,42
TLG-ZJ418-079	195	196	J4-C8	I1; POR	Intrusif felsique; Porphyrique	0,6
TLG-ZJ418-079	196	197	J4-C8	I1; POR	Intrusif felsique; Porphyrique	0,85
TLG-ZJ418-079	197	198	J4-C8	I1; POR	Intrusif felsique; Porphyrique	0,45
TLG-ZJ418-079	198	199	J4-C8	I1; POR	Intrusif felsique; Porphyrique	0,62
TLG-ZJ418-079	202	203	J4-C8	I1; POR	Intrusif felsique; Porphyrique	0,77
TLG-ZJ418-080	140	141	J4-C8	I1G	Pegmatite	0,55
TLG-ZJ418-081	126,3	127	J4-C8	I1G	Pegmatite	0,34
TLG-ZJ418-081	127	128	J4-C8	I1G	Pegmatite	0,45
TLG-ZJ419-094	39	40	J4-C8	I1	Intrusif felsique 50°	0,48
TLG-ZJ419-094	40	41	J4-C8	I1	Intrusif felsique 50°	0,61
TLG-ZJ419-094	191	192	J4-C8	I1B	Granite	0,49
TLG-ZJ419-094	398	399	J4-C8	I1B	Granite 5°	0,55
TLG-ZJ419-094	400	401	J4-C8	I1B	Granite 5°	0,51
TLG-ZJ419-096	127,3	129	J4-C8	I1	Intrusif felsique 50°	0,7
TLG-ZJ419-096	480	482	J4-C8	I1G; I1B; MAS	Pegmatite; Granite; Roche massive	0,72
TLG-ZJ419-096	540	542	J4-C8	I1D; PG	Tonalite; Pegmatitique	0,4
TLG-ZJ419-098	182	183	J4-C8	I1	Intrusif felsique 80°	0,33
TLG-ZJ419-098	185	186	J4-C8	I1	Intrusif felsique 80°	0,39
TLG-ZJ419-099	411	412	J4-C8	I1G	Pegmatite	0,31
TLG-ZJ419-100	334	336	J4-C8	I1; BRI; ZBRI; I2J; BRI	Intrusif felsique; Brèche intrusive; Zébrée; Diorite; Brèche intrusive	0,85
TLG-ZJ419-100	336	338	J4-C8	I1; BRI; ZBRI; I2J; BRI	Intrusif felsique; Brèche intrusive; Zébrée; Diorite; Brèche intrusive	0,68
TLG-ZJ419-100	374	376	J4-C8	I1G; I1B	Pegmatite; Granite	0,46
TLG-ZJ419-100	406	408	J4-C8	I1; FIN; BRI	Intrusif felsique; Grains fins; Brèche intrusive	0,47
TLG-ZJ419-102	324	326	J4-C8	I1	Intrusif felsique	0,32
TLG-ZJ419-104	32	33	J4-C8	I1	Intrusif felsique 60°	0,77
TLG-ZJ419-104	33	34	J4-C8	I1	Intrusif felsique 60°	0,77
TLG-ZJ419-104	34	35	J4-C8	I1	Intrusif felsique 60°	0,88
TLG-ZJ419-104	60	61	J4-C8	I1	Intrusif felsique 50°	0,41

DDH ID	From	To	For Column	Rock Code	Title	S Final (%)
TLG-ZJ419-104	68	69	J4-C8	I1	Intrusif felsique 50°	0,84
TLG-ZJ419-105	84	85	J4-C8	I1	Intrusif felsique 40°	0,43
TLG-ZJ419-105	88	89	J4-C8	I1	Intrusif felsique 40°	0,43
TLG-ZJ419-105	92	93	J4-C8	I1	Intrusif felsique 40°	0,52
TLG-ZJ419-105	124	125	J4-C8	I1	Intrusif felsique 50°	0,35
TLG-ZJ419-107	167	169	J4-C8	I1; ZBRI; LAM; FIN	Intrusif felsique; Zébrée; Laminations parallèles; Grains fins	0,9
TLG-ZJ419-107	473	475	J4-C8	I1; LAM; ZBRI	Intrusif felsique; Laminations parallèles; Zébrée	0,53
TLG-ZJ419-107	485	487	J4-C8	I1; LAM; ZBRI	Intrusif felsique; Laminations parallèles; Zébrée	0,39
TLG-ZJ419-107	487	489	J4-C8	I1; LAM; ZBRI	Intrusif felsique; Laminations parallèles; Zébrée	0,42
TLG-ZJ419-108	34	36	J4-C8	I1; LAM; POR; ZBRI	Intrusif felsique; Laminations parallèles; Porphyrique; Zébrée	0,37
TLG-ZJ419-108	36	38	J4-C8	I1; LAM; POR; ZBRI	Intrusif felsique; Laminations parallèles; Porphyrique; Zébrée	0,48
TLG-ZJ419-109	198	200	J4-C8	I1; V1B; POR	Intrusif felsique; Rhyolite; Porphyrique	0,32
TLG-ZJ419-110	292	294	J4-C8	I1; POR	Intrusif felsique; Porphyrique	0,33
TLG-ZJ419-110	568	570	J4-C8	I1B; GRO	Granite; Grains grossiers	0,8
TLG-ZJ419-110	570	572	J4-C8	I1B; GRO	Granite; Grains grossiers	0,42
TLG-ZJ419-110	574	576	J4-C8	I1B; GRO	Granite; Grains grossiers	0,57
TLG-ZJ419-110	576	578	J4-C8	I1B; GRO	Granite; Grains grossiers	0,61
TLG-ZJ419-110	578	580	J4-C8	I1B; GRO	Granite; Grains grossiers	0,41
TLG-ZJ419-111	219	221	J4-C8	I1; LAM	Intrusif felsique; Laminations parallèles	0,31
TLG-ZJ419-111	237	239	J4-C8	I1C	Granodiorite	0,4
TLG-ZJ419-111	251	253	J4-C8	I1	Intrusif felsique	0,34
TLG-ZJ419-111	263	265	J4-C8	I1C; GRO	Granodiorite; Grains grossiers	0,37
TLG-ZJ419-112	186	188	J4-C8	I1C; I2J; MOY; MAS	Granodiorite; Diorite; Grains moyens; Roche massive	0,44
TLG-ZJ419-112	190	192	J4-C8	I1C; I2J; MOY; MAS	Granodiorite; Diorite; Grains moyens; Roche massive	0,34
TLG-ZJ419-149	272	274	J4-C8	I1; QFP; POR	Intrusif felsique; QFP; Porphyrique	0,73
TLG-ZJ419-149	606	608	J4-C8	I1G; I1B; MAS	Pegmatite; Granite; Roche massive	0,8
TLG-ZJ419-149	608	610	J4-C8	I1G; I1B; MAS	Pegmatite; Granite; Roche massive	0,44
TLG-ZJ419-150	459	461	J4-C8	I1B	Granite	0,85
TLG-ZJ419-150	463	465	J4-C8	I1B	Granite	0,46
TLG-ZJ419-151	236	238	J4-C8	I1; QFP; POR; MAS	Intrusif felsique; QFP; Porphyrique; Roche massive	0,3
TLG-ZJ419-151	246	248	J4-C8	I1; QFP; POR; MAS	Intrusif felsique; QFP; Porphyrique; Roche massive	0,43
TLG-ZJ419-151	262	264	J4-C8	I1; QFP; POR; MAS	Intrusif felsique; QFP; Porphyrique; Roche massive	0,4
TLG-ZJ419-151	264	266	J4-C8	I1; QFP; POR; MAS	Intrusif felsique; QFP; Porphyrique; Roche massive	0,34
TLG-ZJ419-151	266	268	J4-C8	I1; QFP; POR; MAS	Intrusif felsique; QFP; Porphyrique; Roche massive	0,37
TLG-ZJ419-152	217	219	J4-C8	I1; ZBRI; LAM	Intrusif felsique; Zébrée; Laminations parallèles	0,35
TLG-ZJ419-152	265	267	J4-C8	I1C; POR; LAM; MOY	Granodiorite; Porphyrique; Laminations parallèles; Grains moyens	0,72
TLG-ZJ419-152	279	281	J4-C8	I1C; LAM; MOY	Granodiorite; Laminations parallèles; Grains moyens	0,81
TLG-ZJ419-152	295	297	J4-C8	I1; LAM; ZBRI; POR	Intrusif felsique; Laminations parallèles; Zébrée; Porphyrique	0,65
TLG-ZJ419-152	311	313	J4-C8	I1; LAM; POR	Intrusif felsique; Laminations parallèles; Porphyrique	0,36
TLG-ZJ419-153	136	138	J4-C8	I1	Intrusif felsique	0,51
TLG-ZJ419-153	230	232	J4-C8	I1; POR	Intrusif felsique; Porphyrique	0,75
TLG-ZJ419-153	344	346	J4-C8	I1; POR	Intrusif felsique; Porphyrique	0,5
TLG-ZJ419-153	416	418	J4-C8	I1; POR	Intrusif felsique; Porphyrique	0,82
TLG-ZJ419-153	424	426	J4-C8	I1; POR	Intrusif felsique; Porphyrique	0,38
TLG-ZJ419-157	199	201	J4-C8	I1C; MOY; MAG; LAM	Granodiorite; Grains moyens; Magnétique; Laminations parallèles	0,46
TLG-ZJ419-157	201	203	J4-C8	I1C; MOY; MAG; LAM	Granodiorite; Grains moyens; Magnétique; Laminations parallèles	0,31
TLG-ZJ419-158	40	42	J4-C8	I1C; GRO; POR; LAM	Granodiorite; Grains grossiers; Porphyrique; Laminations parallèles	0,79
TLG-ZJ419-158	74	76	J4-C8	I1C; GRO; LAM; POR; MAG	Granodiorite; Grains grossiers; Laminations parallèles; Porphyrique; Magnétique	0,59
TLG-ZJ419-158	76	78	J4-C8	I1C; GRO; LAM; POR; MAG	Granodiorite; Grains grossiers; Laminations parallèles; Porphyrique; Magnétique	0,37
TLG-ZJ419-158	78	80	J4-C8	I1C; GRO; LAM; POR; MAG	Granodiorite; Grains grossiers; Laminations parallèles; Porphyrique; Magnétique	0,74
TLG-ZJ419-158	268	270	J4-C8	I1G; MAS; GRO	Pegmatite; Roche massive; Grains grossiers	0,48
TLG-ZJ419-158	286	288	J4-C8	I1G; GRO; MAS	Pegmatite; Grains grossiers; Roche massive	0,35
TLG-ZJ419-159	73	75	J4-C8	I1; LAM; POR	Intrusif felsique; Laminations parallèles; Porphyrique	0,7
TLG-ZJ419-159	75	77	J4-C8	I1; LAM; POR	Intrusif felsique; Laminations parallèles; Porphyrique	0,69
TLG-ZJ419-159	77	79	J4-C8	I1; LAM; POR	Intrusif felsique; Laminations parallèles; Porphyrique	0,73
TLG-ZJ419-159	79	81	J4-C8	I1; LAM; POR	Intrusif felsique; Laminations parallèles; Porphyrique	0,52
TLG-ZJ419-160	241	243	J4-C8	I1B; MAS	Granite; Roche massive	0,7
TLG-ZJ419-160	251	253	J4-C8	I1B; MAS	Granite; Roche massive	0,64
TLG-ZJ419-160	331	333	J4-C8	I1; POR	Intrusif felsique; Porphyrique	0,44
TLG-ZJ419-161	170	172	J4-C8	I1; QFP; POR	Intrusif felsique; QFP; Porphyrique	0,45
TLG-ZJ419-161	172	174	J4-C8	I1; QFP; POR	Intrusif felsique; QFP; Porphyrique	0,39
TLG-ZJ419-161	174	176	J4-C8	I1; QFP; POR	Intrusif felsique; QFP; Porphyrique	0,3
TLG-ZJ419-161	198	200	J4-C8	I1B; I1G; MAS	Granite; Pegmatite; Roche massive	0,3
TLG-ZJ419-161	368	370	J4-C8	I1; QFP	Intrusif felsique; QFP	0,39
TLG-ZJ419-162	151	153	J4-C8	I1; FIN	Intrusif felsique; Grains fins	0,36
TLG-ZJ419-162	159	161	J4-C8	I1; FIN	Intrusif felsique; Grains fins	0,81
TLG-ZJ419-165	250	252	J4-C8	I1; POR	Intrusif felsique; Porphyrique	0,52
TLG-ZJ419-165	270	272	J4-C8	I1; POR	Intrusif felsique; Porphyrique	0,3
TLG-ZJ419-165	274	276	J4-C8	I1; POR	Intrusif felsique; Porphyrique	0,38
TLG-ZJ419-165	302	304	J4-C8	I1; POR; QFP	Intrusif felsique; Porphyrique; QFP	0,36

DDH ID	From	To	For Column	Rock Code	Title	S Final (%)
TLG-ZJ419-166	185	187	J4-C8	I1; POR; QFP	Intrusif felsique; Porphyrique; QFP	0,59
TLG-ZJ419-167	239	241	J4-C8	I1C; FIN	Granodiorite; Grains fins	0,41
TLG-ZJ419-167	241	243	J4-C8	I1C; FIN	Granodiorite; Grains fins	0,45
TLG-ZJ419-168	335	337	J4-C8	I1; POR; QFP	Intrusif felsique; Porphyrique; QFP	0,61
TLG-ZJ419-168	337	339	J4-C8	I1; POR; QFP	Intrusif felsique; Porphyrique; QFP	0,41
TLG-ZJ419-168	495	497	J4-C8	I1G; I1B; MAS	Pegmatite; Granite; Roche massive	0,34
TLG-ZJ419-168	519	521	J4-C8	I1B; I1G; MAS	Granite; Pegmatite; Roche massive	0,36
TLG-ZJ419-169	362	364	J4-C8	I1; MOY; POR; ZBRI	Intrusif felsique; Grains moyens; Porphyrique; Zébrée	0,42
TLG-ZJ419-169	366	368	J4-C8	I1; MOY; POR; ZBRI	Intrusif felsique; Grains moyens; Porphyrique; Zébrée	0,4
TLG-ZJ419-169	368	370	J4-C8	I1; MOY; POR; ZBRI	Intrusif felsique; Grains moyens; Porphyrique; Zébrée	0,32
TLG-ZJ419-169	370	372	J4-C8	I1; MOY; POR; ZBRI	Intrusif felsique; Grains moyens; Porphyrique; Zébrée	0,36
TLG-ZJ419-170	362	364	J4-C8	I1; MOY	Intrusif felsique; Grains moyens	0,41
TLG-ZJ419-170	386	388	J4-C8	I1; MOY; V1B	Intrusif felsique; Grains moyens; Rhyolite	0,3
TLG-ZJ20-221	77,6	78,6	J4-C8	I1; POR	Intrusif felsique; Porphyrique	0,39
TLG-ZJ20-221	78,6	79,8	J4-C8	I1; POR	Intrusif felsique; Porphyrique	0,3
TLG-ZJ20-222	385	386	J4-C8	I1G	Pegmatite	0,63
TLG-ZJ20-222	388	389	J4-C8	I1G	Pegmatite	0,43
TLG-ZJ20-222	395	396	J4-C8	I1G	Pegmatite	0,3
TLG-ZJ20-222	398	399	J4-C8	I1G	Pegmatite	0,48
TLG-ZJ20-222	423	424	J4-C8	I1G	Pegmatite	0,42
TLG-ZJ20-222	433	434	J4-C8	I1G	Pegmatite	0,64
TLG-ZJ20-222	434	435	J4-C8	I1G	Pegmatite	0,63
TLG-ZJ20-222	435	436	J4-C8	I1G	Pegmatite	0,7
TLG-ZJ20-222	436	437	J4-C8	I1G	Pegmatite	0,65
TLG-ZJ20-222	457	458	J4-C8	I1G	Pegmatite	0,72
TLG-ZJ20-222	463	464	J4-C8	I1G	Pegmatite	0,47
TLG-ZJ20-222	464	465	J4-C8	I1G	Pegmatite	0,6
TLG-ZJ20-222	465	466	J4-C8	I1G	Pegmatite	0,62
TLG-ZJ20-222	466	467	J4-C8	I1G	Pegmatite	0,85
TLG-ZJ20-222	467	468	J4-C8	I1G	Pegmatite	0,82
TLG-ZJ20-222	468	469	J4-C8	I1G	Pegmatite	0,37
TLG-ZJ20-222	469	470	J4-C8	I1G	Pegmatite	0,63
TLG-ZJ20-222	470	471	J4-C8	I1G	Pegmatite	0,33
TLG-ZJ20-222	474	475	J4-C8	I1G	Pegmatite	0,44
TLG-ZJ20-222	476	477	J4-C8	I1G	Pegmatite	0,59
TLG-ZJ20-222	477	478	J4-C8	I1G	Pegmatite	0,37
TLG-ZJ20-224	139	140	J4-C8	I1; FIN; POR	Intrusif felsique; Grains fins; Porphyrique	0,36
TLG-ZJ20-224	140	141	J4-C8	I1; FIN; POR	Intrusif felsique; Grains fins; Porphyrique	0,39
TLG-ZJ21-236	223,6	224	J4-C8	I1G	Pegmatite	0,57
TLG-ZJ21-236	224	225	J4-C8	I1G	Pegmatite	0,42
TLG-ZJ21-236	225	226	J4-C8	I1G	Pegmatite	0,78
TLG-ZJ21-236	226	227	J4-C8	I1G	Pegmatite	0,34
TLG-ZJ21-236	227	228	J4-C8	I1G	Pegmatite	0,38
TLG-ZJ21-236	228	229	J4-C8	I1G	Pegmatite	0,55
TLG-ZJ21-236	230	231	J4-C8	I1G	Pegmatite	0,86
TLG-ZJ21-236	231	232	J4-C8	I1G	Pegmatite	0,46
TLG-ZJ21-236	233	234	J4-C8	I1G	Pegmatite	0,39
TLG-ZJ21-236	247	248	J4-C8	I1G	Pegmatite	0,38
TLG-ZJ21-236	266	267	J4-C8	I1G	Pegmatite	0,31
TLG-ZJ21-238	383	384	J4-C8	I1	Intrusif felsique	0,65
TLG-ZJ21-239	360	361	J4-C8	I1	Intrusif felsique	0,3
TLG-ZJ21-239	361	362	J4-C8	I1	Intrusif felsique	0,31
TLG-ZJ21-239	362	363	J4-C8	I1	Intrusif felsique	0,51
TLG-ZJ21-239	364	365	J4-C8	I1	Intrusif felsique	0,35
TLG-ZJ21-239	365	366	J4-C8	I1	Intrusif felsique	0,34
TLG-ZJ21-239	367	368	J4-C8	I1	Intrusif felsique	0,5
TLG-ZJ21-239	369	370	J4-C8	I1	Intrusif felsique	0,33
TLG-ZJ21-239	370	371	J4-C8	I1	Intrusif felsique	0,34
TLG-ZJ21-239	374	375	J4-C8	I1	Intrusif felsique	0,48
TLG-ZJ21-239	375	376	J4-C8	I1	Intrusif felsique	0,82
TLG-ZJ21-239	378	379	J4-C8	I1	Intrusif felsique	0,64
TLG-ZJ21-239	411	412	J4-C8	I1	Intrusif felsique	0,32
TLG-ZJ21-239	416	417	J4-C8	I1	Intrusif felsique	0,92
TLG-ZJ21-239	447	448	J4-C8	I1	Intrusif felsique	0,35
TLG-ZJ21-239	453	454	J4-C8	I1	Intrusif felsique	0,39
TLG-ZJ21-239	454	455	J4-C8	I1	Intrusif felsique	0,52
TLG-ZJ21-239	457	458	J4-C8	I1	Intrusif felsique	0,39
TLG-ZJ21-239	480	481	J4-C8	I1	Intrusif felsique	0,38
TLG-ZJ21-240	257	258	J4-C8	I1G	Pegmatite	0,36
TLG-ZJ21-246	106	107	J4-C8	I1G	Pegmatite	0,38
TLG-ZJ21-246	136	137	J4-C8	I1G	Pegmatite	0,35
TLG-ZJ21-246	203	204	J4-C8	I1G	Pegmatite	0,34
TLG-ZJ21-249	35	36	J4-C8	I1G	Pegmatite	0,58

DDH ID	From	To	For Column	Rock Code	Title	S Final (%)
TLG-ZJ418-051	19	20	J4-C9	I2J; MAS; FIN	Diorite 50°; Roche massive; Grains fins	1,44
TLG-ZJ418-052	116	117	J4-C9	I2J; LAM; MAS	Diorite 50°; Laminations parallèles; Roche massive	1,55
TLG-ZJ418-053	53	54	J4-C9	I2J; LAM; BRI	Diorite 70°; Laminations parallèles; Brèche intrusive	1,45
TLG-ZJ418-054	155	156	J4-C9	I2J; LAM; FIN	Diorite 75°; Laminations parallèles; Grains fins	1,52
TLG-ZJ418-054	157	158	J4-C9	I2J; LAM; FIN	Diorite 75°; Laminations parallèles; Grains fins	1,54
TLG-ZJ418-054	158	159	J4-C9	I2J; LAM; FIN	Diorite 75°; Laminations parallèles; Grains fins	1,45
TLG-ZJ418-057	19	20	J4-C9	I2J; POR	Diorite 50°; Porphyrique	1,44
TLG-ZJ418-057	156	157	J4-C9	I2J	Diorite 65°	1,6
TLG-ZJ418-057	197	198	J4-C9	I2J	Diorite 65°	1,55
TLG-ZJ418-057	199	200	J4-C9	I2J	Diorite 65°	1,46
TLG-ZJ418-057	220	221	J4-C9	I2J	Diorite 65°	1,41
TLG-ZJ418-057	221	222	J4-C9	I2J	Diorite 65°	1,49
TLG-ZJ418-058	44	45	J4-C9	I2J	Diorite 67°	1,43
TLG-ZJ418-058	66	67	J4-C9	I2J	Diorite 60°	1,44
TLG-ZJ418-058	78	79	J4-C9	I2J	Diorite 60°	1,58
TLG-ZJ418-058	80	81	J4-C9	I2J	Diorite 60°	1,51
TLG-ZJ418-058	82	83	J4-C9	I2J	Diorite 60°	1,45
TLG-ZJ418-058	204	205	J4-C9	I2J	Diorite 60°	1,4
TLG-ZJ418-058	207	208	J4-C9	I2J	Diorite 60°	1,55
TLG-ZJ418-058	208	209	J4-C9	I2J	Diorite 60°	1,49
TLG-ZJ418-058	247	248	J4-C9	I2J	Diorite 60°	1,41
TLG-ZJ418-058	255	256	J4-C9	I2J	Diorite 60°	1,46
TLG-ZJ418-058	264	265	J4-C9	I2J	Diorite 60°	1,42
TLG-ZJ418-058	269,75	271	J4-C9	I2J	Diorite 77°	1,48
TLG-ZJ418-058	272	273	J4-C9	I2J	Diorite 77°	1,51
TLG-ZJ418-059	179	180	J4-C9	I2J	Diorite 70°	1,49
TLG-ZJ418-059	195,28	196	J4-C9	I2J	Diorite 65°	1,44
TLG-ZJ418-060	44	45	J4-C9	I2J; BRI	Diorite 50°; Brèche intrusive	1,49
TLG-ZJ418-060	53	54	J4-C9	I2J	Diorite 50°	1,42
TLG-ZJ418-060	59	60	J4-C9	I2J	Diorite 50°	1,6
TLG-ZJ418-060	62	63	J4-C9	I2J	Diorite 50°	1,5
TLG-ZJ418-060	120	121	J4-C9	I2J; MAS; FIN	Diorite; Roche massive; Grains fins	1,44
TLG-ZJ418-060	187	188	J4-C9	I2J; MAS	Diorite 45°; Roche massive	1,54
TLG-ZJ418-060	248	249	J4-C9	I2J; MAS; BRI	Diorite 65°; Roche massive; Brèche intrusive	1,48
TLG-ZJ418-060	259	260	J4-C9	I2J; MAS; BRI	Diorite 65°; Roche massive; Brèche intrusive	1,59
TLG-ZJ418-060	299	300	J4-C9	I2J; BRI	Diorite 80°; Brèche intrusive	1,47
TLG-ZJ418-061	26	27	J4-C9	I2J; POR	Diorite 55°; Porphyrique	1,58
TLG-ZJ418-061	34	35	J4-C9	I2J; POR	Diorite 55°; Porphyrique	1,41
TLG-ZJ418-061	69	70	J4-C9	I2J; POR	Diorite; Porphyrique	1,51
TLG-ZJ418-061	237	238	J4-C9	I2J; POR	Diorite; Porphyrique	1,56
TLG-ZJ418-061	238	239	J4-C9	I2J; POR	Diorite; Porphyrique	1,49
TLG-ZJ418-062	179	180	J4-C9	I2J; POR	Diorite; Porphyrique	1,51
TLG-ZJ418-062	183	184	J4-C9	I2J; POR	Diorite; Porphyrique	1,4
TLG-ZJ418-062	192	193	J4-C9	I2J; POR	Diorite; Porphyrique	1,42
TLG-ZJ418-063	64	65	J4-C9	I2J; BRI	Diorite; Brèche intrusive	1,58
TLG-ZJ418-063	185	186	J4-C9	I2J; I2J; MAS; LAM	Diorite; Diorite; Roche massive; Laminations parallèles	1,42
TLG-ZJ418-063	220	221	J4-C9	I2J; I2J; MAS; LAM	Diorite; Diorite; Roche massive; Laminations parallèles	1,5
TLG-ZJ418-064	78	79	J4-C9	I2J; POR	Diorite 70°; Porphyrique	1,45
TLG-ZJ418-064	271	272	J4-C9	I2J	Diorite 60°	1,54
TLG-ZJ418-064	276	277	J4-C9	I2J	Diorite 70°	1,42
TLG-ZJ418-064	281	282	J4-C9	I2J	Diorite 70°	1,42
TLG-ZJ418-065	32	33	J4-C9	I2J; BRC; SPH	Diorite 70°; Brèche de coulée; Sphérolitique	1,46
TLG-ZJ418-065	304	305	J4-C9	I2J	Diorite 80°	1,57
TLG-ZJ418-067	289	290	J4-C9	I2J	Diorite 65°	1,41
TLG-ZJ418-068	259	260	J4-C9	I2J	Diorite 55°	1,51
TLG-ZJ418-068	273	274	J4-C9	I2J	Diorite 55°	1,44
TLG-ZJ418-069	160	161	J4-C9	I2J; BRI	Diorite 80°; Brèche intrusive	1,46
TLG-ZJ418-069	238	239	J4-C9	I2J	Diorite 55°	1,41
TLG-ZJ418-069	279	280	J4-C9	I2J	Diorite 65°	1,53
TLG-ZJ418-070	199	200	J4-C9	I2J	Diorite 60°	1,47
TLG-ZJ418-070	222	222,87	J4-C9	I2J	Diorite 65°	1,57
TLG-ZJ418-071	223	224	J4-C9	I2J; MOY	Diorite 60°; Grains moyens	1,47
TLG-ZJ418-071	250	251	J4-C9	I2J; MOY	Diorite 60°; Grains moyens	1,4
TLG-ZJ418-072	241	242	J4-C9	I2J; BRI	Diorite 70°; Brèche intrusive	1,47
TLG-ZJ418-072	285	286	J4-C9	I2J; BRI	Diorite 70°; Brèche intrusive	1,58
TLG-ZJ418-072	302	303	J4-C9	I2J; BRI	Diorite 70°; Brèche intrusive	1,44
TLG-ZJ418-074	44	45	J4-C9	I2J; POR; SPH	Diorite 68°; Porphyrique; Sphérolitique	1,49
TLG-ZJ418-074	111	112	J4-C9	I2J	Diorite 65°	1,43
TLG-ZJ418-074	145	146	J4-C9	I2J; POR	Diorite 50°; Porphyrique	1,41
TLG-ZJ418-074	147	148	J4-C9	I2J; POR	Diorite 50°; Porphyrique	1,55
TLG-ZJ418-074	227	228	J4-C9	I2J	Diorite 70°	1,56
TLG-ZJ418-074	235	236	J4-C9	I2J; BRI	Diorite; Brèche intrusive	1,4
TLG-ZJ418-074	239	240	J4-C9	I2J; BRI	Diorite; Brèche intrusive	1,5

DDH ID	From	To	For Column	Rock Code	Title	S Final (%)
TLG-ZJ418-074	243	244	J4-C9	I2J; BRI	Diorite; Brèche intrusive	1,54
TLG-ZJ418-074	275	276	J4-C9	I2J; BRI	Diorite; Brèche intrusive	1,5
TLG-ZJ418-074	290	291	J4-C9	I2J; POR	Diorite; Porphyrique	1,51
TLG-ZJ418-075	70	71	J4-C9	I2J; POR; BRC	Diorite 60°; Porphyrique; Brèche de coulée	1,57
TLG-ZJ418-075	80	81	J4-C9	I2J; POR; BRC	Diorite 60°; Porphyrique; Brèche de coulée	1,56
TLG-ZJ418-075	94	95	J4-C9	I2J; POR; BRC	Diorite 60°; Porphyrique; Brèche de coulée	1,47
TLG-ZJ418-075	126	127	J4-C9	I2J; POR; BRC	Diorite 60°; Porphyrique; Brèche de coulée	1,58
TLG-ZJ418-075	128	129	J4-C9	I2J; POR; BRC	Diorite 60°; Porphyrique; Brèche de coulée	1,42
TLG-ZJ418-075	202	203	J4-C9	I2J; POR; BRC	Diorite 60°; Porphyrique; Brèche de coulée	1,55
TLG-ZJ418-075	213	214	J4-C9	I2J; POR; BRC	Diorite 60°; Porphyrique; Brèche de coulée	1,54
TLG-ZJ418-075	298	299	J4-C9	I2J; POR; BRC	Diorite 60°; Porphyrique; Brèche de coulée	1,41
TLG-ZJ418-075	301	302	J4-C9	I2J; POR; BRC	Diorite 60°; Porphyrique; Brèche de coulée	1,54
TLG-ZJ418-075	325	327	J4-C9	I2J; BRI; LAM; FIN; MOY; MAG	Diorite; Brèche intrusive; Laminations parallèles; Grains fins; Grains moyens; Magnétique	1,57
TLG-ZJ418-075	371	373	J4-C9	I2J; BRI; LAM; MOY; FIN; MAG	Diorite; Brèche intrusive; Laminations parallèles; Grains moyens; Grains fins; Magnétique	1,53
TLG-ZJ418-076	62	63	J4-C9	I1B; GRO	Granite 65°; Grains grossiers	1,53
TLG-ZJ418-076	137	138	J4-C9	I2J; GRO	Diorite 65°; Grains grossiers	1,48
TLG-ZJ418-076	170	171	J4-C9	I2J; BRC; POR	Diorite 65°; Brèche de coulée; Porphyrique	1,54
TLG-ZJ418-076	225	226	J4-C9	I2J; BRC; POR	Diorite 75°; Brèche de coulée; Porphyrique	1,5
TLG-ZJ418-076	250,9	252	J4-C9	I2J; BRC; POR	Diorite 65°; Brèche de coulée; Porphyrique	1,52
TLG-ZJ418-076	275	276	J4-C9	I2J; BRC; POR	Diorite 65°; Brèche de coulée; Porphyrique	1,43
TLG-ZJ418-076	290	291	J4-C9	I2J; BRC; POR	Diorite 65°; Brèche de coulée; Porphyrique	1,58
TLG-ZJ418-079	137	138	J4-C9	I2J; MAS	Diorite; Roche massive	1,58
TLG-ZJ418-079	181	182	J4-C9	I2J; MAS	Diorite; Roche massive	1,43
TLG-ZJ418-079	215	216	J4-C9	I2J; MAS	Diorite; Roche massive	1,51
TLG-ZJ418-079	216	217	J4-C9	I2J; MAS	Diorite; Roche massive	1,5
TLG-ZJ418-079	220	221	J4-C9	I2J; MAS	Diorite; Roche massive	1,56
TLG-ZJ418-081	41	42	J4-C9	I2J; POR	Diorite 55°; Porphyrique	1,41
TLG-ZJ418-081	198	199	J4-C9	I2J; LAM	Diorite 55°; Laminations parallèles	1,42
TLG-ZJ418-081	201	202	J4-C9	I2J; LAM	Diorite 55°; Laminations parallèles	1,48
TLG-ZJ418-083	90	91	J4-C9	I2J; POR; MAS	Diorite 50°; Porphyrique; Roche massive	1,53
TLG-ZJ418-083	156	157	J4-C9	I2J; POR; MAS	Diorite 50°; Porphyrique; Roche massive	1,4
TLG-ZJ418-083	174	175	J4-C9	I2J; POR; MAS	Diorite 50°; Porphyrique; Roche massive	1,45
TLG-ZJ418-083	190	191	J4-C9	I2J; POR; MAS	Diorite 50°; Porphyrique; Roche massive	1,41
TLG-ZJ418-083	219	220	J4-C9	I2J; POR; MAS	Diorite 50°; Porphyrique; Roche massive	1,52
TLG-ZJ419-091	196	198	J4-C9	I2J	Diorite	1,42
TLG-ZJ419-092	18	19	J4-C9	I2J; LAM	Diorite; Laminations parallèles	1,59
TLG-ZJ419-092	21	22	J4-C9	I2J; LAM	Diorite; Laminations parallèles	1,4
TLG-ZJ419-092	101	102	J4-C9	I2J; LAM	Diorite; Laminations parallèles	1,4
TLG-ZJ419-092	293	295	J4-C9	I2J	Diorite	1,45
TLG-ZJ419-092	305	307	J4-C9	I2J; POR	Diorite; Porphyrique	1,5
TLG-ZJ419-094	152	153	J4-C9	I2J	Diorite	1,46
TLG-ZJ419-094	155	156	J4-C9	I2J	Diorite	1,4
TLG-ZJ419-094	269	271	J4-C9	I2J	Diorite 45°	1,4
TLG-ZJ419-094	273	275	J4-C9	I2J	Diorite 45°	1,51
TLG-ZJ419-094	295	297	J4-C9	I2J	Diorite 45°	1,44
TLG-ZJ419-094	333	335	J4-C9	I2J	Diorite 45°	1,58
TLG-ZJ419-094	347	349	J4-C9	I2J	Diorite 45°	1,43
TLG-ZJ419-094	357	359	J4-C9	I2J	Diorite 45°	1,48
TLG-ZJ419-094	405	406	J4-C9	I2J	Diorite	1,45
TLG-ZJ419-095	248	250	J4-C9	I2J	Diorite 70°	1,52
TLG-ZJ419-095	292	294	J4-C9	I2J	Diorite 70°	1,6
TLG-ZJ419-095	402	404	J4-C9	I2J	Diorite 70°	1,55
TLG-ZJ419-095	580	581	J4-C9	I2J	Diorite	1,53
TLG-ZJ419-096	213	215	J4-C9	I2J	Diorite	1,44
TLG-ZJ419-096	267	269	J4-C9	I2J	Diorite	1,43
TLG-ZJ419-096	271	273	J4-C9	I2J	Diorite	1,49
TLG-ZJ419-096	313	315	J4-C9	I2J	Diorite	1,41
TLG-ZJ419-096	315	317	J4-C9	I2J	Diorite	1,49
TLG-ZJ419-096	339	341	J4-C9	I2J	Diorite	1,41
TLG-ZJ419-096	343	345	J4-C9	I2J	Diorite	1,4
TLG-ZJ419-096	345	347	J4-C9	I2J	Diorite	1,54
TLG-ZJ419-098	70	71	J4-C9	I2J	Diorite 65°	1,45
TLG-ZJ419-098	264	266	J4-C9	I2J	Diorite	1,39
TLG-ZJ419-098	274	276	J4-C9	I2J	Diorite	1,51
TLG-ZJ419-098	322	324	J4-C9	I2J	Diorite	1,42
TLG-ZJ419-098	338	340	J4-C9	I2J	Diorite	1,46
TLG-ZJ419-098	388	389	J4-C9	I2J	Diorite	1,56
TLG-ZJ419-099	282	284	J4-C9	I2J	Diorite 20°	1,57
TLG-ZJ419-099	328	330	J4-C9	I2J	Diorite 20°	1,49
TLG-ZJ419-099	330	332	J4-C9	I2J	Diorite 20°	1,48
TLG-ZJ419-103	316	318	J4-C9	I2J	Diorite 20°	1,53

DDH ID	From	To	For Column	Rock Code	Title	S Final (%)
TLG-ZJ419-103	344	346	J4-C9	I2J	Diorite 20°	1,39
TLG-ZJ419-103	416	418	J4-C9	I2J	Diorite 20°	1,5
TLG-ZJ419-105	418	420	J4-C9	I2J	Diorite	1,39
TLG-ZJ419-109	66	68	J4-C9	I2J; I2J; FIN	Diorite; Diorite; Grains fins	1,56
TLG-ZJ419-109	70	72	J4-C9	I2J; I2J; FIN	Diorite; Diorite; Grains fins	1,6
TLG-ZJ419-109	364	366	J4-C9	I2J; GRO; POR; BRI	Diorite; Grains grossiers; Porphyrique; Brèche intrusive	1,4
TLG-ZJ419-109	370	372	J4-C9	I2J; GRO; POR; BRI	Diorite; Grains grossiers; Porphyrique; Brèche intrusive	1,49
TLG-ZJ419-109	492	494	J4-C9	I2J; FIN; LAM	Diorite; Grains fins; Laminations parallèles	1,59
TLG-ZJ419-110	176	178	J4-C9	I2J; FIN; LAM	Diorite; Grains fins; Laminations parallèles	1,51
TLG-ZJ419-110	194	196	J4-C9	I2J; FIN; LAM	Diorite; Grains fins; Laminations parallèles	1,56
TLG-ZJ419-110	492	494	J4-C9	I2J; BRI; POR	Diorite; Brèche intrusive; Porphyrique	1,47
TLG-ZJ419-110	496	498	J4-C9	I2J; BRI; POR	Diorite; Brèche intrusive; Porphyrique	1,49
TLG-ZJ419-110	514	516	J4-C9	I2J; FIN; LAM	Diorite; Grains fins; Laminations parallèles	1,55
TLG-ZJ419-111	301	303	J4-C9	I2J; FIN; LAM	Diorite; Grains fins; Laminations parallèles	1,39
TLG-ZJ419-111	303	305	J4-C9	I2J; FIN; LAM	Diorite; Grains fins; Laminations parallèles	1,41
TLG-ZJ419-111	379	381	J4-C9	I2J; BRI; LAM	Diorite; Brèche intrusive; Laminations parallèles	1,47
TLG-ZJ419-111	431	433	J4-C9	I2J; FIN; LAM; BRI	Diorite; Grains fins; Laminations parallèles; Brèche intrusive	1,45
TLG-ZJ419-111	457	459	J4-C9	I2J; BRI; LAM	Diorite; Brèche intrusive; Laminations parallèles	1,6
TLG-ZJ419-112	294	296	J4-C9	I2J; FIN	Diorite; Grains fins	1,51
TLG-ZJ419-112	298	300	J4-C9	I2J; FIN	Diorite; Grains fins	1,47
TLG-ZJ419-112	354	356	J4-C9	I2J; FIN	Diorite; Grains fins	1,39
TLG-ZJ419-112	360	362	J4-C9	I2J; FIN	Diorite; Grains fins	1,55
TLG-ZJ419-112	410	412	J4-C9	I2J; FIN	Diorite; Grains fins	1,51
TLG-ZJ419-112	440	442	J4-C9	I2J; FIN	Diorite; Grains fins	1,41
TLG-ZJ419-113	48	50	J4-C9	I2J; FIN; LAM	Diorite; Grains fins; Laminations parallèles	1,52
TLG-ZJ419-113	356	358	J4-C9	I2J; FIN; LAM; MAG	Diorite; Grains fins; Laminations parallèles; Magnétique	1,43
TLG-ZJ419-113	408	410	J4-C9	I2J; FIN; LAM; MAG	Diorite; Grains fins; Laminations parallèles; Magnétique	1,46
TLG-ZJ419-148	48	50	J4-C9	I2J; FIN; MOY; BRI	Diorite; Grains fins; Grains moyens; Brèche intrusive	1,55
TLG-ZJ419-148	238	240	J4-C9	I2J; FIN; POR	Diorite; Grains fins; Porphyrique	1,42
TLG-ZJ419-148	266	268	J4-C9	I2J; MOY; GRO; MAS	Diorite; Grains moyens; Grains grossiers; Roche massive	1,59
TLG-ZJ419-148	278	280	J4-C9	I2J; MOY; GRO; MAS	Diorite; Grains moyens; Grains grossiers; Roche massive	1,53
TLG-ZJ419-148	484	486	J4-C9	I2J; BRI; MOY; FIN	Diorite; Brèche intrusive; Grains moyens; Grains fins	1,39
TLG-ZJ419-149	258	260	J4-C9	I2J; FIN; MOY; POR; BRI	Diorite; Grains fins; Grains moyens; Porphyrique; Brèche intrusive	1,45
TLG-ZJ419-149	502	504	J4-C9	I2J; FIN; MOY; BRI; MAS	Diorite; Grains fins; Grains moyens; Brèche intrusive; Roche massive	1,46
TLG-ZJ419-150	173	175	J4-C9	I2J; FIN	Diorite; Grains fins	1,45
TLG-ZJ419-150	271	273	J4-C9	I2J; FIN; LAM; BRI	Diorite; Grains fins; Laminations parallèles; Brèche intrusive	1,44
TLG-ZJ419-150	315	317	J4-C9	I2J; GRO; BRI; LAM	Diorite; Grains grossiers; Brèche intrusive; Laminations parallèles	1,57
TLG-ZJ419-150	345	347	J4-C9	I2J; FIN; LAM; BRI	Diorite; Grains fins; Laminations parallèles; Brèche intrusive	1,4
TLG-ZJ419-150	469	471	J4-C9	I2J; BRI; LAM	Diorite; Brèche intrusive; Laminations parallèles	1,48
TLG-ZJ419-150	499	501	J4-C9	I2J; BRI; LAM	Diorite; Brèche intrusive; Laminations parallèles	1,44
TLG-ZJ419-151	352	354	J4-C9	I2J; FIN; LAM	Diorite; Grains fins; Laminations parallèles	1,46
TLG-ZJ419-151	354	356	J4-C9	I2J; FIN; LAM	Diorite; Grains fins; Laminations parallèles	1,52
TLG-ZJ419-155	60	62	J4-C9	I2J; FIN; MOY; LAM	Diorite; Grains fins; Grains moyens; Laminations parallèles	1,43
TLG-ZJ419-156	55	57	J4-C9	I2J; LAM; FIN	Diorite; Laminations parallèles; Grains fins	1,39
TLG-ZJ419-156	119	121	J4-C9	I2J; FIN; LAM	Diorite; Grains fins; Laminations parallèles	1,45
TLG-ZJ419-160	115	117	J4-C9	I2J; FIN; MOY; LAM; RUB	Diorite; Grains fins; Grains moyens; Laminations parallèles; Rubané	1,55
TLG-ZJ419-160	285	287	J4-C9	I2J; MAS; FIN	Diorite; Roche massive; Grains fins	1,4
TLG-ZJ419-160	323	325	J4-C9	I2J; FIN; RUB; LAM	Diorite; Grains fins; Rubané; Laminations parallèles	1,58
TLG-ZJ419-161	314	316	J4-C9	I2J; FIN; LAM	Diorite; Grains fins; Laminations parallèles	1,55
TLG-ZJ419-161	322	324	J4-C9	I2J; FIN; LAM	Diorite; Grains fins; Laminations parallèles	1,52
TLG-ZJ419-162	245	247	J4-C9	I2J; FIN; POR	Diorite; Grains fins; Porphyrique	1,58
TLG-ZJ419-162	335	337	J4-C9	I2J; FIN; POBpg; BRI	Diorite; Grains fins; Porphyroblaste de plagioclase; Brèche intrusive	1,5
TLG-ZJ419-163	273	275	J4-C9	I2J; BRI; FIN	Diorite; Brèche intrusive; Grains fins	1,6
TLG-ZJ419-163	275	277	J4-C9	I2J; BRI; FIN	Diorite; Brèche intrusive; Grains fins	1,39
TLG-ZJ419-163	371	373	J4-C9	I2J; FIN; POR	Diorite; Grains fins; Porphyrique	1,52
TLG-ZJ419-163	379	381	J4-C9	I2J; FIN; POR	Diorite; Grains fins; Porphyrique	1,52
TLG-ZJ419-164	84	86	J4-C9	I2J; V; LAM; RUB	Diorite; Volcanites indifférenciées; Laminations parallèles; Rubané	1,43
TLG-ZJ419-164	100	102	J4-C9	I2J; V; LAM; RUB	Diorite; Volcanites indifférenciées; Laminations parallèles; Rubané	1,4
TLG-ZJ419-164	316	318	J4-C9	I2J; FIN; LAM; BRI	Diorite; Grains fins; Laminations parallèles; Brèche intrusive	1,42
TLG-ZJ419-164	320	322	J4-C9	I2J; FIN; LAM; BRI	Diorite; Grains fins; Laminations parallèles; Brèche intrusive	1,51
TLG-ZJ419-164	410	412	J4-C9	I2J; FIN; MOY	Diorite; Grains fins; Grains moyens	1,56
TLG-ZJ419-164	414	416	J4-C9	I2J; FIN; MOY	Diorite; Grains fins; Grains moyens	1,43
TLG-ZJ419-164	534	536	J4-C9	I2J; BRI	Diorite; Brèche intrusive	1,44
TLG-ZJ419-164	556	558	J4-C9	I2J; BRI	Diorite; Brèche intrusive	1,47
TLG-ZJ419-165	348	350	J4-C9	I2J; BRI; FIN	Diorite; Brèche intrusive; Grains fins	1,48
TLG-ZJ419-165	502	504	J4-C9	I2J; BRI	Diorite; Brèche intrusive	1,41
TLG-ZJ419-166	413	415	J4-C9	I2J; FIN; LAM	Diorite; Grains fins; Laminations parallèles	1,48
TLG-ZJ419-166	415	417	J4-C9	I2J; FIN; LAM	Diorite; Grains fins; Laminations parallèles	1,44
TLG-ZJ419-166	451	453	J4-C9	I2J; FIN; LAM	Diorite; Grains fins; Laminations parallèles	1,55
TLG-ZJ419-166	455	457	J4-C9	I2J; FIN; LAM	Diorite; Grains fins; Laminations parallèles	1,39

DDH ID	From	To	For Column	Rock Code	Title	S Final (%)
TLG-ZJ419-166	477	479	J4-C9	I2J; FIN; LAM	Diorite; Grains fins; Laminations parallèles	1,51
TLG-ZJ419-166	481	483	J4-C9	I2J; LAM; FIN; BRI; POR	Diorite; Laminations parallèles; Grains fins; Brèche intrusive; Porphyrique	1,46
TLG-ZJ419-166	557	559	J4-C9	I2J; LAM; FIN; BRI; POR	Diorite; Laminations parallèles; Grains fins; Brèche intrusive; Porphyrique	1,4
TLG-ZJ419-167	349	351	J4-C9	I2J; FIN; LAM	Diorite; Grains fins; Laminations parallèles	1,6
TLG-ZJ419-167	359	361	J4-C9	I2J; FIN	Diorite; Grains fins	1,58
TLG-ZJ419-167	435	437	J4-C9	I2J; FIN	Diorite; Grains fins	1,43
TLG-ZJ419-167	477	479	J4-C9	I2J; FIN	Diorite; Grains fins	1,54
TLG-ZJ419-167	479	481	J4-C9	I2J; FIN	Diorite; Grains fins	1,55
TLG-ZJ419-169	426	428	J4-C9	I2J; MOY	Diorite; Grains moyens	1,41
TLG-ZJ419-169	456	458	J4-C9	I2J; MOY	Diorite; Grains moyens	1,49
TLG-ZJ419-169	462	464	J4-C9	I2J; MOY	Diorite; Grains moyens	1,49
TLG-ZJ419-169	502	504	J4-C9	I2J; FIN; V	Diorite; Grains fins; Volcanites indifférenciées	1,52
TLG-ZJ20-221	182	183	J4-C9	I2J; FIN	Diorite; Grains fins	1,5
TLG-ZJ20-221	195	196	J4-C9	I2J; LAM; POBBo	Diorite; Laminations parallèles; Porphyroblaste de biotite	1,47
TLG-ZJ20-221	198	199	J4-C9	I2J; LAM; POBBo	Diorite; Laminations parallèles; Porphyroblaste de biotite	1,52
TLG-ZJ20-221	202	203	J4-C9	I2J; LAM; POBBo	Diorite; Laminations parallèles; Porphyroblaste de biotite	1,4
TLG-ZJ20-221	215	216	J4-C9	I2J; LAM; POBBo	Diorite; Laminations parallèles; Porphyroblaste de biotite	1,48
TLG-ZJ20-221	218	219	J4-C9	I2J; LAM; POBBo	Diorite; Laminations parallèles; Porphyroblaste de biotite	1,53
TLG-ZJ20-221	221	222	J4-C9	I2J; LAM; POBBo	Diorite; Laminations parallèles; Porphyroblaste de biotite	1,47
TLG-ZJ20-221	261	262	J4-C9	I2J; BRI	Diorite; Brèche intrusive	1,53
TLG-ZJ20-221	264	265	J4-C9	I2J; BRI	Diorite; Brèche intrusive	1,58
TLG-ZJ20-221	286	287	J4-C9	I2J; LAM; POBBo	Diorite; Laminations parallèles; Porphyroblaste de biotite	1,48
TLG-ZJ20-221	292	293	J4-C9	I2J; LAM; POBBo	Diorite; Laminations parallèles; Porphyroblaste de biotite	1,52
TLG-ZJ20-221	365	366	J4-C9	I2J; POBAm	Diorite; Porphyroblaste d amphibole	1,45
TLG-ZJ20-221	374	375	J4-C9	I2J; POBBo	Diorite; Porphyroblaste de biotite	1,57
TLG-ZJ20-221	379	380	J4-C9	I2J; POBBo	Diorite; Porphyroblaste de biotite	1,42
TLG-ZJ20-222	137	138	J4-C9	I2J	Diorite	1,43
TLG-ZJ20-222	170	171	J4-C9	I2J	Diorite	1,58
TLG-ZJ20-222	255	256	J4-C9	I2J	Diorite	1,43
TLG-ZJ20-222	282	283	J4-C9	I2J	Diorite	1,51
TLG-ZJ20-222	284	285	J4-C9	I2J	Diorite	1,44
TLG-ZJ20-222	291	292	J4-C9	I2J	Diorite	1,39
TLG-ZJ20-222	322	323	J4-C9	I2J	Diorite	1,42
TLG-ZJ20-222	342	343	J4-C9	I2J	Diorite	1,42
TLG-ZJ20-222	346	347	J4-C9	I2J	Diorite	1,41
TLG-ZJ20-222	372	373	J4-C9	I2J	Diorite	1,45
TLG-ZJ20-222	384	385	J4-C9	I2J	Diorite	1,55
TLG-ZJ20-222	405	406	J4-C9	I2J	Diorite	1,4
TLG-ZJ20-222	416	417	J4-C9	I2J	Diorite	1,59
TLG-ZJ20-223	199	200	J4-C9	I2J	Diorite	1,49
TLG-ZJ20-223	204	205	J4-C9	I2J	Diorite	1,44
TLG-ZJ20-224	220	221	J4-C9	I2J; POB	Diorite; Porphyroblastique	1,43
TLG-ZJ20-224	232	233	J4-C9	I2J; POB	Diorite; Porphyroblastique	1,56
TLG-ZJ21-225	329	330	J4-C9	I2J	Diorite	1,43
TLG-ZJ21-225	392	393	J4-C9	I2J; BRI	Diorite; Brèche intrusive	1,53
TLG-ZJ21-225	472	473	J4-C9	I2J; BRI	Diorite; Brèche intrusive	1,54
TLG-ZJ21-225	479	480	J4-C9	I2J; BRI	Diorite; Brèche intrusive	1,4
TLG-ZJ21-232	410	411	J4-C9	I2J	Diorite	1,45
TLG-ZJ21-232	443	444	J4-C9	I2J	Diorite	1,43
TLG-ZJ21-234	97	98	J4-C9	I2J; LAM	Diorite; Laminations parallèles	1,45
TLG-ZJ21-235	103	104	J4-C9	I2J	Diorite	1,56
TLG-ZJ21-238	20	21	J4-C9	I2J; LAM	Diorite; Laminations parallèles	1,43
TLG-ZJ21-238	28	29	J4-C9	I2J; LAM	Diorite; Laminations parallèles	1,54
TLG-ZJ21-238	421	422	J4-C9	I2J; LAM	Diorite; Laminations parallèles	1,58
TLG-ZJ21-238	424	425	J4-C9	I2J; LAM	Diorite; Laminations parallèles	1,39
TLG-ZJ21-239	478	479	J4-C9	I1	Intrusif felsique	1,4
TLG-ZJ21-241	160	161	J4-C9	I2J; FIN	Diorite; Grains fins	1,58
TLG-ZJ21-241	168	169	J4-C9	I2J; FIN	Diorite; Grains fins	1,5
TLG-ZJ21-241	424	425	J4-C9	I2J; FIN	Diorite; Grains fins	1,45
TLG-ZJ21-243	13	14	J4-C9	I2J; RUB	Diorite; Rubané	1,5
TLG-ZJ21-243	21	22	J4-C9	I2J; RUB	Diorite; Rubané	1,43
TLG-ZJ21-243	33	34	J4-C9	I2J; RUB	Diorite; Rubané	1,44
TLG-ZJ21-243	38	39	J4-C9	I2J; RUB	Diorite; Rubané	1,47
TLG-ZJ21-246	18	19	J4-C9	I2J	Diorite	1,51
TLG-ZJ21-246	20	21	J4-C9	I2J	Diorite	1,52
TLG-ZJ21-246	115	116	J4-C9	I2J	Diorite	1,39
TLG-ZJ21-246	213	214	J4-C9	I2J	Diorite	1,5
TLG-ZJ21-246	214	215	J4-C9	I2J	Diorite	1,59
TLG-ZJ21-246	221	221,6	J4-C9	I2J	Diorite	1,57
TLG-ZJ21-248	109	110	J4-C9	I2J	Diorite	1,49
TLG-ZJ21-249	32	33	J4-C9	I2J	Diorite	1,56

DDH ID	From	To	For Column	Rock Code	Title	S Final (%)
TLG-ZJ21-249	34	35	J4-C9	I2J	Diorite	1,46
TLG-ZJ21-249	42	43	J4-C9	I2J	Diorite	1,55
TLG-ZJ21-249	47	48	J4-C9	I2J	Diorite	1,51
TLG-ZJ21-249	49	50	J4-C9	I2J	Diorite	1,52
TLG-ZJ21-249	53	54	J4-C9	I2J	Diorite	1,4
TLG-ZJ21-249	65	66	J4-C9	I2J	Diorite	1,41
TLG-ZJ21-249	72	73	J4-C9	I2J	Diorite	1,53
TLG-ZJ21-249	183	184	J4-C9	I2J; BR	Diorite; Brèche/bréchiq	1,46
TLG-ZJ21-249	185	186	J4-C9	I2J; BR	Diorite; Brèche/bréchiq	1,57
TLG-ZJ21-253-GT	358	359	J4-C9	I2J	Diorite	1,5
TLG-ZJ21-253-GT	511	512	J4-C9	I2J	Diorite	1,5
TLG-ZJ21-253-GT	515	516	J4-C9	I2J	Diorite	1,41
TLG-ZJ21-253-GT	519	520	J4-C9	I2J	Diorite	1,42

<i>I1</i>	<i>Felsic intrusive including granite</i>	<i>MT</i>	<i>Overburden</i>	<i>V</i>	<i>Undifferentiated volcanics</i>
<i>I2J</i>	<i>Non-brecciated diorite</i>	<i>QFP</i>	<i>Quartz feldspar porphyry</i>	<i>V1</i>	<i>Felsic volcanics including rhyolite</i>
<i>I2J; BR</i>	<i>Brecciated diorite</i>	<i>S3</i>	<i>Greywacke-siltstone</i>	<i>V2</i>	<i>Intermediate volcanics including andesite</i>
<i>I3</i>	<i>Mafic intrusive including gabbro</i>	<i>T</i>	<i>Various tuffs</i>	<i>V3</i>	<i>Mafic volcanics including basalt</i>
<i>Backlog</i>	<i>Backlogged samples - assays but no lithology</i>				

S Final (%)	All	I1	I2J	I2J; BR	I3	MT	QFP	S3	T (tuff)	V	V1	V2	V3	Backlog
Maximum	0,98	0,6	0,89	0,97	-0,32	0,29	0,77	0,0086	0,9	0,98	0,64	0,5	0,67	NA
Minimum	-2	-1,7	-2	-1,4	-0,32	-0,72	-1,4	-0,54	-1,05	-1,1	-1,4	-1,1	-0,92	NA
Mean	-0,14	-0,32	-0,13	-0,13	-0,32	-0,2	-0,21	-0,23	0,00022	-0,065	-0,3	-0,24	-0,11	NA
Standard Deviation	0,32	0,43	0,3	0,3	NA	0,23	0,34	0,21	0,3	0,42	0,42	0,35	0,38	NA
10 Percentile	-0,54	-0,89	-0,51	-0,52	-0,32	-0,47	-0,67	-0,48	-0,4	-0,64	-0,85	-0,65	-0,62	NA
25 Percentile	-0,34	-0,55	-0,32	-0,32	-0,32	-0,32	-0,43	-0,38	-0,14	-0,38	-0,56	-0,51	-0,31	NA
Median	-0,12	-0,26	-0,12	-0,12	-0,32	-0,2	-0,14	-0,22	0,041	-0,081	-0,27	-0,23	-0,11	NA
75 Percentile	0,076	-0,066	0,072	0,079	-0,32	-0,029	-0,018	-0,046	0,19	0,24	0,031	0,013	0,16	NA
90 Percentile	0,25	0,21	0,24	0,24	-0,32	0,099	0,086	-0,0098	0,31	0,47	0,2	0,14	0,32	NA
Interquartile Range (IQR)	0,41	0,49	0,39	0,4	0	0,29	0,41	0,34	0,32	0,62	0,59	0,52	0,47	NA
Variance	0,1	0,18	0,09	0,091	NA	0,052	0,11	0,046	0,089	0,17	0,18	0,12	0,15	NA
Skewness	-0,37	-0,48	-0,34	-0,32	NA	-0,036	-0,44	-0,24	-0,71	-0,019	-0,45	-0,31	-0,31	NA
Coefficient of Variation (CoV)	-2,32	-1,34	-2,3	-2,3	NA	-1,16	-1,59	-0,93	1363	-6,36	-1,39	-1,48	-3,43	NA
Count	7104	241	4310	1245	1	43	124	8	228	389	131	56	34	1161
Percentage	100	3,39	60,67	17,53	0,01	0,61	1,75	0,11	3,21	5,48	1,84	0,79	0,48	16,34
Antilog +1 Std Dev		1,288	1,479	1,479						2,265				
Antilog Mean		0,479	0,741	0,741						0,861				
Antilog -1 Std Dev		0,178	0,372	0,372						0,327				

ORE

<i>I1</i>	<i>Felsic intrusive including granite</i>	<i>MT</i>	<i>Overburden</i>	<i>V</i>	<i>Undifferentiated volcanics</i>
<i>I2J</i>	<i>Non-brecciated diorite</i>	<i>QFP</i>	<i>Quartz feldspar porphyry</i>	<i>V1</i>	<i>Felsic volcanics including rhyolite</i>
<i>I2J; BR</i>	<i>Brecciated diorite</i>	<i>S3</i>	<i>Greywacke-siltstone</i>	<i>V2</i>	<i>Intermediate volcanics including andesite</i>
<i>I3</i>	<i>Mafic intrusive including gabbro</i>	<i>T</i>	<i>Various tuffs</i>	<i>V3</i>	<i>Mafic volcanics including basalt</i>
<i>Backlog</i>	<i>Backlogged samples - assays but no lithology</i>				

AI Final (%)	All	I1	I2J	I2J; BR	I3	MT	QFP	S3	T (tuff)	V	V1	V2	V3	Backlog
Maximum	0,98	0,96	0,98	0,94	0,87	0,96	0,96	0,88	0,94	0,95	0,91	0,92	0,95	NA
Minimum	-0,85	0,66	-0,85	0,68	0,87	0,83	0,74	0,84	0,75	0,68	0,6	0,82	0,77	NA
Mean	0,87	0,85	0,87	0,87	0,87	0,88	0,83	0,86	0,87	0,86	0,81	0,87	0,86	NA
Standard Deviation	0,036	0,041	0,037	0,026	NA	0,026	0,033	0,015	0,024	0,043	0,042	0,021	0,034	NA
10 Percentile	0,83	0,8	0,84	0,85	0,87	0,85	0,79	0,84	0,85	0,79	0,77	0,84	0,83	NA
25 Percentile	0,85	0,81	0,86	0,86	0,87	0,86	0,81	0,85	0,86	0,84	0,79	0,85	0,84	NA
Median	0,87	0,85	0,87	0,88	0,87	0,88	0,84	0,87	0,87	0,87	0,81	0,87	0,86	NA
75 Percentile	0,89	0,88	0,89	0,89	0,87	0,9	0,85	0,87	0,89	0,89	0,84	0,88	0,89	NA
90 Percentile	0,9	0,89	0,9	0,9	0,87	0,91	0,87	0,88	0,9	0,9	0,87	0,9	0,9	NA
Interquartile Range (IQR)	0,032	0,065	0,029	0,029	0	0,037	0,038	0,024	0,028	0,044	0,05	0,026	0,047	NA
Variance	0,0013	0,0017	0,0014	0,00068	NA	0,00069	0,0011	0,00024	0,00056	0,0018	0,0018	0,00045	0,0011	NA
Skewness	-15,7	-0,45	-24	-1,44	NA	0,61	-0,2	-0,52	-0,75	-1,09	-1,01	0,18	-0,34	NA
Coefficient of Variation (CoV)	0,042	0,048	0,042	0,03	NA	0,03	0,039	0,018	0,027	0,05	0,052	0,024	0,039	NA
Count	7104	241	4310	1245	1	43	124	8	228	389	131	56	34	1161

ORE

<i>I1</i>	<i>Felsic intrusive including granite</i>	<i>MT</i>	<i>Overburden</i>	<i>V</i>	<i>Undifferentiated volcanics</i>
<i>I2J</i>	<i>Non-brecciated diorite</i>	<i>QFP</i>	<i>Quartz feldspar porphyry</i>	<i>V1</i>	<i>Felsic volcanics including rhyolite</i>
<i>I2J; BR</i>	<i>Brecciated diorite</i>	<i>S3</i>	<i>Greywacke-siltstone</i>	<i>V2</i>	<i>Intermediate volcanics including andesite</i>
<i>I3</i>	<i>Mafic intrusive including gabbro</i>	<i>T</i>	<i>Various tuffs</i>	<i>V3</i>	<i>Mafic volcanics including basalt</i>
<i>Backlog</i>	<i>Backlogged samples - assays but no lithology</i>				

Ba Final (%)	All	I1	I2J	I2J; BR	I3	MT	QFP	S3	T (tuff)	V	V1	V2	V3	Backlog
Maximum	-0,56	-0,77	-0,71	-0,98	-1,6	-1,32	-0,79	-0,94	-1,05	-0,64	-0,56	-1,24	-1,03	NA
Minimum	-3	-2,7	-2,7	-2,52	-1,6	-1,92	-1,89	-1,57	-2,22	-3	-2,1	-2,52	-2,1	NA
Mean	-1,67	-1,51	-1,67	-1,75	-1,6	-1,6	-1,46	-1,29	-1,75	-1,65	-1,27	-1,69	-1,61	NA
Standard Deviation	0,25	0,28	0,22	0,23	NA	0,14	0,24	0,24	0,21	0,39	0,3	0,26	0,32	NA
10 Percentile	-1,96	-1,8	-1,92	-2,05	-1,6	-1,76	-1,74	-1,55	-1,96	-2,22	-1,66	-2,05	-2,05	NA
25 Percentile	-1,82	-1,7	-1,8	-1,92	-1,6	-1,68	-1,64	-1,48	-1,89	-1,82	-1,52	-1,77	-1,88	NA
Median	-1,68	-1,54	-1,68	-1,74	-1,6	-1,62	-1,51	-1,35	-1,78	-1,6	-1,24	-1,62	-1,59	NA
75 Percentile	-1,54	-1,32	-1,55	-1,62	-1,6	-1,52	-1,3	-1,05	-1,64	-1,37	-1,05	-1,54	-1,34	NA
90 Percentile	-1,35	-1,1	-1,39	-1,46	-1,6	-1,4	-1,11	-1,01	-1,49	-1,21	-0,91	-1,44	-1,19	NA
Interquartile Range (IQR)	0,29	0,38	0,24	0,3	0	0,15	0,34	0,42	0,25	0,46	0,47	0,23	0,54	NA
Variance	0,062	0,081	0,047	0,052	NA	0,02	0,058	0,059	0,044	0,15	0,091	0,066	0,1	NA
Skewness	0,21	-0,38	0,27	0,32	NA	0,095	0,59	0,35	0,81	-0,82	-0,2	-1,35	-0,0092	NA
Coefficient of Variation (CoV)	-0,15	-0,19	-0,13	-0,13	NA	-0,087	-0,16	-0,19	-0,12	-0,23	-0,24	-0,15	-0,2	NA
Count	7104	241	4310	1245	1	43	124	8	228	389	131	56	34	1161

ORE

<i>I1</i>	<i>Felsic intrusive including granite</i>	<i>MT</i>	<i>Overburden</i>	<i>V</i>	<i>Undifferentiated volcanics</i>
<i>I2J</i>	<i>Non-brecciated diorite</i>	<i>QFP</i>	<i>Quartz feldspar porphyry</i>	<i>V1</i>	<i>Felsic volcanics including rhyolite</i>
<i>I2J; BR</i>	<i>Brecciated diorite</i>	<i>S3</i>	<i>Greywacke-siltstone</i>	<i>V2</i>	<i>Intermediate volcanics including andesite</i>
<i>I3</i>	<i>Mafic intrusive including gabbro</i>	<i>T</i>	<i>Various tuffs</i>	<i>V3</i>	<i>Mafic volcanics including basalt</i>
<i>Backlog</i>	<i>Backlogged samples - assays but no lithology</i>				

Ca Final (%)	All	I1	I2J	I2J; BR	I3	MT	QFP	S3	T (tuff)	V	V1	V2	V3	Backlog
Maximum	1,56	0,67	1,56	0,92	0,73	0,63	0,46	0,37	0,74	0,92	0,65	0,76	0,89	NA
Minimum	-0,96	-0,72	-0,51	-0,29	0,73	0,12	-0,2	0,22	-0,066	-0,36	-0,7	0,19	0	NA
Mean	0,43	0,21	0,42	0,5	0,73	0,4	0,21	0,3	0,43	0,57	0,09	0,47	0,65	NA
Standard Deviation	0,18	0,24	0,16	0,13	NA	0,11	0,14	0,052	0,15	0,22	0,23	0,15	0,23	NA
10 Percentile	0,2	-0,076	0,23	0,34	0,73	0,25	0,036	0,24	0,23	0,28	-0,22	0,27	0,3	NA
25 Percentile	0,33	0,021	0,32	0,42	0,73	0,33	0,13	0,27	0,33	0,42	-0,039	0,37	0,58	NA
Median	0,44	0,21	0,42	0,51	0,73	0,4	0,21	0,31	0,46	0,63	0,1	0,47	0,75	NA
75 Percentile	0,55	0,4	0,53	0,58	0,73	0,47	0,29	0,34	0,54	0,74	0,24	0,57	0,8	NA
90 Percentile	0,63	0,53	0,61	0,64	0,73	0,54	0,39	0,35	0,61	0,81	0,36	0,69	0,86	NA
Interquartile Range (IQR)	0,22	0,38	0,2	0,16	0	0,13	0,16	0,07	0,21	0,32	0,28	0,19	0,22	NA
Variance	0,033	0,056	0,024	0,017	NA	0,012	0,019	0,0027	0,023	0,05	0,055	0,022	0,053	NA
Skewness	-0,68	-0,18	-0,32	-0,24	NA	-0,13	-0,47	-0,37	-0,63	-1,12	-0,47	0,078	-1,4	NA
Coefficient of Variation (CoV)	0,43	1,14	0,37	0,26	NA	0,28	0,68	0,17	0,35	0,39	2,6	0,32	0,35	NA
Count	7104	241	4310	1245	1	43	124	8	228	389	131	56	34	1161

ORE

<i>I1</i>	<i>Felsic intrusive including granite</i>	<i>MT</i>	<i>Overburden</i>	<i>V</i>	<i>Undifferentiated volcanics</i>
<i>I2J</i>	<i>Non-brecciated diorite</i>	<i>QFP</i>	<i>Quartz feldspar porphyry</i>	<i>V1</i>	<i>Felsic volcanics including rhyolite</i>
<i>I2J; BR</i>	<i>Brecciated diorite</i>	<i>S3</i>	<i>Greywacke-siltstone</i>	<i>V2</i>	<i>Intermediate volcanics including andesite</i>
<i>I3</i>	<i>Mafic intrusive including gabbro</i>	<i>T</i>	<i>Various tuffs</i>	<i>V3</i>	<i>Mafic volcanics including basalt</i>
<i>Backlog</i>	<i>Backlogged samples - assays but no lithology</i>				

Co Final (%)	All	I1	I2J	I2J; BR	I3	MT	QFP	S3	T (tuff)	V	V1	V2	V3	Backlog
Maximum	-1,31	-2,08	-1,31	-1,63	-2,36	-2,38	-2,46	-1,92	-1,69	-1,69	-2,05	-2,28	-2,12	NA
Minimum	-4,3	-4,3	-4	-4	-2,36	-3,05	-4	-2,85	-3,4	-3,4	-4,3	-3,4	-3,15	NA
Mean	-2,67	-3,03	-2,62	-2,73	-2,36	-2,61	-3,07	-2,47	-2,6	-2,51	-3,11	-2,79	-2,55	NA
Standard Deviation	0,28	0,4	0,24	0,25	NA	0,17	0,27	0,28	0,22	0,23	0,46	0,27	0,22	NA
10 Percentile	-3	-3,52	-2,92	-3,05	-2,36	-2,85	-3,4	-2,7	-2,85	-2,8	-3,7	-3,19	-2,82	NA
25 Percentile	-2,82	-3,3	-2,74	-2,89	-2,36	-2,7	-3,22	-2,59	-2,72	-2,64	-3,46	-2,96	-2,69	NA
Median	-2,64	-3,05	-2,6	-2,72	-2,36	-2,55	-3,1	-2,51	-2,6	-2,48	-3	-2,78	-2,52	NA
75 Percentile	-2,48	-2,77	-2,47	-2,55	-2,36	-2,49	-2,91	-2,42	-2,49	-2,39	-2,77	-2,58	-2,39	NA
90 Percentile	-2,36	-2,49	-2,34	-2,4	-2,36	-2,43	-2,68	-2,15	-2,35	-2,25	-2,62	-2,44	-2,35	NA
Interquartile Range (IQR)	0,34	0,53	0,28	0,33	0	0,21	0,31	0,16	0,23	0,25	0,69	0,38	0,3	NA
Variance	0,08	0,16	0,056	0,065	NA	0,028	0,072	0,078	0,048	0,054	0,21	0,073	0,049	NA
Skewness	-0,76	-0,34	-0,34	0,033	NA	-0,93	-0,11	0,96	0,17	-0,29	-0,39	-0,2	-0,53	NA
Coefficient of Variation (CoV)	-0,11	-0,13	-0,09	-0,093	NA	-0,065	-0,087	-0,11	-0,084	-0,093	-0,15	-0,097	-0,087	NA
Count	7104	241	4310	1245	1	43	124	8	228	389	131	56	34	1161

ORE

<i>I1</i>	<i>Felsic intrusive including granite</i>	<i>MT</i>	<i>Overburden</i>	<i>V</i>	<i>Undifferentiated volcanics</i>
<i>I2J</i>	<i>Non-brecciated diorite</i>	<i>QFP</i>	<i>Quartz feldspar porphyry</i>	<i>V1</i>	<i>Felsic volcanics including rhyolite</i>
<i>I2J; BR</i>	<i>Brecciated diorite</i>	<i>S3</i>	<i>Greywacke-siltstone</i>	<i>V2</i>	<i>Intermediate volcanics including andesite</i>
<i>I3</i>	<i>Mafic intrusive including gabbro</i>	<i>T</i>	<i>Various tuffs</i>	<i>V3</i>	<i>Mafic volcanics including basalt</i>
<i>Backlog</i>	<i>Backlogged samples - assays but no lithology</i>				

Cr Final (%)	All	I1	I2J	I2J; BR	I3	MT	QFP	S3	T (tuff)	V	V1	V2	V3	Backlog
Maximum	-1,19	-1,38	-1,19	-1,22	-1,66	-1,67	-1,62	-1,9	-1,56	-1,22	-1,7	-1,41	-1,27	NA
Minimum	-3,52	-3,1	-3,52	-3,05	-1,66	-2,49	-3,1	-2,27	-2,89	-2,85	-3,52	-2,47	-3,05	NA
Mean	-2,02	-2,39	-2,01	-1,98	-1,66	-1,96	-2,57	-1,97	-2,04	-1,73	-2,6	-2,02	-1,78	NA
Standard Deviation	0,29	0,4	0,25	0,22	NA	0,2	0,28	0,12	0,25	0,28	0,38	0,2	0,32	NA
10 Percentile	-2,37	-2,89	-2,28	-2,23	-1,66	-2,22	-2,82	-2,08	-2,32	-2,09	-3,1	-2,23	-2,1	NA
25 Percentile	-2,14	-2,74	-2,13	-2,08	-1,66	-2,06	-2,72	-1,96	-2,14	-1,9	-2,89	-2,14	-1,96	NA
Median	-1,99	-2,41	-1,99	-1,96	-1,66	-1,93	-2,63	-1,92	-2,02	-1,68	-2,62	-2,01	-1,63	NA
75 Percentile	-1,86	-2,04	-1,86	-1,87	-1,66	-1,81	-2,54	-1,91	-1,89	-1,57	-2,32	-1,97	-1,59	NA
90 Percentile	-1,69	-1,92	-1,72	-1,75	-1,66	-1,75	-2,16	-1,9	-1,75	-1,29	-2,12	-1,85	-1,57	NA
Interquartile Range (IQR)	0,29	0,71	0,27	0,2	0	0,26	0,18	0,045	0,25	0,33	0,57	0,17	0,37	NA
Variance	0,086	0,16	0,062	0,047	NA	0,04	0,079	0,016	0,064	0,081	0,14	0,041	0,1	NA
Skewness	-0,81	0,1	-0,61	-0,27	NA	-0,88	1,37	-2,46	-1,03	-0,53	0,1	0,96	-2,06	NA
Coefficient of Variation (CoV)	-0,15	-0,17	-0,12	-0,11	NA	-0,1	-0,11	-0,063	-0,12	-0,16	-0,15	-0,1	-0,18	NA
Count	7104	241	4310	1245	1	43	124	8	228	389	131	56	34	1161

ORE

<i>I1</i>	<i>Felsic intrusive including granite</i>	<i>MT</i>	<i>Overburden</i>	<i>V</i>	<i>Undifferentiated volcanics</i>
<i>I2J</i>	<i>Non-brecciated diorite</i>	<i>QFP</i>	<i>Quartz feldspar porphyry</i>	<i>V1</i>	<i>Felsic volcanics including rhyolite</i>
<i>I2J; BR</i>	<i>Brecciated diorite</i>	<i>S3</i>	<i>Greywacke-siltstone</i>	<i>V2</i>	<i>Intermediate volcanics including andesite</i>
<i>I3</i>	<i>Mafic intrusive including gabbro</i>	<i>T</i>	<i>Various tuffs</i>	<i>V3</i>	<i>Mafic volcanics including basalt</i>
<i>Backlog</i>	<i>Backlogged samples - assays but no lithology</i>				

Cu Final (%)	All	I1	I2J	I2J; BR	I3	MT	QFP	S3	T (tuff)	V	V1	V2	V3	Backlog
Maximum	0,3	-0,23	0,3	0,14	-1,21	-0,73	-0,2	-0,77	-0,54	0,0065	-0,3	-0,37	-0,31	NA
Minimum	-4	-3	-4	-2,6	-1,21	-1,74	-2,7	-1,23	-2,23	-3	-2,77	-2,89	-1,69	NA
Mean	-1,22	-1,34	-1,23	-1,18	-1,21	-1,26	-1,44	-0,89	-1,19	-1,08	-1,37	-1,2	-0,84	NA
Standard Deviation	0,41	0,49	0,39	0,37	NA	0,26	0,51	0,15	0,3	0,58	0,51	0,5	0,33	NA
10 Percentile	-1,74	-2	-1,72	-1,65	-1,21	-1,6	-2,16	-1,07	-1,56	-1,88	-2,08	-1,79	-1,23	NA
25 Percentile	-1,43	-1,56	-1,43	-1,41	-1,21	-1,48	-1,78	-0,88	-1,39	-1,43	-1,78	-1,52	-1,1	NA
Median	-1,18	-1,23	-1,19	-1,16	-1,21	-1,26	-1,43	-0,84	-1,15	-1	-1,27	-1,2	-0,78	NA
75 Percentile	-0,96	-1,03	-0,98	-0,95	-1,21	-1,07	-1,07	-0,81	-0,97	-0,64	-0,99	-0,83	-0,59	NA
90 Percentile	-0,77	-0,83	-0,81	-0,75	-1,21	-0,96	-0,83	-0,79	-0,82	-0,44	-0,79	-0,6	-0,47	NA
Interquartile Range (IQR)	0,47	0,53	0,45	0,46	0	0,41	0,71	0,07	0,42	0,79	0,79	0,69	0,51	NA
Variance	0,17	0,24	0,15	0,14	NA	0,065	0,26	0,023	0,092	0,34	0,26	0,25	0,11	NA
Skewness	-0,79	-1,01	-0,94	-0,33	NA	-0,13	-0,34	-1,98	-0,57	-0,76	-0,57	-0,57	-0,59	NA
Coefficient of Variation (CoV)	-0,33	-0,37	-0,31	-0,31	NA	-0,2	-0,35	-0,17	-0,25	-0,54	-0,37	-0,41	-0,39	NA
Count	7104	241	4310	1245	1	43	124	8	228	389	131	56	34	1161

ORE

<i>I1</i>	<i>Felsic intrusive including granite</i>	<i>MT</i>	<i>Overburden</i>	<i>V</i>	<i>Undifferentiated volcanics</i>
<i>I2J</i>	<i>Non-brecciated diorite</i>	<i>QFP</i>	<i>Quartz feldspar porphyry</i>	<i>V1</i>	<i>Felsic volcanics including rhyolite</i>
<i>I2J; BR</i>	<i>Brecciated diorite</i>	<i>S3</i>	<i>Greywacke-siltstone</i>	<i>V2</i>	<i>Intermediate volcanics including andesite</i>
<i>I3</i>	<i>Mafic intrusive including gabbro</i>	<i>T</i>	<i>Various tuffs</i>	<i>V3</i>	<i>Mafic volcanics including basalt</i>
<i>Backlog</i>	<i>Backlogged samples - assays but no lithology</i>				

Fe Final (%)	All	I1	I2J	I2J; BR	I3	MT	QFP	S3	T (tuff)	V	V1	V2	V3	Backlog
Maximum	1,31	1,05	1,31	1,29	0,82	0,93	0,92	1,06	1,08	1,31	1,03	0,89	1,15	NA
Minimum	-1,05	-0,32	-1,05	-0,092	0,82	0,2	-0,26	0,8	0,061	-0,11	-0,37	0,24	0,2	NA
Mean	0,66	0,35	0,68	0,66	0,82	0,71	0,29	0,89	0,68	0,87	0,23	0,7	0,89	NA
Standard Deviation	0,2	0,31	0,15	0,15	NA	0,14	0,22	0,089	0,12	0,21	0,31	0,15	0,23	NA
10 Percentile	0,45	-0,11	0,52	0,48	0,82	0,52	0,011	0,8	0,58	0,61	-0,19	0,48	0,58	NA
25 Percentile	0,6	0,11	0,62	0,58	0,82	0,66	0,21	0,84	0,64	0,72	-8,7E-05	0,61	0,71	NA
Median	0,69	0,38	0,69	0,67	0,82	0,71	0,31	0,88	0,7	0,85	0,26	0,72	0,99	NA
75 Percentile	0,76	0,59	0,76	0,74	0,82	0,79	0,39	0,92	0,73	1,04	0,46	0,83	1,08	NA
90 Percentile	0,85	0,75	0,84	0,83	0,82	0,84	0,53	1,01	0,8	1,16	0,61	0,85	1,1	NA
Interquartile Range (IQR)	0,17	0,48	0,14	0,16	0	0,14	0,18	0,079	0,09	0,32	0,46	0,22	0,37	NA
Variance	0,04	0,097	0,022	0,022	NA	0,019	0,047	0,0079	0,015	0,044	0,094	0,022	0,054	NA
Skewness	-1,19	-0,24	-0,95	-0,029	NA	-1,31	-0,067	0,98	-1,68	-0,23	-0,012	-0,9	-1,05	NA
Coefficient of Variation (CoV)	0,43	0,67	0,34	0,38	NA	0,28	0,56	0,22	0,26	0,48	0,73	0,3	0,42	0,42
Count	7104	241	4310	1245	1	43	124	8	228	389	131	56	34	1161

ORE

<i>I1</i>	<i>Felsic intrusive including granite</i>	<i>MT</i>	<i>Overburden</i>	<i>V</i>	<i>Undifferentiated volcanics</i>
<i>I2J</i>	<i>Non-brecciated diorite</i>	<i>QFP</i>	<i>Quartz feldspar porphyry</i>	<i>V1</i>	<i>Felsic volcanics including rhyolite</i>
<i>I2J; BR</i>	<i>Brecciated diorite</i>	<i>S3</i>	<i>Greywacke-siltstone</i>	<i>V2</i>	<i>Intermediate volcanics including andesite</i>
<i>I3</i>	<i>Mafic intrusive including gabbro</i>	<i>T</i>	<i>Various tuffs</i>	<i>V3</i>	<i>Mafic volcanics including basalt</i>
<i>Backlog</i>	<i>Backlogged samples - assays but no lithology</i>				

K Final (%)	All	I1	I2J	I2J; BR	I3	MT	QFP	S3	T (tuff)	V	V1	V2	V3	Backlog
Maximum	0,69	0,62	0,69	0,51	0,17	0,43	0,57	0,37	0,52	0,63	0,58	0,48	0,53	NA
Minimum	-1,1	-0,62	-1,1	-0,8	0,17	-0,11	-0,15	0,2	-0,25	-0,8	-0,37	-0,43	-0,44	NA
Mean	0,2	0,24	0,22	0,13	0,17	0,25	0,17	0,33	0,2	0,12	0,31	0,18	0,15	NA
Standard Deviation	0,18	0,17	0,15	0,18	NA	0,12	0,14	0,055	0,13	0,28	0,17	0,25	0,27	NA
10 Percentile	-0,022	0,049	0,033	-0,12	0,17	0,12	-0,0048	0,29	0,025	-0,32	0,083	-0,23	-0,26	NA
25 Percentile	0,12	0,14	0,15	0,025	0,17	0,18	0,078	0,33	0,13	0,029	0,21	0,12	-0,017	NA
Median	0,23	0,24	0,24	0,15	0,17	0,27	0,17	0,34	0,21	0,18	0,32	0,26	0,21	NA
75 Percentile	0,31	0,35	0,31	0,26	0,17	0,33	0,28	0,36	0,28	0,32	0,44	0,35	0,35	NA
90 Percentile	0,38	0,44	0,38	0,33	0,17	0,36	0,35	0,37	0,34	0,41	0,52	0,43	0,43	NA
Interquartile Range (IQR)	0,19	0,21	0,16	0,23	0	0,14	0,2	0,024	0,15	0,29	0,24	0,23	0,36	NA
Variance	0,031	0,027	0,024	0,034	NA	0,014	0,019	0,003	0,017	0,079	0,029	0,062	0,075	NA
Skewness	-1,31	-0,6	-1,39	-0,91	NA	-1,08	0,24	-2,28	-0,67	-1,14	-0,82	-1,18	-0,69	NA
Coefficient of Variation (CoV)	0,89	0,69	0,7	1,47	NA	0,47	0,8	0,17	0,66	2,26	0,56	1,35	1,84	NA
Count	7104	241	4310	1245	1	43	124	8	228	389	131	56	34	1161

ORE

<i>I1</i>	<i>Felsic intrusive including granite</i>	<i>MT</i>	<i>Overburden</i>	<i>V</i>	<i>Undifferentiated volcanics</i>
<i>I2J</i>	<i>Non-brecciated diorite</i>	<i>QFP</i>	<i>Quartz feldspar porphyry</i>	<i>V1</i>	<i>Felsic volcanics including rhyolite</i>
<i>I2J; BR</i>	<i>Brecciated diorite</i>	<i>S3</i>	<i>Greywacke-siltstone</i>	<i>V2</i>	<i>Intermediate volcanics including andesite</i>
<i>I3</i>	<i>Mafic intrusive including gabbro</i>	<i>T</i>	<i>Various tuffs</i>	<i>V3</i>	<i>Mafic volcanics including basalt</i>
<i>Backlog</i>	<i>Backlogged samples - assays but no lithology</i>				

Mg Final (%)	All	I1	I2J	I2J; BR	I3	MT	QFP	S3	T (tuff)	V	V1	V2	V3	Backlog
Maximum	0,84	0,5	0,84	0,67	0,57	0,51	0,56	0,23	0,61	0,67	0,45	0,6	0,6	NA
Minimum	-1,7	-1,7	-0,92	-0,89	0,57	-0,22	-1,22	0,0086	-0,51	-0,92	-1,1	-0,22	-0,48	NA
Mean	0,23	-0,16	0,27	0,24	0,57	0,29	-0,23	0,14	0,27	0,38	-0,4	0,29	0,31	NA
Standard Deviation	0,24	0,39	0,17	0,17	NA	0,13	0,32	0,069	0,19	0,18	0,4	0,17	0,22	NA
10 Percentile	-0,036	-0,68	0,068	0,013	0,57	0,18	-0,63	0,066	0,11	0,19	-0,89	0,088	0,05	NA
25 Percentile	0,16	-0,47	0,2	0,14	0,57	0,22	-0,33	0,13	0,2	0,3	-0,77	0,18	0,26	NA
Median	0,27	-0,097	0,28	0,26	0,57	0,3	-0,24	0,16	0,3	0,4	-0,46	0,3	0,31	NA
75 Percentile	0,37	0,16	0,38	0,36	0,57	0,38	-0,12	0,18	0,4	0,51	-0,048	0,42	0,46	NA
90 Percentile	0,47	0,32	0,48	0,45	0,57	0,44	0,12	0,21	0,46	0,56	0,13	0,47	0,5	NA
Interquartile Range (IQR)	0,22	0,63	0,18	0,22	0	0,16	0,21	0,051	0,2	0,21	0,72	0,24	0,2	NA
Variance	0,057	0,15	0,03	0,03	NA	0,018	0,1	0,0048	0,038	0,033	0,16	0,028	0,046	NA
Skewness	-1,85	-0,46	-1,02	-0,6	NA	-1,31	-0,25	-1,01	-1,7	-2,18	0,22	-0,78	-1,72	NA
Coefficient of Variation (CoV)	1,03	-2,43	0,64	0,71	NA	0,46	-1,36	0,48	0,71	0,48	-1	0,58	0,7	NA
Count	7104	241	4310	1245	1	43	124	8	228	389	131	56	34	1161

<i>I1</i>	<i>Felsic intrusive including granite</i>	<i>MT</i>	<i>Overburden</i>	<i>V</i>	<i>Undifferentiated volcanics</i>
<i>I2J</i>	<i>Non-brecciated diorite</i>	<i>QFP</i>	<i>Quartz feldspar porphyry</i>	<i>V1</i>	<i>Felsic volcanics including rhyolite</i>
<i>I2J; BR</i>	<i>Brecciated diorite</i>	<i>S3</i>	<i>Greywacke-siltstone</i>	<i>V2</i>	<i>Intermediate volcanics including andesite</i>
<i>I3</i>	<i>Mafic intrusive including gabbro</i>	<i>T</i>	<i>Various tuffs</i>	<i>V3</i>	<i>Mafic volcanics including basalt</i>
<i>Backlog</i>	<i>Backlogged samples - assays but no lithology</i>				

Mn Final (%)	All	I1	I2J	I2J; BR	I3	MT	QFP	S3	T (tuff)	V	V1	V2	V3	Backlog
Maximum	-0,52	-0,56	-0,66	-0,82	-1,09	-0,84	-1,02	-1,41	-1,12	-0,52	-1,14	-0,93	-0,74	NA
Minimum	-2,41	-2,22	-2,14	-1,84	-1,09	-1,82	-2,17	-1,64	-1,95	-2,03	-2,29	-1,82	-1,84	NA
Mean	-1,47	-1,65	-1,49	-1,47	-1,09	-1,44	-1,73	-1,57	-1,51	-1,13	-1,76	-1,37	-1,16	NA
Standard Deviation	0,21	0,31	0,18	0,15	NA	0,16	0,21	0,074	0,13	0,26	0,24	0,2	0,27	NA
10 Percentile	-1,7	-2,02	-1,68	-1,63	-1,09	-1,59	-1,97	-1,63	-1,65	-1,54	-2,08	-1,58	-1,57	NA
25 Percentile	-1,6	-1,89	-1,6	-1,56	-1,09	-1,54	-1,87	-1,61	-1,57	-1,28	-1,92	-1,5	-1,28	NA
Median	-1,5	-1,69	-1,51	-1,48	-1,09	-1,44	-1,76	-1,6	-1,49	-1,05	-1,77	-1,39	-1,14	NA
75 Percentile	-1,38	-1,42	-1,39	-1,4	-1,09	-1,36	-1,6	-1,54	-1,42	-0,94	-1,6	-1,3	-0,98	NA
90 Percentile	-1,2	-1,24	-1,24	-1,28	-1,09	-1,31	-1,48	-1,49	-1,37	-0,87	-1,46	-1	-0,82	NA
Interquartile Range (IQR)	0,22	0,47	0,21	0,16	0	0,18	0,26	0,076	0,15	0,34	0,32	0,21	0,3	NA
Variance	0,046	0,094	0,032	0,024	NA	0,025	0,046	0,0055	0,017	0,069	0,059	0,04	0,075	NA
Skewness	0,47	0,62	0,51	1,2	NA	1,01	0,56	1,51	-0,58	-0,8	0,41	0,59	-0,62	NA
Coefficient of Variation (CoV)	-0,15	-0,19	-0,12	-0,1	NA	-0,11	-0,12	-0,047	-0,087	-0,23	-0,14	-0,15	-0,24	NA
Count	7104	241	4310	1245	1	43	124	8	228	389	131	56	34	1161

<i>I1</i>	<i>Felsic intrusive including granite</i>	<i>MT</i>	<i>Overburden</i>	<i>V</i>	<i>Undifferentiated volcanics</i>
<i>I2J</i>	<i>Non-brecciated diorite</i>	<i>QFP</i>	<i>Quartz feldspar porphyry</i>	<i>V1</i>	<i>Felsic volcanics including rhyolite</i>
<i>I2J; BR</i>	<i>Brecciated diorite</i>	<i>S3</i>	<i>Greywacke-siltstone</i>	<i>V2</i>	<i>Intermediate volcanics including andesite</i>
<i>I3</i>	<i>Mafic intrusive including gabbro</i>	<i>T</i>	<i>Various tuffs</i>	<i>V3</i>	<i>Mafic volcanics including basalt</i>
<i>Backlog</i>	<i>Backlogged samples - assays but no lithology</i>				

Mo Final (%)	All	I1	I2J	I2J; BR	I3	MT	QFP	S3	T (tuff)	V	V1	V2	V3	Backlog
Maximum	-0,55	-1,69	-0,6	-0,55	-4	-2,44	-1,39	-2,34	-1,98	-1,14	-1,15	-2,42	-1,39	NA
Minimum	-4,3	-4,3	-4,3	-4,3	-4	-4	-4,3	-3,7	-4,3	-4,3	-4,3	-4,3	-4,3	NA
Mean	-3,51	-3,56	-3,51	-3,64	-4	-3,57	-3,44	-3,27	-3,59	-3,01	-3,17	-3,58	-3,43	NA
Standard Deviation	0,61	0,49	0,58	0,58	NA	0,37	0,5	0,44	0,52	0,81	0,71	0,47	0,78	NA
10 Percentile	-4,3	-4	-4	-4,3	-4	-4	-4	-3,7	-4,3	-4	-4	-4	-4,21	NA
25 Percentile	-4	-4	-4	-4	-4	-3,7	-3,7	-3,57	-4	-3,7	-3,7	-4	-4	NA
Median	-3,7	-3,7	-3,7	-3,7	-4	-3,7	-3,61	-3,31	-3,7	-3,05	-3,3	-3,7	-3,7	NA
75 Percentile	-3,15	-3,3	-3,15	-3,3	-4	-3,4	-3,22	-3,18	-3,22	-2,33	-2,71	-3,3	-3,17	NA
90 Percentile	-2,66	-2,85	-2,7	-2,82	-4	-3,06	-2,85	-2,83	-2,8	-1,88	-2,21	-2,85	-2,21	NA
Interquartile Range (IQR)	0,85	0,7	0,85	0,7	0	0,3	0,48	0,39	0,78	1,37	0,99	0,7	0,83	NA
Variance	0,37	0,24	0,33	0,34	NA	0,13	0,25	0,2	0,27	0,65	0,5	0,22	0,61	NA
Skewness	0,93	0,86	0,84	1,17	NA	0,91	1,61	1,4	0,54	0,21	0,82	0,75	1,35	NA
Coefficient of Variation (CoV)	-0,17	-0,14	-0,16	-0,16	NA	-0,1	-0,14	-0,14	-0,15	-0,27	-0,22	-0,13	-0,23	NA
Count	7104	241	4310	1245	1	43	124	8	228	389	131	56	34	1161

ORE

<i>I1</i>	<i>Felsic intrusive including granite</i>	<i>MT</i>	<i>Overburden</i>	<i>V</i>	<i>Undifferentiated volcanics</i>
<i>I2J</i>	<i>Non-brecciated diorite</i>	<i>QFP</i>	<i>Quartz feldspar porphyry</i>	<i>V1</i>	<i>Felsic volcanics including rhyolite</i>
<i>I2J; BR</i>	<i>Brecciated diorite</i>	<i>S3</i>	<i>Greywacke-siltstone</i>	<i>V2</i>	<i>Intermediate volcanics including andesite</i>
<i>I3</i>	<i>Mafic intrusive including gabbro</i>	<i>T</i>	<i>Various tuffs</i>	<i>V3</i>	<i>Mafic volcanics including basalt</i>
<i>Backlog</i>	<i>Backlogged samples - assays but no lithology</i>				

Na Final (%)	All	I1	I2J	I2J; BR	I3	MT	QFP	S3	T (tuff)	V	V1	V2	V3	Backlog
Maximum	0,78	0,72	0,78	0,6	0,34	0,6	0,66	0,4	0,58	0,78	0,64	0,55	0,6	NA
Minimum	-1,52	-0,28	-1,52	-0,32	0,34	0,31	-0,0044	0,27	0,057	-0,34	-0,96	-0,11	-0,47	NA
Mean	0,41	0,42	0,42	0,42	0,34	0,45	0,48	0,34	0,41	0,28	0,28	0,36	0,15	NA
Standard Deviation	0,13	0,18	0,12	0,093	NA	0,055	0,11	0,043	0,099	0,17	0,28	0,12	0,31	NA
10 Percentile	0,27	0,13	0,29	0,32	0,34	0,39	0,37	0,28	0,29	0,091	-0,071	0,22	-0,38	NA
25 Percentile	0,36	0,37	0,37	0,38	0,34	0,41	0,45	0,31	0,37	0,23	0,19	0,29	-0,059	NA
Median	0,43	0,47	0,43	0,44	0,34	0,45	0,51	0,34	0,43	0,31	0,36	0,37	0,27	NA
75 Percentile	0,48	0,53	0,49	0,48	0,34	0,47	0,55	0,37	0,48	0,38	0,49	0,45	0,38	NA
90 Percentile	0,53	0,58	0,53	0,52	0,34	0,5	0,58	0,39	0,51	0,45	0,54	0,48	0,43	NA
Interquartile Range (IQR)	0,12	0,16	0,11	0,1	0	0,057	0,1	0,052	0,11	0,16	0,3	0,16	0,44	NA
Variance	0,017	0,033	0,013	0,0087	NA	0,003	0,012	0,0019	0,0097	0,028	0,08	0,014	0,097	NA
Skewness	-2,73	-1,72	-2,97	-1,92	NA	0,4	-1,82	-0,32	-1,29	-1,3	-1,66	-1,27	-0,76	NA
Coefficient of Variation (CoV)	0,32	0,44	0,28	0,22	NA	0,12	0,23	0,13	0,24	0,59	0,99	0,34	2,04	NA
Count	7104	241	4310	1245	1	43	124	8	228	389	131	56	34	1161

ORE

<i>I1</i>	<i>Felsic intrusive including granite</i>	<i>MT</i>	<i>Overburden</i>	<i>V</i>	<i>Undifferentiated volcanics</i>
<i>I2J</i>	<i>Non-brecciated diorite</i>	<i>QFP</i>	<i>Quartz feldspar porphyry</i>	<i>V1</i>	<i>Felsic volcanics including rhyolite</i>
<i>I2J; BR</i>	<i>Brecciated diorite</i>	<i>S3</i>	<i>Greywacke-siltstone</i>	<i>V2</i>	<i>Intermediate volcanics including andesite</i>
<i>I3</i>	<i>Mafic intrusive including gabbro</i>	<i>T</i>	<i>Various tuffs</i>	<i>V3</i>	<i>Mafic volcanics including basalt</i>
<i>Backlog</i>	<i>Backlogged samples - assays but no lithology</i>				

Ni Final (%)	All	I1	I2J	I2J; BR	I3	MT	QFP	S3	T (tuff)	V	V1	V2	V3	Backlog
Maximum	-1,57	-1,99	-1,58	-1,64	-1,89	-1,91	-1,94	-2,07	-1,58	-1,59	-1,94	-1,85	-1,67	NA
Minimum	-4,3	-4,3	-4,3	-4	-1,89	-2,85	-4,3	-2,44	-3,4	-3,52	-4,3	-2,72	-3,1	NA
Mean	-2,32	-2,87	-2,29	-2,27	-1,89	-2,25	-3,03	-2,26	-2,27	-2,07	-3,12	-2,26	-2,03	NA
Standard Deviation	0,33	0,57	0,24	0,21	NA	0,18	0,42	0,12	0,25	0,25	0,64	0,18	0,34	NA
10 Percentile	-2,64	-3,7	-2,54	-2,49	-1,89	-2,48	-3,4	-2,4	-2,46	-2,4	-4	-2,5	-2,43	NA
25 Percentile	-2,41	-3,22	-2,39	-2,38	-1,89	-2,31	-3,22	-2,33	-2,36	-2,2	-3,7	-2,38	-2,25	NA
Median	-2,28	-2,77	-2,28	-2,25	-1,89	-2,25	-3,1	-2,26	-2,25	-2,03	-3,1	-2,24	-1,91	NA
75 Percentile	-2,13	-2,41	-2,14	-2,15	-1,89	-2,12	-2,85	-2,18	-2,1	-1,89	-2,61	-2,14	-1,78	NA
90 Percentile	-2,01	-2,25	-2,02	-2,04	-1,89	-2,05	-2,49	-2,14	-2,02	-1,77	-2,3	-2,05	-1,72	NA
Interquartile Range (IQR)	0,28	0,81	0,25	0,23	0	0,2	0,37	0,16	0,25	0,31	1,09	0,24	0,47	NA
Variance	0,11	0,32	0,058	0,043	NA	0,032	0,18	0,015	0,063	0,063	0,41	0,034	0,11	NA
Skewness	-2,14	-0,68	-1,49	-0,94	NA	-0,95	-0,043	0,0058	-1,88	-1,12	-0,17	-0,052	-1,29	NA
Coefficient of Variation (CoV)	-0,14	-0,2	-0,1	-0,091	NA	-0,08	-0,14	-0,054	-0,11	-0,12	-0,2	-0,081	-0,17	NA
Count	7104	241	4310	1245	1	43	124	8	228	389	131	56	34	1161

ORE

<i>I1</i>	<i>Felsic intrusive including granite</i>	<i>MT</i>	<i>Overburden</i>	<i>V</i>	<i>Undifferentiated volcanics</i>
<i>I2J</i>	<i>Non-brecciated diorite</i>	<i>QFP</i>	<i>Quartz feldspar porphyry</i>	<i>V1</i>	<i>Felsic volcanics including rhyolite</i>
<i>I2J; BR</i>	<i>Brecciated diorite</i>	<i>S3</i>	<i>Greywacke-siltstone</i>	<i>V2</i>	<i>Intermediate volcanics including andesite</i>
<i>I3</i>	<i>Mafic intrusive including gabbro</i>	<i>T</i>	<i>Various tuffs</i>	<i>V3</i>	<i>Mafic volcanics including basalt</i>
<i>Backlog</i>	<i>Backlogged samples - assays but no lithology</i>				

P Final (%)	All	I1	I2J	I2J; BR	I3	MT	QFP	S3	T (tuff)	V	V1	V2	V3	Backlog
Maximum	-0,2	-0,97	-0,55	-0,26	-1,14	-1,09	-0,63	-1,22	-0,63	-0,86	-0,84	-0,84	-0,98	NA
Minimum	-2,7	-2,7	-2	-2	-1,14	-1,49	-2	-1,33	-1,77	-2,05	-2,15	-1,89	-1,92	NA
Mean	-1,24	-1,47	-1,22	-1,2	-1,14	-1,25	-1,41	-1,27	-1,19	-1,29	-1,67	-1,2	-1,37	NA
Standard Deviation	0,16	0,3	0,11	0,11	NA	0,083	0,25	0,036	0,12	0,14	0,3	0,17	0,19	NA
10 Percentile	-1,36	-1,96	-1,32	-1,3	-1,14	-1,31	-1,91	-1,31	-1,31	-1,46	-2	-1,34	-1,54	NA
25 Percentile	-1,28	-1,64	-1,27	-1,25	-1,14	-1,29	-1,42	-1,3	-1,26	-1,39	-1,96	-1,3	-1,45	NA
Median	-1,22	-1,36	-1,22	-1,21	-1,14	-1,24	-1,34	-1,28	-1,19	-1,28	-1,68	-1,21	-1,41	NA
75 Percentile	-1,16	-1,24	-1,16	-1,15	-1,14	-1,19	-1,31	-1,25	-1,12	-1,2	-1,41	-1,04	-1,27	NA
90 Percentile	-1,11	-1,17	-1,11	-1,09	-1,14	-1,17	-1,19	-1,24	-1,06	-1,14	-1,27	-1,02	-1,12	NA
Interquartile Range (IQR)	0,12	0,39	0,11	0,1	0	0,11	0,11	0,051	0,13	0,19	0,55	0,26	0,18	NA
Variance	0,024	0,089	0,012	0,012	NA	0,0069	0,061	0,0013	0,015	0,019	0,088	0,03	0,037	NA
Skewness	-1,93	-0,8	-0,7	1,18	NA	-0,87	-1	0,027	0,045	-0,99	0,4	-0,85	-0,14	NA
Coefficient of Variation (CoV)	-0,13	-0,2	-0,089	-0,09	NA	-0,067	-0,17	-0,028	-0,1	-0,11	-0,18	-0,14	-0,14	NA
Count	7104	241	4310	1245	1	43	124	8	228	389	131	56	34	1161

ORE

<i>I1</i>	<i>Felsic intrusive including granite</i>	<i>MT</i>	<i>Overburden</i>	<i>V</i>	<i>Undifferentiated volcanics</i>
<i>I2J</i>	<i>Non-brecciated diorite</i>	<i>QFP</i>	<i>Quartz feldspar porphyry</i>	<i>V1</i>	<i>Felsic volcanics including rhyolite</i>
<i>I2J; BR</i>	<i>Brecciated diorite</i>	<i>S3</i>	<i>Greywacke-siltstone</i>	<i>V2</i>	<i>Intermediate volcanics including andesite</i>
<i>I3</i>	<i>Mafic intrusive including gabbro</i>	<i>T</i>	<i>Various tuffs</i>	<i>V3</i>	<i>Mafic volcanics including basalt</i>
<i>Backlog</i>	<i>Backlogged samples - assays but no lithology</i>				

Sc Final (%)	All	I1	I2J	I2J; BR	I3	MT	QFP	S3	T (tuff)	V	V1	V2	V3	Backlog
Maximum	-2,14	-2,72	-2,14	-2,54	-2,64	-2,49	-2,85	-2,77	-2,62	-2,54	-2,82	-2,62	-2,55	NA
Minimum	-4,3	-4	-4,3	-4	-2,64	-3,4	-4	-3,15	-4	-4	-4	-3,4	-4	NA
Mean	-2,95	-3,34	-2,93	-2,92	-2,64	-2,89	-3,44	-2,91	-2,93	-2,78	-3,58	-2,93	-2,77	NA
Standard Deviation	0,23	0,41	0,16	0,13	NA	0,14	0,28	0,11	0,17	0,19	0,4	0,13	0,27	NA
10 Percentile	-3,15	-4	-3,05	-3,05	-2,64	-3,05	-4	-2,99	-3,05	-3	-4	-3,07	-3,02	NA
25 Percentile	-3	-3,7	-3	-3	-2,64	-2,96	-3,52	-2,92	-3	-2,92	-4	-2,97	-2,9	NA
Median	-2,92	-3,22	-2,92	-2,92	-2,64	-2,89	-3,4	-2,89	-2,92	-2,74	-3,7	-2,92	-2,7	NA
75 Percentile	-2,85	-2,96	-2,85	-2,85	-2,64	-2,8	-3,3	-2,88	-2,85	-2,64	-3,22	-2,88	-2,59	NA
90 Percentile	-2,74	-2,89	-2,77	-2,77	-2,64	-2,75	-3,1	-2,83	-2,77	-2,59	-3	-2,81	-2,57	NA
Interquartile Range (IQR)	0,15	0,74	0,15	0,15	0	0,16	0,22	0,043	0,15	0,28	0,78	0,091	0,32	NA
Variance	0,051	0,17	0,024	0,017	NA	0,021	0,077	0,012	0,029	0,036	0,16	0,016	0,075	NA
Skewness	-2,26	-0,36	-1,78	-0,68	NA	-0,69	-0,42	-1,68	-2,89	-1,69	0,27	-0,39	-2,88	NA
Coefficient of Variation (CoV)	-0,077	-0,12	-0,053	-0,045	NA	-0,05	-0,081	-0,038	-0,058	-0,069	-0,11	-0,043	-0,099	NA
Count	7104	241	4310	1245	1	43	124	8	228	389	131	56	34	1161

<i>I1</i>	<i>Felsic intrusive including granite</i>	<i>MT</i>	<i>Overburden</i>	<i>V</i>	<i>Undifferentiated volcanics</i>
<i>I2J</i>	<i>Non-brecciated diorite</i>	<i>QFP</i>	<i>Quartz feldspar porphyry</i>	<i>V1</i>	<i>Felsic volcanics including rhyolite</i>
<i>I2J; BR</i>	<i>Brecciated diorite</i>	<i>S3</i>	<i>Greywacke-siltstone</i>	<i>V2</i>	<i>Intermediate volcanics including andesite</i>
<i>I3</i>	<i>Mafic intrusive including gabbro</i>	<i>T</i>	<i>Various tuffs</i>	<i>V3</i>	<i>Mafic volcanics including basalt</i>
<i>Backlog</i>	<i>Backlogged samples - assays but no lithology</i>				

Sr Final (%)	All	I1	I2J	I2J; BR	I3	MT	QFP	S3	T (tuff)	V	V1	V2	V3	Backlog
Maximum	-1,13	-1,3	-1,13	-1,14	-1,39	-1,38	-1,24	-1,59	-1,15	-1,21	-1,45	-1,2	-1,44	NA
Minimum	-2,74	-2,74	-2,46	-2,19	-1,39	-1,79	-2,04	-1,71	-1,92	-2,32	-2,66	-1,87	-2,04	NA
Mean	-1,61	-1,69	-1,6	-1,56	-1,39	-1,61	-1,57	-1,67	-1,57	-1,68	-1,83	-1,61	-1,7	NA
Standard Deviation	0,14	0,18	0,13	0,13	NA	0,099	0,17	0,044	0,13	0,15	0,22	0,17	0,15	NA
10 Percentile	-1,78	-1,87	-1,76	-1,73	-1,39	-1,74	-1,8	-1,7	-1,74	-1,87	-2,09	-1,78	-1,87	NA
25 Percentile	-1,69	-1,77	-1,68	-1,64	-1,39	-1,67	-1,67	-1,69	-1,64	-1,76	-1,98	-1,74	-1,8	NA
Median	-1,6	-1,68	-1,6	-1,55	-1,39	-1,61	-1,56	-1,68	-1,57	-1,66	-1,8	-1,65	-1,69	NA
75 Percentile	-1,52	-1,59	-1,52	-1,47	-1,39	-1,54	-1,48	-1,65	-1,5	-1,58	-1,68	-1,5	-1,59	NA
90 Percentile	-1,44	-1,48	-1,45	-1,41	-1,39	-1,48	-1,31	-1,6	-1,43	-1,5	-1,59	-1,38	-1,5	NA
Interquartile Range (IQR)	0,17	0,18	0,16	0,17	0	0,13	0,19	0,048	0,15	0,18	0,29	0,24	0,21	NA
Variance	0,02	0,031	0,017	0,017	NA	0,0098	0,03	0,0019	0,016	0,023	0,046	0,027	0,022	NA
Skewness	-0,7	-1,4	-0,33	-0,46	NA	0,15	-0,38	0,97	0,0099	-0,95	-0,89	0,76	-0,22	NA
Coefficient of Variation (CoV)	-0,089	-0,1	-0,08	-0,085	NA	-0,062	-0,11	-0,026	-0,08	-0,09	-0,12	-0,1	-0,087	NA
Count	7104	241	4310	1245	1	43	124	8	228	389	131	56	34	1161

ORE

<i>I1</i>	<i>Felsic intrusive including granite</i>	<i>MT</i>	<i>Overburden</i>	<i>V</i>	<i>Undifferentiated volcanics</i>
<i>I2J</i>	<i>Non-brecciated diorite</i>	<i>QFP</i>	<i>Quartz feldspar porphyry</i>	<i>V1</i>	<i>Felsic volcanics including rhyolite</i>
<i>I2J; BR</i>	<i>Brecciated diorite</i>	<i>S3</i>	<i>Greywacke-siltstone</i>	<i>V2</i>	<i>Intermediate volcanics including andesite</i>
<i>I3</i>	<i>Mafic intrusive including gabbro</i>	<i>T</i>	<i>Various tuffs</i>	<i>V3</i>	<i>Mafic volcanics including basalt</i>
<i>Backlog</i>	<i>Backlogged samples - assays but no lithology</i>				

Ti Final (%)	All	I1	I2J	I2J; BR	I3	MT	QFP	S3	T (tuff)	V	V1	V2	V3	Backlog
Maximum	-0,21	-0,33	-0,21	-0,25	-0,38	-0,21	-0,51	-0,49	-0,24	-0,31	-0,37	-0,38	-0,39	NA
Minimum	-2	-2	-2	-1,3	-0,38	-0,89	-1,4	-0,66	-1,22	-1,4	-1,4	-0,64	-1,15	NA
Mean	-0,52	-0,82	-0,5	-0,49	-0,38	-0,49	-0,88	-0,53	-0,5	-0,5	-1	-0,48	-0,5	NA
Standard Deviation	0,16	0,32	0,11	0,079	NA	0,1	0,2	0,053	0,12	0,11	0,28	0,07	0,14	NA
10 Percentile	-0,66	-1,3	-0,59	-0,55	-0,38	-0,58	-1,22	-0,57	-0,6	-0,59	-1,3	-0,56	-0,58	NA
25 Percentile	-0,54	-1,1	-0,54	-0,52	-0,38	-0,53	-0,96	-0,53	-0,54	-0,54	-1,22	-0,52	-0,51	NA
Median	-0,48	-0,77	-0,48	-0,48	-0,38	-0,48	-0,85	-0,52	-0,48	-0,47	-1,05	-0,48	-0,46	NA
75 Percentile	-0,44	-0,51	-0,44	-0,44	-0,38	-0,44	-0,77	-0,51	-0,43	-0,43	-0,73	-0,42	-0,43	NA
90 Percentile	-0,41	-0,46	-0,41	-0,41	-0,38	-0,42	-0,64	-0,49	-0,4	-0,41	-0,57	-0,39	-0,42	NA
Interquartile Range (IQR)	0,094	0,59	0,094	0,079	0	0,092	0,19	0,021	0,11	0,11	0,49	0,11	0,07	NA
Variance	0,026	0,1	0,011	0,0062	NA	0,01	0,04	0,0028	0,014	0,013	0,079	0,0049	0,02	NA
Skewness	-3,03	-0,47	-3,08	-2,71	NA	-1,03	-0,77	-2,42	-2,63	-3,85	0,38	-0,33	-3,62	NA
Coefficient of Variation (CoV)	-0,31	-0,39	-0,21	-0,16	NA	-0,21	-0,23	-0,1	-0,24	-0,23	-0,28	-0,15	-0,28	NA
Count	7104	241	4310	1245	1	43	124	8	228	389	131	56	34	1161

ORE

<i>I1</i>	<i>Felsic intrusive including granite</i>	<i>MT</i>	<i>Overburden</i>	<i>V</i>	<i>Undifferentiated volcanics</i>
<i>I2J</i>	<i>Non-brecciated diorite</i>	<i>QFP</i>	<i>Quartz feldspar porphyry</i>	<i>V1</i>	<i>Felsic volcanics including rhyolite</i>
<i>I2J; BR</i>	<i>Brecciated diorite</i>	<i>S3</i>	<i>Greywacke-siltstone</i>	<i>V2</i>	<i>Intermediate volcanics including andesite</i>
<i>I3</i>	<i>Mafic intrusive including gabbro</i>	<i>T</i>	<i>Various tuffs</i>	<i>V3</i>	<i>Mafic volcanics including basalt</i>
<i>Backlog</i>	<i>Backlogged samples - assays but no lithology</i>				

V Final (%)	All	I1	I2J	I2J; BR	I3	MT	QFP	S3	T (tuff)	V	V1	V2	V3	Backlog
Maximum	-1,55	-1,79	-1,55	-1,58	-1,77	-1,72	-1,97	-1,99	-1,62	-1,65	-1,94	-1,77	-1,74	NA
Minimum	-4	-3,7	-3,7	-3,7	-1,77	-2,55	-4	-2,15	-3,1	-3,3	-4	-2,24	-3,3	NA
Mean	-2,03	-2,5	-2	-1,96	-1,77	-1,99	-2,59	-2,04	-1,98	-1,91	-2,87	-1,95	-1,93	NA
Standard Deviation	0,27	0,55	0,16	0,12	NA	0,14	0,43	0,055	0,18	0,17	0,61	0,12	0,27	NA
10 Percentile	-2,2	-3,4	-2,12	-2,07	-1,77	-2,14	-3,35	-2,1	-2,12	-2,08	-3,7	-2,12	-2,11	NA
25 Percentile	-2,05	-2,89	-2,04	-2,01	-1,77	-2,05	-2,56	-2,04	-2,02	-2	-3,52	-2,02	-1,97	NA
Median	-1,98	-2,34	-1,98	-1,96	-1,77	-1,98	-2,51	-2,03	-1,96	-1,87	-2,8	-1,96	-1,84	NA
75 Percentile	-1,91	-2,02	-1,91	-1,9	-1,77	-1,91	-2,35	-2,01	-1,88	-1,8	-2,28	-1,86	-1,79	NA
90 Percentile	-1,83	-1,93	-1,84	-1,83	-1,77	-1,87	-2,23	-1,99	-1,82	-1,76	-2,09	-1,8	-1,77	NA
Interquartile Range (IQR)	0,14	0,86	0,13	0,11	0	0,15	0,2	0,038	0,14	0,2	1,24	0,16	0,18	NA
Variance	0,071	0,3	0,026	0,015	NA	0,019	0,18	0,003	0,032	0,028	0,38	0,014	0,074	NA
Skewness	-3,68	-0,7	-3,46	-2,99	NA	-1,63	-1,72	-1,58	-3,07	-3,14	-0,1	-0,39	-4,1	NA
Coefficient of Variation (CoV)	-0,13	-0,22	-0,081	-0,062	NA	-0,069	-0,16	-0,027	-0,09	-0,087	-0,21	-0,06	-0,14	NA
Count	7104	241	4310	1245	1	43	124	8	228	389	131	56	34	1161

ORE

<i>I1</i>	<i>Felsic intrusive including granite</i>	<i>MT</i>	<i>Overburden</i>	<i>V</i>	<i>Undifferentiated volcanics</i>
<i>I2J</i>	<i>Non-brecciated diorite</i>	<i>QFP</i>	<i>Quartz feldspar porphyry</i>	<i>V1</i>	<i>Felsic volcanics including rhyolite</i>
<i>I2J; BR</i>	<i>Brecciated diorite</i>	<i>S3</i>	<i>Greywacke-siltstone</i>	<i>V2</i>	<i>Intermediate volcanics including andesite</i>
<i>I3</i>	<i>Mafic intrusive including gabbro</i>	<i>T</i>	<i>Various tuffs</i>	<i>V3</i>	<i>Mafic volcanics including basalt</i>
<i>Backlog</i>	<i>Backlogged samples - assays but no lithology</i>				

Zn Final (%)	All	I1	I2J	I2J; BR	I3	MT	QFP	S3	T (tuff)	V	V1	V2	V3	Backlog
Maximum	-0,07	-0,07	-0,2	-0,76	-2,01	-0,75	-1,59	-2,31	-2,01	-0,26	-0,23	-0,41	-1,75	NA
Minimum	-3,7	-3,7	-3,22	-3,05	-2,01	-2,8	-3,3	-2,51	-3,15	-3,22	-3,4	-2,7	-2,82	NA
Mean	-2,39	-2,45	-2,41	-2,4	-2,01	-2,37	-2,54	-2,41	-2,47	-2,1	-2,55	-2,22	-2,12	NA
Standard Deviation	0,26	0,43	0,22	0,22	NA	0,28	0,34	0,084	0,17	0,3	0,46	0,35	0,24	NA
10 Percentile	-2,62	-2,92	-2,62	-2,62	-2,01	-2,53	-2,95	-2,49	-2,66	-2,44	-3	-2,53	-2,45	NA
25 Percentile	-2,54	-2,64	-2,54	-2,54	-2,01	-2,49	-2,8	-2,48	-2,54	-2,25	-2,84	-2,47	-2,26	NA
Median	-2,43	-2,47	-2,44	-2,44	-2,01	-2,41	-2,55	-2,43	-2,46	-2,1	-2,59	-2,24	-2,09	NA
75 Percentile	-2,29	-2,28	-2,32	-2,3	-2,01	-2,31	-2,39	-2,32	-2,37	-1,98	-2,34	-2,11	-1,96	NA
90 Percentile	-2,09	-1,97	-2,15	-2,12	-2,01	-2,26	-2,01	-2,31	-2,28	-1,82	-2,15	-2,01	-1,86	NA
Interquartile Range (IQR)	0,25	0,36	0,22	0,24	0	0,18	0,41	0,16	0,17	0,27	0,5	0,36	0,3	NA
Variance	0,067	0,18	0,048	0,048	NA	0,078	0,12	0,007	0,028	0,088	0,21	0,12	0,056	NA
Skewness	1,58	0,73	2	1,54	NA	4,77	0,75	0,21	-0,63	1,1	2,1	3,06	-1,01	NA
Coefficient of Variation (CoV)	-0,11	-0,17	-0,091	-0,092	NA	-0,12	-0,13	-0,035	-0,067	-0,14	-0,18	-0,16	-0,11	NA
Count	7104	241	4310	1245	1	43	124	8	228	389	131	56	34	1161

WASTE ROCKS

<i>I1</i>	<i>Felsic intrusive including granite</i>	<i>MT</i>	<i>Overburden</i>	<i>V1</i>	<i>Felsic volcanics including rhyolite</i>
<i>I2J</i>	<i>Non-brecciated diorite</i>	<i>QFP</i>	<i>Quartz feldspar porphyry</i>	<i>V2</i>	<i>Intermediate volcanics including andesite</i>
<i>I2J; BR</i>	<i>Brecciated diorite</i>	<i>S3</i>	<i>Greywacke-siltstone</i>	<i>V3</i>	<i>Mafic volcanics including basalt</i>
<i>I3</i>	<i>Mafic intrusive including gabbro</i>	<i>T</i>	<i>Various tuffs</i>	<i>Fnum</i>	<i>Late brittle fault, clay matrix</i>
<i>M16</i>	<i>Amphibolite</i>	<i>V</i>	<i>Undifferentiated volcanics</i>	<i>Backlog</i>	<i>Backlogged samples - assays but no lithology</i>

S Final (%)	All	I1	I2J	I2J; BR	I3	M16	MT	QFP	S3	T (tuff)	V	V1	V2	V3	Fnum	Backlog
Maximum	0,89	0,65	0,89	0,69	-0,21	0,43	0,38	0,73	-0,092	0,54	0,72	0,34	0,27	0,38	-0,092	NA
Minimum	-2,3	-2,3	-2,3	-2,3	-2	-1,05	-1,7	-1,52	-1,3	-1,7	-2,3	-2	-2	-1,52	-1,22	NA
Mean	-0,57	-0,85	-0,56	-0,56	-0,9	-0,6	-0,43	-0,45	-0,67	-0,48	-0,57	-0,47	-0,74	-0,53	-0,42	NA
Standard Deviation	0,46	0,51	0,45	0,43	0,41	0,47	0,34	0,39	0,31	0,36	0,58	0,43	0,4	0,4	0,41	NA
10 Percentile	-1,15	-1,52	-1,15	-1,1	-1,3	-0,98	-0,91	-0,92	-1,06	-0,96	-1,3	-1	-1,22	-1,05	-0,8	NA
25 Percentile	-0,85	-1,22	-0,82	-0,82	-1,03	-0,86	-0,6	-0,72	-0,88	-0,74	-1	-0,77	-0,96	-0,8	-0,38	NA
Median	-0,55	-0,85	-0,52	-0,54	-0,85	-0,73	-0,38	-0,42	-0,68	-0,48	-0,59	-0,44	-0,72	-0,52	-0,31	NA
75 Percentile	-0,26	-0,49	-0,25	-0,26	-0,67	-0,51	-0,2	-0,21	-0,43	-0,24	-0,17	-0,13	-0,49	-0,28	-0,22	NA
90 Percentile	-0,013	-0,2	-0,013	-0,051	-0,35	-0,14	-0,041	0,006	-0,29	-0,0079	0,26	0,049	-0,29	-0,052	-0,15	NA
Interquartile Range (IQR)	0,59	0,73	0,57	0,56	0,36	0,35	0,4	0,5	0,45	0,51	0,83	0,64	0,47	0,52	0,17	NA
Variance	0,22	0,26	0,21	0,19	0,17	0,22	0,12	0,15	0,095	0,13	0,34	0,18	0,16	0,16	0,17	NA
Skewness	-0,31	0,07	-0,34	-0,39	-0,73	1,79	-0,76	-0,038	-0,1	-0,15	-0,023	-0,39	-0,46	-0,28	-2,06	NA
Coefficient of Variation (CoV)	-0,81	-0,6	-0,82	-0,77	-0,46	-0,78	-0,8	-0,87	-0,46	-0,75	-1,01	-0,9	-0,54	-0,75	-0,97	NA
Count	25455	1394	15850	3853	22	8	195	274	28	433	1848	453	132	92	6	1161
Percentage	%	5,48	62,27	15,14	0,09	0,03	0,77	1,08	0,11	1,70	7,26	1,78	0,52	0,36	0,02	4,56
Antilog +1 Std Dev		0,457	0,776	0,741							1,023					
Antilog Mean		0,141	0,275	0,275							0,269					
Antilog -1 Std Dev		0,044	0,098	0,102							0,071					

WASTE ROCKS

<i>I1</i>	<i>Felsic intrusive including granite</i>	<i>MT</i>	<i>Overburden</i>	<i>V1</i>	<i>Felsic volcanics including rhyolite</i>
<i>I2J</i>	<i>Non-brecciated diorite</i>	<i>QFP</i>	<i>Quartz feldspar porphyry</i>	<i>V2</i>	<i>Intermediate volcanics including andesite</i>
<i>I2J; BR</i>	<i>Brecciated diorite</i>	<i>S3</i>	<i>Greywacke-siltstone</i>	<i>V3</i>	<i>Mafic volcanics including basalt</i>
<i>I3</i>	<i>Mafic intrusive including gabbro</i>	<i>T</i>	<i>Various tuffs</i>	<i>Fnum</i>	<i>Late brittle fault, clay matrix</i>
<i>M16</i>	<i>Amphibolite</i>	<i>V</i>	<i>Undifferentiated volcanics</i>	<i>Backlog</i>	<i>Backlogged samples - assays but no lithology</i>

AI Final (%)	All	I1	I2J	I2J; BR	I3	M16	MT	QFP	S3	T (tuff)	V	V1	V2	V3	Fnum	Backlog
Maximum	0,99	0,96	0,99	0,97	0,92	0,88	0,95	0,9	0,89	0,96	0,99	0,9	0,92	0,94	0,89	NA
Minimum	-0,27	0,14	-0,27	0,51	0,58	0,82	0,76	0,7	0,84	0,72	0,56	0,48	0,72	0,76	0,76	NA
Mean	0,87	0,83	0,87	0,88	0,78	0,84	0,88	0,83	0,86	0,87	0,88	0,8	0,87	0,88	0,85	NA
Standard Deviation	0,035	0,047	0,03	0,023	0,097	0,018	0,027	0,037	0,016	0,03	0,032	0,045	0,031	0,03	0,051	NA
10 Percentile	0,83	0,78	0,84	0,85	0,62	0,83	0,84	0,78	0,84	0,84	0,84	0,76	0,83	0,84	0,8	NA
25 Percentile	0,86	0,8	0,86	0,86	0,72	0,84	0,86	0,8	0,85	0,86	0,86	0,77	0,86	0,86	0,85	NA
Median	0,87	0,82	0,87	0,88	0,82	0,84	0,88	0,84	0,86	0,87	0,88	0,8	0,87	0,88	0,87	NA
75 Percentile	0,89	0,86	0,89	0,89	0,85	0,85	0,9	0,86	0,88	0,89	0,89	0,82	0,89	0,89	0,88	NA
90 Percentile	0,9	0,88	0,9	0,9	0,86	0,86	0,91	0,87	0,89	0,9	0,91	0,85	0,9	0,91	0,89	NA
Interquartile Range (IQR)	0,031	0,055	0,028	0,028	0,13	0,012	0,036	0,055	0,027	0,025	0,032	0,05	0,03	0,036	0,027	NA
Variance	0,0012	0,0022	0,0009	0,0006	0,0094	0,0003	0,0007	0,0014	0,0003	0,0009	0,0011	0,0021	0,001	0,0009	0,0026	NA
Skewness	-5,65	-3,37	-10,2	-1,57	-0,74	1,23	-0,44	-0,59	0,3	-1,28	-2,16	-1,45	-1,42	-1,01	-2	NA
Coefficient of Variation (CoV)	0,04	0,057	0,035	0,027	0,12	0,022	0,031	0,045	0,019	0,034	0,037	0,057	0,036	0,034	0,059	NA
Count	25455	1394	15850	3853	22	8	195	274	28	433	1848	453	132	92	6	1161

WASTE ROCKS

<i>I1</i>	<i>Felsic intrusive including granite</i>	<i>MT</i>	<i>Overburden</i>	<i>V1</i>	<i>Felsic volcanics including rhyolite</i>
<i>I2J</i>	<i>Non-brecciated diorite</i>	<i>QFP</i>	<i>Quartz feldspar porphyry</i>	<i>V2</i>	<i>Intermediate volcanics including andesite</i>
<i>I2J; BR</i>	<i>Brecciated diorite</i>	<i>S3</i>	<i>Greywacke-siltstone</i>	<i>V3</i>	<i>Mafic volcanics including basalt</i>
<i>I3</i>	<i>Mafic intrusive including gabbro</i>	<i>T</i>	<i>Various tuffs</i>	<i>Fnum</i>	<i>Late brittle fault, clay matrix</i>
<i>M16</i>	<i>Amphibolite</i>	<i>V</i>	<i>Undifferentiated volcanics</i>	<i>Backlog</i>	<i>Backlogged samples - assays but no lithology</i>

Ba Final (%)	All	I1	I2J	I2J; BR	I3	M16	MT	QFP	S3	T (tuff)	V	V1	V2	V3	Fnum	Backlog
Maximum	-0,38	-0,61	-0,56	-0,55	-1,21	-1,24	-1,07	-0,41	-1,05	-0,78	-0,75	-0,38	-0,99	-0,8	-1,31	NA
Minimum	-3,3	-3,3	-3	-2,7	-2,7	-1,82	-1,96	-2,4	-1,77	-2,22	-2,7	-2,52	-2,7	-2,4	-1,54	NA
Mean	-1,63	-1,9	-1,61	-1,7	-1,56	-1,53	-1,56	-1,33	-1,48	-1,63	-1,6	-1,13	-1,69	-1,49	-1,45	NA
Standard Deviation	0,3	0,68	0,23	0,25	0,38	0,2	0,16	0,29	0,17	0,26	0,24	0,29	0,26	0,34	0,078	NA
10 Percentile	-1,96	-3	-1,89	-2	-1,97	-1,74	-1,74	-1,68	-1,64	-1,92	-1,89	-1,54	-2	-2,04	-1,52	NA
25 Percentile	-1,77	-2,52	-1,74	-1,85	-1,55	-1,65	-1,66	-1,54	-1,59	-1,82	-1,72	-1,28	-1,77	-1,68	-1,49	NA
Median	-1,62	-1,7	-1,62	-1,72	-1,44	-1,55	-1,57	-1,31	-1,48	-1,68	-1,57	-1,09	-1,66	-1,38	-1,47	NA
75 Percentile	-1,46	-1,32	-1,47	-1,54	-1,38	-1,38	-1,47	-1,14	-1,41	-1,47	-1,46	-0,94	-1,55	-1,24	-1,44	NA
90 Percentile	-1,28	-1,09	-1,32	-1,37	-1,29	-1,3	-1,36	-1,03	-1,26	-1,26	-1,35	-0,82	-1,39	-1,12	-1,37	NA
Interquartile Range (IQR)	0,31	1,2	0,28	0,32	0,17	0,27	0,19	0,4	0,18	0,36	0,27	0,34	0,22	0,44	0,054	NA
Variance	0,09	0,46	0,053	0,061	0,14	0,038	0,024	0,087	0,029	0,07	0,058	0,081	0,067	0,12	0,0061	NA
Skewness	-0,85	-0,34	-0,1	0,15	-2,24	0,016	0,26	-0,43	0,76	0,76	-0,93	-0,69	-0,89	-0,68	1,34	NA
Coefficient of Variation (CoV)	-0,18	-0,36	-0,14	-0,15	-0,24	-0,13	-0,1	-0,22	-0,12	-0,16	-0,15	-0,25	-0,15	-0,23	-0,054	NA
Count	25455	1394	15850	3853	22	8	195	274	28	433	1848	453	132	92	6	1161

WASTE ROCKS

<i>I1</i>	<i>Felsic intrusive including granite</i>	<i>MT</i>	<i>Overburden</i>	<i>V1</i>	<i>Felsic volcanics including rhyolite</i>
<i>I2J</i>	<i>Non-brecciated diorite</i>	<i>QFP</i>	<i>Quartz feldspar porphyry</i>	<i>V2</i>	<i>Intermediate volcanics including andesite</i>
<i>I2J; BR</i>	<i>Brecciated diorite</i>	<i>S3</i>	<i>Greywacke-siltstone</i>	<i>V3</i>	<i>Mafic volcanics including basalt</i>
<i>I3</i>	<i>Mafic intrusive including gabbro</i>	<i>T</i>	<i>Various tuffs</i>	<i>Fnum</i>	<i>Late brittle fault, clay matrix</i>
<i>M16</i>	<i>Amphibolite</i>	<i>V</i>	<i>Undifferentiated volcanics</i>	<i>Backlog</i>	<i>Backlogged samples - assays but no lithology</i>

Ca Final (%)	All	I1	I2J	I2J; BR	I3	M16	MT	QFP	S3	T (tuff)	V	V1	V2	V3	Fnum	Backlog
Maximum	1,11	0,83	1,11	0,98	0,79	0,54	0,78	0,76	0,43	0,79	0,97	0,7	0,83	1,01	0,53	NA
Minimum	-1,1	-0,8	-0,89	-0,11	0,45	0,36	0,14	-0,55	0,22	-0,42	-0,28	-0,8	0,15	0,064	0,19	NA
Mean	0,46	0,035	0,49	0,53	0,65	0,46	0,43	0,23	0,32	0,46	0,57	0,081	0,53	0,69	0,34	NA
Standard Deviation	0,2	0,31	0,15	0,12	0,08	0,066	0,11	0,21	0,045	0,19	0,14	0,22	0,13	0,18	0,11	NA
10 Percentile	0,25	-0,35	0,32	0,38	0,53	0,38	0,29	-0,035	0,26	0,27	0,4	-0,17	0,38	0,51	0,24	NA
25 Percentile	0,39	-0,22	0,41	0,46	0,61	0,41	0,36	0,094	0,3	0,4	0,5	-0,041	0,42	0,59	0,3	NA
Median	0,5	0,015	0,5	0,54	0,66	0,47	0,42	0,26	0,32	0,5	0,57	0,093	0,55	0,7	0,33	NA
75 Percentile	0,59	0,27	0,58	0,61	0,69	0,5	0,49	0,36	0,34	0,58	0,66	0,2	0,62	0,81	0,38	NA
90 Percentile	0,66	0,49	0,66	0,68	0,71	0,53	0,58	0,44	0,37	0,64	0,73	0,34	0,67	0,9	0,46	NA
Interquartile Range (IQR)	0,19	0,5	0,17	0,15	0,08	0,089	0,14	0,27	0,038	0,18	0,16	0,25	0,2	0,22	0,075	NA
Variance	0,041	0,094	0,021	0,015	0,0063	0,0043	0,013	0,044	0,002	0,035	0,021	0,048	0,016	0,033	0,013	NA
Skewness	-1,68	0,24	-0,98	-0,27	-1,08	-0,35	-0,034	-0,41	-0,25	-1,61	-1,08	-0,47	-0,31	-1,01	0,62	NA
Coefficient of Variation (CoV)	0,44	8,82	0,3	0,23	0,12	0,14	0,27	0,93	0,14	0,41	0,25	2,69	0,24	0,26	0,33	NA
Count	25455	1394	15850	3853	22	8	195	274	28	433	1848	453	132	92	6	1161

WASTE ROCKS

<i>I1</i>	<i>Felsic intrusive including granite</i>	<i>MT</i>	<i>Overburden</i>	<i>V1</i>	<i>Felsic volcanics including rhyolite</i>
<i>I2J</i>	<i>Non-brecciated diorite</i>	<i>QFP</i>	<i>Quartz feldspar porphyry</i>	<i>V2</i>	<i>Intermediate volcanics including andesite</i>
<i>I2J; BR</i>	<i>Brecciated diorite</i>	<i>S3</i>	<i>Greywacke-siltstone</i>	<i>V3</i>	<i>Mafic volcanics including basalt</i>
<i>I3</i>	<i>Mafic intrusive including gabbro</i>	<i>T</i>	<i>Various tuffs</i>	<i>Fnum</i>	<i>Late brittle fault, clay matrix</i>
<i>M16</i>	<i>Amphibolite</i>	<i>V</i>	<i>Undifferentiated volcanics</i>	<i>Backlog</i>	<i>Backlogged samples - assays but no lithology</i>

Co Final (%)	All	I1	I2J	I2J; BR	I3	M16	MT	QFP	S3	T (tuff)	V	V1	V2	V3	Fnum	Backlog
Maximum	-1,79	-2,21	-1,79	-1,94	-1,98	-2,49	-2,22	-2,48	-2,21	-2,19	-2,18	-2,25	-2,26	-2,27	-2,47	NA
Minimum	-4,3	-4,3	-4,3	-4	-2,68	-2,74	-3,4	-4,3	-3,1	-4	-4,3	-4,3	-3,3	-4	-2,72	NA
Mean	-2,8	-3,52	-2,73	-2,77	-2,31	-2,61	-2,7	-3,24	-2,73	-2,79	-2,7	-3,31	-2,76	-2,63	-2,6	NA
Standard Deviation	0,33	0,56	0,22	0,2	0,16	0,099	0,19	0,36	0,22	0,29	0,18	0,43	0,22	0,22	0,089	NA
10 Percentile	-3,1	-4,3	-2,96	-3	-2,49	-2,71	-2,94	-3,7	-3,05	-3,05	-2,92	-4	-3	-2,82	-2,69	NA
25 Percentile	-2,89	-4	-2,82	-2,89	-2,41	-2,7	-2,82	-3,4	-2,86	-2,89	-2,8	-3,52	-2,89	-2,7	-2,65	NA
Median	-2,74	-3,52	-2,7	-2,74	-2,31	-2,61	-2,68	-3,22	-2,72	-2,74	-2,7	-3,3	-2,8	-2,59	-2,61	NA
75 Percentile	-2,62	-3,05	-2,6	-2,64	-2,2	-2,52	-2,57	-3,05	-2,63	-2,64	-2,57	-3	-2,6	-2,52	-2,55	NA
90 Percentile	-2,51	-2,8	-2,49	-2,54	-2,13	-2,49	-2,48	-2,82	-2,5	-2,51	-2,48	-2,75	-2,46	-2,46	-2,5	NA
Interquartile Range (IQR)	0,27	0,95	0,22	0,25	0,21	0,18	0,26	0,35	0,23	0,25	0,23	0,52	0,28	0,18	0,094	NA
Variance	0,11	0,31	0,048	0,041	0,027	0,0097	0,035	0,13	0,049	0,085	0,034	0,19	0,05	0,049	0,0079	NA
Skewness	-2,18	0,023	-1,6	-0,41	-0,0028	-0,042	-0,46	-0,53	0,35	-1,95	-1,37	-0,14	-0,079	-3,06	0,29	NA
Coefficient of Variation (CoV)	-0,12	-0,16	-0,081	-0,074	-0,071	-0,038	-0,069	-0,11	-0,081	-0,1	-0,068	-0,13	-0,081	-0,084	-0,034	NA
Count	25455	1394	15850	3853	22	8	195	274	28	433	1848	453	132	92	6	1161

WASTE ROCKS

<i>I1</i>	<i>Felsic intrusive including granite</i>	<i>MT</i>	<i>Overburden</i>	<i>V1</i>	<i>Felsic volcanics including rhyolite</i>
<i>I2J</i>	<i>Non-brecciated diorite</i>	<i>QFP</i>	<i>Quartz feldspar porphyry</i>	<i>V2</i>	<i>Intermediate volcanics including andesite</i>
<i>I2J; BR</i>	<i>Brecciated diorite</i>	<i>S3</i>	<i>Greywacke-siltstone</i>	<i>V3</i>	<i>Mafic volcanics including basalt</i>
<i>I3</i>	<i>Mafic intrusive including gabbro</i>	<i>T</i>	<i>Various tuffs</i>	<i>Fnum</i>	<i>Late brittle fault, clay matrix</i>
<i>M16</i>	<i>Amphibolite</i>	<i>V</i>	<i>Undifferentiated volcanics</i>	<i>Backlog</i>	<i>Backlogged samples - assays but no lithology</i>

Cr Final (%)	All	I1	I2J	I2J; BR	I3	M16	MT	QFP	S3	T (tuff)	V	V1	V2	V3	Fnum	Backlog
Maximum	-0,88	-1,63	-1,17	-1,07	-0,88	-1,6	-1,66	-1,58	-1,89	-1,24	-1,2	-1,63	-1,15	-1,49	-1,59	NA
Minimum	-3,4	-3,3	-3,3	-3,22	-2,02	-1,95	-2,96	-3,15	-2,08	-3,05	-3	-3,4	-2,55	-3,15	-2,12	NA
Mean	-2,03	-2,59	-1,98	-1,96	-1,29	-1,8	-2,03	-2,62	-1,95	-2,05	-1,92	-2,72	-1,93	-1,85	-1,94	NA
Standard Deviation	0,31	0,35	0,24	0,2	0,26	0,14	0,21	0,31	0,064	0,31	0,27	0,34	0,27	0,25	0,19	NA
10 Percentile	-2,41	-2,96	-2,25	-2,19	-1,57	-1,92	-2,28	-2,95	-2,05	-2,4	-2,26	-3,1	-2,25	-2,15	-2,08	NA
25 Percentile	-2,12	-2,85	-2,09	-2,06	-1,41	-1,9	-2,15	-2,8	-1,99	-2,18	-2,11	-2,96	-2,04	-1,97	-2,03	NA
Median	-1,97	-2,72	-1,96	-1,95	-1,29	-1,87	-2,01	-2,72	-1,92	-2	-1,91	-2,8	-1,97	-1,83	-1,98	NA
75 Percentile	-1,84	-2,28	-1,84	-1,84	-1,17	-1,69	-1,88	-2,47	-1,9	-1,84	-1,72	-2,57	-1,78	-1,64	-1,93	NA
90 Percentile	-1,73	-2,03	-1,74	-1,74	-0,95	-1,62	-1,79	-2,19	-1,9	-1,7	-1,61	-2,2	-1,67	-1,59	-1,76	NA
Interquartile Range (IQR)	0,28	0,57	0,26	0,22	0,23	0,22	0,27	0,32	0,087	0,34	0,38	0,39	0,25	0,33	0,1	NA
Variance	0,094	0,12	0,057	0,04	0,068	0,019	0,042	0,096	0,0042	0,098	0,073	0,11	0,071	0,063	0,034	NA
Skewness	-1,18	0,63	-0,95	-0,59	-0,8	0,65	-0,93	1,1	-1,02	-0,99	-0,19	1	0,63	-1,76	1,63	NA
Coefficient of Variation (CoV)	-0,15	-0,13	-0,12	-0,1	-0,2	-0,077	-0,1	-0,12	-0,033	-0,15	-0,14	-0,12	-0,14	-0,14	-0,096	NA
Count	25455	1394	15850	3853	22	8	195	274	28	433	1848	453	132	92	6	1161

WASTE ROCKS

<i>I1</i>	<i>Felsic intrusive including granite</i>	<i>MT</i>	<i>Overburden</i>	<i>V1</i>	<i>Felsic volcanics including rhyolite</i>
<i>I2J</i>	<i>Non-brecciated diorite</i>	<i>QFP</i>	<i>Quartz feldspar porphyry</i>	<i>V2</i>	<i>Intermediate volcanics including andesite</i>
<i>I2J; BR</i>	<i>Brecciated diorite</i>	<i>S3</i>	<i>Greywacke-siltstone</i>	<i>V3</i>	<i>Mafic volcanics including basalt</i>
<i>I3</i>	<i>Mafic intrusive including gabbro</i>	<i>T</i>	<i>Various tuffs</i>	<i>Fnum</i>	<i>Late brittle fault, clay matrix</i>
<i>M16</i>	<i>Amphibolite</i>	<i>V</i>	<i>Undifferentiated volcanics</i>	<i>Backlog</i>	<i>Backlogged samples - assays but no lithology</i>

Cu Final (%)	All	I1	I2J	I2J; BR	I3	M16	MT	QFP	S3	T (tuff)	V	V1	V2	V3	Fnum	Backlog
Maximum	-0,81	-0,96	-0,81	-0,96	-1,36	-1,09	-1	-0,99	-1,1	-1,03	-0,85	-0,96	-1,17	-0,85	-1,08	NA
Minimum	-4,3	-4,3	-4,3	-4	-2,77	-2,13	-2,7	-3,7	-2,77	-3,05	-4,3	-3,7	-3,52	-2,82	-2,68	NA
Mean	-1,91	-2,35	-1,87	-1,82	-2,06	-1,51	-1,68	-2,1	-1,81	-1,76	-2,21	-1,89	-1,95	-1,65	-1,97	NA
Standard Deviation	0,53	0,62	0,51	0,46	0,35	0,36	0,33	0,54	0,43	0,38	0,55	0,47	0,42	0,43	0,75	NA
10 Percentile	-2,64	-3,15	-2,55	-2,42	-2,44	-1,84	-2,13	-2,84	-2,3	-2,25	-2,85	-2,51	-2,52	-2,4	-2,63	NA
25 Percentile	-2,24	-2,82	-2,17	-2,06	-2,26	-1,7	-1,89	-2,48	-2,13	-2	-2,54	-2,15	-2,2	-1,75	-2,58	NA
Median	-1,82	-2,36	-1,77	-1,76	-2,12	-1,59	-1,65	-2,02	-1,79	-1,72	-2,26	-1,85	-1,91	-1,56	-2,18	NA
75 Percentile	-1,51	-1,86	-1,49	-1,49	-1,83	-1,16	-1,42	-1,71	-1,54	-1,47	-1,81	-1,56	-1,67	-1,35	-1,29	NA
90 Percentile	-1,31	-1,5	-1,29	-1,29	-1,7	-1,13	-1,31	-1,4	-1,24	-1,29	-1,47	-1,3	-1,43	-1,25	-1,1	NA
Interquartile Range (IQR)	0,73	0,96	0,68	0,58	0,44	0,54	0,46	0,77	0,59	0,53	0,73	0,6	0,52	0,4	1,29	NA
Variance	0,28	0,39	0,26	0,21	0,12	0,13	0,11	0,29	0,18	0,15	0,3	0,22	0,17	0,19	0,56	NA
Skewness	-0,82	-0,063	-0,9	-0,97	0,12	-0,33	-0,73	-0,36	-0,16	-0,61	-0,25	-0,57	-0,76	-1,2	0,39	NA
Coefficient of Variation (CoV)	-0,28	-0,26	-0,27	-0,25	-0,17	-0,24	-0,2	-0,26	-0,24	-0,22	-0,25	-0,25	-0,21	-0,26	-0,38	NA
Count	25455	1394	15850	3853	22	8	195	274	28	433	1848	453	132	92	6	1161

WASTE ROCKS

<i>I1</i>	<i>Felsic intrusive including granite</i>	<i>MT</i>	<i>Overburden</i>	<i>V1</i>	<i>Felsic volcanics including rhyolite</i>
<i>I2J</i>	<i>Non-brecciated diorite</i>	<i>QFP</i>	<i>Quartz feldspar porphyry</i>	<i>V2</i>	<i>Intermediate volcanics including andesite</i>
<i>I2J; BR</i>	<i>Brecciated diorite</i>	<i>S3</i>	<i>Greywacke-siltstone</i>	<i>V3</i>	<i>Mafic volcanics including basalt</i>
<i>I3</i>	<i>Mafic intrusive including gabbro</i>	<i>T</i>	<i>Various tuffs</i>	<i>Fnum</i>	<i>Late brittle fault, clay matrix</i>
<i>M16</i>	<i>Amphibolite</i>	<i>V</i>	<i>Undifferentiated volcanics</i>	<i>Backlog</i>	<i>Backlogged samples - assays but no lithology</i>

Fe Final (%)	All	I1	I2J	I2J; BR	I3	M16	MT	QFP	S3	T (tuff)	V	V1	V2	V3	Fnum	Backlog
Maximum	1,29	0,85	1,23	1,29	0,86	0,82	0,89	0,83	0,91	0,89	1,22	0,8	0,91	1,19	0,75	NA
Minimum	-0,46	-0,46	-0,33	-0,24	0,51	0,52	-0,0088	-0,32	0,46	-0,3	-0,27	-0,42	0,32	-0,081	0,51	NA
Mean	0,59	0,1	0,64	0,63	0,73	0,71	0,64	0,24	0,76	0,6	0,66	0,072	0,66	0,81	0,63	NA
Standard Deviation	0,22	0,32	0,14	0,14	0,075	0,09	0,13	0,25	0,088	0,21	0,13	0,26	0,12	0,2	0,079	NA
10 Percentile	0,38	-0,27	0,49	0,47	0,68	0,63	0,5	-0,097	0,66	0,49	0,54	-0,24	0,48	0,6	0,55	NA
25 Percentile	0,55	-0,17	0,58	0,56	0,7	0,68	0,58	0,049	0,73	0,58	0,59	-0,14	0,6	0,69	0,6	NA
Median	0,64	0,025	0,65	0,64	0,73	0,72	0,66	0,26	0,78	0,65	0,66	0,025	0,67	0,79	0,64	NA
75 Percentile	0,71	0,38	0,72	0,71	0,77	0,75	0,72	0,41	0,81	0,71	0,74	0,26	0,74	0,98	0,67	NA
90 Percentile	0,77	0,58	0,78	0,77	0,83	0,78	0,77	0,57	0,85	0,77	0,8	0,45	0,8	1,08	0,71	NA
Interquartile Range (IQR)	0,16	0,55	0,14	0,15	0,075	0,072	0,14	0,36	0,079	0,14	0,15	0,4	0,15	0,29	0,069	NA
Variance	0,049	0,1	0,019	0,019	0,0056	0,008	0,016	0,06	0,0077	0,044	0,017	0,069	0,015	0,042	0,0063	NA
Skewness	-1,97	0,43	-1,5	-0,06	-0,9	-1,3	-1,43	-0,058	-1,49	-2,62	-0,85	0,54	-0,57	-0,66	-0,17	NA
Coefficient of Variation (CoV)	0,37	3,15	0,22	0,22	0,1	0,13	0,2	1,01	0,12	0,35	0,2	3,62	0,19	0,25	0,12	NA
Count	25455	1394	15850	3853	22	8	195	274	28	433	1848	453	132	92	6	1161

WASTE ROCKS

<i>I1</i>	<i>Felsic intrusive including granite</i>	<i>MT</i>	<i>Overburden</i>	<i>V1</i>	<i>Felsic volcanics including rhyolite</i>
<i>I2J</i>	<i>Non-brecciated diorite</i>	<i>QFP</i>	<i>Quartz feldspar porphyry</i>	<i>V2</i>	<i>Intermediate volcanics including andesite</i>
<i>I2J; BR</i>	<i>Brecciated diorite</i>	<i>S3</i>	<i>Greywacke-siltstone</i>	<i>V3</i>	<i>Mafic volcanics including basalt</i>
<i>I3</i>	<i>Mafic intrusive including gabbro</i>	<i>T</i>	<i>Various tuffs</i>	<i>Fnum</i>	<i>Late brittle fault, clay matrix</i>
<i>M16</i>	<i>Amphibolite</i>	<i>V</i>	<i>Undifferentiated volcanics</i>	<i>Backlog</i>	<i>Backlogged samples - assays but no lithology</i>

K Final (%)	All	I1	I2J	I2J; BR	I3	M16	MT	QFP	S3	T (tuff)	V	V1	V2	V3	Fnum	Backlog
Maximum	0,74	0,74	0,69	0,62	0,49	0,35	0,6	0,63	0,37	0,59	0,61	0,65	0,43	0,66	0,48	NA
Minimum	-1,1	-0,96	-0,82	-0,89	-1,1	0,13	-0,28	-0,19	0,13	-0,48	-0,96	-0,19	-0,68	-0,55	0,24	NA
Mean	0,16	0,3	0,16	0,09	0,051	0,24	0,24	0,22	0,26	0,2	0,053	0,32	0,12	0,24	0,33	NA
Standard Deviation	0,19	0,21	0,17	0,19	0,37	0,071	0,12	0,14	0,061	0,17	0,23	0,15	0,22	0,31	0,089	NA
10 Percentile	-0,081	0,049	-0,051	-0,16	-0,32	0,15	0,088	0,039	0,19	-0,021	-0,2	0,13	-0,23	-0,3	0,25	NA
25 Percentile	0,057	0,19	0,072	-0,013	0,0094	0,21	0,19	0,12	0,22	0,11	-0,076	0,21	0,079	0,02	0,27	NA
Median	0,18	0,31	0,18	0,12	0,14	0,26	0,25	0,21	0,25	0,22	0,064	0,32	0,18	0,37	0,31	NA
75 Percentile	0,28	0,44	0,28	0,22	0,24	0,28	0,31	0,3	0,31	0,29	0,2	0,42	0,27	0,49	0,37	NA
90 Percentile	0,37	0,55	0,35	0,31	0,32	0,31	0,36	0,37	0,34	0,39	0,32	0,51	0,32	0,54	0,43	NA
Interquartile Range (IQR)	0,22	0,26	0,2	0,23	0,23	0,077	0,12	0,18	0,086	0,18	0,28	0,21	0,19	0,47	0,1	NA
Variance	0,036	0,045	0,029	0,036	0,14	0,005	0,014	0,02	0,0038	0,028	0,052	0,023	0,049	0,098	0,0079	NA
Skewness	-0,9	-1,17	-1,02	-0,92	-2,04	-0,37	-0,99	0,14	0,09	-0,72	-0,74	-0,14	-1,6	-0,89	0,86	NA
Coefficient of Variation (CoV)	1,21	0,71	1,06	2,11	7,19	0,29	0,5	0,66	0,24	0,85	4,27	0,48	1,83	1,28	0,27	NA
Count	25455	1394	15850	3853	22	8	195	274	28	433	1848	453	132	92	6	1161

WASTE ROCKS

<i>I1</i>	<i>Felsic intrusive including granite</i>	<i>MT</i>	<i>Overburden</i>	<i>V1</i>	<i>Felsic volcanics including rhyolite</i>
<i>I2J</i>	<i>Non-brecciated diorite</i>	<i>QFP</i>	<i>Quartz feldspar porphyry</i>	<i>V2</i>	<i>Intermediate volcanics including andesite</i>
<i>I2J; BR</i>	<i>Brecciated diorite</i>	<i>S3</i>	<i>Greywacke-siltstone</i>	<i>V3</i>	<i>Mafic volcanics including basalt</i>
<i>I3</i>	<i>Mafic intrusive including gabbro</i>	<i>T</i>	<i>Various tuffs</i>	<i>Fnum</i>	<i>Late brittle fault, clay matrix</i>
<i>M16</i>	<i>Amphibolite</i>	<i>V</i>	<i>Undifferentiated volcanics</i>	<i>Backlog</i>	<i>Backlogged samples - assays but no lithology</i>

Mg Final (%)	All	I1	I2J	I2J; BR	I3	M16	MT	QFP	S3	T (tuff)	V	V1	V2	V3	Fnum	Backlog
Maximum	1,18	0,56	1,05	0,79	1,18	0,56	0,55	0,66	0,29	0,91	0,83	0,55	1	0,55	0,55	NA
Minimum	-2	-2	-1,7	-0,89	0,46	0,27	-0,57	-1,3	-0,22	-1,7	-1	-1,4	-0,2	-0,89	0,28	NA
Mean	0,2	-0,63	0,27	0,26	0,89	0,39	0,25	-0,25	0,16	0,23	0,35	-0,59	0,31	0,3	0,39	NA
Standard Deviation	0,35	0,67	0,2	0,16	0,21	0,11	0,15	0,39	0,098	0,35	0,19	0,43	0,22	0,2	0,12	NA
10 Percentile	-0,092	-1,52	0,041	0,041	0,66	0,3	0,12	-0,85	0,061	-0,034	0,14	-1	0,069	0,084	0,28	NA
25 Percentile	0,14	-1,3	0,18	0,17	0,75	0,32	0,18	-0,43	0,13	0,21	0,23	-0,92	0,21	0,21	0,3	NA
Median	0,27	-0,52	0,29	0,29	0,88	0,35	0,27	-0,22	0,19	0,29	0,35	-0,74	0,31	0,32	0,33	NA
75 Percentile	0,38	-0,042	0,39	0,37	1,04	0,42	0,35	-0,062	0,21	0,4	0,49	-0,24	0,42	0,44	0,49	NA
90 Percentile	0,48	0,16	0,48	0,45	1,13	0,56	0,41	0,25	0,24	0,51	0,57	0,076	0,52	0,5	0,55	NA
Interquartile Range (IQR)	0,24	1,26	0,2	0,2	0,29	0,095	0,17	0,36	0,079	0,2	0,26	0,68	0,21	0,23	0,19	NA
Variance	0,12	0,44	0,039	0,027	0,043	0,012	0,023	0,15	0,0095	0,12	0,035	0,18	0,048	0,04	0,016	NA
Skewness	-2,82	-0,28	-1,88	-0,6	-0,5	1,12	-1,53	-0,33	-2,32	-3,05	-1,47	0,73	0,34	-2,47	0,83	NA
Coefficient of Variation (CoV)	1,78	-1,05	0,74	0,62	0,23	0,28	0,61	-1,53	0,62	1,5	0,54	-0,73	0,7	0,68	0,32	NA
Count	25455	1394	15850	3853	22	8	195	274	28	433	1848	453	132	92	6	1161

WASTE ROCKS

<i>I1</i>	<i>Felsic intrusive including granite</i>	<i>MT</i>	<i>Overburden</i>	<i>V1</i>	<i>Felsic volcanics including rhyolite</i>
<i>I2J</i>	<i>Non-brecciated diorite</i>	<i>QFP</i>	<i>Quartz feldspar porphyry</i>	<i>V2</i>	<i>Intermediate volcanics including andesite</i>
<i>I2J; BR</i>	<i>Brecciated diorite</i>	<i>S3</i>	<i>Greywacke-siltstone</i>	<i>V3</i>	<i>Mafic volcanics including basalt</i>
<i>I3</i>	<i>Mafic intrusive including gabbro</i>	<i>T</i>	<i>Various tuffs</i>	<i>Fnum</i>	<i>Late brittle fault, clay matrix</i>
<i>M16</i>	<i>Amphibolite</i>	<i>V</i>	<i>Undifferentiated volcanics</i>	<i>Backlog</i>	<i>Backlogged samples - assays but no lithology</i>

Mn Final (%)	All	I1	I2J	I2J; BR	I3	M16	MT	QFP	S3	T (tuff)	V	V1	V2	V3	Fnum	Backlog
Maximum	-0,28	-0,49	-0,28	-0,52	-0,94	-1,24	-0,73	-0,53	-1,28	-0,99	-0,3	-0,65	-0,74	-0,66	-1,15	NA
Minimum	-2,43	-2,25	-2,09	-2,07	-1,29	-1,56	-1,84	-2,14	-1,68	-2,18	-2,11	-2,41	-1,77	-1,96	-1,52	NA
Mean	-1,4	-1,64	-1,38	-1,41	-1,05	-1,41	-1,41	-1,58	-1,49	-1,5	-1,12	-1,78	-1,4	-1,16	-1,36	NA
Standard Deviation	0,26	0,32	0,23	0,18	0,076	0,12	0,19	0,37	0,12	0,19	0,26	0,26	0,21	0,22	0,13	NA
10 Percentile	-1,69	-1,98	-1,66	-1,61	-1,14	-1,55	-1,62	-1,95	-1,64	-1,72	-1,47	-2,08	-1,61	-1,39	-1,49	NA
25 Percentile	-1,56	-1,88	-1,55	-1,53	-1,06	-1,48	-1,54	-1,84	-1,57	-1,57	-1,26	-1,95	-1,54	-1,29	-1,44	NA
Median	-1,42	-1,69	-1,41	-1,43	-1,04	-1,41	-1,42	-1,7	-1,48	-1,48	-1,09	-1,82	-1,43	-1,16	-1,36	NA
75 Percentile	-1,24	-1,45	-1,24	-1,3	-1,01	-1,34	-1,31	-1,41	-1,4	-1,39	-0,97	-1,67	-1,32	-1,02	-1,31	NA
90 Percentile	-1,05	-1,21	-1,07	-1,15	-1	-1,25	-1,18	-0,92	-1,35	-1,32	-0,82	-1,44	-1,05	-0,88	-1,23	NA
Interquartile Range (IQR)	0,33	0,43	0,31	0,23	0,058	0,13	0,23	0,44	0,17	0,19	0,29	0,28	0,21	0,26	0,12	NA
Variance	0,066	0,1	0,053	0,034	0,0058	0,014	0,036	0,14	0,014	0,036	0,066	0,068	0,045	0,046	0,017	NA
Skewness	0,18	0,8	0,37	0,59	-1,59	0,22	0,84	1	-0,12	-1,01	-0,46	0,96	1,12	-0,52	0,62	NA
Coefficient of Variation (CoV)	-0,18	-0,19	-0,17	-0,13	-0,072	-0,085	-0,13	-0,24	-0,078	-0,13	-0,23	-0,15	-0,15	-0,19	-0,096	NA
Count	25455	1394	15850	3853	22	8	195	274	28	433	1848	453	132	92	6	1161

WASTE ROCKS

<i>I1</i>	<i>Felsic intrusive including granite</i>	<i>MT</i>	<i>Overburden</i>	<i>V1</i>	<i>Felsic volcanics including rhyolite</i>
<i>I2J</i>	<i>Non-brecciated diorite</i>	<i>QFP</i>	<i>Quartz feldspar porphyry</i>	<i>V2</i>	<i>Intermediate volcanics including andesite</i>
<i>I2J; BR</i>	<i>Brecciated diorite</i>	<i>S3</i>	<i>Greywacke-siltstone</i>	<i>V3</i>	<i>Mafic volcanics including basalt</i>
<i>I3</i>	<i>Mafic intrusive including gabbro</i>	<i>T</i>	<i>Various tuffs</i>	<i>Fnum</i>	<i>Late brittle fault, clay matrix</i>
<i>M16</i>	<i>Amphibolite</i>	<i>V</i>	<i>Undifferentiated volcanics</i>	<i>Backlog</i>	<i>Backlogged samples - assays but no lithology</i>

Mo Final (%)	All	I1	I2J	I2J; BR	I3	M16	MT	QFP	S3	T (tuff)	V	V1	V2	V3	Fnum	Backlog
Maximum	-0,63	-0,8	-0,63	-1,25	-3,22	-1,65	-2,09	-1,5	-3,05	-1,3	-1,03	-1,59	-1,44	-1,12	-2,12	NA
Minimum	-4,3	-4,3	-4,3	-4,3	-4,3	-3	-4,3	-4,3	-4,3	-4,3	-4,3	-4,3	-4,3	-4,3	-3,7	NA
Mean	-3,57	-3,59	-3,55	-3,67	-4,09	-2,55	-3,6	-3,38	-3,56	-3,53	-3,66	-3,08	-3,77	-3,16	-3,25	NA
Standard Deviation	0,57	0,56	0,56	0,55	0,31	0,44	0,43	0,56	0,29	0,61	0,54	0,58	0,49	0,73	0,59	NA
10 Percentile	-4,3	-4	-4,3	-4,3	-4,3	-2,94	-4	-4	-4	-4,3	-4	-3,7	-4,3	-4	-3,7	NA
25 Percentile	-4	-4	-4	-4	-4,3	-2,92	-4	-3,7	-3,7	-4	-4	-3,52	-4	-3,7	-3,65	NA
Median	-3,7	-3,7	-3,7	-3,7	-4,3	-2,55	-3,7	-3,52	-3,52	-3,7	-3,7	-3,15	-4	-3,15	-3,37	NA
75 Percentile	-3,22	-3,22	-3,15	-3,3	-4	-2,43	-3,46	-3,1	-3,4	-3,1	-3,4	-2,66	-3,52	-2,74	-3,22	NA
90 Percentile	-2,74	-2,74	-2,74	-2,89	-3,7	-2,17	-2,98	-2,59	-3,26	-2,68	-2,89	-2,28	-3,15	-2,35	-2,67	NA
Interquartile Range (IQR)	0,78	0,78	0,85	0,7	0,3	0,49	0,54	0,6	0,3	0,9	0,6	0,87	0,48	0,95	0,43	NA
Variance	0,32	0,31	0,31	0,3	0,095	0,19	0,18	0,31	0,082	0,37	0,29	0,34	0,24	0,54	0,35	NA
Skewness	0,85	1,11	0,75	1,01	1,53	1,28	1,21	1,02	-0,54	0,7	1,52	0,31	1,76	0,61	1,77	NA
Coefficient of Variation (CoV)	-0,16	-0,16	-0,16	-0,15	-0,075	-0,17	-0,12	-0,16	-0,081	-0,17	-0,15	-0,19	-0,13	-0,23	-0,18	NA
Count	25455	1394	15850	3853	22	8	195	274	28	433	1848	453	132	92	6	1161

WASTE ROCKS

<i>I1</i>	<i>Felsic intrusive including granite</i>	<i>MT</i>	<i>Overburden</i>	<i>V1</i>	<i>Felsic volcanics including rhyolite</i>
<i>I2J</i>	<i>Non-brecciated diorite</i>	<i>QFP</i>	<i>Quartz feldspar porphyry</i>	<i>V2</i>	<i>Intermediate volcanics including andesite</i>
<i>I2J; BR</i>	<i>Brecciated diorite</i>	<i>S3</i>	<i>Greywacke-siltstone</i>	<i>V3</i>	<i>Mafic volcanics including basalt</i>
<i>I3</i>	<i>Mafic intrusive including gabbro</i>	<i>T</i>	<i>Various tuffs</i>	<i>Fnum</i>	<i>Late brittle fault, clay matrix</i>
<i>M16</i>	<i>Amphibolite</i>	<i>V</i>	<i>Undifferentiated volcanics</i>	<i>Backlog</i>	<i>Backlogged samples - assays but no lithology</i>

Na Final (%)	All	I1	I2J	I2J; BR	I3	M16	MT	QFP	S3	T (tuff)	V	V1	V2	V3	Fnum	Backlog
Maximum	0,81	0,78	0,81	0,66	0,53	0,49	0,6	0,67	0,53	0,62	0,62	0,67	0,58	0,47	0,51	NA
Minimum	-1,22	-0,62	-1,22	-0,19	-0,82	0,34	0,037	-0,2	0,3	-0,32	-0,54	-0,6	0,029	-0,62	0,068	NA
Mean	0,42	0,49	0,42	0,44	0,12	0,41	0,42	0,44	0,39	0,39	0,35	0,36	0,41	0,046	0,39	NA
Standard Deviation	0,11	0,12	0,093	0,078	0,38	0,057	0,077	0,13	0,048	0,14	0,14	0,18	0,096	0,3	0,16	NA
10 Percentile	0,3	0,36	0,32	0,35	-0,45	0,35	0,34	0,29	0,32	0,27	0,18	0,12	0,27	-0,36	0,22	NA
25 Percentile	0,38	0,44	0,38	0,41	-0,049	0,37	0,39	0,39	0,36	0,36	0,29	0,27	0,37	-0,19	0,38	NA
Median	0,44	0,51	0,43	0,45	0,28	0,39	0,43	0,47	0,4	0,42	0,37	0,39	0,42	0,11	0,44	NA
75 Percentile	0,48	0,56	0,48	0,49	0,37	0,46	0,47	0,53	0,41	0,48	0,44	0,49	0,48	0,28	0,47	NA
90 Percentile	0,52	0,61	0,52	0,53	0,4	0,48	0,51	0,56	0,42	0,5	0,49	0,53	0,52	0,41	0,5	NA
Interquartile Range (IQR)	0,11	0,11	0,1	0,086	0,42	0,09	0,078	0,13	0,051	0,12	0,14	0,21	0,11	0,46	0,088	NA
Variance	0,012	0,015	0,0087	0,0061	0,15	0,0033	0,0059	0,016	0,0023	0,019	0,02	0,031	0,0092	0,088	0,026	NA
Skewness	-2,49	-2,23	-2,15	-1,7	-1,48	0,38	-1,26	-1,68	0,49	-2,52	-2,01	-1,55	-1,16	-0,55	-1,98	NA
Coefficient of Variation (CoV)	0,26	0,25	0,22	0,18	3,12	0,14	0,18	0,28	0,12	0,35	0,41	0,5	0,23	6,39	0,42	NA
Count	25455	1394	15850	3853	22	8	195	274	28	433	1848	453	132	92	6	1161

WASTE ROCKS

<i>I1</i>	<i>Felsic intrusive including granite</i>	<i>MT</i>	<i>Overburden</i>	<i>V1</i>	<i>Felsic volcanics including rhyolite</i>
<i>I2J</i>	<i>Non-brecciated diorite</i>	<i>QFP</i>	<i>Quartz feldspar porphyry</i>	<i>V2</i>	<i>Intermediate volcanics including andesite</i>
<i>I2J; BR</i>	<i>Brecciated diorite</i>	<i>S3</i>	<i>Greywacke-siltstone</i>	<i>V3</i>	<i>Mafic volcanics including basalt</i>
<i>I3</i>	<i>Mafic intrusive including gabbro</i>	<i>T</i>	<i>Various tuffs</i>	<i>Fnum</i>	<i>Late brittle fault, clay matrix</i>
<i>M16</i>	<i>Amphibolite</i>	<i>V</i>	<i>Undifferentiated volcanics</i>	<i>Backlog</i>	<i>Backlogged samples - assays but no lithology</i>

Ni Final (%)	All	I1	I2J	I2J; BR	I3	M16	MT	QFP	S3	T (tuff)	V	V1	V2	V3	Fnum	Backlog
Maximum	-0,84	-1,82	-1,04	-1,04	-0,84	-1,78	-1,91	-1,91	-2	-1,33	-1,49	-1,84	-1,19	-1,57	-2,03	NA
Minimum	-4,3	-4,3	-4,3	-4	-2,26	-2,26	-3,3	-4,3	-2,92	-4,3	-4	-4,3	-2,66	-3,7	-2,3	NA
Mean	-2,37	-3,34	-2,29	-2,27	-1,39	-2,1	-2,32	-3,09	-2,35	-2,36	-2,2	-3,43	-2,23	-2,12	-2,21	NA
Standard Deviation	0,43	0,68	0,27	0,21	0,36	0,19	0,2	0,51	0,16	0,41	0,27	0,6	0,26	0,3	0,094	NA
10 Percentile	-2,74	-4,3	-2,57	-2,54	-1,84	-2,23	-2,55	-3,7	-2,51	-2,76	-2,51	-4,3	-2,49	-2,45	-2,28	NA
25 Percentile	-2,44	-4	-2,4	-2,39	-1,6	-2,22	-2,43	-3,3	-2,4	-2,43	-2,39	-4	-2,39	-2,24	-2,26	NA
Median	-2,28	-3,4	-2,26	-2,26	-1,4	-2,19	-2,29	-3,1	-2,33	-2,3	-2,17	-3,52	-2,31	-2,14	-2,23	NA
75 Percentile	-2,14	-2,68	-2,13	-2,14	-1,11	-2,03	-2,18	-2,8	-2,27	-2,13	-1,98	-3	-2,08	-1,89	-2,2	NA
90 Percentile	-2,02	-2,42	-2,03	-2,04	-0,98	-1,8	-2,12	-2,44	-2,25	-2,02	-1,88	-2,54	-1,98	-1,79	-2,12	NA
Interquartile Range (IQR)	0,31	1,32	0,27	0,24	0,49	0,19	0,25	0,51	0,12	0,3	0,4	1	0,31	0,35	0,054	NA
Variance	0,19	0,47	0,072	0,045	0,13	0,037	0,039	0,26	0,026	0,16	0,073	0,36	0,068	0,088	0,0089	NA
Skewness	-2,33	0,083	-2,03	-0,48	-0,57	1,23	-1,21	-0,3	-1,45	-2,13	-0,94	0,51	1,53	-1,7	1,69	NA
Coefficient of Variation (CoV)	-0,18	-0,21	-0,12	-0,093	-0,26	-0,091	-0,085	-0,17	-0,068	-0,17	-0,12	-0,18	-0,12	-0,14	-0,043	NA
Count	25455	1394	15850	3853	22	8	195	274	28	433	1848	453	132	92	6	1161

WASTE ROCKS

<i>I1</i>	<i>Felsic intrusive including granite</i>	<i>MT</i>	<i>Overburden</i>	<i>V1</i>	<i>Felsic volcanics including rhyolite</i>
<i>I2J</i>	<i>Non-brecciated diorite</i>	<i>QFP</i>	<i>Quartz feldspar porphyry</i>	<i>V2</i>	<i>Intermediate volcanics including andesite</i>
<i>I2J; BR</i>	<i>Brecciated diorite</i>	<i>S3</i>	<i>Greywacke-siltstone</i>	<i>V3</i>	<i>Mafic volcanics including basalt</i>
<i>I3</i>	<i>Mafic intrusive including gabbro</i>	<i>T</i>	<i>Various tuffs</i>	<i>Fnum</i>	<i>Late brittle fault, clay matrix</i>
<i>M16</i>	<i>Amphibolite</i>	<i>V</i>	<i>Undifferentiated volcanics</i>	<i>Backlog</i>	<i>Backlogged samples - assays but no lithology</i>

P Final (%)	All	I1	I2J	I2J; BR	I3	M16	MT	QFP	S3	T (tuff)	V	V1	V2	V3	Fnum	Backlog
Maximum	-0,14	-0,88	-0,37	-0,14	-0,94	-1,15	-1,05	-0,9	-1,11	-0,71	-0,76	-1,08	-0,91	-0,75	-0,92	NA
Minimum	-3,3	-3,3	-3	-1,96	-1,32	-1,32	-1,85	-2,3	-1,43	-2	-2,05	-2,52	-1,4	-1,85	-1,28	NA
Mean	-1,28	-1,93	-1,23	-1,21	-1,07	-1,23	-1,26	-1,49	-1,28	-1,24	-1,25	-1,8	-1,2	-1,26	-1,16	NA
Standard Deviation	0,26	0,58	0,13	0,1	0,11	0,049	0,11	0,3	0,071	0,19	0,11	0,25	0,085	0,18	0,14	NA
10 Percentile	-1,4	-2,7	-1,33	-1,32	-1,24	-1,28	-1,39	-1,96	-1,34	-1,35	-1,34	-2	-1,29	-1,46	-1,28	NA
25 Percentile	-1,28	-2,52	-1,28	-1,27	-1,13	-1,25	-1,29	-1,77	-1,31	-1,27	-1,31	-1,96	-1,25	-1,41	-1,26	NA
Median	-1,24	-1,85	-1,23	-1,22	-1,04	-1,23	-1,24	-1,35	-1,29	-1,21	-1,26	-1,92	-1,22	-1,25	-1,17	NA
75 Percentile	-1,17	-1,41	-1,17	-1,17	-0,99	-1,21	-1,19	-1,3	-1,27	-1,16	-1,2	-1,62	-1,18	-1,15	-1,13	NA
90 Percentile	-1,11	-1,22	-1,11	-1,1	-0,97	-1,18	-1,15	-1,19	-1,2	-1,09	-1,13	-1,37	-1,08	-1,03	-1,02	NA
Interquartile Range (IQR)	0,11	1,11	0,11	0,1	0,14	0,041	0,099	0,47	0,046	0,11	0,11	0,34	0,071	0,26	0,13	NA
Variance	0,067	0,34	0,017	0,011	0,013	0,0024	0,013	0,088	0,0051	0,036	0,013	0,062	0,0072	0,033	0,019	NA
Skewness	-3,63	-0,34	-3,38	0,34	-0,9	-0,26	-1,92	-0,59	0,77	-2,12	-0,64	0,91	1,04	0,068	1,21	NA
Coefficient of Variation (CoV)	-0,2	-0,3	-0,11	-0,085	-0,11	-0,04	-0,089	-0,2	-0,056	-0,15	-0,09	-0,14	-0,07	-0,14	-0,12	NA
Count	25455	1394	15850	3853	22	8	195	274	28	433	1848	453	132	92	6	1161

WASTE ROCKS

<i>I1</i>	<i>Felsic intrusive including granite</i>	<i>MT</i>	<i>Overburden</i>	<i>V1</i>	<i>Felsic volcanics including rhyolite</i>
<i>I2J</i>	<i>Non-brecciated diorite</i>	<i>QFP</i>	<i>Quartz feldspar porphyry</i>	<i>V2</i>	<i>Intermediate volcanics including andesite</i>
<i>I2J; BR</i>	<i>Brecciated diorite</i>	<i>S3</i>	<i>Greywacke-siltstone</i>	<i>V3</i>	<i>Mafic volcanics including basalt</i>
<i>I3</i>	<i>Mafic intrusive including gabbro</i>	<i>T</i>	<i>Various tuffs</i>	<i>Fnum</i>	<i>Late brittle fault, clay matrix</i>
<i>M16</i>	<i>Amphibolite</i>	<i>V</i>	<i>Undifferentiated volcanics</i>	<i>Backlog</i>	<i>Backlogged samples - assays but no lithology</i>

Sc Final (%)	All	I1	I2J	I2J; BR	I3	M16	MT	QFP	S3	T (tuff)	V	V1	V2	V3	Fnum	Backlog
Maximum	-1,63	-2,31	-1,63	-1,97	-2,57	-2,85	-2,72	-2,77	-2,74	-2,59	-2,51	-2,7	-2,57	-2,55	-2,77	NA
Minimum	-4,3	-4,3	-4,3	-4	-3	-2,96	-4	-4,3	-3,15	-4	-4	-4,3	-3,22	-4	-3,05	NA
Mean	-2,98	-3,48	-2,93	-2,91	-2,74	-2,91	-2,95	-3,48	-2,94	-2,98	-2,9	-3,76	-2,89	-2,81	-2,94	NA
Standard Deviation	0,26	0,38	0,16	0,12	0,091	0,031	0,16	0,34	0,085	0,27	0,17	0,36	0,12	0,21	0,095	NA
10 Percentile	-3,15	-4	-3,05	-3,05	-2,82	-2,93	-3,1	-4	-3,05	-3,15	-3,05	-4	-3	-3,04	-3,02	NA
25 Percentile	-3	-3,7	-3	-3	-2,76	-2,92	-3,02	-3,7	-2,96	-3	-3	-4	-2,96	-2,92	-2,99	NA
Median	-2,92	-3,52	-2,92	-2,92	-2,74	-2,92	-2,92	-3,4	-2,92	-2,92	-2,92	-4	-2,92	-2,82	-2,96	NA
75 Percentile	-2,85	-3,15	-2,85	-2,85	-2,7	-2,91	-2,85	-3,22	-2,89	-2,85	-2,8	-3,52	-2,8	-2,62	-2,93	NA
90 Percentile	-2,77	-2,96	-2,77	-2,77	-2,66	-2,88	-2,8	-3,1	-2,84	-2,8	-2,7	-3,15	-2,75	-2,59	-2,85	NA
Interquartile Range (IQR)	0,15	0,54	0,15	0,15	0,064	0,0087	0,17	0,48	0,073	0,15	0,2	0,48	0,16	0,3	0,059	NA
Variance	0,067	0,15	0,026	0,016	0,0084	0,0009	0,025	0,12	0,0072	0,075	0,028	0,13	0,014	0,043	0,009	NA
Skewness	-2,36	0,086	-2,16	-0,19	-1,02	0,83	-2,32	-0,19	-0,41	-2,74	-1,56	1,13	0,4	-2,03	1,36	NA
Coefficient of Variation (CoV)	-0,087	-0,11	-0,055	-0,043	-0,033	-0,011	-0,053	-0,099	-0,029	-0,092	-0,058	-0,095	-0,041	-0,073	-0,032	NA
Count	25455	1394	15850	3853	22	8	195	274	28	433	1848	453	132	92	6	1161

WASTE ROCKS

<i>I1</i>	<i>Felsic intrusive including granite</i>	<i>MT</i>	<i>Overburden</i>	<i>V1</i>	<i>Felsic volcanics including rhyolite</i>
<i>I2J</i>	<i>Non-brecciated diorite</i>	<i>QFP</i>	<i>Quartz feldspar porphyry</i>	<i>V2</i>	<i>Intermediate volcanics including andesite</i>
<i>I2J; BR</i>	<i>Brecciated diorite</i>	<i>S3</i>	<i>Greywacke-siltstone</i>	<i>V3</i>	<i>Mafic volcanics including basalt</i>
<i>I3</i>	<i>Mafic intrusive including gabbro</i>	<i>T</i>	<i>Various tuffs</i>	<i>Fnum</i>	<i>Late brittle fault, clay matrix</i>
<i>M16</i>	<i>Amphibolite</i>	<i>V</i>	<i>Undifferentiated volcanics</i>	<i>Backlog</i>	<i>Backlogged samples - assays but no lithology</i>

Sr Final (%)	All	I1	I2J	I2J; BR	I3	M16	MT	QFP	S3	T (tuff)	V	V1	V2	V3	Fnum	Backlog
Maximum	-0,99	-1,15	-0,99	-1,06	-1,17	-1,33	-1,36	-1,15	-1,4	-1,12	-1,16	-1,37	-1,16	-1,37	-1,36	NA
Minimum	-3,15	-3,15	-3,15	-2,31	-2,37	-1,76	-1,96	-2,66	-1,78	-2,04	-2,36	-2,96	-1,79	-1,96	-2,07	NA
Mean	-1,59	-1,99	-1,56	-1,52	-1,51	-1,61	-1,61	-1,6	-1,61	-1,52	-1,6	-1,79	-1,5	-1,71	-1,65	NA
Standard Deviation	0,21	0,48	0,14	0,13	0,38	0,17	0,11	0,21	0,095	0,14	0,12	0,19	0,12	0,13	0,25	NA
10 Percentile	-1,76	-2,7	-1,72	-1,68	-2,15	-1,75	-1,75	-1,88	-1,74	-1,68	-1,74	-2,02	-1,68	-1,84	-1,93	NA
25 Percentile	-1,65	-2,47	-1,64	-1,6	-1,68	-1,73	-1,68	-1,69	-1,67	-1,59	-1,66	-1,91	-1,58	-1,81	-1,75	NA
Median	-1,57	-1,8	-1,56	-1,52	-1,33	-1,67	-1,6	-1,58	-1,61	-1,5	-1,59	-1,76	-1,49	-1,73	-1,58	NA
75 Percentile	-1,48	-1,6	-1,48	-1,43	-1,25	-1,55	-1,54	-1,5	-1,54	-1,44	-1,52	-1,65	-1,42	-1,63	-1,52	NA
90 Percentile	-1,4	-1,47	-1,4	-1,36	-1,21	-1,34	-1,48	-1,36	-1,5	-1,35	-1,46	-1,56	-1,36	-1,53	-1,44	NA
Interquartile Range (IQR)	0,17	0,87	0,16	0,17	0,44	0,17	0,14	0,19	0,13	0,15	0,13	0,26	0,16	0,18	0,23	NA
Variance	0,043	0,23	0,02	0,017	0,14	0,03	0,013	0,045	0,009	0,019	0,015	0,037	0,015	0,017	0,062	NA
Skewness	-2,64	-0,48	-0,85	-0,26	-1,4	1,19	-0,34	-1,15	0,12	-0,62	-0,74	-0,87	-0,043	0,64	-0,89	NA
Coefficient of Variation (CoV)	-0,13	-0,24	-0,091	-0,087	-0,25	-0,11	-0,07	-0,13	-0,059	-0,091	-0,076	-0,11	-0,082	-0,075	-0,15	NA
Count	25455	1394	15850	3853	22	8	195	274	28	433	1848	453	132	92	6	1161

WASTE ROCKS

<i>I1</i>	<i>Felsic intrusive including granite</i>	<i>MT</i>	<i>Overburden</i>	<i>V1</i>	<i>Felsic volcanics including rhyolite</i>
<i>I2J</i>	<i>Non-brecciated diorite</i>	<i>QFP</i>	<i>Quartz feldspar porphyry</i>	<i>V2</i>	<i>Intermediate volcanics including andesite</i>
<i>I2J; BR</i>	<i>Brecciated diorite</i>	<i>S3</i>	<i>Greywacke-siltstone</i>	<i>V3</i>	<i>Mafic volcanics including basalt</i>
<i>I3</i>	<i>Mafic intrusive including gabbro</i>	<i>T</i>	<i>Various tuffs</i>	<i>Fnum</i>	<i>Late brittle fault, clay matrix</i>
<i>M16</i>	<i>Amphibolite</i>	<i>V</i>	<i>Undifferentiated volcanics</i>	<i>Backlog</i>	<i>Backlogged samples - assays but no lithology</i>

Ti Final (%)	All	I1	I2J	I2J; BR	I3	M16	MT	QFP	S3	T (tuff)	V	V1	V2	V3	Fnum	Backlog
Maximum	0,072	-0,29	0,072	-0,18	-0,36	-0,47	-0,33	-0,34	-0,43	-0,31	-0,19	-0,41	-0,28	-0,25	-0,47	NA
Minimum	-2	-2	-2	-1,4	-1,05	-0,72	-1,1	-1,7	-0,66	-1,52	-1,4	-2	-0,7	-1,3	-0,54	NA
Mean	-0,56	-1,16	-0,5	-0,48	-0,63	-0,54	-0,53	-0,91	-0,51	-0,54	-0,53	-1,13	-0,48	-0,47	-0,5	NA
Standard Deviation	0,24	0,47	0,12	0,079	0,15	0,099	0,11	0,27	0,047	0,21	0,12	0,25	0,061	0,11	0,033	NA
10 Percentile	-0,72	-1,7	-0,6	-0,57	-0,82	-0,69	-0,65	-1,3	-0,55	-0,65	-0,66	-1,3	-0,55	-0,54	-0,54	NA
25 Percentile	-0,55	-1,7	-0,54	-0,51	-0,65	-0,56	-0,57	-1,15	-0,52	-0,54	-0,57	-1,3	-0,51	-0,48	-0,52	NA
Median	-0,49	-1,15	-0,48	-0,48	-0,59	-0,52	-0,51	-0,85	-0,5	-0,49	-0,51	-1,22	-0,48	-0,46	-0,48	NA
75 Percentile	-0,44	-0,74	-0,44	-0,44	-0,55	-0,47	-0,46	-0,72	-0,49	-0,43	-0,45	-1	-0,44	-0,42	-0,47	NA
90 Percentile	-0,41	-0,49	-0,41	-0,41	-0,53	-0,47	-0,42	-0,61	-0,47	-0,41	-0,42	-0,72	-0,41	-0,4	-0,47	NA
Interquartile Range (IQR)	0,11	0,95	0,094	0,065	0,1	0,093	0,11	0,43	0,028	0,11	0,12	0,3	0,068	0,065	0,052	NA
Variance	0,058	0,22	0,015	0,0063	0,023	0,0098	0,012	0,071	0,0022	0,044	0,014	0,065	0,0037	0,013	0,0011	NA
Skewness	-3,22	0,0091	-3,85	-2,29	-1,21	-1,26	-1,79	-0,41	-1,66	-2,95	-2,14	0,99	-0,18	-4,57	-0,83	NA
Coefficient of Variation (CoV)	-0,43	-0,4	-0,25	-0,16	-0,24	-0,18	-0,21	-0,29	-0,093	-0,39	-0,23	-0,22	-0,13	-0,24	-0,066	NA
Count	25455	1394	15850	3853	22	8	195	274	28	433	1848	453	132	92	6	1161

WASTE ROCKS

<i>I1</i>	<i>Felsic intrusive including granite</i>	<i>MT</i>	<i>Overburden</i>	<i>V1</i>	<i>Felsic volcanics including rhyolite</i>
<i>I2J</i>	<i>Non-brecciated diorite</i>	<i>QFP</i>	<i>Quartz feldspar porphyry</i>	<i>V2</i>	<i>Intermediate volcanics including andesite</i>
<i>I2J; BR</i>	<i>Brecciated diorite</i>	<i>S3</i>	<i>Greywacke-siltstone</i>	<i>V3</i>	<i>Mafic volcanics including basalt</i>
<i>I3</i>	<i>Mafic intrusive including gabbro</i>	<i>T</i>	<i>Various tuffs</i>	<i>Fnum</i>	<i>Late brittle fault, clay matrix</i>
<i>M16</i>	<i>Amphibolite</i>	<i>V</i>	<i>Undifferentiated volcanics</i>	<i>Backlog</i>	<i>Backlogged samples - assays but no lithology</i>

V Final (%)	All	I1	I2J	I2J; BR	I3	M16	MT	QFP	S3	T (tuff)	V	V1	V2	V3	Fnum	Backlog
Maximum	-1,36	-1,72	-1,36	-1,61	-1,78	-1,95	-1,76	-1,77	-1,9	-1,71	-1,63	-1,82	-1,75	-1,69	-1,94	NA
Minimum	-4	-4	-4	-3,52	-2,21	-2,14	-3,22	-4	-2,19	-3,7	-3,7	-4	-2,37	-3,7	-2,07	NA
Mean	-2,08	-2,91	-2	-1,97	-1,95	-2,02	-2,05	-2,68	-2,02	-2,06	-2	-3,15	-1,95	-1,93	-2	NA
Standard Deviation	0,36	0,63	0,19	0,11	0,097	0,074	0,17	0,54	0,061	0,35	0,16	0,57	0,092	0,22	0,053	NA
10 Percentile	-2,26	-3,7	-2,12	-2,08	-2,03	-2,13	-2,19	-3,65	-2,09	-2,21	-2,14	-3,7	-2,04	-2,07	-2,06	NA
25 Percentile	-2,06	-3,52	-2,04	-2,02	-1,99	-2,06	-2,11	-2,99	-2,04	-2,07	-2,07	-3,52	-2,01	-1,99	-2,04	NA
Median	-1,99	-3	-1,98	-1,97	-1,94	-2	-2,04	-2,52	-2,01	-1,97	-1,99	-3,4	-1,95	-1,91	-2,01	NA
75 Percentile	-1,92	-2,29	-1,92	-1,91	-1,9	-1,96	-1,94	-2,32	-1,99	-1,9	-1,9	-2,64	-1,89	-1,82	-1,95	NA
90 Percentile	-1,86	-2,01	-1,85	-1,85	-1,85	-1,96	-1,9	-2,12	-1,97	-1,84	-1,82	-2,27	-1,86	-1,79	-1,94	NA
Interquartile Range (IQR)	0,14	1,23	0,12	0,11	0,093	0,097	0,17	0,67	0,043	0,17	0,17	0,88	0,12	0,17	0,085	NA
Variance	0,13	0,4	0,035	0,012	0,0093	0,0055	0,027	0,29	0,0037	0,12	0,027	0,32	0,0085	0,048	0,0028	NA
Skewness	-3,24	0,18	-4,84	-2,15	-0,82	-0,92	-2,67	-0,93	-1,17	-3,28	-3,65	0,64	-0,63	-5,93	0,18	NA
Coefficient of Variation (CoV)	-0,17	-0,22	-0,093	-0,056	-0,05	-0,037	-0,08	-0,2	-0,03	-0,17	-0,083	-0,18	-0,047	-0,11	-0,027	NA
Count	25455	1394	15850	3853	22	8	195	274	28	433	1848	453	132	92	6	1161

WASTE ROCKS

<i>I1</i>	<i>Felsic intrusive including granite</i>	<i>MT</i>	<i>Overburden</i>	<i>V1</i>	<i>Felsic volcanics including rhyolite</i>
<i>I2J</i>	<i>Non-brecciated diorite</i>	<i>QFP</i>	<i>Quartz feldspar porphyry</i>	<i>V2</i>	<i>Intermediate volcanics including andesite</i>
<i>I2J; BR</i>	<i>Brecciated diorite</i>	<i>S3</i>	<i>Greywacke-siltstone</i>	<i>V3</i>	<i>Mafic volcanics including basalt</i>
<i>I3</i>	<i>Mafic intrusive including gabbro</i>	<i>T</i>	<i>Various tuffs</i>	<i>Fnum</i>	<i>Late brittle fault, clay matrix</i>
<i>M16</i>	<i>Amphibolite</i>	<i>V</i>	<i>Undifferentiated volcanics</i>	<i>Backlog</i>	<i>Backlogged samples - assays but no lithology</i>

Zn Final (%)	All	I1	I2J	I2J; BR	I3	M16	MT	QFP	S3	T (tuff)	V	V1	V2	V3	Fnum	Backlog
Maximum	0,033	-0,24	0,019	-0,57	-1,99	-1,95	-0,84	-1,1	-1,99	-1,95	0,033	-1,07	-0,48	-1,38	-2,12	NA
Minimum	-4	-4	-3,52	-3,4	-2,32	-2,49	-2,89	-3,22	-2,54	-3,7	-3,7	-4	-2,72	-3,1	-2,54	NA
Mean	-2,39	-2,62	-2,39	-2,4	-2,08	-2,35	-2,35	-2,47	-2,3	-2,5	-2,06	-2,65	-2,34	-2,11	-2,29	NA
Standard Deviation	0,28	0,38	0,23	0,2	0,073	0,18	0,3	0,42	0,15	0,2	0,36	0,38	0,29	0,21	0,15	NA
10 Percentile	-2,66	-3,1	-2,62	-2,62	-2,17	-2,49	-2,57	-2,92	-2,5	-2,74	-2,46	-3,09	-2,57	-2,32	-2,44	NA
25 Percentile	-2,54	-2,82	-2,54	-2,54	-2,1	-2,47	-2,51	-2,77	-2,41	-2,55	-2,28	-2,89	-2,51	-2,22	-2,33	NA
Median	-2,43	-2,64	-2,43	-2,43	-2,07	-2,41	-2,43	-2,55	-2,32	-2,47	-2,1	-2,66	-2,41	-2,11	-2,29	NA
75 Percentile	-2,26	-2,44	-2,29	-2,29	-2,04	-2,34	-2,3	-2,2	-2,18	-2,4	-1,86	-2,42	-2,23	-2,01	-2,19	NA
90 Percentile	-2,06	-2,19	-2,1	-2,15	-2,02	-2,16	-2,17	-1,81	-2,14	-2,3	-1,63	-2,24	-2,07	-1,93	-2,14	NA
Interquartile Range (IQR)	0,28	0,38	0,25	0,25	0,061	0,13	0,21	0,57	0,23	0,15	0,43	0,47	0,28	0,22	0,13	NA
Variance	0,078	0,15	0,055	0,039	0,0053	0,033	0,088	0,18	0,022	0,041	0,13	0,15	0,086	0,042	0,021	NA
Skewness	0,89	0,81	1,26	1,18	-1,92	1,85	2,96	0,81	0,25	-1,4	0,47	0,43	2,94	-0,48	-0,84	NA
Coefficient of Variation (CoV)	-0,12	-0,15	-0,098	-0,083	-0,035	-0,078	-0,13	-0,17	-0,064	-0,081	-0,17	-0,14	-0,13	-0,097	-0,064	NA
Count	25454	1394	15850	3852	22	8	195	274	28	433	1848	453	132	92	6	1161

ANNEXE B

Protocoles (COALIA)

1 MISE EN CONTEXTE

Dans le cadre du projet de recherche, des essais cinétiques en colonne de terrain sont réalisés afin d'évaluer la qualité des eaux de rinçage ayant circulée à travers des stériles provenant du gisement de Troilus, secteur J4. Ainsi, 11 colonnes de 1 m sont dédiées à des essais de rinçage sur des échantillons représentant les stériles futurs et proviennent des forages d'exploration et 2 colonnes de 3 m sont dédiées aux stériles existants provenant de la halde de la fosse J4. Les colonnes sont installées dehors sur le site.

2 DESCRIPTION DES COLONNES DE TERRAIN

Les essais sur les stériles futurs permettront d'évaluer la qualité pour chaque lithologie typique du gisement et selon différentes teneurs en sulfures. Les roches constituant les stériles futures proviennent des forages d'exploration. Les 11 colonnes de 1 mètre de stériles sont fabriquées à partir de tuyau de PVC de 0,3 m de diamètre par 1,5 m de hauteur. Ces colonnes contiennent environ 125 kg de bouts de carottes de forage. Les 11 colonnes sont remplies des lithologies présentées au tableau 1.

Tableau 1 - Description des 11 colonnes de 1 m constitués de stériles futurs

Identification de la colonne	Description
C1	low-sulphur non-brecciated diorite (Unit I2J)
C2	mean-sulphur non-brecciated diorite (Unit I2J)
C3	high-sulphur non-brecciated diorite (Unit I2J)
C4	low-sulphur brecciated diorite (Unit I2J;BR)
C5	mean-sulphur brecciated diorite (Unit I2J;BR)
C6	high-sulphur brecciated diorite (Unit I2J;BR)
C7	high-sulphur undifferentiated volcanics (Unit V)
C8	high-sulphur felsic intrusives (Unit I1)
C9	high-sulphur composite J4 ore (composite Ore units)
C10	mean-sulphur non-brecciated diorite (Unit I2J)
C11	mean-sulphur brecciated diorite (Unit I2J;BR)

Les essais en colonne contenant les stériles existants seront constitués de roches altérées provenant de la halde à stérile de la fosse J4. Ces stériles seront placés dans les deux colonnes de 3 mètres de hauteur.

Les figures 1 et 2 présentent le montage des colonnes de 1 mètre.



Figure 1 : vue éloignée du montage des colonnes de 1 mètre.



Figure 2 : vue rapprochée du montage des colonnes de 1 mètre.



Figure 3 : vue rapprochée du montage des colonnes de 3 mètres



Figure 4: vue éloignée du montage complet des colonnes

Ces 2 colonnes de 3 mètres de hauteur contiendront environ 375 kg de stériles existants de la halde J4. Les 2 colonnes seront les suivantes :

Tableau 2 - Description des 2 colonnes de 3 m constitués de stériles existants

Identification de la colonne	Description
C12	heavily oxidized J4 waste rock
C13	relatively unoxidized J4 waste rock

3 ÉCHANTILLONNAGE DES ROCHES

3.1 COLONNE DE STÉRILES FUTURS

Les intervalles de roches prélevés dans les forages pour représenter les stériles futurs ont été identifiés par Kevin Morin de MDAG, en fonction de leurs lithologies et teneur en sulfures. Ces intervalles sont listés dans un fichier Excel préparé par Kevin Morin. Plus de 3200 intervalles ont été identifiés qui doivent être répartis dans les 11 colonnes. Un processus a été mis en place afin de réaliser la collecte d'échantillon afin de limiter les erreurs le plus possible. Chaque intervenant lors du processus, à savoir les techniciens, les scieurs et les géologues, possède une copie papier de ce document. Ainsi, il est possible d'assurer la traçabilité de l'échantillon depuis la boîte de forage, le sciage et sa mise en place dans la bonne colonne. Ces documents sont validés par Yannick et/ou Marc pour s'assurer que chaque intervalle a bien été prélevé.

En début de processus, les boîtes de forage sont entreposées par forage à un emplacement de la carothèque (Figure 5).



Figure 5 - Boîtes de forages annotées entreposées à la carothèque

Chaque boîte contenant un ou des intervalles de la liste à prélever est ensuite déplacée sur les tables de la carothèque pour l'étape de prélèvement (Figure 6).



Figure 6 - Boîtes de forages sur les tables de la carothèque pour annoter les intervalles à prélever pour les colonnes.

Chaque début et fin d'intervalle est identifié par un crayon jaune avec une annotation (le chiffre « 1 ») en milieu d'intervalle. Chaque intervalle est ensuite photographié dans la boîte puis approuvé par un géologue avant d'être prélevé. Les boîtes de forage sont ensuite transportées par chariot jusqu'à l'emplacement de la scie à roche, où elles sont placées dans le support côté sciage dans l'attente d'être scié.



Figure 7 - Annotation sur les intervalles de forages à prélever - début, milieu et fin d'intervalle.

Les carottes sont déjà sciées en deux sur leur longueur, mais elles doivent être sciées de nouveau en deux pour ne prélever qu'un quart destiné aux colonnes (Figure 6). À l'aide d'un marteau, les bouts de carottes sont cassés pour obtenir des morceaux ayant environ 5 cm de longueur (Figure 8)



Figure 8 - Exemple de grosseur d'un quart de carotte cassé.

Chaque morceau de carottes est ensuite mis dans le sac correspondant à sa colonne (figure 9). Ces sacs sont fermés et pesés. Lorsque ceux-ci sont suffisamment lourds à transporter manuellement (environ 5 kg chaque) ils sont déplacés par le scieur dans la boîte qui leur est associé, à l'abri des intempéries (figure 10). Les boîtes seront transportées à l'aide d'une chargeuse sur roues avec fourches sur environ 1 km jusqu'à l'emplacement des colonnes de terrain lorsque l'échantillonnage aura été complété.



Figure 9 - Sacs contenant les quarts de carottes cassés séparés en colonnes.



Figure 10 - Boîtes contenant les sacs pour chaque colonne.

Colonnes stériles existants

L'échantillonnage des deux colonnes pour les stériles existants se fera directement sur le terrain de la halde J4, dans des trous creusés à la pelle mécanique. Les morceaux recueillis auront des tailles différentes, mais devront idéalement être inférieurs à 5 cm. Lors de la prise d'échantillon, il faudra adopter les bonnes pratiques de santé-sécurité et ne pas descendre dans le trou étant donné le risque d'effondrement. Il est préférable de faire sortir le matériel avec la pelle mécanique.

La première colonne contiendra des roches fortement oxydées similaires à celle présentée sur la photo ci-dessous prise du Test Pit M4.



Figure 11 - Exemple de trou dans des roches fortement oxydées dans lequel il faut prélever les morceaux pour une colonne de 3m (photographie de M4 avec un trou d'environ 5 mètres).

La deuxième colonne contiendra des roches relativement non oxydées comme le montre la photo ci-dessous prise du Test Pit SW5.



Figure 12 - Roches non altérées du test PIT SW5 (trou d'environ 5 mètres).

Remplissage des colonnes de terrain

Avant le remplissage des colonnes, chaque colonne devrait être idéalement pesée afin d'avoir leurs masses vides.

Colonnes de stériles futures

Les échantillons pour le montage des colonnes 1 à 11 doivent être prélevés dans les sacs correspondants et les colonnes sont remplies à la main. Ce remplissage s'effectue par étapes, en remplissant 25 kg à la fois. Pour chaque 25 kg rempli, il faut prélever un échantillon composite de 1 kg représentatif du matériel ajouté. Les morceaux doivent être mis dans une chaudière de plastique pour envoi au laboratoire de Coalia où ils seront concassés et homogénéisés. Les colonnes sont remplies avec 125 kg de matériel. La masse précise de matériel dans chaque colonne doit être mesurée avec précision lors du montage (au kg près). À la fin du remplissage, la hauteur exacte du résidu par rapport à la partie supérieure de la colonne de remplissage devra être mesurée précisément et notée.

La nomenclature suggérée pour les échantillons composites est « FX-Y » où X est le numéro de colonne correspondant et Y, le numéro du premier 25 kg déposé à la base de la colonne. Le Y = 1 correspond à la base de la colonne et le Y le plus élevé, soit 5, est le matériel qui est au sommet de la colonne.

Colonnes de stériles existants

Pour les 2 colonnes de 3 mètres, elles seront remplies par étape avec 35 kg de matériel à la fois, jusqu'à 375 kg. Pour chaque 35 kg ajouté, un échantillon de 1 kg devra être prélevé. Chacun de ces échantillons sera constitué avec des morceaux aléatoires parmi les 35 kg. Il est important que ces échantillons soient choisis de façon aléatoire (ex. : par quelqu'un n'ayant pas de connaissance géologique). Ainsi, un total de 10 échantillons de 1 kg seront prélevés. Ces 10 échantillons par colonne devront être conservés séparés et bien identifiés. Lors du remplissage, il est important de prendre la masse de roche en kilogramme qui est ajouté par chaque ajout, et mesurer la masse finale. Les colonnes de 3 mètres sont séparées en deux morceaux de 1,5 mètre. Le remplissage se fera d'abord sans assembler la deuxième partie de la colonne afin d'éviter une trop grande chute causant des bris au montage lorsqu'on y insèrera les roches. Lorsque la première partie est remplie, sa deuxième partie est ensuite assemblée afin de poursuivre le remplissage. Lorsque la masse finale est atteinte, il faut noter la hauteur de résidus et sa distance par rapport à la base et l'extrémité de la colonne.

La nomenclature suggérée pour les échantillons composites est « EX-Y » où X est le numéro de colonne correspondant et Y, le numéro du premier 37,5 kg déposé à la base de la colonne. Le Y = 1 correspond à la base de la colonne et le Y le plus élevé, soit 10, est le matériel qui est au sommet de la colonne.

PROTOCOLE D'ÉCHANTILLONNAGE D'EAUX AU SITE TROILUS DANS LE CADRE DU PROJET DE RECHERCHE (PROJET FRQNT)

Version 4 : ajout de la recirculation de l'eau pour colonnes C10 et C11

Version 5 : correction des informations à entrer lors de la demande H2LAB (voir figure 2)

Protocole détaillant la méthodologie pour les prélèvements des échantillons d'eau qui sont requis pour le projet de recherche mené par COALIA, TROILUS GOLD et LAMONT. Les colonnes C1 à C9 ainsi que C12 et C13 (colonnes des stériles de la halde J4 requièrent l'échantillonnage de l'eau récupérée durant le mois précédent. Les colonnes C10 et C11 requièrent que l'eau récupérée durant le mois précédent soit vidée à nouveau dans le résidu (recirculation) avant l'échantillonnage (voir détail au point 1.4); pour ces deux colonnes, les paramètres physico-chimiques (sondes multi-paramètres) sont pris avant et après la recirculation, et l'échantillonnage des bouteilles après la recirculation.

AVANT DE COMMENCER :

Avoir en main :

SANTÉ ET SÉCURITÉ :

- Lunette de protection
- Gants de nitrile
- Autres équipements exigés pour la circulation sur le site

ENVIRONNEMENT :

- Les bouteilles et la glacière fournis par le laboratoire
- Les formulaires de demande d'analyse
- La sonde multiparamètres (température, conductivité, pH)
- Le carnet de notes
- Le cylindre gradué pour mesurer l'eau des colonnes
- De l'eau déionisée pour nettoyer la sonde

CALIBRATION DE LA SONDE

- Il est très important de calibrer adéquatement la sonde multiparamètres avec les solutions de pH. Cette étape doit être faite avant chaque campagne de mesures.

ÉCHANTILLONNAGE D'EAU DES COLONNES (1 FOIS PAR MOIS) ET EAU DE PLUIE ((POUR ANALYSES DES MÉTAUX POUR CNRC NRC SEULEMENT) – VOIR LE POINT 1.6)

1.1 LIEU DE PRÉLÈVEMENT : les chaudières raccordées aux colonnes de terrain #1 à #13 et la chaudière d'eau de pluie

1.2 DATE DE PRÉLÈVEMENT : le **premier mardi** de chaque mois (voir calendrier à la fin de section 1)

1.3 INFORMATIONS À NOTER AVANT L'ÉCHANTILLONNAGE :

- Prendre une photographie de l'eau à l'intérieur de chaque chaudière;
- Noter les observations visuelles ou organoleptiques (dépôts de particules, particules en suspension, couleur, odeur, etc.);
- Noter le volume d'eau présent dans les chaudières avant de débiter l'échantillonnage.

1.4 RECIRCULATION DES EAUX RÉCUPÉRÉES AUX COLONNES C10 et C11 SEULEMENT :

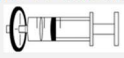

- Avant de débiter l'échantillonnage des colonnes ;les eaux récupérées dans les colonnes C10 et C11 doivent être recirculées dans leurs colonnes respectives.
- Noter le volume d'eau avant la recirculation.
- Mesurer les paramètres-physico-chimiques de l'eau **AVANT** la recirculation.
- Prévoir 2 chaudières propres pour récupérer les eaux dans chaque chaudière (« chaudière de recirculation).
- Vider le contenu de l'eau récupérée le mois précédent dans une chaudière de recirculation propre. Réinstaller chaque chaudière vidée ensuite au tubage des colonnes.
- Transvider l'eau de la chaudière de recirculation au sommet de la colonne avant de débiter l'échantillonnage des autres colonnes
- Réaliser l'échantillonnage comme indiqué à l'étape « 1.5 MÉTHODE D'ÉCHANTILLONNAGE) pour les autres colonnes et terminer l'échantillonnage avec les colonnes C10 et C11 pour laisser le temps à l'eau recirculée de s'écouler le plus possible.
- Noter le volume d'eau récupérée après recirculation.
- Reprendre les mesures avec la sonde multi-paramètres **APRÈS** la recirculation et le remplissage des bouteilles se fait avec l'eau recirculée.
- **Dans le fichier de suivi et le carnet de note, noter que l'eau des colonnes a bien été recirculée** pour les colonnes C10 et C11 et indiquer les paramètres physico-chimiques AVANT et APRÈS.

1.5 MÉTHODE D'ÉCHANTILLONNAGE :

- Les bouteilles du laboratoire contiennent des agents de préservation acides donc le port de gants de nitrile et lunette de sécurité est requis pour l'échantillonnage;
- Bien identifier les bouteilles d'échantillonnage pour chacune des chaudières;
- les gants de protection doivent être changés entre chaque chaudière échantillonnée pour éviter de contaminer l'eau provenant d'une colonne à l'autre;
- pour chaque colonne, prélever à la seringue l'eau et remplir avec le filtre 0,45 µm la bouteille destinée au CNRC/NRC, c'est-à-dire les tubes contenant du HNO₃ comme agent de préservation. Il ne faut pas pomper l'eau avec le filtre installé : il faut pomper sans filtre et mettre le filtre lorsqu'on transvide dans le tube du CNRC. Advenant une quantité élevée de matière en suspension dans les échantillons, il peut s'avérer nécessaire de changer de filtre au cours du transvidement.
- Remplir la bouteille de 250 mL de H₂LAB sans utiliser la seringue et le filtre.
- Mesurer les paramètres physico-chimiques d'ORP, pH, conductivité et température dans l'eau de chaque chaudière.

- L'eau restante après l'échantillonnage peut être récupérée dans un contenant propre et conservée à 4°C pour des analyses ultérieures. Le cas échéant, bien identifier la date d'échantillonnage.
- Rincer autant que possible la chaudière vidée avec de l'eau déionisée, égoutter et puis remettre en place.
- Pour chaque chaudière :
 - 2 bouteilles à remplir par échantillon ou duplicata
 - 1 bouteille du laboratoire H₂LAB
 - 1 bouteille (ou tube) contenant du HNO₃ destiné au laboratoire du CNRC/NRC à prélever avec le matériel de filtration
 - Les analyses réalisées et les contacts sont détaillés dans le Tableau 1 suivant :

Tableau 1 - Analyses et contenant d'échantillonnage pour les eaux prélevées des chaudières des colonnes de terrain

Type d'échantillons	Analyse à effectuer	Type de contenant	Adresse d'expédition	Délai de conservation	Fréquence
Eaux colonnes de terrain (13x colonnes)	ORP/pH/conductivité	Analyse à effectuer sur le terrain (pour C10 et C11, prendre mesures AVANT et APRÈS la recirculation.	-	0 jours	1 fois / mois
	Alcalinité/acidité	1 bouteille de 250 ml non préservé *Si la qté d'eau est limitée, il est possible de remplir le contenant qu'à moitié	A/S Kathie LEFEBVRE H2Lab 125, boul. Industriel Rouyn-Noranda (Québec) J9X 6P2	14 jours	1 fois / mois
	Sulfates			14 jours	
	Thiosulfates			14 jours	
	Fluorures			28 jours	
	Chlorures			28 jours	
ICP-MS 33 éléments + Hg 	Filtrer et remplir 1 tube de 50 ml préservé au HNO ₃	A/S Daniel TYO National Research Council 1200 Montreal Road Building M-12 Ottawa, K1A 0R6	180 jours	1 fois / mois	
Eau de pluie	ICP-MS 33 éléments + Hg 	Filtrer et remplir 1 tube de 50 ml préservé au HNO ₃	Ottawa, K1A 0R6	180 jours	1 fois / mois

1.6 EAU DE PLUIE

- Un contenant permettant de collecter l'eau de pluie devra être fixé à la base de la station. La chaudière devra être installée pour empêcher l'évaporation et deux méthodes sont suggérées sur la figure suivante :

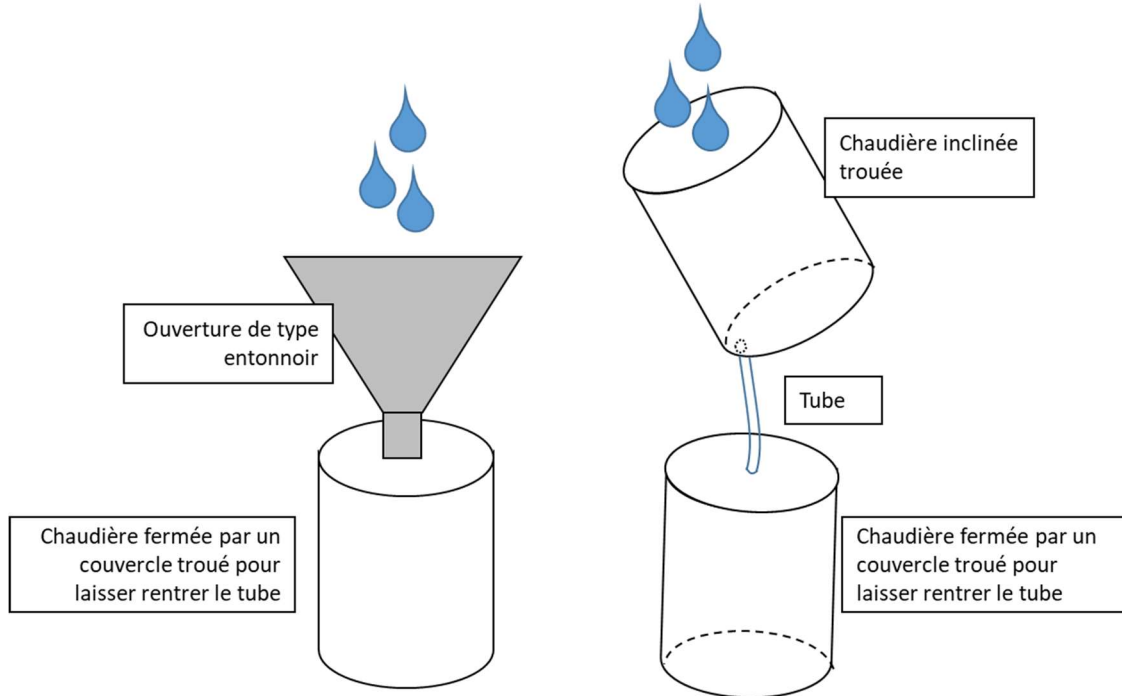


Figure 1

- L'eau de pluie sera prélevée en même temps que l'eau des colonnes dans un tube contenant du HNO_3 qui doit être envoyé au CNRC/NRC en même temps que les autres échantillons. L'échantillon d'eau sera également filtré avec la seringue et le filtre $0,45 \mu\text{m}$.
- Les paramètres physico-chimiques d'ORP, pH, conductivité et température doivent être mesurés incluant le volume d'eau de pluie.

1.7 ENVOI DES ÉCHANTILLONS

- **H2LAB** : Une demande d'analyse doit être remplie sur le portail H2Lab (client.h2lab.ca) avant chaque expédition.
- **CNRC/NRC** : Un formulaire d'identification des échantillons doit être envoyé en copie papier avec les informations sur l'échantillon.

H2LAB – Accès au site-web <https://h2lab.ca/portail/>

Code d'accès : [REDACTED]

Mot de passe : [REDACTED]

Demande pour : Coalia => COALIA-TROILUS

Envoyé au laboratoire de Rouyn Noranda

Courriels supplémentaires (séparer par ;) : [REDACTED]

Bon de commande : [REDACTED]

Présentation du certificat : tous les échantillons sur un certificat d'analyses

En français

Figure 2

* Pour l'eau provenant des colonnes, il faudra sélectionner le gabarit : Water (from field columns).

* Pour l'eau de surface (STP-9), il faudra sélectionner le gabarit : Water (from waste rock pile on mine site).

Noter le numéro de la demande et le mettre dans la glacière.

Il faudra prévoir de faire congeler les icepack avant le transport des échantillons. L'expédition des échantillons devra être au plus tard le mercredi, car les colis doivent être envoyés et reçus pendant les jours ouvrables du laboratoire.

CNRC/NRC

Remplir le formulaire d'envoi des échantillons (FORM-EAU_WATER-CNRC_NRC.xlsx)

1.8 CALENDRIER D'ÉCHANTILLONNAGE AVEC DUPLICATA

L'échantillonnage se fait le premier mardi de chaque mois. Chaque mois, un ou plusieurs duplicatas devront être prélevés. Le Tableau 3 détaille les jours d'échantillonnage avec les duplicatas à prélever.

La fréquence d'échantillonnage pourra être affectée par les conditions météorologiques au fil du temps. Par exemple, un épisode prolongé sans pluie va limiter la quantité d'eau récupérée dans les chaudières et l'échantillonnage pourra être repoussé. À l'inverse, lors d'épisodes de fortes pluies, un échantillonnage sera requis avant qu'il y ait débordement des chaudières.

ÉCHANTILLONNAGE D'EAU DE SURFACE (2 FOIS PAR MOIS)

2.1 LIEU DE PRÉLÈVEMENT : Station STP9 (voir Figure 3 et Figure 4 à la fin de ce protocole)

2.2 DATE DE PRÉLÈVEMENT : le **premier et troisième mardi** de chaque mois (voir calendrier à la fin de section 2)

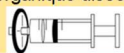

2.3 INFORMATIONS À NOTER AVANT L'ÉCHANTILLONNAGE :

- Débit avec le débitmètre.

2.4 ÉCHANTILLONNAGE DES COLONNES SUR LE TERRAIN :

- 2 bouteilles à remplir par échantillon ou duplicata
 - 2 bouteilles du laboratoire H2LAB qui fournissent leurs bouteilles et matériels de filtration pour la bouteille de Carbone organique dissous.
 - 1 bouteille (ou tube) contenant du HNO₃ destiné au laboratoire du CNRC/NRC à filtrer également
- Les analyses réalisées et les contacts sont détaillés dans le Tableau 2 suivant :

Tableau 2 - Analyses et contenant d'échantillonnage pour les eaux prélevées à la station STP-9

Type d'échantillons	Analyse à effectuer	Type de contenant	Adresse d'expédition	Délai de conservatio	Fréquence
Eaux stériles existants J4 (1x Station STP-9)	ORP/pH/conductivité	Analyse à effectuer sur le terrain	-	0 jours	2 fois / mois
	Alcalinité/acidité	1 bouteille de 250 ml non préservé *Si la qté d'eau est limitée, il est possible de remplir le contenant qu'à moitié	A/S Kathie LEFEBVRE H2Lab 125, boul. Industriel Rouyn-Noranda (Québec) J9X 6P2	14 jours	2 fois / mois
	Sulfates			14 jours	
	Thiosulfates			14 jours	
	Fluorures			28 jours	
	Chlorures			28 jours	
	Carbone organique dissous - COD 	Filtrer et remplir 1 bouteille préservé au H ₂ SO ₄ Qté min requise : 20 ml		28 jours	
	ICP-MS 33 éléments + Hg 	Filtrer et remplir 1 tube de 50 ml préservé au HNO ₃	A/S Daniel TYO National Research Council 1200 Montreal Road Building M-12 Ottawa, K1A 0R6	180 jours	2 fois / mois

2.5 MÉTHODE D'ÉCHANTILLONNAGE :

- Noter les informations requises préalablement à l'échantillonnage (voir section 2.3);
- Les contenants contiennent des agents de préservation acides donc le port de gants de nitrile et lunette de sécurité est requis pour l'échantillonnage;
- pour l'échantillon du CNRC (tube avec l'agent de préservation de HNO₃, prélever l'eau à la seringue et filtrer l'eau dans le contenant d'échantillonnage. Il ne faut pas pomper l'eau avec le filtre installé : il faut pomper sans filtre et mettre le filtre lorsqu'on transvide dans le tube du CNRC. Advenant une quantité élevée de matière en suspension dans les échantillons, il peut s'avérer nécessaire de changer de filtre;

- Échantillonner l'eau avec la même méthode de filtration pour la bouteille de carbone organique dissous de H2LAB;
- Remplir la dernière bouteille de 250 mL de H2LAB sans utiliser la seringue et le filtre
- Mesurer les paramètres physico-chimiques d'ORP, pH, conductivité et température à la station

Ces échantillons pourront être regroupés avec ceux des colonnes de terrain pour l'expédition vers les laboratoires d'analyses. Il sera important de sélectionner le gabarit adéquat (*Water (from waste rock pile on mine site)*) pour la demande d'analyse H2Lab

2.6 ENVOI DES ÉCHANTILLONS

- **H2LAB : Une demande d'analyse doit être remplie sur le portail H2Lab (client.h2lab.ca) avant chaque expédition.**
- **CNRC/NRC : Un formulaire d'identification des échantillons doit être envoyé en copie papier avec les informations sur l'échantillon.**

1.8 CALENDRIER D'ÉCHANTILLONNAGE AVEC DUPLICATA

Chaque mois, un ou plusieurs duplicatas devront être prélevés. Le Tableau 3 montre le calendrier des duplicatas pour chaque type d'échantillonnage. On répètera ainsi les mêmes manipulations décrites plus haut pour les duplicatas (3 bouteilles).

Tableau 3 - Calendrier de l'échantillonnage et du contrôle qualité pour l'échantillonnage des eaux de colonnes de terrain et l'eau de la fosse J4

#Cycle (1. cycle = chaque mardi aux 2 semaines)	Date planifiée (MARDI)	Nom échantillon lixiviat	SONDE : pH/ORP/Température/Conductivité	H2LAB : Alcalinité et Acidité	H2LAB : Sulfates	H2LAB : Thiosulfates	H2LAB : Fluorures	H2LAB : Chlorures	H2LAB : Carbone organique dissous	CNRC : ICP-MS 33 éléments + Hg	Notes
1	2021-10-25	1) Colonne terrain 1 à 13 2) Eau de pluie 3) Station STP9	√	√	√	√	√	√	√	√	2 x duplicata(s) de terrain provenant des colonnes de terrain - -
2	2021-11-09	1) Colonne terrain 1 à 13 2) Eau de pluie 3) Station STP9	√	√	√	√	√	√	√	√	2 x duplicata(s) de terrain provenant des colonnes de terrain - -
3	2021-11-25	Période de gel	Période de gel								Période de gel
4	2021-12-07										
5	2021-12-21										
6	2022-01-04										
7	2022-01-18	STP-9	√	√	√	√	√	√	√	√	-
8	2022-01-25	STP-9	√	√	√	√	√	√	√	√	-
9	2022-02-08	STP-9	√	√	√	√	√	√	√	√	-
13	2022-04-05	STP-9	√	√	√	√	√	√	√	√	
15	2022-05-03	STP-9	√	√	√	√	√	√	√	√	
16	2022-05-17	1) Colonne terrain 1 à 13 2) Eau de pluie 3) Station STP9	√	√	√	√	√	√	-	√	2 x duplicata(s) de terrain provenant des colonnes de terrain - -
17	2022-05-31	STP-9	√	√	√	√	√	√	√	√	1 x Blanc de terrain (préparer un échantillon avec de l'eau déionisée)
18	2022-06-14	1) Colonne terrain 1 à 13 2) Eau de pluie 3) Station STP9	√	√	√	√	√	√	-	√	1 x duplicata(s) de terrain provenant des colonnes de terrain - -
19	2022-06-28	STP-9	√	√	√	√	√	√	√	√	
20	2022-07-12	1) Colonne terrain 1 à 13 2) Eau de pluie 3) Station STP9	√	√	√	√	√	√	-	√	- Duplicata de terrain (prélever un duplicata de colonne terrain) -
21	2022-07-26	STP-9	√	√	√	√	√	√	√	√	
22	2022-08-09	1) Colonne terrain 1 à 13 2) Eau de pluie 3) Station STP9	√	√	√	√	√	√	-	√	1x duplicata de colonne + 1x blanc de terrain - -
23	2022-08-23	STP-9	√	√	√	√	√	√	√	√	
24	2022-09-06	1) Colonne terrain 1 à 13 2) Eau de pluie 3) Station STP9	√	√	√	√	√	√	-	√	Blanc de terrain (préparer un échantillon avec de l'eau déionisée)
25	2022-09-20	STP-9	√	√	√	√	√	√	√	√	
26	2022-10-04	1) Colonne terrain 1 à 13 2) Eau de pluie 3) Station STP9	√	√	√	√	√	√	-	√	1x duplicata de colonne + 1x blanc de terrain - -
27	2022-10-18	STP-9	√	√	√	√	√	√	√	√	
28	2022-11-01	1) Colonne terrain 1 à 13 2) Eau de pluie 3) Station STP9	√	√	√	√	√	√	-	√	1 x duplicata(s) de terrain provenant des colonnes de terrain - -
29	2022-11-15	STP-9	√	√	√	√	√	√	√	√	
30	2022-11-29	1) Colonne terrain 1 à 13 2) Eau de pluie 3) Station STP9	√	√	√	√	√	√	-	√	2 x duplicata(s) de terrain provenant des colonnes de terrain - -
31	2022-12-13	STP-9	√	√	√	√	√	√	√	√	
32	2022-12-27	1) Colonne terrain 1 à 13 2) Eau de pluie 3) Station STP9	√	√	√	√	√	√	-	√	2 x duplicata(s) de terrain provenant des colonnes de terrain - -
29	2023-01-10	STP-9	√	√	√	√	√	√	√	√	
30	2023-01-24	1) Colonne terrain 1 à 13 2) Eau de pluie 3) Station STP9	√	√	√	√	√	√	-	√	1 x duplicata(s) de terrain provenant des colonnes de terrain - -
31	2023-02-07	STP-9	√	√	√	√	√	√	√	√	Duplicata de terrain (prélever un duplicata de STP 9)
32	2023-02-21	1) Colonne terrain 1 à 13 2) Eau de pluie 3) Station STP9	√	√	√	√	√	√	-	√	2 x duplicata(s) de terrain provenant des colonnes de terrain - -

CONTINUER LA SÉQUENCE EN RESPECTANT 10% D'ÉCHANTILLONS POUR LES ÉCHANTILLONS DES COLONNES
AU BESOIN, VALIDER AVEC CHARGÉ DE PROJET À COALIA OU ANN LAMONTAGNE

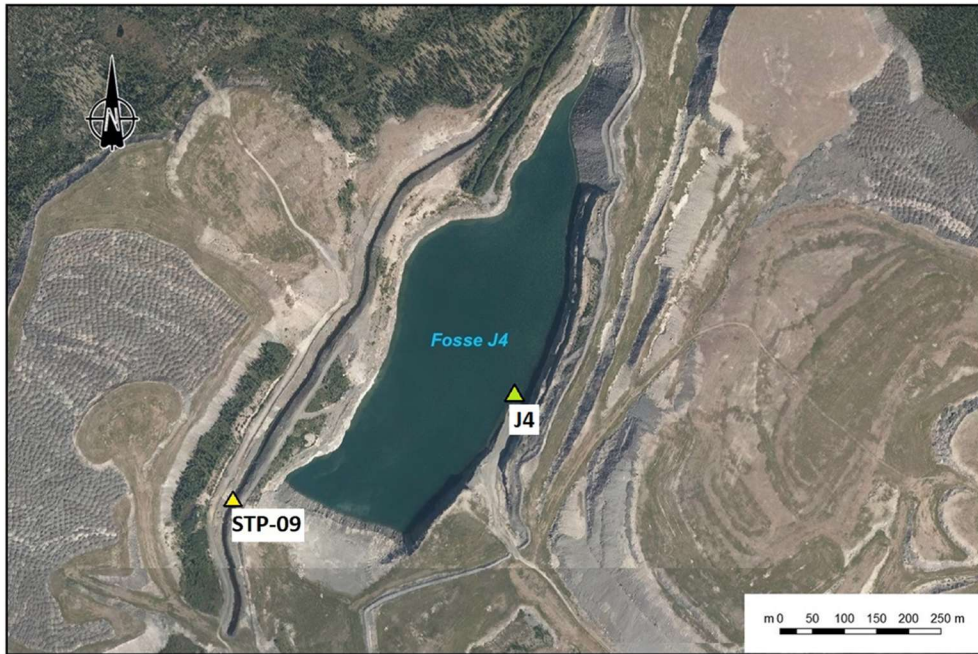


Figure 3 - Localisation de la station STP-09



Figure 4 - Station d'échantillonnage STP-09

Cellules humides /// Norme D5744-18

version2 2022-08-03 – contrôle qualité – changement de duplicata ajout blancs d'eau déionisée

version 3 – 2022-11-15 – modification procédure d'ajout sur le portail H2LAB

version 4 – 2022-12-14 – correction des informations pour H2LAB (tous les échantillons sur un même certificat)

Objectifs généraux, montage et lixiviations

Objectifs de l'essai : **(1)** favoriser le transport de produit de réaction par lixiviation aqueuse du résidu minier et **(2)** mesurer les taux de relâchement massique du produit d'altération.

SOMMAIRE DE LA MÉTHODE

- Lixiviation d'eau désionisée à travers un échantillon de 1000g. Volume de lixiviant (eau) d'environ 1 :1 à 0,5 :1 par rapport au poids de l'échantillon.
- Protocole utilisé : **Option A** – cycles hebdomadaires où le résidu est exposé 3 jours d'air sec puis 3 jours d'air saturée en eau (95%). L'air est alimenté dans la cellule avec un débit connu. Le 7^{ième} jour, l'eau est ajoutée sur le résidu pour la lixiviation.
- La durée va dépendre des objectifs, dans ce cas-ci 1 an est prévu et voir ensuite selon l'évolution des résultats.

Signification et usage

- Les données sont utilisées pour **(1)** déterminer si le matériel solide va produire un lixiviat acide, neutre ou basique **(2)** identifier les solutés dans le lixiviat qui représente des produits d'altérations dissous durant la période de temps spécifiée **(3)** déterminer la masse de soluté relâchée et **(4)** déterminer le taux auquel les solutés sont relâchés (du solide au lixiviat) dans des conditions d'essai contrôlées de près.

Les lixiviats produits sont analysés pour des constituants majeurs et mineurs. Il est important que des précautions soient prises dans la prise d'échantillon, la filtration, la préservation, l'entreposage et le transport afin de prévenir une contamination potentielle des échantillons ou l'altération des concentrations des constituants via la sorption ou la précipitation.

Préparation des échantillons et cellules humides - TROILUS

Concassage des échantillons

1. Tamiser le matériel sur 6,3 mm avant de le passer dans le concasseur à rouleau.
2. Première passe de concassage au rouleau ajusté à 5 mm.
3. Tamisage sur 6,3 mm – conserver fraction -6,3 mm.
4. 2 iem passe de concassage avec la fraction +6,3 mm.
5. Tamisage sur 6,3 mm
6. Le + 6,3 mm restant final est mis dans un sac à part. Donc 2 sacs à la fin par échantillons, soit un de la fraction +6,3 et l'autre de la fraction-6,3mm.

Préparation des échantillons de 1 kg

- Récupérer les **fractions -6,3mm** des échantillons suivants :
 - o **CELLULE1** = E12 (composite of E12-01 to E12-10) Oxidized existing J4 rock
 - o **CELLULE2** = E13 (composite of E13-01 to E13-10) Non-oxidized existing J4 rock
 - o **CELLULE3** = Cylinder sac #1 - #3 High-sulphur non-brecciated diorite
 - o **CELLULE4** = Cylinder sac #3 - #7 Mean-sulphur undifferentiated volcanics
- Sécher à l'air libre chacun des chaque échantillon dans un four à température de **40°C MAX** pour 24h et/ou jusqu'à ce que la masse soit constante.
- Pour chaque échantillon, passer tout le matériel sec 1 fois dans le splitter avec ouvertures (chutes) de 1 pouce (2,54 cm) de largeur et recombinaison une fois tout le matériel splitté pour remélanger les tailles de particules.
- Utiliser ensuite le splitter pour préparer deux sous échantillons similaires de 1 kg et 0,5kg par échantillon
 - o **CELLULE1**
 - 1,0 kg pour les cellules humides
 - 0,5 kg pour les analyses éventuelles.
 - o **CELLULE2**
 - 1,0 kg pour les cellules humides
 - 0,5 kg pour les analyses éventuelles.
 - o **CELLULE 3**
 - 1,0 kg pour les cellules humides
 - 0,5 kg pour les analyses éventuelles.
 - o **CELLULE 4**
 - 1,0 kg pour les cellules humides
 - 0,5 kg pour les analyses éventuelles.
- Remettre les quantités non utilisées dans leurs sacs respectifs.

Analyse granulométrique

- Pour chaque CELLULE, prélever le matériel dans les sous-échantillons de 0,5kg pour faire une distribution granulométrique représentative du matériel. Déterminer la granulométrie par ROTAP avec les tamis ci-après et préparer un fichier de résultat pour chaque échantillon. Bien nettoyer les tamis entre chaque échantillon pour éviter de la contamination. Le matériel après tamisage peut-être remis dans le sachet 0,5kg.

Tamis No.	taille
6	3.35 mm
10	2.00 mm
25	710 µm
35	500 µm
48	300 µm
100	150 µm
200	75 µm
270	53 µm

Préparation des échantillons pour cellules humides.

- Sous diviser chacun des échantillons de 1,0 kg en 4 sacs de 250 g avec un riffle splitter avec chutes de 1po de largeur. À conserver pour le montage des cellules humides – au total 4 cellules humides x 4 échantillons de 250 g = 16 sacs de 250 g. Selon la norme, ces sachets de 250g sont requis car lorsque le matériel sera déposé dans la cellule-humide, on diminuera davantage la ségrégation des particules grossières et fines dans la cellule.
- Identifier chaque sac par sa cellule-humide correspondante avec son numéro X/4 sacs.

Montage initial de la cellule

Lors du montage initial, il est important de prendre les poids du montage sans résidu et propre. La séquence suivante requiert de prendre des mesures durant les étapes de montage et de remplir le Tableau 1 qui se trouve après les descriptions suivantes.

A et B) Peser chaque cellule humide toute fermée avec bouchon sortie d'air en caoutchouc., sans filtre. Repeser la cellule humide sans le couvercle et les papillons vissés sans filtre. Noter les poids à 0,1g près.

C) Couper le média filtrant¹ au même diamètre intérieur de la cellule humide afin qu'il s'adapte parfaitement et repose à plat sur le support perforé. Peser.

Lorsqu'il est installé au fond de la cellule, ajouter un joint en silicone (style vaseline) au pourtour du filtre et des parois de la cellule afin d'imperméabiliser le pourtour et empêcher un écoulement préférentiel de l'eau en périphérie (ne pas exagérer la quantité, mais s'assurer d'un bon recouvrement visuellement). Voir image ci-bas :

¹ Le média filtrant utilisé pour le projet est une poche filtrante achetée chez Aquamerik POCHEs DE 7" x 32" (Type # 2) (F31S36502) maille de 1 µm, en polypropylène (modèle Sentinel par Eaton) à 12\$/unité.

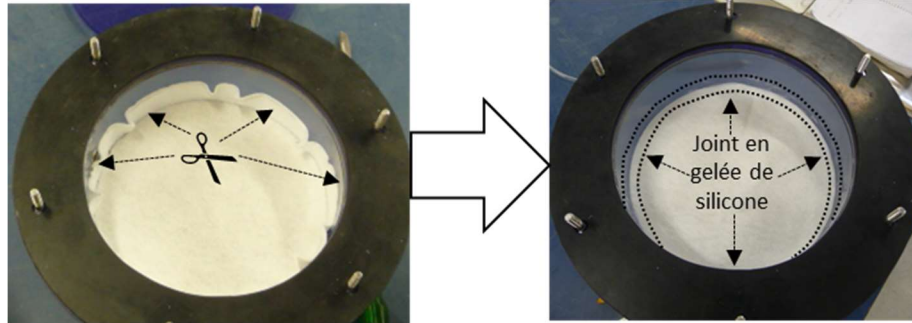


Figure 1 - découpe du média filtrant.

D) Repeser la cellule humide et noter le poids au 0,1 g près. Tarer le montage avant d'ajouter le résidu.

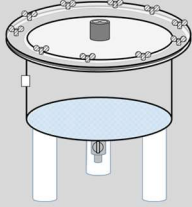
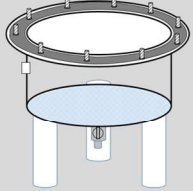

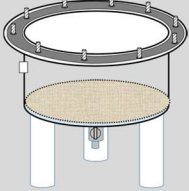

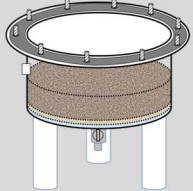
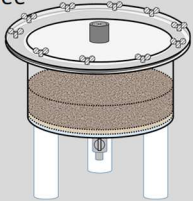
Remanier délicatement le matériel des sachets de 250g des échantillons de roches destinés aux essais en les roulant sur la table pour délier les possibles agglomérations ou stratification dans le sac. Transférer délicatement chacun des 4 sachets dans la cellule humide (à l'aide d'une cuillère par exemple).

E) Noter le poids de résidu ajouté.

F) Repeser le montage avec le résidu et noter le poids au 0,1 g près.

G) Refermer le montage complètement avec le couvercle, les papillons et le bouchon de caoutchouc troué. Peser et noter.

Tableau 1- Poids des cellules humides à noter avec le matériel sec lors du montage.

MASSES À NOTER AU MONTAGE	Cellule1	Cellule2	Cellule3	Cellule4
<p>A) Masse cellule humide fermée hermétiquement sans filtre et avec bouchon caoutchouc d'évacuation d'air sans résidu.</p> 				
<p>B) Masse cellule humide vide, sans couvercle, avec joint de caoutchouc et tige de vis (sans papillon)</p> 				
<p>C) Masse du média filtrant</p> 				
<p>D) Masse cellule humide avec média filtrant et joint de gelée de silicone (B+C+ Gelée de silicone)</p> 				
<p>E) Par tarrage de D), mesurer la masse de résidu ajouté.</p> 				
<p>F) Masse cellule humide complète avec 1kg de résidu sans couvercle</p> 				
<p>G) Masse complète, fermée</p> 				

Séquence hebdomadaire de lixiviation

L'essai des cellules humides est un essai sur 7 jours durant lesquelles la cellule est exposée à 3 jours d'air sec, 3 jours d'air humides puis à une lixiviation, selon le modèle hebdomadaire suivant (Tableau 2):

Tableau 2 – Séquence hebdomadaire des tâches pour les essais en cellules humides.

Tâche	Cycle sec			Cycle humide			Lixiviation
	JOUR 1	JOUR 2	JOUR 3	JOUR 4	JOUR 5	JOUR 6	JOUR 7
	Vendredi	Samedi	Dimanche	Lundi	Mardi	Mercredi	Jeudi
Pesées	-	-	-	Avant cycle humide	-	-	Avant l'ajout d'eau et après lixiviation
Changement d'air	Vers cycle sec	-	-	Vers cycle humide	-	-	Arrêt
Lixiviation	-	-	-	-	-	-	1L d'eau déionisée fraîche
Sonde multiparamètre	-	-	-	-	-	-	Calibration et mesure de ORP/pH/Conductivité
Remplissage des contenants d'analyses après filtration 0,45 µm.	-	-	-	-	-	-	COALIA Acidité/Alcalinité CNRC ICP-MS 33 éléments + Hg H2LAB Sulfates Thiosulfates (premières semaines) Fluorures Chlorures
Envoi des échantillons	Envoi selon la fréquence établie						
Débit d'air (L/min)	Vérification et ajustement						
Conservation des échantillons	Frigidaire local CPP						

Les heures estimées de travail sont :

<i>Suivi des 4 cellules, prise de mesure avec la sonde multiparamètres, échantillonnage, gestion des échantillons et des données</i>	5 heures
<i>Mesures acidité/alcalinité des 4 échantillons</i>	1 heure

Les heures prévues de façon hebdomadaires ont été estimées et si un écart important avec ces heures est requis pour les travaux, avertir le chargé de projet.

Toutes les étapes de l'essai, les ajouts d'eaux, ajustements de débits d'air, pesées doivent être documentés sur la **FICHE HEBDOMADAIRE DES ESSAIS** dont un exemple est présenté au **FICHE IMPRIMABLE RETROUVÉE SUR LE SERVEUR - fichier TROILUS - CELLULES HUMIDES FICHE HEBDOMADAIRE.xlsx**

N:\Troilus\FRQNT-302483\4-Résultats et rapports\CELLULE HUMIDE Fiche hebdomadaire et suivi des données

Tableau 3.

Le **CALENDRIER des échantillons** à prélever à chaque cycle ainsi qu'**avec les duplicatas** est présenté au Tableau 4 à la suite. Les informations sur l'échantillonnage et la logistique de transport des échantillons sont présentées dans le Tableau 5.

La méthodologie détaillée de lixiviation est présentée à la section par la suite.

FICHE IMPRIMABLE RETROUVÉE SUR LE SERVEUR - fichier TROILUS - CELLULES HUMIDES FICHE HEBDOMADAIRE.xlsx

N:\Troilus\FRQNT-302483\4-Résultats et rapports\CELLULE HUMIDE Fiche hebdomadaire et suivi des données

Tableau 3 - Exemple de fiche hebdomadaire - retrouvée sur le serveur N:\Troilus\FRQNT-302483\4-Résultats et rapports\CELLULE HUMIDE_Fiche hebdomadaire et suivi des données

SEMAINE NO. :		LIXIVIATION			CYCLE SEC			CYCLE HUMIDE		
		JOUR 7	JOUR 1	JOUR 2	JOUR 3	JOUR 4	JOUR 5	JOUR 6		
		Jeudi	Vendredi	Samedi	Dimanche	Lundi	Mardi	Mercredi		
Technicien		Pesées Lixiviation Échantillonnage (sonde multiparamètre + filtration + bouteilles d'échantillonnage)			Pesées Changement d'air		vérifier humidité et débit au besoin		Pesées Changement d'air	
		vérifier humidité et débit au besoin			vérifier humidité et débit au besoin		vérifier humidité et débit au besoin			

CELLULE1	LIXIVIATION (jour 7-jeudi)	CYCLE SEC (jour 1 - vendredi)	CYCLE HUMIDE (jour 4 - lundi)
JOUR de la semaine et DATE	JOUR de la semaine et DATE	JOUR de la semaine et DATE	JOUR de la semaine et DATE
Lecture débit d'air humide - port d'entrée	L/min	Heure de branchement de l'air sec	Lecture débit d'air sec - port d'entrée
Lecture humidité relative - sortie de la cellule	%	Lecture débit d'air - port d'entrée	Lecture humidité relative - port de sortie de la cellule avant changement
Masse de la cellule humide sèche avant lixiviation		Lecture humidité relative de l'air sec stabilisé quelques heures après	Masse de la cellule avant branchement humide
Masse de l'ampoule à décanter - sèche (±0,1 g)	g		VERIFIER LE NIVEAU D'EAU DANS L'HUMIDIFICATEUR et ajuster au besoin *
Masse de l'ampoule à décanter - avec 1L d'eau (±0,1 g)	g		Lecture humidité relative de l'air humide stabilisé quelques heures après
Masse de l'ampoule à décanter après vidage (±0,1 g)	g		
Heure de submersion de l'échantillon			
Masse du contenant de récupération d'eau sec			
Heure d'ouverture de la sortie d'eau (1h après immersion)			
Masse d'eau récupérée de lixiviat avant filtration			
Heure de fin lixiviation			
Masse de la cellule humide après lixiviation (±0,1 g)	g		
SONDE MULTIPARAMETRES: température			
enregistrer le point	pH		
	ORP		
	µS/cm		

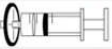
CELLULE2	LIXIVIATION (jeudi)	CYCLE SEC (jour 1 - vendredi)	CYCLE HUMIDE (jour 4 - lundi)
JOUR de la semaine et DATE	JOUR de la semaine et DATE	JOUR de la semaine et DATE	JOUR de la semaine et DATE
Lecture débit d'air humide - port d'entrée	L/min	Heure de branchement de l'air sec	Lecture débit d'air sec - port d'entrée
Lecture humidité relative - sortie de la cellule	%	Lecture débit d'air - port d'entrée	Lecture humidité relative - port de sortie de la cellule avant changement
Masse de la cellule humide sèche avant lixiviation		Lecture humidité relative de l'air sec stabilisé quelques heures après	Masse de la cellule avant branchement humide
Masse de l'ampoule à décanter - sèche (±0,1 g)	g		VERIFIER LE NIVEAU D'EAU DANS L'HUMIDIFICATEUR et ajuster au besoin *
Masse de l'ampoule à décanter - avec 1L d'eau (±0,1 g)	g		Lecture humidité relative de l'air humide stabilisé quelques heures après
Masse de l'ampoule à décanter après vidage (±0,1 g)	g		
Heure de submersion de l'échantillon			
Masse du contenant de récupération d'eau sec			
Heure d'ouverture de la sortie d'eau (1h après immersion)			
Masse d'eau récupérée de lixiviat avant filtration			
Heure de fin lixiviation			
Masse de la cellule humide après lixiviation (±0,1 g)	g		
SONDE MULTIPARAMETRES: température			
enregistrer le point	pH		
	ORP		
	µS/cm		

Tableau 4 - Calendrier des échantillons avec le contrôle qualité (duplicatas et blancs),

#Cycle	Nom échantillon lixiviat	COALJA : pH/ORP/Température/Conductivité	COALJA : Alcalinité et Acidité	H2LAB : Sulfates	H2LAB : Thiosulfates (début de projet)	H2LAB : Fluorures	H2LAB : Chlorures	CNRC : ICP-MS 33 éléments + Hg	Notes
1	MINI-CELLULE 1 CYCLE 1	✓	✓	✓	✓	✓	✓	✓	
	MINI-CELLULE 2 CYCLE 1	✓	✓	✓	✓	✓	✓	✓	
	MINI-CELLULE 3 CYCLE 1	✓	✓	✓	✓	✓	✓	✓	
	MINI-CELLULE 4 CYCLE 1	✓	✓	✓	✓	✓	✓	✓	
2	MINI-CELLULE 1 CYCLE 2	✓	✓	✓		✓	✓	✓	
	MINI-CELLULE 2 CYCLE 2	✓	✓	✓	à voir	✓	✓	✓	
	MINI-CELLULE 3 CYCLE 2	✓	✓	✓		✓	✓	✓	
	MINI-CELLULE 4 CYCLE 2	✓	✓	✓		✓	✓	✓	
3	MINI-CELLULE 1 CYCLE 3	✓	✓	✓		✓	✓	✓	
	MINI-CELLULE 2 CYCLE 3	✓	✓	✓	à voir	✓	✓	✓	Envoyer un duplicata pour les analyses de la MINI-CELLULE1 et l'appeler DUPLICATA_cycle 3 (MANQUÉ)
	MINI-CELLULE 3 CYCLE 3	✓	✓	✓		✓	✓	✓	
	MINI-CELLULE 4 CYCLE 3	✓	✓	✓		✓	✓	✓	
4	MINI-CELLULE 1 CYCLE 4	✓	✓	✓		✓	✓	✓	
	MINI-CELLULE 2 CYCLE 4	✓	✓	✓	à voir	✓	✓	✓	
	MINI-CELLULE 3 CYCLE 4	✓	✓	✓		✓	✓	✓	
	MINI-CELLULE 4 CYCLE 4	✓	✓	✓		✓	✓	✓	
5	MINI-CELLULE 1 CYCLE 5	✓	✓	✓		✓	✓	✓	
	MINI-CELLULE 2 CYCLE 5	✓	✓	✓	à voir	✓	✓	✓	Envoyer un duplicata pour les analyses de la MINI-CELLULE1 et l'appeler DUPLICATA_cycle 5
	MINI-CELLULE 3 CYCLE 5	✓	✓	✓		✓	✓	✓	
	MINI-CELLULE 4 CYCLE 5	✓	✓	✓		✓	✓	✓	
6	MINI-CELLULE 1 CYCLE 6	✓	✓	✓		✓	✓	✓	
	MINI-CELLULE 2 CYCLE 6	✓	✓	✓	à voir	✓	✓	✓	
	MINI-CELLULE 3 CYCLE 6	✓	✓	✓		✓	✓	✓	
	MINI-CELLULE 4 CYCLE 6	✓	✓	✓		✓	✓	✓	
7	MINI-CELLULE 1 CYCLE 7	✓	✓	✓		✓	✓	✓	
	MINI-CELLULE 2 CYCLE 7	✓	✓	✓	à voir	✓	✓	✓	
	MINI-CELLULE 3 CYCLE 7	✓	✓	✓		✓	✓	✓	
	MINI-CELLULE 4 CYCLE 7	✓	✓	✓		✓	✓	✓	
8	MINI-CELLULE 1 CYCLE 8	✓	✓	✓		✓	✓	✓	
	MINI-CELLULE 2 CYCLE 8	✓	✓	✓	à voir	✓	✓	✓	Envoyer un BLANC our les analyses de la MINI-CELLULE1 et l'appeler DUPLICATA_cycle8 (eau déionisée seulement)
	MINI-CELLULE 3 CYCLE 8	✓	✓	✓		✓	✓	✓	
	MINI-CELLULE 4 CYCLE 8	✓	✓	✓		✓	✓	✓	
9	MINI-CELLULE 1 CYCLE 9	✓	✓	✓		✓	✓	✓	
	MINI-CELLULE 2 CYCLE 9	✓	✓	✓	à voir	✓	✓	✓	Envoyer un DUPLICATA pour les analyses de la MINI-CELLULE1 et l'appeler DUPLICATA_cycle 9
	MINI-CELLULE 3 CYCLE 9	✓	✓	✓		✓	✓	✓	
	MINI-CELLULE 4 CYCLE 9	✓	✓	✓		✓	✓	✓	
10	MINI-CELLULE 1 CYCLE 10	✓	✓	✓		✓	✓	✓	
	MINI-CELLULE 2 CYCLE 10	✓	✓	✓	à voir	✓	✓	✓	Envoyer un BLANC our les analyses de la MINI-CELLULE1 et l'appeler DUPLICATA_cycle 8 (eau déionisée seulement)
	MINI-CELLULE 3 CYCLE 10	✓	✓	✓		✓	✓	✓	
	MINI-CELLULE 4 CYCLE 10	✓	✓	✓		✓	✓	✓	

CONTINUER LA SÉQUENCE EN RESPECTANT 10% D'ÉCHANTILLONS POUR LES ÉCHANTILLONS.
AU BESOIN, VALIDER AVEC CHARGÉ DE PROJET À COALJA OU ANN LAMONTAGNE

Tableau 5 - Programme analytique et logistique d'échantillonnage et de transport.

Type d'échantillons	Analyse à effectuer	Type de contenant	Adresse d'expédition	Délai de conservation	Fréquence
Cellules humides (laboratoire COALIA)	ORP/pH/conductivité	Analyse à effectuer lors du prélèvement dans environ 40 mL	COALIA	0 jours	4 cellules par semaine
	Alcalinité/acidité	40 mL dans un contenant de pillule ou 1 tube 50 mL sans agent de préservation, à conserver au frais.		14 jours	
	Sulfates	ne pas filtrer Remplir les flacons envoyés par H2LAB et remplir s'il y a lieu le contenant de carbone organique dissous en rayant ce nom d'analyse et en indiquant "échantillon supplémentaire" (On ne fait plus faire les analyses de carbones organique dissous).	A/S Kathie Lefebvre H2Lab 125, boul. Industriel Rouyn-Noranda (Québec) J9X 6P2 <i>*demande d'analyse en ligne au moment de l'envoi*</i>	14 jours	
	Thiosulfates (début de projet)	14 jours			
	Fluorures	28 jours			
	Chlorures	28 jours			
	ICP-MS 33 éléments + Hg 	Filtrer à 0,45µm et remplir 1 tube de 50 ml préservé au HNO3	Daniel Tyo National Research Council 1200 Montreal Road Building M-12 Ottawa, K1A 0R6 <i>*joindre formulaire d'échantillon*</i>	180 jours	

Méthodologie détaillée

Lixiviation – Ajout d’eau – Jeudi

TOUJOURS REMPLIR LA FICHE DE SUIVI HEBDOMADAIRE

1. Préparer de l’eau déionisée avant chaque jour de lixiviation (au moins 4 litres) et mesurer le pH de l’eau déionisée et les autres paramètres avec la sonde multi-paramètre.
2. La méthode pour la lixiviation d’eau est par submersion avec 1L d’eau par cellule – vider le contenu d’eau sur la paroi de la cellule humide si possible ou sinon faire couler doucement et envoyer l’échantillon avec la **sortie d’eau fermée**. Il faut éviter de trop perturber l’échantillon lors de cette étape, donc si vous videz ça comme on se sert un verre de lait, ça risque de faire un trou.
3. Suite à l’ajout d’eau, redéposer le couvercle sans le visser et en laissant un espace d’air (désaligner légèrement les vis des trous du couvercle déposer pour laisser environ 1 pouce d’espace). Il se peut que l’eau stagne par-dessus le résidu de quelques cm. Si ça se produit, s’assurer que le tube d’entrée d’air est connecté et que l’eau ne fuit pas sur le côté de la cellule. Noter l’heure de l’ennoiement. Laisser le système fermé de cette façon durant 1h.
4. Après 1h, ouvrir la valve d’évacuation de l’eau sous la cellule avec un contenant de prélèvement de l’eau de lixiviation. Noter l’heure.
5. Calibrer la sonde et lire la section sonde mutiparamètres ci-après pour son fonctionnement (2 pages plus loin). **Calibrer avant chaque séance de mesure (voir la section de la sonde Hanna)**
6. Laisser la lixiviation se faire et l’eau être recueillie dans le contenant. Il est possible d’aider l’initiation de la lixiviation après un certain temps (si rien ne percole) en déclenchant l’écoulement avec une pompe à succion à main. Lorsque l’eau est complètement écoulee, il peut rester de l’eau dans la partie entre le résidu et l’évacuation d’eau. Vous pouvez essayer de faire perdre cette eau coincée en soulevant et l’inclinant de part et d’autre très légèrement la cellule humide pour sortir l’eau et faire de son mieux, mais il peut rester de l’eau car le fond est plat.
7. Filtrer sur un filtre 0,45 µm l’eau recueillie avec le système de filtration (fiolle à sous vide). Rincer le matériel de filtration avec de l’eau désionisée entre les échantillons. Si possible, remettre le matériel solide récupéré sur le filtre dans la cellule humide par la suite. Ensacher le filtre dans un petit sachet en identifiant la mini-cellule et le numéro de cycle.
8. Prendre la quantité minimale requise pour faire les mesures à l’aide de la sonde multiparamètres.
9. Remplir les autres contenants à remplir lors de l’échantillonnage (acidité/alcalinité, ICP-MS 33 éléments, sulfates, thiosulfates (début de projet), fluorures et chlorures). Le type de contenant requis et l’adresse d’expédition des échantillons sont dans le Tableau 5 précédent.
10. L’identification des échantillons est importante – faites **faire préparer des autocollants** par Chantal Jacques (réception de COALIA) pour faciliter cette étape et voir avec elle lorsqu’il en manque.
11. Les contenants destinés aux analyses du CNRC (ICP-MS 33 éléments) contiennent un agent de conservations acide. S’il ne reste plus de contenant, il suffit de préparer une solution de HNO₃ à 50% avec de l’eau distillée

et de mettre 1mL dans chaque contenant (préparer une batch selon les besoins) (gants de nitriles, lunettes de protection et sarrau à manche longue);

12. Faire envoyer les analyses externes (H2LAB et CNRC) selon les indications du Tableau 5 précédent. **Pour les analyses H2LAB, il faut faire une demande d'analyse en ligne sur le portail – VOIR la section à la fin de ce document.**
13. Lorsque toutes les étapes d'échantillonnage sont complétées, débrancher les cellules, peser et noter le poids de chaque cellule et du contenant de récupération afin d'évaluer la masse d'eau résiduelle. SUGGESTION : masse de la cellule avec résidu sans couvercle avec caoutchouc (comme la masse F du Tableau 1).
14. Refermer les cellules humides (dessus et sa sortie en dessous) et attendre le lendemain pour mettre en cycle humide. Advenant que le vendredi est une journée de congé, débuter le cycle humide le jour de la lixiviation.

Début du cycle SEC -Jour 1 - vendredi matin

Réinstaller la cellule humide avec sa sortie d'eau fermée et installer le tubage pour l'air sec. Remettre un contenant propre sous la cellule pour récupérer les éventuelles fuites.

La méthodologie du changement de cycle d'air est présenté dans la section « **Changement cycle d'air** ».

Début du cycle humide – jour 4 - lundi

Prendre les mesures identifiées sur la fiche hebdomadaire lors du changement de cycle (**masse des cellules**, etc).

Vérifier la température et l'humidité relative dans l'humidificateur.

Mettre le cycle sec en opération.



SONDE MULTI-PARAMÈTRES - FONCTIONNEMENT

HANNA HI 98194

LECTURE DES PARAMÈTRES :

- 1- Dévisser le gobelet transparent de la sonde et retirer le protecteur de plastique de la sonde pH. S'assurer que la tête de la sonde pH était humide, sinon réhumidifier.
- 2- Faire une calibration des paramètres avec les pH de 4, 7 et 10, dans l'ordre proposé par la sonde lorsque l'option de calibration est choisie.
- 3- Remplir le gobelet d'eau déminéralisée et rincer les sondes. Jeter l'eau de rinçage.
- 4- Remplir quelques millimètres d'eau de lixiviation dans le gobelet, le revisser partiellement et agiter afin de récupérer l'eau déminéralisée excédentaire. Jeter ce lixiviat de rinçage.
- 5- Remplir suffisamment le gobelet avec du lixiviat pour que la tête des sondes soient immergées [ligne noir sur le côté] en prenant soin de conserver le plus de liquides pour les autres analyses.
- 6- Revisser et laisser les valeurs de paramètre se stabiliser. Appuyer sur le chiffre 9 pour afficher toutes les données.
- 7- Noter les mesures des différents paramètres et enregistrer la mesure dans la sonde
 - a. Enregistrement des données
 - i. Appuyer sur LOG
 - ii. Sélectionner >>One sample on meter
 - iii. Le texte « Log one sample in : CELLULE# » s'affiche. Appuyer sur OPTIONS pour choisir la bonne cellule, puis OK.
 - iv. « Add remark ? » appuyer sur NO.
 - v. L'affichage des paramètres et le texte « *Sample logged* » va apparaître pour confirmer l'enregistrement.
- 8- Jeter l'eau de lixiviation du gobelet de plastique.
- 9- Rincer le gobelet et les sondes avec de l'eau déminéralisée.
- 10- Remettre le protecteur de plastique avec une goutte d'eau sur la sonde de pH.

PROCÉDURE DE CALIBRATION

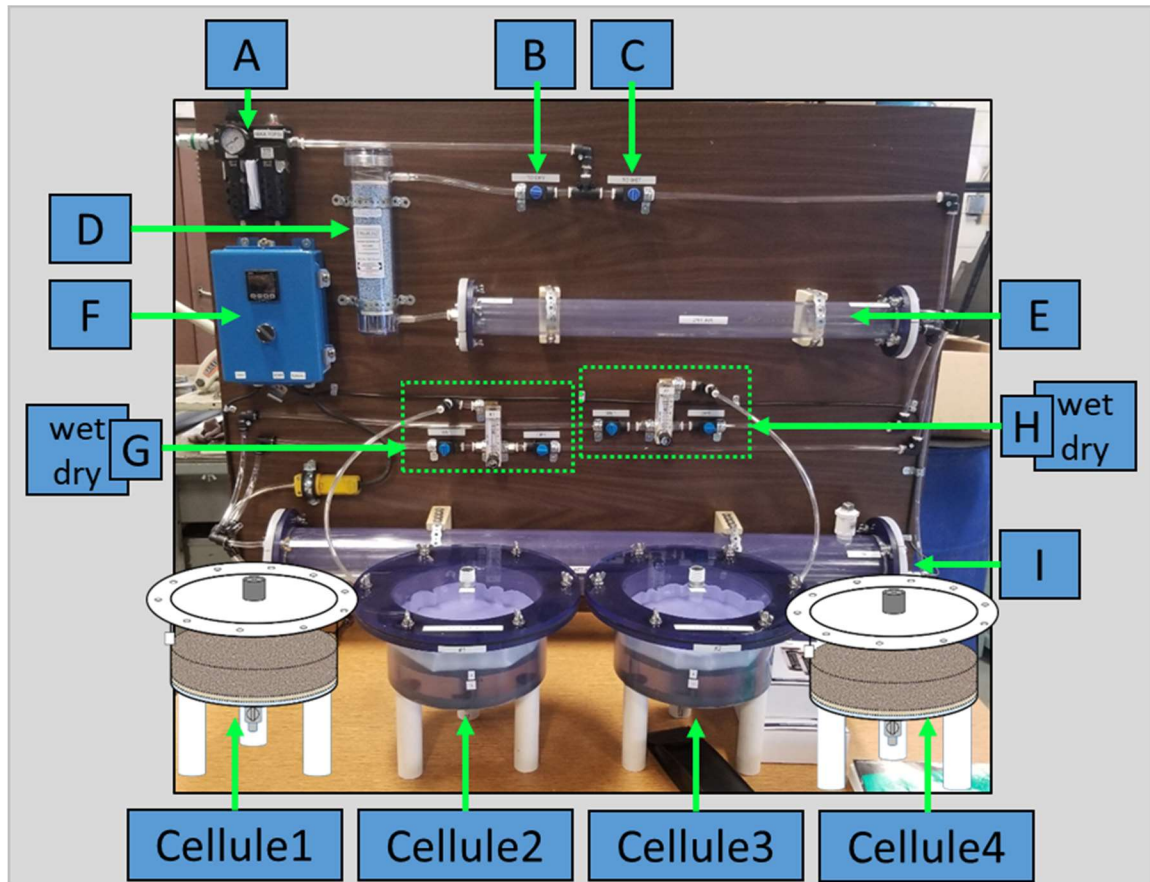
Suivre les instructions de la sonde pour la calibration en respectant l'ordre des liquides utilisés.

Procédure de changement du cycle d'air des cellules humides

**APPAREIL
SOUS PRESSION**

EPI:

**Lunettes
Gants
Sarau**



A = Contrôleur de pression

B = Alimentation principale pour l'AIR SEC

C = Alimentation principale pour l'AIR HUMIDE

D = Dessiccateur pour assécher l'AIR SEC (2 en séries)

E = Chambre d'AIR SEC

F = Panneau de contrôle de l'élément chauffant dans l'humidificateur

G = Valve AIR SEC/HUMIDE et débitmètre pour la CELLULE1 et CELLULE2

H = Valve AIR SEC/HUMIDE et débitmètre pour la CELLULE3 et CELLULE4

I = Humidificateur

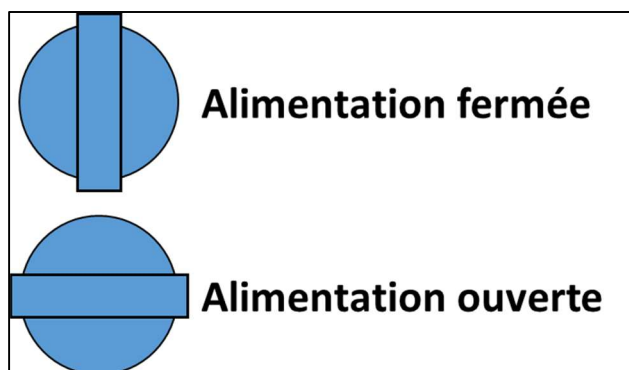
CELLULE1 = Cellule humide no.1

CELLULE2 = Cellule humide no.2

CELLULE3 = Cellule humide no.3

CELLULE4 = Cellule humide no.4

- 1- La pression principale du système est ajustée avec le contrôleur de pression (A) à **10 lbs** et **les valves principales air humide (B) et air sec (C) doivent être fermées**. Cet ajustement se fait en début de projet. **PAR LA SUITE, CE CONTRÔLEUR NE DOIT PAS ÊTRE RÉAJUSTÉ.**
- 2- La séquence d'ouverture initiale vers le cycle désiré se fait par la suite par l'ouverture des alimentations secondaire en premier (aux point G et H), puis l'ouverture de l'alimentation principale correspondante aux valves B ou C.



2- Changement du **cycle SEC** vers le **cycle HUMIDE**

- Fermer la valve principale « sec » (dry).
- Fermer les valves « sec » (dry) en G et H.
- Ouvrir les valves « humide » (wet) en G et H.
- Ouvrir la valve principale « humide » (wet).
- Vérifier la lecture des débitmètres et vérifier/ajuster.

3- Changement du **cycle HUMIDE** vers le **cycle sec**

- Fermer la valve principale « humide » (wet).
- Fermer les valves « humide » (wet) en G et H.
- Ouvrir les valves « sec » (dry) en G et H.
- Ouvrir la valve principale « sec » (dry).
- Vérifier la lecture des débitmètres et vérifier/ajuster au besoin.

Envoi des échantillons

ENVOI DES ÉCHANTILLONS

- **H2LAB** : Une demande d'analyse doit être remplie sur le portail H2Lab (client.h2lab.ca) avant chaque expédition.
- **CNRC/NRC** : Un formulaire d'identification des échantillons doit être envoyé en copie papier avec les informations sur l'échantillon.

H2LAB

Accès au site-web <https://h2lab.ca/portail/>

Code d'accès : [REDACTED]

Mot de passe : [REDACTED]

IMPORTANT: Sélectionner Connecté en tant que Coalia

Dans Demandes d'analyses -> nouvelle demande, veuillez ajouter les informations suivantes :

	<p>Demande pour : Coalia</p> <p>Envoyé au laboratoire de Rouyn Noranda</p> <p>Courriels supplémentaires (séparer par ;) : [REDACTED]</p> <p>Bon de commande : [REDACTED]</p> <p>Présentation du certificat : tous les échantillons sur un certificat.</p> <p>En français</p>
--	--

Dans la section échantillon qui suit, remplir le formulaire tel que demandé (date, nom du préleveur, heure, etc). Spécifiquement pour certaines lignes, inscrire :

Pour gabarit : **Cellules Humides COALIA**

Type d'échantillon : eaux usées

Lieu de prélèvement : Coalia – Thetford Mines

Priorité : standard

Commentaires internes = noter toutes observations pertinentes au besoin.

Dans la section liste des paramètres, cliquer sur le bouton « Ajouter des paramètres » et faire une recherche par nom des paramètres. Lorsque le paramètre apparaît, cocher la case à sa gauche pour l'intégrer à la demande :

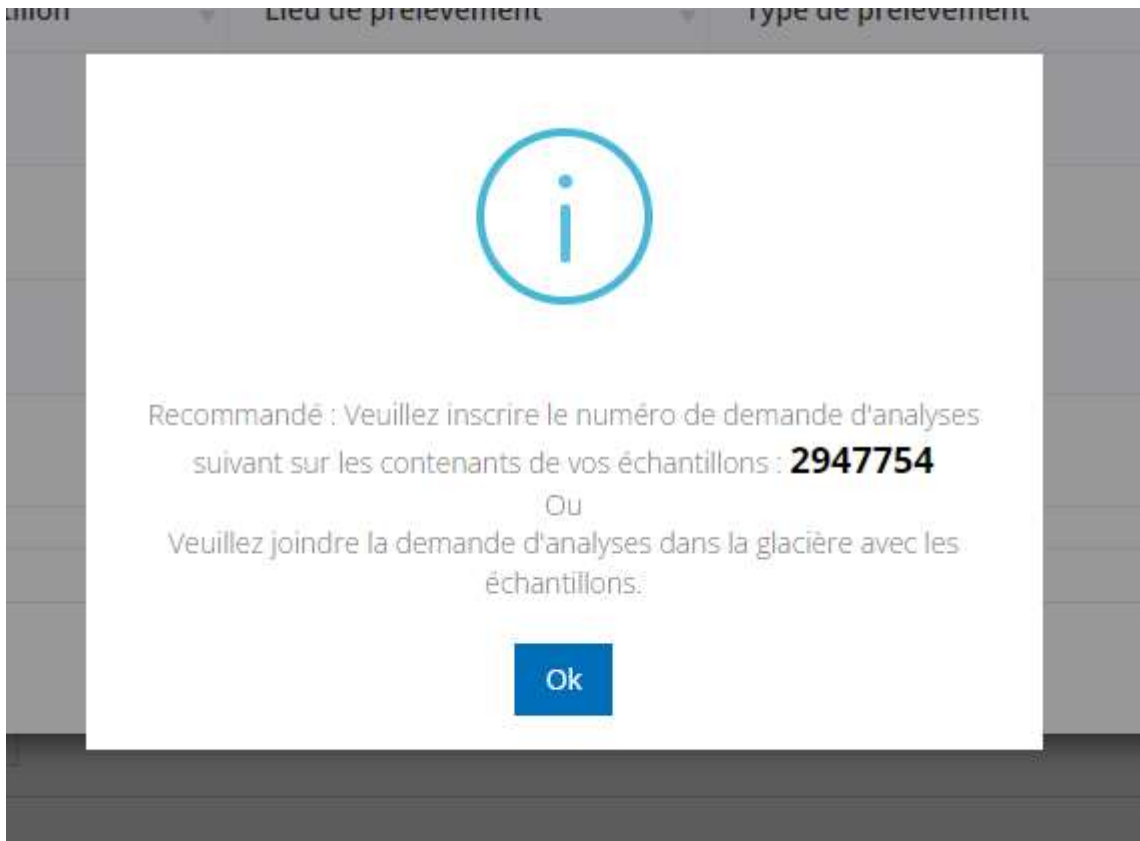
<input checked="" type="checkbox"/>	Nom	Catégories	
	<input type="text" value="Chlorures (Cl)"/>	<input type="text" value="Veuillez sélectionner"/>	<input type="button" value="Recherche"/>
<input checked="" type="checkbox"/>	Chlorures (Cl)		

Chercher et sélection les paramètres suivants :

- Sulfates
- Thiosulfates (en début de projet seulement)
- Fluorures
- Chlorures

Pour entrer le second échantillon, cliquer sur le bouton **Dupliquer**. Ainsi, les paramètres et détails inscrits de l'échantillon seront copiés.

Lorsque les échantillons sont tous entrés, appuyer sur transmettre et noter le numéro de la demande et le mettre dans la glacière.



Il faudra prévoir de faire congeler les icepack avant le transport des échantillons. Envoyer l'échantillon le jour même, le vendredi ou le lundi suivant au plus tard.

CNRC

Remplir le formulaire d'envoi des échantillons (Form-CELLULES HUMIDES-CNRC.xlsx²) et insérer une feuille avec l'échantillon et envoyer chaque semaine à l'adresse suivante par Purolator:

Daniel Tyo
National Research Council
1200 Montreal Road Building M-12
Ottawa K1A 0R6

La fréquence d'envoi des échantillons sera révisée ponctuellement – vérifiez auprès du chargé de projet ou du technicien habituellement responsable de cet envoi.

Suivi des résultats

Le suivi des résultats (copie des résultats dans un fichier Excel) sera intégré à la tâche de la personne qui réalise les essais. Un classeur sera préparé et mis à jour périodiquement.

² N:\Troilus\FRQNT-302483\4-Résultats et rapports\Externe - CNRC\Cellules-humides

LIXIVIATION AGITÉE 24h – fin d’essais

CELLULES HUMIDES

SORTIR LE MATÉRIEL D’UNE CELLULE HUMIDE (pour chaque cellule)

1. Retirez délicatement l'échantillon de la cellule humide afin de sortir le stérile avec son filtre et déposer dans une panne peu profonde – masse tarée. Noter la masse du stérile avec filtre. Prendre une photographie du stérile avec échelle de mesure. Noter toute observation et prendre toutes photos additionnelles pertinentes.

LIXIVIATION FINALE DU STÉRILE durant 24 h (pour chaque cellule)

2. Trouver des chaudières ou seau propre que vous nettoyer pour pouvoir y déposer le stérile. Michel Jacques à des contenants à proposer. Si ce n'est pas propre, aller acheter 2 chaudières neuves au Canadian Tire, format moyen, pas les grosse de 20 L.
3. Déposer le stérile humide de la cellule dans la chaudière. Pour garantir que la cellule a été soigneusement nettoyée et que tout l'échantillon et ses précipités ont été transférés dans la chaudière, utilisez **une quantité connue** d'eau désionisée de composition connue pour laver la cellule – par exemple vous pouvez préparer 500mL d'eau déionisée pour rincer complètement la cellule humide vidée. Bien nettoyer le filtre lors de cette étape. Ajouter suffisamment d'eau désionisée supplémentaire dans la chaudière pour qu'un total de **3 L** d'eau désionisée ait été ajouté au total (il faudrait respecter le 3 L précisément). Dans l'exemple de 500mL d'eau utilisée pour le nettoyage, compléter l'ajout d'eau avec 2,5L pour un total de 3L.
4. Mettre l'agitateur en marche pour 24 heures à faible agitation.
5. À chaque 30 minutes – s'il y a lieu, remuer le dépôt au fond de la chaudière pour remettre le matériel en suspension (VOIR AVEC JFG ET LES OCCUPANTS DU 2300).
6. À la fin de l'agitation de 24 heures, laissez l'échantillon reposer pendant au moins trois heures pour permettre aux matières en suspension de se déposer.
7. Collectez l'eau surnageante – noter son volume et masse dans un cylindre gradué.
8. Faire les mesures habituelles comme pour la lixiviation hebdomadaire :
 - a. sonde multi paramètre, acidité/alcalinité
 - b. Pots pour H2LAB
 - c. Étiquetez l'échantillon «**Lixiviation finale-CELLULE##**» et soumettez-le pour les analyses pour COALIA et H2Lab.
9. Transférer le solide humide de la chaudière sur une panne de séchage prépesée, en s'assurant que tout l'échantillon s'y retrouve. Noter le poids de l'échantillon humide.
10. Sécher l'échantillon dans une étuve à basse température (<40°C) pour 24 h ou plus si nécessaire. Enregistrez le poids final de l'échantillon sec.
11. Prenez une fraction représentative de l'échantillon en utilisant le diviseur à chute (splitter) puis étiquetez-la «**stérile final-CELLULE##**». Préparer les quantités suivantes pour les analyses de fin de l'Essais et pour archive :;
 - i. Environ 800g pour conservation du matériel tel qu'il est (non broyé).
 - ii. **100 g** pour le Laboratoire ALS (Analyse Groupe ABA) à broyer.

- iii. **100g** pour les analyses COALIA à broyer.
 - 1. XRF-OM
 - 2. XRD
 - b. Donc par cellule, environ 3 sous-échantillons. Il est peut-être plus simple de splitter le $\frac{3}{4}$ (800g) et puis séparer $\frac{1}{4}$ à broyer puis à splitter en deux.
12. Emballez hermétiquement l'échantillon restant (le 800g), étiquetez-le «stérile final-CELLULE###». Noter sa masse et me la transmettre. Placez-le dans le congélateur pour conservation

ANNEXE C

Tableaux de résultats

ANNEXE C

Liste des tableaux	
1	Description des essais
2	Caractérisation initiale - Bilan acide-base
3	Caractérisation initiale - Composition chimique (métaux)
4	Caractérisation initiale - Roche totale
5	Caractérisation initiale - QAQC
6	Colonne de terrain C1
7	Colonne de terrain C2
8	Colonne de terrain C3
9	Colonne de terrain C4
10	Colonne de terrain C5
11	Colonne de terrain C6
12	Colonne de terrain C7
13	Colonne de terrain C8
14	Colonne de terrain C9
15	Colonne de terrain C10
16	Colonne de terrain C11
17	Colonne de terrain C12
18	Colonne de terrain C13
19	Pluie (terrain)
20	QAQC (terrain)
21	Suivi STP-9
22	Cellule humide Cell1
23	Cellule humide Cell2
24	Cellule humide Cell3
25	Cellule humide Cell4
26	QAQC (cellule humide)
27	Caractérisation finale - Bilan acide-base
28	Caractérisation finale - Composition chimique (métaux)
29	Caractérisation finale - Roche totale

Échantillon	Description	Code géologie	Caractérisation initiale	Colonne de terrain			Cellule humide		
				#Essai	Masse (kg)	Hauteur dans la colonne (m)	#Essai	Masse (kg)	Caractérisation finale
1	Diorite avec soufre faible	I2J	E1 (cylinder sac #1-#1)	C1	93	0,94			
2	Diorite avec soufre moyen	I2J	E2 (cylinder sac #1-#2)	C2	71	0,97			
3	Diorite avec soufre élevé	I2J	E3 (cylinder sac #1-#3)	C3	98	0,91	Cell3	0,998	C3 residue
4	Diorite bréchifiée avec soufre faible	I2J;BR	E4 (cylinder sac #2-#4)	C4	99	0,89			
5	Diorite bréchifiée avec soufre moyen	I2J;BR	E5 (cylinder sac #2-#5)	C5	64	0,94			
6	Diorite bréchifiée avec soufre élevé	I2J;BR	E6 (cylinder sac #2-#6)	C6	99	0,94			
7	Roches volcaniques indifférenciées avec soufre élevé	V	E7 (cylinder sac #3-#7)	C7	77	0,94	Cell4	0,9974	C4 residue
8	Intrusions felsiques avec soufre élevé	I1	E8 (cylinder sac #3-#8)	C8	98	0,91			
9	Minerai J4 avec soufre élevé	Ore	E9 (cylinder sac #3-#9)	C9	106	0,95			
10	Diorite avec soufre moyen	I2J	E10 (cylinder sac #4-#10)	C10	72	1,02			
11	Diorite bréchifiée avec soufre moyen	I2J;BR	E11 (cylinder sac #4-#11)	C11	65	0,95			
12	Stériles oxydés de la halde J4	-	E12-01 à E12-10	C12	261	2,62	Cell1	0,9959	C1 residue
13	Stériles non-oxydés de la halde J4	-	E13-01 à E13-10	C13	318	2,92	Cell2	0,9978	C2 residue

Paramètre	Unité	E12-01	E12-02	E12-03	E12-04	E12-05	E12-06	E12-07	E12-08	E12-09	E12-10	E13-01	E13-02	E13-03	E13-04	E13-05	E13-06	
Carbone inorganique	C _{inorg}	%	<0,05	<0,05	<0,05	<0,05	<0,05	0,05	<0,05	<0,05	<0,05	<0,05	0,05	<0,05	<0,05	0,06	<0,05	0,14
Soufre total	S _{total}	%	1,65	1,68	1,11	1,13	2,04	1,69	1,41	1,92	1,73	1,45	0,53	0,23	0,34	0,40	0,34	0,24
Soufre sulfates (S-GRA06)	S _{sulfates}	%	0,01	0,01	0,01	0,02	0,01	0,01	0,01	0,01	0,01	0,01	<0,01	<0,01	<0,01	0,01	0,01	0,01
Soufre sulfates (S-GRA06a)	S _{sulfates}	%	0,02	0,01	0,04	0,01	0,01	<0,01	0,01	<0,01	<0,01	0,02	0,01	<0,01	<0,01	<0,01	0,01	<0,01
Soufre sulfures (S-IR07)	S _{sulfures}	%	1,28	1,58	1,06	1,01	1,81	1,58	1,26	1,79	1,66	1,35	0,52	0,19	0,32	0,33	0,33	0,23
Soufre sulfures (Calcul)	S _{sulfures}	%	1,64	1,67	1,10	1,11	2,03	1,68	1,40	1,91	1,72	1,44	0,53	0,23	0,34	0,39	0,33	0,23
pH en pâte	-	-	8,3	8,4	8,2	8,3	7,6	10,5	10,6	10,4	10,2	9,8	10,0	10,0	9,7	9,9	10,0	10,0
Potentiel de neutralisation (Sobek original)	PN	kg CaCO ₃ /t	15	19	17	20	21	21	19	15	17	16	17	16	16	19	16	24
Potentiel d'acidité maximal	MPA	kg CaCO ₃ /t	51,6	52,5	34,7	35,3	63,8	52,8	44,1	60,0	54,1	45,3	16,6	7,2	10,6	12,5	10,6	7,5
Potentiel net de neutralisation	PNN	kg CaCO ₃ /t	-37	-34	-18	-15	-43	-32	-25	-45	-37	-29	0	9	5	7	5	17
Ratio PN/PA	RPN	-	0,29	0,36	0,49	0,57	0,33	0,40	0,43	0,25	0,31	0,35	1,03	2,23	1,51	1,52	1,51	3,20
Potentiellement générateur d'acide (selon critère MELCC 2020)	-	-	Oui	Oui	Oui	Oui	Oui	Oui	Oui	Oui	Oui	Oui	Oui	Oui	Oui	Oui	Oui	Oui
Potentiellement générateur d'acide (selon critère Price 2009)	-	-	Oui	Oui	Oui	Oui	Oui	Oui	Oui	Oui	Oui	Oui	Incertain	Non	Incertain	Incertain	Incertain	Non

Paramètre	Unité	E13-07	E13-08	E13-09	E13-10	E1	E2	E3	E4	E5	E6	E7	E8	E9	E10	E11	
Carbone inorganique	C _{inorg}	%	<0,05	<0,05	0,07	<0,05	0,06	0,07	0,06	0,08	0,08	0,06	0,08	0,08	0,05	0,05	0,05
Soufre total	S _{total}	%	0,37	0,39	1,65	0,20	0,12	0,29	0,70	0,11	0,25	0,72	1,01	0,46	1,55	0,31	0,24
Soufre sulfates (S-GRA06)	S _{sulfates}	%	0,01	0,01	0,01	0,01	<0,01	<0,01	0,01	0,01	0,01	0,01	0,01	0,02	0,02	0,02	0,01
Soufre sulfates (S-GRA06a)	S _{sulfates}	%	<0,01	0,01	<0,01	<0,01	0,02	<0,01	<0,01	<0,01	<0,01	<0,01	0,01	<0,01	0,01	0,01	0,01
Soufre sulfures (S-IR07)	S _{sulfures}	%	0,37	0,31	0,25	0,16	0,12	0,29	0,72	0,11	0,23	0,69	0,90	0,44	1,40	0,25	0,21
Soufre sulfures (Calcul)	S _{sulfures}	%	0,36	0,38	1,64	0,19	0,12	0,29	0,69	0,10	0,24	0,71	1,00	0,44	1,53	0,29	0,23
pH en pâte	-	-	10,0	10,0	10,0	10,1	10,9	10,8	10,9	10,8	11,0	10,1	9,9	10,0	9,7	10,2	10,3
Potentiel de neutralisation (Sobek original)	PN	kg CaCO ₃ /t	16	14	17	14	15	16	16	16	18	19	18	16	14	16	16
Potentiel d'acidité maximal	MPA	kg CaCO ₃ /t	11,6	12,2	51,6	6,3	3,8	9,1	21,9	3,4	7,8	22,5	31,6	14,4	48,4	9,7	7,5
Potentiel net de neutralisation	PNN	kg CaCO ₃ /t	4	2	-35	8	11	7	-6	13	10	-4	-14	2	-34	6	9
Ratio PN/PA	RPN	-	1,38	1,15	0,33	2,24	4,00	1,77	0,73	4,65	2,30	0,84	0,57	1,11	0,29	1,65	2,13
Potentiellement générateur d'acide (selon critère MELCC 2020)	-	-	Oui	Oui	Oui	Oui	Oui	Oui	Oui	Oui	Oui	Oui	Oui	Oui	Oui	Oui	Oui
Potentiellement générateur d'acide (selon critère Price 2009)	-	-	Incertain	Incertain	Oui	Non	Non	Incertain	Oui	Non	Non	Oui	Oui	Incertain	Oui	Incertain	Non

Tableau 3: Caractérisation initiale - Composition chimique (métaux)

Paramètre	Unité	E12-01	E12-02	E12-03	E12-04	E12-05	E12-06	E12-07	E12-08	E12-09	E12-10	E13-01	E13-02	E13-03	E13-04	E13-05	E13-06
Argent	Ag mg/kg	0,54	5,40	0,55	1,74	0,98	0,85	0,37	1,02	0,46	0,47	0,45	0,17	0,28	0,27	0,32	0,22
Aluminium	Al %	22,5	12,2	8,0	12,7	10,9	7,3	7,02	11,36	12,11	8,65	9,76	7,90	7,72	7,69	8,72	7,44
Arsenic	As mg/kg	0,93	1,05	0,92	3,80	1,99	0,86	0,74	1,30	1,25	0,60	1,41	0,53	1,31	1,51	1,03	0,55
Baryum	Ba mg/kg	220	234	244	310	279	238	265	297	286	240	302	292	327	295	289	255
Béryllium	Be mg/kg	1,09	0,70	0,82	0,86	0,99	0,54	0,66	0,81	0,93	0,46	1,08	0,56	0,92	0,71	0,63	0,53
Bismuth	Bi mg/kg	3,19	2,56	1,04	1,70	2,44	3,66	2,28	1,71	2,45	1,23	0,50	0,36	0,46	1,24	0,38	0,35
Calcium	Ca %	3,43	3,15	3,11	3,20	2,94	3,30	2,91	3,00	2,53	2,65	3,64	4,02	3,22	4,21	3,81	3,73
Cadmium	Cd mg/kg	0,17	0,17	0,16	0,68	0,19	0,11	0,13	0,21	0,18	0,09	0,15	0,08	0,15	12,69	0,11	0,07
Cobalt	Co mg/kg	38,4	16,0	33,3	32,7	80,3	12,3	12,3	39,3	17,1	10,9	28,1	12,4	23,4	25,8	16,6	31,9
Chrome	Cr mg/kg	179,1	167,4	223,0	202,7	181,4	159,6	182,7	193,6	148,5	196,8	110,6	117,2	105,6	98,4	127,5	110,4
Cuivre	Cu mg/kg	190,4	176,5	239,5	238,1	346,8	173,7	112,1	233,4	146,4	186,1	125,2	38,4	52,5	73,6	76,9	45,3
Fer	Fe %	19,21	10,28	7,07	10,29	10,32	6,36	5,50	11,29	9,78	7,52	6,50	5,07	4,80	5,52	6,40	5,12
Mercure	Hg mg/kg	0,31	0,07	0,18	0,54	0,24	0,30	0,19	0,45	0,38	0,32	0,28	0,12	0,32	0,17	<LOD	0,15
Potassium	K %	1,56	1,48	2,18	2,10	1,96	1,44	1,54	2,24	1,49	1,81	1,55	1,24	1,66	1,35	1,48	1,27
Lithium	Li mg/kg	42,5	39,0	50,6	48,0	50,3	49,4	45,0	49,0	45,2	40,3	33,9	27,9	41,5	31,1	32,6	32,7
Magnésium	Mg %	2,83	2,17	2,79	2,51	2,45	2,24	1,94	2,67	1,82	2,01	1,97	1,90	1,86	2,13	1,92	1,94
Manganèse	Mn mg/kg	476	384	445	510	516	552	475	487	380	336	860	804	824	905	730	589
Molybdène	Mo mg/kg	2,41	1,66	1,68	1,79	2,06	1,14	1,69	1,15	1,72	1,76	6,79	1,59	2,04	1,58	1,69	1,53
Sodium	Na %	2,35	2,31	2,10	1,94	2,21	2,07	1,99	1,81	2,17	1,73	2,34	1,89	2,29	2,20	2,08	1,89
Nickel	Ni mg/kg	93,8	68,7	99,5	85,7	104,5	65,7	62,5	100,2	62,7	70,8	61,6	49,3	65,4	62,6	61,4	42,9
Plomb	Pb mg/kg	4,58	6,12	5,78	18,54	5,75	5,48	16,99	6,35	87,55	6,84	5,83	3,91	5,95	11,53	3,30	5,66
Antimoine	Sb mg/kg	0,08	0,22	0,03	0,14	0,08	0,17	0,08	0,08	0,15	0,09	0,08	0,10	0,09	0,10	0,10	0,10
Scandium	Sc mg/kg	19,3	18,1	24,4	23,4	22,7	17,2	17,98	22,2	16,12	20,50	18,8	14,41	19,1	20,6	19,33	12,86
Sélénium	Se mg/kg	0,99	1,00	1,23	1,00	1,46	1,05	0,80	0,99	0,84	1,01	0,31	0,11	0,28	0,25	0,16	0,08
Silicium	Si %	11,18	21,53	13,20	20,32	18,32	3,36	12,02	18,96	21,50	5,15	14,06	1,89	11,38	11,93	15,00	12,62
Étain	Sn mg/kg	2,40	1,97	2,18	1,83	1,52	1,50	1,50	1,99	1,50	2,33	1,21	1,00	1,11	1,90	1,24	1,60
Strontium	Sr mg/kg	207	212	179	201	202	178	167	155	206	142	287	167	263	348	215	176
Titane	Ti %	0,32	0,27	0,37	0,37	0,35	0,25	0,24	0,31	0,26	0,27	0,36	0,24	0,34	0,36	0,29	0,21
Thallium	Tl mg/kg	0,68	0,58	1,14	0,94	0,89	0,54	0,63	1,02	0,53	0,92	0,39	0,32	0,37	0,36	0,45	0,32
Uranium	U mg/kg	0,41	0,52	0,39	0,38	0,49	0,59	0,59	0,55	0,66	0,54	0,49	0,56	0,48	0,52	0,55	0,52
Vanadium	V mg/kg	126	104	150	146	133	93	94	131	92	104	122	83	131	138	105	74
Zinc	Zn mg/kg	42,2	26,1	57,3	81,6	55,2	33,8	32,8	50,5	32,9	26,3	75,5	41,1	93,0	81,2	67,2	35,4

Tableau 3: Caractérisation initiale - Composition chimique (métaux)

Paramètre	Unité	E13-07	E13-08	E13-09	E13-10	E1	E2	E3	E4	E5	E6	E7	E8	E9	E10	E11	
Argent	Ag	mg/kg	0,22	0,21	0,56	0,31	0,37	0,28	0,41	1,09	0,35	0,33	0,73	0,45	0,94	0,70	0,32
Aluminium	Al	%	7,43	7,88	7,81	8,18	7,93	7,24	10,05	7,77	7,64	7,71	7,73	6,93	7,53	7,71	7,85
Arsenic	As	mg/kg	0,77	0,78	4,67	1,08	1,40	0,85	1,14	1,40	1,58	0,98	1,89	1,52	2,15	1,50	1,22
Baryum	Ba	mg/kg	248	257	248	353	235	195	258	193	261	151	225	406	186	280	216
Béryllium	Be	mg/kg	0,49	0,46	0,56	0,81	0,88	0,74	0,88	0,78	0,71	0,60	0,66	1,71	0,87	0,92	0,82
Bismuth	Bi	mg/kg	0,43	0,41	2,73	0,27	0,25	0,32	0,40	0,17	0,25	0,69	3,57	0,38	1,09	1,08	0,24
Calcium	Ca	%	3,71	3,80	3,84	3,88	2,93	3,30	2,46	2,84	3,56	3,26	2,99	1,47	2,63	2,77	2,68
Cadmium	Cd	mg/kg	0,09	0,08	2,45	0,16	0,14	0,08	0,12	0,14	0,18	0,06	0,31	0,18	0,21	0,27	0,16
Cobalt	Co	mg/kg	13,0	19,0	32,2	25,6	19,8	36,0	27,1	19,0	19,8	28,3	20,4	9,1	28,3	21,9	16,7
Chrome	Cr	mg/kg	65,9	81,6	109,5	153,9	111,8	92,2	107,5	116,2	98,5	96,9	123,0	37,1	116,3	115,1	91,1
Cuivre	Cu	mg/kg	40,9	57,3	308,2	69,3	240,7	172,4	281,5	186,5	155,1	152,3	146,1	185,4	603,5	275,4	146,8
Fer	Fe	%	4,81	4,91	4,97	5,34	4,04	4,43	6,38	3,80	4,11	4,80	4,70	2,10	5,72	4,66	4,33
Mercure	Hg	mg/kg	<LOD	0,23	0,07	0,45	0,58	0,07	0,13	0,35	0,52	0,16	0,60	0,17	0,91	0,33	0,32
Potassium	K	%	1,43	1,38	1,39	1,59	1,58	1,30	1,57	1,09	1,60	1,42	0,93	1,60	1,51	1,47	1,40
Lithium	Li	mg/kg	21,6	26,0	35,0	42,4	38,3	29,3	40,2	35,3	37,9	26,7	30,6	29,4	39,6	139,7	53,1
Magnésium	Mg	%	1,64	1,72	1,80	2,30	2,03	1,90	1,87	1,54	1,95	1,76	2,17	0,70	1,94	2,03	1,63
Manganèse	Mn	mg/kg	511	605	635	1036	452	339	381	468	487	284	882	306	342	420	374
Molybdène	Mo	mg/kg	2,84	1,27	1,72	1,76	6,63	5,65	8,05	3,70	6,44	3,10	3,44	5,09	3,36	8,43	3,37
Sodium	Na	%	2,00	2,15	2,17	2,12	2,46	2,45	2,25	2,25	2,64	2,32	2,13	2,54	2,25	2,38	2,31
Nickel	Ni	mg/kg	32,4	34,2	56,8	85,0	64,6	41,5	64,0	56,2	51,0	44,9	110,7	20,6	72,1	66,4	52,5
Plomb	Pb	mg/kg	2,97	3,63	73,02	10,57	8,78	6,62	5,32	6,89	9,49	4,54	15,80	14,33	7,95	8,11	16,67
Antimoine	Sb	mg/kg	0,10	0,09	0,37	0,09	0,16	0,13	0,11	0,18	0,17	0,12	0,18	0,08	0,16	0,11	0,13
Scandium	Sc	mg/kg	11,91	12,71	12,08	21,5	17,0	14,27	16,1	16,6	15,5	13,38	15,88	7,35	16,33	16,20	15,32
Sélénium	Se	mg/kg	0,08	0,10	0,14	0,20	0,39	0,19	0,51	0,25	0,26	0,36	0,41	0,34	1,18	0,31	0,18
Silicium	Si	%	12,76	3,15	13,33	5,00	1,57	12,25	15,41	12,48	11,89	11,52	12,22	11,68	12,40	12,24	11,65
Étain	Sn	mg/kg	1,20	1,04	2,20	1,18	2,88	4,41	1,81	1,58	1,59	2,84	1,42	1,36	1,97	2,53	1,57
Strontium	Sr	mg/kg	173	177	161	250	286	224	257	296	294	232	254	229	231	272	298
Titane	Ti	%	0,19	0,21	0,20	0,39	0,32	0,21	0,31	0,32	0,32	0,22	0,29	0,16	0,32	0,32	0,32
Thallium	Tl	mg/kg	0,30	0,32	0,31	0,33	0,54	0,48	0,69	0,30	0,39	0,44	0,30	0,53	0,65	0,57	0,47
Uranium	U	mg/kg	0,66	0,55	0,92	0,38	0,55	0,77	0,66	0,67	0,60	0,72	0,46	2,04	0,57	0,68	0,56
Vanadium	V	mg/kg	70	73	75	135	119	73	110	107	109	79	102	44	117	111	109
Zinc	Zn	mg/kg	29,6	35,1	142,4	89,5	143,8	72,2	259,9	96,2	201,1	40,3	203,9	120,3	80,4	67,0	167,5

Paramètre	Unité	E12-01	E12-02	E12-03	E12-04	E12-05	E12-06	E12-07	E12-08	E12-09	E12-10	E13-01	E13-02	E13-03	E13-04	E13-05	E13-06
SiO ₂	%	60,47	60,51	60,40	61,37	59,83	60,39	62,58		63,28	61,30	61,59	62,45	63,44	61,75	60,94	61,87
Al ₂ O ₃	%	14,70	15,10	14,96	14,86	14,86	14,69	14,47		14,50	14,78	15,85	15,57	15,43	15,54	15,65	15,10
Fe ₂ O ₃	%	8,72	8,72	9,18	8,42	9,76	9,19	7,97		8,04	9,08	7,44	7,14	6,77	7,92	8,01	7,31
CaO	%	5,31	4,78	4,69	5,00	4,50	4,99	4,55		3,83	4,14	5,75	6,16	5,30	6,97	5,87	5,94
MgO	%	4,93	4,53	4,84	4,38	4,33	4,61	4,23		3,79	4,29	3,60	3,91	3,47	3,98	3,96	4,17
Na ₂ O	%	3,55	3,79	3,11	2,79	3,17	3,23	3,31		3,36	2,87	3,36	2,87	3,31	3,29	3,21	3,15
K ₂ O	%	1,79	1,86	2,52	2,46	2,35	1,97	2,24		2,05	2,61	1,65	1,70	1,80	1,50	1,79	1,82
TiO ₂	%	0,607	0,616	0,614	0,635	0,611	0,596	0,576		0,569	0,641	0,614	0,593	0,594	0,579	0,602	0,602
P ₂ O ₅	%	0,13	0,14	0,12	0,12	0,12	0,13	0,11		0,13	0,12	0,15	0,13	0,13	0,18	0,12	0,15
SO ₃	%	0,04	0,01	0,05	< 0,01	0,05	0,20	0,09		0,03	0,05	0,11	0,06	0,07	0,14	0,05	0,19
MnO	%	0,07	0,07	0,06	0,07	0,07	0,09	0,08		0,06	0,06	0,12	0,14	0,11	0,12	0,11	0,13
Perte au feu (LOI)	%	1,37	1,54	1,17	1,16	1,73	1,50	1,39		1,79	1,42	0,95	0,74	0,75	0,83	0,96	1,16
Total	%	101,69	101,67	101,71	101,27	101,38	101,59	101,60		101,43	101,36	101,18	101,46	101,17	102,80	101,27	101,59

Paramètre	Unité	E13-07	E13-08	E13-09	E13-10	E1	E2	E3	E4	E5	E6	E7	E8	E9	E10	E11
SiO ₂	%	63,84	63,03	62,79	61,39	65,75	63,62	63,59	65,28	64,66	63,83	63,48	72,73	62,58	64,23	64,89
Al ₂ O ₃	%	15,06	15,24	15,43	15,67	15,37	15,19	15,57	15,72	15,48	15,59	15,34	14,21	15,17	15,36	15,64
Fe ₂ O ₃	%	6,91	6,99	6,84	7,36	5,65	6,65	6,93	5,40	6,14	6,82	6,61	3,06	8,05	6,61	6,17
CaO	%	5,64	5,51	5,57	6,12	4,27	4,80	4,37	5,26	5,08	4,99	5,10	2,52	4,39	4,58	4,73
MgO	%	3,45	3,47	3,61	4,15	3,30	3,86	3,79	3,35	3,28	3,86	4,21	1,44	3,68	3,83	3,30
Na ₂ O	%	3,17	3,22	3,28	3,10	4,04	3,63	3,54	3,78	3,49	3,64	3,38	4,10	3,32	3,50	3,67
K ₂ O	%	1,74	1,83	1,84	1,71	1,66	1,76	2,12	1,34	1,75	1,72	1,06	2,11	1,89	1,88	1,64
TiO ₂	%	0,540	0,613	0,578	0,656	0,492	0,564	0,537	0,536	0,536	0,567	0,520	0,251	0,557	0,535	0,554
P ₂ O ₅	%	0,15	0,16	0,14	0,15	0,12	0,13	0,13	0,12	0,14	0,14	0,12	0,08	0,13	0,13	0,14
SO ₃	%	0,03	0,07	0,12	0,01	0,08	0,17	0,16	0,09	0,17	0,13	0,20	0,18	0,09	0,05	0,06
MnO	%	0,11	0,13	0,13	0,14	0,06	0,07	0,06	0,07	0,07	0,06	0,13	0,05	0,05	0,06	0,06
Perte au feu (LOI)	%	0,94	0,85	0,85	0,70	0,64	0,82	1,07	0,79	0,76	1,03	1,59	0,85	1,60	0,90	0,73
Total	%	101,58	101,11	101,18	101,16	101,43	101,26	101,87	101,74	101,56	102,38	101,74	101,58	101,51	101,67	101,58

Paramètre	Unité	Duplicata 1		Duplicata 2		Duplicata 3		
		E12-01	D1	E1	D2	E13-01	D3	
Carbone inorganique	C _{inorg}	%	<0,05	<0,05	0,06	<0,05	0,05	0,05
Soufre total	S _{total}	%	1,65	1,29	0,12	0,05	0,53	0,46
Soufre sulfates (S-GRA06)	S _{sulfates}	%	0,01	0,01	<0,01	0,01	<0,01	0,01
Soufre sulfates (S-GRA06a)	S _{sulfates}	%	0,02	0,01	0,02	0,02	0,01	0,02
Soufre sulfures (S-IR07)	S _{sulfures}	%	1,28	1,11	0,12	0,06	0,52	0,40
Soufre sulfures (Calcul)	S _{sulfures}	%	1,64	1,28	0,12	0,04	0,53	0,45
pH en pâte	-	-	8,3	8,3	10,9	10,2	10,0	9,9
Potentiel de neutralisation (Sobek original)	PN	kg CaCO ₃ /t	15	12	15	12	17	15
Potentiel d'acidité maximal	MPA	kg CaCO ₃ /t	51,6	40,3	3,8	1,6	16,6	14,4
Potentiel net de neutralisation	PNN	kg CaCO ₃ /t	-37	-28	11	10	0	1
Ratio PN/PA	RPN	-	0,29	0,30	4,00	7,68	1,03	1,04
Paramètre	Unité	Duplicata 1		Duplicata 2		Duplicata 3		
		E12-01	D1	E1	D2	E13-01	D3	
SiO ₂	%	60,47	59,64	65,75	63,97	61,59	61,88	
Al ₂ O ₃	%	14,70	15,08	15,37	15,64	15,85	15,96	
Fe ₂ O ₃	%	8,72	8,86	5,65	6,21	7,44	7,41	
CaO	%	5,31	5,25	4,27	4,44	5,75	5,76	
MgO	%	4,93	5,20	3,30	3,80	3,60	3,79	
Na ₂ O	%	3,55	3,39	4,04	3,93	3,36	3,36	
K ₂ O	%	1,79	1,96	1,66	1,73	1,65	1,74	
TiO ₂	%	0,607	0,631	0,492	0,552	0,614	0,601	
P ₂ O ₅	%	0,13	0,13	0,12	0,13	0,15	0,16	
SO ₃	%	0,04	0,02	0,08	0,04	0,11	0,10	
MnO	%	0,07	0,07	0,06	0,06	0,12	0,12	
Perte au feu (LOI)	%	1,37	1,20	0,64	0,70	0,95	1,02	
Total	%	101,69	101,43	101,43	101,20	101,18	101,90	

Paramètre	Unité	Duplicata 1		Duplicata 2		Duplicata 3		
		E12-01	D1	E1	D2	E13-01	D3	
Argent	Ag	mg/kg	0,54	0,43	0,37	0,42	0,45	0,99
Aluminium	Al	%	22,5	13,70	7,93	8,02	9,76	9,75
Arsenic	As	mg/kg	0,93	0,84	1,40	0,73	1,41	0,94
Baryum	Ba	mg/kg	220	202	235	245	302	244
Béryllium	Be	mg/kg	1,09	0,63	0,88	0,79	1,08	0,74
Bismuth	Bi	mg/kg	3,19	3,31	0,25	0,16	0,50	0,48
Calcium	Ca	%	3,43	3,49	2,93	3,02	3,64	3,96
Cadmium	Cd	mg/kg	0,17	0,14	0,14	0,12	0,15	0,21
Cobalt	Co	mg/kg	38,4	28,6	19,8	15,5	28,1	19,3
Chrome	Cr	mg/kg	179,1	187,1	111,8	101,7	110,6	105,6
Cuivre	Cu	mg/kg	190,4	161,8	240,7	91,1	125,2	104,9
Fer	Fe	%	19,21	11,54	4,04	4,44	6,50	6,45
Mercure	Hg	mg/kg	0,31	0,07	0,58	0,09	0,28	0,33
Potassium	K	%	1,56	1,39	1,58	1,27	1,55	1,36
Lithium	Li	mg/kg	42,5	40,8	38,3	28,3	33,9	32,2
Magnésium	Mg	%	2,83	2,47	2,03	1,90	1,97	1,88
Manganèse	Mn	mg/kg	476	431	452	365	860	702
Molybdène	Mo	mg/kg	2,41	1,59	6,63	2,28	6,79	4,23
Sodium	Na	%	2,35	2,17	2,46	2,62	2,34	2,20
Nickel	Ni	mg/kg	93,8	74,6	64,6	49,7	61,6	48,3
Plomb	Pb	mg/kg	4,58	3,66	8,78	4,19	5,83	3,79
Antimoine	Sb	mg/kg	0,08	0,10	0,16	0,11	0,08	0,11
Scandium	Sc	mg/kg	19,3	19,6	17,0	14,1	18,8	16,3
Sélénium	Se	mg/kg	0,99	0,89	0,39	0,10	0,31	0,17
Silicium	Si	%	11,18	25,66	1,57	8,20	14,06	11,83
Étain	Sn	mg/kg	2,40	1,78	2,88	1,58	1,21	1,33
Strontium	Sr	mg/kg	207	193	286	244	287	242
Titane	Ti	%	0,32	0,27	0,32	0,23	0,36	0,27
Thallium	Tl	mg/kg	0,68	0,67	0,54	0,45	0,39	0,38
Uranium	U	mg/kg	0,41	0,51	0,55	0,81	0,49	0,64
Vanadium	V	mg/kg	126	107	119	79	122	91
Zinc	Zn	mg/kg	42,2	30,1	143,8	31,0	75,5	56,6

Colonne de terrain C1 Description: C1 - I2J Sfaible (low-sulphur non-brecciated diorite (Unit I2J))
 Masse (kg) : 92,97
 Début de l'essai : 2021-09-14
 Type de test : Colonne de 1m avec stériles (carottes de forage)

Rinçage	#Ech H2Lab	Date	Temps	Volume recueilli	Température terrain	pH terrain	Conductivité	ORP	Eh	Acidité	Alcalinité	COD
					Sonde terrain	Sonde terrain	Sonde terrain	Sonde terrain	Calcul	Titration	Titration	IR
			j	ml	°C		µS/cm	mv	mv	mg CaCO3/L	mg CaCO3/L	mg/L
<i>Limite de détection</i>												
C1-01	325896	2021-10-25	41	7135	5,7	7,39	148	-30	192	4	40	22,1
C1-02	327211	2021-11-09	56	1369	4,8	7,74	160	-49	174	3	42	22,1
C1-03	2339303	2022-05-17	245	5405	8,9	7,21	114	196	415	4	52	17,6
C1-04	2341959	2022-06-14	273	4540	17,4	7,29	136	91	302	< 2	50	
C1-05	2344701	2022-07-12	301	2810	16,0	7,29	68	-21	191	4	24	
C1-06	2347836	2022-08-09	329	6500	11,9	7,47	45	176	392	3	19	
C1-07	2351266	2022-09-06	357	1715	17,8	7,67	12	228	439	4	12	
C1-08	2353537	2022-10-06	387	2407	10,9	6,64	9	64	281			
C1-09	2356221	2022-11-01	413	2753	8,1	7,34		-35	185	6	19	
C1-10	2369166	2023-05-02	595	12400	7,3	7,35	106	-14	207	< 2	28	
C1-11	2378279	2023-07-04	658	2900	29,5	8,05	177	232	432	5	37	
C1-12	2383361	2023-08-08	693	9500	20,4	7,78	79	57	266	< 2	18	
C1-13	2387174	2023-09-05	721	3800	22,0	7,72	156	-57	150	5	25	
C1-14	2392114	2023-10-03	749	3400	13,1	7,15	59	-26	189	< 2	18	

Colonne de terrain C1

Rinçage	Cl ⁻	F ⁻	SO ₄ ²⁻	S ₂ O ₃ ²⁻	ΣS	Ag	Al	As	B	Ba	Be	Bi
	C.Ion.	C.Ion.	C.Ion.	C.Ion.	Calcul	ICP-MS	ICP-MS	ICP-MS	ICP-MS	ICP-MS	ICP-MS	ICP-MS
	mg/L	mg/L	mg/L	mg/L	mg/L	mg/L	mg/L	mg/L	mg/L	mg/L	mg/L	mg/L
<i>Limite de détection</i>	0,5	0,02	0,6	0,02		variable	variable	variable	variable	variable	variable	variable
C1-01	13,7	0,22	37,5	<0,02	12,5	0,000572	0,0523	0,001142	0,0289	0,01562	0,000005	0,000017
C1-02	10,7	0,25	45,1	<0,02	15,0	0,000600	0,0404	0,001165	0,0269	0,01275	0,000005	0,000012
C1-03	5,0	0,13	33,5	<0,02	11,1	0,000018	0,0246	0,000887	0,0347	0,00867	<0,000012	0,000009
C1-04	2,5	0,16	35,7	< 0,02	11,9	0,000025	0,0632	0,001478	0,0472	0,01074	<0,000033	<0,000013
C1-05	0,8	0,07	19,0	<0,02	6,3	0,000004	0,1039	0,001462	0,0254	0,00942	0,000029	0,000007
C1-06	<0,5	0,07	12,3	<0,02	4,1	<0,000004	0,0632	0,000858	0,0204	0,00637	<0,000024	<0,000006
C1-07	<0,5	0,03	3,2	<0,02	1,1	<0,000004	0,0206	0,000382	0,0099	0,00419	<0,000024	<0,000006
C1-08	< 0,5	0,03	7,2	0,10	2,4	<0,000044	1,7885	0,001123	0,0028	0,00872	<0,000437	0,000131
C1-09	0,6	0,07	20,6	< 0,02	6,8	<0,000002	0,0164	0,000806	0,0158	0,00740	<0,000033	<0,000003
C1-10	0,6	0,06	18,3	< 0,02	6,1	<0,000007	0,0089	0,000635	0,0128	0,00491	0,000008	0,000010
C1-11	1,5	0,08	29	< 0,02	9,6	<0,000006	0,0539	0,001036	0,0278	0,00698	<0,000004	0,000004
C1-12	0,5	0,05	12,8	< 0,02	4,3	0,000005	0,0332	0,000704	0,0147	0,01810	0,000005	0,000005
C1-13	< 0,5	0,09	27,7	< 0,02	9,2	0,000004	0,029	0,001173	0,0274	0,00612	0,000008	0,000005
C1-14	< 0,5	0,03	17,8	< 0,02	5,9	<0,000007	0,192	0,000881	0,0167	0,00900	0,000006	0,000042

Colonne de terrain C1

Rinçage	Ca	Cd	Co	Cr	Cu	Fe	Hg	K	Li	Mg	Mn	Mo
	ICP-MS	ICP-MS	ICP-MS	ICP-MS	ICP-MS	ICP-MS	ICP-MS	ICP-MS	ICP-MS	ICP-MS	ICP-MS	ICP-MS
	mg/L	mg/L	mg/L	mg/L	mg/L	mg/L	mg/L	mg/L	mg/L	mg/L	mg/L	mg/L
<i>Limite de détection</i>	<i>variable</i>	<i>variable</i>	<i>variable</i>	<i>variable</i>	<i>variable</i>	<i>variable</i>	<i>variable</i>	<i>variable</i>	<i>variable</i>	<i>variable</i>	<i>variable</i>	<i>variable</i>
C1-01	7,86	0,000189	0,002614	0,001728	0,0569	0,102	0,000627	8,52	0,00771	2,375	0,0298	0,00894
C1-02	10,16	0,000210	0,001515	0,001556	0,0468	0,110	0,000573	9,67	0,00913	3,126	0,0409	0,00917
C1-03	22,31	0,000039	<0,000395	0,001481	0,0342	0,531	0,000022	6,89	0,00865	2,651	0,0443	0,01159
C1-04	24,72	0,000038	0,000143	0,001102	0,0354	0,027	0,000107	9,05	0,01233	2,752	0,0068	0,01433
C1-05	19,83	0,000042	0,000358	0,000671	0,0185	0,039	0,000017	3,87	0,00659	1,148	0,0091	0,00623
C1-06	10,95	0,000061	0,000042	0,000364	0,0103	0,018	0,000027	3,88	0,00465	0,957	0,0063	0,00427
C1-07	4,28	0,000019	0,000030	0,000341	0,0044	0,301	<0,000021	1,22	0,00239	0,320	0,0085	0,00052
C1-08	73,02	0,001806	0,002885	0,002249	0,0222	1,570	0,000054	1,86	0,01899	1,498	0,0415	0,00186
C1-09	10,01	0,000037	0,000112	0,000245	0,0094	0,014	0,000910	2,40	0,00413	1,180	0,0080	0,00392
C1-10	9,05	0,000029	0,000164	0,000227	0,0076	0,004	<0,001838	2,46	0,00431	1,149	0,0055	0,01094
C1-11	18,58	0,000035	0,000247	0,000606	0,0138	<0,001	0,000038	3,49	0,00910	1,633	0,0031	0,01456
C1-12	8,67	0,000058	0,001285	0,000227	0,0073	0,019	<0,000062	3,64	0,00626	0,788	0,0015	0,00371
C1-13	14,23	0,000072	0,009091	0,000049	0,0090	<0,001	0,000319	4,39	0,00960	1,569	0,003	0,00524
C1-14	23,96	0,000188	0,000743	0,001409	0,0085	0,109	0,000780	2,17	0,01152	1,432	0,009	0,00312

Colonne de terrain C1

Rinçage	Na	Ni	P	Pb	S	Sb	Sc	Se	Si	Sn	Sr	Ti
	ICP-MS	ICP-MS	ICP-MS	ICP-MS	ICP-MS	ICP-MS	ICP-MS	ICP-MS	ICP-MS	ICP-MS	ICP-MS	ICP-MS
	mg/L	mg/L	mg/L	mg/L	mg/L	mg/L	mg/L	mg/L	mg/L	mg/L	mg/L	mg/L
<i>Limite de détection</i>	<i>variable</i>	<i>variable</i>	<i>variable</i>	<i>variable</i>	<i>variable</i>	<i>variable</i>	<i>variable</i>	<i>variable</i>	<i>variable</i>	<i>variable</i>	<i>variable</i>	<i>variable</i>
C1-01	10,47	0,02470	0,557	0,000324	13,12	0,015624	0,001484	0,000874	0,708	0,000722	0,1013	0,001821
C1-02	11,76	0,02109	0,334	0,000284	14,59	0,001173	0,001369	0,000971	0,591	0,000782	0,1171	0,001586
C1-03	7,29	0,01382	0,395	0,000185	11,62	0,001103	0,000506	0,000761	0,632	0,000834	0,0919	0,001016
C1-04	7,35	0,01149	1,060	0,000231	11,72	0,001852	0,000449	0,000850	1,653	0,000875	0,0973	0,001178
C1-05	2,50	0,00543	0,689	0,000111	5,47	0,001249	0,000193	0,000449	0,840	0,000528	0,0548	0,000705
C1-06	2,19	0,00275	0,569	0,000027	4,48	0,000889	0,000114	0,000313	0,948	0,000072	0,0396	0,000533
C1-07	0,40	0,00104	0,315	<0,000018	1,16	0,000465	0,000028	0,000111	3,186	0,000193	0,0127	0,000434
C1-08	5,96	0,02166	0,288	0,000827	6,11	0,000369	0,000515	0,000353	0,595	<0,000158	0,0703	0,002387
C1-09	1,30	0,00221	0,566	0,000191	7,51	0,000727	0,000109	0,000369	0,826	0,001095	0,0388	0,000380
C1-10	1,42	0,00183	0,427	0,000041	6,76	0,000564	0,000134	0,000312	0,502	0,004925	0,0416	0,000257
C1-11	2,24	0,00272	0,007	0,000065	<0,939	0,001183	0,001159	<0,000034	0,968	0,007924	0,0696	0,000664
C1-12	0,98	0,00417	<0,001	0,000076	<9,548	0,000614	0,000584	<0,000548	0,537	0,010100	0,0330	0,001050
C1-13	1,64	0,01449	<0,001	0,001301	<2,725	0,001211	0,000932	<0,000959	1,609	0,000177	0,055	0,014484
C1-14	2,14	0,00774	<0,020	0,000362	5,05	0,000815	0,000105	0,000495	0,486	0,000287	0,053	0,001110

Colonne de terrain C1

Rinçage	Tl	U	V	Zn	Notes
	ICP-MS	ICP-MS	ICP-MS	ICP-MS	
	mg/L	mg/L	mg/L	mg/L	
<i>Limite de détection</i>	<i>variable</i>	<i>variable</i>	<i>variable</i>	<i>variable</i>	
C1-01	0,000037	0,0593	0,00172	0,0472	
C1-02	0,000031	0,1218	0,00204	0,0487	
C1-03	0,000027	0,1397	0,00116	0,0339	
C1-04	0,000041	0,1272	0,00228	0,0182	
C1-05	0,000030	0,0200	0,00207	0,0391	
C1-06	0,000022	0,0241	0,00171	0,0565	
C1-07	0,000019	0,0018	0,00107	0,0620	Données du pH terrain douteuses aux 7e et 8e échantillonnages.
C1-08	<0,000012	0,0040	0,01099	0,1709	Pas d'analyses Acidité/Alcalinité. Données du pH terrain douteuses aux 7e et 8e échantillonnages. Mauvaise balance ionique, cations trop élevés.
C1-09	0,000019	0,0272	0,00092	0,1231	Sonde de terrain défectueuse.
C1-10	0,000018	0,0425	0,00110	0,0430	
C1-11	0,000036	0,0412	0,00222	0,0193	Mauvaise balance ionique avec S(ICP), utiliser résultat en SO4.
C1-12	0,000030	0,0081	0,00210	0,0166	
C1-13	0,000042	0,0304	0,00256	0,0295	Mauvaise balance ionique avec S(ICP), utiliser résultat en SO4.
C1-14	0,000027	0,0137	0,00207	0,1025	

Colonne de terrain C2 Description: C2 - I2J Smoyen (mean-sulphur non-brecciated diorite (Unit I2J))
 Masse (kg) : 70,79
 Début de l'essai : 2021-09-14
 Type de test : Colonne de 1m avec stériles (carottes de forage)

Rinçage	#Ech H2Lab	Date	Temps	Volume recueilli	Température terrain	pH terrain	Conductivité	ORP	Eh	Acidité	Alcalinité	COD
					Sonde terrain	Sonde terrain	Sonde terrain	Sonde terrain	Calcul	Titrage	Titrage	IR
			j	ml	°C		µS/cm	mv	mv	mg CaCO3/L	mg CaCO3/L	mg/L
<i>Limite de détection</i>					0,1	0,01	1	0,1		2	2	0,2
C2-01	325910	2021-10-25	41	7999	5,8	7,63	317	-43	179	5	59	31,6
C2-02	327212	2021-11-09	56	792	4,5	8,35	261	-81	142	<2	80	18
C2-03	2339304	2022-05-17	245	4136	8,5	7,56	147	204	424	4	52	8,5
C2-04	2341960	2022-06-14	273	4828	16,9	7,50	170	71	283	8	53	
C2-05	2344702	2022-07-12	301	2810	15,6	7,56	134	-43	170	4	34	
C2-06	2347837	2022-08-09	329	6846	11,3	8,04	79	131	348	2	28	
C2-07	2350497	2022-09-06	357	1715	16,4	4,76	49	273	485	6	23	
C2-08	2353538	2022-10-06	387	965	10,9	7,92	99	59	277			
C2-09	2356222	2022-11-01	413	2061	8,0	7,70		-54	166	20	30	
C2-10	2369167	2023-05-02	595	12500	7,1	7,22	81	-22	199	< 2	26	
C2-11	2378280	2023-07-04	658	2600	29,9	8,95	476	-9	191	5	30	
C2-12	2383363	2023-08-08	693	9500	18,8	7,68	127	66	276	3	29	
C2-13	2387175	2023-09-05	721	4600	20,6	7,44	164	-71	138	5	35	
C2-14	2392115	2023-10-03	749	3500	12,7	7,29	91	-31	185	< 2	25	

Colonne de terrain C2

Rinçage	Cl ⁻	F ⁻	SO ₄ ²⁻	S ₂ O ₃ ²⁻	ΣS	Ag	Al	As	B	Ba	Be	Bi
	C.Ion.	C.Ion.	C.Ion.	C.Ion.	Calcul	ICP-MS	ICP-MS	ICP-MS	ICP-MS	ICP-MS	ICP-MS	ICP-MS
	mg/L	mg/L	mg/L	mg/L	mg/L	mg/L	mg/L	mg/L	mg/L	mg/L	mg/L	mg/L
<i>Limite de détection</i>	0,5	0,02	0,6	0,02		<i>variable</i>	<i>variable</i>	<i>variable</i>	<i>variable</i>	<i>variable</i>	<i>variable</i>	<i>variable</i>
C2-01	18,8	0,41	148,0	<0,02	49,1	0,000699	0,0470	0,001306	0,0463	0,04607	0,000005	0,000017
C2-02	8,2	0,42	102,0	<0,02	33,9	0,000577	0,0273	0,001639	0,0411	0,01884	0,000005	0,000014
C2-03	2,6	0,15	53,1	<0,02	17,6	0,000010	0,4246	0,001220	0,0288	0,01699	0,000038	0,000012
C2-04	1,2	0,14	51,3	<0,02	17,0	0,000006	0,0562	0,001265	0,0349	0,01501	<0,000033	<0,000013
C2-05	<0,5	0,08	47,1	0,08	15,7	0,000024	2,2195	0,002567	0,0329	0,05688	0,000112	0,000032
C2-06	<0,5	0,09	23,2	0,04	7,7	<0,000004	0,5243	0,000949	0,0308	0,01217	<0,000024	<0,000006
C2-07	<0,5	0,05	18,6	<0,02	6,2	<0,000004	0,0744	0,000654	0,0095	0,00908	<0,000024	<0,000006
C2-08	0,6	0,05	52,8	0,13	17,6	<0,000044	0,0353	0,001339	0,0307	0,01073	<0,000437	0,000120
C2-09	1,0	0,09	62,4	<0,02	20,7	<0,000002	0,0263	0,000820	0,0191	0,01753	<0,000033	<0,000003
C2-10	0,7	0,05	30,6	< 0,02	10,2	0,000016	0,0133	0,000611	0,0108	0,00605	0,000031	0,000300
C2-11	1,4	0,07	146	< 0,02	48,5	0,000007	0,2239	0,000824	0,0282	0,02119	0,000015	0,000012
C2-12	< 0,5	0,06	28	< 0,02	9,3	0,000004	0,0551	0,001047	0,0105	0,01207	0,000003	0,000003
C2-13	< 0,5	0,07	46,0	< 0,02	15,3	<0,000004	0,045	0,001217	0,0227	0,01094	0,000003	<0,000004
C2-14	< 0,5	0,03	31,2	< 0,02	10,4	<0,000007	0,120	0,000975	0,0134	0,01038	0,000004	0,000021

Colonne de terrain C2

Rinçage	Ca	Cd	Co	Cr	Cu	Fe	Hg	K	Li	Mg	Mn	Mo
	ICP-MS	ICP-MS	ICP-MS	ICP-MS	ICP-MS	ICP-MS	ICP-MS	ICP-MS	ICP-MS	ICP-MS	ICP-MS	ICP-MS
	mg/L	mg/L	mg/L	mg/L	mg/L	mg/L	mg/L	mg/L	mg/L	mg/L	mg/L	mg/L
<i>Limite de détection</i>	<i>variable</i>	<i>variable</i>	<i>variable</i>	<i>variable</i>	<i>variable</i>	<i>variable</i>	<i>variable</i>	<i>variable</i>	<i>variable</i>	<i>variable</i>	<i>variable</i>	<i>variable</i>
C2-01	26,15	0,000270	0,002911	0,001735	0,0562	0,080	0,001216	17,74	0,01425	6,583	0,0275	0,03282
C2-02	21,79	0,000174	0,002301	0,001424	0,0408	0,069	0,001148	20,71	0,01621	5,887	0,0261	0,02201
C2-03	54,25	0,000248	0,013265	0,001847	0,0448	1,616	0,000026	11,22	0,01235	4,238	0,0846	0,02526
C2-04	33,73	0,000018	0,000137	0,000715	0,0180	0,012	0,000086	10,85	0,01070	2,797	0,0131	0,02994
C2-05	245,60	0,000584	0,011900	0,007156	0,0576	0,938	0,000019	8,33	0,03761	4,066	0,0608	0,02258
C2-06	30,27	0,000049	0,000081	0,000724	0,0089	0,122	0,000029	6,78	0,00683	1,399	0,0039	0,01065
C2-07	16,26	0,000065	0,000061	0,000275	0,0052	0,022	0,000028	4,36	0,00507	0,657	0,0028	0,00424
C2-08	31,42	0,000077	0,000204	<0,000217	0,0087	<0,002	0,000081	6,28	0,00461	2,073	0,0061	0,01138
C2-09	25,85	0,000026	0,000152	0,000246	0,0080	0,006	0,001017	5,78	0,00570	2,151	0,0061	0,01717
C2-10	13,66	0,000329	0,000130	0,000152	0,0206	0,005	<0,001838	4,11	0,00420	1,355	0,0033	0,03023
C2-11	82,29	0,000180	0,002046	0,000983	0,0182	0,119	0,000026	6,15	0,01525	4,301	0,0130	0,01690
C2-12	15,85	0,000046	0,000213	0,000218	0,0057	0,006	<0,000062	7,83	0,00532	0,972	0,0017	0,01566
C2-13	24,60	0,000058	0,000245	0,000036	0,0069	<0,001	0,000222	7,43	0,00679	1,744	0,002	0,01845
C2-14	19,36	0,000108	0,000282	0,000485	0,0059	0,047	0,000862	1,34	0,00743	1,081	0,004	0,01027

Colonne de terrain C2

Rinçage	Na	Ni	P	Pb	S	Sb	Sc	Se	Si	Sn	Sr	Ti
	ICP-MS	ICP-MS	ICP-MS	ICP-MS	ICP-MS	ICP-MS	ICP-MS	ICP-MS	ICP-MS	ICP-MS	ICP-MS	ICP-MS
	mg/L	mg/L	mg/L	mg/L	mg/L	mg/L	mg/L	mg/L	mg/L	mg/L	mg/L	mg/L
<i>Limite de détection</i>	<i>variable</i>	<i>variable</i>	<i>variable</i>	<i>variable</i>	<i>variable</i>	<i>variable</i>	<i>variable</i>	<i>variable</i>	<i>variable</i>	<i>variable</i>	<i>variable</i>	<i>variable</i>
C2-01	19,75	0,03281	0,780	0,000148	50,69	0,002336	0,002112	0,002294	0,994	0,000575	0,2652	0,002090
C2-02	16,04	0,02005	0,847	0,000092	33,24	0,001478	0,002088	0,001117	1,271	0,000343	0,2132	0,002073
C2-03	11,31	0,06791	0,834	0,000641	21,11	0,001062	0,000454	0,000712	1,042	0,000996	0,1479	0,001548
C2-04	4,28	0,00576	1,159	0,000032	15,89	0,001552	0,000332	0,000763	1,768	0,000635	0,1297	0,000609
C2-05	14,39	0,05676	1,718	0,001719	26,01	0,000993	0,001560	0,000555	1,592	0,000551	0,2833	0,005384
C2-06	2,60	0,00238	0,974	0,000328	9,37	0,000627	0,000202	0,000325	1,539	0,000086	0,0731	0,002439
C2-07	0,73	0,00127	0,579	0,000113	6,82	0,000325	0,000102	0,000158	0,852	0,000159	0,0407	0,001150
C2-08	2,13	<0,000211	0,480	<0,000276	20,99	0,000527	0,000465	0,000729	1,132	<0,000158	0,0933	0,000842
C2-09	1,27	0,00242	0,954	0,000029	22,03	0,000534	0,000229	0,000804	1,338	0,000572	0,0928	0,000532
C2-10	1,07	0,00187	0,428	0,001511	11,55	0,000281	0,000161	0,000333	0,526	0,005786	0,0522	0,001415
C2-11	3,46	0,01398	0,042	0,000293	39,03	0,000836	0,002692	0,000794	1,220	0,008830	0,2651	0,001192
C2-12	1,08	0,00126	<0,001	0,000051	<9,548	0,000422	0,000852	0,000766	0,780	0,012008	0,0567	0,001506
C2-13	1,51	0,00148	<0,001	0,000333	<2,725	0,000546	0,001297	<0,000959	2,034	0,000125	0,078	0,000683
C2-14	1,24	0,00199	<0,020	0,000176	5,50	0,000307	0,000059	<0,000535	0,482	0,000181	0,062	0,000519

Colonne de terrain C2

Rinçage	Tl	U	V	Zn	Notes
	ICP-MS	ICP-MS	ICP-MS	ICP-MS	
	mg/L	mg/L	mg/L	mg/L	
<i>Limite de détection</i>	<i>variable</i>	<i>variable</i>	<i>variable</i>	<i>variable</i>	
C2-01	0,000052	0,0633	0,00212	0,0142	
C2-02	0,000046	0,0810	0,00251	0,0071	
C2-03	0,000042	0,0522	0,00138	0,0731	
C2-04	0,000047	0,0398	0,00172	0,0179	
C2-05	0,000051	0,0137	0,00650	0,2152	Mauvaise balance ionique, cations trop élevés.
C2-06	0,000039	0,0117	0,00205	0,0171	
C2-07	0,000033	0,0029	0,00143	0,0311	Données du pH terrain douteuses aux 7e et 8e échantillonnages.
C2-08	0,000035	0,0097	0,00154	<0,004051	Pas d'analyses Acidité/Alcalinité. Données du pH terrain douteuses aux 7e et 8e échantillonnages.
C2-09	0,000038	0,0185	0,00088	0,0200	Sonde de terrain défectueuse.
C2-10	0,000022	0,0117	0,00073	0,0303	
C2-11	0,000118	0,0155	0,00196	0,0274	
C2-12	0,000038	0,0064	0,00191	0,0063	
C2-13	0,000049	0,0101	0,00215	0,0409	Mauvaise balance ionique avec S(ICP), utiliser résultat en SO4.
C2-14	0,000033	0,0063	0,00150	0,0582	

Colonne de terrain C3 Description: C3 - 12J Sélevé (high-sulphur non-brecciated diorite (Unit I2J))
 Masse (kg) : 98,33
 Début de l'essai : 2021-09-14
 Type de test : Colonne de 1m avec stériles (carottes de forage)

Rinçage	#Ech H2Lab	Date	Temps	Volume recueilli	Température terrain	pH terrain	Conductivité	ORP	Eh	Acidité	Alcalinité	COD
					Sonde terrain	Sonde terrain	Sonde terrain	Sonde terrain	Calcul	Titrage	Titrage	IR
			j	ml	°C		µS/cm	mv	mv	mg CaCO3/L	mg CaCO3/L	mg/L
<i>Limite de détection</i>					0,1	0,01	1	0,1		2	2	0,2
C3-01	325897	2021-10-26	42	10306	1,3	7,35	195	-27	199	4	28	20,0
C3-02	327213	2021-11-09	56	2234	4,6	7,51	241	-35	188	3	31	20,2
C3-03	2339305	2022-05-17	245	8115	9,5	7,16	129	203	422	4	24	7,8
C3-04	2341961	2022-06-14	273	5693	16,9	7,37	260	63	275	9	35	
C3-05	2344703	2022-07-12	301	2666	15,6	7,52	224	-45	168	4	30	
C3-06	2347838	2022-08-09	329	6443	11,3	7,15	149	115	332	<2	21	
C3-07	2350498	2022-09-06	357	1542	16,9	5,67	73	262	474	14	15	
C3-08	2353539	2022-10-06	387	850	11,2	8,00	102	99	316			
C3-09	2356223	2022-11-01	413	3733	7,5	7,34		-34	186	<2	13	
C3-10	2369168	2023-05-02	595	16700	8,1	7,57	113	-12	208	3	19	
C3-11	2378281	2023-07-04	658	6200	30,0	7,93	477	-12	188	5	28	
C3-12	2383364	2023-08-08	693	14000	18,4	7,79	135	64	275	3	10	
C3-13	2387176	2023-09-05	721	7900	19,6	7,90	153	-65	145	5	15	
C3-14	2392116	2023-10-03	749	7000	12,5	7,15	83	-25	191	< 2	11	

Colonne de terrain C3

Rinçage	Cl ⁻	F ⁻	SO ₄ ²⁻	S ₂ O ₃ ²⁻	ΣS	Ag	Al	As	B	Ba	Be	Bi
	C.Ion.	C.Ion.	C.Ion.	C.Ion.	Calcul	ICP-MS	ICP-MS	ICP-MS	ICP-MS	ICP-MS	ICP-MS	ICP-MS
	mg/L	mg/L	mg/L	mg/L	mg/L	mg/L	mg/L	mg/L	mg/L	mg/L	mg/L	mg/L
<i>Limite de détection</i>	0,5	0,02	0,6	0,02		<i>variable</i>	<i>variable</i>	<i>variable</i>	<i>variable</i>	<i>variable</i>	<i>variable</i>	<i>variable</i>
C3-01	12,7	0,14	114,0	<0,02	37,9	0,000392	0,0283	0,000660	0,0232	0,01913	0,000005	0,000043
C3-02	12,0	0,25	125,0	<0,02	41,5	0,000458	0,0231	0,000591	0,0222	0,01455	0,000005	0,000039
C3-03	2,4	0,08	69,9	<0,02	23,2	0,000008	0,0145	0,000492	0,0186	0,00918	<0,000012	<0,000009
C3-04	2,4	0,11	122	<0,02	40,5	0,000012	0,0408	0,000897	0,0423	0,01775	<0,000033	<0,000013
C3-05	1,1	0,08	103,0	<0,02	34,2	0,000009	2,1710	0,002154	0,0425	0,05850	0,000130	0,000034
C3-06	0,6	0,09	79,2	0,04	26,3	<0,000004	0,0327	0,000673	0,0288	0,01201	<0,000024	<0,000006
C3-07	<0,5	0,05	34,6	0,12	11,6	<0,000004	0,2264	0,000479	0,0224	0,01226	<0,000024	<0,000006
C3-08	<0,5	0,05	76,4	<0,02	25,4	<0,000044	0,1467	0,000853	0,0039	0,00759	<0,000437	0,000085
C3-09	0,1	0,04	71,1	<0,02	23,6	<0,000002	0,0250	0,000399	0,0155	0,01068	<0,000033	<0,000003
C3-10	0,5	0,04	52,6	<0,02	17,5	0,000022	0,0081	0,000309	0,0110	0,00584	0,000008	0,000300
C3-11	1,5	0,03	31,1	<0,02	10,3	<0,000006	0,1221	0,000591	0,0139	0,01292	0,000006	0,000009
C3-12	<0,5	0,04	43,2	<0,02	14,3	0,000003	0,0271	0,000339	0,0140	0,00930	<0,000003	0,000003
C3-13	<0,5	0,04	58,0	<0,02	19,3	0,000006	0,021	0,000377	0,0185	0,00648	0,000004	0,000005
C3-14	<0,5	<0,02	38,8	<0,02	12,9	<0,000007	0,260	0,000438	0,0133	0,01057	0,000011	0,000101

Colonne de terrain C3

Rinçage	Ca	Cd	Co	Cr	Cu	Fe	Hg	K	Li	Mg	Mn	Mo
	ICP-MS	ICP-MS	ICP-MS	ICP-MS	ICP-MS	ICP-MS	ICP-MS	ICP-MS	ICP-MS	ICP-MS	ICP-MS	ICP-MS
	mg/L	mg/L	mg/L	mg/L	mg/L	mg/L	mg/L	mg/L	mg/L	mg/L	mg/L	mg/L
<i>Limite de détection</i>	<i>variable</i>	<i>variable</i>	<i>variable</i>	<i>variable</i>	<i>variable</i>	<i>variable</i>	<i>variable</i>	<i>variable</i>	<i>variable</i>	<i>variable</i>	<i>variable</i>	<i>variable</i>
C3-01	18,17	0,000192	0,002706	0,000873	0,0442	0,062	0,000255	8,77	0,00982	4,021	0,0516	0,00918
C3-02	22,73	0,000182	0,003026	0,000026	0,0416	0,079	0,000280	9,46	0,01063	5,418	0,0594	0,01013
C3-03	31,59	0,000038	0,000542	0,000433	0,0197	0,716	0,000017	5,44	0,00654	2,705	0,0496	0,00707
C3-04	52,52	0,000058	0,000529	0,000442	0,0282	0,045	0,000055	10,12	0,01214	4,633	0,0369	0,01847
C3-05	303,03	0,000611	0,012229	0,006682	0,0609	0,886	0,000017	9,99	0,04444	6,092	0,0634	0,01648
C3-06	34,49	0,000047	0,000084	0,000395	0,0109	0,008	<0,000021	7,46	0,01576	2,782	0,0043	0,00727
C3-07	53,15	0,000267	0,000183	0,001041	0,0120	0,074	<0,000021	3,86	0,01245	1,259	0,0107	0,00229
C3-08	39,05	0,000222	0,000419	0,000268	0,0112	<0,002	0,000014	4,48	0,00693	2,306	0,0206	0,00274
C3-09	23,00	0,000063	0,000266	0,000464	0,0088	0,087	<0,000736	3,08	0,00682	2,209	0,0131	0,00351
C3-10	18,44	0,000160	0,000209	0,000080	0,0198	0,002	<0,001838	3,17	0,00454	1,689	0,0082	0,00763
C3-11	28,45	0,000173	0,000729	0,000754	0,0105	0,068	0,000016	2,87	0,00477	1,157	0,0064	0,02321
C3-12	17,90	0,000070	0,000229	0,000216	0,0038	0,012	<0,000062	4,81	0,00503	1,204	0,0020	0,00358
C3-13	21,76	0,000032	0,000248	<0,000015	0,0043	0,018	0,000137	4,05	0,00588	1,753	0,003	0,00350
C3-14	33,58	0,000197	0,000984	0,001166	0,0088	0,125	0,000492	2,16	0,01884	1,410	0,013	0,00182

Colonne de terrain C3

Rinçage	Na	Ni	P	Pb	S	Sb	Sc	Se	Si	Sn	Sr	Ti
	ICP-MS	ICP-MS	ICP-MS	ICP-MS	ICP-MS	ICP-MS	ICP-MS	ICP-MS	ICP-MS	ICP-MS	ICP-MS	ICP-MS
	mg/L	mg/L	mg/L	mg/L	mg/L	mg/L	mg/L	mg/L	mg/L	mg/L	mg/L	mg/L
<i>Limite de détection</i>	<i>variable</i>	<i>variable</i>	<i>variable</i>	<i>variable</i>	<i>variable</i>	<i>variable</i>	<i>variable</i>	<i>variable</i>	<i>variable</i>	<i>variable</i>	<i>variable</i>	<i>variable</i>
C3-01	8,58	0,03999	0,371	0,000178	32,48	0,001002	0,001538	0,002012	0,610	0,000452	0,1901	0,001110
C3-02	10,40	0,03962	0,241	0,000143	43,04	0,000769	0,001503	0,002125	0,463	0,000420	0,2226	0,001203
C3-03	4,19	0,01570	0,268	0,000082	24,01	0,000711	0,000328	0,000979	0,432	0,000356	0,1285	0,000343
C3-04	6,25	0,01596	0,997	0,000068	40,39	0,001256	0,000508	0,001725	1,458	0,000478	0,2252	0,000603
C3-05	18,50	0,05692	1,740	0,001670	45,26	0,001262	0,001593	0,001138	1,881	0,000464	0,3553	0,004154
C3-06	3,01	0,00752	0,882	0,000025	27,56	0,000796	0,000227	0,000774	1,502	0,000106	0,1341	0,001003
C3-07	2,74	0,00349	0,581	0,000265	13,77	0,000577	0,000221	0,000326	0,829	0,000225	0,0904	0,002901
C3-08	1,49	0,00279	0,507	<0,000276	31,27	0,000443	0,000425	0,000670	1,023	<0,000158	0,1238	0,000951
C3-09	1,02	0,00496	0,515	0,000330	25,91	0,000381	0,000160	0,000952	0,659	0,000652	0,1017	0,000611
C3-10	0,96	0,00365	0,359	0,001391	21,11	0,000248	0,000194	0,000470	0,440	0,004329	0,0910	0,001268
C3-11	1,60	0,00473	0,023	0,000227	11,80	0,000396	0,001081	<0,000034	0,575	0,007116	0,0627	0,001635
C3-12	0,94	0,00226	<0,001	0,000050	<9,548	0,000386	0,000631	0,001302	0,453	0,010030	0,0753	0,000475
C3-13	0,97	0,00261	<0,001	0,000115	4,30	0,000471	0,000860	<0,000959	1,152	0,000132	0,091	0,000611
C3-14	2,22	0,00612	0,024	0,000716	7,40	0,000254	0,000058	<0,000535	0,390	0,000253	0,080	0,001486

Colonne de terrain C3

Rinçage	Tl	U	V	Zn	Notes
	ICP-MS	ICP-MS	ICP-MS	ICP-MS	
	mg/L	mg/L	mg/L	mg/L	
<i>Limite de détection</i>	<i>variable</i>	<i>variable</i>	<i>variable</i>	<i>variable</i>	
C3-01	0,000082	0,0352	0,00131	0,0173	
C3-02	0,000082	0,0596	0,00164	0,0222	
C3-03	0,000075	0,0403	0,00048	0,0179	
C3-04	0,000112	0,0430	0,00102	0,0178	
C3-05	0,000098	0,0184	0,00586	0,1983	Mauvaise balance ionique, cations trop élevés.
C3-06	0,000108	0,0133	0,00116	0,0100	
C3-07	0,000061	0,0015	0,00148	0,0256	Données du pH terrain douteuses aux 7e et 8e échantillonnages.
C3-08	0,000073	0,0079	0,00148	0,0054	Pas d'analyses Acidité/Alcalinité. Données du pH terrain douteuses aux 7e et 8e échantillonnages.
C3-09	0,000046	0,0106	0,00034	0,0347	Sonde de terrain défectueuse.
C3-10	0,000040	0,0113	0,00047	0,0289	
C3-11	0,000032	0,0067	0,00106	0,0207	
C3-12	0,000053	0,0025	0,00082	0,0087	
C3-13	0,000064	0,0037	0,00093	0,0432	Mauvaise balance ionique avec S(ICP), utiliser résultat en SO4.
C3-14	0,000039	0,0022	0,00114	0,0933	

Colonne de terrain C4 Description: C4 - I2J;BR Sfaible (low-sulphur brecciated diorite (Unit I2J;BR))
 Masse (kg) : 98,52
 Début de l'essai : 2021-09-14
 Type de test : Colonne de 1m avec stériles (carottes de forage)

Rinçage	#Ech H2Lab	Date	Temps	Volume recueilli	Température terrain	pH terrain	Conductivité	ORP	Eh	Acidité	Alcalinité	COD
			j	ml	°C		µS/cm	mv	mv	mg CaCO3/L	mg CaCO3/L	mg/L
					Sonde terrain	Sonde terrain	Sonde terrain	Sonde terrain	Calcul	Titrage	Titrage	IR
					0,1	0,01	1	0,1		2	2	0,2
C4-01	325898	2021-10-26	42	7596	0,7	7,36	236	-27	199	5	45	29,3
C4-02	327215	2021-11-09	56	1369	4,8	7,74	300	-48	175	4	52	32,6
C4-03	2339306	2022-05-17	245	6616	10,3	7,37	152	209	427	4	36	12,6
C4-04	2341962	2022-06-14	273	4828	16,6	7,38	223	56	268	20	48	
C4-05	2344704	2022-07-12	301	2810	15,7	7,63	111	-51	162	4	35	
C4-06	2347839	2022-08-09	329	6731	10,7	7,23	90	108	325	<2	24	
C4-07	2350499	2022-09-06	357	1369	17,0	5,95	51	233	445	18	23	
C4-08	2353540	2022-10-06	387	850	11,8	8,50	49	79	296			
C4-09	2356224	2022-11-01	413	1715	8,3	7,27		-30	190	6	38	
C4-10	2369169	2023-05-02	595	12700	7,4	7,57	114	-13	207	3	33	
C4-11	2378282	2023-07-04	658	2700	28,9	8,20	296	7	208	5	35	
C4-12	2383365	2023-08-08	693	8900	18,0	7,75	119	64	275	3	27	
C4-13	2387177	2023-09-05	721	4800	19,7	8,06	156	-75	134	5	36	
C4-14	2392117	2023-10-03	749	3400	12,7	7,10	88	-21	195	< 2	26	

Colonne de terrain C4

Rinçage	Cl ⁻	F ⁻	SO ₄ ²⁻	S ₂ O ₃ ²⁻	ΣS	Ag	Al	As	B	Ba	Be	Bi
	C.Ion.	C.Ion.	C.Ion.	C.Ion.	Calcul	ICP-MS	ICP-MS	ICP-MS	ICP-MS	ICP-MS	ICP-MS	ICP-MS
	mg/L	mg/L	mg/L	mg/L	mg/L	mg/L	mg/L	mg/L	mg/L	mg/L	mg/L	mg/L
<i>Limite de détection</i>	0,5	0,02	0,6	0,02		<i>variable</i>	<i>variable</i>	<i>variable</i>	<i>variable</i>	<i>variable</i>	<i>variable</i>	<i>variable</i>
C4-01	35,6	0,35	101,0	<0,02	33,5	0,000562	0,0539	0,002631	0,0288	0,02667	0,000005	0,000015
C4-02	37,8	0,37	115,0	<0,02	38,2	0,000688	0,0438	0,002673	0,0273	0,02256	0,000005	0,000007
C4-03	6,7	0,1	60,0	<0,02	19,9	0,000013	0,1495	0,001305	0,0213	0,01307	<0,000012	<0,000009
C4-04	2,6	0,12	89,3	<0,02	29,7	0,000011	0,0533	0,002732	0,0397	0,01883	<0,000033	<0,000013
C4-05	0,7	0,07	36,3	<0,02	12,1	0,000022	2,5120	0,004254	0,0285	0,06015	0,000148	0,000036
C4-06	0,8	0,08	42,2	<0,02	14,0	<0,000004	0,0666	0,002240	0,0209	0,01221	<0,000024	<0,000006
C4-07	<0,5	0,05	15,6	0,11	5,2	<0,000004	0,1598	0,002005	0,0116	0,01051	<0,000024	<0,000006
C4-08	<0,5	0,05	25,7	0,20	8,6	<0,000044	0,0166	0,002311	0,6033	0,00483	<0,000437	0,000077
C4-09	1,4	0,12	75,0	<0,02	24,9	<0,000002	0,0705	0,002595	0,0246	0,02252	<0,000033	<0,000003
C4-10	0,8	0,06	45,4	<0,02	15,1	<0,000007	0,0076	0,001322	0,0140	0,00754	0,000031	0,000031
C4-11	1,6	0,07	70,7	<0,02	23,5	<0,000006	0,2094	0,002862	0,0274	0,01949	0,000012	0,000010
C4-12	<0,5	0,05	28	<0,02	9,3	0,000005	0,0397	0,002456	0,0133	0,01612	0,000004	0,000004
C4-13	<0,5	0,08	41,5	<0,02	13,8	0,000007	0,064	0,002873	0,0224	0,00952	0,000004	0,000005
C4-14	0,5	0,03	28,8	<0,02	9,6	<0,000007	0,037	0,002162	0,0114	0,00854	0,000003	0,000006

Colonne de terrain C4

Rinçage	Ca	Cd	Co	Cr	Cu	Fe	Hg	K	Li	Mg	Mn	Mo
	ICP-MS	ICP-MS	ICP-MS	ICP-MS	ICP-MS	ICP-MS	ICP-MS	ICP-MS	ICP-MS	ICP-MS	ICP-MS	ICP-MS
	mg/L	mg/L	mg/L	mg/L	mg/L	mg/L	mg/L	mg/L	mg/L	mg/L	mg/L	mg/L
<i>Limite de détection</i>	<i>variable</i>	<i>variable</i>	<i>variable</i>	<i>variable</i>	<i>variable</i>	<i>variable</i>	<i>variable</i>	<i>variable</i>	<i>variable</i>	<i>variable</i>	<i>variable</i>	<i>variable</i>
C4-01	21,87	0,000222	0,002657	0,001871	0,0465	0,101	0,000641	11,74	0,00923	4,229	0,0457	0,00920
C4-02	28,31	0,000228	0,003232	0,001808	0,0493	0,110	0,000708	11,98	0,01089	6,346	0,0609	0,01057
C4-03	44,24	0,000080	0,003664	0,001115	0,0297	0,625	0,000025	6,52	0,00721	3,203	0,0614	0,00636
C4-04	45,10	0,000026	0,000331	0,000792	0,0282	0,053	0,000095	10,14	0,00963	3,385	0,0285	0,00909
C4-05	333,16	0,000653	0,013200	0,007816	0,0618	1,092	0,000017	8,34	0,04062	5,031	0,0703	0,00991
C4-06	27,21	0,000046	0,000083	0,000406	0,0103	0,018	0,000043	6,65	0,00537	1,501	0,0045	0,00374
C4-07	34,62	0,000162	0,000105	0,000686	0,0073	0,064	<0,000021	4,62	0,00932	0,843	0,0069	0,00200
C4-08	18,04	0,000127	<0,000072	<0,000217	0,0056	0,024	0,000000	4,03	0,00431	1,116	0,0046	0,00279
C4-09	37,38	0,000052	0,000488	0,000457	0,0126	0,042	0,002408	6,39	0,00804	2,553	0,0116	0,00698
C4-10	18,48	0,000023	0,000210	0,000127	0,0064	0,003	<0,001838	4,30	0,00595	1,479	0,0069	0,00792
C4-11	53,61	0,000162	0,001906	0,001126	0,0168	0,116	0,000057	5,39	0,01146	2,173	0,0095	0,01229
C4-12	16,55	0,000024	0,000198	0,000255	0,0062	0,008	<0,000062	6,25	0,00504	0,889	0,0011	0,00411
C4-13	27,68	0,000046	0,000291	0,000173	0,0067	0,010	0,000326	6,43	0,00757	1,500	0,001	0,00381
C4-14	11,25	0,000148	0,000057	0,000180	0,0041	0,026	0,001190	1,12	0,00443	0,808	0,002	0,00258

Colonne de terrain C4

Rinçage	Na	Ni	P	Pb	S	Sb	Sc	Se	Si	Sn	Sr	Ti
	ICP-MS	ICP-MS	ICP-MS	ICP-MS	ICP-MS	ICP-MS	ICP-MS	ICP-MS	ICP-MS	ICP-MS	ICP-MS	ICP-MS
	mg/L	mg/L	mg/L	mg/L	mg/L	mg/L	mg/L	mg/L	mg/L	mg/L	mg/L	mg/L
<i>Limite de détection</i>	<i>variable</i>	<i>variable</i>	<i>variable</i>	<i>variable</i>	<i>variable</i>	<i>variable</i>	<i>variable</i>	<i>variable</i>	<i>variable</i>	<i>variable</i>	<i>variable</i>	<i>variable</i>
C4-01	16,89	0,03825	0,537	0,000191	30,40	0,002405	0,001818	0,001116	0,812	0,000749	0,2176	0,001829
C4-02	18,88	0,04762	0,445	0,000147	40,79	0,001924	0,001979	0,001249	0,723	0,000710	0,2445	0,001981
C4-03	9,09	0,03354	0,483	0,000276	22,11	0,001226	0,000427	0,000608	0,612	0,000840	0,1266	0,001117
C4-04	8,24	0,01688	1,126	0,000034	29,56	0,002551	0,000521	0,000716	1,661	0,000465	0,1626	0,000732
C4-05	19,95	0,06520	2,010	0,001954	24,67	0,001679	0,001716	0,000463	2,038	0,000464	0,2943	0,006651
C4-06	3,29	0,00443	0,828	0,000569	13,99	0,001261	0,000190	0,000270	1,478	0,000039	0,0740	0,000450
C4-07	3,13	0,00269	0,779	0,000187	6,28	0,000970	0,000182	0,000189	1,104	0,000249	0,0566	0,001602
C4-08	6,29	<0,000211	0,616	<0,000276	9,58	0,000846	0,000357	0,000364	1,140	<0,000158	0,0581	0,000852
C4-09	2,36	0,00857	1,349	0,000121	27,74	0,001427	0,000338	0,000748	1,831	0,001527	0,1252	0,000712
C4-10	1,62	0,00434	0,552	0,000075	17,31	0,000707	0,000231	0,000333	0,668	0,005428	0,0778	0,000248
C4-11	2,96	0,01388	0,034	0,000292	30,10	0,001616	0,002225	0,000109	1,267	0,010004	0,1441	0,001287
C4-12	0,99	0,00218	<0,001	0,000048	<9,548	0,000966	0,000818	0,000897	0,725	0,011962	0,0572	0,000621
C4-13	1,65	0,00301	<0,001	0,000259	<2,725	0,001482	0,001447	<0,000959	3,211	0,000153	0,082	0,001176
C4-14	0,60	0,00125	<0,020	0,000106	5,92	0,000826	0,000049	<0,000535	0,513	0,000190	0,054	0,000801

Colonne de terrain C4

Rinçage	Tl	U	V	Zn	Notes
	ICP-MS	ICP-MS	ICP-MS	ICP-MS	
	mg/L	mg/L	mg/L	mg/L	
<i>Limite de détection</i>	<i>variable</i>	<i>variable</i>	<i>variable</i>	<i>variable</i>	
C4-01	0,000062	0,0866	0,00202	0,0123	
C4-02	0,000053	0,1546	0,00264	0,0090	
C4-03	0,000038	0,1090	0,00125	0,0306	
C4-04	0,000072	0,1245	0,00225	0,0131	
C4-05	0,000062	0,0256	0,00788	0,2221	Mauvaise balance ionique, cations trop élevés.
C4-06	0,000048	0,0383	0,00227	0,0135	
C4-07	0,000041	0,0074	0,00272	0,0215	Données du pH terrain douteuses aux 7e et 8e échantillonnages.
C4-08	0,000027	0,0153	0,00239	<0,004051	Pas d'analyses Acidité/Alcalinité. Donnée élevée en B. Données du pH terrain douteuses aux 7e et 8e échantillonnages.
C4-09	0,000051	0,0763	0,00203	0,0226	Sonde de terrain défectueuse.
C4-10	0,000032	0,0505	0,00154	0,0293	
C4-11	0,000063	0,0474	0,00335	0,0320	
C4-12	0,000039	0,0155	0,00286	0,0064	
C4-13	0,000052	0,0305	0,00403	0,0554	Mauvaise balance ionique avec S(ICP), utiliser résultat en SO4.
C4-14	0,000036	0,0158	0,00225	0,0476	

Colonne de terrain C5 Description: C5 - I2J;BR Smoyen (mean-sulphur brecciated diorite (Unit I2J;BR))
 Masse (kg) : 64,48
 Début de l'essai : 2021-09-14
 Type de test : Colonne de 1m avec stériles (carottes de forage)

Rinçage	#Ech H2Lab	Date	Temps	Volume recueilli	Température terrain	pH terrain	Conductivité	ORP	Eh	Acidité	Alcalinité	COD
			j	ml	°C		µS/cm	mv	mv	mg CaCO3/L	mg CaCO3/L	mg/L
					Sonde terrain	Sonde terrain	Sonde terrain	Sonde terrain	Calcul	Titrage	Titrage	IR
					0,1	0,01	1	0,1		2	2	0,2
C5-01	325899	2021-10-26	42	10940	1,9	7,52	230	-37	189	5	49	23,6
C5-02	327216	2021-11-09	56	1369	5,2	7,84	426	-53	169	4	65	33,1
C5-03	2339307	2022-05-17	245	6962	9,1	7,19	334	231	450	4	33	7,5
C5-04	2341963	2022-06-14	273	5405	18,8	7,64	284	43	253	4	41	
C5-05	2344705	2022-07-12	301	2810	15,8	7,60	248	-49	164	4	36	
C5-06	2347840	2022-08-09	329	6846	11,9	7,89	148	86	303	<2	22	
C5-07	2350500	2022-09-06	357	1484	17,4	6,30	143	231	442	19	22	
C5-08	2353541	2022-10-06	387	908	9,7	8,94	155	7	225			
C5-09	2356225	2022-11-01	413	1888	8,7	7,68		-54	166	4	30	
C5-10	2369170	2023-05-02	595	12900	7,4	7,47	156	-12	208	4	22	
C5-11	2378283	2023-07-04	658	2700	29,4	8,01	500	373	573	3	35	
C5-12	2383366	2023-08-08	693	8800	17,8	7,90	200	60	271	3	23	
C5-13	2387178	2023-09-05	721	5000	20,0	7,99	240	-71	138	5	63	
C5-14	2392118	2023-10-03	749	3400	12,6	7,36	159	-36	180	6	22	

Colonne de terrain C5

Rinçage	Cl ⁻	F ⁻	SO ₄ ²⁻	S ₂ O ₃ ²⁻	ΣS	Ag	Al	As	B	Ba	Be	Bi
	C.Ion.	C.Ion.	C.Ion.	C.Ion.	Calcul	ICP-MS	ICP-MS	ICP-MS	ICP-MS	ICP-MS	ICP-MS	ICP-MS
	mg/L	mg/L	mg/L	mg/L	mg/L	mg/L	mg/L	mg/L	mg/L	mg/L	mg/L	mg/L
<i>Limite de détection</i>	0,5	0,02	0,6	0,02		variable	variable	variable	variable	variable	variable	variable
C5-01	33,7	0,25	109,0	<0,02	36,2	0,000471	0,0370	0,002093	0,0351	0,03328	0,000005	0,000021
C5-02	32,5	0,44	225,0	<0,02	74,7	0,000772	0,0273	0,004374	0,0455	0,01965	0,000005	0,000027
C5-03	3,1	0,1	203,0	<0,02	67,4	0,000014	0,0858	0,000476	0,0241	0,01757	<0,000012	<0,000009
C5-04	1,2	0,13	135	<0,02	44,8	0,000021	0,6030	0,003479	0,0499	0,02273	<0,000033	0,000015
C5-05	1,4	0,09	111,0	<0,02	36,9	0,000006	0,0621	0,005195	0,0445	0,01483	<0,000009	0,000007
C5-06	0,6	0,07	73,9	<0,02	24,5	<0,000004	0,0510	0,003429	0,0290	0,01047	<0,000024	<0,000006
C5-07	<0,5	0,07	68,3	<0,02	22,7	<0,000004	0,0441	0,002672	0,0164	0,01243	<0,000024	<0,000006
C5-08	0,1	0,07	107,0	0,14	35,6	<0,000044	1,2540	0,004622	0,0272	0,01922	<0,000437	0,000078
C5-09	1,6	0,1	152,0	<0,02	50,5	<0,000002	0,0241	0,003456	0,0300	0,02255	<0,000033	<0,000003
C5-10	0,9	0,06	80,1	<0,02	26,6	<0,000007	0,0090	0,002212	0,0136	0,00700	0,000003	0,000008
C5-11	2,1	0,08	148	< 0,02	49,1	0,000010	0,1247	0,004437	0,0398	0,02205	0,000009	0,000008
C5-12	0,6	0,05	66,9	< 0,02	22,2	0,000004	0,0362	0,003233	0,0191	0,02040	0,000004	<0,000002
C5-13	< 0,5	0,08	94,5	< 0,02	31,4	<0,000004	0,033	0,003761	0,0276	0,01208	<0,000003	<0,000004
C5-14	< 0,5	0,04	66,6	< 0,02	22,1	<0,000007	0,364	0,002812	0,0161	0,01603	0,000019	0,000048

Colonne de terrain C5

Rinçage	Ca	Cd	Co	Cr	Cu	Fe	Hg	K	Li	Mg	Mn	Mo
	ICP-MS	ICP-MS	ICP-MS	ICP-MS	ICP-MS	ICP-MS	ICP-MS	ICP-MS	ICP-MS	ICP-MS	ICP-MS	ICP-MS
	mg/L	mg/L	mg/L	mg/L	mg/L	mg/L	mg/L	mg/L	mg/L	mg/L	mg/L	mg/L
<i>Limite de détection</i>	<i>variable</i>	<i>variable</i>	<i>variable</i>	<i>variable</i>	<i>variable</i>	<i>variable</i>	<i>variable</i>	<i>variable</i>	<i>variable</i>	<i>variable</i>	<i>variable</i>	<i>variable</i>
C5-01	24,11	0,000369	0,003551	0,001359	0,0501	0,085	0,000539	10,76	0,00790	3,810	0,0358	0,00697
C5-02	38,80	0,000340	0,005459	0,001611	0,0558	0,103	0,000729	19,01	0,01407	7,806	0,0664	0,01116
C5-03	74,00	0,000076	0,003131	0,000525	0,0236	0,302	0,000050	12,97	0,00943	4,595	0,1009	0,00762
C5-04	122,95	0,000235	0,007185	0,002433	0,0362	0,965	0,000070	11,58	0,01826	4,517	0,0557	0,00925
C5-05	47,29	0,000037	0,000253	0,000337	0,0165	0,025	0,000020	8,05	0,01133	2,241	0,0133	0,00646
C5-06	33,84	0,000049	0,000394	0,000209	0,0089	0,010	0,000021	6,78	0,00801	1,506	0,0088	0,00292
C5-07	32,21	0,000046	0,000079	0,000269	0,0061	0,009	0,000026	6,30	0,00524	1,162	0,0040	0,00214
C5-08	89,20	0,001227	0,002156	0,001426	0,0212	0,265	0,000041	7,29	0,01427	2,810	0,0254	0,00452
C5-09	51,20	0,000047	0,000386	0,000136	0,0092	0,010	0,000910	6,81	0,00786	2,953	0,0154	0,00516
C5-10	28,36	0,000030	0,000481	0,000146	0,0057	0,003	<0,001838	3,72	0,00548	1,488	0,0105	0,00610
C5-11	78,75	0,000135	0,001309	0,000910	0,0179	0,058	0,000040	6,49	0,01362	2,850	0,0142	0,01305
C5-12	27,70	0,000031	0,000317	0,000205	0,0065	0,011	<0,000062	7,50	0,00568	1,095	0,0020	0,00360
C5-13	36,58	0,000051	0,000378	<0,000015	0,0067	<0,001	0,000137	6,63	0,00743	1,733	0,004	0,00326
C5-14	45,81	0,000196	0,000894	0,001113	0,0092	0,118	0,000903	1,56	0,02645	1,513	0,011	0,00232

Colonne de terrain C5

Rinçage	Na	Ni	P	Pb	S	Sb	Sc	Se	Si	Sn	Sr	Ti
	ICP-MS	ICP-MS	ICP-MS	ICP-MS	ICP-MS	ICP-MS	ICP-MS	ICP-MS	ICP-MS	ICP-MS	ICP-MS	ICP-MS
	mg/L	mg/L	mg/L	mg/L	mg/L	mg/L	mg/L	mg/L	mg/L	mg/L	mg/L	mg/L
<i>Limite de détection</i>	<i>variable</i>	<i>variable</i>	<i>variable</i>	<i>variable</i>	<i>variable</i>	<i>variable</i>	<i>variable</i>	<i>variable</i>	<i>variable</i>	<i>variable</i>	<i>variable</i>	<i>variable</i>
C5-01	18,22	0,05012	0,354	0,000525	34,47	0,003881	0,001530	0,001061	0,572	0,000827	0,2441	0,001245
C5-02	26,66	0,07290	0,513	0,000592	73,96	0,003055	0,002554	0,001471	0,830	0,000572	0,4209	0,002070
C5-03	9,31	0,04047	0,516	0,000146	70,28	0,000888	0,000514	0,000788	0,728	0,000392	0,2937	0,000390
C5-04	10,27	0,04571	1,265	0,000726	47,34	0,003231	0,000818	0,000676	1,827	0,000397	0,2555	0,002887
C5-05	4,04	0,00715	1,185	0,000113	41,50	0,003499	0,000321	0,000625	1,497	0,000490	0,1773	0,001036
C5-06	2,75	0,00864	0,890	<0,000018	26,07	0,001881	0,000217	0,000297	1,293	0,000188	0,1141	0,000436
C5-07	1,36	0,00210	0,736	0,000021	24,80	0,001483	0,000169	0,000225	1,076	0,000203	0,1030	0,000637
C5-08	5,53	0,01828	0,868	<0,000276	40,87	0,001799	0,000708	0,000764	1,387	<0,000158	0,1865	0,002198
C5-09	2,00	0,00674	1,147	0,000055	56,18	0,001833	0,000365	0,000955	1,614	0,001526	0,1996	0,000267
C5-10	1,28	0,00354	0,509	0,000034	31,28	0,000785	0,000296	0,000388	0,599	0,006042	0,1171	0,000256
C5-11	3,17	0,00939	0,027	0,000187	68,69	0,002126	0,002839	0,000405	1,409	0,008837	0,2519	0,001496
C5-12	1,17	0,00230	<0,001	0,000053	<9,548	0,001188	0,001007	0,000895	0,742	0,012104	0,1032	0,000563
C5-13	1,47	0,00267	<0,001	0,000084	28,50	0,001570	0,001635	<0,000959	2,015	0,000085	0,134	0,000592
C5-14	2,75	0,00726	0,038	0,000484	10,32	0,000892	0,000086	0,000507	0,520	0,000301	0,125	0,001265

Colonne de terrain C5

Rinçage	Tl	U	V	Zn	Notes
	ICP-MS	ICP-MS	ICP-MS	ICP-MS	
	mg/L	mg/L	mg/L	mg/L	
<i>Limite de détection</i>	<i>variable</i>	<i>variable</i>	<i>variable</i>	<i>variable</i>	
C5-01	0,000045	0,0308	0,00151	0,0254	
C5-02	0,000045	0,0871	0,00348	0,0106	
C5-03	0,000080	0,0213	0,00046	0,0221	
C5-04	0,000053	0,0434	0,00256	0,0947	
C5-05	0,000055	0,0178	0,00167	0,0161	
C5-06	0,000041	0,0126	0,00120	0,0143	
C5-07	0,000052	0,0059	0,00230	0,0171	Données du pH terrain douteuses aux 7e et 8e échantillonnages.
C5-08	0,000046	0,0141	0,00988	0,0703	Pas d'analyses Acidité/Alcalinité. Données du pH terrain douteuses aux 7e et 8e échantillonnages.
C5-09	0,000053	0,0302	0,00152	0,0202	Sonde de terrain défectueuse.
C5-10	0,000027	0,0154	0,00102	0,0281	
C5-11	0,000064	0,0191	0,00241	0,0243	
C5-12	0,000046	0,0055	0,00200	0,0108	Mauvaise balance ionique avec S(ICP), utiliser résultat en SO4.
C5-13	0,000054	0,0082	0,00238	0,0289	
C5-14	0,000044	0,0060	0,00233	0,0639	Mauvaise balance ionique avec S(ICP), utiliser résultat en SO4.

Colonne de terrain C6 Description: C6 - I2J;BR Sélevé (high-sulphur brecciated diorite (Unit I2J;BR))
 Masse (kg) : 98,92
 Début de l'essai : 2021-09-14
 Type de test : Colonne de 1m avec stériles (carottes de forage)

Rinçage	#Ech H2Lab	Date	Temps	Volume recueilli	Température terrain	pH terrain	Conductivité	ORP	Eh	Acidité	Alcalinité	COD
			j	ml	°C		µS/cm	mv	mv	mg CaCO3/L	mg CaCO3/L	mg/L
					Sonde terrain	Sonde terrain	Sonde terrain	Sonde terrain	Calcul	Titrage	Titrage	IR
					0,1	0,01	1	0,1		2	2	0,2
C6-01	325900	2021-10-26	42	8917	1,7	7,45	451	-33	193	5	47	32,1
C6-02	327217	2021-11-09	56	1080	4,5	7,63	528	-43	180	4	52	19
C6-03	2339308	2022-05-17	245	6846	8,3	7,40	253	195	415	4	39	9,0
C6-04	2341964	2022-06-14	273	4828	18,0	7,47	445	80	291	19	37	
C6-05	2344706	2022-07-12	301	2810	15,6	7,60	327	-49	164	4	35	
C6-06	2347841	2022-08-09	329	7019	12,4	7,22	211	82	298	<2	18	
C6-07	2350501	2022-09-06	357	1542	17,4	6,46	165	212	424	19	21	
C6-08	2353542	2022-10-06	387	908	9,5	8,33	184	82	300			
C6-09	2356226	2022-11-01	413	1888	8,4	7,57		-46	173	4	26	
C6-10	2369171	2023-05-02	595	13200	7,3	7,00	231	4	225	7	25	
C6-11	2378284	2023-07-04	658	3000	26,0	7,98	565	403	607	5	28	
C6-12	2383367	2023-08-08	693	9400	17,4	7,96	233	60	271	3	20	
C6-13	2387179	2023-09-05	721	5300	21,3	7,96	292	-69	139	5	21	
C6-14	2392120	2023-10-03	749	3600	12,9	7,34	192	-35	180	3	18	

Colonne de terrain C6

Rinçage	Cl ⁻	F ⁻	SO ₄ ²⁻	S ₂ O ₃ ²⁻	ΣS	Ag	Al	As	B	Ba	Be	Bi
	C.Ion.	C.Ion.	C.Ion.	C.Ion.	Calcul	ICP-MS	ICP-MS	ICP-MS	ICP-MS	ICP-MS	ICP-MS	ICP-MS
	mg/L	mg/L	mg/L	mg/L	mg/L	mg/L	mg/L	mg/L	mg/L	mg/L	mg/L	mg/L
<i>Limite de détection</i>	0,5	0,02	0,6	0,02		<i>variable</i>	<i>variable</i>	<i>variable</i>	<i>variable</i>	<i>variable</i>	<i>variable</i>	<i>variable</i>
C6-01	53,5	0,4	271,0	<0,02	90,0	0,000659	0,0492	0,001004	0,0518	0,03306	0,000005	0,000083
C6-02	14,1	0,28	338,0	<0,02	112,2	0,000542	0,0303	0,000911	0,0351	0,02468	0,000005	0,000053
C6-03	4,5	0,13	133,0	<0,02	44,2	0,000010	0,4766	0,002388	0,0285	0,01583	0,000040	0,000013
C6-04	1	0,11	241	<0,02	80,0	0,000008	0,0415	0,000646	0,0415	0,02458	<0,000033	<0,000013
C6-05	1,3	0,09	165,0	<0,02	54,8	0,000002	0,0620	0,001086	0,0368	0,02248	<0,000009	0,000011
C6-06	0,6	0,07	127,0	<0,02	42,2	<0,000004	0,1624	0,001083	0,0250	0,01860	<0,000024	0,000021
C6-07	< 0,5	0,06	76,3	< 0,02	25,3	<0,000004	0,0635	0,000431	0,0164	0,01332	<0,000024	<0,000006
C6-08	1,0	0,07	147,0	0,19	48,9	<0,000044	0,5856	0,000497	0,0127	0,01844	<0,000437	0,000066
C6-09	1,8	0,11	207,0	<0,02	68,7	<0,000002	0,0194	0,000544	0,0373	0,02564	<0,000033	0,000023
C6-10	0,8	0,06	136	<0,02	45,2	<0,000007	0,0093	0,000287	0,0117	0,01128	0,000003	0,000002
C6-11	1,9	0,07	195	< 0,02	64,7	<0,000006	0,0775	0,000546	0,0337	0,02580	<0,000004	0,000004
C6-12	0,5	0,05	85,6	< 0,02	28,4	0,000003	0,0336	0,000395	0,0187	0,01617	<0,000003	0,000004
C6-13	< 0,5	0,07	120,0	< 0,02	39,8	<0,000004	0,028	0,000416	0,0236	0,01524	<0,000003	<0,000004
C6-14	< 0,5	0,03	83,8	< 0,02	27,8	<0,000007	0,071	0,000350	0,0137	0,01526	0,000019	0,000026

Colonne de terrain C6

Rinçage	Ca	Cd	Co	Cr	Cu	Fe	Hg	K	Li	Mg	Mn	Mo
	ICP-MS	ICP-MS	ICP-MS	ICP-MS	ICP-MS	ICP-MS	ICP-MS	ICP-MS	ICP-MS	ICP-MS	ICP-MS	ICP-MS
	mg/L	mg/L	mg/L	mg/L	mg/L	mg/L	mg/L	mg/L	mg/L	mg/L	mg/L	mg/L
<i>Limite de détection</i>	<i>variable</i>	<i>variable</i>	<i>variable</i>	<i>variable</i>	<i>variable</i>	<i>variable</i>	<i>variable</i>	<i>variable</i>	<i>variable</i>	<i>variable</i>	<i>variable</i>	<i>variable</i>
C6-01	41,58	0,000220	0,005291	0,001478	0,0615	0,160	0,001561	22,85	0,01480	10,052	0,1189	0,01280
C6-02	51,29	0,000185	0,006121	0,000957	0,0399	0,115	0,001351	24,14	0,01474	9,839	0,1150	0,00902
C6-03	80,76	0,000287	0,016277	0,001811	0,0523	1,884	0,000022	8,99	0,01110	4,333	0,1249	0,00631
C6-04	88,73	0,000032	0,000456	0,000357	0,0175	0,018	0,000212	17,37	0,01143	4,150	0,0348	0,00805
C6-05	67,37	0,000030	0,000270	0,000306	0,0154	0,025	0,000041	12,68	0,01233	2,541	0,0139	0,00639
C6-06	75,24	0,000333	0,000206	0,000759	0,0167	0,061	0,000045	9,79	0,02291	1,833	0,0053	0,00329
C6-07	39,32	0,000192	0,000073	0,000319	0,0060	0,017	0,000035	7,31	0,00795	1,024	0,0037	0,00199
C6-08	75,83	0,000216	0,000390	0,000372	0,0097	0,021	0,000041	9,38	0,00906	2,193	0,0109	0,00276
C6-09	66,11	0,000034	0,000450	0,000194	0,0077	0,011	0,001445	10,30	0,01410	2,874	0,0139	0,00344
C6-10	40,98	0,000032	0,000352	<0,000019	0,0053	0,002	<0,001838	5,84	0,00575	1,361	0,0117	0,00472
C6-11	86,22	0,000146	0,000974	0,000438	0,0124	0,026	0,000048	8,79	0,01367	2,413	0,0030	0,00627
C6-12	31,88	0,000048	0,000428	0,000160	0,0057	0,069	0,000064	10,64	0,00672	1,025	0,0014	0,00228
C6-13	45,62	0,000022	0,000443	<0,000015	0,0049	0,006	0,000202	9,69	0,00846	1,645	0,001	0,00242
C6-14	26,38	0,000060	0,000166	0,000218	0,0039	0,026	0,000615	1,99	0,00771	1,077	0,003	0,00124

Colonne de terrain C6

Rinçage	Na	Ni	P	Pb	S	Sb	Sc	Se	Si	Sn	Sr	Ti
	ICP-MS	ICP-MS	ICP-MS	ICP-MS	ICP-MS	ICP-MS	ICP-MS	ICP-MS	ICP-MS	ICP-MS	ICP-MS	ICP-MS
	mg/L	mg/L	mg/L	mg/L	mg/L	mg/L	mg/L	mg/L	mg/L	mg/L	mg/L	mg/L
<i>Limite de détection</i>	<i>variable</i>	<i>variable</i>	<i>variable</i>	<i>variable</i>	<i>variable</i>	<i>variable</i>	<i>variable</i>	<i>variable</i>	<i>variable</i>	<i>variable</i>	<i>variable</i>	<i>variable</i>
C6-01	35,70	0,08867	0,628	0,000280	88,43	0,002475	0,002738	0,002726	0,914	0,001167	0,4424	0,002100
C6-02	26,80	0,06973	0,617	0,000170	111,84	0,001302	0,002897	0,001783	0,983	0,000730	0,4825	0,001635
C6-03	14,21	0,09262	0,624	0,000784	49,83	0,001723	0,000610	0,000702	0,628	0,001354	0,2357	0,000993
C6-04	6,58	0,01994	1,183	0,000053	77,59	0,001372	0,000584	0,000952	1,844	0,000567	0,3136	0,000574
C6-05	4,04	0,01202	1,198	0,000782	59,96	0,001085	0,000385	0,000905	1,695	0,000564	0,2132	0,002750
C6-06	3,83	0,00835	0,968	0,000455	44,86	0,000560	0,000343	0,000470	1,879	0,000117	0,1630	0,002468
C6-07	1,32	0,00438	0,864	0,000079	28,34	0,000362	0,000209	0,000388	1,263	0,000190	0,0936	0,000729
C6-08	3,04	0,00875	0,711	<0,000276	51,56	0,000344	0,000507	0,000846	1,346	<0,000158	0,1656	0,000673
C6-09	1,88	0,01719	1,185	0,000076	74,43	0,000496	0,000442	0,001552	1,712	0,000867	0,2083	0,000290
C6-10	1,22	0,01005	0,508	0,000023	50,61	0,000270	0,000375	0,000458	0,585	0,005011	0,1412	0,000192
C6-11	2,51	0,01221	0,017	0,000158	91,76	0,000580	0,002745	0,000796	1,219	0,008658	0,2308	0,001298
C6-12	1,01	0,00543	0,003	0,000051	<9,548	0,000303	0,001022	0,001452	0,673	0,012901	0,0917	0,002329
C6-13	1,41	0,00660	<0,001	0,000400	57,72	0,000371	0,001662	<0,000959	1,850	0,000125	0,123	0,000643
C6-14	1,03	0,00546	<0,020	0,000144	11,47	0,000314	0,000053	0,000495	0,486	0,000148	0,094	0,000276

Colonne de terrain C6

Rinçage	Tl	U	V	Zn	Notes
	ICP-MS	ICP-MS	ICP-MS	ICP-MS	
	mg/L	mg/L	mg/L	mg/L	
<i>Limite de détection</i>	<i>variable</i>	<i>variable</i>	<i>variable</i>	<i>variable</i>	
C6-01	0,000098	0,0233	0,00277	0,0168	
C6-02	0,000094	0,0301	0,00355	0,0138	
C6-03	0,000046	0,0508	0,00125	0,0781	
C6-04	0,000103	0,0154	0,00082	0,0171	
C6-05	0,000120	0,0059	0,00091	0,0130	
C6-06	0,000106	0,0036	0,00119	0,0284	
C6-07	0,000093	0,0015	0,00086	0,0158	Données du pH terrain douteuses aux 7e et 8e échantillonnages.
C6-08	0,000099	0,0032	0,00384	0,0217	Pas d'analyses Acidité/Alcalinité. Données du pH terrain douteuses aux 7e et 8e échantillonnages.
C6-09	0,000095	0,0069	0,00051	0,0232	Sonde de terrain défectueuse.
C6-10	0,000045	0,0055	0,00041	0,0269	
C6-11	0,000121	0,0036	0,00129	0,0185	
C6-12	0,000084	0,0013	0,00084	0,0079	Mauvaise balance ionique avec S(ICP), utiliser résultat en SO4.
C6-13	0,000095	0,0016	0,00096	0,0298	
C6-14	0,000097	0,0012	0,00057	0,0396	Mauvaise balance ionique avec S(ICP), utiliser résultat en SO4.

Colonne de terrain C7 Description: C7 - V Sélevé (high-sulphur undifferentiated volcanics (Unit V))
 Masse (kg) : 76,93
 Début de l'essai : 2021-09-14
 Type de test : Colonne de 1m avec stériles (carottes de forage)

Rinçage	#Ech H2Lab	Date	Temps	Volume recueilli	Température terrain	pH terrain	Conductivité	ORP	Eh	Acidité	Alcalinité	COD
			j	ml	°C		µS/cm	mv	mv	mg CaCO3/L	mg CaCO3/L	mg/L
					Sonde terrain	Sonde terrain	Sonde terrain	Sonde terrain	Calcul	Titrage	Titrage	IR
					0,1	0,01	1	0,1		2	2	0,2
C7-01	325901	2021-10-26	42	5924	1,4	7,64	271	-43	183	5	64	42,0
C7-02	327218	2021-11-09	56	1081	4,5	7,99	230	-62	161	134	<2	16,8
C7-03	2339309	2022-05-17	245	6558	8,3	7,47	142	191	411	4	46	7,7
C7-04	2341965	2022-06-14	273	4540	18,5	7,62	171	61	272	17	43	
C7-05	2344707	2022-07-12	301	3099	16,0	7,63	144	-52	161	4	33	
C7-06	2347843	2022-08-09	329	6558	11,6	7,39	108	67	284	<2	22	
C7-07	2350503	2022-09-06	357	1254	19,8	6,56	62	212	421	11	20	
C7-08	2353543	2022-10-06	387	562	11,4	8,31	74	107	324			
C7-09 (correction)	2356227	2022-11-01	413	1600	7,4	7,58		-48	172			
C7-10	2369172	2023-05-02	595	12000	7,5	7,77	160	-26	195	4	28	
C7-11	2378285	2023-07-04	658	1600	29,9	7,96	357	447	647	5	28	
C7-12	2383368	2023-08-08	693	8000	17,4	7,87	185	66	277	3	20	
C7-13	2387180	2023-09-05	721	4900	20,1	7,92	266	-68	141	5	25	
C7-14	2392121	2023-10-03	749	3300	12,9	7,36	163	-36	179	3	19	

Colonne de terrain C7

Rinçage	Cl ⁻	F ⁻	SO ₄ ²⁻	S ₂ O ₃ ²⁻	ΣS	Ag	Al	As	B	Ba	Be	Bi
	C.Ion.	C.Ion.	C.Ion.	C.Ion.	Calcul	ICP-MS	ICP-MS	ICP-MS	ICP-MS	ICP-MS	ICP-MS	ICP-MS
	mg/L	mg/L	mg/L	mg/L	mg/L	mg/L	mg/L	mg/L	mg/L	mg/L	mg/L	mg/L
<i>Limite de détection</i>	0,5	0,02	0,6	0,02		<i>variable</i>	<i>variable</i>	<i>variable</i>	<i>variable</i>	<i>variable</i>	<i>variable</i>	<i>variable</i>
C7-01	13,6	0,8	160,0	0,92	53,6	0,000346	0,0338	0,000654	0,0360	0,03167	0,000005	0,000014
C7-02	3,3	0,19	276,0	0,27	91,8	0,000212	0,0237	0,000460	0,0251	0,01793	0,000005	0,000011
C7-03	4,2	0,11	51,7	<0,02	17,2	0,000007	0,1336	0,000395	0,0195	0,01298	<0,000012	<0,000009
C7-04	0,8	0,08	61,6	<0,02	20,5	0,000003	0,1573	0,000475	0,0278	0,01636	<0,000033	<0,000013
C7-05	0,6	0,05	60,9	<0,02	20,2	0,000003	0,5689	0,000778	0,0221	0,03122	<0,000009	0,000014
C7-06	0,5	0,05	54,3	<0,02	18,0	<0,000004	0,1907	0,000643	0,0248	0,01865	<0,000024	<0,000006
C7-07	<0,5	0,05	23,6	0,15	7,9	<0,000004	0,1638	0,000488	0,0151	0,01275	<0,000024	<0,000006
C7-08	<0,5	0,03	54,5	0,17	18,2	<0,000044	0,0123	0,000313	<0,002666	0,00756	<0,000437	<0,000016
C7-09 (correction)	1,0	0,05	165,0	<0,02	54,8	<0,000002	0,0157	0,000540	0,0276	0,03723	<0,000033	<0,000003
C7-10	1,1	0,04	75,2	<0,02	25,0	<0,000007	0,0062	0,000324	0,0136	0,01201	0,000003	0,000002
C7-11	0,9	0,04	103	< 0,02	34,2	<0,000006	0,0495	0,000455	0,0270	0,01983	<0,000004	0,000002
C7-12	2,9	0,03	62,3	< 0,02	20,7	0,000004	0,0217	0,000309	0,0175	0,01421	<0,000003	<0,000002
C7-13	0,5	0,05	110,0	< 0,02	36,5	0,000004	0,024	0,000434	0,0338	0,01722	0,000004	<0,000004
C7-14	< 0,5	0,02	68,1	< 0,02	22,6	<0,000007	0,106	0,000291	0,0178	0,01663	0,000006	0,000030

Colonne de terrain C7

Rinçage	Ca	Cd	Co	Cr	Cu	Fe	Hg	K	Li	Mg	Mn	Mo
	ICP-MS	ICP-MS	ICP-MS	ICP-MS	ICP-MS	ICP-MS	ICP-MS	ICP-MS	ICP-MS	ICP-MS	ICP-MS	ICP-MS
	mg/L	mg/L	mg/L	mg/L	mg/L	mg/L	mg/L	mg/L	mg/L	mg/L	mg/L	mg/L
<i>Limite de détection</i>	<i>variable</i>	<i>variable</i>	<i>variable</i>	<i>variable</i>	<i>variable</i>	<i>variable</i>	<i>variable</i>	<i>variable</i>	<i>variable</i>	<i>variable</i>	<i>variable</i>	<i>variable</i>
C7-01	31,77	0,000977	0,006975	0,000566	0,0554	0,038	0,001886	15,26	0,01567	7,052	0,0765	0,02868
C7-02	19,49	0,000455	0,003861	0,000383	0,0308	0,029	0,001459	12,18	0,01384	4,532	0,0562	0,01620
C7-03	41,57	0,000182	0,003703	0,000683	0,0212	0,489	0,000021	7,00	0,00921	2,884	0,0684	0,00953
C7-04	52,35	0,000129	0,001028	0,000594	0,0144	0,171	0,000082	7,89	0,01058	2,866	0,0384	0,01100
C7-05	96,76	0,000253	0,002605	0,001722	0,0161	0,211	0,000018	6,33	0,01431	2,653	0,0314	0,00712
C7-06	52,04	0,000386	0,000616	0,000688	0,0092	0,082	0,000029	7,05	0,01133	2,131	0,0197	0,00538
C7-07	36,85	0,000193	0,000131	0,000873	0,0082	0,067	<0,000021	4,16	0,01286	0,972	0,0069	0,00179
C7-08	24,08	0,000193	<0,000072	<0,000217	0,0059	<0,002	0,000027	3,89	0,00454	1,558	0,0274	0,00151
C7-09 (correction)	49,97	0,000328	0,000281	0,000061	0,0050	0,004	0,000749	6,97	0,01072	4,314	0,0404	0,00457
C7-10	24,12	0,000116	0,000237	0,000024	0,0036	0,004	<0,001838	4,11	0,00799	2,263	0,0299	0,00467
C7-11	44,99	0,000146	0,000655	0,000195	0,0063	0,017	0,000013	4,74	0,01185	3,078	0,0189	0,00539
C7-12	24,37	0,000099	0,000265	0,000842	0,0031	0,013	<0,000062	6,86	0,00644	1,728	0,0020	0,00270
C7-13	39,01	0,000189	0,000413	<0,000015	0,0036	0,005	0,000104	7,46	0,01062	3,172	0,002	0,00346
C7-14	24,20	0,000198	0,000335	0,000361	0,0042	0,052	0,000410	1,45	0,01120	1,926	0,005	0,00180

Colonne de terrain C7

Rinçage	Na	Ni	P	Pb	S	Sb	Sc	Se	Si	Sn	Sr	Ti
	ICP-MS	ICP-MS	ICP-MS	ICP-MS	ICP-MS	ICP-MS	ICP-MS	ICP-MS	ICP-MS	ICP-MS	ICP-MS	ICP-MS
	mg/L	mg/L	mg/L	mg/L	mg/L	mg/L	mg/L	mg/L	mg/L	mg/L	mg/L	mg/L
<i>Limite de détection</i>	<i>variable</i>	<i>variable</i>	<i>variable</i>	<i>variable</i>	<i>variable</i>	<i>variable</i>	<i>variable</i>	<i>variable</i>	<i>variable</i>	<i>variable</i>	<i>variable</i>	<i>variable</i>
C7-01	17,38	0,13002	0,921	0,006125	55,97	0,001668	0,002257	0,005954	1,278	0,000434	0,2798	0,001420
C7-02	12,16	0,08169	0,829	0,002208	86,67	0,001058	0,001841	0,003142	1,299	0,000272	0,1813	0,001255
C7-03	7,00	0,04606	0,676	0,000698	19,87	0,000814	0,000279	0,001600	0,835	0,000703	0,1200	0,000455
C7-04	5,66	0,02236	1,025	0,000281	20,48	0,001093	0,000387	0,001953	1,479	0,000203	0,1255	0,001589
C7-05	6,57	0,01834	0,984	0,000526	22,85	0,000821	0,000503	0,001694	1,308	0,000320	0,1455	0,001229
C7-06	4,57	0,01127	0,890	0,000278	19,06	0,000530	0,000261	0,001965	1,343	0,000069	0,1079	0,001080
C7-07	2,22	0,00304	0,747	0,000248	8,24	0,000285	0,000190	0,000628	1,004	0,000248	0,0590	0,001735
C7-08	1,23	0,00148	0,343	<0,000276	18,86	<0,000103	0,000188	0,001246	0,917	<0,000158	0,0776	0,000951
C7-09 (correction)	2,51	0,01316	1,157	0,000045	63,76	0,000470	0,000361	0,005740	1,593	0,001015	0,2035	0,000211
C7-10	1,87	0,00746	0,591	0,000030	30,00	0,000277	0,000261	0,001992	0,669	0,005702	0,1044	0,000377
C7-11	2,46	0,00687	0,007	0,000060	63,01	0,000467	0,001807	0,001956	1,112	0,008946	0,1493	0,000966
C7-12	1,32	0,00369	<0,001	0,000041	<9,548	0,000304	0,000818	0,002115	0,612	0,011250	0,0805	0,000606
C7-13	2,03	0,00532	<0,001	0,000054	65,30	0,000412	0,001780	0,001941	2,121	0,000136	0,134	0,000698
C7-14	1,53	0,00474	<0,020	0,000256	10,64	0,000238	0,000065	0,001368	0,353	0,000238	0,097	0,000740

Colonne de terrain C7

Rinçage	Tl	U	V	Zn	Notes
	ICP-MS	ICP-MS	ICP-MS	ICP-MS	
	mg/L	mg/L	mg/L	mg/L	
<i>Limite de détection</i>	<i>variable</i>	<i>variable</i>	<i>variable</i>	<i>variable</i>	
C7-01	0,000062	0,0656	0,00204	0,0519	
C7-02	0,000050	0,0741	0,00290	0,0317	
C7-03	0,000035	0,0500	0,00065	0,0405	
C7-04	0,000054	0,0421	0,00114	0,0360	
C7-05	0,000073	0,0165	0,00196	0,0798	Mauvaise balance ionique.
C7-06	0,000069	0,0174	0,00131	0,0291	
C7-07	0,000054	0,0017	0,00157	0,0425	Données du pH terrain douteuses aux 7e et 8e échantillonnages. Mauvaise balance ionique.
C7-08	0,000047	0,0025	0,00067	<0,004051	Pas d'analyses Acidité/Alcalinité. Données du pH terrain douteuses aux 7e et 8e échantillonnages.
C7-09 (correction)	0,000075	0,0259	0,00050	0,0298	Pas d'analyses Acidité/Alcalinité, Sonde de terrain défectueuse, ICP-MS: résultats révisés le 27 mars 2023.
C7-10	0,000033	0,0169	0,00053	0,0310	
C7-11	0,000062	0,0083	0,00107	0,0135	
C7-12	0,000059	0,0041	0,00089	0,0144	Mauvaise balance ionique avec S(ICP), utiliser résultat en SO4.
C7-13	0,000075	0,0080	0,00109	0,0257	
C7-14	0,000064	0,0058	0,00082	0,0922	Mauvaise balance ionique avec S(ICP), utiliser résultat en SO4.

Colonne de terrain C8 Description: C8 - I1 Sélevé (high-sulphur felsic intrusives (Unit I1))
 Masse (kg): 97,5
 Début de l'essai: 2021-09-14
 Type de test: Colonne de 1m avec stériles (carottes de forage)

Rinçage	#Ech H2Lab	Date	Temps	Volume recueilli	Température terrain	pH terrain	Conductivité	ORP	Eh	Acidité	Alcalinité	COD
					Sonde terrain	Sonde terrain	Sonde terrain	Sonde terrain	Calcul	Titrage	Titrage	IR
			j	ml	°C		µS/cm	mv	mv	mg CaCO3/L	mg CaCO3/L	mg/L
<i>Limite de détection</i>												
C8-01	325902	2021-10-26	42	7481	1,2	7,32	225	-26	200	6	47	40,6
C8-02	327219	2021-11-09	56	1081	4,0	7,93	264	-58	165	4	64	30,4
C8-03	2339310	2022-05-17	245	5232	12,0	7,21	143	201	417	4	40	11,1
C8-04	2341966	2022-06-14	273	4540	18,8	7,51	197	62	273	17	47	
C8-05	2344709	2022-07-12	301	3099	16,9	7,61	145	-50	162	4	36	
C8-06	2347844	2022-08-09	329	7538	12,0	8,24	79	65	282	<2	24	
C8-07	2350504	2022-09-06	357	1427	20,4	6,98	86	220	429	14	25	
C8-08	2353544	2022-10-06	387	965	12,2	9,87	113	119	335			
C8-09	2356228	2022-11-01	413	1715	8,5	7,81		-60	159	16	41	
C8-10	2369173	2023-05-02	595	11200	7,9	8,04	105	-29	191	4	35	
C8-11	2378286	2023-07-04	658	4300	31,4	7,77	487	582	781	4	23	
C8-12	2383369	2023-08-08	693	11700	17,4	8,24	104	44	255	3	21	
C8-13	2387181	2023-09-05	721	9400	20,6	7,84	88	-62	146	5	18	
C8-14	2392122	2023-10-03	749	5600	13,1	7,45	76	-41	175	2	21	

Colonne de terrain C8

Rinçage	Cl ⁻	F ⁻	SO ₄ ²⁻	S ₂ O ₃ ²⁻	ΣS	Ag	Al	As	B	Ba	Be	Bi
	C.Ion.	C.Ion.	C.Ion.	C.Ion.	Calcul	ICP-MS	ICP-MS	ICP-MS	ICP-MS	ICP-MS	ICP-MS	ICP-MS
	mg/L	mg/L	mg/L	mg/L	mg/L	mg/L	mg/L	mg/L	mg/L	mg/L	mg/L	mg/L
<i>Limite de détection</i>	0,5	0,02	0,6	0,02		<i>variable</i>	<i>variable</i>	<i>variable</i>	<i>variable</i>	<i>variable</i>	<i>variable</i>	<i>variable</i>
C8-01	14,3	0,37	119,0	<0,02	39,5	0,001911	0,0744	0,003036	0,0428	0,02726	0,000005	0,000474
C8-02	4,5	0,32	149,0	<0,02	49,5	0,001852	0,0456	0,003612	0,0366	0,01833	0,000005	0,000370
C8-03	1,7	0,12	56,5	<0,02	18,8	0,000030	0,4306	0,002223	0,0246	0,01336	0,000061	0,000076
C8-04	1,1	0,14	72,1	<0,02	23,9	0,000020	0,0514	0,003018	0,0328	0,01249	<0,000033	0,000018
C8-05	0,7	0,09	54,7	<0,02	18,2	0,000005	0,0490	0,003468	0,0261	0,01171	<0,000009	<0,00001
C8-06	<0,5	0,09	32,8	<0,02	10,9	<0,000004	0,0394	0,002129	0,0182	0,00819	<0,000024	<0,000006
C8-07	<0,5	0,08	27,2	<0,02	9,0	<0,000004	0,0425	0,002004	0,0188	0,00758	<0,000024	<0,000006
C8-08	0,7	0,09	58,1	0,20	19,4	<0,000044	<0,005	0,002278	<0,002666	0,00615	<0,000437	<0,000016
C8-09	1,1	0,13	90,4	<0,02	30,0							
C8-10	0,8	0,07	39	<0,02	13,0	<0,000007	0,0078	0,001546	0,0120	0,00614	0,000003	0,000003
C8-11	1,5	0,04	155	<0,02	51,5	<0,000006	0,0616	0,000377	0,0311	0,01889	0,000005	0,000006
C8-12	<0,5	0,06	23,6	<0,02	7,8	0,000004	0,0323	0,001412	0,0124	0,00585	<0,000003	0,000003
C8-13	<0,5	0,06	24,0	<0,02	8,0	0,000004	0,020	0,001193	0,0098	0,00437	0,000004	<0,000004
C8-14	<0,5	0,03	26,3	<0,02	8,7	<0,000007	0,022	0,001244	0,0092	0,00660	0,000004	0,000006

Colonne de terrain C8

Rinçage	Ca	Cd	Co	Cr	Cu	Fe	Hg	K	Li	Mg	Mn	Mo
	ICP-MS	ICP-MS	ICP-MS	ICP-MS	ICP-MS	ICP-MS	ICP-MS	ICP-MS	ICP-MS	ICP-MS	ICP-MS	ICP-MS
	mg/L	mg/L	mg/L	mg/L	mg/L	mg/L	mg/L	mg/L	mg/L	mg/L	mg/L	mg/L
<i>Limite de détection</i>	<i>variable</i>	<i>variable</i>	<i>variable</i>	<i>variable</i>	<i>variable</i>	<i>variable</i>	<i>variable</i>	<i>variable</i>	<i>variable</i>	<i>variable</i>	<i>variable</i>	<i>variable</i>
C8-01	26,10	0,000613	0,003954	0,001527	0,1218	0,279	0,000817	13,08	0,01399	4,494	0,1820	0,03661
C8-02	30,64	0,000565	0,004655	0,001144	0,1085	0,202	0,000857	16,47	0,01660	5,350	0,2243	0,03904
C8-03	56,38	0,000306	0,014808	0,001698	0,0737	1,742	0,000022	7,41	0,01134	3,401	0,1936	0,02085
C8-04	43,61	0,000099	0,000724	0,000578	0,0434	0,038	0,000080	9,85	0,01065	2,713	0,0999	0,03544
C8-05	28,50	0,000078	0,000300	0,000262	0,0276	0,019	0,000033	6,17	0,01076	1,540	0,0480	0,02869
C8-06	20,50	0,000074	0,000156	0,000383	0,0153	0,100	0,000039	5,77	0,00659	1,100	0,0271	0,01699
C8-07	17,38	0,000044	0,000075	0,000199	0,0108	0,015	0,000026	4,12	0,00443	0,768	0,0201	0,01019
C8-08	30,14	0,000114	0,000237	<0,000217	0,0145	<0,002	0,000081	4,76	0,00781	1,520	0,0615	0,01500
C8-09												
C8-10	18,12	0,000052	0,000410	0,000069	0,0130	0,003	<0,001838	3,65	0,00613	1,199	0,0372	0,02066
C8-11	60,11	0,000107	0,001033	0,000299	0,0151	0,025	0,000015	4,77	0,00966	2,265	0,0279	0,00318
C8-12	12,68	0,000040	0,000183	0,000167	0,0082	0,008	<0,000062	4,03	0,00399	0,556	0,0008	0,01012
C8-13	12,39	0,000049	0,000122	<0,000015	0,0060	<0,001	0,000202	2,45	0,00347	0,590	0,003	0,00834
C8-14	8,89	0,000083	0,000164	0,000078	0,0059	0,012	0,000985	1,93	0,00378	0,498	0,012	0,00717

Colonne de terrain C8

Rinçage	Na	Ni	P	Pb	S	Sb	Sc	Se	Si	Sn	Sr	Ti
	ICP-MS	ICP-MS	ICP-MS	ICP-MS	ICP-MS	ICP-MS	ICP-MS	ICP-MS	ICP-MS	ICP-MS	ICP-MS	ICP-MS
	mg/L	mg/L	mg/L	mg/L	mg/L	mg/L	mg/L	mg/L	mg/L	mg/L	mg/L	mg/L
<i>Limite de détection</i>	<i>variable</i>	<i>variable</i>	<i>variable</i>	<i>variable</i>	<i>variable</i>	<i>variable</i>	<i>variable</i>	<i>variable</i>	<i>variable</i>	<i>variable</i>	<i>variable</i>	<i>variable</i>
C8-01	12,90	0,03881	0,600	0,004003	38,04	0,003577	0,003289	0,002406	0,891	0,001169	0,2432	0,004436
C8-02	12,15	0,03189	0,638	0,002851	47,24	0,002616	0,003161	0,002016	1,018	0,000872	0,2703	0,002508
C8-03	10,01	0,07576	0,757	0,001463	25,57	0,001702	0,000773	0,000980	0,753	0,001599	0,1402	0,001311
C8-04	3,46	0,00874	1,369	0,000303	24,79	0,002757	0,000697	0,001187	1,862	0,000533	0,1487	0,001067
C8-05	1,89	0,00447	0,892	0,000245	18,59	0,002253	0,000276	0,000963	1,343	0,000350	0,1024	0,000551
C8-06	1,24	0,00262	0,889	0,000067	10,63	0,001487	0,000225	0,000578	1,424	0,000157	0,0694	0,001153
C8-07	0,70	0,00164	0,793	0,000074	8,77	0,001236	0,000157	0,000417	1,138	0,000181	0,0543	0,000298
C8-08	0,95	<0,000211	0,555	<0,000276	19,00	0,001030	0,000290	0,000882	1,253	<0,000158	0,0966	0,001792
C8-09												
C8-10	0,87	0,00224	0,660	0,001855	15,67	0,000888	0,000252	0,000738	0,757	0,004976	0,0774	0,000253
C8-11	1,72	0,01081	0,010	0,000135	12,54	0,000462	0,001969	0,000728	0,817	0,007235	0,1716	0,000781
C8-12	0,61	0,00239	<0,001	0,000062	<9,548	0,000787	0,000665	0,000560	0,604	0,013390	0,0456	0,000508
C8-13	0,71	0,00108	<0,001	0,000030	16,92	0,000778	0,000682	<0,000959	1,113	0,000129	0,040	0,000735
C8-14	0,38	0,00093	<0,020	0,000069	7,14	0,000634	0,000054	<0,000535	0,427	0,000194	0,044	0,000381

Colonne de terrain C8

Rinçage	Tl	U	V	Zn	Notes
	ICP-MS	ICP-MS	ICP-MS	ICP-MS	
	mg/L	mg/L	mg/L	mg/L	
<i>Limite de détection</i>	<i>variable</i>	<i>variable</i>	<i>variable</i>	<i>variable</i>	
C8-01	0,000055	0,4065	0,00162	0,0464	
C8-02	0,000056	0,5752	0,00200	0,0227	
C8-03	0,000040	0,3259	0,00085	0,0866	
C8-04	0,000057	0,2730	0,00082	0,0279	
C8-05	0,000046	0,1574	0,00063	0,0459	
C8-06	0,000048	0,1006	0,00070	0,0264	
C8-07	0,000042	0,0771	0,00068	0,0214	Données du pH terrain douteuses aux 7e et 8e échantillonnages.
C8-08	0,000049	0,1282	0,00050	0,0826	Pas d'analyses Acidité/Alcalinité. Données du pH terrain douteuses aux 7e et 8e échantillonnages.
C8-09					Sonde de terrain défectueuse. Échantillon du CNRC (33 éléments) était vide suite à un bris.
C8-10	0,000027	0,1594	0,00052	0,0337	
C8-11	0,000134	0,0051	0,00084	0,0264	Mauvaise balance ionique avec S(ICP), utiliser résultat en SO4.
C8-12	0,000034	0,0517	0,00057	0,0082	
C8-13	0,000033	0,0416	0,00044	0,0306	
C8-14	0,000039	0,0473	0,00041	0,0556	

Colonne de terrain C9 Description: C9 - Minerai J4 Sélevé (high-sulphur composite J4 ore)
 Masse (kg): 98,33
 Début de l'essai: 2021-09-14
 Type de test: Colonne de 1m avec minerai (carottes de forage)

Rinçage	#Ech H2Lab	Date	Temps	Volume recueilli	Température terrain	pH terrain	Conductivité	ORP	Eh	Acidité	Alcalinité	COD
			j	ml	°C		µS/cm	mv	mv	mg CaCO3/L	mg CaCO3/L	mg/L
					Sonde terrain	Sonde terrain	Sonde terrain	Sonde terrain	Calcul	Titrage	Titrage	IR
					0,1	0,01	1	0,1		2	2	0,2
C9-01	325903	2021-10-26	42	9844	2,5	7,37	408	-28	196	5	42	25,9
C9-02	327220	2021-11-09	56	1081	4,9	7,86	418	-55	168	4	53	13,7
C9-03	2339311	2022-05-17	245	5866	9,4	7,45	240	227	446	4	35	6,7
C9-04	2341967	2022-06-14	273	5405	18,1	7,55	353	60	271	8	38	
C9-05	2344710	2022-07-12	301	2810	16,9	7,56	324	-47	165	4	34	
C9-06	2347845	2022-08-09	329	7250	13,1	7,78	180	68	284	<2	23	
C9-07	2350505	2022-09-06	357	1369	18,8	7,08	159	222	432	6	22	
C9-08	2353545	2022-10-06	387	1254	11,8	9,45	137	127	344			
C9-09	2356229	2022-11-01	413	1773	8,5	7,65		-52	168	4	27	
C9-10	2369174	2023-05-02	595	13400	7,7	7,64	170	-13	207	4	20	
C9-11	2378287	2023-07-04	658	2800	30,2	7,88	331	522	722	3	46	
C9-12	2383370	2023-08-08	693	10200	17,4	7,83	213	68	280	4	18	
C9-13	2387232	2023-09-05	721	5400	21,3	7,74	287	-57	151	5	18	
C9-14	2392124	2023-10-03	749	4900	12,9	7,27	152	-31	184	2	14	

Colonne de terrain C9

Rinçage	Cl ⁻	F ⁻	SO ₄ ²⁻	S ₂ O ₃ ²⁻	ΣS	Ag	Al	As	B	Ba	Be	Bi
	C.Ion.	C.Ion.	C.Ion.	C.Ion.	Calcul	ICP-MS	ICP-MS	ICP-MS	ICP-MS	ICP-MS	ICP-MS	ICP-MS
	mg/L	mg/L	mg/L	mg/L	mg/L	mg/L	mg/L	mg/L	mg/L	mg/L	mg/L	mg/L
<i>Limite de détection</i>	0,5	0,02	0,6	0,02		<i>variable</i>	<i>variable</i>	<i>variable</i>	<i>variable</i>	<i>variable</i>	<i>variable</i>	<i>variable</i>
C9-01	33,6	0,28	258,0	<0,02	85,7	0,000464	0,0352	0,000691	0,0575	0,03235	0,000005	0,000049
C9-02	5,6	0,27	279,0	<0,02	92,6	0,000317	0,0387	0,000463	0,0453	0,02014	0,000013	0,000038
C9-03	2,0	0,09	151,0	<0,02	50,1	0,000013	0,6132	0,000592	0,0318	0,01899	0,000040	0,000035
C9-04	1,4	0,11	181,0	<0,02	60,1	0,000010	0,5620	0,000664	0,0551	0,02743	<0,000033	0,000016
C9-05	1,3	0,09	157,0	<0,02	52,1	0,000008	0,7495	0,001102	0,0509	0,03608	<0,000009	<0,00001
C9-06	0,6	0,07	101,0	<0,02	33,5	<0,000004	0,0302	0,000375	0,0325	0,01240	<0,000024	<0,000006
C9-07	<0,5	0,06	69,5	0,10	23,1	<0,000004	0,0310	0,000298	0,0207	0,01051	<0,000024	<0,000006
C9-08	0,6	0,05	100,0	0,15	33,3	<0,000044	0,0731	0,000270	0,0036	0,00896	<0,000437	<0,000016
C9-09	3,2	0,1	246,0	<0,02	81,7	<0,000002	0,0156	0,000345	0,0475	0,02660	<0,000033	<0,000003
C9-10	0,7	0,05	96,0	<0,02	31,9	<0,000007	0,0048	0,000190	0,0170	0,00797	0,000003	0,000001
C9-11	1,4	0,1	76,2	<0,02	25,3	0,000012	0,0913	0,002914	0,0261	0,01463	<0,000004	0,000006
C9-12	<0,5	0,04	78,6	<0,02	26,1	0,000005	0,0220	0,000291	0,0245	0,00771	0,000006	0,000010
C9-13	0,6	0,05	125,0	<0,02	41,5	<0,000004	0,016	0,000255	0,0341	0,01484	0,000006	<0,000004
C9-14	<0,5	<0,02	67,3	<0,02	22,3	<0,000007	0,077	0,000167	0,0199	0,01136	0,000010	0,000017

Colonne de terrain C9

Rinçage	Ca	Cd	Co	Cr	Cu	Fe	Hg	K	Li	Mg	Mn	Mo
	ICP-MS	ICP-MS	ICP-MS	ICP-MS	ICP-MS	ICP-MS	ICP-MS	ICP-MS	ICP-MS	ICP-MS	ICP-MS	ICP-MS
	mg/L	mg/L	mg/L	mg/L	mg/L	mg/L	mg/L	mg/L	mg/L	mg/L	mg/L	mg/L
<i>Limite de détection</i>	<i>variable</i>	<i>variable</i>	<i>variable</i>	<i>variable</i>	<i>variable</i>	<i>variable</i>	<i>variable</i>	<i>variable</i>	<i>variable</i>	<i>variable</i>	<i>variable</i>	<i>variable</i>
C9-01	38,41	0,000269	0,005235	0,001056	0,0544	0,076	0,000414	20,75	0,01652	9,357	0,1147	0,00888
C9-02	41,06	0,000169	0,005957	0,000686	0,0397	0,088	0,000235	20,48	0,01474	8,275	0,1257	0,00660
C9-03	92,51	0,000388	0,021218	0,002046	0,0573	2,473	0,000011	10,95	0,01324	5,523	0,1784	0,00589
C9-04	120,29	0,000227	0,007013	0,002213	0,0340	0,887	0,000035	13,98	0,01878	4,651	0,0884	0,00773
C9-05	158,12	0,000271	0,005234	0,002359	0,0321	0,405	0,000022	13,06	0,02135	4,186	0,0515	0,00684
C9-06	44,47	0,000061	0,000207	0,000116	0,0083	0,051	<0,000021	9,22	0,00762	2,063	0,0168	0,00267
C9-07	30,06	0,000030	0,000083	0,000147	0,0077	0,004	<0,000021	7,24	0,00627	1,138	0,0077	0,00173
C9-08	44,61	0,000129	0,000359	<0,000217	0,0083	<0,002	0,000014	6,17	0,00628	2,125	0,0289	0,00152
C9-09	79,03	0,000100	0,000923	0,000205	0,0104	0,007	<0,000736	11,26	0,01200	4,483	0,0534	0,00275
C9-10	29,79	0,000038	0,000471	0,000025	0,0074	0,000	<0,001838	5,03	0,00644	1,373	0,0189	0,00312
C9-11	46,00	0,000166	0,000809	0,000564	0,0216	0,028	0,000044	3,93	0,01106	1,762	0,0380	0,03510
C9-12	30,54	0,000227	0,000353	0,000165	0,0073	0,011	<0,000062	8,11	0,00799	1,234	0,0028	0,00160
C9-13	42,47	0,000070	0,000409	<0,000015	0,0077	<0,001	0,000072	7,42	0,00844	1,984	0,006	0,00152
C9-14	21,78	0,000118	0,000470	0,000284	0,0088	0,040	<0,000213	1,28	0,00794	1,069	0,016	0,00072

Colonne de terrain C9

Rinçage	Na	Ni	P	Pb	S	Sb	Sc	Se	Si	Sn	Sr	Ti
	ICP-MS	ICP-MS	ICP-MS	ICP-MS	ICP-MS	ICP-MS	ICP-MS	ICP-MS	ICP-MS	ICP-MS	ICP-MS	ICP-MS
	mg/L	mg/L	mg/L	mg/L	mg/L	mg/L	mg/L	mg/L	mg/L	mg/L	mg/L	mg/L
<i>Limite de détection</i>	<i>variable</i>	<i>variable</i>	<i>variable</i>	<i>variable</i>	<i>variable</i>	<i>variable</i>	<i>variable</i>	<i>variable</i>	<i>variable</i>	<i>variable</i>	<i>variable</i>	<i>variable</i>
C9-01	27,28	0,06322	0,629	0,000272	81,34	0,002505	0,002455	0,005156	0,967	0,000683	0,3909	0,001524
C9-02	15,87	0,05064	0,704	0,000155	91,20	0,001467	0,002530	0,002734	1,100	0,000372	0,3870	0,002636
C9-03	15,22	0,11509	0,846	0,001018	56,05	0,001013	0,000560	0,001526	0,854	0,001932	0,2387	0,000844
C9-04	7,42	0,04617	1,423	0,000615	62,95	0,001673	0,000770	0,001982	1,751	0,000505	0,2768	0,002960
C9-05	8,95	0,03131	1,360	0,000924	57,52	0,001203	0,000758	0,002257	2,047	0,000210	0,2599	0,002405
C9-06	2,14	0,00544	0,978	0,000020	34,52	0,000755	0,000247	0,001306	1,759	0,000086	0,1307	0,000534
C9-07	0,94	0,00403	0,921	<0,000018	24,09	0,000456	0,000198	0,001033	1,285	0,000133	0,0880	0,000519
C9-08	1,29	0,00473	0,516	<0,000276	37,66	0,000295	0,000372	0,001223	1,091	<0,000158	0,1229	<0,000669
C9-09	1,94	0,02020	1,570	0,000054	88,75	0,000569	0,000533	0,005126	2,058	0,000741	0,2530	0,000415
C9-10	0,94	0,00832	0,584	0,000021	36,46	0,000294	0,000310	0,001022	0,682	0,005334	0,1069	0,000204
C9-11	1,86	0,00505	0,018	0,000146	<0,939	0,001760	0,002041	0,000471	1,168	0,006952	0,1406	0,000950
C9-12	0,85	0,00510	<0,001	0,000083	<9,548	0,000307	0,001022	0,001700	0,710	0,013560	0,0874	0,000810
C9-13	1,21	0,00727	<0,001	0,000026	<2,725	0,000387	0,001555	0,001510	1,922	0,000147	0,129	0,000498
C9-14	1,10	0,00618	<0,020	0,000131	10,52	0,000221	0,000062	0,001451	0,472	0,000066	0,082	0,000381

Colonne de terrain C9

Rinçage	Tl	U	V	Zn	Notes
	ICP-MS	ICP-MS	ICP-MS	ICP-MS	
	mg/L	mg/L	mg/L	mg/L	
<i>Limite de détection</i>	<i>variable</i>	<i>variable</i>	<i>variable</i>	<i>variable</i>	
C9-01	0,000173	0,0445	0,00244	0,0201	
C9-02	0,000171	0,0569	0,00296	0,0104	
C9-03	0,000125	0,0454	0,00096	0,0965	
C9-04	0,000163	0,0356	0,00157	0,1017	
C9-05	0,000178	0,0148	0,00221	0,0964	
C9-06	0,000157	0,0090	0,00064	0,0130	
C9-07	0,000126	0,0039	0,00069	0,0129	Données du pH terrain douteuses aux 7e et 8e échantillonnages.
C9-08	0,000096	0,0046	0,00087	0,0521	Pas d'analyses Acidité/Alcalinité. Données du pH terrain douteuses aux 7e et 8e échantillonnages.
C9-09	0,000179	0,0183	0,00047	0,0209	Sonde de terrain défectueuse.
C9-10	0,000072	0,0098	0,00036	0,0252	
C9-11	0,000061	0,1633	0,00112	0,0323	Mauvaise balance ionique avec S(ICP), utiliser résultat en SO4.
C9-12	0,000107	0,0025	0,00062	0,0287	Mauvaise balance ionique avec S(ICP), utiliser résultat en SO4.
C9-13	0,000153	0,0032	0,00069	0,0266	Mauvaise balance ionique avec S(ICP), utiliser résultat en SO4.
C9-14	0,000103	0,0016	0,00051	0,0935	

Colonne de terrain C10 Description: C10 - I2J Smoyen/Recirculé (mean-sulphur non-brecciated diorite (Unit I2J))
 Masse (kg) : 72,24
 Début de l'essai : 2021-09-14
 Type de test : Colonne de 1m avec stériles (carottes de forage)

Rinçage	#Ech H2Lab	Date	Temps	Volume recueilli	Température terrain	pH terrain	Conductivité	ORP	Eh	Acidité	Alcalinité	COD
			j	ml	°C		µS/cm	mv	mv	mg CaCO3/L	mg CaCO3/L	mg/L
					Sonde terrain	Sonde terrain	Sonde terrain	Sonde terrain	Calcul	Titrage	Titrage	IR
					0,1	0,01	1	0,1		2	2	0,2
C10-01	325904	2021-10-26	42	8691	2,5	7,68	280	-45	180	5	53	26,6
C10-02	327221	2021-11-09	56	1081	5,3	8,38	271	-83	139	<2	68	16,3
C10-03	2339312	2022-05-17	245	6789	8,3	7,55	113	207	427	3	33	5,4
C10-04	2341968	2022-06-14	273	5117	18,8	7,75	222	89	299	16	52	
C10-05	2344711	2022-07-12	301	2810	16,5	7,71	148	-56	156	4	42	
C10-06	2347846	2022-08-09	329	6904	13,3	7,49	105	61	276	<2	24	
C10-07	2350506	2022-09-06	357	1427	20,4	6,23	0	148	356	6	22	
C10-08	2353546	2022-10-06	387	389	6,5	9,96	134	115	336			
C10-09	2356230	2022-11-01	413	1196	8,8	7,80		-60	160	17	56	
C10-10												
C10-11	2378288	2023-07-04	658							3	42	
C10-12	2383371	2023-08-08	693	7200	18,0	8,31	165	46	257	< 2	34	
C10-13	2387234	2023-09-05	721	3000	21,6	8,19	205	-82	125	5	37	
C10-14	2392125	2023-10-03	749	2600	14,8	7,40	162	-38	176	< 2	31	
C10-13(avant-recirc)	2387233	2023-09-05	721		24,1	7,70	196			5	32	

Colonne de terrain C10

Rinçage	Cl ⁻	F ⁻	SO ₄ ²⁻	S ₂ O ₃ ²⁻	ΣS	Ag	Al	As	B	Ba	Be	Bi
	C. lon.	C. lon.	C. lon.	C. lon.	Calcul	ICP-MS	ICP-MS	ICP-MS	ICP-MS	ICP-MS	ICP-MS	ICP-MS
	mg/L	mg/L	mg/L	mg/L	mg/L	mg/L	mg/L	mg/L	mg/L	mg/L	mg/L	mg/L
<i>Limite de détection</i>	0,5	0,02	0,6	0,02		<i>variable</i>	<i>variable</i>	<i>variable</i>	<i>variable</i>	<i>variable</i>	<i>variable</i>	<i>variable</i>
C10-01	16,7	0,35	157,0	<0,02	52,1	0,000570	0,0468	0,001150	0,0406	0,03590	0,000005	0,000014
C10-02	1,9	0,37	132,0	<0,02	43,8	0,000425	0,0236	0,001165	0,0332	0,01897	0,000005	0,000011
C10-03	1,3	0,08	47,6	<0,02	15,8	0,000007	0,4502	0,000872	0,0145	0,01433	0,000036	0,000012
C10-04	1,3	0,13	78,5	<0,02	26,1	0,000018	0,7830	0,001600	0,0435	0,02782	<0,000033	0,000023
C10-05	< 0,5	0,07	55,1	<0,02	18,3	0,000002	1,3596	0,002094	0,0263	0,04304	0,000032	<0,00001
C10-06	< 0,5	0,07	45,1	<0,02	15,0	<0,000004	0,1713	0,001058	0,0246	0,01515	<0,000024	<0,000006
C10-07	< 0,5	0,04	34,8	<0,02	11,6	<0,000004	0,0615	0,000674	0,0099	0,01057	<0,000024	<0,000006
C10-08	< 0,5	0,03	26,4	0,19	8,9	<0,000044	0,7933	0,001015	<0,002666	0,00777	<0,000437	0,000080
C10-09	0,8	0,11	108,0	<0,02	35,9	0,000027	0,0956	0,000982	0,0424	0,02237	<0,000033	0,000014
C10-10												
C10-11	1,3	0,07	82	< 0,02	27,2	0,000010	0,1345	0,001050	0,0263	0,02172	0,000006	0,000008
C10-12	< 0,5	0,06	45	< 0,02	14,9	0,000003	0,0757	0,001186	0,0639	0,01601	0,000006	0,000006
C10-13	< 0,5	0,07	64,8	< 0,02	21,5	0,000012	0,094	0,001372	0,0266	0,01328	0,000004	0,000005
C10-14	< 0,5	0,04	56,2	< 0,02	18,7	<0,000007	0,100	0,001256	0,0200	0,01241	0,000005	0,000012
C10-13(avant-recirc)	< 0,5	0,07	55,3	< 0,02	18,4	<0,000004	0,046	0,001107	0,0231	0,01228	0,000005	<0,000004

Colonne de terrain C10

Rinçage	Ca	Cd	Co	Cr	Cu	Fe	Hg	K	Li	Mg	Mn	Mo
	ICP-MS	ICP-MS	ICP-MS	ICP-MS	ICP-MS	ICP-MS	ICP-MS	ICP-MS	ICP-MS	ICP-MS	ICP-MS	ICP-MS
	mg/L	mg/L	mg/L	mg/L	mg/L	mg/L	mg/L	mg/L	mg/L	mg/L	mg/L	mg/L
<i>Limite de détection</i>	<i>variable</i>	<i>variable</i>	<i>variable</i>	<i>variable</i>	<i>variable</i>	<i>variable</i>	<i>variable</i>	<i>variable</i>	<i>variable</i>	<i>variable</i>	<i>variable</i>	<i>variable</i>
C10-01	29,50	0,000209	0,003026	0,001469	0,0470	0,070	0,001003	17,53	0,01388	6,526	0,0211	0,02869
C10-02	24,81	0,000142	0,002590	0,001111	0,0389	0,057	0,000972	18,35	0,01439	5,829	0,0267	0,02035
C10-03	58,86	0,000265	0,015015	0,001593	0,0453	1,661	0,000016	6,83	0,00876	3,095	0,0868	0,01213
C10-04	135,95	0,000270	0,008444	0,003367	0,0400	1,235	0,000070	12,88	0,02076	4,908	0,0578	0,02919
C10-05	210,66	0,000511	0,007187	0,004324	0,0399	0,576	0,000038	8,98	0,02231	3,802	0,0372	0,01662
C10-06	46,76	0,000235	0,000399	0,000779	0,0127	0,070	0,000050	7,03	0,00938	1,740	0,0048	0,01253
C10-07	20,03	0,000025	0,000016	0,001398	0,0046	0,017	<0,000021	5,78	0,00475	0,839	0,0015	0,00464
C10-08	43,20	0,000868	0,001098	0,000773	0,0134	0,134	<0,0002	4,30	0,00866	1,279	0,0096	0,00446
C10-09	45,62	0,000068	0,001194	0,000542	0,0142	0,252	0,000910	7,50	0,00886	3,411	0,2003	0,01542
C10-10												
C10-11	46,70	0,000196	0,000868	0,000911	0,0145	0,052	0,000031	5,04	0,00990	2,285	0,0050	0,04118
C10-12	21,44	0,000039	0,000416	0,000310	0,0091	0,099	<0,000062	9,54	0,03340	1,276	0,0051	0,01479
C10-13	31,02	0,000542	0,000401	0,000270	0,0104	0,070	0,000346	9,06	0,00834	2,092	0,005	0,01889
C10-14	20,96	0,000061	0,000293	0,000342	0,0083	0,033	0,000985	1,92	0,00876	1,376	0,006	0,01182
C10-13(avant-recirc)	26,15	0,000040	0,000248	<0,000015	0,0064	<0,001	0,000280	7,41	0,00678	1,748	0,001	0,01591

Colonne de terrain C10

Rinçage	Na	Ni	P	Pb	S	Sb	Sc	Se	Si	Sn	Sr	Ti
	ICP-MS	ICP-MS	ICP-MS	ICP-MS	ICP-MS	ICP-MS	ICP-MS	ICP-MS	ICP-MS	ICP-MS	ICP-MS	ICP-MS
	mg/L	mg/L	mg/L	mg/L	mg/L	mg/L	mg/L	mg/L	mg/L	mg/L	mg/L	mg/L
<i>Limite de détection</i>	<i>variable</i>	<i>variable</i>	<i>variable</i>	<i>variable</i>	<i>variable</i>	<i>variable</i>	<i>variable</i>	<i>variable</i>	<i>variable</i>	<i>variable</i>	<i>variable</i>	<i>variable</i>
C10-01	18,29	0,02925	0,657	0,000166	50,43	0,002659	0,002104	0,001910	0,990	0,000469	0,2691	0,002518
C10-02	12,92	0,01965	0,733	0,000085	42,33	0,001497	0,002029	0,001049	1,155	0,000312	0,2206	0,001713
C10-03	9,56	0,07680	0,618	0,000698	20,86	0,000802	0,000362	0,000541	0,647	0,000951	0,1105	0,000927
C10-04	10,10	0,04703	1,552	0,000887	30,84	0,001833	0,000798	0,000760	1,981	0,000447	0,1930	0,004249
C10-05	12,14	0,03343	1,325	0,001413	23,82	0,001331	0,000935	0,000356	1,725	0,000299	0,2086	0,003073
C10-06	3,31	0,00472	0,888	0,000292	15,50	0,001081	0,000233	0,000329	1,373	0,000206	0,0935	0,001164
C10-07	0,82	0,00098	0,737	0,000019	10,95	0,000796	0,000139	0,000171	1,057	0,000170	0,0562	0,000306
C10-08	2,73	0,01047	0,482	<0,000276	9,66	0,000470	0,000337	0,000247	0,950	<0,000158	0,0711	0,001416
C10-09	2,36	0,00896	2,342	0,000195	34,87	0,001055	0,000529	0,000842	2,978	0,001031	0,1634	0,003492
C10-10												
C10-11	2,38	0,00547	0,025	0,000195	16,62	0,001087	0,001987	<0,000034	0,942	0,007274	0,1363	0,001086
C10-12	1,10	0,00195	0,013	0,000054	<9,548	0,000803	0,000939	<0,000548	0,744	0,010933	0,0718	0,003965
C10-13	1,68	0,00298	<0,001	0,000089	<2,725	0,001205	0,001426	<0,000959	2,143	0,000270	0,106	0,003136
C10-14	1,13	0,00216	<0,020	0,000108	9,37	0,000833	0,000067	0,000519	0,554	0,000135	0,099	0,000635
C10-13(avant-recirc)	1,29	0,00149	<0,001	0,000024	<2,725	0,001095	0,001222	<0,000959	1,816	0,000120	0,093	0,000552

Colonne de terrain C10

Rinçage	TI	U	V	Zn	Notes
	ICP-MS	ICP-MS	ICP-MS	ICP-MS	
	mg/L	mg/L	mg/L	mg/L	
<i>Limite de détection</i>	<i>variable</i>	<i>variable</i>	<i>variable</i>	<i>variable</i>	
C10-01	0,000049	0,0611	0,00220	0,0105	
C10-02	0,000045	0,0739	0,00235	0,0142	
C10-03	0,000038	0,0300	0,00103	0,0732	Mauvaise balance ionique.
C10-04	0,000053	0,0450	0,00272	0,1133	Mauvaise balance ionique.
C10-05	0,000046	0,0147	0,00412	0,1471	Mauvaise balance ionique.
C10-06	0,000047	0,0143	0,00192	0,0303	
C10-07	0,000045	0,0049	0,00137	0,0086	Données du pH terrain douteuses aux 7e et 8e échantillonnages.
C10-08	0,000029	0,0045	0,00534	0,0353	DÉBUT DE LA RECIRCULATION. Pas d'analyses Acidité/Alcalinité. Données du pH terrain douteuses aux 7e et 8e échantillonnages. Mauvaise balance ionique.
C10-09	0,000043	0,0264	0,00107	0,0494	Sonde de terrain défectueuse.
C10-10					Pas d'échantillon car la chaudière était percée.
C10-11	0,000053	0,0171	0,00158	0,0270	Oubli de la prise de mesure des paramètres physico chimique sur le terrain après-recirculation.
C10-12	0,000041	0,0077	0,00202	0,0048	Mauvaise balance ionique avec S(ICP), utiliser résultat en SO4.
C10-13	0,000069	0,0110	0,00250	0,0337	Mauvaise balance ionique avec S(ICP), utiliser résultat en SO4.
C10-14	0,000048	0,0088	0,00187	0,0998	Mauvaise balance ionique avec S(ICP), utiliser résultat en SO4.
C10-13(avant-recirc)	0,000048	0,0111	0,00189	0,0341	Pas de mesure de ORP. Mauvaise balance ionique avec S(ICP), utiliser résultat en SO4.

Colonne de terrain C11 Description: C11 - I2J;BR Smoyen/Recirculé (mean-sulphur brecciated diorite (Unit I2J;BR))
 Masse (kg) : 65,48
 Début de l'essai : 2021-09-14
 Type de test : Colonne de 1m avec stériles (carottes de forage)

Rinçage	#Ech H2Lab	Date	Temps	Volume recueilli	Température terrain	pH terrain	Conductivité	ORP	Eh	Acidité	Alcalinité	COD
					Sonde terrain	Sonde terrain	Sonde terrain	Sonde terrain	Calcul	Titrage	Titrage	IR
			j	ml	°C		µS/cm	mv	mv	mg CaCO3/L	mg CaCO3/L	mg/L
<i>Limite de détection</i>					0,1	0,01	1	0,1		2	2	0,2
C11-01	325905	2021-10-26	42	8864	3,6	7,54	266	-37	187	5	48	31,0
C11-02	327222	2021-11-09	56	1081	5,2	7,86	383	-54	168	4	77	29
C11-03	2339313	2022-05-17	245	7365	8,1	7,39	200	206	426	4	37	7,9
C11-04	2341969	2022-06-14	273	5405	18,7	7,79	261	97	308	17	46	
C11-05	2344724	2022-07-12	301	2666	17,0	7,64	216	-52	160	4	38	
C11-06	2347847	2022-08-09	329	7077	13,1	7,45	128	70	285	<2	22	
C11-07	2350507	2022-09-06	357	1484	20,6	7,11	95	220	429	14	21	
C11-08	2353547	2022-10-06	387	446	6,5	10,53	375	119	340			
C11-09	2356231	2022-11-01	413	1715	8,7	7,77		-59	161	6	47	
C11-10												
C11-11	2378289	2023-07-04	658							2	39	
C11-12	2383372	2023-08-08	693	7600	17,9	8,28	175	51	262	3	26	
C11-13	2387236	2023-09-05	721	3200	25,0	8,20	230	-83	121	5	30	
C11-14	2392126	2023-10-03	749	2700	14,8	7,44	185	-40	173	< 2	26	
C11-13(avant-recirc)	2387235	2023-09-05	721		24,8	7,50	208			5	28	

Colonne de terrain C11

Rinçage	Cl ⁻	F ⁻	SO ₄ ²⁻	S ₂ O ₃ ²⁻	ΣS	Ag	Al	As	B	Ba	Be	Bi
	C. lon.	C. lon.	C. lon.	C. lon.	Calcul	ICP-MS	ICP-MS	ICP-MS	ICP-MS	ICP-MS	ICP-MS	ICP-MS
	mg/L	mg/L	mg/L	mg/L	mg/L	mg/L	mg/L	mg/L	mg/L	mg/L	mg/L	mg/L
<i>Limite de détection</i>	0,5	0,02	0,6	0,02		<i>variable</i>	<i>variable</i>	<i>variable</i>	<i>variable</i>	<i>variable</i>	<i>variable</i>	<i>variable</i>
C11-01	35,5	0,43	138,0	<0,02	45,8	0,000701	0,0511	0,002264	0,0316	0,03269	0,000005	0,000020
C11-02	16,2	0,41	214,0	<0,02	71,1	0,000877	0,0388	0,003673	0,0425	0,01999	0,000005	0,000023
C11-03	2,3	0,12	112,0	<0,02	37,2	0,000013	0,6793	0,002131	0,0256	0,01775	0,000061	0,000018
C11-04	1,1	0,12	117	<0,02	38,8	0,000006	0,0477	0,002961	0,0426	0,01335	<0,000033	<0,000013
C11-05	1,3	0,09	91,4	<0,02	30,3	0,000003	0,2657	0,003844	0,0316	0,01872	<0,000009	<0,00001
C11-06	<0,5	0,08	61,8	<0,02	20,5	<0,000004	0,1454	0,002812	0,0239	0,01179	<0,000024	<0,000006
C11-07	0,6	0,04	38,4	<0,02	12,8	<0,000004	0,0551	0,001968	0,0118	0,00913	<0,000024	<0,000006
C11-08	1,6	0,23	145,0	0,16	48,2	<0,000044	<0,005	0,003423	0,0105	0,01749	<0,000437	0,000081
C11-09	1,3	0,18	175,0	<0,02	58,1	0,000005	0,1414	0,002294	0,0578	0,01883	<0,000033	0,000004
C11-10												
C11-11	1,7	0,08	106	< 0,02	35,2	<0,000006	0,0925	0,002890	0,0289	0,01725	<0,000004	0,000004
C11-12	0,7	0,05	54,3	< 0,02	18,0	0,000004	0,0454	0,002242	0,0168	0,01269	0,000007	0,000006
C11-13	< 0,5	0,07	80,1	< 0,02	26,6	0,000011	0,072	0,002847	0,0230	0,01878	0,000003	0,000005
C11-14	0,5	0,06	71,3	< 0,02	23,7	<0,000007	0,148	0,002578	0,0183	0,01254	0,000012	0,000014
C11-13(avant-recirc)	< 0,5	0,07	70,1	< 0,02	23,3	0,000004	0,037	0,002370	0,0215	0,01055	0,000003	<0,000004

Colonne de terrain C11

Rinçage	Ca	Cd	Co	Cr	Cu	Fe	Hg	K	Li	Mg	Mn	Mo
	ICP-MS	ICP-MS	ICP-MS	ICP-MS	ICP-MS	ICP-MS	ICP-MS	ICP-MS	ICP-MS	ICP-MS	ICP-MS	ICP-MS
	mg/L	mg/L	mg/L	mg/L	mg/L	mg/L	mg/L	mg/L	mg/L	mg/L	mg/L	mg/L
<i>Limite de détection</i>	<i>variable</i>	<i>variable</i>	<i>variable</i>	<i>variable</i>	<i>variable</i>	<i>variable</i>	<i>variable</i>	<i>variable</i>	<i>variable</i>	<i>variable</i>	<i>variable</i>	<i>variable</i>
C11-01	29,64	0,000544	0,004991	0,001679	0,0757	0,108	0,000736	14,94	0,01036	5,843	0,0560	0,01435
C11-02	36,55	0,000452	0,007044	0,001767	0,0709	0,138	0,000600	19,90	0,01511	8,744	0,0853	0,01522
C11-03	86,50	0,000434	0,024430	0,002666	0,0695	2,740	0,000014	9,40	0,01264	5,095	0,1625	0,00914
C11-04	57,09	0,000030	0,000225	0,000644	0,0209	0,080	0,000048	11,33	0,00948	3,470	0,0076	0,01092
C11-05	80,51	0,000132	0,001371	0,000897	0,0180	0,112	0,000023	8,43	0,00981	2,641	0,0130	0,00970
C11-06	49,61	0,000523	0,000589	0,000894	0,0144	0,080	0,000050	6,68	0,00941	1,726	0,0048	0,00408
C11-07	22,70	0,000045	0,000017	0,000313	0,0061	0,010	<0,000021	5,00	0,00393	0,862	0,0017	0,00334
C11-08	60,04	0,000216	0,000622	0,000492	0,0109	<0,002	0,000054	8,64	0,00875	3,103	0,0040	0,00853
C11-09	71,25	0,000116	0,002020	0,000842	0,0164	0,419	0,000749	6,44	0,01181	4,409	0,4442	0,00522
C11-10												
C11-11	54,10	0,000082	0,000914	0,000610	0,0117	0,028	0,000027	5,05	0,01052	2,465	0,0031	0,01630
C11-12	23,91	0,000064	0,000435	0,000191	0,0065	0,027	<0,000062	7,32	0,00571	1,136	0,0065	0,00454
C11-13	32,56	0,000064	0,000536	0,000143	0,0101	0,091	0,000156	6,84	0,00830	1,751	0,010	0,00489
C11-14	25,90	0,000222	0,001019	0,000369	0,0090	0,050	0,000492	1,66	0,00871	1,335	0,013	0,00394
C11-13(avant-recirc)	30,07	0,000075	0,000297	<0,000015	0,0047	0,009	0,000143	6,01	0,00719	1,553	0,003	0,00426

Colonne de terrain C11

Rinçage	Na	Ni	P	Pb	S	Sb	Sc	Se	Si	Sn	Sr	Ti
	ICP-MS	ICP-MS	ICP-MS	ICP-MS	ICP-MS	ICP-MS	ICP-MS	ICP-MS	ICP-MS	ICP-MS	ICP-MS	ICP-MS
	mg/L	mg/L	mg/L	mg/L	mg/L	mg/L	mg/L	mg/L	mg/L	mg/L	mg/L	mg/L
<i>Limite de détection</i>	<i>variable</i>	<i>variable</i>	<i>variable</i>	<i>variable</i>	<i>variable</i>	<i>variable</i>	<i>variable</i>	<i>variable</i>	<i>variable</i>	<i>variable</i>	<i>variable</i>	<i>variable</i>
C11-01	21,04	0,07100	0,495	0,000654	43,29	0,002995	0,002142	0,001534	0,802	0,000757	0,2852	0,001830
C11-02	23,43	0,07090	0,683	0,000444	73,68	0,002690	0,002811	0,001465	1,070	0,000610	0,3796	0,002586
C11-03	16,07	0,12667	0,820	0,001108	44,45	0,001503	0,000627	0,000655	0,773	0,001981	0,2092	0,001122
C11-04	5,24	0,01024	1,367	0,000748	39,27	0,002866	0,000499	0,000579	1,830	0,000356	0,1925	0,001342
C11-05	4,92	0,01063	1,058	0,000220	32,91	0,002359	0,000377	0,000651	1,580	0,000366	0,1637	0,000851
C11-06	3,13	0,00668	0,930	0,000389	21,34	0,001468	0,000265	0,000368	1,493	0,000139	0,1128	0,001917
C11-07	1,04	0,00176	0,733	0,000075	12,91	0,001019	0,000153	0,000255	1,063	0,000254	0,0671	0,000587
C11-08	2,46	0,00412	0,819	<0,000276	48,41	0,002192	0,000854	0,001223	1,485	0,002876	0,2073	0,001555
C11-09	3,16	0,01373	3,945	0,000453	47,20	0,001119	0,000840	0,000619	4,851	0,000620	0,2363	0,001776
C11-10												
C11-11	2,17	0,00589	0,018	0,000113	32,02	0,001597	0,002270	<0,000034	1,168	0,007457	0,1842	0,001014
C11-12	0,89	0,00263	<0,001	0,000043	<9,548	0,000830	0,000908	<0,000548	0,726	0,011654	0,0788	0,001420
C11-13	1,43	0,00393	<0,001	0,087992	34,08	0,001199	0,001476	<0,000959	1,986	0,000319	0,117	0,002717
C11-14	1,16	0,00734	<0,020	0,000108	11,37	0,000867	0,000060	<0,000535	0,604	0,000108	0,119	0,000525
C11-13(avant-recirc)	1,19	0,00199	<0,001	0,000154	43,77	0,001133	0,001428	<0,000959	1,913	0,000112	0,106	0,000804

Colonne de terrain C11

Rinçage	TI	U	V	Zn	Notes
	ICP-MS	ICP-MS	ICP-MS	ICP-MS	
	mg/L	mg/L	mg/L	mg/L	
<i>Limite de détection</i>	<i>variable</i>	<i>variable</i>	<i>variable</i>	<i>variable</i>	
C11-01	0,000047	0,0368	0,00201	0,0166	
C11-02	0,000049	0,0742	0,00342	0,0133	
C11-03	0,000052	0,0394	0,00147	0,1046	
C11-04	0,000043	0,0310	0,00187	0,0196	
C11-05	0,000045	0,0146	0,00209	0,0558	
C11-06	0,000043	0,0093	0,00208	0,0247	
C11-07	0,000038	0,0036	0,00205	0,0146	Données du pH terrain douteuses aux 7e et 8e échantillonnages.
C11-08	0,000057	0,0142	0,00194	<0,004051	DÉBUT DE LA RECIRCULATION. Pas d'analyses Acidité/Alcalinité. Données du pH terrain douteuses aux 7e et 8e échantillonnages.
C11-09	0,000032	0,0180	0,00130	0,0556	Sonde de terrain défectueuse.
C11-10					Pas d'échantillon car la chaudière était percée.
C11-11	0,000044	0,0143	0,00239	0,0229	Oubli de la prise de mesure des paramètres physico chimique sur le terrain après-recirculation.
C11-12	0,000040	0,0041	0,00186	0,0056	Mauvaise balance ionique avec S(ICP), utiliser résultat en SO4.
C11-13	0,000055	0,0057	0,00243	0,0329	Pas de mesure de ORP.
C11-14	0,000041	0,0057	0,00218	0,0397	Mauvaise balance ionique avec S(ICP), utiliser résultat en SO4.
C11-13(avant-recirc)	0,000039	0,0063	0,00202	0,0274	Pas de mesure de ORP.

Colonne de terrain C12 Description: C12 - Stériles oxydés J4 (heavily oxidized J4 waste rock)
Masse (kg) : 260,7
Début de l'essai : 2021-09-14
Type de test : Colonne de 3m avec stériles de la halde J4

Rinçage	#Ech H2Lab	Date	Temps	Volume recueilli	Température terrain	pH terrain	Conductivité	ORP	Eh	Acidité	Alcalinité	COD
			j	ml	°C		µS/cm	mv	mv	mg CaCO3/L	mg CaCO3/L	mg/L
					Sonde terrain	Sonde terrain	Sonde terrain	Sonde terrain	Calcul	Titrage	Titrage	IR
					0,1	0,01	1	0,1		2	2	0,2
C12-01	325906	2021-10-26	42	8807	4,5	6,61	75	14	237	5	8	1,6
C12-02	327224	2021-11-09	56	216	5,7	4,29	710	141	363	134	<2	3,1
C12-03	2339314	2022-05-17	245	1888	12,0	4,05	512	236	452	98	<2	2,3
C12-04	2341970	2022-06-14	273	2407	19,2	3,42	1349	302	512	385	<2	
C12-05	2344725	2022-07-12	301	504	19,3	3,45	1556	193	403	411	<2	
C12-06	2347848	2022-08-09	329	4425	13,8	3,45	1293	47	261	319	<2	
C12-07	2350507	2022-09-06	357	562	23,7	6,21	22	290	496	7	3	
C12-08	2353548	2022-10-06	387	850	11,5	8,05	594	408	625			
C12-09	2356232	2022-11-01	413	1542	8,4	3,48		181	401	158	<2	
C12-10(correction)	2369175	2023-05-02	595	9200	8,1	3,70	642	383	607	209	<2	
C12-11	2378290	2023-07-04	658	2300	31,6	3,46	1558	346	544	308	< 2	
C12-12	2383373	2023-08-08	693	7400	17,5	3,45	149	403	614	355	< 2	
C12-13	2387237	2023-09-05	721	3300	21,5	3,28	1600	198	406	445	< 2	
C12-14	2392127	2023-10-03	749	2600	16,1	3,57	1068	181	394	292	< 2	

Colonne de terrain C12

Rinçage	Cl ⁻	F ⁻	SO ₄ ²⁻	S ₂ O ₃ ²⁻	ΣS	Ag	Al	As	B	Ba	Be	Bi
	C. lon.	C. lon.	C. lon.	C. lon.	Calcul	ICP-MS	ICP-MS	ICP-MS	ICP-MS	ICP-MS	ICP-MS	ICP-MS
	mg/L	mg/L	mg/L	mg/L	mg/L	mg/L	mg/L	mg/L	mg/L	mg/L	mg/L	mg/L
<i>Limite de détection</i>	0,5	0,02	0,6	0,02		<i>variable</i>	<i>variable</i>	<i>variable</i>	<i>variable</i>	<i>variable</i>	<i>variable</i>	<i>variable</i>
C12-01	2,0	0,08	45,1	0,68	15,4	0,000025	0,0072	0,000050	0,0085	0,05012	0,000005	0,000050
C12-02	3,9	0,72	566,0	2,64	189,4	0,000071	11,7368	0,001904	0,0185	0,02164	0,000005	0,000019
C12-03	3,7	0,45	413,0	2,27	138,4	0,000006	10,0514	0,002708	0,0159	0,01015	0,001176	<0,000009
C12-04	7	1,05	944	4,10	315,7	0,000014	0,3588	0,008378	0,0528	0,01340	0,004693	<0,000013
C12-05	3,2	1,02	1150,0	<0,02	381,8	0,000033	40,6097	0,012643	0,0620	0,03460	0,005490	<0,00001
C12-06	2,0	0,76	809,0	<0,02	268,6	0,000024	35,9440	0,009166	0,0487	0,00621	0,005004	<0,000006
C12-07	<0,5	0,06	23,5	<0,02	7,8	<0,000004	0,0961	0,000066	0,0064	0,01692	0,000025	<0,000006
C12-08	0,9	0,6	705,0	0,15	234,1	<0,000044	28,2047	0,011274	0,0141	0,01765	0,003389	0,000052
C12-09	0,7	0,39	369,0	<0,02	122,5	0,000022	16,0144	0,004677	0,0190	0,01174	0,001965	0,000009
C12-10(correction)	0,9	0,41	499	<0,02	165,7	0,000012	26,9639	0,005238	0,0222	0,00288	0,002910	0,000003
C12-11	1,4	0,65	725	< 0,02	240,7	0,000071	33,8088	0,003925	0,0470	0,00366	0,005275	0,000004
C12-12	1,5	0,44	773	< 0,02	256,6	0,000066	29,5286	0,005194	0,0425	<0,003421	0,004799	0,000003
C12-13	2,1	0,97	1040,0	< 0,02	345,3	0,000058	48,785	0,007931	0,0867	0,00083	0,006750	0,000010
C12-14	1,7	0,49	729,0	< 0,02	242,0	<0,000007	46,329	0,015952	0,0542	0,00162	0,005816	<0,000002

Colonne de terrain C12

Rinçage	Ca	Cd	Co	Cr	Cu	Fe	Hg	K	Li	Mg	Mn	Mo
	ICP-MS	ICP-MS	ICP-MS	ICP-MS	ICP-MS	ICP-MS	ICP-MS	ICP-MS	ICP-MS	ICP-MS	ICP-MS	ICP-MS
	mg/L	mg/L	mg/L	mg/L	mg/L	mg/L	mg/L	mg/L	mg/L	mg/L	mg/L	mg/L
<i>Limite de détection</i>	<i>variable</i>	<i>variable</i>	<i>variable</i>	<i>variable</i>	<i>variable</i>	<i>variable</i>	<i>variable</i>	<i>variable</i>	<i>variable</i>	<i>variable</i>	<i>variable</i>	<i>variable</i>
C12-01	2,33	0,000888	0,048800	0,000047	0,0133	0,020	0,000005	2,47	0,01753	3,671	0,2080	0,00036
C12-02	46,53	0,007877	0,688952	0,002501	0,7180	40,125	0,000039	15,59	0,14369	45,203	2,9129	0,00021
C12-03	65,07	0,006489	0,497422	0,002191	0,8637	27,794	<0,000006	8,50	0,08596	26,125	2,1296	0,00002
C12-04	136,23	0,013166	1,569505	0,009814	2,1729	99,088	<0,000014	14,14	0,23051	60,548	4,6527	0,00004
C12-05	225,16	0,011998	1,341387	0,013133	2,0180	110,744	0,000007	12,64	0,29505	59,339	4,5090	0,00176
C12-06	114,85	0,011690	0,977559	0,008264	0,9609	39,944	<0,000021	11,06	0,27696	61,802	4,1231	<0,000017
C12-07	19,89	0,000463	0,012775	0,000355	0,0276	0,112	<0,000021	1,98	0,01073	1,290	0,1677	0,00021
C12-08	125,55	0,008207	0,650065	0,008291	1,2726	28,284	0,000027	7,19	0,21260	42,540	2,5795	0,00068
C12-09	32,84	0,004463	0,433727	0,004201	0,7248	16,429	<0,000736	4,11	0,11938	20,949	1,6522	<0,000024
C12-10(correction)	35,01	0,005249	0,528907	0,005530	1,6798	28,486	<0,001838	5,08	0,15510	26,588	2,0521	0,00018
C12-11	60,82	0,007678	0,947087	0,010143	1,9632	62,476	0,000009	3,57	0,31546	50,635	3,4273	0,00044
C12-12	59,17	0,009295	0,805650	0,010515	1,1136	49,355	<0,000062	8,18	0,26329	54,172	3,7581	0,00037
C12-13	75,58	0,013442	1,150454	0,013646	1,5221	23,177	0,000143	9,38	0,45411	84,064	5,458	0,00017
C12-14	36,70	0,010283	1,017392	0,010871	1,3590	20,605	0,000492	1,76	0,37630	52,385	4,730	<0,000030

Colonne de terrain C12

Rinçage	Na	Ni	P	Pb	S	Sb	Sc	Se	Si	Sn	Sr	Ti
	ICP-MS	ICP-MS	ICP-MS	ICP-MS	ICP-MS	ICP-MS	ICP-MS	ICP-MS	ICP-MS	ICP-MS	ICP-MS	ICP-MS
	mg/L	mg/L	mg/L	mg/L	mg/L	mg/L	mg/L	mg/L	mg/L	mg/L	mg/L	mg/L
<i>Limite de détection</i>	<i>variable</i>	<i>variable</i>	<i>variable</i>	<i>variable</i>	<i>variable</i>	<i>variable</i>	<i>variable</i>	<i>variable</i>	<i>variable</i>	<i>variable</i>	<i>variable</i>	<i>variable</i>
C12-01	1,19	0,24055	0,675	0,000026	15,48	0,000677	0,001056	0,000535	1,040	0,000112	0,0327	0,000824
C12-02	3,07	3,25214	5,612	0,016536	178,35	0,000201	0,009602	0,006461	9,578	0,000135	0,2183	0,006538
C12-03	1,76	2,33399	1,727	0,000717	139,10	0,000049	0,001313	0,003547	2,599	<0,000316	0,1585	0,000378
C12-04	3,55	8,56732	9,560	0,023641	303,50	0,000085	0,009037	0,010377	15,631	0,000281	0,2916	0,003018
C12-05	8,91	7,33265	9,235	0,033534	330,90	0,000078	0,010642	0,010159	15,996	0,000680	0,3638	0,004060
C12-06	2,94	5,86287	11,004	0,010319	291,86	<0,000018	0,009853	0,006875	19,579	0,000142	0,1914	0,002212
C12-07	1,07	0,07361	0,814	0,000193	6,50	0,000061	0,000131	0,000147	1,283	0,000578	0,0253	0,000932
C12-08	5,70	3,95092	4,533	0,006153	181,11	<0,000103	0,006368	0,004691	7,466	<0,000158	0,1829	0,003357
C12-09	0,75	2,71592	3,634	0,002885	132,83	0,000099	0,003709	0,003379	4,699	0,001389	0,0812	0,000990
C12-10(correction)	1,18	3,63153	2,310	0,003534	184,74	0,000034	0,004863	0,003456	2,374	0,005941	0,0895	0,001186
C12-11	1,86	6,06854	0,021	0,004377	247,30	0,000044	0,013983	0,010684	6,063	0,008813	0,1219	0,003104
C12-12	1,58	5,98008	<0,001	0,003376	292,98	0,000040	0,012488	0,012208	5,570	0,012558	0,1042	0,003054
C12-13	2,22	7,98213	0,006	0,002817	346,73	0,000057	0,022134	0,019800	17,395	0,000448	0,147	0,005730
C12-14	1,32	7,21503	<0,020	0,002215	65,49	<0,000008	0,006610	0,030700	3,063	0,000261	0,114	0,000387

Colonne de terrain C12

Rinçage	TI	U	V	Zn	Notes
	ICP-MS	ICP-MS	ICP-MS	ICP-MS	
	mg/L	mg/L	mg/L	mg/L	
<i>Limite de détection</i>	<i>variable</i>	<i>variable</i>	<i>variable</i>	<i>variable</i>	
C12-01	0,000069	0,0001	0,00045	0,2302	
C12-02	0,000567	0,0170	0,00497	2,0090	
C12-03	0,000515	0,0232	0,00012	1,6082	
C12-04	0,000964	0,0881	0,00057	3,1563	Valeur de Al basse.
C12-05	0,001048	0,1297	0,00215	2,8295	
C12-06	0,001016	0,1369	0,00017	2,8532	
C12-07	0,000088	0,0003	0,00024	0,3502	Les résultats ne sont pas dans la continuité des autres données. Données du pH terrain douteuses aux 7e et 8e échantillonnages.
C12-08	0,000359	0,0617	0,00752	2,0974	Pas d'analyses Acidité/Alcalinité. Données du pH terrain douteuses aux 7e et 8e échantillonnages.
C12-09	0,000336	0,0452	0,00013	1,1436	Sonde de terrain défectueuse.
C12-10(correction)	0,000379	0,0449	0,00034	1,8039	Le pH et la température avait été inversés dans la fiche de terrain.
C12-11	0,000517	0,0940	0,00121	2,5138	
C12-12	0,000626	0,1251	0,00120	2,2769	
C12-13	0,000770	0,1314	0,00145	3,0790	
C12-14	0,000516	0,1146	0,00004	3,8191	Mauvaise balance ionique avec S(ICP), utiliser résultat en SO4.

Colonne de terrain C13 Description: C13 - Stériles non-oxydés J4 (relatively unoxidized J4 waste rock)
Masse (kg) : 317,52
Début de l'essai : 2021-09-14
Type de test : Colonne de 3m avec stériles de la halde J4

Rinçage	#Ech H2Lab	Date	Temps	Volume recueilli	Température terrain	pH terrain	Conductivité	ORP	Eh	Acidité	Alcalinité	COD
			j	ml	°C		µS/cm	mv	mv	mg CaCO3/L	mg CaCO3/L	mg/L
					Sonde terrain	Sonde terrain	Sonde terrain	Sonde terrain	Calcul	Titrage	Titrage	IR
					0,1	0,01	1	0,1		2	2	0,2
C13-01	325907	2021-10-26	42	9095	4,1	7,60	33	-41	183	4	16	1,8
C13-02	327225	2021-11-09	56	504	5,7	7,00	189	-8	214	4	15	2,1
C13-03	2339315	2022-05-17	245	1542	5,9	5,94	200	202	424	3	11	2,4
C13-04	2341971	2022-06-14	273	3099	18,4	6,02	309	181	392	22	14	
C13-05	2344726	2022-07-12	301	792	19,1	6,48	243	13	223	4	7	
C13-06	2347849	2022-08-09	329	4136	14,3	6,33	209	289	504	4	9	
C13-07	2350509	2022-09-06	357	446	24,4	6,45	71	246	452	6	11	
C13-08	2353549	2022-10-06	387	792	12,4	10,23	308	202	418			
C13-09	2356234	2022-11-01	413	965	9,5	6,73		-4	215	22	10	
C13-10	2369176	2023-05-02	595	5400		8,62	254	130		5	13	
C13-11	2378291	2023-07-04	658	1400	30,7	6,16	604	60	259	4	15	
C13-12	2383374	2023-08-08	693	6400	17,4	5,20	361	185	397	4	12	
C13-13	2387238	2023-09-05	721	2800	22,1	6,29	406	23	230	5	13	
C13-14	2392128	2023-10-03	749	1200	15,2	5,70	303	60	273	< 2	16	

Colonne de terrain C13

Rinçage	Cl ⁻	F ⁻	SO ₄ ²⁻	S ₂ O ₃ ²⁻	ΣS	Ag	Al	As	B	Ba	Be	Bi
	C. lon.	C. lon.	C. lon.	C. lon.	Calcul	ICP-MS	ICP-MS	ICP-MS	ICP-MS	ICP-MS	ICP-MS	ICP-MS
	mg/L	mg/L	mg/L	mg/L	mg/L	mg/L	mg/L	mg/L	mg/L	mg/L	mg/L	mg/L
<i>Limite de détection</i>	0,5	0,02	0,6	0,02		<i>variable</i>	<i>variable</i>	<i>variable</i>	<i>variable</i>	<i>variable</i>	<i>variable</i>	<i>variable</i>
C13-01	2,6	0,06	12,3	<0,02	4,1	0,000025	0,0347	0,000276	0,0035	0,03167	0,000013	0,000016
C13-02	1,3	0,05	125,0	<0,02	41,5	0,000025	0,0068	0,000116	0,0032	0,02495	0,001392	0,000050
C13-03	2,0	0,04	131,0	<0,02	43,5	0,000004	0,2680	0,000309	0,0084	0,03164	0,000026	<0,000009
C13-04	2,9	0,06	158	<0,02	52,5	<0,000003	0,0156	0,000187	0,0163	0,02585	<0,000033	<0,000013
C13-05	0,8	0,05	114,0	<0,02	37,9	<0,00000075	0,2608	0,000342	0,0148	0,02343	<0,000009	<0,00001
C13-06	1,4	0,06	112,0	<0,02	37,2	<0,000004	0,0093	0,000136	0,0189	0,01714	<0,000024	<0,000006
C13-07	<0,5	0,06	22,6	<0,02	7,5	<0,000004	0,0363	0,000283	0,0109	0,01461	<0,000024	<0,000006
C13-08	1,1	0,07	250,0	0,13	83,1	<0,000044	0,7927	0,001134	0,0082	0,04209	<0,000437	0,000078
C13-09	0,6	0,04	105,0	<0,02	34,9	<0,000002	0,0095	0,000128	0,0117	0,01825	<0,000033	<0,000003
C13-10	1,3	0,05	149	<0,02	49,5	<0,000007	0,0047	0,000183	0,0150	0,01905	0,000000	0,000001
C13-11	1,9	0,07	201	<0,02	66,7	<0,000006	0,0240	0,000408	0,0344	0,02796	<0,000004	0,000003
C13-12	1	0,05	114	<0,02	37,9	0,000008	0,0168	0,000240	0,0192	0,00999	0,000008	0,000003
C13-13	2,3	0,06	167,0	<0,02	55,4	<0,000004	0,019	0,000328	0,0340	0,00784	0,000006	<0,000004
C13-14	1,4	0,04	150,0	<0,02	49,8	<0,000007	0,041	0,000288	0,0291	0,01180	0,000006	0,000008

Colonne de terrain C13

Rinçage	Ca	Cd	Co	Cr	Cu	Fe	Hg	K	Li	Mg	Mn	Mo
	ICP-MS	ICP-MS	ICP-MS	ICP-MS	ICP-MS	ICP-MS	ICP-MS	ICP-MS	ICP-MS	ICP-MS	ICP-MS	ICP-MS
	mg/L	mg/L	mg/L	mg/L	mg/L	mg/L	mg/L	mg/L	mg/L	mg/L	mg/L	mg/L
<i>Limite de détection</i>	<i>variable</i>	<i>variable</i>	<i>variable</i>	<i>variable</i>	<i>variable</i>	<i>variable</i>	<i>variable</i>	<i>variable</i>	<i>variable</i>	<i>variable</i>	<i>variable</i>	<i>variable</i>
C13-01	0,99	0,000060	0,001102	0,000429	0,0055	0,027	0,000032	1,07	0,00142	0,054	0,0089	0,00055
C13-02	16,93	0,000082	0,010956	0,000242	0,0061	0,025	0,000025	4,84	0,00438	4,387	0,0606	0,00043
C13-03	57,80	0,000211	0,014398	0,001208	0,0225	1,205	<0,000006	4,75	0,00769	5,547	0,0925	0,00194
C13-04	61,27	0,000136	0,007516	0,000664	0,0093	0,025	<0,000014	6,17	0,00754	6,693	0,0426	0,00241
C13-05	44,22	0,000155	0,011558	0,000466	0,0203	0,737	<0,000006	4,93	0,00829	4,954	0,0508	0,00183
C13-06	40,72	0,000056	0,002709	0,000092	0,0048	0,003	<0,000021	5,24	0,00626	4,914	0,0140	0,00128
C13-07	22,88	0,000081	0,000471	0,000332	0,0101	0,016	<0,000021	3,58	0,01912	2,169	0,0092	0,00115
C13-08	109,61	0,000845	0,008215	0,001299	0,0252	0,275	0,000041	8,04	0,01584	10,393	0,0660	0,00252
C13-09	29,78	0,000062	0,002437	0,000133	0,0033	0,052	<0,000736	2,71	0,00559	3,599	0,0244	0,00100
C13-10	39,20	0,000087	0,007322	0,000295	0,0126	0,004	<0,001838	3,93	0,00985	5,332	0,0353	0,00379
C13-11	68,78	0,000127	0,002184	0,000967	0,0129	0,019	0,000017	3,73	0,01484	9,055	0,0312	0,00681
C13-12	38,41	0,000081	0,000836	0,000186	0,0092	0,020	<0,000062	8,05	0,00920	4,769	0,0065	0,00253
C13-13	51,91	0,000087	0,000831	<0,000015	0,0112	0,012	0,000065	6,92	0,01109	8,492	0,001	0,00284
C13-14	34,66	0,000120	0,000436	0,000218	0,0092	0,020	0,000328	1,61	0,01113	5,861	0,003	0,00195

Colonne de terrain C13

Rinçage	Na	Ni	P	Pb	S	Sb	Sc	Se	Si	Sn	Sr	Ti
	ICP-MS	ICP-MS	ICP-MS	ICP-MS	ICP-MS	ICP-MS	ICP-MS	ICP-MS	ICP-MS	ICP-MS	ICP-MS	ICP-MS
	mg/L	mg/L	mg/L	mg/L	mg/L	mg/L	mg/L	mg/L	mg/L	mg/L	mg/L	mg/L
<i>Limite de détection</i>	<i>variable</i>	<i>variable</i>	<i>variable</i>	<i>variable</i>	<i>variable</i>	<i>variable</i>	<i>variable</i>	<i>variable</i>	<i>variable</i>	<i>variable</i>	<i>variable</i>	<i>variable</i>
C13-01	1,28	0,01025	0,085	0,000149	2,44	0,000871	0,000339	0,000179	0,249	0,000125	0,0236	0,000590
C13-02	1,02	0,11540	0,808	0,000228	35,51	0,000156	0,001686	0,000773	1,482	0,000030	0,0711	0,001098
C13-03	4,37	0,13314	0,959	0,000415	45,17	0,000214	0,000372	0,001293	1,332	0,000521	0,0984	0,000454
C13-04	1,30	0,09625	1,285	0,000051	47,70	0,000194	0,000409	0,002142	2,124	0,000141	0,1010	0,000394
C13-05	0,91	0,08419	1,039	0,000269	38,36	0,000080	0,000269	0,001392	1,946	0,000146	0,0728	0,000498
C13-06	1,00	0,04935	1,354	<0,000018	40,40	0,000073	0,000276	0,001347	1,966	<0,000019	0,0643	0,000450
C13-07	0,81	0,01740	0,879	0,000072	15,68	0,000169	0,000160	0,000565	1,217	0,000448	0,0338	0,000703
C13-08	3,46	0,10267	1,611	<0,000276	79,89	0,000464	0,000824	0,002328	2,761	<0,000158	0,1593	0,002822
C13-09	0,43	0,03919	0,948	0,000028	42,09	0,000094	0,000245	0,001167	1,284	0,001062	0,0645	0,000182
C13-10	1,01	0,08482	1,129	0,000049	59,57	0,000109	0,000437	0,001309	1,323	0,005582	0,0857	0,000318
C13-11	1,80	0,07708	0,010	0,000057	83,33	0,000156	0,002959	0,002238	1,780	0,008552	0,1376	0,001253
C13-12	1,15	0,03231	<0,001	0,000049	<9,548	0,000122	0,001326	0,001743	1,178	0,010812	0,0717	0,000698
C13-13	1,56	0,04865	<0,001	0,000570	81,08	0,000112	0,002524	0,003307	3,160	0,000077	0,112	0,001016
C13-14	1,34	0,06212	<0,020	0,000060	17,26	0,000091	0,000105	0,001840	0,820	0,000113	0,101	0,000215

Colonne de terrain C13

Rinçage	TI	U	V	Zn	Notes
	ICP-MS	ICP-MS	ICP-MS	ICP-MS	
	mg/L	mg/L	mg/L	mg/L	
<i>Limite de détection</i>	<i>variable</i>	<i>variable</i>	<i>variable</i>	<i>variable</i>	
C13-01	0,000017	0,0018	0,00024	0,0267	
C13-02	0,000110	0,0003	0,00102	0,0410	
C13-03	0,000135	0,0015	0,00035	0,0725	
C13-04	0,000195	0,0005	0,00021	0,0722	
C13-05	0,000156	0,0010	0,00012	0,0834	
C13-06	0,000146	0,0002	0,00014	0,0384	
C13-07	0,000087	0,0001	0,00023	0,0396	Donnée basse en SO_4^{2-} . Valeur de conductivité basse. Données du pH terrain douteuses aux 7e et 8e échantillonnages.
C13-08	0,000224	0,0008	0,00457	0,0708	Pas d'analyses Acidité/Alcalinité. Données du pH terrain douteuses aux 7e et 8e échantillonnages.
C13-09	0,000094	0,0001	0,00014	0,0884	Sonde de terrain défectueuse.
C13-10	0,000117	0,0003	0,00026	0,0785	
C13-11	0,000217	0,0004	0,00058	0,0478	
C13-12	0,000159	0,0002	0,00039	0,0126	Mauvaise balance ionique avec S(ICP), utiliser résultat en SO_4 .
C13-13	0,000196	0,0002	0,00053	0,0364	
C13-14	0,000152	0,0003	0,00024	0,0672	Mauvaise balance ionique avec S(ICP), utiliser résultat en SO_4 .

Pluie (terrain) Description: Eau des précipitations (pluie)
Début de l'essai : 2024-09-14

Rinçage	#Ech H2Lab	Date	Temps	Volume recueilli	Température terrain	pH terrain	Conductivité	ORP	Eh	Acidité	Alcalinité	COD
			j	ml	°C		µS/cm	mv	mv	mg CaCO3/L	mg CaCO3/L	mg/L
					Sonde terrain	Sonde terrain	Sonde terrain	Sonde terrain	Calcul	Titrage	Titrage	IR
					0,1	0,01	1	0,1		2	2	0,2
Pluie-01												
Pluie-02												
Pluie-03												
Pluie-04		2022-06-14	273									
Pluie-05	2344727	2022-07-12	301	3099	17,7	6,82	4	-3,1	208	4	5	
Pluie-06	2347851	2022-08-09	329	5001	13,4	6,59	0	240,2	455	<2	2	
Pluie-07	2350512	2022-09-06	357	3041	11,2	6,95	0	234,4	452	7	4	
Pluie-08		2022-10-06	387	2291	10,6	8,77	0	193,3	411			
Pluie-09		2022-11-01	413	4700								
Pluie-10	2369177	2023-05-02	595	5400	8,4	5,55	8	25,1	245	<2	4	
Pluie-11	2378292	2023-07-04	658	6100	30,5	7,15	12	20,2	220	3	3	
Pluie-12												
Pluie-13	2387239	2023-09-05	721	7000	20,9	5,28	3	83,6	292	5	4	
Pluie-14	2392129	2023-10-03	749	5000	14,9	5,66	3	60,6	274	<2	5	

Pluie (terrain)

Rinçage	Cl ⁻	F ⁻	SO ₄ ²⁻	S ₂ O ₃ ²⁻	ΣS	Ag	Al	As	B	Ba	Be	Bi
	C.Ion.	C.Ion.	C.Ion.	C.Ion.	Calcul	ICP-MS	ICP-MS	ICP-MS	ICP-MS	ICP-MS	ICP-MS	ICP-MS
	mg/L	mg/L	mg/L	mg/L	mg/L	mg/L	mg/L	mg/L	mg/L	mg/L	mg/L	mg/L
<i>Limite de détection</i>	0,5	0,02	0,6	0,02		variable	variable	variable	variable	variable	variable	variable
Pluie-01												
Pluie-02												
Pluie-03												
Pluie-04						0,000005	0,1336	0,009637	0,0055	0,00647	<0,000033	<0,000013
Pluie-05	< 0,5	< 0,02	< 0,6	< 0,02	0,1	0,000006	0,0092	0,000076	0,0025	0,00214	0,000004	0,000013
Pluie-06	<0,5	<0,02	<0,6	<0,02	0,1	<0,000004	0,0208	0,000063	0,0062	0,00205	<0,000024	<0,000006
Pluie-07	<0,5	0,05	<0,6	<0,02	0,1	<0,000004	0,0204	0,000094	0,0029	0,00251	<0,000024	<0,000006
Pluie-08						<0,000004	0,9403	0,000583	0,0040	0,00806	<0,000044	0,000036
Pluie-09						<0,000002	0,0046	0,000058	0,0016	0,00197	<0,000033	<0,000003
Pluie-10	<0,5	< 0,02	<0,6	<0,02	0,1	0,000011	0,0057	0,000094	0,0014	0,00270	0,000025	0,000136
Pluie-11	<0,5	< 0,02	0,8	<0,02	0,3	<0,000006	0,2631	0,000219	0,0047	0,00539	0,000015	0,000014
Pluie-12												
Pluie-13	< 0,5	< 0,02	<0,6	<0,02	0,1	<0,000004	0,021	0,000078	0,0008	0,00179	<0,000003	<0,000004
Pluie-14	< 0,5	< 0,02	<0,6	<0,02	0,1	<0,000007	0,079	0,000081	0,0032	0,00368	0,000012	0,000024

Pluie (terrain)

Rinçage	Ca	Cd	Co	Cr	Cu	Fe	Hg	K	Li	Mg	Mn	Mo
	ICP-MS	ICP-MS	ICP-MS	ICP-MS	ICP-MS	ICP-MS	ICP-MS	ICP-MS	ICP-MS	ICP-MS	ICP-MS	ICP-MS
	mg/L	mg/L	mg/L	mg/L	mg/L	mg/L	mg/L	mg/L	mg/L	mg/L	mg/L	mg/L
<i>Limite de détection</i>	<i>variable</i>	<i>variable</i>	<i>variable</i>	<i>variable</i>	<i>variable</i>	<i>variable</i>	<i>variable</i>	<i>variable</i>	<i>variable</i>	<i>variable</i>	<i>variable</i>	<i>variable</i>
Pluie-01												
Pluie-02												
Pluie-03												
Pluie-04	12,99	0,000052	0,001507	0,000807	0,0075	0,283	<0,000014	0,43	0,00351	0,263	0,0133	0,00036
Pluie-05	0,24	0,000046	0,000014	0,000243	0,0012	0,008	<0,000006	0,32	0,00045	0,025	0,0034	0,00007
Pluie-06	1,64	0,000071	0,000061	0,000406	0,0011	0,016	<0,000021	0,09	0,00152	0,042	0,0023	0,00003
Pluie-07	1,86	0,000071	0,000064	0,000177	0,0023	0,022	<0,000021	0,32	0,00058	0,077	0,0342	0,00004
Pluie-08	31,81	0,001117	0,002215	0,001804	0,0155	0,303	0,000135	0,69	0,00990	0,554	0,0436	0,00057
Pluie-09	0,38	0,000027	0,000020	0,000020	0,0007	0,013	<0,000736	0,08	<0,000046	0,042	0,0090	<0,000024
Pluie-10	0,14	0,000199	0,000116	0,000054	0,0085	0,012	<0,001838	0,05	<0,00019	0,022	0,0046	0,00003
Pluie-11	32,82	0,000213	0,002437	0,001067	0,0092	0,352	<0,000008	0,67	0,00150	0,608	0,0566	0,00062
Pluie-12												
Pluie-13	0,29	0,000028	0,000014	<0,000015	0,0011	0,001	0,000052	0,16	0,00007	0,037	0,019	0,00025
Pluie-14	7,80	0,000193	0,000302	0,000404	0,0028	0,050	0,000369	0,17	0,00270	0,144	0,008	0,00006

Pluie (terrain)

Rinçage	Na	Ni	P	Pb	S	Sb	Sc	Se	Si	Sn	Sr	Ti
	ICP-MS	ICP-MS	ICP-MS	ICP-MS	ICP-MS	ICP-MS	ICP-MS	ICP-MS	ICP-MS	ICP-MS	ICP-MS	ICP-MS
	mg/L	mg/L	mg/L	mg/L	mg/L	mg/L	mg/L	mg/L	mg/L	mg/L	mg/L	mg/L
<i>Limite de détection</i>	<i>variable</i>	<i>variable</i>	<i>variable</i>	<i>variable</i>	<i>variable</i>	<i>variable</i>	<i>variable</i>	<i>variable</i>	<i>variable</i>	<i>variable</i>	<i>variable</i>	<i>variable</i>
Pluie-01												
Pluie-02												
Pluie-03												
Pluie-04	0,81	0,00855	0,057	0,000180	1,66	0,000135	0,000114	0,000071	0,127	0,004941	0,0112	0,000941
Pluie-05	0,07	0,00060	<0,017	0,000420	<1,5	0,000064	0,000019	0,000091	0,032	0,000296	0,0005	0,000396
Pluie-06	0,19	0,00068	<0,018	0,000119	0,37	0,000050	0,000018	0,000026	0,025	0,000097	0,0016	0,000423
Pluie-07	0,26	0,00095	<0,018	0,000140	<0,308	0,000052	<0,000017	0,000041	0,022	0,000180	0,0022	0,000751
Pluie-08	2,65	0,01701	0,197	0,000893	2,41	0,000153	0,000149	0,000170	0,183	0,000937	0,0308	0,002601
Pluie-09	0,06	0,00026	<0,003	0,000050	<0,069	0,000073	<0,000009	0,000040	0,017	0,000713	0,0009	<0,000106
Pluie-10	0,09	0,00071	<0,010	0,000685	0,82	0,000077	0,000008	0,000049	0,009	0,006295	0,0006	0,000763
Pluie-11	1,72	0,01531	0,043	0,000380	<0,939	0,000144	0,000792	<0,000034	0,117	0,007761	0,0217	0,001267
Pluie-12												
Pluie-13	0,11	0,00009	<0,001	0,000052	<2,725	0,000051	<0,000008	<0,000959	0,071	0,000209	0,001	0,000164
Pluie-14	0,62	0,00264	<0,020	0,002217	<6,222	0,000041	0,000043	<0,000535	0,033	0,000121	0,006	0,000773

Pluie (terrain)

Rinçage	Tl	U	V	Zn	Notes
	ICP-MS	ICP-MS	ICP-MS	ICP-MS	
	mg/L	mg/L	mg/L	mg/L	
<i>Limite de détection</i>	<i>variable</i>	<i>variable</i>	<i>variable</i>	<i>variable</i>	
Pluie-01					
Pluie-02					
Pluie-03					
Pluie-04	0,000004	0,0008	0,00042	0,0533	Pas de données physico-chimiques ni d'échantillons H2LAB. Normal, ce n'était pas prévu initialement dans le protocole.
Pluie-05	0,000003	0,0000	0,00006	0,0246	
Pluie-06	<0,000003	<0,000002	0,00014	0,0234	
Pluie-07	<0,000003	<0,000002	0,00014	0,0198	Données du pH terrain douteuses aux 7e et 8e échantillonnages.
Pluie-08	0,000006	0,0005	0,00527	0,0982	Pas d'échantillons H2LAB. Données du pH terrain douteuses aux 7e et 8e échantillonnages.
Pluie-09	0,000005	0,0000	0,00006	0,0254	Sonde de terrain défectueuse.
Pluie-10	0,000001	0,0001	0,00018	0,0265	
Pluie-11	0,000008	0,0006	0,00064	0,0409	
Pluie-12					Pas d'échantillon car la chaudière était brisée.
Pluie-13	0,000006	0,0000	0,00015	0,0555	
Pluie-14	0,000011	0,0001	0,00026	0,0735	

Assurance et contrôle
de qualité
Colonnes terrain

#Ech	Type de QAQC	#Ech H2Lab	Date	Temps	pH terrain	Conductivité	ORP	Eh	Acidité	Alcalinité	COD
					Sonde terrain	Sonde terrain	Sonde terrain	Calcul	Titrage	Titrage	IR
				j		µS/cm	mv	mv	mg CaCO3/L	mg CaCO3/L	mg/L
<i>Limite de détection</i>					0,01	1	0,1		2	2	0,2
C6-01 (2)	Duplicata	325908	2021-10-29	42	7,45	451	-33	193	5	48	32,5
C10-01 (2)	Duplicata	325909	2021-10-29	42	7,68	280	-45	180	5	55	27,4
C3-02 (2)	Duplicata	372214	2021-11-12	56	7,51	241	-35,3	188	4	30	19,5
C11-02 (2)	Duplicata	327223	2021-11-12	56	7,86	383	-54,2	168	4	70	27,9
C3-03 (2)	Duplicata	2339411	2022-05-17	245	7,16	129	203	422	3	28	8,2
C7-04 (2)	Duplicata	2341973	2022-06-14	273	7,62	171	61,3	272	17	40	
C7-05 (2)	Duplicata	2344708	2022-07-12	301	7,63	144	-51,8	161	4	31	
C6-06 (2)	Duplicata	2347842	2022-08-09	329	7,22	211	81,7	298	2	19	
C6-07 (2)	Duplicata	2350502	2022-09-06	357	6,46	165	212	424	6	19	
C12-09 (2)	Duplicata	2356233	2022-11-01	413	3,48		181,1	401	157	< 2	
C4-10 (2)	Duplicata	2369326	2023-05-02	595					3	30	
C7-12(2)	Duplicata	2383375	2023-08-08	693	7,87	185	65,8	277	3	15	
C5-14 (2)	Duplicata	2392119	2023-10-03	749	7,36	159	-35,5	180	3	21	
C8-14 (2)	Duplicata	2392123	2023-10-03	749	7,45	76	-40,7	175	2	21	
Blanc	Blank-06	2347850	2022-08-09	329					<2	2	
Blanc	Blank-07	2350510	2022-09-06	357					27	3	
Blanc	Blank-08	2353550	2022-10-06	387							

Assurance et contrôle
de qualité
Colonnes terrain

#Ech	Cl ⁻	F ⁻	SO ₄ ²⁻	S ₂ O ₃ ²⁻	ΣS	Ag	Al	As	B	Ba	Be	Bi
	C.Ion.	C.Ion.	C.Ion.	C.Ion.	Calcul	ICP-MS	ICP-MS	ICP-MS	ICP-MS	ICP-MS	ICP-MS	ICP-MS
	mg/L	mg/L	mg/L	mg/L	mg/L	mg/L	mg/L	mg/L	mg/L	mg/L	mg/L	mg/L
Limite de détection	0,5	0,02	0,6	0,02		variable	variable	variable	variable	variable	variable	variable
C6-01 (2)	55,3	0,35	265,0	< 0,02	88,0	0,000701	0,0495	0,000992	0,0506	0,03335		0,000077
C10-01 (2)	16,6	0,34	157,0	< 0,02	52,1							
C3-02 (2)	8,7	0,25	125,0	< 0,02	41,5							
C11-02 (2)	15,9	0,4	213	< 0,02	70,7	0,000862	0,0430	0,003876	0,0425	0,02041		0,000022
C3-03 (2)	2,5	0,11	73,1	< 0,02	24,3	0,000012	0,0136	0,000434	0,0191	0,00950	0,000006	0,000005
C7-04 (2)	1,4	0,07	61,2	< 0,02	20,3	0,000009	0,5209	0,000648	0,0310	0,02164	0,000017	0,000007
C7-05 (2)	0,6	0,04	60,1	< 0,02	20,0	0,000004	0,3670	0,000717	0,0215	0,02620	0,000014	0,000011
C6-06 (2)	0,6	0,08	129,0	< 0,02	42,8	0,000002	0,0438	0,000499	0,0239	0,01637	0,000012	0,000003
C6-07 (2)	< 0,5	0,05	76,8	< 0,02	25,5	0,000002	0,1708	0,000512	0,0308	0,01603	0,000012	0,000003
C12-09 (2)	0,7	0,38	367	< 0,02	121,8	0,000017	17,5403	0,004922	0,0208	0,01235	0,002076	<0,000003
C4-10 (2)	0,8	0,05	47,4	<0,02	15,7	0,000012	0,5221	0,001590	0,0151	0,01479	0,000011	0,000016
C7-12(2)	0,6	0,03	61,5	< 0,02	20,4	0,000002	0,0254	0,000303	0,0175	0,01519	<0,000003	0,000003
C5-14 (2)	< 0,5	0,04	68,8	< 0,02	22,8	<0,000007	0,0708	0,002686	0,0151	0,01130	0,000007	0,000014
C8-14 (2)	< 0,5	0,03	26,3	< 0,02	8,7	<0,000007	0,0499	0,001394	0,0090	0,00697	0,000009	0,000007
Blanc	< 0,5	<0,02	< 0,6	<0,02	0,1	<0,000004	0,0089	<0,000015	0,0029	0,00150	<0,000024	<0,000006
Blanc	< 0,5	<0,02	< 0,6	0,09	0,2	<0,000004	0,0055	<0,000015	0,0155	0,00126	<0,000024	<0,000006
Blanc	< 0,5	<0,02	< 0,6	<0,02	0,1	<0,000004	0,6277	0,000285	0,0012	0,00471	<0,000044	0,000036

Assurance et contrôle
de qualité
Colonnes terrain

#Ech	Ca	Cd	Co	Cr	Cu	Fe	Hg	K	Li	Mg	Mn	Mo
	ICP-MS	ICP-MS	ICP-MS	ICP-MS	ICP-MS	ICP-MS	ICP-MS	ICP-MS	ICP-MS	ICP-MS	ICP-MS	ICP-MS
	mg/L	mg/L	mg/L	mg/L	mg/L	mg/L	mg/L	mg/L	mg/L	mg/L	mg/L	mg/L
Limite de détection	variable	variable	variable	variable	variable	variable	variable	variable	variable	variable	variable	variable
C6-01 (2)	42,11	0,000246	0,005355	0,001648	0,0624	0,164	0,001723	23,43	0,01524	9,805	0,1205	0,01291
C10-01 (2)												
C3-02 (2)												
C11-02 (2)	36,84	0,000420	0,007215	0,001781	0,0722	0,142	0,000925	20,56	0,01588	9,018	0,0878	0,01542
C3-03 (2)	31,71	0,000036	0,000521	0,000426	0,0198	0,025	0,000014	5,46	0,00662	2,688	0,0436	0,00712
C7-04 (2)	84,00	0,000251	0,006369	0,001813	0,0265	0,817	0,000078	8,31	0,01631	3,498	0,0609	0,01136
C7-05 (2)	82,41	0,000216	0,002134	0,001518	0,0130	0,153	0,000015	6,16	0,01262	2,377	0,0274	0,00681
C6-06 (2)	55,07	0,000035	0,000126	0,000396	0,0069	0,010	0,000060	9,75	0,00870	1,660	0,0032	0,00333
C6-07 (2)	61,45	0,000163	0,000152	0,000918	0,0094	0,073	0,000027	7,69	0,01102	1,225	0,0063	0,00230
C12-09 (2)	35,76	0,004580	0,464243	0,004450	0,7578	17,796	<0,000736	4,38	0,12759	22,380	1,7835	<0,000024
C4-10 (2)	61,20	0,000132	0,000212	0,001337	0,0112	0,132	<0,001838	4,68	0,00925	1,878	0,0136	0,00800
C7-12(2)	24,02	0,000151	0,000341	0,000166	0,0033	0,019	<0,000062	6,70	0,00659	1,704	0,0023	0,00267
C5-14 (2)	22,58	0,000080	0,000159	0,000364	0,0057	0,033	0,000657	1,46	0,00673	1,165	0,0038	0,00211
C8-14 (2)	8,65	0,000097	0,000251	0,000064	0,0060	0,265	0,000944	1,95	0,00368	0,496	0,0146	0,00739
Blanc	0,75	0,000021	<0,000015	0,000112	0,0008	0,009	<0,000021	0,02	0,00077	0,015	0,0004	0,00002
Blanc	0,09	0,000048	0,000016	0,000111	0,0014	0,018	<0,000021	0,02	0,00508	0,008	0,0004	<0,000017
Blanc	24,21	0,000830	0,001400	0,001076	0,0090	0,208	0,000068	0,36	0,00780	0,388	0,0099	0,00042

Assurance et contrôle
de qualité
Colonnes terrain

#Ech	Na	Ni	P	Pb	S	Sb	Sc	Se	Si	Sn	Sr	Ti
	ICP-MS	ICP-MS	ICP-MS	ICP-MS	ICP-MS	ICP-MS	ICP-MS	ICP-MS	ICP-MS	ICP-MS	ICP-MS	ICP-MS
	mg/L	mg/L	mg/L	mg/L	mg/L	mg/L	mg/L	mg/L	mg/L	mg/L	mg/L	mg/L
Limite de détection	variable	variable	variable	variable	variable	variable	variable	variable	variable	variable	variable	variable
C6-01 (2)	35,98	0,08921	0,631	0,000269	89,12	0,002421	0,002712	0,002692	0,909	0,001150	0,4492	0,002079
C10-01 (2)												
C3-02 (2)												
C11-02 (2)	24,31	0,07181	0,698	0,000396	74,38	0,002699	0,002869	0,001509	1,087	0,000583	0,3872	0,002309
C3-03 (2)	4,17	0,01554	0,272	0,000083	24,61	0,000667	0,000318	0,000869	0,429	0,000345	0,1271	0,000384
C7-04 (2)	7,61	0,04819	1,231	0,000631	24,10	0,001099	0,000575	0,001838	1,538	0,000256	0,1498	0,002399
C7-05 (2)	5,14	0,01547	0,903	0,000399	22,86	0,000753	0,000388	0,001676	1,247	0,000315	0,1261	0,001117
C6-06 (2)	2,65	0,00725	0,915	0,000031	43,94	0,000586	0,000272	0,000480	1,478	0,000060	0,1539	0,001288
C6-07 (2)	2,59	0,00534	0,922	0,000180	28,49	0,000380	0,000300	0,000400	1,302	0,000242	0,1117	0,001436
C12-09 (2)	0,82	2,89471	3,725	0,002949	142,86	0,000041	0,003940	0,003394	5,023	0,000759	0,0877	0,001066
C4-10 (2)	4,42	0,00612	0,795	0,000248	20,97	0,000746	0,000573	0,000392	0,743	0,005591	0,1107	0,000837
C7-12(2)	1,32	0,00425	<0,001	0,000562	<9,548	0,000286	0,000764	0,002139	0,587	0,011113	0,0825	0,000630
C5-14 (2)	1,02	0,00245	<0,020	0,000113	9,31	0,000933	0,000054	0,000543	0,519	0,000254	0,1072	0,000508
C8-14 (2)	0,34	<0,000426	<0,020	0,000033	7,43	0,000662	0,000072	0,000566	0,416	0,000193	0,0466	0,005585
Blanc	0,13	0,00025	<0,018	0,000120	<0,308	0,000108	<0,000017	<0,000013	0,095	<0,000019	0,0008	0,000457
Blanc	0,17	0,00052	<0,018	0,000357	<0,308	0,000091	<0,000017	<0,000013	0,038	0,000020	0,0003	0,000340
Blanc	1,85	0,01108	0,078	0,000593	1,54	0,000132	0,000096	0,000059	0,135	<0,000016	0,0226	0,001415

Assurance et contrôle
de qualité
Colonnes terrain

#Ech	Tl	U	V	Zn
	ICP-MS	ICP-MS	ICP-MS	ICP-MS
	mg/L	mg/L	mg/L	mg/L
<i>Limite de détection</i>	<i>variable</i>	<i>variable</i>	<i>variable</i>	<i>variable</i>
C6-01 (2)	0,000097	0,0232	0,00278	0,0150
C10-01 (2)				
C3-02 (2)				
C11-02 (2)	0,000045	0,0746	0,00344	0,0162
C3-03 (2)	0,000065	0,0392	0,00047	0,0139
C7-04 (2)	0,000058	0,0439	0,00168	0,0991
C7-05 (2)	0,000068	0,0165	0,00149	0,0626
C6-06 (2)	0,000110	0,0038	0,00086	0,0143
C6-07 (2)	0,000089	0,0015	0,00129	0,0210
C12-09 (2)	0,000344	0,0498	0,00018	1,1824
C4-10 (2)	0,000029	0,0501	0,00235	0,0653
C7-12(2)	0,000062	0,0038	0,00085	0,0128
C5-14 (2)	0,000044	0,0065	0,00166	0,0453
C8-14 (2)	0,000042	0,0533	0,00048	0,0948
Blanc	<0,000003	<0,000002	0,00011	0,0157
Blanc	<0,000003	<0,000002	0,00009	0,0162
Blanc	0,000002	0,0004	0,00346	0,0693

STP-9 Description: Suivi des qualités d'eau à l'effluent STP-9

Nom échantillon	#Ech CNRC	#Ech H2Lab	Date	Temps	Température terrain	pH terrain	Conductivité	ORP	Eh	Acidité	Alcalinité
					Sonde terrain	Sonde terrain	Sonde terrain	Sonde terrain	Calcul	Titrage	Titrage
				j	°C		µS/cm	mv	mv	mg CaCO3/L	mg CaCO3/L
<i>Limite de détection</i>	<i>Limite de détection</i>					0,01				2	2
STP9-01	Leachate #01	325895	2021-10-25	1	5,2	6,60	867	13,7	238	6	13
STP9-02	Leachate #02	327210	2021-11-09	16	3,0	6,61	715	13,2	240	6	17
STP9-03		331494	2022-01-18	86	0,5	6,29	927	129,4	358	7	19
STP9-04	STP-9 02-02-2022	331761	2022-01-25	93	0,6	6,50	1105	140,4	369	7	18
STP9-05	STP-9 02-15-2022	332709	2022-02-08	107	0,1	6,43				14	23
STP9-06	STP-9 02-22-2022	333497	2022-02-22	121	0,5	6,47	1071	82,8	312	7	47
STP9-07	STP-9 03-08-2022	334321	2022-03-08	135	0,2	6,48	4,11	101,9	331	7	28
STP9-08	STP-9 03-29-2022	335346	2022-03-29	156	0,4	6,59				7	25
STP9-09	STP-9 04-05-2022	2335853	2022-04-05	163	0,0	6,39				7	24
STP9-10	STP-9 04-19-2022	2336667	2022-04-19	177	0,1	6,60				9	32
STP9-11	STP-9 05-03-2022	2337803	2022-05-03	191	1,9	6,33	709	100,4	328	9	22
STP9-12	STP-9 17-05-22	2339301	2022-05-17	205	4,0	6,43	725	174,7	400	6	19
STP9-13	STP-9 31-05-22	2340551	2022-05-31	219	4,7	6,60	1096			4	16
STP9-14	STP-9 14-06-22	2341972	2022-06-14	233	18,9	6,40	1384	113,0	326	28	17
STP9-15	STP-9 28-Jun-22	2343194	2022-06-28	247	11,2	6,76	1221	120,1	340	9	21
STP9-16	STP-9 12-07-22	2344728	2022-07-12	261	8,0	6,61	1217	19,2	241	5	16
STP9-17	STP-9 26-07-22	2346204	2022-07-26	275	6,5	6,93	1176	147,9	371	4	20
STP9-18	STP-9 22-08-09	2347859	2022-08-09	289	1,9	6,51	1138	313,0	541	4	12
STP9-19	STP-9 22-08-23	2349065	2022-08-23	303	14,8	6,54				4	15
STP9-20	STP-9 22-09-06	2350511	2022-09-06	317	9,7	6,05	1200	222,3	443	13	18
STP9-21	STP-9 22-09-19	2351976	2022-09-20	331	5,6	6,61	1129	172,5	397	4	17
STP9-22	STP-9 22-10-04	2353216	2022-10-04	345	7,3	6,80				4	15
STP9-23	STP-9 22-10-18	2354595	2022-10-18	359	5,6	6,89		58,3	283	4	16
STP9-24	STP-9 2022-11-01	2356235	2022-11-01	373	2,8	6,81		0,3	227	7	16
STP9-25	STP-9 2022-11-15	2357307	2022-11-15	387	0,7	6,67	1786			7	18
STP9-26	STP-9 2022-12-06		2022-12-06	408	0,3	6,73	1350				
STP9-27	STP-9 2022-12-13	2359137	2022-12-13	415	0,1	6,68	1375			29	18
STP9-28	STP-9 2023-01-17	2360797	2023-01-17	450	0,2	7,04	2154	24	253	8	18
STP9-29	STP-9 2023-01-31	2362126	2023-01-31	464	-1,3	6,68	1224	14,4	245	6	24
STP9-30	STP-9 2023-04-18	2367669	2023-04-18	541	6,9	6,43	994	17,3	241	14	22
STP9-31	STP-9 2023-05-02	2369178	2023-05-02	555	1,8	6,54	680	43,7	271	7	11
STP9-32	STP-9 2023-05-16	2371355	2023-05-16	569	2,4	6,50		11,1	238	5	13
STP9-33	STP-9 2023-07-04	2378278	2023-07-04	618	23,7	6,65	1568	100,4	309	5	18
STP9-34	STP-9 2023-07-11	2379095	2023-07-11	625	14,5	6,87				7	16
STP9-35	STP-9 2023-07-25	2381390	2023-07-25	639	8,6	6,55				4	13
STP9-36	STP-9 2023-08-08	2383361	2023-08-08	653	9,8	6,82				8	11
STP9-37	STP-9 2023-08-22	2385455	2023-08-22	667	5,6	7,01				5	16
STP9-38	STP-9 2023-09-05	2387173	2023-09-05	681	9,3	6,77				5	14
STP9-39	STP-9 2023-10-03	2392113	2023-10-03	709	8,6	7,02	1045	4,4	226	3	14
STP9-40	STP-9 (2023-10-30)	2394667	2023-10-24	730	7,2	6,68		-9,3	214	7	15
STP9-41	STP-9 (2023-11-07)	2396545	2023-11-07	744	6,2	7,11	847	34,2	258	4	12
STP9-42	STP-9 (2023-11-21)	2397799	2023-11-21	758	6,1	7,22	873	35,9	260	4	12
STP9-43		2399867	2023-12-12	779	3,1	7,02	1060	46,8	273	4	12

Tableau 21: Suivi STP-9

STP-9

Nom échantillon	COD	Cl ⁻	F ⁻	SO ₄ ²⁻	S ₂ O ₃ ²⁻	ΣS	Ag	Al	As	B	Ba	Be
	(H2Lab-COT-211)	C.lon.	C.lon.	C.lon.	C.lon.	Calcul	ICP-MS	ICP-MS	ICP-MS	ICP-MS	ICP-MS	ICP-MS
	mg/L	mg/L	mg/L	mg/L	mg/L	mg/L	mg/L	mg/L	mg/L	mg/L	mg/L	mg/L
Limite de détection	0,2	0,5	0,02	0,6	0,02		variable	variable	variable	variable	variable	variable
STP9-01	4,6	1,9	0,13	707	< 0,02	234,7	0,000050	0,0625	0,00012	0,01060	0,01636	0,000006
STP9-02	4,7	1,1	0,15	671	< 0,02	222,8	0,000055	0,0611	0,00011	0,01044	0,01706	nd
STP9-03	3,8	1,4	0,11	919	< 0,02	305,1						
STP9-04	4,8	1,6	0,10	937	0,72	311,5	<0,000015	0,0989	0,00020	0,15896	0,03446	0,000005
STP9-05	6,1	1,6	0,06	1020	< 0,02	338,6	<0,000015	0,0398	0,00018	0,06489	0,03287	0,000014
STP9-06	4,0	2,4	0,27	945	< 0,02	313,7	<0,000015	0,0206	0,00008	0,01465	0,01705	<0,0000048
STP9-07	4,4	1,5	0,06	1050	< 0,02	348,6	<0,000015	0,2163	0,00019	0,02107	0,03376	0,000005
STP9-08	5,1	2,3	0,07	1020	< 0,02	338,6	<0,000015	0,3247	0,00041	0,02163	0,03538	0,000017
STP9-09	2,5	1,4	0,06	792	< 0,02	262,9	<0,000015	0,0523	0,00012	0,01793	0,02998	0,000005
STP9-10	4,0	1,4	0,04	801	< 0,02	265,9	<0,000015	0,1019	0,00021	0,02098	0,02685	<0,0000048
STP9-11	2,7	1,6	0,13	554	< 0,02	183,9	<0,000015	0,2244	0,00036	0,01994	0,02298	0,000011
STP9-12	2,6	0,6	0,12	651	< 0,02	216,1	0,000006	0,0562	0,00016	0,02149	0,02092	<0,000012
STP9-13	2,6	1,0	0,12	988	< 0,02	328,0	0,000003	0,0285	0,00012	0,02840	0,02679	0,000012
STP9-14	1,8	1,2	0,10	1060	< 0,02	351,9	<0,000003	0,5659	0,00040	0,04104	0,03655	<0,000033
STP9-15	2,7	1,3	< 0,02	1090		361,9	<0,000003	0,0438	0,00009	0,02733	0,03019	<0,000033
STP9-16	3,4	1,6	0,10	1020	< 0,02	338,6	0,000002	0,0883	0,00007	0,02668	0,03196	<0,000009
STP9-17		1,2	0,05	1100	< 0,02	365,2	<0,0000075	0,0436	0,00014	0,02752	0,02977	<0,000009
STP9-18	2,3	1,2	0,11	1020	< 0,02	338,6	<0,000004	0,0521	0,00013	0,03563	0,03223	0,000039
STP9-19	3,9	2,8	0,07	1070	< 0,02	355,2	<0,000004	0,0360	0,00011	0,03066	0,03273	<0,000024
STP9-20		1,3	0,18	1000	< 0,02	332,0	<0,000004	0,0454	0,00010	0,02649	0,02810	<0,000024
STP9-21	3,0	1,4	0,15	1300	< 0,02	431,6	<0,000044	0,0212	0,0006	0,01164	0,03024	<0,000437
STP9-22	3,1	1,4	0,13	1100	0,12	365,3	<0,000044	<0,005	0,0008	0,01308	0,02904	<0,000437
STP9-23	2,5	1,4	0,14	1010	< 0,02	335,3	<0,000044	<0,005	0,0005	0,00823	0,02724	<0,000437
STP9-24	2,5	1,2	0,13	973	< 0,02	323,0	<0,000002	0,0480	0,00012	0,02993	0,02926	<0,000033
STP9-25	2,0	1,1	0,12	1020	< 0,02	338,6	<0,000002	0,0242	0,00037	0,05198	0,01994	<0,000017
STP9-26							<0,000002	0,0312	0,00021	0,02684	0,02639	0,000019
STP9-27	2,3	1,2	0,12	1030	< 0,02	342,0	<0,000002	0,0298	0,00018	0,02849	0,02649	0,000030
STP9-28	2,9	1,2	0,11	1080	< 0,02	358,6	<0,000002	0,0243	0,00012	0,02862	0,02873	<0,000033
STP9-29	3,4	1,2	0,10	1090	< 0,02	361,9	0,000005	0,0272	0,00014	0,02592	0,02255	0,000025
STP9-30	3,3	0,9	0,11	746	< 0,02	247,7	0,000054	0,0789	0,00022	0,02720	0,02024	0,000021
STP9-31	4,7	1,4	0,12	516	< 0,02	171,3	0,000010	0,0728	0,00013	0,02275	0,01451	0,000034
STP9-32	3,9	0,6	0,10	541	< 0,02	179,6	0,000005	0,0344	0,00007	0,01760	0,01307	<0,000013
STP9-33	4,1	0,9	0,11	876	< 0,02	290,8	0,000019	0,4645	0,00031	0,03221	0,02801	0,000026
STP9-34	3,0	0,9	0,10	835	< 0,02	277,2	<0,000002	0,1276	0,00017	0,02528	0,02109	0,000008
STP9-35	4,1	0,8	0,10	777	< 0,02	258,0	0,000014	0,1798	0,00016	0,03037	0,02364	0,000017
STP9-36	5,3	0,9	0,09	824	< 0,02	273,6	0,000013	0,0332	0,00023	0,03895	0,02175	0,000011
STP9-37	4,4	1,2	0,10	886	< 0,02	294,1	0,000009	0,0279	0,00014	0,04443	0,02261	0,000014
STP9-38	3,9	1,0	0,10	893	< 0,02	296,5	0,000006	0,0404	0,00013	0,03685	0,02174	0,000009
STP9-39	4,2	1,2	0,07	1050	< 0,02	348,6	<0,000007	0,0780	0,00018	0,03379	0,02408	0,000017
STP9-40	4,2	1,2	0,12	755	< 0,02	250,7	<0,000003	0,0578	0,00018	0,02382	0,02063	0,000010
STP9-41	4,2	19,0	0,12	794	< 0,02	263,6	<0,000003	0,1330	0,00020	0,02579	0,02207	0,000015
STP9-42	4,6	23,3	0,12	969	< 0,02	321,7	0,000010	0,3109	0,00021	0,02602	0,02606	0,000021
STP9-43	4,2	1,4	0,11	994	0,48	330,3						

Tableau 21: Suivi STP-9

STP-9

Nom échantillon	Bi	Ca	Cd	Co	Cr	Cu	Fe	Hg	K	Li	Mg	Mn
	ICP-MS	ICP-MS	ICP-MS	ICP-MS	ICP-MS	ICP-MS	ICP-MS	ICP-MS	ICP-MS	ICP-MS	ICP-MS	ICP-MS
	mg/L	mg/L	mg/L	mg/L	mg/L	mg/L	mg/L	mg/L	mg/L	mg/L	mg/L	mg/L
<i>Limite de détection</i>	<i>variable</i>	<i>variable</i>	<i>variable</i>	<i>variable</i>	<i>variable</i>	<i>variable</i>	<i>variable</i>	<i>variable</i>	<i>variable</i>	<i>variable</i>	<i>variable</i>	<i>variable</i>
STP9-01	nd	104,17	0,00050	0,02273	0,000337	0,01550	0,141	nd	27,861	0,03524	22,795	0,223
STP9-02	nd	102,38	0,00049	0,02096	0,000366	0,01773	0,144	nd	27,178	0,03445	22,714	0,214
STP9-03												
STP9-04	0,000025	277,27	0,00056	0,00393	0,001690	0,01094	0,203	<0,0000105	35,405	0,04161	31,878	0,115
STP9-05	0,000003	320,89	0,00053	0,01509	0,000373	0,00734	0,190	<0,0000105	36,402	0,03745	32,446	0,483
STP9-06	0,000003	166,89	0,00027	0,00857	0,000240	0,00288	0,298	<0,0000105	18,708	0,01790	16,897	0,375
STP9-07	0,000007	336,95	0,00034	0,01446	0,000973	0,00475	1,252	<0,0000105	34,773	0,03444	31,078	0,782
STP9-08	0,000022	323,90	0,00053	0,01330	0,001495	0,01243	1,948	<0,0000105	32,439	0,03497	28,555	0,632
STP9-09	0,000002	264,38	0,00029	0,01300	0,000473	0,00476	0,474	<0,0000105	29,733	0,03113	26,617	0,606
STP9-10	0,000006	274,80	0,00035	0,02121	0,000905	0,00550	0,450	<0,0000105	30,928	0,02916	27,256	0,848
STP9-11	0,000003	214,46	0,00068	0,03321	0,001131	0,02446	2,461	<0,0000105	25,426	0,05798	19,718	0,573
STP9-12	<0,000009	190,63	0,00076	0,03124	0,000318	0,01734	0,346	<0,000006	24,444	0,05182	20,034	0,373
STP9-13	<0,000009	282,05	0,00081	0,02649	0,000131	0,01349	0,059	<0,000006	32,900	0,05216	26,057	0,324
STP9-14	0,000013	368,23	0,00096	0,03539	0,002012	0,03052	0,940	<0,000014	37,553	0,07005	31,129	0,331
STP9-15	<0,000013	347,71	0,00075	0,01949	0,000456	0,00715	0,033	<0,000014	40,666	0,05985	32,751	0,280
STP9-16	<0,00001	301,60	0,00068	0,01266	0,000232	0,01028	0,056	<0,000006	34,976	0,05042	28,457	0,224
STP9-17	<0,00001	301,91	0,00081	0,01949	0,000155	0,02151	0,048	<0,000006	37,667	0,05573	30,442	0,271
STP9-18	<0,000006	299,37	0,00096	0,02238	0,000453	0,05345	0,057	0,000124	38,936	0,08572	31,355	0,198
STP9-19	<0,000006	310,65	0,00082	0,01876	0,000307	0,01952	0,055	0,000020	37,839	0,06857	31,268	0,226
STP9-20	<0,000006	299,51	0,00071	0,01697	0,000228	0,02096	0,056	0,000063	37,334	0,05891	30,542	0,227
STP9-21	0,000160	409,10	0,00088	0,01866	0,000814	0,02308	0,016	0,000000	42,235	0,05618	35,805	0,249
STP9-22	0,000089	391,94	0,00107	0,01793	0,000231	0,01391	<0,002	0,000081	39,740	0,04981	34,447	0,274
STP9-23	0,000055	345,34	0,00092	0,01704	<0,000217	0,02104	<0,002	0,000068	34,743	0,04749	30,363	0,285
STP9-24	<0,000003	266,15	0,00071	0,01336	0,000324	0,01965	0,047	<0,000736	27,072	0,04920	24,212	0,274
STP9-25	0,000048	226,35	0,00050	0,01107	<0,000065	0,02176	0,452	<0,000220	18,832	0,03399	20,003	0,638
STP9-26	0,000050	308,35	0,00065	0,01406	0,000078	0,01809	0,026	<0,000220	26,280	0,04939	27,088	0,298
STP9-27	0,000062	306,09	0,00063	0,01303	<0,000065	0,01469	0,020	<0,000220	25,691	0,04884	26,827	0,288
STP9-28	0,000026	261,18	0,00061	0,01268	0,000085	0,01920	0,026	<0,000736	25,735	0,04467	24,034	0,334
STP9-29	0,000238	296,41	0,00075	0,01282	0,000087	0,02725	0,036	<0,000068	30,364	0,03950	27,411	0,336
STP9-30	0,000250	<0,004	0,00101	0,03782	0,000105	0,07976	1,238	<0,000210	<0,001	0,05224	<0,001	0,551
STP9-31	0,000205	109,98	0,00100	0,01966	0,000154	0,04371	0,060	<0,001838	15,058	0,05247	11,052	0,160
STP9-32	<0,000002	183,34	0,00051	0,00507	0,000653	0,01246	0,036	<0,000006	17,010	0,03885	15,072	0,044
STP9-33	0,000036	339,69	0,00098	0,01016	0,002107	0,01682	0,286	0,000013	13,156	0,04746	26,034	0,323
STP9-34	0,000006	301,96	0,00043	0,00428	0,000613	0,00996	0,075	<0,000939	25,995	0,03334	23,789	0,192
STP9-35	0,000013	132,44	0,00102	0,01292	0,000792	0,01608	0,132	<0,000028	14,767	0,04624	27,010	0,135
STP9-36	0,000002	222,96	0,00071	0,00953	0,000281	0,01566	0,457	<0,000062	38,535	0,03874	19,552	0,350
STP9-37	<0,000005	223,22	0,00081	0,01037	0,000163	0,01341	0,055	0,000023	34,591	0,05369	25,171	0,109
STP9-38	<0,000004	265,77	0,00434	0,01097	0,000020	0,01486	0,121	<0,000034	31,329	0,05932	26,958	0,145
STP9-39	0,000007	170,84	0,00078	0,01548	0,000265	0,02369	0,084	0,00033	7,086	0,05227	18,816	0,210
STP9-40	<0,000002	230,00	0,00066	0,01247	0,000140	0,03274	0,075	0,00038	27,706	0,04245	22,982	0,192
STP9-41	<0,000002	243,30	0,00065	0,01280	0,000328	0,03730	0,068	0,00032	27,780	0,04477	23,742	0,188
STP9-42	0,000006	289,52	0,00074	0,01076	0,001223	0,03106	0,172	<0,000322	25,952	0,03592	23,555	0,176
STP9-43												

Tableau 21: Suivi STP-9

STP-9

Nom échantillon	Mo	Na	Ni	P	Pb	S	Sb	Sc	Se	Si	Sn	Sr
	ICP-MS	ICP-MS	ICP-MS	ICP-MS	ICP-MS	ICP-MS	ICP-MS	ICP-MS	ICP-MS	ICP-MS	ICP-MS	ICP-MS
	mg/L	mg/L	mg/L	mg/L	mg/L	mg/L	mg/L	mg/L	mg/L	mg/L	mg/L	mg/L
<i>Limite de détection</i>	<i>variable</i>	<i>variable</i>	<i>variable</i>	<i>variable</i>	<i>variable</i>	<i>variable</i>	<i>variable</i>	<i>variable</i>	<i>variable</i>	<i>variable</i>	<i>variable</i>	<i>variable</i>
STP9-01	0,01074	4,602	0,09941	2,373	0,000204	202	0,000092	0,00584	0,000568	3,543	nd	0,316
STP9-02	0,01092	4,566	0,09885	2,304	0,000061	200	0,000088	0,00616	0,000541	3,958	nd	0,347
STP9-03												
STP9-04	0,00659	6,851	0,10571	3,758	0,000842	278	0,000175	0,00355	0,000531	6,466	0,000444	0,431
STP9-05	0,00799	6,712	0,10739	3,366	0,000266	312	0,000167	0,00339	0,000430	6,610	0,000117	0,470
STP9-06	0,00460	3,687	0,05241	1,778	0,000099	165	0,000074	0,00168	0,000247	3,585	0,000129	0,243
STP9-07	0,00720	8,369	0,20885	3,263	0,000297	290	0,000118	0,00324	0,000270	6,577	0,000173	0,435
STP9-08	0,00814	9,505	0,08241	3,327	0,000373	280	0,000158	0,00287	0,000262	6,227	0,000101	0,464
STP9-09	0,00795	5,644	0,07010	3,343	0,000242	287	0,000116	0,00237	0,000192	5,706	0,000070	0,423
STP9-10	0,01039	6,076	0,06698	3,159	0,000451	263	0,000063	0,00231	0,000184	5,698	0,000033	0,400
STP9-11	0,01003	5,387	0,13480	2,738	0,000308	181	0,000121	0,00191	0,000805	4,776	0,000056	0,282
STP9-12	0,01400	3,339	0,12012	2,490	0,000155	210	0,000076	0,00120	0,000684	3,843	<0,000316	0,306
STP9-13	0,01173	4,480	0,12340	2,554	0,000040	279	0,000079	0,00132	0,000672	4,530	<0,000316	0,402
STP9-14	0,01599	8,368	0,18953	2,715	0,000545	290	0,000231	0,00207	0,000957	4,772	0,000103	0,493
STP9-15	0,01424	6,126	0,13247	2,781	0,000061	362	0,000084	0,00161	0,000605	4,710	0,000124	0,497
STP9-16	0,01047	5,468	0,09878	2,257	0,000057	293	<0,000013	0,00116	0,000501	4,684	<0,000047	0,466
STP9-17	0,01127	5,244	0,11559	2,234	0,000140	296	0,000018	0,00117	0,000663	5,055	<0,000047	0,456
STP9-18	0,01595	5,592	0,17250	3,025	0,000047	343	0,000062	0,00146	0,001196	5,019	<0,000019	0,454
STP9-19	0,01358	5,653	0,13855	2,886	<0,000018	339	0,000031	0,00134	0,000753	4,860	<0,000019	0,465
STP9-20	0,01263	6,595	0,11523	2,777	0,000029	306	0,000028	0,00118	0,000607	4,954	<0,000019	0,413
STP9-21	0,01428	6,414	0,15367	2,774	<0,000276	340	0,000439	0,00212	0,000917	5,265	<0,000158	0,520
STP9-22	0,01259	6,263	0,14089	2,682	<0,000276	328	0,000568	0,00206	0,000846	5,198	<0,000158	0,528
STP9-23	0,01188	5,462	0,13678	2,847	<0,000276	326	<0,000103	0,00166	0,000682	4,706	<0,000158	0,530
STP9-24	0,00920	3,272	0,11088	3,804	0,000055	378	0,000054	0,00160	0,000566	4,834	0,000917	0,466
STP9-25	0,00954	4,256	0,07956	4,810	0,000593	233	0,000043	0,00173	0,000395	5,760	0,000511	0,335
STP9-26	0,01219	4,029	0,10813	3,745	0,000338	370	0,000044	0,00187	0,000520	4,395	0,000336	0,423
STP9-27	0,01102	3,949	0,10711	3,887	0,000388	386	0,000041	0,00189	0,000501	4,332	0,000539	0,429
STP9-28	0,00770	3,220	0,09670	4,089	0,000175	393	0,000049	0,00168	0,000462	4,942	0,001088	0,489
STP9-29	0,00822	5,650	0,08282	3,818	0,001260	305	0,000056	0,00160	0,000336	5,326	0,001173	0,438
STP9-30	0,00548	<0,001	0,14817	3,283	0,001378	198	0,000040	0,00153	0,000489	<0,002	0,004334	0,309
STP9-31	0,00877	1,973	0,14257	2,690	0,001079	199	0,000066	0,00128	0,000605	2,494	0,005362	0,204
STP9-32	0,00089	2,392	0,09618	1,677	0,000029	116	0,000049	0,00091	0,000496	3,068	0,005768	0,210
STP9-33	0,01179	7,443	0,13654	0,102	0,000741	326	0,000126	0,00848	0,000045	2,555	0,008211	0,453
STP9-34	0,00871	5,321	0,10776	0,146	0,000278	108	0,000053	0,00395	0,001045	4,093	0,005176	0,326
STP9-35	0,00989	5,087	0,17016	0,051	0,000273	254	0,000094	0,00804	0,000641	2,521	0,008243	0,350
STP9-36	0,01007	4,590	0,12752	0,009	0,000154	243	0,000077	0,00522	<0,000548	3,050	0,010762	0,350
STP9-37	0,01122	4,448	0,13249	0,005	0,000065	284	0,000052	0,00699	<0,001037	5,189	0,009468	0,375
STP9-38	0,01339	4,597	0,16327	<0,001	0,000048	354	0,000062	0,00635	0,001461	5,100	0,000041	0,399
STP9-39	0,01163	3,762	0,13985	<0,020	0,000100	79	0,000054	0,00019	0,000837	1,255	<0,000009	0,445
STP9-40	0,01148	4,123	0,12241	<0,002	0,000080	262	0,000063	0,00047	0,001026	3,720	0,000072	0,416
STP9-41	0,01244	4,819	0,11761	0,011	0,000219	276	0,000059	0,00051	0,000962	3,479	0,000053	0,435
STP9-42	0,01110	7,644	0,10406	0,105	0,000941	284	0,000062	0,00053	0,000829	4,101	0,000117	0,375
STP9-43												

Tableau 21: Suivi STP-9

STP-9

Nom échantillon	Ti	Tl	U	V	Zn	Notes
	ICP-MS	ICP-MS	ICP-MS	ICP-MS	ICP-MS	
	mg/L	mg/L	mg/L	mg/L	mg/L	
<i>Limite de détection</i>	<i>variable</i>	<i>variable</i>	<i>variable</i>	<i>variable</i>	<i>variable</i>	
STP9-01	0,0034	0,00010	0,00222	0,00536	0,0519	
STP9-02	0,0032	0,00010	0,00200	0,00563	0,0482	
STP9-03						Pas d'échantillon envoyé au CNRC.
STP9-04	0,0055	0,00008	0,00048	0,00067	0,4229	Valeur S ₂ O ₃ ²⁻ élevée.
STP9-05	0,0021	0,00010	0,00210	0,00050	0,0631	
STP9-06	0,0010	0,00005	0,00145	0,00027	0,0528	
STP9-07	0,0019	0,00008	0,00296	0,00080	0,0495	Valeur conductivité basse.
STP9-08	0,0019	0,00009	0,00302	0,00103	0,0578	
STP9-09	0,0021	0,00007	0,00253	0,00049	0,0498	
STP9-10	0,0024	0,00008	0,00461	0,00059	0,0447	
STP9-11	0,0016	0,00011	0,00250	0,00078	0,0678	
STP9-12	0,0006	0,00013	0,00173	0,00025	0,0796	
STP9-13	0,0006	0,00013	0,00206	0,00025	0,0805	
STP9-14	0,0032	0,00013	0,00137	0,00514	0,1482	
STP9-15	0,0012	0,00013	0,00037	0,00162	0,1043	
STP9-16	0,0008	0,00013	0,00152	0,00030	0,0967	
STP9-17	0,0010	0,00014	0,00207	0,00019	0,0913	
STP9-18	0,0010	0,00015	0,00086	0,00026	0,1077	
STP9-19	0,0008	0,00013	0,00176	0,00022	0,0882	
STP9-20	0,0009	0,00012	0,00213	0,00027	0,0724	
STP9-21	0,0027	0,00015	0,00180	0,00067	0,0874	
STP9-22	0,0017	0,00013	0,00176	0,00069	0,0890	
STP9-23	0,0016	0,00014	0,00185	0,00028	0,0789	
STP9-24	0,0008	0,00012	0,00208	0,00028	0,0741	
STP9-25	0,0012	0,00007	0,00221	0,00020	0,1178	
STP9-26	0,0013	0,00010	0,00161	0,00022	0,0622	L'échantillon n'a pas été analysé chez H2Lab.
STP9-27	0,0015	0,00009	0,00149	0,00023	0,0605	
STP9-28	0,0010	0,00011	0,00179	0,00023	0,0665	
STP9-29	0,0021	0,00009	0,00191	0,00023	0,0717	
STP9-30	0,0019	0,00011	0,00209	0,00030	0,1451	Demande adressée au CNRC car certains résultats douteux: impossible de réanalyser.
STP9-31	0,0019	0,00009	0,00101	0,00031	0,1004	
STP9-32	0,0008	0,00008	0,00072	0,00026	0,0775	
STP9-33	0,0026	0,00011	0,00128	0,00242	0,0978	
STP9-34	0,0016	0,00008	0,00058	0,00076	0,0715	
STP9-35	0,0018	0,00012	0,00077	0,00193	0,1101	
STP9-36	0,0036	0,00012	0,00114	0,00113	0,0739	
STP9-37	0,0020	0,00012	0,00054	0,00143	0,0910	
STP9-38	0,0018	0,00013	0,00062	0,00138	0,0870	
STP9-39	0,0006	0,00014	0,00131	0,00015	0,1357	Certains éléments majeurs sont anormalement plus faibles (S, K, Si).
STP9-40	0,0006	0,00011	0,00150	0,00009	0,0731	
STP9-41	0,0003	0,00011	0,00173	0,00029	0,0690	Valeur Cl ⁻ élevée.
STP9-42	0,0009	0,00010	0,00157	0,00088	0,0957	Valeur Cl ⁻ élevée.
STP9-43						Pas d'échantillon envoyé au CNRC. Valeur S ₂ O ₃ ²⁻ élevée.

Cellule humide Cell1 Description: Cell1 - Stériles oxydés J4 (composite de E12-01 à E12-10)
Masse (kg) : 0,9959
Début de l'essai : 2022-06-09
Type de test : Cellule humide en laboratoire (stériles)

Rinçage	#Ech H2Lab	Date	Temps	Volume eau	Température	pH	Conductivité	ORP	Eh	Acidité	Alcalinité
			jour	ml	Électrode °C	Électrode -	Électrode µS/cm	Électrode mV	Calcul mV	Titrage mg CaCO ₃ /L	Titrage mg CaCO ₃ /L
<i>Limite de détection</i>											
Cell1-01	2342533	2022-06-09	1	818	21,2	5,34	149	69	280	14	5
Cell1-02	2342537	2022-06-16	8	978	21,9	4,75	207	90	300	13	3
Cell1-03	2343525	2022-06-23	15	826	21,9	4,66	118	92	301	13	3
Cell1-04	2343529	2022-06-30	22	854	21,9	4,46	116	70	280	12	5
Cell1-05	2345377	2022-07-07	29	892	21,0	4,63	67	79	290	11	5
Cell1-06	2345766	2022-07-14	36	829	22,5	4,06	63	99	308	11	
Cell1-07	2346949	2022-07-21	43	832	21,6	4,13	70	129	339	14	
Cell1-08	2346944	2022-07-28	50	1055	21,7	4,44	120	151	361	25	
Cell1-09	2348636	2022-08-04	57	993	22,3	3,73	79	157	367	20	
Cell1-10	2348918	2022-08-11	64	920	21,6	3,57	72	207	417	19	
Cell1-11	2350106	2022-08-18	71	925	21,4	3,46	69	236	446	18	
Cell1-12	2350110	2022-08-25	78	922	22,0	3,99	70	240	449	20	
Cell1-13	2351266	2022-09-01	85	919	21,7	6,18	1043	16	226	16	5
Cell1-14	2351262	2022-09-08	92	913	21,4	5,70	105	4	214	17	5
Cell1-15		2022-09-15	99	880	21,5	5,35	81	55	265	21	
Cell1-16		2022-09-22	106	877	20,3	4,23	79	88	300	18	
Cell1-17	2354040	2022-09-29	113	917	20,9	4,64	74	332	543	21	3
Cell1-18	2354044	2022-10-06	120	917	20,5	5,73	75	109	320	18	3
Cell1-19	2355217	2022-10-13	127	878	20,5	4,14	35	295	506	22	
Cell1-20	2355213	2022-10-19	133	885	20,5	5,87	174	52	263	22	10
Cell1-21	2356622	2022-10-27	141	868	20,5	5,28	817	139	350	27	5

Cellule humide Cell1

Rinçage	Cl ⁻	F ⁻	SO ₄ ²⁻	S ₂ O ₃ ²⁻	ΣS	Ag	Al	As	B	Ba	Be	Bi
	C.Ion.	C.Ion.	C.Ion.	C.Ion.	Calcul	ICP-MS	ICP-MS	ICP-MS	ICP-MS	ICP-MS	ICP-MS	ICP-MS
	mg/l	mg/l	mg/l	mg/l	mg/l	mg/l	mg/l	mg/l	mg/l	mg/l	mg/l	mg/l
<i>Limite de détection</i>	0,5	0,02	0,6	0,02		<i>variable</i>	<i>variable</i>	<i>variable</i>	<i>variable</i>	<i>variable</i>	<i>variable</i>	<i>variable</i>
Cell1-01	2,4	0,03	52,8	0,62	17,9	<0,000003	0,0441	0,000256	0,0069	0,01831	<0,000033	0,000027
Cell1-02	0,6	< 0,02	91,9	0,05	30,5	<0,000003	0,0365	0,000420	0,0065	0,01321	<0,000033	<0,000013
Cell1-03	< 0,5	< 0,02	47,1	< 0,02	15,6	<0,000003	0,0287	0,000222	0,0037	0,00986	<0,000033	<0,000013
Cell1-04	2,1	< 0,02	44,4	1,45	15,6	<0,000003	0,0427	0,000547	<0,00381	0,01073	<0,000033	<0,000013
Cell1-05	2,7	< 0,02	22,3	2,77	9,0	0,000042	0,0355	0,001663	0,0033	0,00980	0,000029	0,000010
Cell1-06	< 0,5	< 0,02	0,6	2,39	1,6	0,000006	0,0375	0,000268	0,0030	0,00832	0,000043	0,000005
Cell1-07	< 0,5	< 0,02	31,7	1,12	11,2	0,000003	0,0353	0,000439	0,0048	0,00876	0,000061	0,000021
Cell1-08	< 0,5	< 0,02	40,0	0,47	13,5	0,000001	0,0538	0,000255	0,0054	0,01022	0,000036	0,000008
Cell1-09	< 0,5	< 0,02	29,6	< 0,02	9,8	<0,000004	0,0429	0,000034	0,0018	0,00574	0,000025	<0,000006
Cell1-10	< 0,5	< 0,02	24,1	< 0,02	8,0	<0,000004	0,0474	0,000048	0,0017	0,00529	0,000037	<0,000006
Cell1-11	< 0,5	< 0,02	24,8	2,44	9,6	<0,000004	0,0533	0,000122	0,0010	0,00533	0,000028	<0,000006
Cell1-12	< 0,5	< 0,02	23,7	2,75	9,4	<0,000004	0,0580	0,000544	0,0019	0,00617	0,000028	0,000017
Cell1-13	14,5	< 0,02	22,4	2,39	8,8	<0,000004	0,0455	0,000601	0,0021	0,00492	0,000061	<0,000006
Cell1-14	< 0,5	< 0,02	22,0	2,32	8,6	0,000009	0,0510	0,000068	0,0053	0,00630	0,000054	<0,000006
Cell1-15						<0,000013	0,0722	<0,00004	0,0017	0,00447	0,000024	<0,000011
Cell1-16						<0,000013	0,0898	<0,00004	0,0014	0,00398	0,000043	<0,000011
Cell1-17	< 0,5	< 0,02	22,1	2,78	8,9	<0,000013	0,0822	0,000044	0,0045	0,00538	0,000086	0,000282
Cell1-18	< 0,5	< 0,02	20,3	2,29	8,0	<0,000013	0,0815	<0,00004	0,0038	0,00586	0,000071	0,000264
Cell1-19	< 0,5	< 0,02	24,2	2,30	9,3	0,000003	0,0714	0,000151	0,0053	0,00557	0,000130	0,000214
Cell1-20	< 0,5	< 0,02	22,9	1,91	8,7	<0,000004	0,0733	0,000153	0,0027	0,00493	0,000111	0,000268
Cell1-21	10,2	< 0,02	21,2	1,84	8,1	0,000014	0,0620	0,000072	0,0073	0,00652	0,000123	0,000270

Cellule humide Cell1

Rinçage	Ca	Cd	Co	Cr	Cu	Fe	Hg	K	Li	Mg	Mn	Mo
	ICP-MS	ICP-MS	ICP-MS	ICP-MS	ICP-MS	ICP-MS	ICP-MS	ICP-MS	ICP-MS	ICP-MS	ICP-MS	ICP-MS
	mg/l	mg/l	mg/l	mg/l	mg/l	mg/l	mg/l	mg/l	mg/l	mg/l	mg/l	mg/l
<i>Limite de détection</i>	<i>variable</i>	<i>variable</i>	<i>variable</i>	<i>variable</i>	<i>variable</i>	<i>variable</i>	<i>variable</i>	<i>variable</i>	<i>variable</i>	<i>variable</i>	<i>variable</i>	<i>variable</i>
Cell1-01	6,84	0,000564	0,075327	0,000291	0,1366	4,033	<0,000014	11,29	0,03232	3,062	0,1790	0,00044
Cell1-02	20,70	0,000306	0,033731	0,000297	0,0114	2,152	<0,000014	11,30	0,02973	5,243	0,9196	0,00008
Cell1-03	11,65	0,000214	0,021990	0,000075	0,0072	2,243	<0,000014	6,29	0,01912	2,155	0,5408	0,00019
Cell1-04	10,72	0,000255	0,032311	0,000139	0,0090	2,690	<0,000014	5,86	0,02042	1,905	0,5236	0,00000
Cell1-05	5,20	0,000233	0,023445	0,000288	0,0130	2,493	<0,000006	4,17	0,02108	0,963	0,2804	0,00050
Cell1-06	3,94	0,000212	0,025591	0,000132	0,0156	2,870	<0,000006	3,92	0,01756	0,899	0,2662	0,00007
Cell1-07	4,04	0,000192	0,023953	0,000141	0,0061	3,303	<0,000006	4,01	0,02596	0,894	0,2260	0,00055
Cell1-08	7,55	0,000338	0,040188	0,000384	0,0208	5,959	<0,000006	4,16	0,03985	1,191	0,3537	0,00006
Cell1-09	4,64	0,000273	0,031367	<0,000021	0,0231	4,748	<0,000021	3,60	0,02461	0,808	0,2270	<0,000017
Cell1-10	4,05	0,000203	0,026663	0,000039	0,0152	4,375	<0,000021	3,16	0,01384	0,689	0,1742	<0,000017
Cell1-11	3,87	0,000267	0,025558	0,000281	0,0127	4,199	<0,000021	3,83	0,01512	0,898	0,1486	0,00002
Cell1-12	3,78	0,001596	0,022821	0,000405	0,0459	4,267	<0,000021	4,56	0,01754	0,817	0,1213	<0,000017
Cell1-13	3,63	0,000361	0,022398	0,000253	0,0028	3,776	<0,000021	96,90	0,01782	0,796	0,1110	0,00009
Cell1-14	3,14	0,000315	0,022965	0,000248	0,0246	4,282	<0,000021	3,60	0,01425	0,724	0,1164	<0,000017
Cell1-15	2,46	0,000184	0,026657	0,000046	0,0337	5,284	<0,000163	3,35	0,01452	0,718	0,1047	<0,000051
Cell1-16	2,53	0,000201	0,025921	0,000062	0,0416	4,895	<0,000163	3,54	0,01567	0,740	0,0971	<0,000051
Cell1-17	2,50	0,000704	0,023456	0,016823	0,0527	5,419	<0,000163	3,68	0,01233	0,698	0,0853	0,00004
Cell1-18	2,19	0,000826	0,022922	0,000178	0,0610	5,067	0,000312	3,42	0,01230	0,634	0,0771	<0,000051
Cell1-19	2,22	0,000375	0,020935	0,000296	0,0658	5,615	0,000024	3,54	0,01342	0,601	0,0723	0,00023
Cell1-20	1,90	0,000570	0,020089	0,000130	0,0660	5,756	0,000018	3,31	0,01243	0,518	0,0597	0,00004
Cell1-21	2,18	0,000491	0,020081	0,000125	0,0866	5,053	0,000026	13,70	0,01193	0,549	0,0546	0,00020

Cellule humide Cell1

Rinçage	Na	Ni	P	Pb	S	Sb	Sc	Se	Si	Sn	Sr	Ti
	ICP-MS	ICP-MS	ICP-MS	ICP-MS	ICP-MS	ICP-MS	ICP-MS	ICP-MS	ICP-MS	ICP-MS	ICP-MS	ICP-MS
	mg/l	mg/l	mg/l	mg/l	mg/l	mg/l	mg/l	mg/l	mg/l	mg/l	mg/l	mg/l
<i>Limite de détection</i>	<i>variable</i>	<i>variable</i>	<i>variable</i>	<i>variable</i>	<i>variable</i>	<i>variable</i>	<i>variable</i>	<i>variable</i>	<i>variable</i>	<i>variable</i>	<i>variable</i>	<i>variable</i>
Cell1-01	3,67	0,40995	0,272	0,013958	20,70	0,000749	0,000076	0,000657	0,476	0,047660	0,0187	0,000471
Cell1-02	1,95	0,24642	0,575	0,022635	31,84	0,000184	0,000169	0,001580	0,944	0,017433	0,0287	0,000173
Cell1-03	0,83	0,17520	0,575	0,011261	17,91	0,000127	0,000113	0,000823	0,820	0,009332	0,0149	0,000245
Cell1-04	0,56	0,29064	<0,4	0,019433	20,71	0,000107	0,000078	0,000639	0,450	0,004816	0,0139	0,000431
Cell1-05	0,19	0,25150	0,203	0,009165	11,83	0,000114	0,000079	0,000488	0,256	0,004511	0,0089	0,000369
Cell1-06	0,14	0,23385	0,240	0,009808	11,36	0,000114	0,000065	0,000461	0,187	0,005456	0,0072	0,000254
Cell1-07	0,21	0,27473	0,312	0,005688	10,69	0,000123	0,000093	0,000564	0,354	0,005055	0,0078	0,000281
Cell1-08	0,55	0,90995	0,786	0,022897	12,83	0,000142	0,000160	0,000992	1,092	0,006351	0,0105	0,000357
Cell1-09	0,20	0,37450	0,470	0,012078	12,31	<0,000018	0,000027	0,000627	0,785	0,002795	0,0064	<0,000044
Cell1-10	0,17	0,22803	0,057	0,010473	14,43	<0,000018	0,000060	0,000439	0,400	0,001531	0,0057	0,000081
Cell1-11	0,44	0,20894	0,203	0,006303	12,33	<0,000018	<0,000017	0,000342	0,401	0,000970	0,0051	0,000335
Cell1-12	1,04	0,19730	0,334	0,007093	12,62	0,000120	<0,000017	0,000332	0,449	0,019927	0,0053	0,000485
Cell1-13	1,42	0,20046	1,599	0,001956	12,01	0,000156	<0,000017	0,000364	0,454	0,002597	0,0053	0,000958
Cell1-14	0,17	0,21796	0,226	0,006445	11,87	<0,000018	0,000022	0,000330	0,402	0,001829	0,0049	0,000167
Cell1-15	0,13	0,26140	0,211	0,009539	13,52	<0,00002	0,000027	0,000246	0,297	0,001505	0,0047	<0,000075
Cell1-16	0,16	0,24778	0,175	0,009488	13,90	<0,00002	0,000026	0,000332	0,452	0,001008	0,0047	<0,000075
Cell1-17	0,22	0,23215	0,222	0,009541	12,55	0,000029	0,000032	0,000252	0,397	0,001003	0,0047	0,001576
Cell1-18	0,18	0,23340	0,245	0,010059	12,33	0,000033	0,000028	0,000302	0,377	0,000928	0,0045	0,001563
Cell1-19	0,37	0,21754	0,230	0,009751	13,35	0,000089	0,000092	0,000416	0,400	0,003407	0,0045	0,001188
Cell1-20	0,21	0,22997	0,173	0,007257	12,62	0,000038	0,000073	0,000399	0,284	0,001584	0,0041	0,001418
Cell1-21	0,25	0,21027	0,354	0,010431	12,66	0,000044	0,000077	0,000362	0,474	0,001122	0,0039	0,001562

Cellule humide Cell1

Rinçage	Tl	U	V	Zn	Notes
	ICP-MS	ICP-MS	ICP-MS	ICP-MS	
	mg/l	mg/l	mg/l	mg/l	
<i>Limite de détection</i>	<i>variable</i>	<i>variable</i>	<i>variable</i>	<i>variable</i>	
Cell1-01	0,000122	0,0002	0,00013	0,1544	
Cell1-02	0,000072	0,0001	0,00007	0,1512	
Cell1-03	0,000059	0,0001	0,00016	0,1659	
Cell1-04	0,000059	0,0002	0,00014	0,1252	
Cell1-05	0,000041	0,0002	0,00018	0,2143	Valeur Ag élevée (CNRC).
Cell1-06	0,000041	0,0002	0,00010	0,2419	Donnée H2LAB du certificat.
Cell1-07	0,000046	0,0001	0,00006	0,1546	
Cell1-08	0,000042	0,0001	0,00004	0,5619	Valeurs Ni et Zn élevées (CNRC).
Cell1-09	0,000049	0,0002	<0,000017	0,2863	
Cell1-10	0,000038	0,0002	0,00005	0,2145	Valeur P basse (CNRC).
Cell1-11	0,000036	0,0002	0,00006	0,1969	
Cell1-12	0,000046	0,0003	0,00007	0,2640	
Cell1-13	0,000013	0,0002	0,00013	0,2386	Données pH, conductivité, ORP anormales. Donnée en chlorure validée dans certificat (14,5). Concentration anormale en K (mesurée 2 fois). Donnée anormale en P.
Cell1-14	0,000065	0,0005	0,00006	0,2658	
Cell1-15	0,000041	0,0004	<0,000039	0,1728	Échantillon H2LAB envoyé avec agent de conservation acide - résultats erronés et échantillons expirés.
Cell1-16	0,000039	0,0004	<0,000039	0,1697	Échantillon H2LAB envoyé avec agent de conservation acide - résultats erronés et échantillons expirés.
Cell1-17	0,000051	0,0004	0,00008	0,2727	Nouvelle sonde à pH. Bi, Ti - malgré une différence importante de la concentration avec les concentrations précédentes et suivantes, les concentrations étant très basses, les valeurs sont considérées comme équivalentes (CNRC).
Cell1-18	0,000050	0,0005	0,00005	0,2615	Sonde multiparamètre défectueuse et celle de remplacement ne prend pas la température. Bi, Ti - malgré une différence importante de la concentration avec les concentrations précédentes et suivantes, les concentrations étant très basses, les valeurs sont considérées comme équivalentes (CNRC). Concentration Hg plus élevée (analysée 2 fois).
Cell1-19	0,000063	0,0005	0,00013	0,2361	Sonde multiparamètre défectueuse et celle de remplacement ne prend pas la température. Bi, Ti - malgré une différence importante de la concentration avec les concentrations précédentes et suivantes, les concentrations étant très basses, les valeurs sont considérées comme équivalentes (CNRC).
Cell1-20	0,000051	0,0004	0,00015	0,4102	Le duplicata H2LAB donne chlorures <0,5 donc la valeur originale de 3,2 pour cet échantillon Cell1-20 a été remplacé par <0,5. Sonde multiparamètre défectueuse et celle de remplacement ne prend pas la température. Bi, Ti - malgré une différence importante de la concentration avec les concentrations précédentes et suivantes, les concentrations étant très basses, les valeurs sont considérées comme équivalentes (CNRC).
Cell1-21	0,000062	0,0004	0,00017	0,4119	Donnée en chlorure validée dans certificat (10,2). Sonde multiparamètre défectueuse et celle de remplacement ne prend pas la température. Bi, Ti - malgré une différence importante de la concentration avec les concentrations précédentes et suivantes, les concentrations étant très basses, les valeurs sont considérées comme équivalentes (CNRC). Concentration anormale en K (mesurée 2 fois).

Cellule humide Cell1 Description: Cell1 - Stériles oxydés J4 (composite de E12-01 à E12-10)
 Masse (kg) : 0,9959
 Début de l'essai : 2022-06-09
 Type de test : Cellule humide en laboratoire (stériles)

Rinçage	#Ech H2Lab	Date	Temps	Volume eau	Température	pH	Conductivité	ORP	Eh	Acidité	Alcalinité
					Électrode	Électrode	Électrode	Électrode	Calcul	Titrage	Titrage
			jour	ml	°C	-	µS/cm	mV	mV	mg CaCO ₃ /L	mg CaCO ₃ /L
<i>Limite de détection</i>					0,1	0,01	1	0,1		2	2
Cell1-22	2356626	2022-11-03	148	848	20,5	5,04	170	179	390	22	5
Cell1-23	2357791	2022-11-10	155	915	20,5	5,68	465	137	348	20	10
Cell1-24	2357787	2022-11-17	162	918	20,8	4,71	1030	137	348	18	3
Cell1-25	2358560	2022-11-24	169	914	19,9	5,89	1284	96	308	22	
Cell1-26	2358556	2022-12-01	176	929	20,5	6,33	149	113	324	26	
Cell1-27	2359403	2022-12-08	183	761	20,7	5,34	339	147	357	25	5
Cell1-28	2359398	2022-12-15	190	1038	19,5	5,58	451	85	297	29	5
Cell1-29	2361140	2023-01-12	218	912	21,3	6,41	64	124	335	23	5
Cell1-30	2361135	2023-01-19	225	909	21,1	6,15	91	125	336	23	
Cell1-31	2362051	2023-01-26	232	899	21,2	6,42	131	170	381	27	
Cell1-32	2362046	2023-02-02	239	884	21,5	4,75	58	80	291	25	
Cell1-33	2362880	2023-02-09	246	917	21,1	5,15	117	135	346	27	5
Cell1-34	2362875	2023-02-16	253	912	21,4	4,50	112	126	337	24	3
Cell1-35	2363941	2023-02-23	260	908	21,2	4,92	111	117	327	23	5
Cell1-36	2363936	2023-03-03	268	829	21,5	4,96	53	151	361	22	3
Cell1-37	2364739	2023-03-09	274	1005	21,1	5,27	143	116	327	24	
Cell1-38	2364743	2023-03-16	281	882	21,0	5,56	226	83	294	19	5
Cell1-39	2366331	2023-03-23	288	896	21,4	4,55	74	145	356	20	
Cell1-40	2366304	2023-03-30	295	807	20,9	4,83	89	182	392	24	
Cell1-41	2367547	2023-04-06	302	987	20,5	5,83	436	124	335	19	
Cell1-42	2367551	2023-04-13	309	916	21,6	4,75	75	152	362	21	
Cell1-43		2023-04-20	316								
Cell1-44	2369991	2023-04-27	323	880	20,2	4,13	104	244	455	29	5
Cell1-45	2369987	2023-05-04	330	1011	21,3	4,63	271	189	399	39	3
Cell1-46	2372314	2023-05-11	337	833	21,4	4,09	179	206	417	30	
Cell1-47	2372382	2023-05-18	344	908	19,5	5,03	201	185	397	35	
Cell1-48	2374171	2023-05-25	351	992	19,7	2,86	458	179	391	75	
Cell1-49	2374175	2023-06-01	358	912	22,5	4,47	125	165	374	20	
Cell1-50	2375822	2023-06-08	365	917	20,5	4,25	69	170	381	24	
Cell1-51	2375768	2023-06-15	372	932	21,5	4,53	93	142	352	23	
Cell1-52	2377563	2023-06-22	379	859	21,9	4,53	99	109	319	26	
Cell1-53	2377559	2023-06-29	386	916	22,7	4,03	131	183	392	37	
Cell1-54	2380117	2023-07-06	393	887	22,7	3,53	119	187	397	34	
Cell1-55	2380123	2023-07-13	400	878	22,3	3,43	148	198	407	44	

Cellule humide Cell1

Rinçage	Cl ⁻	F ⁻	SO ₄ ²⁻	S ₂ O ₃ ²⁻	ΣS	Ag	Al	As	B	Ba	Be	Bi
	C.Ion.	C.Ion.	C.Ion.	C.Ion.	Calcul	ICP-MS	ICP-MS	ICP-MS	ICP-MS	ICP-MS	ICP-MS	ICP-MS
	mg/l	mg/l	mg/l	mg/l	mg/l	mg/l	mg/l	mg/l	mg/l	mg/l	mg/l	mg/l
Limite de détection	0,5	0,02	0,6	0,02		variable	variable	variable	variable	variable	variable	variable
Cell1-22	< 0,5	< 0,02	25,4	2,14	9,7	0,000001	0,0859	0,000104	0,0039	0,00741	0,000128	0,000276
Cell1-23	< 0,5	< 0,02	22,2	0,77	7,8	0,000033	0,0437	0,000085	0,0017	0,00837	0,000065	0,000272
Cell1-24	< 0,5	< 0,02	17,2	0,76	6,1	0,000018	0,0653	0,000143	0,0016	0,00610	0,000105	0,000357
Cell1-25	< 0,5	< 0,02	21,3	1,71	8,0	0,000017	0,0831	0,000173	0,0016	0,00751	0,000089	0,000286
Cell1-26	0,6	< 0,02	27,1	1,21	9,7	<0,000005	0,0829	0,000108	0,0028	0,00692	<0,000075	<0,000013
Cell1-27	< 0,5	< 0,02	26,8	0,84	9,4	<0,000005	0,0838	0,000087	0,0017	0,00783	<0,000075	<0,000013
Cell1-28	< 0,5	< 0,02	31,1	0,50	10,6	<0,000005	0,0722	0,000064	0,0022	0,01007	<0,000075	<0,000013
Cell1-29	< 0,5	< 0,02	14,9	1,39	5,7	<0,000006	0,0273	0,000062	0,0021	0,00631	0,000070	0,000005
Cell1-30	< 0,5	< 0,02	17,0	1,54	6,5	<0,000006	0,0398	0,000078	0,0017	0,00760	0,000085	0,000007
Cell1-31	< 0,5	< 0,02	21,8	1,11	7,9	<0,000004	0,0443	0,000064	0,0019	0,00777	0,000064	<0,000001
Cell1-32	< 0,5	< 0,02	22,8	0,90	8,1	<0,000004	0,0503	0,000032	0,0019	0,00797	0,000042	<0,000001
Cell1-33	< 0,5	< 0,02	26,0	1,04	9,2	<0,000001	0,0700	0,000046	0,0021	0,00938	0,000048	<0,000007
Cell1-34	< 0,5	< 0,02	23,7	1,26	8,6	<0,000004	0,0560	0,000075	0,0022	0,00992	0,000058	0,000004
Cell1-35	< 0,5	< 0,02	23,0	1,12	8,3	<0,000004	0,0550	0,000047	0,0017	0,00795	0,000044	<0,000001
Cell1-36	< 0,5	< 0,02	25,1	0,96	8,9	0,000008	0,0670	0,000061	0,0017	0,00942	0,000068	0,000007
Cell1-37	< 0,5	< 0,02	29,7	0,10	9,9	0,000003	0,0560	0,000085	0,0026	0,00886	0,000043	0,000013
Cell1-38	< 0,5	< 0,02	18,4	0,46	6,4	0,000004	0,0390	0,000049	0,0023	0,00461	0,000019	0,000006
Cell1-39	< 0,5	< 0,02	21,7	0,62	7,6	<0,000002	0,0406	0,000041	0,0016	0,00642	0,000066	0,000011
Cell1-40	< 0,5	< 0,02	29,6	0,36	10,0	<0,000002	0,0514	0,000103	0,0019	0,00872	0,000042	0,000006
Cell1-41	< 0,5	< 0,02	22,8	0,16	7,7	0,000005	0,0339	0,000049	0,0024	0,00814	0,000032	0,000008
Cell1-42	< 0,5	< 0,02	17,5	0,70	6,2	0,000021	0,0407	0,000070	0,0018	0,00816	0,000036	0,000008
Cell1-43												
Cell1-44	< 0,5	< 0,02	34,6	3,31	13,4	0,000003	0,1093	0,000078	0,0022	0,01521	0,000078	<0,000003
Cell1-45	< 0,5	< 0,02	43,6	1,63	15,4	<0,000003	0,1170	0,000064	0,0027	0,01458	0,000040	<0,000003
Cell1-46	< 0,5	< 0,02	37,6	1,25	13,2	0,000010	0,0829	0,000065	0,0025	0,01043	0,000060	0,000005
Cell1-47	< 0,5	< 0,02	42,3	0,55	14,4	0,000004	0,0778	0,000073	0,0028	0,01294	0,000052	<0,000002
Cell1-48	< 0,5	< 0,02	27,4	0,07	9,1	<0,000005	0,0451	0,000040	0,0026	0,00908	0,000018	0,000009
Cell1-49	< 0,5	< 0,02	22,6	0,68	7,9	<0,000005	0,0457	0,000066	0,0025	0,00888	0,000046	0,000065
Cell1-50	< 0,5	< 0,02	29,5	0,87	10,3	0,000021	0,0590	0,000073	0,0032	0,00950	0,000042	0,000020
Cell1-51	< 0,5	< 0,02	24,2	0,41	8,3	<0,000013	0,0486	0,000055	0,0035	0,00541	0,000039	0,000028
Cell1-52	< 0,5	< 0,02	32,9	1,34	11,7	0,000027	0,0698	0,000086	0,0025	0,01126	0,000090	0,000044
Cell1-53	< 0,5	0,02	45,3	1,90	16,1	0,000009	0,1395	0,000068	0,0027	0,01154	0,000100	0,000011
Cell1-54	< 0,5	0,02	38,3	2,01	13,9	0,000020	0,1139	0,000045	0,0018	0,01036	0,000100	0,000014
Cell1-55	< 0,5	0,03	52,0	2,50	18,7	0,000011	0,2124	0,000093	0,0025	0,01032	0,000151	0,000019

Cellule humide Cell1

Rinçage	Ca	Cd	Co	Cr	Cu	Fe	Hg	K	Li	Mg	Mn	Mo
	ICP-MS	ICP-MS	ICP-MS	ICP-MS	ICP-MS	ICP-MS	ICP-MS	ICP-MS	ICP-MS	ICP-MS	ICP-MS	ICP-MS
	mg/l	mg/l	mg/l	mg/l	mg/l	mg/l	mg/l	mg/l	mg/l	mg/l	mg/l	mg/l
Limite de détection	variable	variable	variable	variable	variable	variable	variable	variable	variable	variable	variable	variable
Cell1-22	2,39	0,000543	0,025416	0,000145	0,1002	6,864	0,000024	4,22	0,01266	0,627	0,0648	0,00021
Cell1-23	2,14	0,000465	0,018622	<0,000031	0,0751	4,097	<0,000318	3,06	0,00951	0,516	0,0446	<0,000016
Cell1-24	1,79	0,000946	0,017058	0,000070	0,0448	3,101	<0,00022	2,55	0,00790	0,485	0,0411	<0,00003
Cell1-25	2,32	0,000462	0,021347	<0,000065	0,0904	4,288	<0,00022	2,98	0,00745	0,605	0,0484	<0,00003
Cell1-26	1,81	0,000569	0,019230	<0,000072	0,0292	6,348	<0,000285	2,83	0,01376	0,524	0,0398	<0,000027
Cell1-27	1,90	0,000306	0,020716	0,000171	0,1324	5,871	<0,000285	2,99	0,01107	0,531	0,0421	0,00012
Cell1-28	2,41	0,000312	0,018612	<0,000072	0,0202	7,722	<0,000285	2,58	0,00982	0,495	0,0455	<0,000027
Cell1-29	1,49	0,000216	0,011703	0,000036	0,0674	2,989	0,000062	2,86	0,00645	0,299	0,0265	<0,000016
Cell1-30	1,56	0,000191	0,014384	0,000058	0,0595	3,630	<0,000029	2,83	0,00710	0,336	0,0315	<0,000016
Cell1-31	1,88	0,000157	0,014472	<0,000009	0,0579	4,095	<0,000068	3,57	0,00664	0,439	0,0309	<0,000024
Cell1-32	1,98	0,000172	0,014443	<0,000009	0,0928	5,149	<0,000068	3,59	0,00706	0,450	0,0322	<0,000024
Cell1-33	1,90	0,000211	0,018000	<0,000046	0,0749	5,860	0,000076	3,13	0,00680	0,491	0,0370	<0,000017
Cell1-34	2,02	0,000196	0,017609	0,000050	0,1230	5,077	0,000434	3,57	0,00784	0,509	0,0320	0,00001
Cell1-35	1,67	0,000269	0,014400	0,000068	0,0595	4,510	<0,000323	3,20	0,00660	0,445	0,0270	0,00001
Cell1-36	1,70	0,000187	0,016600	0,000078	0,1252	5,390	0,000621	3,54	0,00790	0,495	0,0300	0,00001
Cell1-37	<0,995	0,000409	0,013900	0,000150	0,0255	6,430	<0,000089	3,72	0,00860	0,500	0,0260	0,00034
Cell1-38	<0,995	0,000128	0,010600	0,000042	0,0413	4,040	0,000137	2,74	0,00640	0,234	0,0180	0,00001
Cell1-39	1,85	0,000223	0,014783	0,000076	0,0698	4,451	<0,000138	2,52	0,00607	0,517	0,0224	0,00002
Cell1-40	2,63	0,000236	0,019637	0,000044	0,1438	5,959	<0,000138	3,53	0,00738	0,688	0,0272	0,00002
Cell1-41	1,06	0,000157	0,013066	0,000014	0,0501	5,213	<0,00021	3,32	0,00610	0,337	0,0204	<0,000004
Cell1-42	0,90	0,000171	0,013217	0,000042	0,0435	4,070	0,000351	2,57	0,01317	0,281	0,0206	0,00008
Cell1-43												
Cell1-44	2,19	0,000288	0,029654	0,000134	0,1675	7,458	0,000316	3,89	0,01737	0,753	0,0615	0,00004
Cell1-45	3,10	0,000209	0,024888	0,000094	0,0250	11,778	0,000210	4,47	0,01480	0,662	0,0449	0,00008
Cell1-46	2,23	0,000245	0,020950	0,000441	0,1718	9,464	0,000014	4,21	0,01034	0,585	0,0369	0,00001
Cell1-47	2,14	0,000297	0,020031	0,000420	0,1522	10,338	<0,000006	5,04	0,01033	0,513	0,0344	0,00001
Cell1-48	1,43	0,000146	0,013361	<0,000254	0,0339	7,455	<0,000046	3,26	0,00824	0,332	0,0206	<0,000035
Cell1-49	1,41	0,000220	0,014798	<0,000254	0,0954	6,230	<0,000046	3,31	0,00812	0,355	0,0219	<0,000035
Cell1-50	1,72	0,000211	0,017009	0,000138	0,1018	7,709	<0,00029	2,33	0,00827	0,477	0,0308	<0,000036
Cell1-51	1,40	0,000179	0,014022	0,000102	0,1718	5,746	0,001029	1,80	0,00819	0,412	0,0232	<0,000036
Cell1-52	1,94	0,000275	0,029394	0,000131	0,2317	6,916	0,007064	4,71	0,00932	0,602	0,0337	<0,000009
Cell1-53	3,13	0,000270	0,052713	0,000121	0,1290	10,573	0,002805	5,51	0,01003	0,824	0,0410	<0,000009
Cell1-54	2,29	0,000271	0,057795	<0,000026	0,2018	10,767	0,000122	2,95	0,01171	0,688	0,0378	<0,000009
Cell1-55	3,12	0,000430	0,083409	0,000130	0,1910	15,551	0,000139	4,13	0,01607	1,044	0,0537	<0,000009

Cellule humide Cell1

Rinçage	Na	Ni	P	Pb	S	Sb	Sc	Se	Si	Sn	Sr	Ti
	ICP-MS	ICP-MS	ICP-MS	ICP-MS	ICP-MS	ICP-MS	ICP-MS	ICP-MS	ICP-MS	ICP-MS	ICP-MS	ICP-MS
	mg/l	mg/l	mg/l	mg/l	mg/l	mg/l	mg/l	mg/l	mg/l	mg/l	mg/l	mg/l
Limite de détection	variable	variable	variable	variable	variable	variable	variable	variable	variable	variable	variable	variable
Cell1-22	0,10	0,24680	0,351	0,010615	14,85	0,000030	0,000087	0,000434	0,438	0,001279	0,0045	0,001623
Cell1-23	0,08	0,16850	0,268	0,009401	10,09	0,000041	0,000053	0,000392	0,412	0,001468	0,0034	0,001306
Cell1-24	0,19	0,15842	0,206	0,004635	9,14	0,000052	<0,000019	0,000288	0,305	0,002238	0,0028	0,001778
Cell1-25	0,07	0,23479	0,284	0,008837	11,77	0,000027	<0,000019	0,000342	0,429	0,001016	0,0033	0,001446
Cell1-26	0,19	0,20074	0,585	0,005224	10,42	0,000038	0,000140	0,000428	0,642	0,008564	0,0033	0,000189
Cell1-27	<0,006	0,30910	0,428	0,013244	11,95	0,000043	0,000103	0,000437	0,490	0,004258	0,0035	<0,000064
Cell1-28	<0,006	0,21436	0,712	0,003213	11,66	0,000015	0,000139	0,000598	0,811	0,011905	0,0038	0,000175
Cell1-29	0,11	0,13042	0,294	0,033502	7,99	0,000067	0,000057	0,000342	0,435	0,003005	0,0021	0,000166
Cell1-30	0,12	0,13568	0,328	0,003792	9,21	0,000042	0,000055	0,000324	0,373	0,002892	0,0026	0,000336
Cell1-31	0,09	0,14444	0,292	0,007530	8,01	0,000036	0,000040	0,000303	0,489	0,002481	0,0026	0,000196
Cell1-32	0,13	0,15002	0,277	0,005241	9,20	0,000035	0,000037	0,000338	0,420	0,001918	0,0027	0,000191
Cell1-33	0,09	0,20100	0,353	0,005610	10,90	0,000038	0,000067	0,000360	0,469	0,002250	0,0030	0,000142
Cell1-34	0,09	0,18999	0,419	0,006731	10,62	0,000041	0,000108	0,000357	0,620	0,005320	0,0030	0,000156
Cell1-35	0,09	0,15000	0,321	0,004280	9,50	0,000042	0,000079	0,000272	0,487	0,005380	0,0030	0,000174
Cell1-36	0,09	0,18400	0,393	0,008970	10,00	0,000055	0,000096	0,000362	0,555	0,004570	0,0030	0,000161
Cell1-37	0,24	0,15200	0,776	0,002640	9,40	0,000045	0,000173	0,000405	0,925	0,008780	0,0030	0,000373
Cell1-38	0,05	0,12000	0,310	0,002380	6,70	0,000028	0,000062	0,000212	0,371	0,005160	0,0020	0,000148
Cell1-39	0,18	0,14685	0,319	0,003378	8,31	0,000024	0,000054	0,000288	0,291	0,004861	0,0020	0,000128
Cell1-40	0,23	0,19830	0,625	0,007209	10,05	0,000049	0,000132	0,000417	0,546	0,008734	0,0026	0,000219
Cell1-41	0,08	0,13702	0,544	0,005221	7,04	0,000039	0,000101	0,000374	0,788	0,007213	0,0023	0,000223
Cell1-42	0,09	0,10968	0,293	0,002084	7,97	0,000053	0,000059	0,000287	0,380	0,006656	0,0022	0,000202
Cell1-43												
Cell1-44	0,18	0,28235	0,382	0,009568	15,09	0,000061	0,000087	0,000431	0,563	0,008148	0,0049	0,000225
Cell1-45	0,12	0,23677	0,772	0,004390	14,94	0,000041	0,000160	0,000597	1,037	0,015300	0,0046	0,000277
Cell1-46	0,11	0,24043	0,284	0,008751	9,05	0,000056	0,000070	0,000472	0,598	0,008268	0,0036	0,000174
Cell1-47	0,15	0,22578	0,510	0,017949	8,97	0,000064	0,000118	0,000547	0,940	0,007918	0,0036	0,000283
Cell1-48	0,08	0,12744	0,559	0,003134	8,80	0,000023	0,000060	0,000379	0,685	0,009719	0,0024	0,000124
Cell1-49	0,10	0,13930	0,369	0,005641	9,44	0,000024	0,000029	0,000319	0,459	0,007213	0,0025	0,000144
Cell1-50	0,10	0,21694	0,126	0,007106	9,74	0,000040	0,000120	0,000382	0,409	0,008311	0,0031	0,000203
Cell1-51	0,11	0,32748	0,143	0,008693	9,78	0,000037	0,000191	0,000290	0,406	0,009547	0,0025	0,000265
Cell1-52	0,10	0,28445	0,026	0,012462	11,03	0,000070	0,000284	0,000782	0,507	0,009917	0,0037	0,000595
Cell1-53	0,17	0,43376	0,028	0,007320	15,43	0,000050	0,000275	0,001103	0,424	0,010778	0,0046	0,000565
Cell1-54	0,14	0,46295	0,001	0,010561	0,04	0,000043	0,000292	<0,000939	0,334	0,009809	0,0037	0,000283
Cell1-55	0,20	0,68099	0,004	0,011549	10,76	0,000089	0,000396	0,000568	0,418	0,012018	0,0049	0,000623

Cellule humide Cell1

Rinçage	Tl	U	V	Zn	Notes
	ICP-MS	ICP-MS	ICP-MS	ICP-MS	
	mg/l	mg/l	mg/l	mg/l	
<i>Limite de détection</i>	<i>variable</i>	<i>variable</i>	<i>variable</i>	<i>variable</i>	
Cell1-22	0,000067	0,0004	0,00015	0,3510	Sonde multiparamètre défectueuse et celle de remplacement ne prend pas la température. Bi, Ti - malgré une différence importante de la concentration avec les concentrations précédentes et suivantes, les concentrations étant très basses, les valeurs sont considérés comme équivalentes (CNRC).
Cell1-23	0,000050	0,0003	0,00012	0,3219	Sonde multiparamètre défectueuse et celle de remplacement ne prend pas la température.
Cell1-24	0,000043	0,0003	0,00010	0,2305	
Cell1-25	0,000052	0,0004	0,00009	0,2249	
Cell1-26	0,000048	0,0002	0,00005	0,4048	
Cell1-27	0,000055	0,0002	0,00005	0,7298	
Cell1-28	0,000045	0,0001	0,00003	0,4418	
Cell1-29	0,000052	0,0002	0,00007	0,3700	
Cell1-30	0,000049	0,0002	0,00008	0,3694	
Cell1-31	0,000058	0,0002	0,00006	0,3911	
Cell1-32	0,000056	0,0002	0,00007	0,5082	
Cell1-33	0,000068	0,0003	0,00008	0,3570	
Cell1-34	0,000075	0,0003	0,00008	0,6206	
Cell1-35	0,000061	0,0003	0,00007	0,4570	
Cell1-36	0,000076	0,0003	0,00012	0,5830	
Cell1-37	0,000059	0,0001	0,00012	0,5130	
Cell1-38	0,000048	0,0001	0,00010	0,4220	
Cell1-39	0,000062	0,0002	0,00011	0,6134	
Cell1-40	0,000088	0,0002	0,00013	1,0017	
Cell1-41	0,000067	0,0001	0,00010	0,6529	
Cell1-42	0,000056	0,0001	0,00016	0,3844	
Cell1-43					Semaine sans lixiviation maintenue à air humide.
Cell1-44	0,000075	0,0004	0,00015	0,8844	
Cell1-45	0,000059	0,0002	0,00027	0,5651	
Cell1-46	0,000070	0,0003	0,00016	0,7039	
Cell1-47	0,000083	0,0002	0,00016	1,3983	
Cell1-48	0,000061	0,0001	0,00011	0,5111	
Cell1-49	0,000063	0,0001	0,00014	0,6594	
Cell1-50	0,000070	0,0002	0,00009	0,7624	
Cell1-51	0,000068	0,0002	0,00032	0,9634	
Cell1-52	0,000090	0,0003	0,00023	0,7905	
Cell1-53	0,000076	0,0004	0,00022	0,8455	
Cell1-54	0,000072	0,0005	0,00012	0,8604	
Cell1-55	0,000089	0,0006	0,00016	0,8382	

Cellule humide Cell1 Description: Cell1 - Stériles oxydés J4 (composite de E12-01 à E12-10)
 Masse (kg) : 0,9959
 Début de l'essai : 2022-06-09
 Type de test : Cellule humide en laboratoire (stériles)

Rinçage	#Ech H2Lab	Date	Temps	Volume eau	Température	pH	Conductivité	ORP	Eh	Acidité	Alcalinité
			jour	ml	Électrode °C	Électrode -	Électrode µS/cm	Électrode mV	Calcul mV	Titrage mg CaCO ₃ /L	Titrage mg CaCO ₃ /L
<i>Limite de détection</i>					0,1	0,01	1	0,1		2	2
Cell1-56	2382167	2023-07-20	407	1008	22,0	3,75	148	187	397	42	
Cell1-57	2382172	2023-07-27	414	916	22,8	3,63	100	204	413	42	
Cell1-58	2384529	2023-08-03	421	875	21,4	3,44	136	230	440	35	
Cell1-59	2384534	2023-08-10	428	1019	22,0	3,98	177	213	422	35	
Cell1-60	2386158	2023-08-17	435	1032	16,0	3,02	106	262	477	26	
Cell1-61	2386163	2023-08-24	442	913	21,8	4,52	102	292	502	29	
Cell1-62	2388252	2023-08-31	449	933	20,7	4,84	56	202	413		
Cell1-63	2388507	2023-09-07	456	904	23,6	4,37	101	193	401	19	
Cell1-64	2390426	2023-09-14	463	868	20,3	4,58	125	148	359	26	
Cell1-65	2390428	2023-09-21	470	1002	20,0	4,58	121	35	247	25	
Cell1-66	2392926 et 2395116	2023-09-28	477	915	20,3	5,53	481	146	358	23	
Cell1-67	2392929	2023-10-05	484	915	20,1	4,34	131	102	314	25	
Cell1-68	2394714	2023-10-12	491	874	19,8	4,47	127	168	380	26	
Cell1-69	2394716	2023-10-19	498	997	20,0	4,55	164	68	280	34	5
Cell1-70	2396269	2023-10-26	505	906	20,5	4,00	130	150	361	28	10
Cell1-71	2396267	2023-11-02	512	914	20,0	4,52	139	154	365	20	
Cell1-72	2397650	2023-11-09	519	917	19,1	4,30	129	157	369	20	
Cell1-73	2397648	2023-11-16	526	918	20,2	4,53	104	200	411	23	
Cell1-74	2399356	2023-11-23	533	909	19,1	4,55	127	180	392	25	
Cell1-75	2399353	2023-11-30	540	919	19,4	5,30	187	169	381	23	
Lixiviation finale 24h	2400868	2023-12-21			19,1	6,09	392	185	398	16	5

Cellule humide Cell1

Rinçage	Cl ⁻	F ⁻	SO ₄ ²⁻	S ₂ O ₃ ²⁻	ΣS	Ag	Al	As	B	Ba	Be	Bi
	C.Ion.	C.Ion.	C.Ion.	C.Ion.	Calcul	ICP-MS	ICP-MS	ICP-MS	ICP-MS	ICP-MS	ICP-MS	ICP-MS
	mg/l	mg/l	mg/l	mg/l	mg/l	mg/l	mg/l	mg/l	mg/l	mg/l	mg/l	mg/l
<i>Limite de détection</i>	0,5	0,02	0,6	0,02		<i>variable</i>	<i>variable</i>	<i>variable</i>	<i>variable</i>	<i>variable</i>	<i>variable</i>	<i>variable</i>
Cell1-56	< 0,5	0,03	49,6	0,16	16,6	0,000094	0,1698	0,000063	0,0043	0,01054	0,000071	0,000027
Cell1-57	< 0,5	< 0,02	32,2	0,81	11,2	0,000011	0,0966	0,000090	0,0053	0,00593	0,000081	0,000014
Cell1-58	< 0,5	< 0,02	40,2	2,62	14,8	0,000066	0,1319	0,000074	0,0051	0,00901	0,000126	0,000079
Cell1-59	< 0,5	0,02	42,4	0,66	14,5	0,000008	0,1220	0,000065	0,0059	0,00961	0,000069	0,000009
Cell1-60	< 0,5	< 0,02	26,9	0,67	9,3	<0,000005	0,0992	0,000060	0,0019	0,00509	0,000064	0,000005
Cell1-61	< 0,5	< 0,02	34,9	1,37	12,4	<0,000005	0,1316	0,000116	0,0065	0,00670	0,000086	0,000007
Cell1-62	< 0,5	< 0,02	12,2	0,10	4,1	<0,000005	0,0392	0,000046	0,0015	0,00185	0,000022	0,000004
Cell1-63	< 0,5	< 0,02	24,6	1,08	8,8	<0,000005	0,0875	0,000051	0,0453	0,00592	0,000068	0,000002
Cell1-64	< 0,5	< 0,02	35,0	< 0,02	11,6	0,000008	0,0552	0,000120	0,0072	0,00581	0,000105	0,000008
Cell1-65	< 0,5	< 0,02	25,9	< 0,02	8,6	0,000007	0,0683	0,000088	0,0063	0,00823	0,000057	0,000007
Cell1-66	< 0,5	0,03	27,2	0,07	9,1	0,000033	0,1013	0,000228	0,0025	0,00730	0,000087	0,000009
Cell1-67	< 0,5	< 0,02	33,6	1,67	12,1	0,000014	0,0726	0,000068	0,0022	0,00853	0,000117	0,000010
Cell1-68	< 0,5	0,03	27,9	1,23	10,0	0,000020	0,1324	0,000066	0,0013	0,00803	0,000103	0,000005
Cell1-69	< 0,5	0,04	39,1	0,29	13,1	0,000003	0,2207	0,000081	0,0030	0,01360	0,000075	<0,000002
Cell1-70	< 0,5	0,02	27,9	0,55	9,6	0,000022	0,1493	0,000137	0,0028	0,00965	0,000086	0,000092
Cell1-71	0,5	0,02	26,3	0,51	9,0	0,000006	0,1053	0,000046	0,0023	0,00675	0,000075	0,000003
Cell1-72	< 0,5	0,02	24,0	0,59	8,3	0,000008	0,0947	0,000049	0,0018	0,00643	0,000065	0,000025
Cell1-73	< 0,5	0,02	26,7	0,12	8,9	0,000004	0,1069	0,000057	0,0022	0,00729	0,000080	<0,000003
Cell1-74	< 0,5	0,03	26,5	0,69	9,2	0,000008	0,1077	0,000092	0,0020	0,00904	0,000081	<0,000003
Cell1-75	<0,5	<0,02	19,1	0,57	6,7							
Lixiviation finale 24h	1,5	0,02	48,8	0,81	16,7	0,000016	0,0278	0,000239	0,0044	0,03066	0,000004	<0,000003

Cellule humide Cell1

Rinçage	Ca	Cd	Co	Cr	Cu	Fe	Hg	K	Li	Mg	Mn	Mo
	ICP-MS	ICP-MS	ICP-MS	ICP-MS	ICP-MS	ICP-MS	ICP-MS	ICP-MS	ICP-MS	ICP-MS	ICP-MS	ICP-MS
	mg/l	mg/l	mg/l	mg/l	mg/l	mg/l	mg/l	mg/l	mg/l	mg/l	mg/l	mg/l
<i>Limite de détection</i>	<i>variable</i>	<i>variable</i>	<i>variable</i>	<i>variable</i>	<i>variable</i>	<i>variable</i>	<i>variable</i>	<i>variable</i>	<i>variable</i>	<i>variable</i>	<i>variable</i>	<i>variable</i>
Cell1-56	7,21	0,000256	0,053585	0,000081	0,0529	19,425	<0,000028	3,02	0,01576	0,970	0,0418	0,00018
Cell1-57	1,75	0,000216	0,037125	0,000273	0,1302	11,375	0,000066	2,45	0,01101	0,527	0,0309	<0,000015
Cell1-58	1,64	0,000275	0,043104	0,000075	0,1560	11,783	0,000128	7,07	0,01253	0,786	0,0385	<0,000002
Cell1-59	1,41	0,000170	0,030272	0,000145	0,0534	13,346	0,000050	6,14	0,01247	0,692	0,0348	0,00001
Cell1-60	0,60	0,000170	0,027492	<0,000034	0,0844	7,887	0,000106	4,24	0,01067	0,534	0,0300	0,00000
Cell1-61	1,29	0,000231	0,038545	0,000287	0,1186	9,498	0,000028	4,79	0,01129	0,757	0,0404	0,00003
Cell1-62	<0,191	0,000110	0,010333	0,000035	0,0274	2,350	<0,000013	2,02	0,00365	0,168	0,0127	0,00001
Cell1-63	0,50	0,000341	0,025001	<0,000034	0,1323	6,008	0,000200	4,05	0,01271	0,588	0,0353	0,00000
Cell1-64	1,44	0,000531	0,029920	0,000204	0,2898	8,062	0,000014	4,39	0,01280	0,808	0,0428	<0,000009
Cell1-65	1,40	0,000898	0,022056	0,000010	0,0246	7,490	<0,00001	3,97	0,01152	0,661	0,0358	<0,000009
Cell1-66	0,99	0,000523	0,020535	0,001231	0,1457	6,098	0,000017	3,39	0,01204	0,661	0,0348	0,00009
Cell1-67	1,54	0,000238	0,025486	0,000128	0,1603	7,650	<0,00001	3,72	0,01109	0,816	0,0414	<0,000009
Cell1-68	1,32	0,000286	0,024435	0,000038	0,2140	7,904	0,000538	4,32	0,00939	0,643	0,0372	<0,000008
Cell1-69	1,70	0,000293	0,029554	0,000012	0,0401	13,068	<0,00028	5,81	0,01018	0,750	0,0440	<0,000008
Cell1-70	1,14	0,001110	0,024661	0,000404	0,1961	8,555	0,000807	4,64	0,01009	0,569	0,0337	0,00004
Cell1-71	0,93	0,000282	0,022019	0,000067	0,0305	6,897	0,000430	3,90	0,01536	0,477	0,0270	<0,000008
Cell1-72	1,15	0,000299	0,022941	<0,000024	0,0602	6,196	0,000683	3,50	0,01142	0,508	0,0252	<0,000009
Cell1-73	1,16	0,000179	0,027368	<0,000024	0,0430	7,092	0,000434	3,63	0,02369	0,475	0,0279	<0,000009
Cell1-74	1,13	0,000206	0,028775	<0,000024	0,1599	6,713	0,000683	4,17	0,01804	0,514	0,0267	<0,000009
Cell1-75												
Lixiviation finale 24h	0,93	0,000621	0,013074	<0,000024	0,0149	2,877	0,000869	13,98	0,02307	0,889	0,0285	<0,000009

Cellule humide Cell1

Rinçage	Na	Ni	P	Pb	S	Sb	Sc	Se	Si	Sn	Sr	Ti
	ICP-MS	ICP-MS	ICP-MS	ICP-MS	ICP-MS	ICP-MS	ICP-MS	ICP-MS	ICP-MS	ICP-MS	ICP-MS	ICP-MS
	mg/l	mg/l	mg/l	mg/l	mg/l	mg/l	mg/l	mg/l	mg/l	mg/l	mg/l	mg/l
<i>Limite de détection</i>	<i>variable</i>	<i>variable</i>	<i>variable</i>	<i>variable</i>	<i>variable</i>	<i>variable</i>	<i>variable</i>	<i>variable</i>	<i>variable</i>	<i>variable</i>	<i>variable</i>	<i>variable</i>
Cell1-56	0,21	0,44436	<0,000	0,005109	<2,741	0,000064	0,000972	<0,00059	0,776	0,020705	0,0043	0,000537
Cell1-57	0,14	0,31812	<0,000	0,006790	3,38	0,000097	0,000464	<0,00059	0,366	0,011845	0,0030	0,000425
Cell1-58	0,15	0,34914	0,001	0,006188	21,96	0,000069	0,000658	<0,001037	1,003	0,012035	0,0035	0,000559
Cell1-59	0,14	0,30815	0,002	0,003029	49,17	0,000035	0,000885	<0,001037	1,487	0,015809	0,0034	0,000493
Cell1-60	0,15	0,25956	<0,001	0,003157	<2,003	0,000262	0,000213	<0,000322	0,422	0,003073	0,0028	0,000383
Cell1-61	0,23	0,32442	<0,001	0,003827	<2,003	0,000361	0,000240	<0,000322	0,489	0,002620	0,0038	0,001057
Cell1-62	0,23	0,08949	<0,001	0,000748	<2,003	0,000345	0,000047	<0,000322	0,109	0,002279	0,0011	0,000414
Cell1-63	0,21	0,22719	0,419	0,004176	<2,003	0,000195	0,000211	<0,000322	0,451	0,001716	0,0033	0,000744
Cell1-64	0,20	0,31755	<0,005	0,008505	12,79	0,000051	<0,000014	0,000530	0,316	0,001616	0,0037	0,000404
Cell1-65	0,17	0,21026	<0,005	0,003407	13,72	0,000063	0,000039	0,000478	1,165	0,007911	0,0035	0,000606
Cell1-66	0,23	0,23800	<0,005	0,006668	24,17	0,000046	0,000048	0,000246	0,319	0,002972	0,0030	0,000890
Cell1-67	0,15	0,26721	<0,005	0,007307	28,66	0,000031	0,000058	0,000633	0,400	0,054708	0,0037	0,000284
Cell1-68	0,22	0,27553	<0,002	0,009071	14,47	0,000037	0,000033	0,000410	<0,009	0,001210	0,0032	0,000133
Cell1-69	0,11	0,29748	<0,002	0,003331	21,59	0,000027	0,000080	0,000731	0,244	0,001768	0,0041	0,000087
Cell1-70	0,11	0,26316	<0,002	0,011143	35,75	0,000109	0,000041	0,000577	<0,009	0,001572	0,0033	0,000613
Cell1-71	0,07	0,20605	0,008	0,003600	24,78	0,000030	<0,000017	<0,000185	<0,009	0,000951	0,0025	0,000272
Cell1-72	0,09	0,18205	<0,002	0,002527	9,93	0,000017	<0,000027	<0,000224	<0,027	0,000900	0,0024	0,000191
Cell1-73	0,08	0,19912	0,065	0,001770	15,19	0,000015	0,000029	0,000276	<0,027	0,001104	0,0027	0,000124
Cell1-74	0,09	0,22070	0,021	0,006999	16,68	0,000023	<0,000027	0,000293	<0,027	0,000796	0,0025	0,000154
Cell1-75												
Lixiviation finale 24h	1,13	0,08054	<0,002	0,000500	20,74	0,000016	0,000097	0,000862	1,786	0,000918	0,0032	0,001106

Cellule humide Cell1

Rinçage	Tl	U	V	Zn	Notes
	ICP-MS	ICP-MS	ICP-MS	ICP-MS	
	mg/l	mg/l	mg/l	mg/l	
<i>Limite de détection</i>	<i>variable</i>	<i>variable</i>	<i>variable</i>	<i>variable</i>	
Cell1-56	0,000075	0,0003	0,00016	0,8015	
Cell1-57	0,000069	0,0003	0,00014	0,6774	
Cell1-58	0,000087	0,0005	0,00014	0,9210	
Cell1-59	0,000077	0,0002	0,00011	0,5168	
Cell1-60	0,000055	0,0002	0,00016	0,6280	Mesure de pH prise le lendemain par un autre technicien après une nuit au réfrigérateur.
Cell1-61	0,000060	0,0003	0,00011	0,6786	
Cell1-62	0,000027	0,0000	0,00003	0,2515	
Cell1-63	0,000052	0,0002	0,00009	0,6335	
Cell1-64	0,000086	0,0004	0,00006	0,9599	
Cell1-65	0,000078	0,0002	0,00005	0,3362	
Cell1-66	0,000068	0,0003	0,00005	0,7106	1er échantillon reçu chez H2LAB vide, second échantillon envoyé avec quantité en back-up 18 jours plus tard
Cell1-67	0,000071	0,0003	0,00004	0,5899	
Cell1-68	0,000062	0,0004	<0,000012	0,8056	
Cell1-69	0,000087	0,0003	<0,000012	0,6135	
Cell1-70	0,000063	0,0003	0,00001	0,7792	
Cell1-71	0,000050	0,0002	<0,000012	0,4447	
Cell1-72	0,000050	0,0002	0,00002	0,4975	
Cell1-73	0,000057	0,0002	0,00002	0,3186	
Cell1-74	0,000056	0,0002	0,00001	0,6100	
Cell1-75					Pas eu d'échantillon reçu au CNRC.
Lixiviation finale 24h	0,000107	0,0000	0,00002	0,0657	Agitation 24h dans un cylindre en rotation très lente.

Cellule humide Cell2 Description: Cell2 - Stériles non-oxydés J4 (composite de E13-01 à E13-10)
 Masse (kg) : 0,9978
 Début de l'essai : 2022-06-09
 Type de test : Cellule humide en laboratoire (stériles)

Rinçage	#Ech H2Lab	Date	Temps	Volume eau	Température	pH	Conductivité	ORP	Eh	Acidité	Alcalinité
			jour	ml	Électrode °C	Électrode -	Électrode µS/cm	Électrode mV	Calcul mV	Titrage mg CaCO ₃ /L	Titrage mg CaCO ₃ /L
<i>Limite de détection</i>											
					0,1	0,01	1	0,1		2	2
Cell2-01	2342534	2022-06-09	1	827	21,5	6,08	38	51	261	3	16
Cell2-02	2342538	2022-06-16	8	888	22,1	6,18	52	52	262	3	10
Cell2-03	2343526	2022-06-23	15	1102	22,0	5,91	73	60	270	2	10
Cell2-04	2343530	2022-06-30	22	936	22,2	6,21	29	31	240	4	9
Cell2-05	2345378	2022-07-07	29	984	21,3	7,60	28	42	253	3	9
Cell2-06	2345580	2022-07-14	36	1059	22,6	5,81	28	51	260	4	31
Cell2-07	2346950	2022-07-21	43	745	21,6	5,27	23	88	298	6	31
Cell2-08	2346945	2022-07-28	50	1027	21,2	5,84	37	109	319	5	13
Cell2-09	2348637	2022-08-04	57	952	22,4	5,94	21	99	309	4	13
Cell2-10	2348919	2022-08-11	64	737	21,7	5,75	16	144	354	8	10
Cell2-11	2350107	2022-08-18	71	931	21,4	5,45	18	182	393	6	5
Cell2-12	2350111	2022-08-25	78	958	22,1	5,91	19	185	394	5	12
Cell2-13	2351268	2022-09-01	85	924	21,2	6,67	23	-28	183	5	13
Cell2-14	2351263	2022-09-08	92	892	21,2	5,89	23	-7	203	4	10
Cell2-15		2022-09-15	99	838	21,4	5,74	28	22	232	9	13
Cell2-16		2022-09-22	106	921	20,3	5,59	21	49	260	8	18
Cell2-17	2354041	2022-09-29	113	1073	20,8	7,03	36	268	479	5	20
Cell2-18	2354045	2022-10-06	120	917	20,5	6,89	24	82	293	5	10
Cell2-19	2355218	2022-10-13	127	862	20,5	6,44	23	70	281	4	18
Cell2-20	2355214	2022-10-19	133	904	20,5	6,48	21	52	263	5	15
Cell2-21	2356623	2022-10-27	141	865	20,5	6,56	22	81	292	8	20
Cell2-22	2356627	2022-11-03	148	847	20,5	6,06	26	104	315	7	26
Cell2-23	2357792	2022-11-10	155	930	20,5	6,18	15	92	303	9	13
Cell2-24	2357788	2022-11-17	162	919	21,1	6,98	22	113	324	6	15

Cellule humide Cell2

Rinçage	Cl ⁻	F ⁻	SO ₄ ²⁻	S ₂ O ₃ ²⁻	ΣS	Ag	Al	As	B	Ba	Be	Bi
	C.Ion.	C.Ion.	C.Ion.	C.Ion.	Calcul	ICP-MS	ICP-MS	ICP-MS	ICP-MS	ICP-MS	ICP-MS	ICP-MS
	mg/l	mg/l	mg/l	mg/l	mg/l	mg/l	mg/l	mg/l	mg/l	mg/l	mg/l	mg/l
<i>Limite de détection</i>	0,5	0,02	0,6	0,02		<i>variable</i>	<i>variable</i>	<i>variable</i>	<i>variable</i>	<i>variable</i>	<i>variable</i>	<i>variable</i>
Cell2-01	1,5	0,03	8,0	0,27	2,8	<0,000003	0,0556	0,000343	0,0062	0,00254	<0,000033	<0,000013
Cell2-02	0,9	0,02	17,6	< 0,02	5,8	<0,000003	0,0514	0,000257	0,0051	0,00351	<0,000033	<0,000013
Cell2-03	< 0,5	0,02	27,4	< 0,02	9,1	<0,000003	0,0198	0,000132	0,0036	0,00675	<0,000033	<0,000013
Cell2-04	< 0,5	< 0,02	9,5	< 0,02	3,2	<0,000003	0,0556	0,000223	<0,00381	0,00269	<0,000033	<0,000013
Cell2-05	< 0,5	< 0,02	7,1	0,34	2,6	0,000001	0,0547	0,000297	0,0028	0,00282	<0,000009	0,000006
Cell2-06	< 0,5	< 0,02	10,1	< 0,02	3,4	0,000001	0,0380	0,000148	0,0029	0,00469	0,000011	0,000003
Cell2-07	< 0,5	< 0,02	4,9	0,09	1,7	0,000003	0,0634	0,000607	0,0025	0,00188	0,000011	0,000010
Cell2-08	< 0,5	< 0,02	5,9	< 0,02	2,0	<0,0000007	0,0544	0,000327	0,0028	0,00228	<0,000009	0,000008
Cell2-09	< 0,5	< 0,02	3,6	< 0,02	1,2	<0,000004	0,0080	0,000089	0,0005	0,00129	<0,000024	<0,000006
Cell2-10	< 0,5	< 0,02	3,3	< 0,02	1,1	<0,000004	0,0029	0,000059	0,0010	0,00104	<0,000024	<0,000006
Cell2-11	< 0,5	< 0,02	3,8	0,06	1,3	<0,000004	0,0651	0,000123	0,0006	0,00368	<0,000024	<0,000006
Cell2-12	< 0,5	< 0,02	3,6	0,05	1,2	<0,000004	0,0695	0,000239	0,0007	0,00274	<0,000024	<0,000006
Cell2-13	< 0,5	< 0,02	3,3	0,09	1,1	<0,000004	0,0829	0,000199	0,0010	0,00257	<0,000024	<0,000006
Cell2-14	< 0,5	< 0,02	3,1	0,15	1,1	<0,000004	0,0796	0,000093	0,0019	0,00331	<0,000024	<0,000006
Cell2-15						<0,000013	0,0298	0,000039	0,0011	0,00315	<0,000025	<0,000011
Cell2-16						<0,000013	0,0844	0,000050	0,0018	0,00090	<0,000025	<0,000011
Cell2-17	< 0,5	< 0,02	4,0	< 0,02	1,3	<0,000013	0,1071	0,000106	0,0013	0,00327	<0,000025	0,000244
Cell2-18	< 0,5	< 0,02	3,0	0,16	1,1	<0,000013	0,1488	0,000199	0,0010	0,00524	<0,000025	0,000263
Cell2-19	< 0,5	< 0,02	3,0	0,19	1,1	<0,000004	0,1504	0,000235	0,0033	0,00179	0,000057	0,000305
Cell2-20	< 0,5	< 0,02	3,2	0,06	1,1	<0,000004	0,1045	0,000185	0,0014	0,00139	0,000049	0,000273
Cell2-21	< 0,5	< 0,02	2,9	0,16	1,1	<0,000004	0,1292	0,000128	0,0043	0,00182	0,000034	0,000272
Cell2-22	< 0,5	< 0,02	3,8	0,11	1,3	<0,000004	0,1743	0,000193	0,0027	0,00213	0,000042	0,000275
Cell2-23	< 0,5	< 0,02	3,2	0,05	1,1	0,000027	0,0913	0,000141	0,0014	0,00217	<0,000017	0,000267
Cell2-24	< 0,5	< 0,02	2,0	0,12	0,7	0,000015	0,0970	0,000192	0,0008	0,00166	0,000027	0,000373

Cellule humide Cell2

Rinçage	Ca	Cd	Co	Cr	Cu	Fe	Hg	K	Li	Mg	Mn	Mo
	ICP-MS	ICP-MS	ICP-MS	ICP-MS	ICP-MS	ICP-MS	ICP-MS	ICP-MS	ICP-MS	ICP-MS	ICP-MS	ICP-MS
	mg/l	mg/l	mg/l	mg/l	mg/l	mg/l	mg/l	mg/l	mg/l	mg/l	mg/l	mg/l
<i>Limite de détection</i>	<i>variable</i>	<i>variable</i>	<i>variable</i>	<i>variable</i>	<i>variable</i>	<i>variable</i>	<i>variable</i>	<i>variable</i>	<i>variable</i>	<i>variable</i>	<i>variable</i>	<i>variable</i>
Cell2-01	2,81	0,000039	0,000809	0,000227	0,0153	0,014	<0,000014	4,42	0,01968	0,338	0,0077	0,00083
Cell2-02	5,30	0,000071	0,000351	0,000109	0,0045	0,007	<0,000014	5,27	0,03974	0,612	0,0308	0,00826
Cell2-03	7,79	0,000067	0,004761	0,000111	0,0034	0,005	<0,000014	5,00	0,02112	1,247	0,1905	0,00585
Cell2-04	3,14	0,000044	<0,000134	0,000043	0,0092	0,002	<0,000014	3,10	0,01285	0,404	0,0217	0,00645
Cell2-05	2,74	0,000042	0,001216	0,000115	0,0036	0,016	<0,000006	2,47	0,01325	0,343	0,0317	0,00548
Cell2-06	2,74	0,000192	0,004434	0,000079	0,0047	0,005	<0,000006	2,70	0,02032	0,408	0,0628	0,00528
Cell2-07	3,23	0,000023	0,000464	0,000131	0,0026	0,014	<0,000006	2,62	0,01149	0,268	0,0147	0,00416
Cell2-08	3,70	0,000026	0,000093	0,000158	0,0019	0,007	<0,000006	2,94	0,01987	0,335	0,0179	0,00615
Cell2-09	2,55	0,000024	<0,000015	<0,000021	0,0005	<0,0001	<0,000021	2,29	0,02085	0,250	0,0100	0,00227
Cell2-10	1,72	0,000018	<0,000015	<0,000021	0,0003	0,001	<0,000021	1,63	0,01126	0,167	0,0052	0,00133
Cell2-11	1,89	0,000087	0,000027	0,000192	0,0046	0,017	<0,000021	1,92	0,01064	0,233	0,0050	0,00169
Cell2-12	2,06	0,000578	0,000049	0,000165	0,0168	0,013	<0,000021	2,32	0,00884	0,215	0,0050	0,00136
Cell2-13	2,30	0,000151	0,000031	0,000109	0,0096	0,018	<0,000021	2,28	0,00935	0,207	0,0050	0,00138
Cell2-14	2,32	0,000022	<0,000015	0,000213	0,0013	0,009	<0,000021	2,20	0,00648	0,189	0,0066	0,00126
Cell2-15	3,04	0,000017	<0,000032	<0,000008	0,0011	<0,001	<0,000163	2,59	0,00863	0,214	0,0069	0,00128
Cell2-16	5,31	0,000035	0,000378	0,000011	0,0036	0,001	<0,000163	3,71	0,01188	0,370	0,0143	0,00176
Cell2-17	4,48	0,000337	<0,000032	0,000055	0,0195	0,006	<0,000163	3,00	0,01049	0,267	0,0125	0,00127
Cell2-18	2,57	0,000317	<0,000032	0,000049	0,0222	0,011	<0,000163	2,33	0,00876	0,139	0,0046	0,00048
Cell2-19	2,48	0,000404	0,000047	0,000071	0,0181	0,002	0,000029	2,32	0,00670	0,144	0,0049	0,00072
Cell2-20	2,31	0,000413	0,000040	0,000073	0,0173	<0,02	0,000022	2,14	0,00513	0,147	0,0043	0,00078
Cell2-21	2,96	0,000327	0,000005	0,000033	0,0179	<0,02	0,000015	2,53	0,00660	0,131	0,0043	0,00068
Cell2-22	3,47	0,000376	0,000025	0,000097	0,0193	0,003	0,000013	2,80	0,00569	0,155	0,0050	0,00075
Cell2-23	3,37	0,000335	0,000036	<0,000031	0,0168	0,018	<0,000318	2,11	0,00430	0,168	0,0089	0,00076
Cell2-24	1,85	0,000825	0,000081	<0,000065	0,0239	0,005	<0,00022	1,44	0,00400	0,137	0,0032	0,00047

Cellule humide Cell2

Rinçage	Na	Ni	P	Pb	S	Sb	Sc	Se	Si	Sn	Sr	Ti
	ICP-MS	ICP-MS	ICP-MS	ICP-MS	ICP-MS	ICP-MS	ICP-MS	ICP-MS	ICP-MS	ICP-MS	ICP-MS	ICP-MS
	mg/l	mg/l	mg/l	mg/l	mg/l	mg/l	mg/l	mg/l	mg/l	mg/l	mg/l	mg/l
<i>Limite de détection</i>	<i>variable</i>	<i>variable</i>	<i>variable</i>	<i>variable</i>	<i>variable</i>	<i>variable</i>	<i>variable</i>	<i>variable</i>	<i>variable</i>	<i>variable</i>	<i>variable</i>	<i>variable</i>
Cell2-01	2,01	0,01676	<0,4	0,001059	2,74	0,000371	0,000015	0,000120	0,226	0,040568	0,0071	0,000441
Cell2-02	1,74	0,00587	<0,4	0,000862	5,80	0,000111	0,000032	0,000101	0,252	0,020449	0,0112	0,000180
Cell2-03	0,91	0,05942	<0,4	0,000140	11,09	0,000175	0,000069	0,000457	0,456	0,042090	0,0144	0,000182
Cell2-04	0,53	0,11848	<0,4	0,000802	4,49	0,000161	0,000022	0,000083	0,248	0,007703	0,0067	0,000222
Cell2-05	0,21	0,04509	0,084	0,000982	1,76	0,000118	0,000038	0,000111	0,019	0,006040	0,0059	0,000155
Cell2-06	0,17	0,14753	0,089	0,000308	2,64	0,000134	0,000038	0,000111	0,050	0,013076	0,0058	0,000162
Cell2-07	0,50	0,02117	0,106	0,001866	<1,5	0,000143	0,000041	0,000080	0,120	0,005344	0,0056	0,000381
Cell2-08	0,13	0,02567	0,158	0,000738	<1,5	0,000186	0,000051	0,000073	0,205	0,020243	0,0074	0,000378
Cell2-09	0,15	0,00596	0,148	0,000020	0,97	<0,000018	<0,000017	<0,000013	0,338	0,046906	0,0045	<0,000044
Cell2-10	0,10	0,00200	<0,018	0,000081	0,36	0,000030	0,000030	<0,000013	0,225	0,006102	0,0031	<0,000044
Cell2-11	0,16	0,08388	0,113	0,000504	0,78	<0,000018	<0,000017	<0,000013	0,248	0,003290	0,0034	0,001686
Cell2-12	0,50	0,14550	0,170	0,000640	0,54	0,000088	<0,000017	0,000021	0,278	0,021170	0,0034	0,000330
Cell2-13	0,19	0,02979	0,178	0,000508	0,52	0,000075	<0,000017	0,000024	0,328	0,030259	0,0036	0,000536
Cell2-14	0,11	0,00537	0,162	0,000087	0,40	0,000022	<0,000017	0,000022	0,320	0,007985	0,0038	0,000240
Cell2-15	0,11	0,00629	0,284	0,000753	0,67	0,000030	0,000034	<0,000017	0,400	0,010951	0,0052	<0,000075
Cell2-16	0,20	0,01306	0,390	0,000989	0,81	0,000051	0,000058	<0,000017	0,605	0,031161	0,0082	<0,000075
Cell2-17	0,17	0,00780	0,392	0,001639	1,14	0,000034	0,000056	0,000017	0,567	0,010237	0,0070	0,001351
Cell2-18	0,14	0,00183	0,257	0,001622	0,63	<0,00002	0,000026	0,000017	0,946	0,002205	0,0042	0,001596
Cell2-19	0,06	0,00136	0,241	0,001919	1,28	0,000055	0,000090	0,000046	0,354	0,003501	0,0045	0,001620
Cell2-20	0,15	0,00247	0,183	0,002105	1,37	0,000039	0,000071	0,000039	0,287	0,003140	0,0043	0,001527
Cell2-21	0,12	0,00500	0,317	0,001822	1,68	0,000024	0,000073	0,000042	0,418	0,002763	0,0046	0,001574
Cell2-22	<0,070	0,00595	0,337	0,002087	2,01	0,000037	0,000086	0,000037	0,398	0,002045	0,0055	0,001658
Cell2-23	0,08	0,00387	0,245	0,002025	1,06	0,000044	0,000042	0,000020	0,375	0,002884	0,0045	0,001258
Cell2-24	0,18	0,00367	0,130	0,002209	0,70	0,000034	<0,000019	0,000025	0,214	0,004039	0,0026	0,001848

Cellule humide Cell2

Rinçage	Tl	U	V	Zn	Notes
	ICP-MS	ICP-MS	ICP-MS	ICP-MS	
	mg/l	mg/l	mg/l	mg/l	
<i>Limite de détection</i>	<i>variable</i>	<i>variable</i>	<i>variable</i>	<i>variable</i>	
Cell2-01	0,000038	0,0000	0,00039	0,0444	
Cell2-02	0,000034	0,0000	0,00040	0,0261	
Cell2-03	0,000036	0,0000	0,00016	0,0781	
Cell2-04	0,000019	0,0000	0,00041	0,1482	
Cell2-05	0,000014	0,0000	0,00022	0,0710	
Cell2-06	0,000016	0,0000	0,00014	0,1742	
Cell2-07	0,000013	0,0000	0,00048	0,0415	
Cell2-08	0,000015	0,0001	0,00028	0,0236	
Cell2-09	0,000012	<0,000002	0,00036	0,0076	Donnée Fe basse (CNRC).
Cell2-10	0,000005	<0,000002	0,00032	0,0062	Donnée Phosphore basse (CNRC).
Cell2-11	0,000008	0,0000	0,00031	0,0490	Donnée Titane élevée (CNRC).
Cell2-12	0,000008	0,0000	0,00033	0,1147	Donnée Cd élevée (CNRC).
Cell2-13	0,000007	0,0000	0,00051	0,0532	Donnée ORP anormale de la sonde.
Cell2-14	0,000014	0,0001	0,00040	0,0288	
Cell2-15	0,000008	0,0000	0,00049	<0,001786	Échantillon H2LAB envoyé avec agent de conservation acide - résultats erronés et échantillons expirés.
Cell2-16	0,000015	0,0001	0,00044	<0,001786	Échantillon H2LAB envoyé avec agent de conservation acide - résultats erronés et échantillons expirés.
Cell2-17	0,000013	0,0002	0,00038	<0,001786	Nouvelle sonde à pH. Bi, Ti - malgré une différence importante de la concentration avec les concentrations précédentes et suivantes, les concentrations étant très basses, les valeurs sont considérés comme équivalentes (CNRC).
Cell2-18	0,000011	0,0002	0,00057	0,0165	Sonde multiparamètre défectueuse et celle de remplacement ne prend pas la température. Bi, Ti - malgré une différence importante de la concentration avec les concentrations précédentes et suivantes, les concentrations étant très basses, les valeurs sont considérés comme équivalentes (CNRC).
Cell2-19	0,000016	0,0002	0,00071	0,0267	Sonde multiparamètre défectueuse et celle de remplacement ne prend pas la température. Bi, Ti - malgré une différence importante de la concentration avec les concentrations précédentes et suivantes, les concentrations étant très basses, les valeurs sont considérés comme équivalentes (CNRC).
Cell2-20	0,000017	0,0002	0,00054	0,0223	Sonde multiparamètre défectueuse et celle de remplacement ne prend pas la température. Bi, Ti - malgré une différence importante de la concentration avec les concentrations précédentes et suivantes, les concentrations étant très basses, les valeurs sont considérés comme équivalentes (CNRC).
Cell2-21	0,000013	0,0002	0,00063	0,0257	Sonde multiparamètre défectueuse et celle de remplacement ne prend pas la température. Bi, Ti - malgré une différence importante de la concentration avec les concentrations précédentes et suivantes, les concentrations étant très basses, les valeurs sont considérés comme équivalentes (CNRC).
Cell2-22	0,000014	0,0002	0,00080	0,0336	Sonde multiparamètre défectueuse et celle de remplacement ne prend pas la température. Bi, Ti - malgré une différence importante de la concentration avec les concentrations précédentes et suivantes, les concentrations étant très basses, les valeurs sont considérés comme équivalentes (CNRC).
Cell2-23	0,000007	0,0002	0,00056	0,0252	Sonde multiparamètre défectueuse et celle de remplacement ne prend pas la température.
Cell2-24	0,000006	0,0002	0,00039	0,0238	

Cellule humide Cell2 Description: Cell2 - Stériles non-oxydés J4 (composite de E13-01 à E13-10)
 Masse (kg) : 0,9978
 Début de l'essai : 2022-06-09
 Type de test : Cellule humide en laboratoire (stériles)

Rinçage	#Ech H2Lab	Date	Temps	Volume eau	Température	pH	Conductivité	ORP	Eh	Acidité	Alcalinité
			jour	ml	Électrode °C	Électrode -	Électrode µS/cm	Électrode mV	Calcul mV	Titrage mg CaCO ₃ /L	Titrage mg CaCO ₃ /L
<i>Limite de détection</i>											
Cell2-25	2358561	2022-11-24	169	918	20,1	7,31	32	184	395	6	18
Cell2-26	2358557	2022-12-01	176	961	20,6	7,65	30	122	333	7	18
Cell2-27	2359404	2022-12-08	183	855	20,8	7,61	17	183	394	8	18
Cell2-28	2359399	2022-12-15	190	894	19,8	7,68	24	91	302	7	10
Cell2-29	2361141	2023-01-12	218	917	21,5	7,45	27	133	344	10	15
Cell2-30	2361136	2023-01-19	225	914	21,3	7,43	25	135	345	9	10
Cell2-31	2362052	2023-01-26	232	914	21,3	7,67	25	190	400	8	5
Cell2-32	2362047	2023-02-02	239	879	21,7	7,25	42	163	373	9	10
Cell2-33	2362881	2023-02-09	246	971	21,4	6,99	35	125	335	11	15
Cell2-34	2362876	2023-02-16	253	943	21,7	7,22	30	116	326	5	15
Cell2-35	2363942	2023-02-23	260	916	21,2	6,99	35	121	332	6	15
Cell2-36	2363937	2023-03-03	268	864	21,4	6,89	27	119	329	5	10
Cell2-37	2364740	2023-03-09	274	919	20,6	6,95	50	135	346	5	10
Cell2-38	2364744	2023-03-16	281	903	21,0	6,82	23	85	295	8	13
Cell2-39	2366332	2023-03-23	288	917	21,5	6,52	22	121	332	7	10
Cell2-40	2366305	2023-03-30	295	800	21,3	7,00	57	133	343	7	15
Cell2-41	2367548	2023-04-06	302	895	20,5	6,89	29	129	340	7	13
Cell2-42	2367552	2023-04-13	309	925	21,7	6,38	25	148	358	7	10
Cell2-43		2023-04-20	316								
Cell2-44	2369992	2023-04-27	323	916	20,3	6,52	19	226	438	6	10
Cell2-45	2369988	2023-05-04	330	908	21,1	6,58	22	177	388	5	10
Cell2-46	2372315	2023-05-11	337	847	21,8	7,18	16	237	447	6	15
Cell2-47	2372383	2023-05-18	344	847	19,3	6,97	34	237	449	5	15
Cell2-48	2374171	2023-05-25	351	916	19,3	6,91	17	180	392	6	15
Cell2-49	2374176	2023-06-01	358	916	22,6	6,81	31	182	391	5	10
Cell2-50	2375823	2023-06-08	365	926	20,5	6,87	32	177	388	5	13
Cell2-51	2375769	2023-06-15	372	898	21,6	6,78	32	155	365	5	14
Cell2-52	2377564	2023-06-22	379	877	21,9	6,80	25	119	328	5	15
Cell2-53	2377560	2023-06-29	386	896	2,7	6,31	23	169	396	5	10
Cell2-54	2380118	2023-07-06	393	886	23,0	6,40	21	151	360	5	13
Cell2-55	2380124	2023-07-13	400	891	22,7	6,67	26	175	385	4	13
Cell2-56	2382168	2023-07-20	407	923	22,1	6,60	24	160	370	4	10
Cell2-57	2382173	2023-07-27	414	925	23,0	6,69	22	201	410	5	8
Cell2-58	2384530	2023-08-03	421	918	21,2	6,83	25	215	426	7	13
Cell2-59	2384535	2023-08-10	428	925	22,3	6,96	28	221	431	7	0
Cell2-60	2386160	2023-08-17	435	902	15,8	4,98	25	294	509	8	8

Cellule humide Cell2

Rinçage	Cl ⁻	F ⁻	SO ₄ ²⁻	S ₂ O ₃ ²⁻	ΣS	Ag	Al	As	B	Ba	Be	Bi
	C.Ion.	C.Ion.	C.Ion.	C.Ion.	Calcul	ICP-MS	ICP-MS	ICP-MS	ICP-MS	ICP-MS	ICP-MS	ICP-MS
	mg/l	mg/l	mg/l	mg/l	mg/l	mg/l	mg/l	mg/l	mg/l	mg/l	mg/l	mg/l
<i>Limite de détection</i>	0,5	0,02	0,6	0,02		variable	variable	variable	variable	variable	variable	variable
Cell2-25	< 0,5	< 0,02	2,0	0,12	0,7	0,000010	0,1516	0,000167	0,0008	0,00200	0,000027	0,000254
Cell2-26	< 0,5	< 0,02	2,6	0,05	0,9	<0,000005	0,1277	0,000141	0,0014	0,00207	<0,000075	<0,000013
Cell2-27	< 0,5	< 0,02	2,2	0,11	0,8	<0,000005	0,2205	0,000105	0,0008	0,00175	<0,000075	<0,000013
Cell2-28	< 0,5	< 0,02	1,8	0,12	0,7	<0,000005	0,1379	0,000080	0,0006	0,00164	<0,000075	<0,000013
Cell2-29	< 0,5	< 0,02	2,0	0,21	0,8	<0,000006	0,1357	0,000125	0,0019	0,00216	0,000037	0,000014
Cell2-30	< 0,5	< 0,02	1,9	0,20	0,7	<0,000006	0,1237	0,000090	0,0015	0,00240	<0,000019	0,000010
Cell2-31	< 0,5	< 0,02	2,1	0,21	0,8	<0,000004	0,1132	0,000119	0,0013	0,00205	0,000006	<0,000001
Cell2-32	< 0,5	< 0,02	2,0	0,17	0,8	<0,000004	0,1161	0,000119	0,0014	0,00239	0,000006	<0,000001
Cell2-33	< 0,5	< 0,02	2,7	0,11	1,0	<0,000001	0,1090	0,000120	0,0013	0,00231	0,000006	<0,000007
Cell2-34	< 0,5	< 0,02	2,5	0,11	0,9	<0,000001	0,0950	0,000088	0,0012	0,00234	<0,0013	<0,000007
Cell2-35	< 0,5	< 0,02	1,8	0,18	0,7	<0,000004	0,1180	0,000106	0,0011	0,00583	<0,000018	0,000004
Cell2-36	< 0,5	< 0,02	2,1	0,19	0,8	<0,000004	0,1200	0,000110	0,0006	0,00284	<0,000018	0,000009
Cell2-37	< 0,5	< 0,02	2,2	0,17	0,8	0,000002	0,0870	0,000092	0,0012	0,00208	<0,0008	0,000007
Cell2-38	< 0,5	< 0,02	1,7	0,19	0,7	0,000004	0,0380	0,000061	0,0025	<0,001049	<0,0008	0,000007
Cell2-39	< 0,5	< 0,02	1,9	0,08	0,7	<0,000002	0,0860	0,000094	0,0011	0,00324	<0,0004	0,000012
Cell2-40	< 0,5	< 0,02	2,3	0,11	0,8	0,000009	0,1117	0,000142	0,0008	0,00317	0,000017	0,000250
Cell2-41	< 0,5	< 0,02	2,9	< 0,02	1,0	<0,000005	0,0983	0,000109	0,0016	0,00063	<0,0006	0,000010
Cell2-42	< 0,5	< 0,02	1,8	0,09	0,6	0,000015	0,0994	0,000114	0,0011	0,00214	0,000017	0,000286
Cell2-43												
Cell2-44	< 0,5	< 0,02	2,5	0,20	0,9	<0,000003	0,0647	0,000075	0,0015	0,01160	<0,000013	0,000006
Cell2-45	< 0,5	< 0,02	2,7	0,11	1,0	<0,000003	0,0710	0,000064	0,0015	0,00438	<0,000013	<0,000003
Cell2-46	< 0,5	< 0,02	2,9	0,13	1,0	<0,000002	0,1572	0,000117	0,0016	0,00316	<0,000013	0,000004
Cell2-47	< 0,5	< 0,02	2,7	0,11	1,0	<0,000002	0,1490	0,000114	0,0014	0,00341	<0,000013	<0,000002
Cell2-48	< 0,5	< 0,02	2,2	0,08	0,8	<0,000005	0,0792	0,000089	0,0010	0,00363	<0,000015	0,000003
Cell2-49	< 0,5	< 0,02	1,7	0,14	0,6	<0,000005	0,1050	0,000092	0,0011	0,00479	<0,000015	0,000074
Cell2-50	< 0,5	< 0,02	2,2	0,12	0,8	<0,000013	0,1157	0,000099	0,0027	0,00245	0,000004	0,000011
Cell2-51	< 0,5	< 0,02	2,1	0,11	0,8	<0,000013	0,0725	0,000093	0,0022	0,00419	0,000002	0,000066
Cell2-52	< 0,5	< 0,02	2,3	0,07	0,8	<0,000002	0,0746	0,000081	0,0016	0,00255	0,000002	0,000028
Cell2-53	< 0,5	< 0,02	2,3	0,09	0,8	0,000005	0,1070	0,000101	0,0017	0,00428	0,000000	0,000182
Cell2-54	< 0,5	< 0,02	2,3	0,10	0,8	0,000005	0,0673	0,000060	0,0011	0,00271	<0,000002	0,000095
Cell2-55	< 0,5	< 0,02	2,5	0,11	0,9	0,000002	0,1059	0,000074	0,0010	0,00265	<0,000002	0,000221
Cell2-56	< 0,5	< 0,02	2,2	0,11	0,8	0,000005	0,0507	0,000062	0,0023	0,00368	0,000002	0,000064
Cell2-57	< 0,5	< 0,02	2,2	0,12	0,8	0,000003	0,1061	0,000080	0,0039	0,00317	0,000006	0,000074
Cell2-58	< 0,5	< 0,02	2,2	0,05	0,8	0,000012	0,0436	0,000051	0,0026	0,00360	0,000003	0,000021
Cell2-59	< 0,5	< 0,02	1,8	0,10	0,7	0,000003	0,0698	0,000078	0,0036	0,00222	0,000002	<0,000005
Cell2-60	< 0,5	< 0,02	2,0	0,07	0,7	<0,000005	0,0589	0,000064	0,0012	0,00152	0,000002	0,000003

Cellule humide Cell2

Rinçage	Ca	Cd	Co	Cr	Cu	Fe	Hg	K	Li	Mg	Mn	Mo
	ICP-MS	ICP-MS	ICP-MS	ICP-MS	ICP-MS	ICP-MS	ICP-MS	ICP-MS	ICP-MS	ICP-MS	ICP-MS	ICP-MS
	mg/l	mg/l	mg/l	mg/l	mg/l	mg/l	mg/l	mg/l	mg/l	mg/l	mg/l	mg/l
<i>Limite de détection</i>	<i>variable</i>	<i>variable</i>	<i>variable</i>	<i>variable</i>	<i>variable</i>	<i>variable</i>	<i>variable</i>	<i>variable</i>	<i>variable</i>	<i>variable</i>	<i>variable</i>	<i>variable</i>
Cell2-25	2,95	0,000204	<0,000025	<0,000065	0,0178	0,001	<0,00022	1,83	0,00359	0,138	0,0037	0,00039
Cell2-26	2,53	0,001217	<0,000018	<0,000072	0,0031	0,015	<0,000285	1,50	0,00421	0,124	0,0051	0,00051
Cell2-27	2,76	0,000078	<0,000018	<0,000072	0,0037	0,005	<0,000285	1,69	0,00489	0,121	0,0035	0,00036
Cell2-28	1,95	<0,000012	<0,000018	<0,000072	0,0010	0,009	<0,000285	1,34	0,00266	0,093	0,0028	0,00070
Cell2-29	2,48	0,000030	0,000022	0,000040	0,0014	0,003	<0,000029	1,96	0,00348	0,105	0,0032	0,00029
Cell2-30	2,32	0,000054	0,000029	0,000075	0,0017	0,012	<0,000029	1,84	0,00319	0,097	0,0035	0,00033
Cell2-31	2,41	0,000020	0,000013	0,000011	0,0009	0,008	<0,000068	1,95	0,00312	0,093	0,0030	0,00031
Cell2-32	2,42	0,000065	0,000025	<0,000009	0,0011	0,004	<0,000068	1,93	0,00340	0,100	0,0033	0,00034
Cell2-33	2,97	0,000039	<0,000015	<0,000046	0,0014	0,006	<0,000044	1,84	0,00364	0,087	0,0050	0,00044
Cell2-34	2,61	0,000041	<0,000015	<0,000046	0,0010	<0,026	<0,000044	1,72	0,00450	0,082	0,0040	0,00033
Cell2-35	2,42	0,000019	0,000034	0,000047	0,0012	0,005	<0,000323	1,69	0,00383	0,075	0,0030	0,00022
Cell2-36	2,56	0,000031	0,000026	0,000028	0,0015	0,005	<0,000323	1,73	0,00382	0,082	0,0030	0,00029
Cell2-37	1,56	0,000067	0,000051	0,000049	0,0020	0,006	<0,000089	1,65	0,00283	0,130	0,0030	0,00030
Cell2-38	<0,995	0,000068	0,000045	0,000129	0,0022	0,004	<0,000089	1,67	0,00270	<0,038	0,0030	0,00026
Cell2-39	5,26	0,000037	0,000018	0,000037	0,0009	0,003	<0,000138	1,40	0,00264	0,754	0,0028	0,00027
Cell2-40	4,15	0,000314	0,000045	0,000065	0,0143	0,005	<0,000138	1,61	0,00290	0,615	0,0034	0,00031
Cell2-41	2,00	0,000060	0,000030	0,000054	0,0008	0,007	<0,00021	1,83	0,00290	0,084	0,0037	0,00032
Cell2-42	1,55	0,000329	0,000189	0,000060	0,0162	0,004	0,000234	1,54	0,00544	0,062	0,0029	0,00028
Cell2-43												
Cell2-44	1,70	0,000083	0,000256	0,000082	0,0020	0,011	0,000210	1,55	0,00472	0,062	0,0052	0,00029
Cell2-45	1,94	0,000178	0,000130	0,000140	0,0011	0,007	0,000070	3,80	0,00354	0,636	0,0033	0,00025
Cell2-46	3,05	0,000035	0,000070	0,000241	0,0014	0,005	0,000007	2,26	0,00464	0,084	0,0034	0,00003
Cell2-47	3,25	0,000038	0,000088	0,000419	0,0015	0,005	<0,000006	2,39	0,00453	0,095	0,0037	0,00004
Cell2-48	2,00	0,000019	<0,000045	<0,000254	0,0013	0,006	<0,000046	1,65	0,00276	0,063	0,0027	0,00027
Cell2-49	2,19	0,000299	0,000064	<0,000254	0,0021	0,034	<0,000046	1,61	0,00302	0,072	0,0035	0,00021
Cell2-50	2,32	0,000027	0,000025	0,000106	0,0013	0,011	<0,00029	1,12	0,00374	0,062	0,0033	0,00018
Cell2-51	1,82	0,000012	0,000031	0,000123	0,0026	0,005	<0,00029	0,82	0,00347	0,053	0,0032	0,00018
Cell2-52	2,17	0,000013	0,000056	0,000123	0,0017	0,007	0,001202	1,96	0,00300	0,066	0,0031	0,00023
Cell2-53	2,69	0,000019	0,000151	0,000235	0,0024	0,087	0,001202	2,15	0,00340	0,079	0,0038	0,00020
Cell2-54	2,35	0,000031	0,000137	0,000036	0,0025	0,004	<0,000051	1,36	0,00330	0,065	0,0032	0,00019
Cell2-55	2,36	0,000012	0,000079	0,000040	0,0023	<0,004	<0,000051	1,45	0,00362	0,059	0,0030	0,00020
Cell2-56	7,28	0,000043	0,000145	0,000063	0,0034	0,004	<0,000028	0,99	0,00299	0,504	0,0034	0,00018
Cell2-57	2,69	0,000092	0,000164	0,000098	0,0037	0,026	<0,000028	1,14	0,00368	0,170	0,0036	0,00020
Cell2-58	1,93	0,000021	0,000077	0,000095	0,0016	<0,001	0,000096	2,14	0,00292	0,079	0,0043	0,00023
Cell2-59	1,40	0,000049	0,000112	0,000053	0,0031	<0,001	0,000068	1,92	0,00289	0,053	0,0030	0,00014
Cell2-60	1,03	0,000011	0,000081	<0,000034	0,0026	<0,001	0,000023	1,59	0,00338	0,022	0,0026	0,00014

Cellule humide Cell2

Rinçage	Na	Ni	P	Pb	S	Sb	Sc	Se	Si	Sn	Sr	Ti
	ICP-MS	ICP-MS	ICP-MS	ICP-MS	ICP-MS	ICP-MS	ICP-MS	ICP-MS	ICP-MS	ICP-MS	ICP-MS	ICP-MS
	mg/l	mg/l	mg/l	mg/l	mg/l	mg/l	mg/l	mg/l	mg/l	mg/l	mg/l	mg/l
<i>Limite de détection</i>	<i>variable</i>	<i>variable</i>	<i>variable</i>	<i>variable</i>	<i>variable</i>	<i>variable</i>	<i>variable</i>	<i>variable</i>	<i>variable</i>	<i>variable</i>	<i>variable</i>	<i>variable</i>
Cell2-25	0,02	0,00190	0,213	0,001522	0,70	0,000025	<0,000019	0,000033	0,351	0,002518	0,0033	0,001281
Cell2-26	0,08	0,00356	0,193	0,000763	0,51	0,000029	0,000080	<0,00006	0,226	0,015107	0,0038	0,000180
Cell2-27	<0,006	0,00381	0,280	0,000976	0,44	0,000055	0,000084	<0,00006	0,318	0,004041	0,0039	0,000075
Cell2-28	<0,006	0,00034	0,139	0,000071	0,29	0,000016	0,000061	<0,00006	0,148	0,002835	0,0028	<0,000064
Cell2-29	0,09	0,00270	0,219	0,000433	0,41	0,000037	0,000049	0,000050	0,329	0,002106	0,0033	0,000170
Cell2-30	0,16	0,00123	0,229	0,000874	0,54	0,000042	0,000051	0,000039	0,313	0,001939	0,0032	0,000669
Cell2-31	0,06	0,00056	0,197	0,000393	0,46	0,000041	0,000021	0,000033	0,331	0,002188	0,0028	0,000239
Cell2-32	0,07	0,00083	0,213	0,001019	0,73	0,000045	0,000030	0,000035	0,322	0,002674	0,0030	0,000183
Cell2-33	0,06	0,00255	0,278	0,000935	0,62	0,000043	0,000062	0,000039	0,385	0,020230	0,0040	0,000124
Cell2-34	0,15	0,00100	0,265	0,000530	0,60	0,000049	0,000052	0,000024	0,354	0,004320	0,0030	0,000114
Cell2-35	0,02	0,00061	0,222	0,000570	0,27	0,000041	0,000050	0,000030	0,337	0,004920	0,0030	0,000233
Cell2-36	0,03	0,00057	0,256	0,000944	0,54	0,000031	0,000056	0,000024	0,353	0,004410	0,0030	0,000207
Cell2-37	0,02	0,00111	0,166	0,000394	0,57	0,000046	0,000039	0,000030	0,216	0,029730	0,0020	0,000208
Cell2-38	0,11	0,00107	0,205	0,000277	0,53	0,000046	0,000040	0,000030	0,234	0,008180	0,0020	0,000249
Cell2-39	0,31	0,00056	0,219	0,000133	0,24	0,000038	0,000042	0,000018	0,246	0,006547	0,0025	0,000107
Cell2-40	0,20	0,00077	0,319	0,001591	0,42	0,000032	0,000058	0,000030	0,291	0,006334	0,0033	0,001139
Cell2-41	0,05	0,00052	0,194	0,000360	0,70	0,000036	0,000047	0,000027	0,279	0,006870	0,0032	0,000180
Cell2-42	0,06	0,00135	0,182	0,001654	0,52	0,000054	0,000041	0,000027	0,245	0,006189	0,0028	0,001387
Cell2-43												
Cell2-44	0,06	0,00121	0,162	0,000419	0,56	0,000039	0,000036	0,000021	0,226	0,006450	0,0029	0,000266
Cell2-45	0,13	0,00095	0,153	0,000119	0,65	0,000052	0,000036	0,000045	1,044	0,009458	0,0025	0,000212
Cell2-46	0,04	0,00165	0,168	0,000315	0,24	0,000035	0,000034	<0,000025	0,354	0,006326	0,0035	0,000139
Cell2-47	0,08	0,00365	0,146	0,000446	0,36	0,000046	0,000034	0,000035	0,329	0,006151	0,0035	0,000130
Cell2-48	0,09	0,00243	0,068	0,000213	0,08	0,000033	<0,000009	0,000015	0,162	0,005528	0,0024	0,000244
Cell2-49	0,06	0,00111	0,138	0,000254	0,15	0,000017	<0,000009	0,000012	0,218	0,007235	0,0027	0,001138
Cell2-50	0,04	0,00044	0,075	0,000215	1,82	0,000037	0,000087	0,000028	0,236	0,007251	0,0029	0,000137
Cell2-51	0,03	0,00269	0,077	0,000402	4,12	0,000020	0,000104	0,000028	0,180	0,009555	0,0023	0,000246
Cell2-52	0,03	0,00109	0,014	0,000274	3,87	0,000077	0,000156	0,000430	0,219	0,008977	0,0027	0,000199
Cell2-53	0,03	0,00084	0,050	0,000336	7,46	0,000087	0,000189	0,000641	0,261	0,008609	0,0026	0,004910
Cell2-54	0,07	0,00088	0,006	0,000776	<0,384	0,000075	0,000129	<0,000939	0,220	0,009093	0,0023	0,000601
Cell2-55	0,07	0,00058	0,001	0,000338	2,42	0,000053	0,000184	0,000195	0,229	0,008594	0,0024	0,000300
Cell2-56	0,12	0,02579	<0,000	0,000299	<2,741	0,000068	0,000178	<0,00059	0,171	0,046059	0,0022	0,000329
Cell2-57	0,09	0,01292	0,003	0,000762	<2,741	0,000060	0,000271	<0,00059	0,227	0,038586	0,0026	0,000489
Cell2-58	0,05	0,00178	<0,000	0,000304	<4,298	0,000038	0,000201	<0,001037	0,276	0,016118	0,0027	0,000260
Cell2-59	0,08	0,00156	<0,000	0,009250	36,04	0,000047	0,000176	<0,001037	0,246	0,012247	0,0021	0,000350
Cell2-60	0,08	0,00292	<0,001	0,000194	<2,003	0,000329	0,000088	<0,000322	0,191	0,005387	0,0020	0,000293

Cellule humide Cell2

Rinçage	Tl	U	V	Zn	Notes
	ICP-MS	ICP-MS	ICP-MS	ICP-MS	
	mg/l	mg/l	mg/l	mg/l	
<i>Limite de détection</i>	<i>variable</i>	<i>variable</i>	<i>variable</i>	<i>variable</i>	
Cell2-25	0,000007	0,0001	0,00054	0,0217	
Cell2-26	0,000006	0,0001	0,00036	0,0491	
Cell2-27	0,000006	0,0000	0,00053	0,0410	
Cell2-28	0,000006	0,0000	0,00035	0,0369	
Cell2-29	0,000011	0,0000	0,00046	0,0227	
Cell2-30	0,000009	0,0000	0,00044	0,0258	
Cell2-31	0,000008	0,0000	0,00038	0,0189	
Cell2-32	0,000008	0,0000	0,00040	0,0296	
Cell2-33	0,000011	0,0001	0,00045	0,0258	
Cell2-34	0,000011	0,0001	0,00044	0,0220	LOD Beryllium et Fer corrigées le 2023-07-17.
Cell2-35	0,000009	0,0000	0,00047	0,0361	
Cell2-36	0,000015	0,0001	0,00045	0,0320	
Cell2-37	0,000009	0,0000	0,00034	0,0443	LOD Beryllium corrigée le 2023-07-17.
Cell2-38	0,000008	0,0000	0,00033	0,0400	LOD Beryllium corrigée le 2023-07-17.
Cell2-39	0,000011	0,0000	0,00045	0,0271	LOD Beryllium corrigée le 2023-07-17.
Cell2-40	0,000011	0,0002	0,00054	0,0271	
Cell2-41	0,000011	0,0001	0,00041	0,0373	LOD Beryllium corrigée le 2023-07-17.
Cell2-42	0,000013	0,0002	0,00049	0,0519	
Cell2-43					Semaine sans lixiviation maintenue à air humide.
Cell2-44	0,000007	0,0000	0,00048	0,0612	
Cell2-45	0,000008	0,0000	0,00046	0,0405	
Cell2-46	0,000010	0,0000	0,00058	0,0332	
Cell2-47	0,000011	0,0001	0,00054	0,0482	
Cell2-48	0,000009	0,0000	0,00036	0,0432	
Cell2-49	0,000011	0,0001	0,00046	0,0409	
Cell2-50	0,000011	0,0000	0,00055	0,0495	
Cell2-51	0,000006	0,0001	0,00039	0,0398	
Cell2-52	0,000012	0,0001	0,00041	0,0236	
Cell2-53	0,000007	0,0001	0,00053	0,0354	
Cell2-54	0,000005	0,0001	0,00029	0,0156	
Cell2-55	0,000006	0,0001	0,00036	0,0109	
Cell2-56	0,000009	0,0000	0,00025	0,0796	
Cell2-57	0,000012	0,0000	0,00036	0,0554	
Cell2-58	0,000013	0,0001	0,00023	0,0229	
Cell2-59	0,000009	0,0000	0,00028	0,0206	
Cell2-60	0,000009	0,0000	0,00028	0,0189	Mesure de pH prise le lendemain par un autre technicien après une nuit au réfrigérateur.

Cellule humide Cell2 Description: Cell2 - Stériles non-oxydés J4 (composite de E13-01 à E13-10)
 Masse (kg) : 0,9978
 Début de l'essai : 2022-06-09
 Type de test : Cellule humide en laboratoire (stériles)

Rinçage	#Ech H2Lab	Date	Temps	Volume eau	Température	pH	Conductivité	ORP	Eh	Acidité	Alcalinité
			jour	ml	Électrode °C	Électrode -	Électrode µS/cm	Électrode mV	Calcul mV	Titrage mg CaCO ₃ /L	Titrage mg CaCO ₃ /L
					0,1	0,01	1	0,1		2	2
Cell2-61	2386165	2023-08-24	442	918	21,2	6,96	31	570	780	7	8
Cell2-62	2388253	2023-08-31	449	986	20,7	6,98	24	252	463		
Cell2-63	2388508	2023-09-07	456	921	23,5	7,09	18	231	440	4	10
Cell2-64	2390427	2023-09-14	463	911	20,2	7,48	21	165	376	3	10
Cell2-65	2390429	2023-09-21	470	931	20,1	6,87	22	67	279	4	10
Cell2-66	2392927	2023-09-28	477	923	20,6	7,29	24	125	336	3	10
Cell2-67	2392930	2023-10-05	484	918	19,9	6,52	21	115	327	3	0
Cell2-68	2394715	2023-10-12	491	922	20,1	7,28	20	132	344	4	5
Cell2-69	2394717	2023-10-19	498	921	20,0	7,36	20	86	298	6	5
Cell2-70	2396270	2023-10-26	505	925	20,3	6,06	24	175	387	5	5
Cell2-71	2396268	2023-11-02	512	923	19,6	6,78	22	137	349	4	8
Cell2-72	2397651	2023-11-09	519	924	19,1	6,78	12	130	343	4	5
Cell2-73	2397649	2023-11-16	526	923	20,3	6,62	24	201	412	5	13
Cell2-74	2399357	2023-11-23	533	922	18,9	6,97	21	202	415	5	
Cell2-75	2399354	2023-11-30	540	923	19,3	5,82	15	247	459	5	5
Lixiviation finale 24h	2400869	2023-12-21			17,7	9,72	271	238	452	9	61

Cellule humide Cell2

Rinçage	Cl ⁻	F ⁻	SO ₄ ²⁻	S ₂ O ₃ ²⁻	ΣS	Ag	Al	As	B	Ba	Be	Bi
	C.Ion.	C.Ion.	C.Ion.	C.Ion.	Calcul	ICP-MS	ICP-MS	ICP-MS	ICP-MS	ICP-MS	ICP-MS	ICP-MS
	mg/l	mg/l	mg/l	mg/l	mg/l	mg/l	mg/l	mg/l	mg/l	mg/l	mg/l	mg/l
<i>Limite de détection</i>	0,5	0,02	0,6	0,02		<i>variable</i>	<i>variable</i>	<i>variable</i>	<i>variable</i>	<i>variable</i>	<i>variable</i>	<i>variable</i>
Cell2-61	< 0,5	< 0,02	2,5	0,10	0,9	<0,000005	0,0855	0,000163	0,0036	0,00267	<0,000001	0,000015
Cell2-62	1,3	< 0,02	1,4	0,03	0,5	<0,000005	0,0659	0,000502	0,0018	0,00267	0,000003	0,000008
Cell2-63	< 0,5	< 0,02	2,3	0,06	0,8	<0,000005	0,0645	0,000097	0,0071	0,00190	0,000005	0,000005
Cell2-64	< 0,5	< 0,02	2,3	< 0,02	0,8	0,000006	0,1182	0,000124	0,0027	0,00194	0,000005	0,000007
Cell2-65	< 0,5	< 0,02	2,7	< 0,02	0,9	0,000004	0,8482	0,000172	0,0024	0,00273	0,000009	0,000075
Cell2-66	< 0,5	< 0,02	1,8	0,06	0,6	0,000006	0,0030	0,000108	0,0018	0,00252	<0,000002	0,000010
Cell2-67	< 0,5	< 0,02	2,6	0,08	0,9	0,000011	0,0027	0,000109	0,0015	0,00275	0,000002	0,000009
Cell2-68	< 0,5	< 0,02	1,7	0,08	0,6	0,000020	0,1150	0,001294	0,0053	0,00487	0,000010	0,000030
Cell2-69	< 0,5	< 0,02	1,8	0,09	0,6	<0,000003	0,0654	0,000068	0,0015	0,00193	<0,000003	0,000028
Cell2-70	< 0,5	< 0,02	3,0	0,08	1,0	0,000019	0,1086	0,000110	0,0019	0,00242	<0,000003	0,000005
Cell2-71	< 0,5	< 0,02	2,9	0,07	1,0	<0,000003	0,0492	0,000081	0,0019	0,00314	0,000003	0,000005
Cell2-72	< 0,5	< 0,02	3,1	0,11	1,1	<0,000004	0,0651	0,000072	0,0011	0,00287	<0,000002	<0,000003
Cell2-73	< 0,5	< 0,02	3,2	0,12	1,1	<0,000004	0,0423	0,000067	0,0016	0,00309	<0,000002	<0,000003
Cell2-74	< 0,5	< 0,02	1,7	0,11	0,6	<0,000004	0,0664	0,000078	0,0014	0,00225	<0,000002	<0,000003
Cell2-75	< 0,5	< 0,02	1,6	0,16	0,6	<0,000004	0,0489	0,000078	0,0014	0,00263	<0,000002	<0,000003
Lixiviation finale 24h	15,1	0,04	13,7	0,18	4,7	0,000068	1,7293	0,002390	0,0434	0,01663	0,000006	0,000023

Cellule humide Cell2

Rinçage	Ca	Cd	Co	Cr	Cu	Fe	Hg	K	Li	Mg	Mn	Mo
	ICP-MS	ICP-MS	ICP-MS	ICP-MS	ICP-MS	ICP-MS	ICP-MS	ICP-MS	ICP-MS	ICP-MS	ICP-MS	ICP-MS
	mg/l	mg/l	mg/l	mg/l	mg/l	mg/l	mg/l	mg/l	mg/l	mg/l	mg/l	mg/l
<i>Limite de détection</i>	<i>variable</i>	<i>variable</i>	<i>variable</i>	<i>variable</i>	<i>variable</i>	<i>variable</i>	<i>variable</i>	<i>variable</i>	<i>variable</i>	<i>variable</i>	<i>variable</i>	<i>variable</i>
Cell2-61	2,09	0,000054	0,000688	0,000120	0,0059	0,013	0,000014	1,91	0,00362	0,066	0,0043	0,00016
Cell2-62	0,44	0,000052	0,001683	0,000142	0,0100	0,145	0,000891	1,94	0,00487	0,028	0,0070	0,00065
Cell2-63	1,12	0,000113	0,000395	<0,000034	0,0030	0,002	0,000024	1,57	0,00344	0,042	0,0049	0,00021
Cell2-64	1,17	0,000155	0,000253	0,000048	0,0031	0,030	<0,00001	1,34	0,00310	0,052	0,0042	0,00020
Cell2-65	1,60	0,000529	0,000198	0,000086	0,0033	0,031	<0,00001	1,39	0,00307	0,065	0,0053	0,00019
Cell2-66	1,38	0,000404	0,000302	0,000356	0,0066	0,028	<0,00001	1,45	0,00319	0,052	0,0050	0,00020
Cell2-67	1,64	0,000060	0,000158	0,000026	0,0012	0,009	<0,00001	1,44	0,00302	0,133	0,0043	0,00017
Cell2-68	2,28	0,000342	0,001223	0,002067	0,0136	0,169	0,000538	2,61	0,00481	0,103	0,0096	0,00030
Cell2-69	1,26	0,000032	0,000064	<0,000008	0,0006	0,004	<0,00028	1,50	0,00226	0,031	0,0029	0,00011
Cell2-70	1,59	0,000030	0,000099	0,000072	0,0011	0,010	0,000430	1,75	0,00344	0,040	0,0036	0,00014
Cell2-71	1,34	0,000252	0,000107	<0,000008	0,0009	0,012	<0,00028	1,49	0,00387	0,034	0,0032	0,00011
Cell2-72	1,46	0,000014	0,000015	<0,000024	0,0005	0,001	<0,000322	1,31	0,00303	0,049	0,0026	0,00007
Cell2-73	1,73	0,000022	0,000019	0,000068	0,0011	0,013	<0,000322	1,46	0,00424	0,054	0,0033	0,00010
Cell2-74	1,48	0,003463	0,000073	<0,000024	0,0009	0,078	0,000372	1,31	0,00422	0,050	0,0034	0,00007
Cell2-75	1,47	0,000019	0,000025	<0,000024	0,0008	0,013	<0,000322	1,28	0,00398	0,048	0,0028	0,00007
Lixiviation finale 24h	4,56	0,000218	0,001259	0,005272	0,0646	1,539	0,001738	5,50	0,01882	1,132	0,0345	0,00179

Cellule humide Cell2

Rinçage	Na	Ni	P	Pb	S	Sb	Sc	Se	Si	Sn	Sr	Ti
	ICP-MS	ICP-MS	ICP-MS	ICP-MS	ICP-MS	ICP-MS	ICP-MS	ICP-MS	ICP-MS	ICP-MS	ICP-MS	ICP-MS
	mg/l	mg/l	mg/l	mg/l	mg/l	mg/l	mg/l	mg/l	mg/l	mg/l	mg/l	mg/l
<i>Limite de détection</i>	<i>variable</i>	<i>variable</i>	<i>variable</i>	<i>variable</i>	<i>variable</i>	<i>variable</i>	<i>variable</i>	<i>variable</i>	<i>variable</i>	<i>variable</i>	<i>variable</i>	<i>variable</i>
Cell2-61	0,15	0,02712	<0,001	0,000559	<2,003	0,000295	0,000122	<0,000322	0,199	0,024107	0,0027	0,001233
Cell2-62	0,97	0,00883	0,417	0,001859	<2,003	0,000461	0,000055	<0,000322	0,093	0,006657	0,0020	0,002148
Cell2-63	0,26	0,00319	<0,001	0,000220	<2,003	0,000203	0,000073	<0,000322	0,188	0,003123	0,0020	0,001146
Cell2-64	0,17	0,00618	<0,005	0,000224	0,97	0,000063	<0,000014	<0,000266	<0,097	0,001737	0,0020	0,000404
Cell2-65	0,17	0,04276	<0,005	0,000531	3,18	0,000072	0,000021	<0,000266	<0,097	0,018626	0,0025	0,000366
Cell2-66	0,10	0,00847	<0,005	0,000464	15,90	0,000050	<0,000014	<0,000266	<0,097	0,001920	0,0021	0,000322
Cell2-67	0,10	0,00615	<0,005	0,000121	19,65	0,000040	<0,000014	<0,000266	<0,097	0,001381	0,0023	0,002177
Cell2-68	0,42	0,01139	0,057	0,004711	5,10	0,000156	<0,000017	0,000295	<0,009	0,007196	0,0051	0,004356
Cell2-69	0,03	0,00031	<0,002	0,000117	10,07	0,000045	<0,000017	<0,000185	<0,009	0,002501	0,0019	<0,00008
Cell2-70	0,05	0,00028	<0,002	0,000383	28,14	0,000129	<0,000017	<0,000185	<0,009	0,001215	0,0026	0,000127
Cell2-71	0,04	<0,000098	<0,002	0,000269	16,67	0,000029	<0,000017	<0,000185	<0,009	0,000885	0,0020	<0,00008
Cell2-72	0,03	0,00026	<0,002	0,000069	3,96	<0,000006	<0,000027	<0,000224	<0,027	0,001078	0,0018	<0,000056
Cell2-73	0,04	0,00041	<0,002	0,000089	6,14	0,000011	<0,000027	<0,000224	<0,027	0,000987	0,0021	<0,000056
Cell2-74	0,03	0,00051	<0,002	0,007708	9,25	0,000009	<0,000027	<0,000224	<0,027	0,000816	0,0019	0,000105
Cell2-75	0,03	<0,000079	<0,002	0,000129	5,40	0,000019	<0,000027	<0,000224	<0,027	0,000682	0,0018	0,000636
Lixiviation finale 24h	20,88	0,00566	0,348	0,001740	16,93	0,000202	0,000145	0,000602	1,593	0,002138	0,0119	0,075007

Cellule humide Cell2

Rinçage	Tl	U	V	Zn	Notes
	ICP-MS	ICP-MS	ICP-MS	ICP-MS	
	mg/l	mg/l	mg/l	mg/l	
<i>Limite de détection</i>	<i>variable</i>	<i>variable</i>	<i>variable</i>	<i>variable</i>	
Cell2-61	0,000012	0,0000	0,00027	0,0909	
Cell2-62	0,000014	0,0000	0,00036	0,0438	
Cell2-63	0,000014	0,0000	0,00034	0,0164	
Cell2-64	0,000017	0,0001	0,00027	0,0245	
Cell2-65	0,000023	0,0002	0,00028	0,1593	
Cell2-66	0,000010	0,0000	0,00029	0,0301	
Cell2-67	0,000013	0,0000	0,00031	0,0259	
Cell2-68	0,000012	0,0000	0,00040	0,9312	
Cell2-69	0,000006	0,0000	0,00024	0,0241	
Cell2-70	0,000010	0,0000	0,00027	0,0357	
Cell2-71	0,000007	0,0000	0,00021	0,0971	
Cell2-72	0,000007	0,0000	0,00022	0,0144	
Cell2-73	0,000008	0,0000	0,00020	0,0340	
Cell2-74	0,000004	0,0000	0,00022	0,0145	
Cell2-75	0,000006	0,0000	0,00017	0,0173	
Lixiviation finale 24h	0,000036	0,0031	0,00818	0,0598	Agitation 24h dans un cylindre en rotation très lente.

Cellule humide Cell3 Description: Cell3 - 12J Sélevé (E3 High-sulphur non-brecciated diorite)
Masse (kg) : 0,998
Début de l'essai : 2022-06-09
Type de test : Cellule humide en laboratoire (stériles)

Rinçage	#Ech H2Lab	Date	Temps	Volume eau	Température	pH	Conductivité	ORP	Eh	Acidité	Alcalinité
			jour	ml	Électrode °C	Électrode -	Électrode µS/cm	Électrode mV	Calcul mV	Titrage mg CaCO ₃ /L	Titrage mg CaCO ₃ /L
<i>Limite de détection</i>											
Cell3-01	2342535	2022-06-09	1	833	21,7	6,46	21	78	288	4	13
Cell3-02	2342539	2022-06-16	8	922	22,3	6,99	33	38	248	3	16
Cell3-03	2343527	2022-06-23	15	929	22,3	6,53	16	30	240	3	10
Cell3-04	2343531	2022-06-30	22	977	22,2	6,71	15	16	226	4	9
Cell3-05	2345379	2022-07-07	29	927	21,4	7,48	12	25	236	2	9
Cell3-06	2345581	2022-07-14	36	964	22,4	6,33	12	39	249	4	26
Cell3-07	2346951	2022-07-21	43	795	21,2	6,22	15	59	270		10
Cell3-08	2346946	2022-07-28	50	1021	21,2	5,54	17	106	317	1	10
Cell3-09	2348638	2022-08-04	57	963	22,4	6,38	13	89	299	5	10
Cell3-10	2348920	2022-08-11	64	935	21,5	6,09	10	134	344	9	16
Cell3-11	2350108	2022-08-18	71	937	21,6	6,06	7	175	385	8	5
Cell3-12	2350112	2022-08-25	78	948	22,1	6,32	12	177	386	3	10
Cell3-13	2351269	2022-09-01	85	922	20,9	7,01	24	-26	185	6	8
Cell3-14	2351264	2022-09-08	92	899	20,8	5,87	14	-3	208	4	15
Cell3-15		2022-09-15	99	924	21,3	6,17	11	-7	203	6	8
Cell3-16		2022-09-22	106	845	20,2	5,93	14	37	249	4	10
Cell3-17	2354042	2022-09-29	113	871	20,9	7,58	17	266	477	5	10
Cell3-18	2354046	2022-10-06	120	879	20,5	6,86	15	103	314	9	10
Cell3-19	2355219	2022-10-13	127	855	20,5	6,69	26	72	283	6	10
Cell3-20	2355215	2022-10-19	133	866	20,5	6,68	15	60	271	4	15
Cell3-21	2356624	2022-10-27	141	873	20,5	6,66	17	102	313	6	15
Cell3-22	2356628	2022-11-03	148	932	20,5	6,68	10	96	307	5	15

Cellule humide Cell3

Rinçage	Cl ⁻	F ⁻	SO ₄ ²⁻	S ₂ O ₃ ²⁻	ΣS	Ag	Al	As	B	Ba	Be	Bi
	C.Ion.	C.Ion.	C.Ion.	C.Ion.	Calcul	ICP-MS	ICP-MS	ICP-MS	ICP-MS	ICP-MS	ICP-MS	ICP-MS
	mg/l	mg/l	mg/l	mg/l	mg/l	mg/l	mg/l	mg/l	mg/l	mg/l	mg/l	mg/l
<i>Limite de détection</i>	0,5	0,02	0,6	0,02		<i>variable</i>	<i>variable</i>	<i>variable</i>	<i>variable</i>	<i>variable</i>	<i>variable</i>	<i>variable</i>
Cell3-01	3,8	0,04	6,8	< 0,02	2,3	<0,000003	0,1253	0,000992	0,0071	0,00230	<0,000033	<0,000013
Cell3-02	1,6	0,04	7,6	< 0,02	2,5	<0,000003	0,0858	0,000547	0,0089	0,00142	<0,000033	<0,000013
Cell3-03	< 0,5	0,03	2,0	< 0,02	0,7	<0,000003	0,0864	0,000473	0,0037	0,00262	<0,000033	<0,000013
Cell3-04	< 0,5	< 0,02	1,5	< 0,02	0,5	<0,000003	0,0833	0,000395	0,0027	0,00208	<0,000033	<0,000013
Cell3-05	< 0,5	< 0,02	1,0	< 0,02	0,3	0,000002	0,0796	0,000617	0,0030	0,00363	0,000004	0,000008
Cell3-06	< 0,5	< 0,02	1,1	< 0,02	0,4	0,000002	0,0870	0,000644	0,0030	0,00233	<0,000009	0,000005
Cell3-07	< 0,5	< 0,02	1,0	<0,36	0,4	0,000002	0,1403	0,000641	0,0028	0,00112	<0,000009	0,000012
Cell3-08	< 0,5	0,02	1,4	< 0,02	0,5	0,000001	0,0665	0,000478	0,0031	0,00179	0,000014	0,000013
Cell3-09	< 0,5	< 0,02	1,3	< 0,02	0,4							
Cell3-10	< 0,5	< 0,02	1,3	< 0,02	0,4	<0,000004	0,0055	0,000183	0,0013	0,00066	<0,000024	<0,000006
Cell3-11	< 0,5	< 0,02	0,9	0,07	0,3	<0,000004	0,0808	0,000556	0,0005	0,00224	<0,000024	<0,000006
Cell3-12	< 0,5	< 0,02	0,9	0,06	0,3	<0,000004	0,0739	0,000278	0,0009	0,00203	<0,000024	<0,000006
Cell3-13	2,1	< 0,02	1,0	< 0,02	0,3	<0,000004	0,0868	0,000339	0,0009	0,00165	<0,000024	0,000137
Cell3-14	< 0,5	< 0,02	0,9	< 0,02	0,3	<0,000004	0,0825	0,000231	0,0016	0,00214	<0,000024	<0,000006
Cell3-15						<0,000013	0,0178	0,000096	0,0008	<0,000085	<0,000025	<0,000011
Cell3-16						<0,000013	0,0397	0,000112	0,0007	<0,000085	<0,000025	<0,000011
Cell3-17	< 0,5	< 0,02	1,1	< 0,02	0,4	<0,000013	0,1280	0,000280	0,0013	0,00146	0,000021	0,000238
Cell3-18	< 0,5	< 0,02	1,2	< 0,36	0,5	<0,000013	0,1263	0,000239	0,0010	0,00329	0,000016	0,000267
Cell3-19	< 0,5	< 0,02	1,2	< 0,02	0,4	<0,000004	0,1077	0,000440	0,0030	0,00174	0,000057	0,000299
Cell3-20	< 0,5	< 0,02	0,9	< 0,07	0,3	<0,000004	0,1290	0,000447	0,0018	0,00195	0,000049	0,000286
Cell3-21	< 0,5	< 0,02	1,0	0,06	0,4	<0,000004	0,1298	0,000309	0,0042	0,00203	0,000049	0,000286
Cell3-22	< 0,5	< 0,02	1,0	0,06	0,4	<0,000004	0,1176	0,000336	0,0023	0,00191	0,000049	0,000272

Cellule humide Cell3

Rinçage	Ca	Cd	Co	Cr	Cu	Fe	Hg	K	Li	Mg	Mn	Mo
	ICP-MS	ICP-MS	ICP-MS	ICP-MS	ICP-MS	ICP-MS	ICP-MS	ICP-MS	ICP-MS	ICP-MS	ICP-MS	ICP-MS
	mg/l	mg/l	mg/l	mg/l	mg/l	mg/l	mg/l	mg/l	mg/l	mg/l	mg/l	mg/l
<i>Limite de détection</i>	<i>variable</i>	<i>variable</i>	<i>variable</i>	<i>variable</i>	<i>variable</i>	<i>variable</i>	<i>variable</i>	<i>variable</i>	<i>variable</i>	<i>variable</i>	<i>variable</i>	<i>variable</i>
Cell3-01	2,85	0,000060	0,000344	0,000448	0,0410	0,031	<0,000014	4,71	0,01699	0,239	0,0031	0,00130
Cell3-02	2,02	0,000019	0,000168	0,000196	0,0081	0,012	<0,000014	4,49	0,03176	0,320	0,0065	0,01367
Cell3-03	1,53	0,000046	<0,000134	0,000178	0,0039	0,010	<0,000014	2,65	0,01515	0,221	0,0049	0,00903
Cell3-04	1,23	0,000033	<0,000134	0,000195	0,0065	0,005	<0,000014	2,33	0,01597	0,146	0,0035	0,00861
Cell3-05	0,99	0,000019	0,000048	0,000254	0,0025	0,006	<0,000006	1,62	0,01346	0,105	0,0029	0,00587
Cell3-06	1,10	0,000042	0,000052	0,000504	0,0045	0,009	<0,000006	1,76	0,00948	0,118	0,0030	0,00531
Cell3-07	1,64	0,000009	0,000090	0,000121	0,0026	0,009	<0,000006	1,80	0,00648	0,140	0,0031	0,00356
Cell3-08	1,91	0,000033	0,000154	0,000156	0,0047	0,015	<0,000006	1,67	0,01930	0,173	0,0060	0,00388
Cell3-09												
Cell3-10	1,11	0,000023	0,000020	<0,000021	0,0006	<0,0001	<0,000021	1,15	0,00730	0,126	0,0020	0,00087
Cell3-11	1,49	0,000089	0,000033	0,000189	0,0031	0,015	<0,000021	1,40	0,00686	0,168	0,0023	0,00076
Cell3-12	1,35	0,000523	0,000044	0,000350	0,0158	0,013	<0,000021	1,67	0,00546	0,131	0,0021	0,00114
Cell3-13	1,61	0,000112	0,000036	0,000224	0,0028	0,017	<0,000021	1,58	0,00739	0,134	0,0022	0,00074
Cell3-14	1,66	0,000090	<0,000015	0,000204	0,0014	0,002	<0,000021	1,45	0,00386	0,116	0,0028	0,00062
Cell3-15	1,00	0,000012	0,000068	<0,000008	0,0003	<0,001	<0,000163	1,12	0,00335	0,079	0,0016	0,00037
Cell3-16	1,44	0,000007	<0,000032	<0,000008	0,0002	<0,001	<0,000163	1,24	0,00347	0,090	0,0021	0,00029
Cell3-17	2,07	0,000297	<0,000032	0,000055	0,0193	0,002	<0,000163	1,69	0,00292	0,114	0,0027	0,00105
Cell3-18	1,80	0,000371	<0,000032	0,000073	0,0228	0,006	<0,000163	1,60	0,00350	0,108	0,0027	0,00051
Cell3-19	2,31	0,000449	0,000063	0,000128	0,0177	0,004	0,000007	1,63	0,00537	0,130	0,0045	0,00073
Cell3-20	1,90	0,000385	0,000032	0,000048	0,0173	<0,02	0,000007	1,52	0,00407	0,125	0,0023	0,00051
Cell3-21	2,54	0,000356	0,000003	0,000036	0,0194	<0,02	0,000018	1,76	0,00380	0,112	0,0028	0,00044
Cell3-22	2,14	0,000542	0,000060	0,000078	0,0174	0,003	0,000004	1,52	0,00314	0,077	0,0026	0,00037

Cellule humide Cell3

Rinçage	Na	Ni	P	Pb	S	Sb	Sc	Se	Si	Sn	Sr	Ti
	ICP-MS	ICP-MS	ICP-MS	ICP-MS	ICP-MS	ICP-MS	ICP-MS	ICP-MS	ICP-MS	ICP-MS	ICP-MS	ICP-MS
	mg/l	mg/l	mg/l	mg/l	mg/l	mg/l	mg/l	mg/l	mg/l	mg/l	mg/l	mg/l
<i>Limite de détection</i>	<i>variable</i>	<i>variable</i>	<i>variable</i>	<i>variable</i>	<i>variable</i>	<i>variable</i>	<i>variable</i>	<i>variable</i>	<i>variable</i>	<i>variable</i>	<i>variable</i>	<i>variable</i>
Cell3-01	3,63	0,00514	<0,4	0,001669	1,25	0,000449	0,000055	0,000158	0,318	0,042773	0,0105	0,001386
Cell3-02	2,63	0,00396	<0,4	0,000825	1,46	0,000253	0,000035	0,000119	0,269	0,016841	0,0104	0,000389
Cell3-03	0,89	0,01214	<0,4	0,000336	0,77	0,000260	0,000019	0,000061	0,243	0,009154	0,0073	0,000943
Cell3-04	0,63	0,04222	<0,4	0,000400	0,61	0,000254	0,000011	0,000022	0,244	0,009053	0,0060	0,000322
Cell3-05	0,29	0,01037	0,060	0,000302	<1,5	0,000133	0,000035	0,000041	0,019	0,006099	0,0051	0,000204
Cell3-06	0,16	0,06243	0,091	0,000407	<1,5	0,000228	0,000021	0,000060	0,019	0,005015	0,0060	0,000172
Cell3-07	0,10	0,01699	0,136	0,000594	<1,5	0,000202	0,000043	0,000079	0,126	0,003040	0,0078	0,000339
Cell3-08	0,19	0,03184	0,119	0,001165	<1,5	0,000268	0,000033	0,000055	0,086	0,006772	0,0098	0,000265
Cell3-09												
Cell3-10	0,11	0,00939	<0,018	0,000049	<0,308	0,000068	0,000029	<0,000013	0,216	0,000944	0,0051	<0,000044
Cell3-11	0,23	0,02892	0,107	0,000659	<0,308	0,000078	<0,000017	0,000019	0,247	0,005560	0,0054	0,000517
Cell3-12	0,47	0,04524	0,134	0,000958	<0,308	0,000102	<0,000017	<0,000013	0,252	0,002043	0,0048	0,000228
Cell3-13	0,17	0,00573	0,145	0,000416	<0,308	0,000063	<0,000017	0,000022	0,283	0,031460	0,0055	0,000628
Cell3-14	0,12	0,00166	0,129	0,000123	<0,308	0,000044	<0,000017	0,000023	0,278	0,022427	0,0058	0,000159
Cell3-15	0,07	0,00494	0,093	<0,000024	<0,280	0,000027	<0,00002	<0,000017	0,146	0,000905	0,0045	<0,000075
Cell3-16	0,08	0,00124	0,104	<0,000024	<0,280	0,000027	<0,00002	<0,000017	0,161	0,001027	0,0056	<0,000075
Cell3-17	0,17	0,01237	0,226	0,001721	<0,280	0,000046	0,000022	0,000045	0,373	0,001469	0,0074	0,001289
Cell3-18	0,16	0,00361	0,209	0,001856	<0,280	0,000047	<0,00002	0,000032	0,324	0,000902	0,0070	0,001721
Cell3-19	0,12	0,00431	0,217	0,002115	0,43	0,000097	0,000083	0,000055	0,328	0,003994	0,0083	0,001557
Cell3-20	0,33	0,00212	0,202	0,002040	0,39	0,000061	0,000072	0,000054	0,346	0,001841	0,0071	0,001497
Cell3-21	0,22	0,00150	0,294	0,002293	0,72	0,000052	0,000063	0,000050	0,399	0,001959	0,0079	0,001562
Cell3-22	<0,070	0,04694	0,232	0,002325	0,61	0,000079	0,000063	0,000072	0,269	0,001302	0,0070	0,001704

Cellule humide Cell3

Rinçage	Tl	U	V	Zn	Notes
	ICP-MS	ICP-MS	ICP-MS	ICP-MS	
	mg/l	mg/l	mg/l	mg/l	
<i>Limite de détection</i>	<i>variable</i>	<i>variable</i>	<i>variable</i>	<i>variable</i>	
Cell3-01	0,000015	0,0005	0,00159	0,0444	
Cell3-02	0,000016	0,0018	0,00098	0,0176	
Cell3-03	0,000010	0,0011	0,00098	0,0411	
Cell3-04	0,000009	0,0009	0,00095	0,1014	
Cell3-05	0,000005	0,0008	0,00070	0,0458	
Cell3-06	0,000005	0,0008	0,00074	0,1504	
Cell3-07	0,000006	0,0011	0,00105	0,0295	
Cell3-08	0,000007	0,0015	0,00052	0,1281	
Cell3-09					L'échantillon s'est vidé lors de l'envoi au laboratoire.
Cell3-10	<0,000003	0,0001	0,00051	0,0132	Donnée Fe basse (CNRC).
Cell3-11	0,000003	0,0006	0,00052	0,0430	
Cell3-12	0,000004	0,0004	0,00401	0,0846	Donnée vanadium élevée (CNRC).
Cell3-13	0,000003	0,0007	0,00057	0,0330	Donnée ORP anormale de la sonde. Bi - malgré une différence importante de la concentration avec les concentrations précédentes et suivantes, les concentrations étant très basses, les valeurs sont considérés comme équivalentes (CNRC).
Cell3-14	0,000004	0,0007	0,00052	0,0128	
Cell3-15	<0,000001	0,0001	0,00036	<0,001786	Échantillon H2LAB envoyé avec agent de conservation acide - résultats erronés et échantillons expirés.
Cell3-16	0,000003	0,0002	0,00040	<0,001786	Échantillon H2LAB envoyé avec agent de conservation acide - résultats erronés et échantillons expirés.
Cell3-17	0,000004	0,0008	0,00063	<0,001786	Nouvelle sonde à pH. Bi, Ti - malgré une différence importante de la concentration avec les concentrations précédentes et suivantes, les concentrations étant très basses, les valeurs sont considérés comme équivalentes (CNRC).
Cell3-18	0,000004	0,0008	0,00065	<0,001786	Sonde multiparamètre défectueuse et celle de remplacement ne prend pas la température. Bi, Ti - malgré une différence importante de la concentration avec les concentrations précédentes et suivantes, les concentrations étant très basses, les valeurs sont considérés comme équivalentes (CNRC).
Cell3-19	0,000016	0,0014	0,00072	0,0260	Sonde multiparamètre défectueuse et celle de remplacement ne prend pas la température. Bi, Ti - malgré une différence importante de la concentration avec les concentrations précédentes et suivantes, les concentrations étant très basses, les valeurs sont considérés comme équivalentes (CNRC).
Cell3-20	0,000013	0,0009	0,00078	0,0286	Sonde multiparamètre défectueuse et celle de remplacement ne prend pas la température. Bi, Ti - malgré une différence importante de la concentration avec les concentrations précédentes et suivantes, les concentrations étant très basses, les valeurs sont considérés comme équivalentes (CNRC).
Cell3-21	0,000007	0,0009	0,00073	0,0261	Sonde multiparamètre défectueuse et celle de remplacement ne prend pas la température. Bi, Ti - malgré une différence importante de la concentration avec les concentrations précédentes et suivantes, les concentrations étant très basses, les valeurs sont considérés comme équivalentes (CNRC).
Cell3-22	0,000011	0,0004	0,00069	0,0470	Sonde multiparamètre défectueuse et celle de remplacement ne prend pas la température. Bi, Ti - malgré une différence importante de la concentration avec les concentrations précédentes et suivantes, les concentrations étant très basses, les valeurs sont considérés comme équivalentes (CNRC).

Cellule humide Cell3 Description: Cell3 - 12J Sélevé (E3 High-sulphur non-brecciated diorite)
Masse (kg) : 0,998
Début de l'essai : 2022-06-09
Type de test : Cellule humide en laboratoire (stériles)

Rinçage	#Ech H2Lab	Date	Temps	Volume eau	Température	pH	Conductivité	ORP	Eh	Acidité	Alcalinité
			jour	ml	Électrode °C	Électrode -	Électrode µS/cm	Électrode mV	Calcul mV	Titrage mg CaCO ₃ /L	Titrage mg CaCO ₃ /L
<i>Limite de détection</i>											
Cell3-23	2357793	2022-11-10	155	919	20,5	6,65	12	84	295	4	15
Cell3-24	2357789	2022-11-17	162	928	21,0	7,52	16	103	314	6	13
Cell3-25	2358562	2022-11-24	169	824	20,0	7,46	23	253	464	6	10
Cell3-26	2358558	2022-12-01	176	1069	20,6	7,66	21	124	335	5	10
Cell3-27	2359405	2022-12-08	183	807	20,7	8,00	20	194	405	4	15
Cell3-28	2359400	2022-12-15	190	1024	19,8	7,80	28	118	329	6	18
Cell3-29	2361142	2023-01-12	218	842	21,5	7,68	22	129	339	7	15
Cell3-30	2361137	2023-01-19	225	904	21,3	7,55	22	134	344	9	15
Cell3-31	2362053	2023-01-26	232	859	21,5	7,64	20	222	433	10	10
Cell3-32	2362048	2023-02-02	239	954	21,9	7,52	29	115	325	7	15
Cell3-33	2362882	2023-02-09	246	850	21,6	7,71	25	127	337	7	10
Cell3-34	2362877	2023-02-16	253	933	21,4	7,58	36	121	331	4	18
Cell3-35	2363943	2023-02-23	260	852	21,3	7,55	27	129	339	7	15
Cell3-36	2363938	2023-03-03	268	928	21,8	7,51	18	123	333	4	10
Cell3-37	2364741	2023-03-09	274	887	20,8	7,37	20	116	327	5	8
Cell3-38	2364745	2023-03-16	281	877	21,0	6,96	25	93	303	6	10
Cell3-39	2366333	2023-03-23	288	856	21,4	6,95	18	117	327	7	10
Cell3-40	2366306	2023-03-30	295	931	21,3	7,08	17	136	347	6	10
Cell3-41	2367549	2023-04-06	302	927	20,6	7,17	15	133	344	7	10
Cell3-42	2367553	2023-04-13	309	935	21,8	6,94	15	148	358	4	10
Cell3-43		2023-04-20	316								
Cell3-44	2370023	2023-04-27	323	931	20,4	6,92	13	228	440	4	10
Cell3-45	2369989	2023-05-04	330	934	21,2	6,83	15	102	313	5	10
Cell3-46	2372316	2023-05-11	337	854	21,5	7,06	10	271	482	4	8
Cell3-47	2372384	2023-05-18	344	920	19,2	7,56	19	265	477	6	10
Cell3-48	2374172	2023-05-25	351	872	19,5	7,18	15	187	399	7	15
Cell3-49	2374177	2023-06-01	358	932	22,4	7,35	22	204	414	4	14
Cell3-50	2375824	2023-06-08	365	785	20,5	7,25	22	173	384	5	5
Cell3-51	2375820	2023-06-15	372	1028	21,5	6,86	29	147	357	5	15
Cell3-52	2377565	2023-06-22	379	791	21,8	6,95	16	144	354	5	10
Cell3-53	2377561	2023-06-29	386	987	22,8	6,76	23	152	361	8	10
Cell3-54	2380119	2023-07-06	393	811	22,9	6,89	16	142	351	5	10
Cell3-55	2380125	2023-07-13	400	988	22,7	5,77	24	233	442	5	10
Cell3-56	2382169	2023-07-20	407	815	22,2	7,04	18	162	371	4	10
Cell3-57	2382174	2023-07-27	414	1032	23,0	7,38	26	181	390	4	10
Cell3-58	2384531	2023-08-03	421	931	21,5	7,68	17	253	463	4	10

Cellule humide Cell3

Rinçage	Cl ⁻	F ⁻	SO ₄ ²⁻	S ₂ O ₃ ²⁻	ΣS	Ag	Al	As	B	Ba	Be	Bi
	C.Ion.	C.Ion.	C.Ion.	C.Ion.	Calcul	ICP-MS	ICP-MS	ICP-MS	ICP-MS	ICP-MS	ICP-MS	ICP-MS
	mg/l	mg/l	mg/l	mg/l	mg/l	mg/l	mg/l	mg/l	mg/l	mg/l	mg/l	mg/l
<i>Limite de détection</i>	0,5	0,02	0,6	0,02		variable	variable	variable	variable	variable	variable	variable
Cell3-23	< 0,5	< 0,02	< 0,6	0,05	0,1	0,000024	0,0677	0,000263	0,0013	0,00174	<0,000017	0,000274
Cell3-24	< 0,5	< 0,02	< 0,6	< 0,02	0,1	0,000019	0,0923	0,000399	0,0010	0,00197	0,000030	0,000406
Cell3-25	< 0,5	< 0,02	0,6	0,05	0,2	0,000008	0,1488	0,000425	0,0009	0,00204	0,000016	0,000276
Cell3-26	< 0,5	< 0,02	0,7	0,05	0,3	<0,000005	0,0761	0,000199	0,0016	0,00218	<0,000075	<0,000013
Cell3-27	< 0,5	< 0,02	< 0,6	0,05	0,1	<0,000005	0,2179	0,000411	0,0006	0,00200	<0,000075	<0,000013
Cell3-28	< 0,5	< 0,02	0,7	< 0,02	0,2	<0,000005	0,1450	0,000357	0,0010	0,00302	<0,000075	<0,000013
Cell3-29	< 0,5	< 0,02	< 0,6	0,11	0,2	<0,000006	0,1878	0,000438	0,0018	0,00276	0,000045	0,000016
Cell3-30	< 0,5	< 0,02	0,7	0,11	0,3	<0,000006	0,1493	0,000386	0,0012	0,00357	<0,000019	0,000006
Cell3-31	< 0,5	< 0,02	0,6	0,11	0,3	<0,000004	0,1627	0,001019	0,0015	0,00444	0,000003	<0,000001
Cell3-32	< 0,5	< 0,02	< 0,6	0,11	0,2	<0,000004	0,1075	0,000306	0,0014	0,00231	<0,000002	<0,000001
Cell3-33	< 0,5	< 0,02	< 0,6	0,11	0,2	<0,000001	0,1350	0,000355	0,0014	0,00297	0,000003	<0,000007
Cell3-34	< 0,5	< 0,02	2,0	0,11	0,7	<0,000001	0,1210	0,000593	0,0014	0,00427	<0,000013	<0,000007
Cell3-35	< 0,5	< 0,02	< 0,6	0,11	0,2	<0,000004	0,1140	0,000333	0,0010	0,00380	<0,000018	0,000003
Cell3-36	< 0,5	< 0,02	< 0,6	0,11	0,2	0,000016	0,1150	0,000385	0,0007	0,00399	<0,000018	0,000008
Cell3-37	< 0,5	< 0,02	< 0,6	0,11	0,2	<0,000001	0,0980	0,000236	0,0010	<0,001049	0,000008	0,000010
Cell3-38	< 0,5	< 0,02	< 0,6	0,11	0,2	0,000002	0,1150	0,000282	0,0010	0,00426	<0,000008	0,000008
Cell3-39	< 0,5	< 0,02	< 0,6	< 0,02	0,1	<0,000002	0,0898	0,000283	0,0012	0,00318	<0,000004	0,000007
Cell3-40	< 0,5	< 0,02	< 0,6	< 0,02	0,1	<0,000002	0,0673	0,000168	0,0009	0,00286	0,000007	0,000008
Cell3-41	< 0,5	< 0,02	< 0,6	< 0,02	0,1	<0,000005	0,0987	0,000221	0,0014	0,00070	0,000002	0,000007
Cell3-42	< 0,5	< 0,02	< 0,6	< 0,02	0,1	<0,000005	0,0889	0,000232	0,0014	0,00172	<0,000006	0,000013
Cell3-43												
Cell3-44	< 0,5	< 0,02	0,7	< 0,02	0,2	<0,000003	0,0921	0,000190	0,0013	0,00813	<0,000013	0,000004
Cell3-45	< 0,5	< 0,02	0,6	< 0,02	0,2	0,000006	0,0932	0,000192	0,0012	0,00704	<0,000013	0,000005
Cell3-46	< 0,5	< 0,02	< 0,6	0,07	0,1	<0,000002	0,1076	0,000231	0,0016	0,00344	<0,000013	0,000003
Cell3-47	< 0,5	< 0,02	0,7	< 0,02	0,2	<0,000002	0,1155	0,000191	0,0015	0,00517	<0,000013	0,000006
Cell3-48	< 0,5	< 0,02	0,6	< 0,02	0,2	<0,000005	0,1034	0,000218	0,0017	0,00495	<0,000015	0,000008
Cell3-49	< 0,5	< 0,02	< 0,6	< 0,02	0,1	<0,000005	0,0958	0,000190	0,0012	0,00495	<0,000015	0,0000069
Cell3-50	< 0,5	< 0,02	< 0,6	< 0,02	0,1	<0,000013	0,1074	0,000239	0,0028	0,00406	0,000000	0,000021
Cell3-51	0,9	< 0,02	0,7	< 0,02	0,2	<0,000013	0,3500	0,000231	0,0030	0,01222	0,000002	0,000083
Cell3-52	< 0,5	< 0,02	< 0,6	< 0,02	0,1	0,000003	0,0895	0,000350	0,0015	0,00436	0,000003	0,000047
Cell3-53	< 0,5	< 0,02	0,8	< 0,02	0,3	<0,000002	0,0428	0,000156	0,0014	0,00601	0,000002	0,000074
Cell3-54	< 0,5	< 0,02	< 0,6	< 0,02	0,1	<0,000002	0,0729	0,000245	0,0011	0,00287	<0,000002	0,000061
Cell3-55	< 0,5	< 0,02	1,0	< 0,02	0,3	<0,000002	0,0826	0,000208	0,0010	0,00476	<0,000002	0,000166
Cell3-56	< 0,5	< 0,02	< 0,6	< 0,02	0,1	0,000004	0,0935	0,000241	0,0019	0,00426	<0,000002	0,000070
Cell3-57	< 0,5	< 0,02	1,0	< 0,02	0,3	0,000012	0,1045	0,000319	0,0035	0,00656	0,000002	0,000026
Cell3-58	< 0,5	< 0,02	< 0,6	< 0,02	0,1	0,000011	0,0679	0,000210	0,0020	0,00290	0,000006	0,000056

Cellule humide Cell3

Rinçage	Ca	Cd	Co	Cr	Cu	Fe	Hg	K	Li	Mg	Mn	Mo
	ICP-MS	ICP-MS	ICP-MS	ICP-MS	ICP-MS	ICP-MS	ICP-MS	ICP-MS	ICP-MS	ICP-MS	ICP-MS	ICP-MS
	mg/l	mg/l	mg/l	mg/l	mg/l	mg/l	mg/l	mg/l	mg/l	mg/l	mg/l	mg/l
<i>Limite de détection</i>	<i>variable</i>	<i>variable</i>	<i>variable</i>	<i>variable</i>	<i>variable</i>	<i>variable</i>	<i>variable</i>	<i>variable</i>	<i>variable</i>	<i>variable</i>	<i>variable</i>	<i>variable</i>
Cell3-23	1,80	0,000391	0,000042	<0,000031	0,0162	0,007	<0,000318	1,03	0,00268	0,081	0,0026	0,00036
Cell3-24	1,51	0,001123	0,000068	0,000135	0,0256	0,012	<0,00022	1,03	0,00231	0,122	0,0024	0,00021
Cell3-25	2,40	0,000310	0,000028	<0,000065	0,0178	<0,001	<0,00022	1,28	0,00225	0,110	0,0025	0,00027
Cell3-26	2,09	0,000075	<0,000018	<0,000072	0,0029	0,004	<0,000285	0,86	0,00398	0,101	0,0032	0,00049
Cell3-27	2,16	0,000025	<0,000018	<0,000072	0,0028	0,004	<0,000285	1,08	0,00352	0,089	0,0018	0,00016
Cell3-28	3,04	0,000039	<0,000018	<0,000072	0,0028	0,006	0,000439	1,20	0,00426	0,121	0,0044	0,00034
Cell3-29	2,43	0,000026	0,000037	0,000050	0,0013	0,003	<0,000029	1,57	0,00351	0,083	0,0023	0,00016
Cell3-30	2,49	0,000058	0,000031	0,000018	0,0017	0,003	<0,000029	1,50	0,00374	0,087	0,0030	0,00027
Cell3-31	3,97	0,000032	0,000017	<0,000009	0,0009	0,001	<0,000068	2,10	0,00486	0,149	0,0021	0,00037
Cell3-32	2,22	0,000026	<0,000012	<0,000009	0,0009	0,014	<0,000068	1,33	0,00455	0,072	0,0034	0,00023
Cell3-33	2,03	0,000077	<0,000015	<0,000046	0,0020	0,005	<0,000044	1,23	0,00376	0,055	0,0020	0,00012
Cell3-34	3,49	0,000076	0,000065	<0,000046	0,0016	0,004	<0,000044	1,43	0,00495	0,106	0,0030	0,00032
Cell3-35	2,21	0,000197	0,000039	0,000072	0,0018	0,006	<0,000323	1,25	0,00299	0,059	0,0020	0,00016
Cell3-36	1,97	0,000058	0,000072	0,000047	0,0015	0,008	<0,000323	1,18	0,00262	0,055	0,0020	0,00017
Cell3-37	<0,995	0,000096	0,000058	0,000050	0,0019	0,001	<0,000089	1,11	0,00228	<0,038	0,0020	0,00012
Cell3-38	<0,995	0,000034	0,000037	0,000052	0,0018	0,003	<0,000089	1,28	0,00215	<0,038	0,0020	0,00013
Cell3-39	<0,168	0,000018	0,000025	0,000031	0,0032	0,001	<0,000138	1,01	0,00190	<0,032	0,0016	0,00016
Cell3-40	2,06	0,000026	0,000012	0,000053	0,0008	0,003	<0,000138	0,79	0,00166	0,315	0,0015	0,00014
Cell3-41	1,19	0,000159	0,000017	<0,000009	0,0007	0,003	<0,00021	1,02	0,00190	0,043	0,0016	0,00009
Cell3-42	1,29	0,000097	0,000363	0,000157	0,0020	0,011	<0,00021	0,92	0,00626	0,063	0,0021	0,00017
Cell3-43												
Cell3-44	1,25	0,000026	0,000179	0,000056	0,0016	0,006	0,000246	1,10	0,00390	0,046	0,0029	0,00015
Cell3-45	1,46	0,000048	0,000083	0,000105	0,0014	0,007	0,000070	1,46	0,00295	0,059	0,0019	0,00012
Cell3-46	1,82	0,000055	0,000073	0,000362	0,0014	0,003	0,000008	1,19	0,00249	0,046	0,0018	0,00002
Cell3-47	2,50	0,000039	0,000066	0,000334	0,0016	0,003	<0,000006	1,36	0,00409	0,063	0,0027	0,00003
Cell3-48	2,01	0,000276	<0,000045	<0,000254	0,0033	0,003	<0,000046	1,32	0,00375	0,053	0,0021	0,00017
Cell3-49	1,49	0,000054	0,000062	<0,000254	0,0024	0,002	<0,000046	1,02	0,00263	0,040	0,0017	0,00011
Cell3-50	1,69	0,000016	0,000024	0,000094	0,0019	0,005	<0,00029	0,77	0,00290	0,045	0,0028	0,00010
Cell3-51	4,15	0,000033	0,002125	0,000189	0,0084	1,735	<0,00029	0,86	0,00543	0,282	0,0269	0,00024
Cell3-52	1,53	0,000062	0,000131	0,003537	0,0152	0,061	<0,000939	1,14	0,00321	0,045	0,0025	0,00008
Cell3-53	3,66	0,000014	0,000066	0,000075	0,0031	0,017	<0,000939	1,58	0,00394	0,080	0,0053	0,00016
Cell3-54	1,79	0,000006	0,000066	<0,000026	0,0023	<0,004	<0,000051	0,90	0,00392	0,044	0,0016	0,00013
Cell3-55	3,26	0,000011	0,000095	0,000034	0,0031	<0,004	<0,000051	1,10	0,00511	0,079	0,0039	0,00019
Cell3-56	2,49	0,000013	0,000120	0,000038	0,0028	0,006	<0,000028	0,76	0,00416	0,160	0,0018	0,00008
Cell3-57	3,30	0,000106	0,000277	0,000248	0,0048	0,023	<0,000028	1,00	0,00463	0,197	0,0043	0,00016
Cell3-58	1,43	0,000024	0,000072	0,000067	0,0020	<0,001	0,000017	1,42	0,00324	0,053	0,0022	0,00007

Cellule humide Cell3

Rinçage	Na	Ni	P	Pb	S	Sb	Sc	Se	Si	Sn	Sr	Ti
	ICP-MS	ICP-MS	ICP-MS	ICP-MS	ICP-MS	ICP-MS	ICP-MS	ICP-MS	ICP-MS	ICP-MS	ICP-MS	ICP-MS
	mg/l	mg/l	mg/l	mg/l	mg/l	mg/l	mg/l	mg/l	mg/l	mg/l	mg/l	mg/l
<i>Limite de détection</i>	<i>variable</i>	<i>variable</i>	<i>variable</i>	<i>variable</i>	<i>variable</i>	<i>variable</i>	<i>variable</i>	<i>variable</i>	<i>variable</i>	<i>variable</i>	<i>variable</i>	<i>variable</i>
Cell3-23	0,05	0,00145	0,162	0,001643	<0,080	0,000047	0,000033	0,000028	0,247	0,001361	0,0049	0,001232
Cell3-24	0,11	0,00215	0,113	0,003229	0,02	0,000064	<0,000019	0,000041	0,189	0,001560	0,0041	0,002041
Cell3-25	0,01	0,00129	0,220	0,001808	<0,001	0,000042	<0,000019	0,000043	0,333	0,001062	0,0052	0,001385
Cell3-26	<0,006	0,00538	0,188	0,000346	<0,059	0,000074	0,000070	<0,00006	0,444	0,078545	0,0068	<0,000064
Cell3-27	<0,006	0,00082	0,242	0,000520	<0,059	0,000029	0,000078	<0,00006	0,262	0,005799	0,0061	<0,000064
Cell3-28	<0,006	0,00311	0,254	0,001371	<0,059	0,000051	0,000077	<0,00006	0,262	0,014438	0,0094	<0,000064
Cell3-29	0,10	0,00096	0,298	0,000491	<0,067	0,000058	0,000057	0,000049	0,403	0,003618	0,0059	0,000217
Cell3-30	0,08	0,00250	0,275	0,001489	<0,067	0,000070	0,000055	0,000050	0,358	0,002709	0,0064	0,000192
Cell3-31	0,07	0,00063	0,286	0,001643	0,97	0,000045	0,000041	0,000080	0,459	0,001988	0,0090	0,000133
Cell3-32	0,04	0,00201	0,206	0,003544	0,17	0,000060	0,000027	0,000041	0,296	0,013020	0,0054	0,000251
Cell3-33	0,17	0,00367	0,266	0,002322	<0,028	0,000053	0,000055	0,000045	0,360	0,011900	0,0050	0,000139
Cell3-34	0,19	0,02846	0,307	0,000942	0,49	0,000067	0,000067	0,000060	0,421	0,008290	0,0080	0,000112
Cell3-35	0,03	0,00286	0,206	0,001176	<0,058	0,000058	0,000047	0,000022	0,326	0,006200	0,0040	0,000200
Cell3-36	0,02	0,00126	0,218	0,000699	<0,058	0,000090	0,000084	0,000103	0,310	0,005400	0,0040	0,000226
Cell3-37	<0,004	0,00119	0,208	0,000483	<0,037	0,000041	0,000043	0,000025	0,240	0,017900	0,0030	0,000146
Cell3-38	0,02	0,00206	0,244	0,000667	<0,037	0,000039	0,000047	0,000038	0,287	0,007700	0,0040	0,000138
Cell3-39	0,48	0,00104	0,224	0,000507	<0,148	0,000050	0,000032	0,000018	0,203	0,005766	0,0035	0,000109
Cell3-40	0,13	0,00054	0,167	0,000097	<0,148	0,000039	0,000016	0,000021	0,162	0,005358	0,0028	0,000104
Cell3-41	0,05	0,00065	0,165	0,000135	<0,011	0,000039	0,000031	0,000027	0,241	0,005081	0,0033	0,000144
Cell3-42	0,09	0,00157	0,137	0,000716	<0,011	0,000059	0,000032	0,000027	0,197	0,006100	0,0034	0,000548
Cell3-43												
Cell3-44	0,08	0,00204	0,151	0,000292	<0,071	0,000054	0,000028	0,000029	0,228	0,007712	0,0034	0,000116
Cell3-45	0,06	0,00105	0,168	0,000149	<0,071	0,000053	0,000034	0,000043	0,197	0,008004	0,0032	0,000556
Cell3-46	0,03	0,00158	0,082	0,000374	<0,116	0,000035	0,000014	0,000027	0,223	0,006132	0,0034	0,000105
Cell3-47	0,05	0,00166	0,116	0,000453	<0,116	0,000048	0,000026	0,000027	0,259	0,010142	0,0047	0,000134
Cell3-48	0,12	0,00188	0,123	0,000728	<0,059	0,000050	<0,000009	0,000009	0,229	0,009922	0,0039	0,000113
Cell3-49	0,06	0,00302	0,083	0,000254	<0,059	0,000036	<0,000009	0,000009	0,166	0,007387	0,0034	0,000102
Cell3-50	0,05	0,00352	0,074	0,000483	1,40	0,000036	0,000077	0,000041	0,216	0,006710	0,0034	0,000124
Cell3-51	0,07	0,00422	0,686	0,000971	4,09	0,000052	0,000241	0,000080	0,291	0,020280	0,0071	0,067330
Cell3-52	0,04	0,00203	0,016	0,010545	2,93	0,000104	0,000127	0,000428	0,171	0,011252	0,0033	0,000926
Cell3-53	0,04	0,00219	0,015	0,000707	7,36	0,000083	0,000181	0,000684	0,234	0,018222	0,0053	0,000219
Cell3-54	0,07	0,00086	0,002	0,000470	<0,384	0,000088	0,000142	<0,000939	0,218	0,009311	0,0028	0,000208
Cell3-55	0,08	0,00192	0,001	0,000875	1,10	0,000070	0,000225	0,000217	0,248	0,018042	0,0053	0,000224
Cell3-56	0,11	0,00190	<0,000	0,000532	<2,741	0,000127	0,000223	<0,00059	0,200	0,011371	0,0029	0,000359
Cell3-57	0,13	0,00882	0,004	0,001285	<2,741	0,000163	0,000425	<0,00059	0,277	0,024971	0,0058	0,000751
Cell3-58	0,05	0,00077	<0,000	0,000474	<4,298	0,000061	0,000196	<0,001037	0,267	0,011925	0,0029	0,000275

Cellule humide Cell3

Rinçage	Tl	U	V	Zn	Notes
	ICP-MS	ICP-MS	ICP-MS	ICP-MS	
	mg/l	mg/l	mg/l	mg/l	
<i>Limite de détection</i>	<i>variable</i>	<i>variable</i>	<i>variable</i>	<i>variable</i>	
Cell3-23	0,000005	0,0005	0,00051	0,0213	
Cell3-24	<0,000003	0,0005	0,00047	0,0346	
Cell3-25	0,000005	0,0006	0,00064	0,0201	
Cell3-26	0,000003	0,0007	0,00026	0,0642	
Cell3-27	0,000003	0,0007	0,00064	0,0398	
Cell3-28	0,000005	0,0013	0,00041	0,0700	
Cell3-29	0,000007	0,0006	0,00068	0,0218	
Cell3-30	0,000007	0,0007	0,00059	0,0327	
Cell3-31	0,000019	0,0001	0,00061	0,0248	
Cell3-32	0,000008	0,0007	0,00040	0,0236	LOD Beryllium corrigée le 2023-07-17.
Cell3-33	0,000006	0,0005	0,00059	0,0276	
Cell3-34	0,000017	0,0005	0,00053	0,0296	LOD Beryllium corrigée le 2023-07-17.
Cell3-35	0,000007	0,0005	0,00048	0,0315	
Cell3-36	0,000009	0,0005	0,00054	0,0369	
Cell3-37	0,000006	0,0003	0,00040	0,0348	
Cell3-38	0,000006	0,0004	0,00046	0,0358	LOD Beryllium corrigée le 2023-07-17.
Cell3-39	0,000009	0,0005	0,00047	0,0265	LOD Beryllium corrigée le 2023-07-17.
Cell3-40	0,000006	0,0004	0,00036	0,0146	
Cell3-41	0,000008	0,0003	0,00043	0,0283	
Cell3-42	0,000008	0,0003	0,00045	0,0549	LOD Beryllium corrigée le 2023-07-17.
Cell3-43					Semaine sans lixiviation maintenue à air humide.
Cell3-44	0,000005	0,0002	0,00058	0,0362	
Cell3-45	0,000004	0,0002	0,00055	0,0436	
Cell3-46	0,000006	0,0003	0,00047	0,0341	
Cell3-47	0,000007	0,0005	0,00048	0,0418	
Cell3-48	0,000008	0,0003	0,00051	0,0457	
Cell3-49	0,000008	0,0003	0,00042	0,0405	
Cell3-50	0,000008	0,0003	0,00052	0,0442	
Cell3-51	0,000015	0,0011	0,00103	0,0576	
Cell3-52	0,000011	0,0003	0,00059	0,0365	
Cell3-53	0,000008	0,0008	0,00036	0,0442	
Cell3-54	0,000005	0,0002	0,00043	0,0140	
Cell3-55	0,000005	0,0010	0,00033	0,0175	
Cell3-56	0,000008	0,0002	0,00043	0,0131	
Cell3-57	0,000012	0,0007	0,00058	0,0262	
Cell3-58	0,000014	0,0003	0,00036	0,0089	

Cellule humide Cell3 Description: Cell3 - 12J Sélevé (E3 High-sulphur non-brecciated diorite)
 Masse (kg) : 0,998
 Début de l'essai : 2022-06-09
 Type de test : Cellule humide en laboratoire (stériles)

Rinçage	#Ech H2Lab	Date	Temps	Volume eau	Température	pH	Conductivité	ORP	Eh	Acidité	Alcalinité
					Électrode	Électrode	Électrode	Électrode	Calcul	Titrage	Titrage
			jour	ml	°C	-	µS/cm	mV	mV	mg CaCO ₃ /L	mg CaCO ₃ /L
<i>Limite de détection</i>					0,1	0,01	1	0,1		2	2
Cell3-59	2384536	2023-08-10	428	856	22,2	7,13	23	290	500	8	8
Cell3-60	2386161	2023-08-17	435	921	15,9	6,59	26	245	460	7	10
Cell3-61	2386166	2023-08-24	442	889	20,4	7,18	21	288	499	9	8
Cell3-62	2388254	2023-08-31	449	929	20,8	7,23	14	294	505		
Cell3-63	2388509	2023-09-01	450	860	23,4	7,48	15	263	471	4	5
Lixiviation finale 24h	2390430	2023-09-20			21,8	9,07	70	145	355	3	26

Cellule humide Cell3

Rinçage	Cl ⁻	F ⁻	SO ₄ ²⁻	S ₂ O ₃ ²⁻	ΣS	Ag	Al	As	B	Ba	Be	Bi
	C.Ion.	C.Ion.	C.Ion.	C.Ion.	Calcul	ICP-MS	ICP-MS	ICP-MS	ICP-MS	ICP-MS	ICP-MS	ICP-MS
	mg/l	mg/l	mg/l	mg/l	mg/l	mg/l	mg/l	mg/l	mg/l	mg/l	mg/l	mg/l
<i>Limite de détection</i>	0,5	0,02	0,6	0,02		<i>variable</i>	<i>variable</i>	<i>variable</i>	<i>variable</i>	<i>variable</i>	<i>variable</i>	<i>variable</i>
Cell3-59	< 0,5	< 0,02	< 0,6	< 0,02	0,1	0,000004	0,1055	0,000309	0,0028	0,00256	0,000005	<0,000005
Cell3-60	< 0,5	< 0,02	0,9	< 0,02	0,3	<0,000005	0,0387	0,000131	0,0015	0,00336	0,000002	0,000072
Cell3-61	< 0,5	< 0,02	< 0,6	< 0,02	0,1	<0,000005	0,0896	0,000234	0,0032	0,00245	0,000010	0,000013
Cell3-62	< 0,5	< 0,02	< 0,6	< 0,02	0,1	<0,000005	0,0581	0,000179	0,0013	0,00269	0,000004	0,000007
Cell3-63	< 0,5	< 0,02	< 0,6	< 0,02	0,1	<0,000005	0,0953	0,000173	0,0044	0,00243	0,000004	0,000005
Lixiviation finale 24h	0,9	0,09	2,8	<0,02	0,9	0,000017	0,5003	0,001607	0,0130	0,01246	0,000004	0,000048

Cellule humide Cell3

Rinçage	Ca	Cd	Co	Cr	Cu	Fe	Hg	K	Li	Mg	Mn	Mo
	ICP-MS	ICP-MS	ICP-MS	ICP-MS	ICP-MS	ICP-MS	ICP-MS	ICP-MS	ICP-MS	ICP-MS	ICP-MS	ICP-MS
	mg/l	mg/l	mg/l	mg/l	mg/l	mg/l	mg/l	mg/l	mg/l	mg/l	mg/l	mg/l
<i>Limite de détection</i>	<i>variable</i>	<i>variable</i>	<i>variable</i>	<i>variable</i>	<i>variable</i>	<i>variable</i>	<i>variable</i>	<i>variable</i>	<i>variable</i>	<i>variable</i>	<i>variable</i>	<i>variable</i>
Cell3-59	1,25	0,000018	0,000090	0,000490	0,0041	<0,001	0,000043	1,30	0,00275	0,038	0,0018	0,00008
Cell3-60	1,78	0,000018	0,000081	0,000331	0,0030	<0,001	<0,000013	1,29	0,00345	0,036	0,0034	0,00011
Cell3-61	1,42	0,000021	0,000523	0,000103	0,0065	0,005	<0,000013	1,17	0,00423	0,048	0,0025	0,00015
Cell3-62	0,48	0,000051	0,000113	0,000372	0,0032	0,048	<0,000013	1,01	0,00255	<0,009	0,0032	0,00017
Cell3-63	1,35	0,000121	0,000130	<0,000034	0,0025	<0,001	0,000022	1,20	0,00286	0,052	0,0028	0,00012
Lixiviation finale 24h	2,97	0,000277	0,001766	0,000882	0,7798	0,131	<0,00001	5,74	0,00724	0,317	0,0068	0,00117

Cellule humide Cell3

Rinçage	Na	Ni	P	Pb	S	Sb	Sc	Se	Si	Sn	Sr	Ti
	ICP-MS	ICP-MS	ICP-MS	ICP-MS	ICP-MS	ICP-MS	ICP-MS	ICP-MS	ICP-MS	ICP-MS	ICP-MS	ICP-MS
	mg/l	mg/l	mg/l	mg/l	mg/l	mg/l	mg/l	mg/l	mg/l	mg/l	mg/l	mg/l
<i>Limite de détection</i>	<i>variable</i>	<i>variable</i>	<i>variable</i>	<i>variable</i>	<i>variable</i>	<i>variable</i>	<i>variable</i>	<i>variable</i>	<i>variable</i>	<i>variable</i>	<i>variable</i>	<i>variable</i>
Cell3-59	0,07	0,00125	0,003	0,000721	31,26	0,000052	0,000175	<0,001037	0,251	0,013587	0,0026	0,000375
Cell3-60	0,09	0,00211	<0,001	0,000594	<2,003	0,000104	0,000106	<0,000322	0,229	0,069231	0,0039	0,000251
Cell3-61	0,21	0,00352	<0,001	0,000776	<2,003	0,000324	0,000088	<0,000322	0,145	0,003286	0,0028	0,000653
Cell3-62	0,08	0,00299	<0,001	0,000205	<2,003	0,000210	0,000063	<0,000322	0,114	0,009491	0,0023	0,001059
Cell3-63	0,19	0,00146	<0,001	0,000254	<2,003	0,000225	0,000098	<0,000322	0,246	0,016078	0,0026	0,000407
Lixiviation finale 24h	1,62	0,01336	0,025	0,007407	2,50	0,000648	0,000046	<0,000266	2,024	0,003072	0,0062	0,007662

Cellule humide Cell3

Rinçage	Tl	U	V	Zn	Notes
	ICP-MS	ICP-MS	ICP-MS	ICP-MS	
	mg/l	mg/l	mg/l	mg/l	
<i>Limite de détection</i>	<i>variable</i>	<i>variable</i>	<i>variable</i>	<i>variable</i>	
Cell3-59	0,000009	0,0003	0,00036	0,0162	
Cell3-60	0,000007	0,0003	0,00023	0,0368	Mesure de pH prise le lendemain par un autre technicien après une nuit au réfrigérateur.
Cell3-61	0,000020	0,0002	0,00036	0,0241	
Cell3-62	0,000010	0,0001	0,00028	0,0139	
Cell3-63	0,000009	0,0002	0,00035	0,0111	
Lixiviation finale 24h	0,000013	0,0005	0,00496	0,1326	Agitation 24h dans un cylindre en rotation très lente.

Cellule humide Cell4 Description: Cell4 - Volcaniques Sélevé (E7 High-sulphur undifferentiated volcanics)
Masse (kg) : 0,9974
Début de l'essai : 2022-06-09
Type de test : Cellule humide en laboratoire (stériles)

Rinçage	#Ech H2Lab	Date	Temps	Volume eau	Température	pH	Conductivité	ORP	Eh	Acidité	Alcalinité
			jour	ml	Électrode °C	Électrode -	Électrode µS/cm	Électrode mV	Calcul mV	Titrage mg CaCO ₃ /L	Titrage mg CaCO ₃ /L
<i>Limite de détection</i>											
Cell4-01	2342536	2022-06-09	1	877	21,6	7,02	73	59	269	5	21
Cell4-02	2342540	2022-06-16	8	963	22,1	7,12	80	54	264	4	16
Cell4-03	2343528	2022-06-23	15	938	22,2	6,81	50	45	254	3	13
Cell4-04	2343532	2022-06-30	22	921	22,1	6,86	33	28	238	5	14
Cell4-05	2345400	2022-07-07	29	942	21,2	7,41	27	31	241	3	12
Cell4-06	2345767	2022-07-14	36	902	22,5	6,60	29	43	252	5	21
Cell4-07	2346952	2022-07-21	43	963	21,1	6,47	38	76	287	9	16
Cell4-08	2346947	2022-07-28	50	1015	21,2	6,86	48	93	303	7	21
Cell4-09	2348639	2022-08-04	57	1006	22,2	7,11	36	93	303	6	16
Cell4-10	2348921	2022-08-11	64	952	21,7	6,68	27	130	340	9	10
Cell4-11	2350109	2022-08-18	71	913	21,3	6,66	29	167	377	8	16
Cell4-12	2350113	2022-08-25	78	886	22,0	6,90	29	171	381	3	15
Cell4-13	2351270	2022-09-01	85	914	21,0	7,19	42	-12	198	8	16
Cell4-14	2351265	2022-09-08	92	894	20,9	5,87	30	17	228	4	15
Cell4-15		2022-09-15	99	982	21,1	6,27	32	9	220	7	10
Cell4-16		2022-09-22	106	833	20,0	6,83	31	24	235	6	20
Cell4-17	2354043	2022-09-29	113	992	20,3	7,74	45	266	478	5	20
Cell4-18	2354047	2022-10-06	120	901	20,5	7,42	23	88	299	6	15
Cell4-19	2355220	2022-10-13	127	855	20,5	6,69	26	72	283	5	20
Cell4-20	2355216	2022-10-19	133	945	20,5	7,04	34	72	283	5	26
Cell4-21	2356625	2022-10-27	141	922	20,5	6,90	37	101	312	7	26
Cell4-22	2356629	2022-11-03	148	1028	20,5	6,80	39	104	315	7	20
Cell4-23	2357794	2022-11-10	155	916	20,5	6,45	23	92	303	6	15

Cellule humide Cell4

Rinçage	Cl ⁻	F ⁻	SO ₄ ²⁻	S ₂ O ₃ ²⁻	ΣS	Ag	Al	As	B	Ba	Be	Bi
	C.Ion.	C.Ion.	C.Ion.	C.Ion.	Calcul	ICP-MS	ICP-MS	ICP-MS	ICP-MS	ICP-MS	ICP-MS	ICP-MS
	mg/l	mg/l	mg/l	mg/l	mg/l	mg/l	mg/l	mg/l	mg/l	mg/l	mg/l	mg/l
Limite de détection	0,5	0,02	0,6	0,02		variable	variable	variable	variable	variable	variable	variable
Cell4-01	3,4	0,04	25,5	< 0,02	8,5	<0,000003	0,0947	0,003306	0,0096	0,00430	<0,000033	<0,000013
Cell4-02	2,3	0,09	16,6	0,21	5,6	<0,000003	0,0969	0,000730	0,0106	0,00394	<0,000033	<0,000013
Cell4-03	0,6	0,04	14,0	0,11	4,7	<0,000003	0,0905	0,000722	0,0056	0,00381	<0,000033	<0,000013
Cell4-04	< 0,5	0,03	8,4	0,05	2,8	<0,000003	0,0918	0,000539	0,0032	0,00295	<0,000033	<0,000013
Cell4-05	< 0,5	< 0,02	5,8	0,11	2,0	0,000003	0,0924	0,000666	0,0040	0,00451	<0,000009	0,000008
Cell4-06	< 0,5	< 0,02	6,3	< 0,02	2,1	0,000002	0,0931	0,001304	0,0038	0,00355	<0,000009	0,000008
Cell4-07	< 0,5	0,02	8,3	0,10	2,8	0,000003	0,0930	0,000733	0,0044	0,00401	0,000014	0,000021
Cell4-08	< 0,5	0,03	8,3	< 0,02	2,8	0,000002	0,1065	0,000999	0,0046	0,00414	0,000007	0,000014
Cell4-09	< 0,5	< 0,02	6,3	0,05	2,1							
Cell4-10	< 0,5	< 0,02	3,9	< 0,02	1,3	<0,000004	0,0080	0,000386	0,0670	0,00050	<0,000024	<0,000006
Cell4-11	< 0,5	0,02	5,2	0,05	1,8	<0,000004	0,1181	0,000721	0,0008	0,00330	<0,000024	<0,000006
Cell4-12	< 0,5	< 0,02	5,6	0,06	1,9	<0,000004	0,1045	0,000546	0,0007	0,00370	<0,000024	<0,000006
Cell4-13	< 0,5	< 0,02	5,3	0,06	1,8	<0,000004	0,1035	0,000622	0,0007	0,00317	<0,000024	<0,000006
Cell4-14	< 0,5	< 0,02	4,8	0,12	1,7	<0,000004	0,1037	0,000387	0,0014	0,00298	<0,000024	<0,000006
Cell4-15						<0,000013	0,0316	0,000134	0,0015	0,00112	<0,000025	<0,000011
Cell4-16						<0,000013	0,0688	0,000205	0,0009	0,00147	<0,000025	<0,000011
Cell4-17	< 0,5	0,03	5,8	< 0,02	1,9	<0,000013	0,1633	0,000782	0,0021	0,00462	0,000016	0,000255
Cell4-18	< 0,5	< 0,02	4,8	< 0,09	1,6	<0,000013	0,1711	0,000761	0,0013	0,00444	0,000026	0,000258
Cell4-19	< 0,5	< 0,02	3,8	0,12	1,3	<0,000004	0,1398	0,000815	0,0022	0,00353	0,000057	0,000283
Cell4-20	< 0,5	0,02	4,8	0,07	1,6	<0,000004	0,1624	0,001131	0,0019	0,00458	0,000061	0,000274
Cell4-21	< 0,5	0,02	5,1	0,06	1,7	<0,000004	0,2188	0,001473	0,0038	0,00464	0,000054	0,000311
Cell4-22	< 0,5	< 0,02	4,8	0,06	1,6	<0,000004	0,1651	0,001105	0,0025	0,00544	0,000057	0,000290
Cell4-23	< 0,5	< 0,02	3,3	0,10	1,2	0,000023	0,0846	0,000663	0,0010	0,00375	0,000033	0,000274

Cellule humide Cell4

Rinçage	Ca	Cd	Co	Cr	Cu	Fe	Hg	K	Li	Mg	Mn	Mo
	ICP-MS	ICP-MS	ICP-MS	ICP-MS	ICP-MS	ICP-MS	ICP-MS	ICP-MS	ICP-MS	ICP-MS	ICP-MS	ICP-MS
	mg/l	mg/l	mg/l	mg/l	mg/l	mg/l	mg/l	mg/l	mg/l	mg/l	mg/l	mg/l
Limite de détection	variable	variable	variable	variable	variable	variable	variable	variable	variable	variable	variable	variable
Cell4-01	8,10	0,000095	0,000526	0,000326	0,0486	0,025	<0,000014	5,22	0,02044	0,775	0,0066	0,00274
Cell4-02	8,77	0,000045	0,000326	0,000133	0,0054	0,006	<0,000014	5,48	0,05516	1,271	0,0380	0,01279
Cell4-03	5,83	0,000029	<0,000134	0,000204	0,0026	0,007	<0,000014	3,98	0,03312	0,757	0,0199	0,01225
Cell4-04	3,93	0,000024	<0,000134	0,000081	0,0016	0,003	<0,000014	3,13	0,02176	0,461	0,0111	0,00928
Cell4-05	4,80	0,000051	0,000082	0,000159	0,0033	0,012	<0,000006	2,38	0,01690	0,359	0,0091	0,01183
Cell4-06	3,54	0,000051	0,000347	0,057187	0,0124	1,573	<0,000006	2,56	0,01669	0,382	0,0347	0,01451
Cell4-07	4,86	0,000028	0,000104	0,000151	0,0030	0,007	<0,000006	3,38	0,01878	0,436	0,0082	0,01384
Cell4-08	5,99	0,000038	0,000125	0,000128	0,0030	0,007	<0,000006	3,63	0,02822	0,543	0,0136	0,01135
Cell4-09												
Cell4-10	0,61	0,000356	0,001651	0,000033	0,0435	1,353	<0,000021	8,47	0,00266	0,086	0,0137	0,00019
Cell4-11	4,00	0,000080	<0,000015	0,000115	0,0033	0,016	<0,000021	2,53	0,01170	0,329	0,0048	0,00162
Cell4-12	4,08	0,000637	0,000039	0,000227	0,0128	0,020	<0,000021	2,67	0,01408	0,303	0,0048	0,00151
Cell4-13	4,26	0,000158	0,000020	0,000149	0,0027	0,013	<0,000021	2,75	0,01149	0,298	0,0042	0,00144
Cell4-14	3,92	0,000092	<0,000015	0,000241	0,0015	0,003	<0,000021	2,42	0,00673	0,253	0,0038	0,00145
Cell4-15	4,21	0,000072	0,000134	0,000034	0,0015	<0,001	<0,000163	2,30	0,01096	0,283	0,0058	0,00158
Cell4-16	4,03	0,000015	<0,000032	<0,000008	0,0002	<0,001	<0,000163	2,25	0,00930	0,232	0,0045	0,00092
Cell4-17	6,23	0,000337	0,000035	0,000101	0,0220	0,003	<0,000163	3,02	0,00974	0,361	0,0078	0,00161
Cell4-18	4,83	0,000382	<0,000032	0,000107	0,0221	0,009	<0,000163	2,43	0,00949	0,258	0,0056	0,00109
Cell4-19	3,35	0,000333	0,000019	0,000094	0,0160	0,002	0,000013	2,13	0,00873	0,174	0,0037	0,00075
Cell4-20	4,87	0,000446	0,000054	0,000057	0,0183	<0,02	0,000015	2,53	0,00772	0,245	0,0061	0,00100
Cell4-21	6,42	0,000399	0,000043	0,000051	0,0213	<0,02	0,000015	2,83	0,01043	0,251	0,0059	0,00098
Cell4-22	6,31	0,000379	0,000035	0,000041	0,0200	<0,02	0,000018	2,48	0,01071	0,245	0,0068	0,00085
Cell4-23	3,85	0,000375	0,000045	<0,000031	0,0168	0,007	<0,000318	1,59	0,00820	0,158	0,0038	0,00042

Cellule humide Cell4

Rinçage	Na	Ni	P	Pb	S	Sb	Sc	Se	Si	Sn	Sr	Ti
	ICP-MS	ICP-MS	ICP-MS	ICP-MS	ICP-MS	ICP-MS	ICP-MS	ICP-MS	ICP-MS	ICP-MS	ICP-MS	ICP-MS
	mg/l	mg/l	mg/l	mg/l	mg/l	mg/l	mg/l	mg/l	mg/l	mg/l	mg/l	mg/l
<i>Limite de détection</i>	<i>variable</i>	<i>variable</i>	<i>variable</i>	<i>variable</i>	<i>variable</i>	<i>variable</i>	<i>variable</i>	<i>variable</i>	<i>variable</i>	<i>variable</i>	<i>variable</i>	<i>variable</i>
Cell4-01	4,15	0,05930	<0,4	0,001118	6,73	0,000409	0,000064	0,000405	0,329	0,024012	0,0301	0,000393
Cell4-02	3,22	0,01076	<0,4	0,000346	9,36	0,000237	0,000068	0,000350	0,405	0,013908	0,0444	0,000543
Cell4-03	1,48	0,01762	<0,4	0,000355	6,74	0,000224	0,000047	0,000135	0,329	0,010100	0,0264	0,000312
Cell4-04	0,78	0,01070	<0,4	0,000121	4,18	0,000180	0,000033	0,000113	0,320	0,003943	0,0177	0,000160
Cell4-05	0,27	0,04517	0,128	0,000324	<1,5	0,000185	0,000049	0,000118	0,023	0,003389	0,0156	0,000362
Cell4-06	0,23	0,01264	0,142	0,000448	<1,5	0,000206	0,000037	0,000190	0,091	0,007970	0,0157	0,000421
Cell4-07	0,49	0,02846	0,174	0,000320	2,53	0,000220	0,000056	0,000179	0,210	0,006327	0,0203	0,000297
Cell4-08	0,17	0,02542	0,260	0,001439	2,37	0,000269	0,000075	0,000183	0,330	0,015449	0,0296	0,000281
Cell4-09												
Cell4-10	4,48	0,01392	5,262	0,000557	<0,308	0,000051	0,000021	<0,000013	0,490	0,000566	0,0017	0,001799
Cell4-11	0,27	0,00319	0,197	0,000652	1,26	<0,000018	<0,000017	0,000078	0,383	0,004193	0,0139	0,000179
Cell4-12	0,50	0,02407	0,233	0,000906	1,52	0,000084	<0,000017	0,000084	0,389	0,005350	0,0132	0,000302
Cell4-13	0,24	0,01559	0,225	0,000626	1,36	0,000044	<0,000017	0,000098	0,396	0,017910	0,0131	0,000259
Cell4-14	0,15	0,00250	0,208	0,000199	0,90	0,000038	<0,000017	0,000093	0,390	0,002697	0,0132	0,000135
Cell4-15	0,19	0,00247	0,246	<0,000024	2,34	0,000058	0,000040	0,000063	0,380	0,004130	0,0164	<0,000075
Cell4-16	0,10	0,00913	0,234	<0,000024	2,10	0,000028	0,000040	0,000066	0,330	0,001421	0,0153	<0,000075
Cell4-17	0,23	0,00510	0,470	0,002440	2,45	0,000069	0,000072	0,000105	0,628	0,019843	0,0223	0,001541
Cell4-18	0,18	0,00363	0,367	0,001960	2,26	0,000050	0,000048	0,000076	0,501	0,003727	0,0172	0,001717
Cell4-19	0,06	0,00304	0,262	0,002009	1,60	0,000052	0,000086	0,000104	0,360	0,002741	0,0117	0,001425
Cell4-20	0,05	0,00287	0,372	0,004144	2,08	0,000084	0,000110	0,000109	0,467	0,008688	0,0177	0,001355
Cell4-21	0,11	0,00218	0,520	0,004087	2,67	0,000076	0,000125	0,000114	0,670	0,005599	0,0182	0,001652
Cell4-22	<0,070	0,00222	0,407	0,003316	2,32	0,000073	0,000103	0,000094	0,500	0,010265	0,0177	0,001541
Cell4-23	0,05	0,00329	0,226	0,002201	1,14	0,000047	0,000046	0,000062	0,340	0,002063	0,0095	0,001239

Cellule humide Cell4

Rinçage	Tl	U	V	Zn	Notes
	ICP-MS	ICP-MS	ICP-MS	ICP-MS	
	mg/l	mg/l	mg/l	mg/l	
<i>Limite de détection</i>	<i>variable</i>	<i>variable</i>	<i>variable</i>	<i>variable</i>	
Cell4-01	0,000064	0,0001	0,00075	0,0371	
Cell4-02	0,000049	0,0003	0,00053	0,0119	
Cell4-03	0,000040	0,0002	0,00067	0,0246	
Cell4-04	0,000023	0,0001	0,00074	0,0310	
Cell4-05	0,000018	0,0001	0,00055	0,1022	
Cell4-06	0,000018	0,0001	0,00104	0,0389	Données élevées Cr et Fe (CNRC).
Cell4-07	0,000020	0,0002	0,00068	0,0364	
Cell4-08	0,000029	0,0003	0,00056	0,0518	
Cell4-09					L'échantillon s'est vidé lors de l'envoi au laboratoire.
Cell4-10	<0,000003	0,0001	0,00012	0,0208	Données aberrantes et réanalyses impossibles.
Cell4-11	0,000016	0,0001	0,00061	0,0260	
Cell4-12	0,000017	0,0001	0,00052	0,0802	Cd - malgré une différence importante de la concentration avec les concentrations précédentes et suivantes, les concentrations étant très basses, les valeurs sont considérés comme équivalentes (CNRC).
Cell4-13	0,000015	0,0001	0,00059	0,0406	Donnée ORP anormale de la sonde.
Cell4-14	0,000014	0,0002	0,00060	0,0136	
Cell4-15	0,000014	0,0000	0,00049	<0,001786	Échantillon H2LAB envoyé avec agent de conservation acide - résultats erronés et échantillons expirés.
Cell4-16	0,000014	0,0000	0,00060	<0,001786	Échantillon H2LAB envoyé avec agent de conservation acide - résultats erronés et échantillons expirés.
Cell4-17	0,000023	0,0006	0,00079	<0,001786	Nouvelle sonde à pH. Bi, Ti - malgré une différence importante de la concentration avec les concentrations précédentes et suivantes, les concentrations étant très basses, les valeurs sont considérés comme équivalentes (CNRC).
Cell4-18	0,000017	0,0005	0,00078	0,0096	Sonde multiparamètre défectueuse et celle de remplacement ne prend pas la température. Bi, Ti - malgré une différence importante de la concentration avec les concentrations précédentes et suivantes, les concentrations étant très basses, les valeurs sont considérés comme équivalentes (CNRC).
Cell4-19	0,000021	0,0003	0,00082	0,0256	Sonde multiparamètre défectueuse et celle de remplacement ne prend pas la température. Bi, Ti - malgré une différence importante de la concentration avec les concentrations précédentes et suivantes, les concentrations étant très basses, les valeurs sont considérés comme équivalentes (CNRC).
Cell4-20	0,000033	0,0005	0,00091	0,0286	Sonde multiparamètre défectueuse et celle de remplacement ne prend pas la température. Bi, Ti - malgré une différence importante de la concentration avec les concentrations précédentes et suivantes, les concentrations étant très basses, les valeurs sont considérés comme équivalentes (CNRC).
Cell4-21	0,000032	0,0005	0,00114	0,0306	Sonde multiparamètre défectueuse et celle de remplacement ne prend pas la température. Bi, Ti - malgré une différence importante de la concentration avec les concentrations précédentes et suivantes, les concentrations étant très basses, les valeurs sont considérés comme équivalentes (CNRC).
Cell4-22	0,000031	0,0005	0,00084	0,0326	Sonde multiparamètre défectueuse et celle de remplacement ne prend pas la température. Bi, Ti - malgré une différence importante de la concentration avec les concentrations précédentes et suivantes, les concentrations étant très basses, les valeurs sont considérés comme équivalentes (CNRC).
Cell4-23	0,000013	0,0002	0,00058	0,0237	Sonde multiparamètre défectueuse et celle de remplacement ne prend pas la température.

Cellule humide Cell4 Description: Cell4 - Volcaniques Sélevé (E7 High-sulphur undifferentiated volcanics)
 Masse (kg) : 0,9974
 Début de l'essai : 2022-06-09
 Type de test : Cellule humide en laboratoire (stériles)

Rinçage	#Ech H2Lab	Date	Temps	Volume eau	Température	pH	Conductivité	ORP	Eh	Acidité	Alcalinité
			jour	ml	Électrode °C	Électrode -	Électrode µS/cm	Électrode mV	Calcul mV	Titrage mg CaCO ₃ /L	Titrage mg CaCO ₃ /L
<i>Limite de détection</i>											
Cell4-24	2357790	2022-11-17	162	892	21,1	7,91	30	127	337	5	20
Cell4-25	2359974	2022-11-24	169	918	20,2	7,74	39	247	458	6	20
Cell4-26	2359975	2022-12-01	176	1034	20,7	8,05	33	128	339	6	20
Cell4-27	2359406	2022-12-08	183	882	20,8	8,12	31	204	415	5	20
Cell4-28	2359401	2022-12-15	190	852	20,0	8,37	118	36	248	5	18
Cell4-29	2361143	2023-01-12	218	991	21,2	7,65	43	134	345	7	18
Cell4-30	2361138	2023-01-19	225	898	21,4	7,91	34	137	347	9	15
Cell4-31	2362054	2023-01-26	232	868	21,4	8,34	34	23	233	9	15
Cell4-32	2362049	2023-02-02	239	882	21,8	7,96	38	126	336	6	20
Cell4-33	2362883	2023-02-09	246	976	21,5	7,90	46	133	343	9	20
Cell4-34	2362878	2023-02-16	253	944	21,3	7,97	32	128	338	6	15
Cell4-35	2363944	2023-02-23	260	919	21,2	7,81	49	140	351	6	15
Cell4-36	2363939	2023-03-03	268	909	21,6	7,76	46	132	342	5	20
Cell4-37	2364742	2023-03-09	274	883	20,4	7,67	40	129	340	5	13
Cell4-38	2364746	2023-03-16	281	954	21,1	7,00	47	105	315	5	15
Cell4-39	2366334	2023-03-23	288	896	21,5	7,25	30	128	338	7	18
Cell4-40	2366307	2023-03-30	295	958	21,2	7,15	50	149	359	6	18
Cell4-41	2367550	2023-04-06	302	924	20,3	7,20	27	144	356	7	10
Cell4-42	2367554	2023-04-13	309	922	21,8	7,35	17	159	369	5	15
Cell4-43		2023-04-20	316								
Cell4-44	2370024	2023-04-27	323	916	20,7	6,96	27	244	455	5	10
Cell4-45	2369990	2023-05-04	330	917	21,2	7,09	32	209	419	5	15
Cell4-46	2372377	2023-05-11	337	873	21,6	7,18	33	291	501	5	10
Cell4-47	2372385	2023-05-18	344	860	19,4	7,65	33	285	497	7	10
Cell4-48	2374173	2023-05-25	351	861	19,2	7,48	29	189	401	6	15
Cell4-49	2374178	2023-06-01	358	931	22,4	7,75	35	196	405	4	15
Cell4-50	2375825	2023-06-08	365	905	20,6	7,47	28	166	377	4	13
Cell4-51	2375821	2023-06-15	372	1010	21,5	7,15	26	143	353	4	8
Cell4-52	2377566	2023-06-22	379	869	22,1	7,04	28	148	358	4	10
Cell4-53	2377562	2023-06-29	386	923	22,8	7,19	23	152	361	5	13
Cell4-54	2380120	2023-07-06	393	870	23,3	7,06	28	147	356	4	10
Cell4-55	2380126	2023-07-13	400	918	22,8	7,48	28	180	389	6	13
Cell4-56	2382170	2023-07-20	407	864	22,4	7,34	33	168	377	5	13
Cell4-57	2382175	2023-07-27	414	861	23,2	7,56	32	183	391	4	15
Cell4-58	2384532	2023-08-03	421	915	21,3	7,66	39	198	408	5	10
Cell4-59	2384537	2023-08-10	428	862	22,2	7,29	44	301	511	9	10

Cellule humide Cell4

Rinçage	Cl ⁻	F ⁻	SO ₄ ²⁻	S ₂ O ₃ ²⁻	ΣS	Ag	Al	As	B	Ba	Be	Bi
	C.Ion.	C.Ion.	C.Ion.	C.Ion.	Calcul	ICP-MS	ICP-MS	ICP-MS	ICP-MS	ICP-MS	ICP-MS	ICP-MS
	mg/l	mg/l	mg/l	mg/l	mg/l	mg/l	mg/l	mg/l	mg/l	mg/l	mg/l	mg/l
<i>Limite de détection</i>	0,5	0,02	0,6	0,02		<i>variable</i>	<i>variable</i>	<i>variable</i>	<i>variable</i>	<i>variable</i>	<i>variable</i>	<i>variable</i>
Cell4-24	< 0,5	< 0,02	3,3	0,09	1,1	0,000021	0,1517	0,001020	0,0010	0,00372	0,000030	0,000451
Cell4-25	< 0,5	< 0,02	5,1	< 0,02	1,7	0,000012	0,1592	0,001230	0,0011	0,00458	0,000016	0,000292
Cell4-26	< 0,5	< 0,02	4,0	< 0,02	1,3	<0,000005	0,1304	0,000829	0,0015	0,00432	<0,000075	<0,000013
Cell4-27	< 0,5	< 0,02	3,9	< 0,02	1,3	<0,000005	0,2219	0,003669	0,0008	0,00430	<0,000075	<0,000013
Cell4-28	< 0,5	< 0,02	3,8	0,05	1,3	<0,000005	0,1922	0,000900	0,0008	0,00450	<0,000075	<0,000013
Cell4-29	< 0,5	< 0,02	4,2	0,11	1,5	<0,000006	0,1427	0,001005	0,0020	0,00636	<0,000019	0,000004
Cell4-30	< 0,5	< 0,02	3,7	0,12	1,3	<0,000006	0,1442	0,000890	0,0017	0,00509	<0,000019	0,000007
Cell4-31	< 0,5	< 0,02	3,4	0,16	1,2	<0,000004	0,1278	0,000353	0,0013	0,00214	0,000003	<0,000001
Cell4-32	< 0,5	< 0,02	4,2	0,11	1,5	<0,000004	0,1236	0,000708	0,0010	0,00407	0,000008	<0,000001
Cell4-33	< 0,5	< 0,02	3,8	0,11	1,3	<0,000001	0,1290	0,000989	0,0016	0,00637	0,000006	<0,000007
Cell4-34	< 0,5	< 0,02	1,9	0,11	0,7	<0,000001	0,1300	0,000729	0,0014	0,00465	<0,0013	<0,000007
Cell4-35	< 0,5	< 0,02	4,4	0,11	1,5	<0,000004	0,1410	0,000999	0,0014	0,00619	<0,000018	0,000004
Cell4-36	< 0,5	< 0,02	4,1	0,11	1,4	<0,000004	0,1380	0,000985	0,0010	0,00778	<0,000018	0,000008
Cell4-37	< 0,5	< 0,02	3,9	0,11	1,4	0,000002	0,1270	0,000904	0,0023	0,00340	0,000015	0,000009
Cell4-38	< 0,5	< 0,02	4,4	0,11	1,5	<0,000001	0,0390	0,000566	0,0031	0,00966	0,000008	0,000002
Cell4-39	< 0,5	< 0,02	4,7	< 0,02	1,6	<0,000002	0,1238	0,001062	0,0017	0,00821	0,000003	0,000011
Cell4-40	< 0,5	< 0,02	4,4	< 0,02	1,5	0,000012	0,0824	0,000715	0,0009	0,00919	0,000042	0,000271
Cell4-41	< 0,5	< 0,02	3,0	< 0,02	1,0	<0,000005	0,1272	0,000796	0,0015	0,00375	0,000002	0,000009
Cell4-42	< 0,5	< 0,02	2,7	0,06	0,9	<0,000005	0,1267	0,000803	0,0013	0,00382	<0,0006	0,000011
Cell4-43												
Cell4-44	< 0,5	< 0,02	4,6	0,11	1,6	0,000208	0,0654	0,000377	0,0021	0,00736	<0,000013	0,000006
Cell4-45	< 0,5	< 0,02	4,6	0,07	1,6	<0,000003	0,1128	0,000639	0,0013	0,00591	<0,000013	0,000006
Cell4-46	< 0,5	< 0,02	4,1	0,07	1,4	0,000003	0,1247	0,000669	0,0024	0,00572	<0,000013	0,000008
Cell4-47	< 0,5	< 0,02	4,1	0,06	1,4	<0,000002	0,1307	0,000623	0,0011	0,00637	<0,000013	<0,000002
Cell4-48	< 0,5	< 0,02	4,0	0,06	1,4	<0,000005	0,1125	0,000651	0,0017	0,00672	<0,000015	0,000002
Cell4-49	< 0,5	< 0,02	4,3	0,02	1,4	<0,000005	0,1088	0,000588	0,0014	0,00725	<0,000015	0,000078
Cell4-50	< 0,5	< 0,02	3,3	0,07	1,1	<0,000013	0,1157	0,000662	0,0027	0,00565	0,000000	0,000024
Cell4-51	< 0,5	< 0,02	3,5	< 0,02	1,2	<0,000013	0,0497	0,000371	0,0026	0,00543	0,000001	0,000091
Cell4-52	< 0,5	< 0,02	2,8	< 0,02	0,9	0,000004	0,0966	0,000690	0,0017	0,00569	0,000000	0,000033
Cell4-53	< 0,5	< 0,02	2,8	< 0,02	0,9	0,000003	0,0679	0,000436	0,0017	0,00586	0,000002	0,000069
Cell4-54	< 0,5	< 0,02	3,1	0,05	1,1	0,000002	0,0947	0,000579	0,0013	0,00533	<0,000002	0,000063
Cell4-55	< 0,5	< 0,02	3,6	0,04	1,2	<0,000002	0,1274	0,000580	0,0017	0,00464	<0,000002	<0,000003
Cell4-56	< 0,5	< 0,02	3,8	0,07	1,3	0,000003	0,1016	0,000589	0,0023	0,00593	0,000002	0,000018
Cell4-57	< 0,5	< 0,02	4,1	0,06	1,4	0,000004	0,1078	0,000568	0,0034	0,00563	<0,000002	0,000043
Cell4-58	< 0,5	< 0,02	5,2	0,04	1,7	0,000004	0,0718	0,000492	0,0024	0,00621	0,000004	0,000037
Cell4-59	< 0,5	< 0,02	3,5	0,05	1,2	0,000002	0,1119	0,000575	0,0028	0,00493	0,000003	0,000139

Cellule humide Cell4

Rinçage	Ca	Cd	Co	Cr	Cu	Fe	Hg	K	Li	Mg	Mn	Mo
	ICP-MS	ICP-MS	ICP-MS	ICP-MS	ICP-MS	ICP-MS	ICP-MS	ICP-MS	ICP-MS	ICP-MS	ICP-MS	ICP-MS
	mg/l	mg/l	mg/l	mg/l	mg/l	mg/l	mg/l	mg/l	mg/l	mg/l	mg/l	mg/l
<i>Limite de détection</i>	<i>variable</i>	<i>variable</i>	<i>variable</i>	<i>variable</i>	<i>variable</i>	<i>variable</i>	<i>variable</i>	<i>variable</i>	<i>variable</i>	<i>variable</i>	<i>variable</i>	<i>variable</i>
Cell4-24	3,70	0,000598	0,000048	<0,000065	0,0284	0,003	<0,00022	1,61	0,00498	0,163	0,0031	0,00043
Cell4-25	5,23	0,000365	0,000046	<0,000065	0,0191	<0,001	<0,00022	1,90	0,00528	0,213	0,0044	0,00068
Cell4-26	3,84	0,000160	<0,000018	<0,000072	0,0024	0,006	<0,000285	1,33	0,00522	0,165	0,0056	0,00066
Cell4-27	3,80	0,000022	<0,000018	<0,000072	0,0042	0,008	<0,000285	1,41	0,00624	0,154	0,0029	0,00039
Cell4-28	3,80	0,000553	<0,000018	0,001794	0,0017	0,019	<0,000285	1,48	0,00585	0,163	0,0031	0,00055
Cell4-29	5,66	0,000199	0,000070	0,000054	0,0032	0,001	<0,000029	2,28	0,01478	0,221	0,0049	0,00051
Cell4-30	3,85	0,000118	0,000028	<0,000014	0,0018	0,010	<0,000029	1,83	0,00555	0,149	0,0038	0,00038
Cell4-31	2,23	0,000008	<0,000012	<0,000009	0,0010	<0,000	<0,000068	1,41	0,00411	0,082	0,0020	0,00022
Cell4-32	3,83	0,000047	0,000028	0,000010	0,0011	0,005	<0,000068	1,87	0,00404	0,149	0,0028	0,00033
Cell4-33	5,11	0,000094	0,000041	<0,000046	0,0023	0,004	<0,000044	1,78	0,00478	0,160	0,0040	0,00048
Cell4-34	3,65	0,000072	0,000063	<0,000046	0,0012	0,002	<0,000044	1,40	0,00437	0,104	0,0020	0,00031
Cell4-35	5,31	0,000044	0,000068	0,000033	0,0014	0,002	<0,000323	1,90	0,00537	0,159	0,0020	0,00039
Cell4-36	5,71	0,000060	0,000054	0,000039	0,0020	0,001	<0,000323	1,89	0,00672	0,164	0,0030	0,00038
Cell4-37	1,64	0,000150	0,000069	0,000066	0,0052	0,004	<0,000089	1,74	0,00695	0,063	0,0020	0,00053
Cell4-38	1,84	0,000127	0,000071	0,000039	0,0018	0,002	<0,000089	2,13	0,00549	0,105	0,0040	0,00053
Cell4-39	0,75	0,000069	0,000053	0,000040	0,0025	0,003	<0,000138	1,74	0,00632	0,112	0,0041	0,00044
Cell4-40	3,02	0,000293	0,000077	0,000033	0,0176	0,000	<0,000138	1,54	0,00669	0,430	0,0048	0,00050
Cell4-41	2,61	0,000155	0,000021	0,000102	0,0011	0,007	<0,00021	1,42	0,00691	0,096	0,0019	0,00019
Cell4-42	2,37	0,000042	0,000260	0,000069	0,0019	0,002	<0,00021	1,42	0,00896	0,087	0,0020	0,00028
Cell4-43												
Cell4-44	3,16	0,000282	0,000613	0,000203	0,0055	0,015	0,000105	6,67	0,00805	0,111	0,0048	0,00033
Cell4-45	1,16	0,000028	0,000067	0,000059	0,0010	0,001	0,000175	1,05	0,00452	0,042	0,0025	0,00030
Cell4-46	3,85	0,000053	0,000083	0,000385	0,0018	0,008	0,000009	1,99	0,00389	0,104	0,0026	0,00003
Cell4-47	3,92	0,000014	0,000062	0,000347	0,0014	0,004	<0,000006	1,99	0,00342	0,114	0,0023	0,00003
Cell4-48	3,56	0,000050	<0,000045	<0,000254	0,0019	0,007	<0,000046	1,86	0,00337	0,105	0,0021	0,00030
Cell4-49	3,61	0,000035	<0,000045	<0,000254	0,0019	0,006	<0,000046	1,76	0,00332	0,109	0,0024	0,00023
Cell4-50	3,07	0,000071	0,000086	0,000108	0,0029	0,011	<0,00029	1,03	0,00463	0,092	0,0027	0,00021
Cell4-51	2,47	0,000042	0,000094	0,000112	0,0046	0,009	<0,00029	0,76	0,00347	0,086	0,0029	0,00021
Cell4-52	3,51	0,000015	0,000061	0,000091	0,0020	0,008	<0,000939	1,84	0,00329	0,094	0,0019	0,00020
Cell4-53	2,98	0,000015	0,000099	0,000188	0,0024	0,016	<0,000939	1,79	0,00262	0,085	0,0019	0,00022
Cell4-54	3,44	0,000011	0,000085	<0,000026	0,0025	<0,004	<0,000051	1,36	0,00335	0,097	0,0020	0,00020
Cell4-55	3,42	0,000010	0,000088	0,000055	0,0027	<0,004	<0,000051	1,38	0,00312	0,104	0,0019	0,00022
Cell4-56	3,77	0,000017	0,000101	0,000057	0,0024	0,004	<0,000028	1,22	0,00334	0,233	0,0023	0,00021
Cell4-57	6,39	0,000009	0,000102	0,000068	0,0023	0,002	<0,000028	1,28	0,00298	0,413	0,0021	0,00026
Cell4-58	3,54	0,000015	0,000115	0,000097	0,0024	<0,001	0,000037	2,59	0,00349	0,138	0,0033	0,00029
Cell4-59	2,63	0,000029	0,000077	<0,000041	0,0027	0,007	0,000043	2,19	0,00294	0,093	0,0024	0,00015

Cellule humide Cell4

Rinçage	Na	Ni	P	Pb	S	Sb	Sc	Se	Si	Sn	Sr	Ti
	ICP-MS	ICP-MS	ICP-MS	ICP-MS	ICP-MS	ICP-MS	ICP-MS	ICP-MS	ICP-MS	ICP-MS	ICP-MS	ICP-MS
	mg/l	mg/l	mg/l	mg/l	mg/l	mg/l	mg/l	mg/l	mg/l	mg/l	mg/l	mg/l
<i>Limite de détection</i>	<i>variable</i>	<i>variable</i>	<i>variable</i>	<i>variable</i>	<i>variable</i>	<i>variable</i>	<i>variable</i>	<i>variable</i>	<i>variable</i>	<i>variable</i>	<i>variable</i>	<i>variable</i>
Cell4-24	0,02	0,00191	0,226	0,002749	1,31	0,000038	<0,000019	0,000084	0,320	0,001946	0,0093	0,002075
Cell4-25	0,03	0,05014	0,339	0,003072	1,59	0,000063	<0,000019	0,000090	0,468	0,003079	0,0107	0,001293
Cell4-26	<0,006	0,00439	0,257	0,000644	1,07	0,000052	0,000091	<0,00006	0,275	0,011681	0,0121	<0,000064
Cell4-27	<0,006	0,00062	0,364	0,000882	1,07	0,000035	0,000099	<0,00006	0,340	0,003431	0,0119	<0,000064
Cell4-28	<0,006	0,00370	0,270	0,000899	1,16	0,000037	0,000085	<0,00006	0,287	0,004314	0,0114	<0,000064
Cell4-29	0,39	0,00224	0,398	0,001747	1,30	0,000086	0,000086	0,000087	0,526	0,006729	0,0130	0,000123
Cell4-30	0,11	0,00086	0,284	0,000577	1,23	0,000051	0,000061	0,000084	0,372	0,003017	0,0098	0,000185
Cell4-31	0,06	0,00145	0,205	0,001098	<0,029	0,000054	0,000021	0,000038	0,338	0,002622	0,0051	0,000169
Cell4-32	0,43	0,00083	0,234	0,001219	1,47	0,000056	0,000032	0,000068	0,345	0,001980	0,0084	0,000196
Cell4-33	0,08	0,03157	0,392	0,002480	1,24	0,000094	0,000100	0,000100	0,525	0,024290	0,0110	0,000133
Cell4-34	0,20	0,02525	0,319	0,001020	0,42	0,000062	0,000066	0,000051	0,430	0,007300	0,0080	0,000087
Cell4-35	0,05	0,03460	0,343	0,001713	1,16	0,000066	0,000088	0,000066	0,508	0,009340	0,0100	0,000408
Cell4-36	1,28	0,00389	0,378	0,002730	1,24	0,000074	0,000092	0,000071	0,530	0,014870	0,0120	0,000180
Cell4-37	0,07	0,02204	0,329	0,000802	1,22	0,000067	0,000076	0,000040	0,385	0,015970	0,0070	0,000206
Cell4-38	0,10	0,00277	0,410	0,000380	1,32	0,000077	0,000085	0,000047	0,492	0,020180	0,0110	0,000136
Cell4-39	0,12	0,00224	0,451	0,002465	1,31	0,000107	0,000103	0,000072	0,402	0,016577	0,0118	0,000138
Cell4-40	0,18	0,00452	0,368	0,002883	1,11	0,000095	0,000082	0,000067	0,321	0,018369	0,0118	0,001134
Cell4-41	0,07	0,00091	0,225	0,000417	0,84	0,000045	0,000051	0,000047	0,332	0,006578	0,0067	0,000188
Cell4-42	0,06	0,00090	0,229	0,000536	0,94	0,000068	0,000049	0,000049	0,305	0,006512	0,0065	0,000265
Cell4-43												
Cell4-44	0,17	0,00359	0,238	0,000834	1,36	0,000064	0,000058	0,000062	0,348	0,007054	0,0073	0,000358
Cell4-45	0,07	0,00072	0,248	0,000320	1,48	0,000050	0,000057	0,000053	0,223	0,006700	0,0068	0,000122
Cell4-46	0,29	0,06955	0,144	0,000512	0,54	0,000052	0,000030	0,000048	0,325	0,008414	0,0068	0,000183
Cell4-47	0,08	0,00282	0,139	0,000564	0,80	0,000061	0,000040	0,000086	0,290	0,006091	0,0067	0,000114
Cell4-48	0,07	0,00334	0,201	0,000699	0,81	0,000040	0,000015	0,000037	0,287	0,007202	0,0066	0,000124
Cell4-49	0,07	0,00157	0,175	0,000506	1,11	0,000047	0,000017	0,000057	0,266	0,006521	0,0067	0,000152
Cell4-50	0,05	0,13799	0,106	0,001335	3,02	0,000055	0,000101	0,000038	0,248	0,005753	0,0063	0,000162
Cell4-51	0,05	0,10031	0,093	0,000517	5,09	0,000077	0,000132	0,000052	0,192	0,008901	0,0048	0,000607
Cell4-52	0,04	0,00224	0,020	0,000521	4,30	0,000083	0,000201	0,000571	0,278	0,007989	0,0057	0,000274
Cell4-53	0,03	0,00156	0,020	0,000370	8,14	0,000099	0,000177	0,000779	0,204	0,007426	0,0043	0,000392
Cell4-54	0,11	0,00141	0,002	0,000512	<0,384	0,000064	0,000226	<0,000939	0,266	0,006482	0,0052	0,000380
Cell4-55	0,10	0,00098	0,004	0,000366	1,88	0,000057	0,000227	0,000312	0,234	0,007181	0,0054	0,000368
Cell4-56	0,12	0,00186	0,001	0,000317	<2,741	0,000068	0,000318	<0,00059	0,255	0,010973	0,0059	0,000367
Cell4-57	0,14	0,00128	<0,000	0,000576	<2,741	0,000073	0,000335	<0,00059	0,259	0,009476	0,0060	0,000292
Cell4-58	0,08	0,00127	<0,000	0,000848	<4,298	0,000068	0,000297	<0,001037	0,379	0,009072	0,0070	0,000266
Cell4-59	0,07	0,00130	0,003	0,000881	36,45	0,000048	0,000286	<0,001037	0,359	0,009142	0,0053	0,000414

Cellule humide Cell4

Rinçage	Tl	U	V	Zn	Notes
	ICP-MS	ICP-MS	ICP-MS	ICP-MS	
	mg/l	mg/l	mg/l	mg/l	
<i>Limite de détection</i>	<i>variable</i>	<i>variable</i>	<i>variable</i>	<i>variable</i>	
Cell4-24	0,000015	0,0003	0,00063	0,0224	
Cell4-25	0,000022	0,0003	0,00069	0,0317	Délai d'analyse expiré (échantillon envoyé le 2023-01-05).
Cell4-26	0,000018	0,0003	0,00040	0,0701	Délai d'analyse expiré (échantillon envoyé le 2023-01-05).
Cell4-27	0,000018	0,0002	0,00063	0,0603	
Cell4-28	0,000018	0,0002	0,00059	0,0477	
Cell4-29	0,000025	0,0003	0,00062	0,0387	
Cell4-30	0,000018	0,0001	0,00060	0,0300	
Cell4-31	0,000006	0,0006	0,00049	0,0255	
Cell4-32	0,000016	0,0001	0,00046	0,0234	
Cell4-33	0,000028	0,0003	0,00061	0,0371	
Cell4-34	0,000015	0,0004	0,00057	0,0263	LOD Beryllium corrigée le 2023-07-17.
Cell4-35	0,000022	0,0002	0,00057	0,0414	
Cell4-36	0,000033	0,0003	0,00057	0,0475	
Cell4-37	0,000028	0,0001	0,00045	0,0294	
Cell4-38	0,000027	0,0001	0,00051	0,0346	
Cell4-39	0,000034	0,0003	0,00061	0,0357	
Cell4-40	0,000037	0,0004	0,00046	0,0401	
Cell4-41	0,000022	0,0001	0,00049	0,0316	
Cell4-42	0,000021	0,0001	0,00052	0,0405	LOD Beryllium corrigée le 2023-07-17.
Cell4-43					Semaine sans lixiviation maintenue à air humide.
Cell4-44	0,000020	0,0001	0,00057	0,0508	
Cell4-45	0,000016	0,0001	0,00054	0,0234	
Cell4-46	0,000017	0,0001	0,00062	0,0743	
Cell4-47	0,000016	0,0001	0,00054	0,0377	
Cell4-48	0,000018	0,0001	0,00053	0,0485	
Cell4-49	0,000019	0,0001	0,00057	0,0485	
Cell4-50	0,000018	0,0000	0,00057	0,1113	
Cell4-51	0,000014	0,0001	0,00044	0,2210	
Cell4-52	0,000015	0,0001	0,00056	0,0366	
Cell4-53	0,000012	0,0001	0,00046	0,0520	
Cell4-54	0,000014	0,0001	0,00045	0,0174	
Cell4-55	0,000013	0,0001	0,00048	0,0196	
Cell4-56	0,000017	0,0001	0,00047	0,0169	
Cell4-57	0,000018	0,0001	0,00049	0,0110	
Cell4-58	0,000021	0,0003	0,00032	0,0123	
Cell4-59	0,000015	0,0002	0,00046	0,0140	

Cellule humide Cell4 Description: Cell4 - Volcaniques Sélevé (E7 High-sulphur undifferentiated volcanics)
 Masse (kg) : 0,9974
 Début de l'essai : 2022-06-09
 Type de test : Cellule humide en laboratoire (stériles)

Rinçage	#Ech H2Lab	Date	Temps	Volume eau	Température	pH	Conductivité	ORP	Eh	Acidité	Alcalinité
					Électrode	Électrode	Électrode	Électrode	Calcul	Titrage	Titrage
			jour	ml	°C	-	µS/cm	mV	mV	mg CaCO ₃ /L	mg CaCO ₃ /L
<i>Limite de détection</i>					0,1	0,01	1	0,1		2	2
Cell4-60	2386162	2023-08-17	435	919	17,1	6,96	33	227	441	7	10
Cell4-61	2386167	2023-08-24	442	877	20,9	7,60	33	278	488	6	15
Cell4-62	2388255	2023-08-31	449	915	20,7	7,28	30	314	525		
Cell4-63	2388510	2023-09-01	450	853	23,0	7,52	32	283	492	3	10
Lixiviation finale 24h	2390431	2023-09-20			21,6	8,87	103	182	392	4	38

Cellule humide Cell4

Rinçage	Cl ⁻	F ⁻	SO ₄ ²⁻	S ₂ O ₃ ²⁻	ΣS	Ag	Al	As	B	Ba	Be	Bi
	C.Ion.	C.Ion.	C.Ion.	C.Ion.	Calcul	ICP-MS	ICP-MS	ICP-MS	ICP-MS	ICP-MS	ICP-MS	ICP-MS
	mg/l	mg/l	mg/l	mg/l	mg/l	mg/l	mg/l	mg/l	mg/l	mg/l	mg/l	mg/l
<i>Limite de détection</i>	0,5	0,02	0,6	0,02		<i>variable</i>	<i>variable</i>	<i>variable</i>	<i>variable</i>	<i>variable</i>	<i>variable</i>	<i>variable</i>
Cell4-60	< 0,5	< 0,02	3,9	0,03	1,3	0,000003	0,0638	0,000442	0,0090	0,00397	<0,000003	0,000005
Cell4-61	< 0,5	< 0,02	4,6	0,05	1,6	<0,000005	0,0783	0,000483	0,0015	0,00621	0,000002	0,000008
Cell4-62	< 0,5	< 0,02	4,4	0,05	1,5	0,000002	0,0742	0,000465	0,0045	0,00539	<0,000003	<0,000003
Cell4-63	< 0,5	< 0,02	4,2	0,08	1,4	<0,000005	0,1209	0,000538	0,0038	0,00538	0,000003	0,000011
Lixiviation finale 24h	0,8	0,05	7,1	1,16	3,0	0,000268	0,1125	0,003740	0,0175	0,00955	0,000013	0,000328

Cellule humide Cell4

Rinçage	Ca	Cd	Co	Cr	Cu	Fe	Hg	K	Li	Mg	Mn	Mo
	ICP-MS	ICP-MS	ICP-MS	ICP-MS	ICP-MS	ICP-MS	ICP-MS	ICP-MS	ICP-MS	ICP-MS	ICP-MS	ICP-MS
	mg/l	mg/l	mg/l	mg/l	mg/l	mg/l	mg/l	mg/l	mg/l	mg/l	mg/l	mg/l
<i>Limite de détection</i>	<i>variable</i>	<i>variable</i>	<i>variable</i>	<i>variable</i>	<i>variable</i>	<i>variable</i>	<i>variable</i>	<i>variable</i>	<i>variable</i>	<i>variable</i>	<i>variable</i>	<i>variable</i>
Cell4-60	2,44	0,000011	0,000590	0,000040	0,0023	0,011	<0,000617	1,60	0,00248	0,060	0,0021	0,00020
Cell4-61	2,99	0,000031	0,000502	<0,000034	0,0035	<0,001	<0,000013	2,10	0,00329	0,089	0,0028	0,00016
Cell4-62	3,13	0,000066	0,000338	0,000069	0,0018	0,008	<0,000617	1,73	0,00251	0,099	0,0042	0,00024
Cell4-63	3,15	0,000133	0,000190	<0,000034	0,0023	0,008	<0,000013	2,15	0,00371	0,124	0,0034	0,00016
Lixiviation finale 24h	5,00	0,000170	0,001689	0,000587	0,0321	0,050	0,000119	4,69	0,02021	0,644	0,0072	0,00243

Cellule humide Cell4

Rinçage	Na	Ni	P	Pb	S	Sb	Sc	Se	Si	Sn	Sr	Ti
	ICP-MS	ICP-MS	ICP-MS	ICP-MS	ICP-MS	ICP-MS	ICP-MS	ICP-MS	ICP-MS	ICP-MS	ICP-MS	ICP-MS
	mg/l	mg/l	mg/l	mg/l	mg/l	mg/l	mg/l	mg/l	mg/l	mg/l	mg/l	mg/l
<i>Limite de détection</i>	<i>variable</i>	<i>variable</i>	<i>variable</i>	<i>variable</i>	<i>variable</i>	<i>variable</i>	<i>variable</i>	<i>variable</i>	<i>variable</i>	<i>variable</i>	<i>variable</i>	<i>variable</i>
Cell4-60	0,06	0,00216	<0,008	0,000267	<1,176	0,000038	<0,00001	<0,000497	0,111	0,000744	0,0049	0,001114
Cell4-61	0,12	0,00212	<0,001	0,000643	<2,003	0,000279	0,000160	<0,000322	0,245	0,000813	0,0058	0,000808
Cell4-62	0,06	0,00313	<0,008	0,000228	<1,176	0,000052	<0,00001	<0,000497	0,221	0,000692	0,0056	0,000474
Cell4-63	0,18	0,00224	<0,001	0,000252	<2,003	0,000314	0,000183	<0,000322	0,349	0,000880	0,0060	0,000930
Lixiviation finale 24h	1,52	0,00942	0,121	0,003237	8,47	0,000407	0,000040	0,000427	1,058	0,001336	0,0171	0,001338

Cellule humide Cell4

Rinçage	Tl	U	V	Zn	Notes
	ICP-MS	ICP-MS	ICP-MS	ICP-MS	
	mg/l	mg/l	mg/l	mg/l	
<i>Limite de détection</i>	<i>variable</i>	<i>variable</i>	<i>variable</i>	<i>variable</i>	
Cell4-60	0,000015	0,0001	0,00029	0,1020	Mesure de pH prise le lendemain par un autre technicien après une nuit au réfrigérateur.
Cell4-61	0,000014	0,0001	0,00042	0,0282	
Cell4-62	0,000017	0,0001	0,00032	0,0340	
Cell4-63	0,000013	0,0001	0,00046	0,0119	
Lixiviation finale 24h	0,000025	0,0005	0,00259	0,0231	Agitation 24h dans un cylindre en rotation très lente.

Assurance et contrôle de qualité

Cellule humide
Laboratoire

Rinçage	#Ech H2Lab	Date	Temps	Volume eau	Température	pH	Conductivité	ORP	Eh	Acidité	Alcalinité
			jour	ml	Électrode °C	Électrode -	Électrode µS/cm	Électrode mV	Calcul mV	Titrage mg CaCO ₃ /L	Titrage mg CaCO ₃ /L
					0,1	0,01	1	0,1		2	2
Semaine 5 - cellule 1 (duplicata)	2345401	2022-07-07	29								
Semaine 9 - cellule 1 (duplicata)	2348640	2022-08-04	57								
Semaine 10 - cellule 3 (duplicata)	2348922	2022-08-11	64								
Semaine 13 - cellule 1 (duplicata)	2351267	2022-09-01	85							214	<2
Semaine 20 - cellule 1 (duplicata)	2355221	2022-10-19	133								
Semaine 23 - cellule 2 (duplicata)	2357795	2022-11-10	155								
Semaine 25 - cellule 2 (duplicata)		2022-11-24	169								
Semaine 28 - cellule 3 (duplicata)	2359402	2022-12-15	190								
Semaine 29 - cellule 1 (duplicata)	2361144	2023-01-12	218								
Semaine 30 - cellule 2 (duplicata)	2361139	2023-01-19	225								
Semaine 32 - cellule 3 (duplicata)	2362050	2023-02-02	239								
Semaine 34 - cellule 4 (duplicata)	2362879	2023-02-16	253								
Semaine 36 - cellule 1 (duplicata)	2363940	2023-03-03	268								
Semaine 38 - cellule 2 (duplicata)	2364747	2023-03-16	281								
Semaine 40 - cellule 3 (duplicata)	2366308	2023-03-30	295								
Semaine 42 - cellule 4 (duplicata)	2367555	2023-04-13	309								
Semaine 44 - cellule 4 (duplicata)	2370025	2023-04-27	323								
Semaine 46 - cellule 2 (duplicata)	2372378	2023-05-11	337								
Semaine 48 - cellule 3 (duplicata)	2374174	2023-05-25	351								
Semaine 50 - cellule 4 (duplicata)	2375826	2023-06-08	365								
Semaine 52 - cellule 1 (duplicata)	2377567	2023-06-22	379								
Semaine 54 - (blanc)	2380121	2023-07-06	393								
Semaine 56 - (blanc)	2382171	2023-07-20	407								
Semaine 58 - (blanc)	2384533	2023-08-03	421								
Semaine 60 - cellule 1 (duplicata)	2386159	2023-08-17	435								
Semaine 61 - cellule 3 (duplicata)	2386167	2023-08-24	442								
Semaine 62 - cellule 2 (duplicata)	2388256	2023-08-31	449								
Semaine 66 - cellule 1 (duplicata)	2392928	2023-09-28	477								
Semaine 68 - cellule 1 (duplicata)		2023-10-12	491								
Semaine 70 - cellule 2 (duplicata)	2396271	2023-10-26	505								
Semaine 75 - cellule 1 (duplicata)	2399355	2023-11-30	540								

Assurance et contrôle de qualité

Cellule humide
Laboratoire

Rinçage	Cl	F	SO ₄ ²⁻	S ₂ O ₃ ²⁻	ΣS	Ag	Al	As	B	Ba	Be
	C.lon.	C.lon.	C.lon.	C.lon.	Calcul	ICP-MS	ICP-MS	ICP-MS	ICP-MS	ICP-MS	ICP-MS
	mg/l	mg/l	mg/l	mg/l	mg/l	mg/l	mg/l	mg/l	mg/l	mg/l	mg/l
<i>Limite de détection</i>	0,5	0,02	0,6	0,02		<i>variable</i>	<i>variable</i>	<i>variable</i>	<i>variable</i>	<i>variable</i>	<i>variable</i>
Semaine 5 - cellule 1 (duplicata)	2,2	< 0,02	22,0	2,83	8,9	0,000004	0,0375	0,003317	0,0035	0,00915	0,000040
Semaine 9 - cellule 1 (duplicata)	< 0,5	< 0,02	30,5	< 0,02	10,1	0,000002	0,0417	0,000036	0,0018	0,00557	0,000058
Semaine 10 - cellule 3 (duplicata)	< 0,5	< 0,02	1,6	< 0,02	0,5	<0,000004	0,0007	0,000017	<0,000258	0,00217	<0,000024
Semaine 13 - cellule 1 (duplicata)	13,0	< 0,02	22,2	2,40	8,7						
Semaine 20 - cellule 1 (duplicata)	< 0,5	< 0,02	22,7	2,07	8,7						
Semaine 23 - cellule 2 (duplicata)	< 0,5	< 0,02	3,2	0,05	1,1						
Semaine 25 - cellule 2 (duplicata)						0,000010	0,1571	0,000192	0,0011	0,00184	<0,000017
Semaine 28 - cellule 3 (duplicata)	< 0,5	< 0,02	0,6	< 0,02	0,2						
Semaine 29 - cellule 1 (duplicata)	< 0,5	< 0,02	15,0	1,41	5,8	<0,000006	0,0269	0,000082	0,0022	0,00661	0,000045
Semaine 30 - cellule 2 (duplicata)	< 0,5	< 0,02	1,9	0,21	0,8	<0,000006	0,1286	0,000140	0,0014	0,00250	<0,000019
Semaine 32 - cellule 3 (duplicata)	< 0,5	< 0,02	0,6	0,10	0,3	<0,000004	0,1068	0,000271	0,0009	0,00246	0,000008
Semaine 34 - cellule 4 (duplicata)	< 0,5	< 0,02	1,9	0,11	0,7	<0,000001	0,1314	0,000820	0,0010	0,00420	0,000003
Semaine 36 - cellule 1 (duplicata)	< 0,5	< 0,02	25,4	0,92	9,0	<0,000004	0,0674	0,000085	0,0015	0,00928	0,000075
Semaine 38 - cellule 2 (duplicata)	< 0,5	< 0,02	1,8	0,20	0,7	0,000010	0,0830	0,000092	0,0020	0,00149	0,000000
Semaine 40 - cellule 3 (duplicata)	< 0,5	< 0,02	<0,6	<0,02	0,1	<0,000002	0,0696	0,000191	0,0007	0,00323	0,000000
Semaine 42 - cellule 4 (duplicata)	< 0,5	< 0,02	2,7	0,06	0,9	<0,000005	0,1266	0,000761	0,0020	0,00404	0,000000
Semaine 44 - cellule 4 (duplicata)	< 0,5	< 0,02	4,6	0,11	1,6	0,000018	0,0309	0,000166	0,0016	0,01124	<0,000013
Semaine 46 - cellule 2 (duplicata)	< 0,5	< 0,02	3,0	0,13	1,1	<0,000002	0,1643	0,000107	0,0012	0,00322	<0,000013
Semaine 48 - cellule 3 (duplicata)	< 0,5	< 0,02	0,6	< 0,02	0,2	<0,000005	0,1079	0,000232	0,0010	0,00575	<0,000015
Semaine 50 - cellule 4 (duplicata)	< 0,5	< 0,02	3,3	0,07	1,1	<0,000013	0,1213	0,000692	0,0031	0,00587	0,000000
Semaine 52 - cellule 1 (duplicata)	< 0,5	< 0,02	33,1	1,33	11,7	0,000040	0,0740	0,000077	0,0025	0,01115	0,000101
Semaine 54 - (blanc)	< 0,5	< 0,02	2,2	0,10	0,8	<0,000002	0,0502	0,000067	0,0011	0,00258	<0,000002
Semaine 56 - (blanc)	< 0,5	< 0,02	< 0,6	< 0,02	0,1	0,000005	0,0881	0,000252	0,0020	0,00332	<0,000002
Semaine 58 - (blanc)	< 0,5	< 0,02	5,2	0,03	1,7	0,000006	0,0610	0,000473	0,0040	0,00602	0,000009
Semaine 60 - cellule 1 (duplicata)	< 0,5	< 0,02	28,9	0,69	10,0	<0,000005	0,0943	0,000042	0,0115	0,00522	0,000057
Semaine 61 - cellule 3 (duplicata)	< 0,5	< 0,02	< 0,6	< 0,02	0,1	<0,000005	0,0616	0,000192	0,0012	0,00246	0,000004
Semaine 62 - cellule 2 (duplicata)	1,5	< 0,02	1,4	0,03	0,5	<0,000005	0,0562	0,000211	0,0741	0,00296	0,000004
Semaine 66 - cellule 1 (duplicata)	< 0,5	< 0,02	30,2	1,33	10,8						
Semaine 68 - cellule 1 (duplicata)						0,000011	0,1363	0,000049	0,0019	0,00836	0,000108
Semaine 70 - cellule 2 (duplicata)	< 0,5	< 0,02	2,0	0,09	0,7						
Semaine 75 - cellule 1 (duplicata)	< 0,5	0,02	19,3	0,59	6,7						

Assurance et contrôle de qualité

Cellule humide
Laboratoire

Rinçage	Bi	Ca	Cd	Co	Cr	Cu	Fe	Hg	K	Li	Mg
	ICP-MS	ICP-MS	ICP-MS	ICP-MS	ICP-MS	ICP-MS	ICP-MS	ICP-MS	ICP-MS	ICP-MS	ICP-MS
	mg/l	mg/l	mg/l	mg/l	mg/l	mg/l	mg/l	mg/l	mg/l	mg/l	mg/l
<i>Limite de détection</i>	<i>variable</i>	<i>variable</i>	<i>variable</i>	<i>variable</i>	<i>variable</i>	<i>variable</i>	<i>variable</i>	<i>variable</i>	<i>variable</i>	<i>variable</i>	<i>variable</i>
Semaine 5 - cellule 1 (duplicata)	0,000009	4,85	0,000196	0,023578	0,000233	0,0139	2,511	0,000003	3,64	0,02011	0,946
Semaine 9 - cellule 1 (duplicata)	0,000003	4,82	0,000257	0,030366	0,000011	0,0229	4,536	0,000011	3,74	0,02474	0,836
Semaine 10 - cellule 3 (duplicata)	<0,000006	0,06	<0,000003	<0,000015	<0,000021	0,0514	<0,0001	<0,000021	0,01	<0,000081	0,006
Semaine 13 - cellule 1 (duplicata)											
Semaine 20 - cellule 1 (duplicata)											
Semaine 23 - cellule 2 (duplicata)											
Semaine 25 - cellule 2 (duplicata)	0,000269	2,81	0,000313	<0,000025	<0,000065	0,0180	0,003	<0,00022	1,78	0,00353	0,133
Semaine 28 - cellule 3 (duplicata)											
Semaine 29 - cellule 1 (duplicata)	0,000003	1,44	0,000229	0,011472	0,000021	0,0864	2,928	<0,000029	2,78	0,00642	0,291
Semaine 30 - cellule 2 (duplicata)	0,000002	2,29	0,000231	0,000042	0,000061	0,0016	0,016	<0,000029	1,82	0,00314	0,095
Semaine 32 - cellule 3 (duplicata)	<0,000001	2,34	0,000046	0,000019	<0,000009	0,0011	0,003	<0,000068	1,35	0,00429	0,086
Semaine 34 - cellule 4 (duplicata)	<0,000007	3,77	0,000048	0,000060	<0,000046	0,0012	0,002	<0,000044	1,43	0,00463	0,105
Semaine 36 - cellule 1 (duplicata)	0,000005	1,73	0,000181	0,016625	0,000068	0,1253	5,377	<0,000323	3,62	0,00760	0,499
Semaine 38 - cellule 2 (duplicata)	0,000007	<0,995	0,000110	0,000116	0,000058	0,0023	0,013	<0,000089	4,57	0,00275	<0,038
Semaine 40 - cellule 3 (duplicata)	0,000007	3,54	0,000019	0,000022	0,000059	0,0008	0,002	<0,000138	0,81	0,00173	0,529
Semaine 42 - cellule 4 (duplicata)	0,000022	2,32	0,000041	0,000227	0,000057	0,0015	0,002	0,000234	1,42	0,00886	0,615
Semaine 44 - cellule 4 (duplicata)	0,000007	2,94	0,000079	0,000631	0,000101	0,0042	0,008	0,000281	5,62	0,00827	0,067
Semaine 46 - cellule 2 (duplicata)	0,000004	3,32	0,000029	0,000161	0,000440	0,0021	0,008	0,000013	2,41	0,00464	0,091
Semaine 48 - cellule 3 (duplicata)	0,000015	2,06	0,000030	<0,000045	<0,000254	0,0038	0,003	<0,000046	1,35	0,00365	0,055
Semaine 50 - cellule 4 (duplicata)	0,000084	3,12	0,000046	0,000052	0,000180	0,0031	0,011	<0,000029	1,06	0,00462	0,091
Semaine 52 - cellule 1 (duplicata)	0,000061	1,86	0,000242	0,030609	0,000130	0,2440	7,226	0,005360	4,66	0,00989	0,593
Semaine 54 - (blanc)	0,000137	2,39	0,000025	0,000082	0,000030	0,0023	<0,004	<0,000051	1,35	0,00322	0,064
Semaine 56 - (blanc)	0,000008	5,70	0,000047	0,000075	0,000090	0,0023	0,011	<0,000028	0,76	0,00408	0,382
Semaine 58 - (blanc)	0,000012	3,61	0,000034	0,000174	0,000051	0,0023	<0,001	0,000033	2,66	0,00358	0,155
Semaine 60 - cellule 1 (duplicata)	0,000003	0,72	0,000157	0,026745	0,000374	0,0808	7,732	0,000058	4,22	0,01060	0,553
Semaine 61 - cellule 3 (duplicata)	0,000005	0,61	0,000012	0,000123	0,000473	0,0028	<0,001	<0,000013	1,09	0,00322	<0,009
Semaine 62 - cellule 2 (duplicata)	0,000004	0,60	0,000036	0,000775	0,000079	<0,000033	0,097	0,001383	1,94	0,00243	0,016
Semaine 66 - cellule 1 (duplicata)											
Semaine 68 - cellule 1 (duplicata)	0,000004	1,32	0,000343	0,025176	0,000028	0,2188	8,094	0,000807	4,30	0,00939	0,647
Semaine 70 - cellule 2 (duplicata)											
Semaine 75 - cellule 1 (duplicata)											

Assurance et contrôle de qualité

Cellule humide

Laboratoire

Rinçage	Mn	Mo	Na	Ni	P	Pb	S	Sb	Sc	Se	Si
	ICP-MS	ICP-MS	ICP-MS	ICP-MS	ICP-MS	ICP-MS	ICP-MS	ICP-MS	ICP-MS	ICP-MS	ICP-MS
	mg/l	mg/l	mg/l	mg/l	mg/l	mg/l	mg/l	mg/l	mg/l	mg/l	mg/l
<i>Limite de détection</i>	<i>variable</i>	<i>variable</i>	<i>variable</i>	<i>variable</i>	<i>variable</i>	<i>variable</i>	<i>variable</i>	<i>variable</i>	<i>variable</i>	<i>variable</i>	<i>variable</i>
Semaine 5 - cellule 1 (duplicata)	0,2816	0,00044	0,16	0,25187	0,196	0,009322	11,63	0,000078	0,000082	0,000504	0,197
Semaine 9 - cellule 1 (duplicata)	0,2205	0,00001	0,21	0,36216	0,477	0,011908	11,78	0,000009	0,000026	0,000595	0,826
Semaine 10 - cellule 3 (duplicata)	0,0000	<0,000017	0,08	<0,000026	<0,018	<0,000018	<0,308	<0,000018	<0,000017	<0,000013	<0,0003
Semaine 13 - cellule 1 (duplicata)											
Semaine 20 - cellule 1 (duplicata)											
Semaine 23 - cellule 2 (duplicata)											
Semaine 25 - cellule 2 (duplicata)	0,0038	0,00040	0,02	0,00199	0,228	0,001546	0,78	0,000036	<0,000019	0,000030	0,349
Semaine 28 - cellule 3 (duplicata)											
Semaine 29 - cellule 1 (duplicata)	0,0264	0,00003	0,15	0,13026	0,305	0,031241	7,64	0,000064	0,000056	0,000287	0,422
Semaine 30 - cellule 2 (duplicata)	0,0036	0,00030	0,08	0,00135	0,245	0,001083	0,65	0,000057	0,000048	0,000044	0,315
Semaine 32 - cellule 3 (duplicata)	0,0027	0,00022	3,57	0,00202	0,187	0,008306	0,15	0,000058	0,000025	0,000047	0,300
Semaine 34 - cellule 4 (duplicata)	0,0025	0,00030	0,12	0,02607	0,320	0,001388	0,48	0,000054	0,000066	0,000054	0,436
Semaine 36 - cellule 1 (duplicata)	0,0296	0,00000	0,34	0,18397	0,388	0,008781	10,29	0,000054	0,000086	0,000365	0,564
Semaine 38 - cellule 2 (duplicata)	0,0030	0,00028	0,20	0,00178	0,232	0,000492	0,49	0,000047	0,000033	0,000026	0,220
Semaine 40 - cellule 3 (duplicata)	0,0016	0,00013	0,17	0,00048	0,148	0,000129	<0,148	0,000043	0,000016	0,000019	0,165
Semaine 42 - cellule 4 (duplicata)	0,0020	0,00028	0,07	0,00083	0,230	0,000407	0,94	0,000064	0,000053	0,000042	0,314
Semaine 44 - cellule 4 (duplicata)	0,0049	0,00031	0,19	0,00327	0,238	0,000599	1,44	0,000092	0,000057	0,000061	0,325
Semaine 46 - cellule 2 (duplicata)	0,0038	0,00003	0,09	0,00189	0,167	0,000513	0,28	0,000031	0,000035	<0,000025	0,364
Semaine 48 - cellule 3 (duplicata)	0,0020	0,00015	0,13	0,00201	0,140	0,000917	<0,059	0,000051	<0,000009	0,000023	0,224
Semaine 50 - cellule 4 (duplicata)	0,0027	0,00022	0,06	0,14313	0,107	0,001022	3,34	0,000060	0,000113	0,000057	0,263
Semaine 52 - cellule 1 (duplicata)	0,0351	0,00001	0,10	0,29725	0,027	0,011651	15,60	0,000079	0,000313	0,000874	0,501
Semaine 54 - (blanc)	0,0029	0,00019	0,08	0,00063	0,003	0,000675	<0,384	0,000069	0,000129	<0,000939	0,217
Semaine 56 - (blanc)	0,0019	0,00015	0,12	0,00155	<0,000	0,000415	<2,741	0,000075	0,000219	<0,00059	0,200
Semaine 58 - (blanc)	0,0034	0,00027	0,09	0,00147	0,001	0,000697	<4,298	0,000089	0,000306	<0,001037	0,388
Semaine 60 - cellule 1 (duplicata)	0,0296	0,00001	0,13	0,25199	<0,001	0,003150	<2,003	0,000211	0,000176	<0,000322	0,418
Semaine 61 - cellule 3 (duplicata)	0,0019	0,00008	0,08	0,00164	<0,001	0,000471	<2,003	0,000364	0,000074	<0,000322	0,139
Semaine 62 - cellule 2 (duplicata)	0,0076	0,00058	1,00	0,00548	0,224	0,001713	<2,003	0,000365	0,000052	<0,000322	0,104
Semaine 66 - cellule 1 (duplicata)											
Semaine 68 - cellule 1 (duplicata)	0,0382	<0,000008	0,08	0,27997	<0,002	0,008982	19,04	0,000033	0,000043	0,000308	<0,009
Semaine 70 - cellule 2 (duplicata)											
Semaine 75 - cellule 1 (duplicata)											

Assurance et contrôle de qualité

Cellule humide

Laboratoire

Rinçage	Sn	Sr	Ti	Tl	U	V	Zn
	ICP-MS	ICP-MS	ICP-MS	ICP-MS	ICP-MS	ICP-MS	ICP-MS
	mg/l	mg/l	mg/l	mg/l	mg/l	mg/l	mg/l
<i>Limite de détection</i>	<i>variable</i>	<i>variable</i>	<i>variable</i>	<i>variable</i>	<i>variable</i>	<i>variable</i>	<i>variable</i>
Semaine 5 - cellule 1 (duplicata)	0,004680	0,0083	0,001537	0,000040	0,0002	0,00010	0,1906
Semaine 9 - cellule 1 (duplicata)	0,002735	0,0062	0,000022	0,000042	0,0002	0,00001	0,2766
Semaine 10 - cellule 3 (duplicata)	<0,000019	0,0001	0,000117	<0,000003	<0,000002	0,00003	0,0088
Semaine 13 - cellule 1 (duplicata)							
Semaine 20 - cellule 1 (duplicata)							
Semaine 23 - cellule 2 (duplicata)							
Semaine 25 - cellule 2 (duplicata)	0,002727	0,0033	0,001402	0,000011	0,0001	0,00055	0,0261
Semaine 28 - cellule 3 (duplicata)							
Semaine 29 - cellule 1 (duplicata)	0,003396	0,0021	0,000316	0,000050	0,0001	0,00009	0,3747
Semaine 30 - cellule 2 (duplicata)	0,002429	0,0032	0,000836	0,000008	0,0000	0,00045	0,0286
Semaine 32 - cellule 3 (duplicata)	0,013502	0,0053	0,000157	0,000006	0,0008	0,00041	0,0264
Semaine 34 - cellule 4 (duplicata)	0,007554	0,0081	0,000103	0,000019	0,0004	0,00054	0,0250
Semaine 36 - cellule 1 (duplicata)	0,005883	0,0029	0,000178	0,000071	0,0002	0,00009	0,5700
Semaine 38 - cellule 2 (duplicata)	0,009320	0,0020	0,000212	0,000007	0,0000	0,00032	0,1173
Semaine 40 - cellule 3 (duplicata)	0,006095	0,0029	0,000159	0,000008	0,0004	0,00038	0,0189
Semaine 42 - cellule 4 (duplicata)	0,006442	0,0066	0,000220	0,000022	0,0001	0,00051	0,0331
Semaine 44 - cellule 4 (duplicata)	0,005969	0,0074	0,000275	0,000019	0,0000	0,00052	0,0470
Semaine 46 - cellule 2 (duplicata)	0,006107	0,0036	0,000248	0,000011	0,0000	0,00058	0,0278
Semaine 48 - cellule 3 (duplicata)	0,009616	0,0040	0,000158	0,000009	0,0004	0,00049	0,0456
Semaine 50 - cellule 4 (duplicata)	0,007038	0,0064	0,000192	0,000017	0,0001	0,00061	0,1162
Semaine 52 - cellule 1 (duplicata)	0,008779	0,0037	0,000823	0,000066	0,0003	0,00022	0,8268
Semaine 54 - (blanc)	0,008401	0,0023	0,000410	0,000007	0,0001	0,00031	0,0235
Semaine 56 - (blanc)	0,010478	0,0029	0,000369	0,000006	0,0002	0,00047	0,0154
Semaine 58 - (blanc)	0,009707	0,0068	0,000272	0,000027	0,0002	0,00032	0,0148
Semaine 60 - cellule 1 (duplicata)	0,003197	0,0027	0,001242	0,000050	0,0002	0,00017	0,6077
Semaine 61 - cellule 3 (duplicata)	0,002644	0,0024	0,000308	0,000010	0,0001	0,00033	0,0217
Semaine 62 - cellule 2 (duplicata)	0,006811	0,0019	0,002460	0,000005	0,0000	0,00030	0,0298
Semaine 66 - cellule 1 (duplicata)							
Semaine 68 - cellule 1 (duplicata)	0,001302	0,0033	0,000098	0,000058	0,0004	<0,000012	0,8499
Semaine 70 - cellule 2 (duplicata)							
Semaine 75 - cellule 1 (duplicata)							

Paramètre		Unité	Cell1-POST	Cell2-POST	Cell3-POST	Cell4-POST
Carbone inorganique	C_{inorg}	%	<0,05	<0,05	<0,05	0,05
Soufre total	S_{total}	%	1,36	0,31	0,09	0,99
Soufre sulfates (S-GRA06)	$S_{sulfates}$	%	<0,01	<0,01	<0,01	<0,01
Soufre sulfates (S-GRA06a)	$S_{sulfates}$	%	0,03	<0,01	0,04	<0,01
Soufre sulfures (S-IR07)	$S_{sulfures}$	%	1,09	0,30	0,09	0,90
Soufre sulfures (Calcul)	$S_{sulfures}$	%	1,36	0,31	0,09	0,99
pH en pâte	-	-	6,8	9,4	9,5	8,7
Potentiel de neutralisation (Sobek original)	PN	kg CaCO ₃ /t	15	17	18	17
Potentiel d'acidité maximal	MPA	kg CaCO ₃ /t	42,5	9,7	2,8	30,9
Potentiel net de neutralisation	PNN	kg CaCO ₃ /t	-28	7	15	-14
Ratio PN/PA	RPN	-	0,35	1,75	6,40	0,55
Potentiellement générateur d'acide (selon critère MELCC 2020)	-	-	Oui	Oui	Oui	Oui
Potentiellement générateur d'acide (selon critère Price 2009)	-	-	Oui	Incertain	Non	Oui

Tableau 28: Caractérisation finale - Composition chimique (métaux)

IL EST PROBABLE QUE LA DIGESTION N'AIT PAS PERMIS DE BIEN DISSOUDRE LES ÉCHANTILLONS. LES RÉSULTATS SONT TRÈS FAIBLES ET NE CORRESPONDENT PAS À CEUX OBTENUS AVEC LES AUTRES MÉTHODES D'ANALYSE (p.ex. soufre, aluminium, calcium, fer)

Paramètre	Unité	C1 residue 0.1g	C2 residue 0.1g	C3 residue 0.1g	C4 residue 0.1g	C1 residue 0.25g	C2 residue 0.25g	C3 residue 0.25g	C4 residue 0.25g	
Argent	Ag	mg/kg	0,00107	0,00068	0,00119	0,00187	0,00264	0,00095	0,00314	0,00359
Aluminium	Al	mg/kg	106,871	112,058	98,837	106,452	253,693	260,529	254,711	265,229
Arsenic	As	mg/kg	0,00289	0,00337	0,00385	0,00318	0,00542	0,00663	0,00480	0,00726
Baryum	Ba	mg/kg	0,59792	0,65698	0,54159	0,40359	1,11022	1,16870	1,17186	0,87402
Béryllium	Be	mg/kg	0,00767	0,00787	0,00807	0,00774	0,01182	0,01135	0,01157	0,01043
Bismuth	Bi	mg/kg	0,00835	0,00153	0,00081	0,00296	0,01489	0,00248	0,00127	0,01032
Calcium	Ca	mg/kg	51,64	71,23	<0,616	46,82	33,31	133,08	170,45	124,56
Cadmium	Cd	mg/kg	0,00995	0,00787	0,00807	0,00928	0,00760	0,00763	0,00913	0,00911
Cobalt	Co	mg/kg	0,12962	0,09373	0,03069	0,03760	0,27928	0,18155	0,07107	0,08331
Chrome	Cr	mg/kg	0,46119	0,39971	0,20639	0,23409	1,07087	0,62760	0,52028	0,59876
Cuivre	Cu	mg/kg	0,45037	0,14124	0,28438	0,17324	0,85329	0,22211	0,63720	0,37010
Fer	Fe	mg/kg	123,232	105,695	71,377	87,609	304,436	242,630	189,617	221,372
Mercure	Hg	mg/kg	0,19698	0,16570	0,00162	0,00100	0,30040	0,28107	0,00375	0,00492
Potassium	K	mg/kg	28,06	22,90	<1,394	19,45	20,47	73,95	56,22	53,55
Lithium	Li	mg/kg	0,10674	0,08195	0,06184	0,05660	0,27124	0,19729	0,15275	0,14075
Magnésium	Mg	mg/kg	38,518	34,993	0,975	27,879	23,735	97,503	81,110	72,024
Manganèse	Mn	mg/kg	0,917	1,653	0,667	1,399	1,981	3,672	1,690	4,136
Molybdène	Mo	mg/kg	0,00259	0,02001	0,00867	0,00590	0,00643	0,00800	0,01403	0,01198
Sodium	Na	mg/kg	35,143	38,207	<0,496	42,669	51,878	115,083	119,728	146,019
Nickel	Ni	mg/kg	0,16809	0,18625	0,10025	0,11485	0,29664	0,24126	0,21609	0,25641
Phosphore	P	mg/kg	1,012	1,092	0,836	0,744	2,361	2,447	2,035	1,904
Plomb	Pb	mg/kg	0,03371	0,01082	0,01052	0,03080	0,06156	0,01836	0,02006	0,06851
Soufre	S	mg/kg	<1,983	<1,983	<1,983	<1,983	<1,983	<1,983	<1,983	<1,983
Antimoine	Sb	mg/kg	0,00038	0,00036	0,00031	0,00037	0,00049	0,00042	0,00058	0,00071
Scandium	Sc	mg/kg	0,05479	0,04423	0,03655	0,02797	0,17147	0,12957	0,10575	0,10252
Sélénium	Se	mg/kg	0,00324	0,00168	0,00151	0,00117	0,00472	0,00227	0,00257	0,00296
Silicium	Si	mg/kg	200,668	165,404	<9,455	352,792	86,875	818,878	721,841	696,667
Étain	Sn	mg/kg	0,01366	0,00448	0,00400	0,00606	0,01016	0,00663	0,00857	0,00851
Strontium	Sr	mg/kg	0,422	0,534	0,572	0,512	0,983	1,167	1,335	1,268
Titane	Ti	mg/kg	6,42043	6,79913	5,00199	5,78893	16,03274	16,14054	13,26966	14,45726
Thallium	Tl	mg/kg	0,00158	0,00081	0,00087	0,00066	0,00319	0,00168	0,00178	0,00136
Uranium	U	mg/kg	0,00137	0,00148	0,00230	0,00143	0,00283	0,00293	0,00498	0,00338
Vanadium	V	mg/kg	0,29401	0,25322	0,17298	0,17149	0,70200	0,56666	0,44329	0,45051
Zinc	Zn	mg/kg	0,16849	0,25856	0,18656	0,33522	0,30863	0,33605	0,57335	0,70017

Paramètre	Unité	Cell1-POST	Cell2-POST	Cell3-POST	Cell4-POST
SiO ₂	%	58,90	59,87	61,94	61,41
Al ₂ O ₃	%	14,75	15,47	14,95	15,31
Fe ₂ O ₃	%	8,71	6,96	5,41	6,26
CaO	%	4,54	5,86	4,26	5,12
MgO	%	4,14	3,54	3,08	3,97
Na ₂ O	%	3,33	3,33	4,18	3,54
K ₂ O	%	2,23	1,72	1,61	1,02
TiO ₂	%	0,59	0,58	0,47	0,52
P ₂ O ₅	%	0,13	0,15	0,12	0,13
SO ₃	%	<0,01	0,03	0,04	0,06
MnO	%	0,07	0,13	0,06	0,13
Perte au feu (LOI)	%	1,61	0,82	0,71	1,50
Total	%	99,00	98,46	96,83	98,97